

### EXTRAIT DU REGISTRE DES DU CONSEIL COMMUN DE LA COMMUNAUTÉ D'AGGLOMÉR

Envoyé en préfecture le 30/09/2022

Reçu en préfecture le 30/09/2022

Affiché le

ID: 033-200070092-20220927-2022\_09\_234-DE

# **SÉANCE DU 27 SEPTEMBRE 2022**

2022-09-234 - 1/3

Nombre de conseillers composant le Conseil Communautaire : 78 Nombre de conseillers communautaires en exercice : 77

Date de convocation: 21/09/2022

L'an deux mille vingt deux, le vingt sept septembre à 18 H 00, le Conseil communautaire s'est réuni, en la salle Daniel Malville à Vayres (33870), sous la présidence de Monsieur Philippe BUISSON

Présents: 52

Philippe BUISSON, Président, Jacques LEGRAND, Vice-Président, Fabienne FONTENEAU, Vice-présidente, Hervé ALLOY, Vice-président, Jean-Philippe LE GAL, Vice-Président, Laurent DE LAUNAY, Vice-président, Chantal GANTCH, Vice-présidente, Eveline LAVAURE-CARDONA, Vice-présidente, Sébastien LABORDE, Vice-président, Laurent KERMABON, Vice-président, David REDON, Vice-Président, Thierry MARTY, Vice-Président, Stéphanie DUPUY, Vice-présidente, Alain JAMBON, Vice-président, Jean Louis ARCARAZ, Conseiller délégué, Jean-Luc LETERME, Bernard GUILHEM, Conseiller délégué, Brigitte NABET-GIRARD, Conseiller déléguée, Denis SIRDEY, Conseiller délégué, Jean Claude ABANADES, Conseiller délégué, Michel MASSIAS, Conseiller délégué, Jean-Pierre ARNAUD, Armand BATTISTON, Gérard MUSSOT, Joachim BOISARD, Emeline BRISSEAU, Renaud CHALLENGEAS, Marianne CHOLLET, Mireille CONTE-JAUBERT, Jérôme COSNARD, Jean Louis D'ANGLADE, Julie DUMONT, Hélène ESTRADE, Lionel GACHARD, Christophe GALAN, Patrick HUCHET, Patrick JARJANETTE, Fabienne KRIER, Michèle LACOSTE, Bruno LAVIDALIE, Martine LECOULEUX, Jocelyne LEMOINE, Pierre MALVILLE, Gérard MOULINIER, Paquerette PEYRIDIEUX, Laurence ROUEDE, Agnès SEJOURNET, Marie-Claude SOUDRY, Rachel VAUNA, Josette TRAVAILLOT, Jean-Philippe VIRONNEAU, Michel VACHER

#### Absents: 14

Michel MILLAIRE, Bernard BACCI, Jean-Luc BARBEYRON, Marie-Sophie BERNADEAU, Didier CAZENAVE, Christophe DARDENNE, Philippe DURAND-TEYSSIER, Christophe GIGOT, Philippe GIRARD, Marie-Noëlle LAVIE, Odile LUMINO, Gonzague MALHERBE, Frédéric MALVILLE, Edwige NOMDEDEU

#### Absents excusés ayant donné pouvoir de vote : 11

Patrick MERCIER pouvoir à Jérôme COSNARD, Jean-Luc LAMAISON pouvoir à Jean-Philippe LE GAL, Gabi HOPER pouvoir à Philippe BUISSON, Sandy CHAUVEAU pouvoir à Laurence ROUEDE, Monique JULIEN pouvoir à Denis SIRDEY, Pierre-Jean MARTINET pouvoir à Fabienne KRIER, Alain PAIGNE pouvoir à Gérard MOULINIER, Laura RAMOS pouvoir à Alain JAMBON, Christophe-Luc ROBIN pouvoir à Laurent KERMABON, David RESENDÉ pouvoir à David REDON, Baptiste ROUSSEAU pouvoir à Thierry MARTY

Envoyé en préfecture le 30/09/2022

Reçu en préfecture le 30/09/2022

Affiché le RVICES



#### FINANCES. FISCALITE ET AFFAIRES JURIDIQUES **BUDGET PRINCIPAL: REFACTURATION DES CHARGES** COMMUNS AUX BUDGETS ANNEXES INDUSTRIELS ET D

ID: 033-200070092-20220927-2022\_09\_234-DE

Sur proposition de Monsieur ALLOY Hervé, Vice-président en charge des finances, de la fiscalité et des affaires juridiques,

Vu le Code général des collectivités territoriales et notamment son article L.1612-1,

Vu la délibération du Conseil communautaire n°2019-10-219 en date du 19 octobre 2019 portant sur la création du budget annexe « régie communautaire d'assainissement non collectif »,

Vu la délibération du Conseil communautaire n°2019-10-221 en date du 17 octobre 2019 portant sur la création du budget annexe « eau potable Libourne ».

Vu la délibération du Conseil communautaire n°2019-10-222 en date du 17 octobre 2019 portant sur la création du budget annexe « eau potable Les Billaux-Lalande de Pomerol ».

Vu la délibération du Conseil communautaire n°2019-10-224 en date du 17 octobre 2019 portant sur la création du budget annexe « assainissement collectif Libourne »,

Vu la délibération du Conseil communautaire n°2019-12-282 en date du 16 décembre 2019 portant sur la création du budget annexe « assainissement collectif Les Billaux-Lalande de Pomerol »,

Vu la délibération du Conseil communautaire n°2020-09-185 en date du 31 décembre 2020 relative au transfert de la compétence facultative « gestion et entretien du Port de Libourne-St Emilion »,

Considérant que ces budgets doivent être votés en équilibre et doivent être financés par les recettes liées à l'exploitation de leurs activités (redevances); cette règle implique que ces budgets comportent la totalité des dépenses liées à l'exploitation de leurs services.

Considérant qu'ainsi le budget principal se doit de refacturer aux budgets annexes industriels et commerciaux sus-visés la totalité des frais de structures qui les concernent,

Considérant que la méthode de calcul retenue pour évaluer les charges dédiées à la gestion de ces budgets est la suivante :

Dépenses réelles de fonctionnement et d'investissement de la compétence Total des dépenses réelles de fonctionnement et d'investissement de l'EPCI

Ce ratio est multiplié par le coût total des services fonctionnels ou communs N-1 qui comprennent la direction générale, le service des finances, le service fiscalité, la direction des ressources humaines, le service des affaires juridiques, le service achats et commande publique et la direction des systèmes de l'information.

Considérant que pour les montants de faible valeur un forfait de 500 € sera appliqué et que cette méthode de calcul sera appliquée chaque année,

FRAIS DE STRUCTURE	BUDGET ANNEXE	VALORISATION	DATE EFFET
<ul> <li>Organisation des assemblées, rédaction et transmission des actes</li> </ul>	Assainissement Libourne	106 369 €	Année 2022
<ul> <li>Réalisation de la paye et déclarations sociales</li> <li>Préparation et orientations budgétaires et aide à la préparation du budget, gestion des régies,</li> </ul>	Eau Libourne	23 638 €	Année 2022
<ul> <li>Suivi de la comptabilité,</li> <li>Passation des marchés publics,</li> </ul>	Assainissement Les Billaux- Lalande de Pomerol	4 728 €	Année 2022
<ul> <li>Assistance informatique,</li> <li>Assistance juridique,</li> </ul>	Eau Les Billaux – Lalande de Pomerol	1 182 €	Année 2022
Assistance fiscale (tarification)	SPANC	500€	Année 2022
	Port Libourne – St Emilion	2 600 €	Année 2022

Envoyé en préfecture le 30/09/2022 Reçu en préfecture le 30/09/2022

Affiché le

Considérant que pour l'exercice 2022, les refacturations pour ces budgets ID: 033-200070092-20220927-2022\_09\_234-DE

Vu l'avis du Bureau communautaire en date du 19 septembre 2022.

Vu l'avis de la commission « finances, fiscalité et affaires juridiques » en date du 19 septembre 2022,

Après en avoir délibéré,

Et à l'unanimité (63 conseillers présents ou ayant donné pouvoir),

Le Conseil communautaire décide d'autoriser la refacturation comme indiquée ci-dessus aux budgets annexes concernés.

Certifié exécutoire compte tenu de la transmission en Sous-Préfecture et de la publication, mise en ligne sur le site de La

Fait à Libourne 30 septembre 2022

Le Président informe que la présente délibération peut faire l'objet d'un lecours pour excès de pouvoir devant le Tribunal administratif de Bordeaux dans un délai de deux mois à compter de sa publication et de sa réception par le représentant de l'État

Le Président. Philippe BUISSON



# EXTRAIT DU REGISTRE DES DU CONSEIL COMMUN DE LA COMMUNAUTÉ D'AGGLOMÉR

Envoyé en préfecture le 30/09/2022

Reçu en préfecture le 30/09/2022

Affiché le

ID : 033-200070092-20220927-2022\_09\_235-BF

### **SÉANCE DU 27 SEPTEMBRE 2022**

2022-09-235 - 1/2

Nombre de conseillers composant le Conseil Communautaire : 78 Nombre de conseillers communautaires en exercice : 77

Date de convocation: 21/09/2022

L'an deux mille vingt deux, le vingt sept septembre à 18 H 00, le Conseil communautaire s'est réuni, en la salle Daniel Malville à Vayres (33870), sous la présidence de Monsieur Philippe BUISSON

Présents : 52

Philippe BUISSON, Président, Jacques LEGRAND, Vice-Président, Fabienne FONTENEAU, Vice-présidente, Hervé ALLOY, Vice-président, Jean-Philippe LE GAL, Vice-Président, Laurent DE LAUNAY, Vice-président, Chantal GANTCH, Vice-présidente, Eveline LAVAURE-CARDONA, Vice-présidente, Sébastien LABORDE, Vice-président, Laurent KERMABON, Vice-président, David REDON, Vice-Président, Thierry MARTY, Vice-Président, Stéphanie DUPUY, Vice-présidente, Alain JAMBON, Vice-président, Jean Louis ARCARAZ, Conseiller délégué, Jean-Luc LETERME, Bernard GUILHEM, Conseiller délégué, Brigitte NABET-GIRARD, Conseiller déléguée, Denis SIRDEY, Conseiller délégué, Jean Claude ABANADES, Conseiller délégué, Michel MASSIAS, Conseiller délégué, Jean-Pierre ARNAUD, Armand BATTISTON, Gérard MUSSOT, Joachim BOISARD, Emeline BRISSEAU, Renaud CHALLENGEAS, Marianne CHOLLET, Mireille CONTE-JAUBERT, Jérôme COSNARD, Jean Louis D'ANGLADE, Julie DUMONT, Hélène ESTRADE, Lionel GACHARD, Christophe GALAN, Patrick HUCHET, Patrick JARJANETTE, Fabienne KRIER, Michèle LACOSTE, Bruno LAVIDALIE, Martine LECOULEUX, Jocelyne LEMOINE, Pierre MALVILLE, Gérard MOULINIER, Paquerette PEYRIDIEUX, Laurence ROUEDE, Agnès SEJOURNET, Marie-Claude SOUDRY, Rachel VAUNA, Josette TRAVAILLOT, Jean-Philippe VIRONNEAU, Michel VACHER

#### Absents: 14

Michel MILLAIRE, Bernard BACCI, Jean-Luc BARBEYRON, Marie-Sophie BERNADEAU, Didier CAZENAVE, Christophe DARDENNE, Philippe DURAND-TEYSSIER, Christophe GIGOT, Philippe GIRARD, Marie-Noëlle LAVIE, Odile LUMINO, Gonzague MALHERBE, Frédéric MALVILLE, Edwige NOMDEDEU

#### Absents excusés ayant donné pouvoir de vote: \*\*/

Patrick MERCIER pouvoir à Jérôme COSNARD, Jean-Luc LAMAISON pouvoir à Jean-Philippe LE GAL, Gabi HOPER pouvoir à Philippe BUISSON, Sandy CHAUVEAU pouvoir à Laurence ROUEDE, Monique JULIEN pouvoir à Denis SIRDEY, Pierre-Jean MARTINET pouvoir à Fabienne KRIER, Alain PAIGNE pouvoir à Gérard MOULINIER, Laura RAMOS pouvoir à Alain JAMBON, Christophe-Luc ROBIN pouvoir à Laurent KERMABON, David RESENDÉ pouvoir à David REDON, Baptiste ROUSSEAU pouvoir à Thierry MARTY

# FINANCES, FISCALITE ET AFFAIRES JURIDIQUES BUDGET PRINCIPAL: DÉCISION MODIFICATIVE N°2 - ANI

Envoyé en préfecture le 30/09/2022 — 2/2

Reçu en préfecture le 30/09/2022

Affiché le 2000

ID: 033-200070092-20220927-2022\_09\_235-BF

Sur proposition de Monsieur Hervé ALLOY, Vice-président en charge des finances, de la fiscalité et des affaires juridiques,

Vu le Code général des collectivités territoriales et notamment l'article L.2312-2,

Vu la délibération n°2022-03-040 en date du 24 mars 2022 approuvant le budget primitif du budget principal de La Cali de l'exercice 2022,

Vu la délibération n°2022-06-182 en date du 29 juin 2022 approuvant la décision modificative n°1 du budget principal de La Cali de l'exercice 2022,

Considérant que dans le cadre de l'exécution de l'exercice en cours, il s'avère nécessaire de procéder à des ajustements des crédits que ce soit dans le cadre d'inscriptions nouvelles ou de modifications comptables par redéploiement de crédits votés,

Vu l'avis du Bureau communautaire en date du 19 septembre 2022,

Vu l'avis de la commission « finances, fiscalité et affaires juridiques » en date du 19 septembre 2022,

Après en avoir délibéré,

Et à l'unanimité (63 conseillers présents ou ayant donné pouvoir),

Le Conseil communautaire décide :

- d'adopter par chapitre la présente décision modificative n°2 au budget principal de La Cali comme suit :

#### BUDGET PRINCIPAL - SECTION DE FONCTIONNEMENT

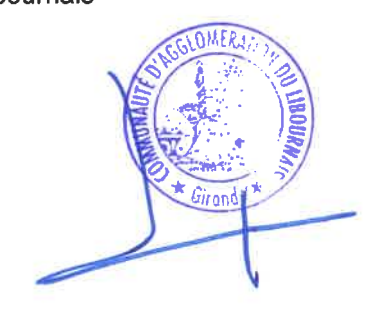
	LES DEPENSES				
Chapitre	libellé	BP 2022 + DM N'1	DM N'2	BP TOTAL 2022	
.011	Charges à caractère général	6 683 726,00	- 20 000,00	6 663 726,00	
.012	Charges de personnel	16 207 894,00		16 207 894,0	
.014	Atténuation de produits	12 095 530,00		12 095 530,00	
65	Autres charges de gestion courante	22 228 278,00		22 228 278,00	
66	Charges financières	221 374,00		221 374,00	
67	Charges exceptionnelles	76 500,00	20 000,00	96 500,00	
.022	Dépenses imprévues	473 697,48		473 697,48	
.023	Virement à la section d'investissement	1 770 000,00		1 770 000,00	
.042	Amortissement	2 578 000,00		2 578 000,00	
		62 334 999,48 €	0,00 €	62 334 999,48 6	

Certifié exécutoire compte tenu de la transmission en Sous-Préfecture et de la publication, mise en ligne sur le site de La Cali le

Fait à Libourne 30 septembre 2022

Le Président informe que la présente délibération peut faire l'objet d'un recours pour excès de pouvoir devant le Tribunal administratif de Bordeaux dans un délai de deux mois à compter de sa publication et de sa réception par le représentant de l'État

Le Président, Philippe BUISSON





# EXTRAIT DU REGISTRE DES DU CONSEIL COMMUI DE LA COMMUNAUTÉ D'AGGLOMÉR

Envoyé en préfecture le 30/09/2022 Reçu en préfecture le 30/09/2022 Affiché le

ID: 033-200070092-20220927-2022\_09\_236-BF

# **SÉANCE DU 27 SEPTEMBRE 2022**

2022-09-236 - 1/3

Nombre de conseillers composant le Conseil Communautaire : 78 Nombre de conseillers communautaires en exercice : 77

Date de convocation: 21/09/2022

L'an deux mille vingt deux, le vingt sept septembre à 18 H 00, le Conseil communautaire s'est réuni, en la salle Daniel Malville à Vayres (33870), sous la présidence de Monsieur Philippe BUISSON

Présents : 52

Philippe BUISSON, Président, Jacques LEGRAND, Vice-Président, Fabienne FONTENEAU, Vice-présidente, Hervé ALLOY, Vice-président, Jean-Philippe LE GAL, Vice-Président, Laurent DE LAUNAY, Vice-président, Chantal GANTCH, Vice-présidente, Eveline LAVAURE-CARDONA, Vice-présidente, Sébastien LABORDE, Vice-président, Laurent KERMABON, Vice-président, David REDON, Vice-Président, Thierry MARTY, Vice-Président, Stéphanie DUPUY, Vice-présidente, Alain JAMBON, Vice-président, Jean Louis ARCARAZ, Conseiller délégué, Jean-Luc LETERME, Bernard GUILHEM, Conseiller délégué, Brigitte NABET-GIRARD, Conseiller déléguée, Denis SIRDEY, Conseiller délégué, Jean Claude ABANADES, Conseiller délégué, Michel MASSIAS, Conseiller délégué, Jean-Pierre ARNAUD, Armand BATTISTON, Gérard MUSSOT, Joachim BOISARD, Emeline BRISSEAU, Renaud CHALLENGEAS, Marianne CHOLLET, Mireille CONTE-JAUBERT, Jérôme COSNARD, Jean Louis D'ANGLADE, Julie DUMONT, Hélène ESTRADE, Lionel GACHARD, Christophe GALAN, Patrick HUCHET, Patrick JARJANETTE, Fabienne KRIER, Michèle LACOSTE, Bruno LAVIDALIE, Martine LECOULEUX, Jocelyne LEMOINE, Pierre MALVILLE, Gérard MOULINIER, Paquerette PEYRIDIEUX, Laurence ROUEDE, Agnès SEJOURNET, Marie-Claude SOUDRY, Rachel VAUNA, Josette TRAVAILLOT, Jean-Philippe VIRONNEAU, Michel VACHER

#### Absents: 14

Michel MILLAIRE, Bernard BACCI, Jean-Luc BARBEYRON, Marie-Sophie BERNADEAU, Didier CAZENAVE, Christophe DARDENNE, Philippe DURAND-TEYSSIER, Christophe GIGOT, Philippe GIRARD, Marie-Noëlle LAVIE, Odile LUMINO, Gonzague MALHERBE, Frédéric MALVILLE, Edwige NOMDEDEU

#### Absents excusés ayant donné pouvoir de vote: 🗚

Patrick MERCIER pouvoir à Jérôme COSNARD, Jean-Luc LAMAISON pouvoir à Jean-Philippe LE GAL, Gabi HOPER pouvoir à Philippe BUISSON, Sandy CHAUVEAU pouvoir à Laurence ROUEDE, Monique JULIEN pouvoir à Denis SIRDEY, Pierre-Jean MARTINET pouvoir à Fabienne KRIER, Alain PAIGNE pouvoir à Gérard MOULINIER, Laura RAMOS pouvoir à Alain JAMBON, Christophe-Luc ROBIN pouvoir à Laurent KERMABON, David RESENDÉ pouvoir à David REDON, Baptiste ROUSSEAU pouvoir à Thierry MARTY

# FINANCES, FISCALITE ET AFFAIRES JURIDIQUES BUDGET ANNEXE GEMAPI : DÉCISION MODIFICATIVE N'

Envoyé en préfecture le 30/09/2022 2/3
Reçu en préfecture le 30/09/2022

Affiché le LEE 1D: 033-200070092-20220927-2022\_09\_236-BF

Sur proposition de Monsieur Hervé ALLOY, Vice-président en charge des finances, de la fiscalité et des affaires juridiques,

Vu le Code général des collectivités territoriales et notamment l'article L.2312-2,

Vu la délibération n°2022-03-049 en date du 24 mars 2022 approuvant le budget primitif du budget annexe GEMAPI de l'exercice 2022,

Vu la délibération n°2022-05-105 en date du 10 mai 2022 approuvant la décision modificative n°1 du budget annexe GEMAPI de l'exercice 2022,

Considérant que dans le cadre de l'exécution de l'exercice en cours, il s'avère nécessaire de procéder à des ajustements des crédits que ce soit dans le cadre d'inscriptions nouvelles ou de modifications comptables par redéploiement de crédits votés,

Vu l'avis du Bureau communautaire en date du 19 septembre 2022,

Vu l'avis de la commission « finances, fiscalité et affaires juridiques » en date du 19 septembre 2022,

Après en avoir délibéré,

Et à l'unanimité (63 conseillers présents ou ayant donné pouvoir),

Le Conseil communautaire décide :

- d'adopter par chapitre la présente décision modificative n°2 au budget annexe GEMAPI comme suit :

#### **BUDGET ANNEXE GEMAPI - SECTION DE FONCTIONNEMENT**

-	LES DEPENSES				
Chapitre	libellé	BP 2022 + DM N°1	DM N°2	BP TOTAL 2022	
.011	Charges à caractère général	1 500,00 €	10 300,00 €	11 800,00 €	
.012	Charges de personnel	88 000,00 €		88 000,00 €	
.014	Atténuation de produits	0,00€	8 000,00 €	8 000,00 €	
65	Autres charges de gestion courante	440 000,00 €		440 000,00 €	
67	Charges exceptionnelles	500,00 €		500,00 €	
	Th.	530 000,00 €	18 300,00 €	548 300,00 €	

	LES RECETTES				
Chapitre	libellé	BP 2022 + DM N°1	DM N°2	BP TOTAL 2022	
73	Produits issus de la fiscalité	530 000,00 €		530 000,00 €	
74	Subventions d'exploitation	0,00 €	18 300,00 €	18 300,00 €	
		530 000,00 €	18 300,00 €	548 300,00 €	

Envoyé en préfecture le 30/09/2022

Reçu en préfecture le 30/09/2022

Affiché le

SLOW

# BUDGET ANNEXE GEMAPI - SECTION D'INVESTISSEIVIEI 1

	LES DEPENSES				
Chapitre	libellé	BP 2022 + DM N°1	DM N°2	BP TOTAL 2022	
20	Immobilisations incorporelles	75 000,00 €	130 000,00 €	205 000,00 €	
204	Subventions d'équipement	109 230,00 €		109 230,00 €	
21	Immobilisations corporelles	1 450 000,00 €	-130 000,00 €	1 320 000,00 €	
23	Immobilisations en cours	80 000,00 €		80 000,00 €	
.041	Opérations patrimoniales	50 000,00 €	30 000,00 €	80 000,00 €	
		1 764 230,00 €	30 000,00 €	1 794 230,00 €	

LES RECETTES				
Chapitre	libellé	BP 2022 + DM N°1	DM N°2	BP TOTAL 2022
.10	Dotations et réserves	280 000,00 €		280 000,00 €
.16	Emprunts et dettes	1 434 230,00 €		1 434 230,00 €
.041	Opérations patrimoniales	50 000,00 €	30 000,00 €	80 000,00 €
		1 764 230,00 €	30 000,00 €	1 794 230,00 €

Certifié exécutoire compte tenu de la transmission en Sous-Préfecture et de la publication, mise en ligne sur le site de La Cali le

Fait à Libourne

30 septembre 2022

Le Président informe que la présente délibération peut faire l'objet d'un recours pour excès de pouvoir devant le Tribunal administratif de Bordeaux dans un délai de deux mois à compter de sa publication et de sa réception par le représentant de l'État

Le Président Philippe BUISSON





# EXTRAIT DU REGISTRE DES DU CONSEIL COMMUI DE LA COMMUNAUTÉ D'AGGLOMÉ!

Envoyé en préfecture le 30/09/2022

Reçu en préfecture le 30/09/2022

Affiché le

ID: 033-200070092-20220927-2022\_09\_237-BF

# **SÉANCE DU 27 SEPTEMBRE 2022**

2022-09-237 - 1/3

Nombre de conseillers composant le Conseil Communautaire : 78 Nombre de conseillers communautaires en exercice : 77

Date de convocation: 21/09/2022

L'an deux mille vingt deux, le vingt sept septembre à 18 H 00, le Conseil communautaire s'est réuni, en la salle Daniel Malville à Vayres (33870), sous la présidence de Monsieur Philippe BUISSON

Présents : 52

Philippe BUISSON, Président, Jacques LEGRAND, Vice-Président, Fabienne FONTENEAU, Vice-présidente, Hervé ALLOY, Vice-président, Jean-Philippe LE GAL, Vice-Président, Laurent DE LAUNAY, Vice-président, Chantal GANTCH, Vice-présidente, Eveline LAVAURE-CARDONA, Vice-présidente, Sébastien LABORDE, Vice-président, Laurent KERMABON, Vice-président, David REDON, Vice-Président, Thierry MARTY, Vice-Président, Stéphanie DUPUY, Vice-présidente, Alain JAMBON, Vice-président, Jean Louis ARCARAZ, Conseiller délégué, Jean-Luc LETERME, Bernard GUILHEM, Conseiller délégué, Brigitte NABET-GIRARD, Conseiller déléguée, Denis SIRDEY, Conseiller délégué, Jean Claude ABANADES, Conseiller délégué, Michel MASSIAS, Conseiller délégué, Jean-Pierre ARNAUD, Armand BATTISTON, Gérard MUSSOT, Joachim BOISARD, Emeline BRISSEAU, Renaud CHALLENGEAS, Marianne CHOLLET, Mireille CONTE-JAUBERT, Jérôme COSNARD, Jean Louis D'ANGLADE, Julie DUMONT, Hélène ESTRADE, Lionel GACHARD, Christophe GALAN, Patrick HUCHET, Patrick JARJANETTE, Fabienne KRIER, Michèle LACOSTE, Bruno LAVIDALIE, Martine LECOULEUX, Jocelyne LEMOINE, Pierre MALVILLE, Gérard MOULINIER, Paquerette PEYRIDIEUX, Laurence ROUEDE, Agnès SEJOURNET, Marie-Claude SOUDRY, Rachel VAUNA, Josette TRAVAILLOT, Jean-Philippe VIRONNEAU, Michel VACHER

Absents: 14

Michel MILLAIRE, Bernard BACCI, Jean-Luc BARBEYRON, Marie-Sophie BERNADEAU, Didier CAZENAVE, Christophe DARDENNE, Philippe DURAND-TEYSSIER, Christophe GIGOT, Philippe GIRARD, Marie-Noëlle LAVIE, Odile LUMINO, Gonzague MALHERBE, Frédéric MALVILLE, Edwige NOMDEDEU

#### Absents excusés ayant donné pouvoir de vote: 🚜

Patrick MERCIER pouvoir à Jérôme COSNARD, Jean-Luc LAMAISON pouvoir à Jean-Philippe LE GAL, Gabi HOPER pouvoir à Philippe BUISSON, Sandy CHAUVEAU pouvoir à Laurence ROUEDE, Monique JULIEN pouvoir à Denis SIRDEY, Pierre-Jean MARTINET pouvoir à Fabienne KRIER, Alain PAIGNE pouvoir à Gérard MOULINIER, Laura RAMOS pouvoir à Alain JAMBON, Christophe-Luc ROBIN pouvoir à Laurent KERMABON, David RESENDÉ pouvoir à David REDON, Baptiste ROUSSEAU pouvoir à Thierry MARTY

# FINANCES, FISCALITE ET AFFAIRES JURIDIQUES BUDGET ANNEXE PORT DE LIBOURNE - SAINT EMILION MODIFICATIVE N°2 - ANNÉE 2022

Envoyé en préfecture le 30/09/2022 2/3

Reçu en préfecture le 30/09/2022

Affiché le SID: 033-200070092-20220927-2022\_09\_237-BF

Sur proposition de Monsieur Hervé ALLOY, Vice-président en charge des finances, de la fiscalité et des affaires juridiques,

Vu le Code général des collectivités territoriales et notamment l'article L.2312-2,

Vu la délibération n°2022-03-048 en date du 24 mars 2022 approuvant le budget primitif du budget annexe Port de Libourne-Saint-Emilion de l'exercice 2022,

Vu la délibération n°2022-06-183 en date du 29 juin 2022 approuvant la décision modificative n°1 du budget annexe Port de Libourne-Saint-Emilion de l'exercice 2022,

Considérant que dans le cadre de l'exécution de l'exercice en cours, il s'avère nécessaire de procéder à des ajustements des crédits que ce soit dans le cadre d'inscriptions nouvelles ou de modifications comptables par redéploiement de crédits votés,

Vu l'avis du Bureau communautaire en date du 19 septembre 2022,

Vu l'avis de la commission « finances, fiscalité et affaires juridiques » en date du 19 septembre 2022,

Après en avoir délibéré,

Et à l'unanimité (63 conseillers présents ou ayant donné pouvoir),

Le Conseil communautaire décide :

- d'adopter par chapitre la présente décision modificative n°2 au budget annexe Port de Libourne-Saint-Emilion comme suit

# BUDGET ANNEXE PORT DE LIBOURNE-SAINT EMILION SECTION D'EXPLOITATION

LES DEPENSES					
Chapitre	libellé	BP 2022+ DM N°1	DM N°2	BP TOTAL 2022	
.011	Charges à caractère général	111 603,00 €	-40 000,00 €	71 603,00 €	
.012	Charges de personnel	99 137,00 €		99 137,00 €	
65	Autres charges de gestion courante	100,00 €		100,00 €	
66	Charges financières	20 860,00 €		20 860,00 €	
67	Charges exceptionnelles	300,00 €	10 000,00 €	10 300,00 €	
.023	Virement à la section d'investissement	0,00€	30 000,00 €	30 000,00 €	
.042	Amortissement	150 000,00 €		150 000,00 €	
		382 000,00 €	0,00 €	382 000,00	

LES RECETTES					
Chapitre	libellé	BP 2022+ DM N°1	DM N°2	BP TOTAL 2022	
70	Produits des services	197 566,45 €		197 566,45 €	
74	Subventions d'exploitation	67 000,00 €		67 000,00 €	
75	Autres produits de gestion courante	16 400,00 €		16 400,00 €	
.042	Amortissements subvention	61 600,00 €		61 600,00 €	
.002	Excédent reporté	39 433,55 €		39 433,55 €	
	л	382 000,00 €	0,00 €	382 000,00 €	

SLOW

ID: 033-200070092-20220927-2022\_09\_237-BF

# BUDGET ANNEXE PORT DE LIBOURNE-SAINT EMILION SECTION D'INVESTISSEMENT

LES DEPENSES				
Chapitre	libellé	BP 2022+ DM N°1	DM N°2	BP TOTAL 2022
16	Emprunts	103 500,00 €		103 500,00 €
20	Immobilisations incorporelles	50 000,00 €		50 000,00 €
21	Immobilisations corporelles	57 200,00 €	30 000,00 €	87 200,00 €
.040	Opération d'ordre transfert	61 600,00 €		61 600,00 €
.041	Opérations patrimoniales	35 000,00 €		35 000,00 €
	Reports	152,00 €		152,00€
		307 452,00 €	30 000,00 €	337 452,00 €

LES RECETTES				
Chapitre	libellé	BP 2022+ DM N°1	DM N°2	BP TOTAL 2022
16	Emprunts et dettes assimilés	95 740,07 €		95 740,07 €
.040	Amortissement	150 000,00 €		150 000,00 €
.021	Virement de la section de fonctionnement	0,00 €	30 000,00 €	30 000,00 €
.041	Opérations patrimoniales	35 000,00 €		35 000,00 €
.001	Excédent reporté	26 711,93 €		26 711,93 €
		307 452,00 €	30 000,00 €	337 452,00 €

Certifié exécutoire compte tenu de la transmission en Sous-Préfecture et de la publication, mise en ligne sur le site de La Cali le

Fait à Libourne 30 septembre 2022

Le Président informe que la présente délibération peut faire l'objet d'un recours pour excès de pouvoir devant le Tribunal administratif de Bordeaux dans un délai de deux mois à compter de sa publication et de sa réception par le représentant de l'État

Le Président, Philippe BUISSON



# EXTRAIT DU REGISTRE DES DU CONSEIL COMMUI DE LA COMMUNAUTÉ D'AGGLOMÉR

Envoyé en préfecture le 30/09/2022

Reçu en préfecture le 30/09/2022

Affiché le

ID: 033-200070092-20220927-2022\_09\_238-BF

# **SÉANCE DU 27 SEPTEMBRE 2022**

2022-09-238 - 1/3

Nombre de conseillers composant le Conseil Communautaire : 78 Nombre de conseillers communautaires en exercice : 77

Date de convocation: 21/09/2022

L'an deux mille vingt deux, le vingt sept septembre à 18 H 00, le Conseil communautaire s'est réuni, en la salle Daniel Malville à Vayres (33870), sous la présidence de Monsieur Philippe BUISSON

Présents : 52

Philippe BUISSON, Président, Jacques LEGRAND, Vice-Président, Fabienne FONTENEAU, Vice-présidente, Hervé ALLOY, Vice-président, Jean-Philippe LE GAL, Vice-Président, Laurent DE LAUNAY, Vice-président, Chantal GANTCH, Vice-présidente, Eveline LAVAURE-CARDONA, Vice-présidente, Sébastien LABORDE, Vice-président, Laurent KERMABON, Vice-président, David REDON, Vice-Président, Thierry MARTY, Vice-Président, Stéphanie DUPUY, Vice-présidente, Alain JAMBON, Vice-président, Jean Louis ARCARAZ, Conseiller délégué, Jean-Luc LETERME, Bernard GUILHEM, Conseiller délégué, Brigitte NABET-GIRARD, Conseiller déléguée, Denis SIRDEY, Conseiller délégué, Jean Claude ABANADES, Conseiller délégué, Michel MASSIAS, Conseiller délégué, Jean-Pierre ARNAUD, Armand BATTISTON, Gérard MUSSOT, Joachim BOISARD, Emeline BRISSEAU, Renaud CHALLENGEAS, Marianne CHOLLET, Mireille CONTE-JAUBERT, Jérôme COSNARD, Jean Louis D'ANGLADE, Julie DUMONT, Hélène ESTRADE, Lionel GACHARD, Christophe GALAN, Patrick HUCHET, Patrick JARJANETTE, Fabienne KRIER, Michèle LACOSTE, Bruno LAVIDALIE, Martine LECOULEUX, Jocelyne LEMOINE, Pierre MALVILLE, Gérard MOULINIER, Paquerette PEYRIDIEUX, Laurence ROUEDE, Agnès SEJOURNET, Marie-Claude SOUDRY, Rachel VAUNA, Josette TRAVAILLOT, Jean-Philippe VIRONNEAU, Michel VACHER

#### Absents: 14

Michel MILLAIRE, Bernard BACCI, Jean-Luc BARBEYRON, Marie-Sophie BERNADEAU, Didier CAZENAVE, Christophe DARDENNE, Philippe DURAND-TEYSSIER, Christophe GIGOT, Philippe GIRARD, Marie-Noëlle LAVIE, Odile LUMINO, Gonzague MALHERBE, Frédéric MALVILLE, Edwige NOMDEDEU

#### Absents excusés ayant donné pouvoir de vote: 🔏

Patrick MERCIER pouvoir à Jérôme COSNARD, Jean-Luc LAMAISON pouvoir à Jean-Philippe LE GAL, Gabi HOPER pouvoir à Philippe BUISSON, Sandy CHAUVEAU pouvoir à Laurence ROUEDE, Monique JULIEN pouvoir à Denis SIRDEY, Pierre-Jean MARTINET pouvoir à Fabienne KRIER, Alain PAIGNE pouvoir à Gérard MOULINIER, Laura RAMOS pouvoir à Alain JAMBON, Christophe-Luc ROBIN pouvoir à Laurent KERMABON, David RESENDÉ pouvoir à David REDON, Baptiste ROUSSEAU pouvoir à Thierry MARTY

# FINANCES, FISCALITE ET AFFAIRES JURIDIQUES BUDGET ANNEXE EAU POTABLE LIBOURNE : DÉCISION ANNÉE 2022

Envoyé en préfecture le 30/09/2022 2/3

Reçu en préfecture le 30/09/2022

Affiché le CATIVE NO 2

ID : 033-200070092-20220927-2022\_09\_238-BF

Sur proposition de Monsieur Hervé ALLOY, Vice-président en charge des finances, de la fiscalité et des affaires juridiques,

Vu le Code général des collectivités territoriales et notamment l'article L.2312-2,

Vu la délibération n°2022-03-050 en date du 24 mars 2022 approuvant le budget primitif du budget annexe Eau Libourne de l'exercice 2022,

Vu la délibération n°2022-06-184 en date du 29 juin 2022 approuvant la décision modificative n°1 du budget annexe Eau Libourne de l'exercice 2022,

Considérant que dans le cadre de l'exécution de l'exercice en cours, il s'avère nécessaire de procéder à des ajustements des crédits que ce soit dans le cadre d'inscriptions nouvelles ou de modifications comptables par redéploiement de crédits votés,

Vu l'avis du Bureau communautaire en date du 19 septembre 2022,

Vu l'avis de la commission « finances, fiscalité et affaires juridiques » en date du 19 septembre 2022,

Après en avoir délibéré,

Et à l'unanimité (63 conseillers présents ou ayant donné pouvoir),

Le Conseil communautaire décide :

- d'adopter par chapitre la présente décision modificative n°2 au budget annexe Eau Libourne comme suit :

#### **BUDGET ANNEXE EAU LIBOURNE- SECTION D'EXPLOITATION**

	LES DEPENSES				
Chapitre	libellé	BP 2022 + DM N°1	DM N°2	BP TOTAL 2022	
.011	Charges à caractère général	47 700,00 €	-441,00 €	47 259,00 €	
.012	Charges de personnel	52 231,00 €		52 231,00 €	
66	Charges financières	43 470,00 €	3 500,00 €	46 970,00 €	
.022	Dépenses imprévues	3 059,00 €	-3 059,00 €	0,00€	
.042	Amortissement	213 100,00 €		213 100,00 €	
		359 560,00 €	0,00 €	359 560,00 €	

LES RECETTES				
Chapitre	libellé	BP 2022 + DM N°1	DM N°2	BP TOTAL 2022
70	Produits des services	300 000,00 €		300 000,00 €
75	Autres produits de gestion courante	26 999,66 €		26 999,66 €
.042	Amortissements subvention	6 100,00 €		6 100,00 €
.002	Excédent reporté	26 460,34 €		26 460,34 €
		359 560,00 €	0,00 €	359 560,00 €

ID: 033-200070092-20220927-2022\_09\_238-BF

- 3/3

Affiché le

SLOW

#### **BUDGET ANNEXE EAU LIBOURNE - SECTION D'INVESTISSEMENT**

	LES DE	PENSES		
Chapitre	libellé	BP 2022 + DM N°1	DM N°2	BP TOTAL 2022
16	Emprunts	160 050,90 €	6 500,00 €	166 550,90 €
23	Immobilisations en cours	2 072 000,00 €	-6 500,00 €	2 065 500,00 €
4581	Opérations pour compte de tiers	385 000,00 €		385 000,00 €
.040	Opération d'ordre transfert	6 100,00 €		6 100,00 \$
.041	Opérations patrimoniales	100 000,00 €		100 000,00 €
.001	Déficit reporté	581 395,16 €		581 395,16 €
	Reports	148 453,94 €		148 453,94 €
		3 453 000,00 €	0,00 €	3 453 000,00 €

	LES RI	CETTES		
Chapitre	libellé	BP 2022 + DM N°1	DM N°2	BP TOTAL 2022
10	Dotations et réserves	580 849,10 €		580 849,10 €
13	Subventions	558 285,00 €		558 285,00 €
16	Emprunts et dettes assimilés	1 081 765,90 €		1 081 765,90 €
21	Immobilisations corporelles	385 000,00 €		385 000,00 €
4582	Opérations pour compte de tiers	385 000,00 €		385 000,00 €
.040	Amortissement	213 100,00 €		213 100,00 €
.041	Opérations patrimoniales	100 000,00 €		100 000,00 €
	Reports	149 000,00 €		149 000,00 €
		3 453 000,00 €	0,00 €	3 453 000,00 €

Certifié exécutoire compte tenu de la transmission en Sous-Préfecture et de la publication, mise en ligne sur le site de La Cali le

30 septembre 2022

Fait à Libourne

Le Président informe que la présente délibération peut faire l'objet d'un recours pour excès de pouvoir devant le Tribunal administratif de Bordeaux dans un délai de deux mois à compter de sa publication et de sa réception par le représentant de l'État

Le Président, Philippe BUISSON



# EXTRAIT DU REGISTRE DES DU CONSEIL COMMUI DE LA COMMUNAUTÉ D'AGGLOMÉ

Envoyé en préfecture le 30/09/2022 Reçu en préfecture le 30/09/2022 Affiché le

ID: 033-200070092-20220927-2022\_09\_239-BF

# **SÉANCE DU 27 SEPTEMBRE 2022**

2022-09-239 - 1/3

Nombre de conseillers composant le Conseil Communautaire : 78 Nombre de conseillers communautaires en exercice : 77

Date de convocation: 21/09/2022

L'an deux mille vingt deux, le vingt sept septembre à 18 H 00, le Conseil communautaire s'est réuni, en la salle Daniel Malville à Vayres (33870), sous la présidence de Monsieur Philippe BUISSON

Présents : 52

Philippe BUISSON, Président, Jacques LEGRAND, Vice-Président, Fabienne FONTENEAU, Vice-présidente, Hervé ALLOY, Vice-président, Jean-Philippe LE GAL, Vice-Président, Laurent DE LAUNAY, Vice-président, Chantal GANTCH, Vice-présidente, Eveline LAVAURE-CARDONA, Vice-présidente, Sébastien LABORDE, Vice-président, Laurent KERMABON, Vice-président, David REDON, Vice-Président, Thierry MARTY, Vice-Président, Stéphanie DUPUY, Vice-présidente, Alain JAMBON, Vice-président, Jean Louis ARCARAZ, Conseiller délégué, Jean-Luc LETERME, Bernard GUILHEM, Conseiller délégué, Brigitte NABET-GIRARD, Conseiller déléguée, Denis SIRDEY, Conseiller délégué, Jean Claude ABANADES, Conseiller délégué, Michel MASSIAS, Conseiller délégué, Jean-Pierre ARNAUD, Armand BATTISTON, Gérard MUSSOT, Joachim BOISARD, Emeline BRISSEAU, Renaud CHALLENGEAS, Marianne CHOLLET, Mireille CONTE-JAUBERT, Jérôme COSNARD, Jean Louis D'ANGLADE, Julie DUMONT, Hélène ESTRADE, Lionel GACHARD, Christophe GALAN, Patrick HUCHET, Patrick JARJANETTE, Fabienne KRIER, Michèle LACOSTE, Bruno LAVIDALIE, Martine LECOULEUX, Jocelyne LEMOINE, Pierre MALVILLE, Gérard MOULINIER, Paquerette PEYRIDIEUX, Laurence ROUEDE, Agnès SEJOURNET, Marie-Claude SOUDRY, Rachel VAUNA, Josette TRAVAILLOT, Jean-Philippe VIRONNEAU, Michel VACHER

#### Absents: 14

Michel MILLAIRE, Bernard BACCI, Jean-Luc BARBEYRON, Marie-Sophie BERNADEAU, Didier CAZENAVE, Christophe DARDENNE, Philippe DURAND-TEYSSIER, Christophe GIGOT, Philippe GIRARD, Marie-Noëlle LAVIE, Odile LUMINO, Gonzague MALHERBE, Frédéric MALVILLE, Edwige NOMDEDEU

#### Absents excusés ayant donné pouvoir de vote: 🚜

Patrick MERCIER pouvoir à Jérôme COSNARD, Jean-Luc LAMAISON pouvoir à Jean-Philippe LE GAL, Gabi HOPER pouvoir à Philippe BUISSON, Sandy CHAUVEAU pouvoir à Laurence ROUEDE, Monique JULIEN pouvoir à Denis SIRDEY, Pierre-Jean MARTINET pouvoir à Fabienne KRIER, Alain PAIGNE pouvoir à Gérard MOULINIER, Laura RAMOS pouvoir à Alain JAMBON, Christophe-Luc ROBIN pouvoir à Laurent KERMABON, David RESENDÉ pouvoir à David REDON, Baptiste ROUSSEAU pouvoir à Thierry MARTY

# FINANCES, FISCALITE ET AFFAIRES JURIDIQUES BUDGET ANNEXE ASSAINISSEMENT COLLECTIF LIBOUR MODIFICATIVE N°1 - ANNÉE 2022

Envoyé en préfecture le 30/09/2022 2/3

Reçu en préfecture le 30/09/2022

Affiché le CISION

ID: 033-200070092-20220927-2022\_09\_239-BF

Sur proposition de Monsieur Hervé ALLOY, Vice-président en charge des finances, de la fiscalité et des affaires juridiques,

Vu le Code général des collectivités territoriales et notamment l'article L.2312-2,

Vu la délibération n°2022-03-052 en date du 24 mars 2022 approuvant le budget primitif du budget annexe Assainissement Collectif de La Cali – Libourne de l'exercice 2022,

Considérant que dans le cadre de l'exécution de l'exercice en cours, il s'avère nécessaire de procéder à des ajustements des crédits que ce soit dans le cadre d'inscriptions nouvelles ou de modifications comptables par redéploiement de crédits votés,

Vu l'avis du Bureau communautaire en date du 19 septembre 2022,

Vu l'avis de la commission « finances, fiscalité et affaires juridiques » en date du 19 septembre 2022,

Après en avoir délibéré,

Et à l'unanimité (63 conseillers présents ou ayant donné pouvoir),

Le Conseil communautaire décide :

- d'adopter par chapitre la présente décision modificative n°1 au budget annexe assainissement collectif Libourne comme suit :

#### **BUDGET ANNEXE ASSAINISSEMENT LIBOURNE- SECTION D'EXPLOITATION**

	LES DE	PENSES	112	
Chapitre	libellé	BP 2022	DM N°1	BP TOTAL 2022
.011	Charges à caractère général	107 380,00 €	39 640,00 €	147 020,00 €
.012	Charges de personnel	296 579,00€		296 579,00 €
65	Autres charges de gestion courante	100,00€		100,00€
66	Charges financières	474 810,00 €	21 200,00 €	496 010,00 €
67	Charges exceptionnelles	27 500,00 €	270 000,00 €	297 500,00 €
.022	Dépenses imprévues	60 840,00 €	-60 840,00 €	0,00 €
.023	Virement à la section d'investissement	2 258 001,00 €	-270 000,00 €	1 988 001,00 €
.042	Amortissement	842 000,00 €		842 000,00 €
		4 067 210,00 €	0,00€	4 067 210,00 €

	LES	RECETTES		
Chapitre	fibellé	BP 2022	DM Nº1	BP TOTAL 2022
70	Produits des services	3 349 793,91 €		3 349 793,91€
75	Autres produits de gestion courante	52 000,00 €		52 000,00 €
77	Produits exceptionnels	0,00€		0,00€
.042	Amortissement	129 000,00 €		129 000,00 €
.002	Excédent reporté	536 416,09 €		536 416,09 €
		4 067 210,00 €	0,00€	4 067 210,00 €

ID: 033-200070092-20220927-2022\_09\_239-BF

Affiché le

360~

#### **BUDGET ANNEXE ASSAINISSEMENT LIBOURNE - SECTION D'INVESTISSEMENT**

	LE	S DEPENSES		
Chapitre	libellé	BP 2022	DM N°1	BP TOTAL 2022
20	Immobilisations incorporelles	110 000,00 €		110 000,00 €
21	Immobilisations corporelles	33 998,90 €		33 998,90 €
23	Immobilisations en cours	12 135 022,00 €		12 135 022,00 €
16	Emprunts	1 000 000,00 €	5 000,00 €	1 005 000,00 €
4581	Opérations pour compte de tiers	260 000,00 €		260 000,00 €
.020	Dépenses imprévues	0,00€		0,00 €
.040	Amortissement	129 000,00 €		129 000,00 €
.041	Opérations patrimoniales	500 000,00 €		500 000,00 €
.001	Déficit reporté	1 491 281,56 €		1 491 281,56 €
	Repo	orts 25 527,54 €		25 527,54 €
		15 684 830,00 €	5 000,00 €	15 689 830,00 €

	LES RE	CETTES		
Chapitre	libellé	BP 2022	DM N°1	BP TOTAL 2022
10	Dotations et réserves	1 280 809,10 €		1 280 809,10 €
13	Subventions	2 611 944,00 €		2 611 944,00 €
16	Emprunts et dettes assimilés	7 696 075,90 €	275 000,00€	7 971 075,90 €
4582	Opérations pour compte de tiers	260 000,00 €		260 000,00 €
.021	Virement de la section de fonctionnement	2 258 001,00 €	-270 000,00€	1 988 001,00 €
.040	Amortissement	842 000,00 €		842 000,00 €
.041	Opérations patrimoniales	500 000,00€		500 000,00 €
	Reports	236 000,00 €		236 000,00 €
		15 684 830,00 €	5 000,00 €	15 689 830,00 €

Certifié exécutoire compte tenu de la transmission en Sous-Préfecture et de la publication, mise en ligne sur le site de La Cali le

30 septembre 2022

Fait à Libourne

Le Président informe que la présente délibération peut faire l'objet d'un recours pour excès de pouvoir devant le tribunal administratif de Bordeaux dans un délai de deux mois à compter de sa publication et de sa réception par le représentant de l'État

Le Président, Philippe BUISSON



### EXTRAIT DU REGISTRE DES | Envoyé en préfecture le 30/09/2022 DU CONSEIL COMMUN Reçu en préfecture le 30/09/2022 DE LA COMMUNAUTÉ D'AGGLOMÉR

Affiché le DU LIBOURIA

ID: 033-200070092-20220927-2022\_09\_240-DE

# **SÉANCE DU 27 SEPTEMBRE 2022**

2022-09-240 - 1/2

Nombre de conseillers composant le Conseil Communautaire : 78

Nombre de conseillers communautaires en exercice : 77

Date de convocation: 21/09/2022

L'an deux mille vingt deux, le vingt sept septembre à 18 H 00, le Conseil communautaire s'est réuni, en la salle Daniel Malville à Vayres (33870), sous la présidence de Monsieur Philippe BUISSON

Présents : 52

Philippe BUISSON, Président, Jacques LEGRAND, Vice-Président, Fabienne FONTENEAU, Viceprésidente, Hervé ALLOY, Vice-président, Jean-Philippe LE GAL, Vice-Président, Laurent DE LAUNAY. Vice-président, Chantal GANTCH, Vice-présidente, Eveline LAVAURE-CARDONA, Vice-présidente, Sébastien LABORDE, Vice-président, Laurent KERMABON, Vice-président, David REDON, Vice-Président, Thierry MARTY, Vice-Président, Stéphanie DUPUY, Vice-présidente, Alain JAMBON, Viceprésident, Jean Louis ARCARAZ, Conseiller déléqué, Jean-Luc LETERME, Bernard GUILHEM, Conseiller délégué, Brigitte NABET-GIRARD, Conseillère déléguée, Denis SIRDEY, Conseiller délégué, Jean Claude ABANADES, Conseiller délégué, Michel MASSIAS, Conseiller délégué, Jean-Pierre ARNAUD, Armand BATTISTON, Gérard MUSSOT, Joachim BOISARD, Emeline BRISSEAU, Renaud CHALLENGEAS. Marianne CHOLLET, Mireille CONTE-JAUBERT, Jérôme COSNARD, Jean Louis D'ANGLADE, Julie DUMONT, Hélène ESTRADE, Lionel GACHARD, Christophe GALAN, Patrick HUCHET, Patrick JARJANETTE, Fabienne KRIER, Michèle LACOSTE, Bruno LAVIDALIE, Martine LECOULEUX, Jocelyne LEMOINE, Pierre MALVILLE, Gérard MOULINIER, Paquerette PEYRIDIEUX, Laurence ROUEDE, Agnès SEJOURNET, Marie-Claude SOUDRY, Rachel VAUNA, Josette TRAVAILLOT, Jean-Philippe VIRONNEAU, Michel VACHER

Absents : 14

Michel MILLAIRE, Bernard BACCI, Jean-Luc BARBEYRON, Marie-Sophie BERNADEAU, Didier CAZENAVE, Christophe DARDENNE, Philippe DURAND-TEYSSIER, Christophe GIGOT, Philippe GIRARD, Marie-Noëlle LAVIE, Odile LUMINO, Gonzague MALHERBE, Frédéric MALVILLE, Edwige NOMDEDEU

#### Absents excusés ayant donné pouvoir de vote: AA

Patrick MERCIER pouvoir à Jérôme COSNARD, Jean-Luc LAMAISON pouvoir à Jean-Philippe LE GAL. Gabi HOPER pouvoir à Philippe BUISSON, Sandy CHAUVEAU pouvoir à Laurence ROUEDE, Monique JULIEN pouvoir à Denis SIRDEY, Pierre-Jean MARTINET pouvoir à Fabienne KRIER, Alain PAIGNE pouvoir à Gérard MOULINIER, Laura RAMOS pouvoir à Alain JAMBON, Christophe-Luc ROBIN pouvoir à Laurent KERMABON, David RESENDÉ pouvoir à David REDON, Baptiste ROUSSEAU pouvoir à Thierry **MARTY** 

Madame Fabienne FONTENEAU a été nommée secrétaire de séance

1

# FINANCES, FISCALITE ET AFFAIRES JURIDIQUES FIXATION DU TAUX DE LA TAXE SUR LES FRICHES COM LOCAUX VACANTS - ANNÉE 2022

Envoyé en préfecture le 30/09/2022

Reçu en préfecture le 30/09/2022

Affiché le

ID: 033-200070092-20220927-2022\_09\_240-DE

Sur proposition de Monsieur Hervé ALLOY, Vice-président en charge des finances, de la fiscalité et des affaires juridiques,

Vu le Code général des collectivités territoriales,

Vu les articles 1530 et 1639 A bis du Code général des impôts,

Considérant que La Cali a institué par délibération n°2017.09.261 en date du 25 septembre 2017 la taxe sur les friches commerciales,

Considérant que cette taxe est calculée à partir du revenu cadastral de local commercial, lequel est multiplié par un taux, 10 % la première année, 15 % la deuxième année, 20 % à compter de la troisième année.

Considérant que ce taux peut être majoré dans la limite du double,

Considérant que les locaux vacants indépendamment de la volonté du propriétaire sont exonérés de la taxe annuelle sur les locaux commerciaux.

Vu l'avis du Bureau communautaire en date du 19 septembre 2022, Vu l'avis de la commission « finances et fiscalité » en date du 19 septembre 2022,

Après en avoir délibéré,

Et à l'unanimité (63 conseillers présents ou ayant donné pouvoir),

Le Conseil communautaire décide :

- de fixer les taux de la taxe annuelle sur les friches commerciales tels qu'ils suivent :
- 20 % la première année
- 30 % la deuxième année
- 40 % à compter de la troisième année
- de valider l'envoi de la liste des locaux commerciaux à la direction régionale des finances publiques pour taxer les locaux commerciaux vacants depuis plus de 2 ans à la taxe annuelle sur les friches commerciales.
- de notifier cette décision aux services préfectoraux.

Certifié exécutoire compte tenu de la transmission en Sous-Préfecture et de la publication, mise en ligne sur le site de La Cali le

30 septembre 2022
Fait à Libourne

Le Président informe que la présente délibération peut faire l'objet d'un recours pour excès de pouvoir devant le Tribunal administratif de Bordeaux dans un délai de deux mois à compter de sa publication et de sa réception par le représentant de l'État

Le Président, Philippe BUIS ON

																																																				ID:	:hé le 033-20	000700	092-20	22092	7-2022	2 09 2	40-DF
22	121	राष्ट्रा	2 2	राष्ट्रा	212	1212	राष्ट्रा	2/2	121	2 2	31212	2121	212	2121	22	राष्ट्रा	2 2	1215	212	121	श्राष्ट	2 2	राष्ट	2/2		20 2		212	2 2	121	212	1212	राष्ट्रा	212	राष्ट्रा	2 2	22	3121	20	1212	श्राह्य	22	राष्ट्रा	श्राष्ट्र	212	1212	राष्ट्रा	20	1212	3121	20	121	וטונ	2/2	1212	31201	2 2	     	1
)21	)21	22   22	)21	21   22	)21	21	21   22	)21	21	22   22	21 21	21   22	)21	22   22	)21	21	)21	21	21   22	)21		)21		)21		)21	21	2   2	)21	21	21   22	)21	2   22	21	[2]	)21	)21	1 21	21	21	2   22	21			)21	)21	21	)21	21	2   2	21	021	021	21	21	2   22	)21	21	
8 2	ZP	72 0	모 A	2 00	B 72	2 2	10	Ф 0	0	<u> </u>	700	20	ω (	- n	0 2	3 ≥	본 본	77 2	A A	₽	D D	₽ B	S &	AB B	à A	AB LB		7B	ZA		A A	A B	à B	A A	B	A A	B b	ZS	ZE YA	四月	<u> </u>	무돈		四四	B B	四 四	<u> </u>	무 모	B B	PM ZP	B B	BM	四四	₽ P	= 5	7 B	ZA	ZV	1
						3/2											_ _		Ĭ												_																_		-	1	_   _								
4 00	UT	J (Л	2 2	4 (	7 12	20	η ω		. UI	v c	) (J) (J	л (л	 		00 (0		ω 7	(m) (	7 P	<u> </u>	2 2	ω r	2 12	12	) <u> </u>	6 F	4	0 12	<u>i</u> ) υ	U (5) (	J 12	ωυ	лω	σ v	1 (51	2 4	ωĸ	4 (	4 12		D 1-1	2 2	2 2 1	y 00	2 2		w L	ω <b>9</b>	2	2 0	4 1	ω	0 5	2 3	4 4	2   2	9 1		3
80	542	3 5	77	8 3	32	9	[75]	060	3 95	8	518	17	880	694	49	9 6	45	32	6 6	110	640	9	2 3	25	147	39	403	2 2	33 5	516	87	385		4 8	78	46	67	15	61	084	086	75	5 8 8	ž   <sup>22</sup>	82	.082		93	44		42		7   3	34	71	163	16	59	
9 +	5	n (u	ω ,	1 <u>1-</u>	9 8	2 +	1 2	ωµ	1   1	υ 4	л (д (	0 0	2 +	- G	<b>σ</b> +	1 2	44	ω.	7 1	<u> </u>	4 4	2 4	о н <u>э</u>	2 -	, h-7	2 6	170	Ţω	4 4	12	_ ω	H 0	0 2	2 4	4 (	2 1	7 2	و د	9 4	121	1 2	1-2   L-1	<u>,                                    </u>	- W	2 1	2 2	اجا د	ω <u>μ</u>	2,2	2 2	<u> </u>	 	1	<u> </u>	· [ -	<u> </u>	_ ω	F   Ω   Z	-
<sup>u</sup>	65	2 41	23	4	∞	16	3	1 34	;	6	5001	2 2	'	7 8	2 %		476 474	8	000	00   1	- ا	07	9	6	10	`	7	٥١٥	5 `	1719	2 2	64	10	ω	409	73 67	°	013	1 8	47	<sup>2</sup>  5	0 0		»  <sup>-</sup>	31	49	3 8	9 6	[ <del>6</del> ]	<sup>1</sup>   9	∞		° 19	2 2	509			31	
	+	+	+	В	В	H	+	D	+	-	-	+	₩	+		+	+	H	+		+				+		+ 1	D B	D	++	-	0	0	-	B			+	+	+			+		+	$\vdash$	+	+	$\vdash$	+	+	++	+	-		+	+	1 2	1
	П																									-																																	
₽ Ą	S S	≥ 5	2 2	킬리	≥ 등	5,	기질	몽도	<u> </u>	2 7		图 图	골	B BA	곡도	,   	چَاچَ	BE :	피크	쾰	필 골	₽ }	2 2	9 2	9	2 2	后;	≥ 오	8 5	5 2	쾯듀	P F	티질	<u> </u>	8	티핑	~ 2	<u> </u>	P 2		필공	~ 전	김리	필공	핃핃	P 2	티콘	콘 콘	핃	밀뒳	콘 콘	2 3	밀리	<u>-</u> 5		2 2	P B	Į į	
E JEA		PAPE	PET		. 되 은		PE	BROUARD	A PINIERE	څا≩		- 1 - 1		BARRAIL	Sno	THELIN	텕		취 교					GRA	[ R		BARI		USSE	IAI,		E DE		린분			AN S		E P	E PIE	E PIE	E GA		FUS		E PIE		E VIC			E PE	F		ETII V				POTE	
N A		TER	T CR	SGA	퇽중	ORNADE	BELAIR			A R	SUD		GRA S	<u> </u>	JSSET	<u>{ </u> \	ᇛ					BENERAL	NOTRE	N S		LARY					Z P	IAR G	COULONQUE	COUPONNE	ONQUE	ଜ୍ଞ	ANATOLE France	RGN			지 유	MBE S	VICTOR HUGO		찖굚	PIERRE	밁찖	TOR Z	PIERRE	REA REA	RNEST	VEST	MBE BE	BIG.			T DU MA		
5 5			ROISET		POURC	BASS	=		["]				MDM	<u> </u>			AU PA		LANDOTTE	ΙΝ Ν	7 7		- DAME	RUE	RUE	٦		COUSSI		TE SUD	ESTE	RAFINETTE		2				ASSE	Š N	BRO!		뒫		텕	BROSS	BROS		HUG Y	BROSSOLE1					NAC			Ξls	NORD	
ES R	3 ¥	1		ʹʹʹͿ;;;Ϳ	AU B	SE			H	ହା		- 1 1	MOINE	<b>-</b> -			PATURAGE		ĬĬ			RG	≜					- I₩					ĮĘ	R			ance		ź	SSOL	10SS			5	205 205 205 205			õ	SS   S		ROSSOLI	LALANNE							
SSOC										AND N						- 10						GAULI						A																			BROSSOLETTE			<u> </u>						TEXIER			
335	332	332	332	3350	336	33620	335	335	335	335	33500	335	335	332	332	332	33230	332	334	33450	334	33450	332	33230	332	332	33660	336	336	334	334	33420	33420	33420	33420	334	332	332	332	332	332	332	33230	332	332	33230	332	332: 332:	332	33230	332:	332	3323	3323 3323	335	33230	332	332:	
8 8	3 8	3 8	8		8 8	20 3	3 8	8 8	3 8	8 8		8 8	8 8	3 8	8 8	3 8	ဗဗ	8 8	ឧ		2 2	5  5	5 8	8 8	3 8	8		3 8	6 6		8 8	20	3 8	6		20	8 8		8 8		8 8			5 6	8 8	8 8	5 8	8 8	8	5 8	8 8	8	3 8	8 8		5 8	8 8	ع اقا	
						Н														П							Н																																
	-	= =							- [-]							-  -			5 5		5 E		3 G	G G	) G	G G		ລຸດ	G G		a a	0	a a	<u>ه</u> د	0	വെ		0	0 0		20	0 0			00	0	0	0 0			0 0	00	2 0	0 0	) > )	> >	<b>D D</b>	) 	-
						APOUYADE		ALANDE	ALANDI					AGO	AGO		ଜ୍ଞ	AGOR	NOZ NOZ		NOZI NOZI	NOZ	GUITRES	GUITRE		UTT S	GOURS	GOURS	GOURS	GENISSAC	ENS	GENISSAC	GENISSA	GENISSA:		SPIE	OUTRA		2 2	OUTRAS		OUTRA	OUTRA	OUTRA	OUTRA	OUTRA	OUTRAS	OUTRA	COUTRAS	OUTRA:	OUTRAS			HAM	RVE	BZAC	BZA(	BZAC	I A
RNE		SIS		LLAUX		JYAC	ANDE-I					ANDE-DE-		ORCE			OR CE	옶					ËS		S ES	ES S	اکا	y   y		SAC	SAC	SAC	SAC	SAC	SAC	SAC			RAS RS		RAS   RAS				RAS RS	RAS  8		RAS RS			RAS RS	UTRAS		ADE	RES '			ן`` בּ	. E
					ネă	<u>~</u>  ~	;;					<del>,</del> 0   0	101-	뒤				Н		Н																																							
	=	피미	ᄪ	7			OME	OME			OMER	OME OME	ME S					П		Ш												Н																											
S		오오	_	77	3 3	3 3	-						1	SY	SY	2 2	2 2	3	<u> Σ</u> Σ	5 3	2 2	2 2	3 5	3 4	S	SI N	3	3 3	3 3	3	3 3	3	3 3	3 2	3 8	2 2	S	2 3	3 3		3 3	3 3	3 3	3 3	3 3	3 3	3 3	SC	S	3 8	SS	120	3 8	3 3	M SANTIAGO OTAMEND	3 3	3 3	3 3	
J DMS		ME ME	ME		N N	CHRISTIAN FILLON	B E	읽		SET	SASU SOCIETE DU CHATEAU DE VIAUD	ΈΑC	IAS I						TONY	NATIOCREDIBAIL	SIS SIS			JEAN BOUCHER	J.E.	E SC	1 FLORENT DEVAUD		EAL E	A JEAN-PIERRE PALLARO			뭐낅	STE	SC	SAL			CYR			ME /	MME ANNE FACOUR née COUTURIER	ME	MEN		밁	127	8		N R	SCI		ME O	SAN	REAL		MME SANDRINE ROSETTE	
		AAR!	ARI S			ISTIA		ISTO		BLIE		HAH		ÄT	AT E			EAN-MARC			SISYPHE	IGA S		BO		A LES			FR FR		A I CO	NT		¥ A	SCE	MBR MEA			L LE	NE S	IS CA			NAR!	헬린	IPPE ALBI	릵핅	1 UTR		<u> </u>	DAL			N PA SISEL	TIAG			AND	
								PH C		SSEV				ATIC NTEF		DE MATHELIN	틸	N-MARC FAVERE	CREDI		۳ ۳		SSEN	[달]^	<b>`</b>	A LES VIGNERONS	밁			牊		BEF	S GAL		SID			휘묆	YSTE GN/	AYEI	MASS			E M/	ARC AL			NS M					DAM'OISELLES	E SA	SANTIAGO OTAMENDI		<u> </u>		
		2 2 E E	IE CY			10	PT	DAR		LENI E		DE B		e l			z z	AVE	T   8	ã			Z EN				AUG		OS C	PALL		NAC T				ROBIN			ح اح		Ĩ I ĕi			10 G	₩ F			EDIC	ا الله	ñ	ARIS			NZ ŋ	AM		ğlğ	ROS	
				<del>"</del>	NE AL	- -	1	NAC RE		Sel	ATE							REAU		Н						्र ।		-				QUENTIN BERNAGAUD		EPHAN GEYRE		ĮΞ̈́		-  -			기	nee	née	NN-B	Y né		<u> </u>	≥			1		0,	ée Di	1 - 1	`  <del>`</del>			
	SIGIS	A A	AU n						i	ENO	AU C	$\overline{r} \overline{r} $		NAL NAL	NAL S					П			F PUBLIC FONCIER			DES			[품]					>	<del>(</del>									RUN	କ ପ୍ର		3							DUBET			e SAU	"	
			ée D							2 2	  }							П				}	Ý Į Ę			COTEAUX DE L'I																			Ē										ARRAMEND		J.U.		
	SET		SUO			П				6				AU F	AUF E					П			ER			ξÜ.																🛱													EN		-		
	[문	SAIN	SAIN			Ш								OTA MFF	OT A	-		Н		П			무			DE.														П															$ \mathcal{L} $				
	COMM COMMUNE DES EGLISOTTES ET CHALAURE M	7 7												NDICAT INTERCOMMUNAL EN EAU POTABLE		Ž		Н		Н			NON														П																		Ш				
D D	2 3	A P	<u>P</u> ≥	3 0	밀물	밀물	2 0	A		A B	<u> </u>	된	P 2		EXC		3 3		<u>P</u>			3 2	2 3	<u> </u>	3 3	3 3	₽	<u> </u>	ATE	<u>_</u>	<u> </u>	B 5	SPE	B	₽≥	<u> </u>	3 9	2 3	3 3	p	3 3	3 5	2 3 5		<u> </u>		프롤	BC ™	3	2   ≤	23		Z Z	B ≥		A	과 모	P)	<u>.</u>
DEP2		되 [다			RI AGI	P4 2	DEP2	ATE1	DEP2	ATE1	BUR1	BUR1 HOT5	ATE2	EXC1	EXC1	히칟	MAG4 MAG2	DEP2		DEP2	3 3		; A	MAG1	AG1	MAG1	ATE1	DEP2	[E]	BUR1	BUR1 DEP2	BUR1		BUR1		침[편	AG4		AG6 AG4		AG1	AG1	MAG1	AG1	E AG1	MAG1	MAG1	MAG3 BUR1	AG1	MAG4	MAG1	MAG1	AG1	MAG1 BUR1	DEP2	7   [2]	E1   2		
																																																										ATE2	3
																																																										XEVIOEE	
+	+	+	$\vdash$	+	+	+		$\vdash$	+		++	+	$\vdash$		$\vdash$	+		+	2 6	12,1	ω   N	7,19	<u>,</u>		$\blacksquare$	-	++	-	$\vdash$	++	_			+	+		$\vdash$	+		+	+		++				+		+				+	+	+	+	+	+	
4 713	16 2	11 2	10 2	2 5	22	5 032	3 7	12 7	28 3	63 59	18 373	16 1: 13 1:	28 6	16 691 44 504	2 517	125		24 8	5794 1801	24210	2680 1020	168	70.	57	10 3	25 4	46	170	8 4.		68	23 545	40 480	2 27	20 125	5 1 23 8:		25 4:	73.3	47	3 2.	10 7	8 547	5 1.	23 1 <sub>1</sub>	30 2	11 7	71 428 20 415	12 1	7 80	12 2, 4 9	20 2	617	2 032 9 324	22 680	7 2 2 2 2 2 2 2 2 2 2 2 2 2 2 2 2 2 2 2	∞   û	5 581	
	(18)	<u>४ १</u>	[7] [8	2   8	20	122	98	S   &	9 2	3/0	7 3	3 3	1213	2 2	17]	543	8   8	801					15	2 2	3   3	15   5	12	<u> 5 5</u>	<u> </u>	181	8 2	18 8		52	122	17		15	13		34	12   2	141	97	25   80		<u>ا ۱۵</u>	15	127	893	2 18		<u> </u>	2 4		×   23	814	1215	

\_240-DE

	Affiche le  ID: 033-200070092-20220927-2022 09 24
2021 2021 2021 2021 2021 2021 2021 2021	2021 2021 2021 2021 2021 2021 2021 2021
CO CO B B CO CO CO CO A A M M M A A A A A A A A A A A A A A	C C C C C C C C A A B B B C C C C A A C C C C
283 283 305 305 304 294 294 294 294 294 294 1175 496 496 448 1146 1146 1146 1146 1146 1146 1146	664 425 1111 447 441 441 441 449 449 449 461 461 461 461 461 461 461 461 461 461
189 189 189 189 189 197 207 207 207 337 37 37 37 37 37 37 37 37	5 5 5 5 5 1 1 1 1 1 1 1 1 1 1 1 1 1 1 1
FONT DE MOREAU SUD AV GEORGES POMPIDOU AV GEORGES POMPIDOU AV DU MARECHAL FOCH AV DU MARECHAL FOCH AV DU MARECHAL FOCH AV DU MARECHAL FOCH AV DU GENERAL DE GAULI AV DE LA ROUDET RIE DE SAINT EMILION CHE DE BONALGUE CRS TOURNY RUE DES DAGUEYS RUE DEL INDUSTRIE QUAI DU PRIOURAT RUE DE LINDUSTRIE QUAI DU PRIOURAT RUE DE LINDUSTRIE QUAI DU PRIOURAT AV DE LEPINETTE QUAI DE LEPINETTE QUAI GENERAL D AMADE RUE DE GARDEROSE RUE JEAN JACQUES ROUSS RUE VICTOR HUGO RUE JEAN JACQUES ROUSS BD DE GARDEROSE	PL DES TREILLES PL DES TREILLES AV DE GOURINAT RUE ROUDIER RUE DES LILAS RUE FONNEUVE AV DU MARECHAL FOCH CRS DES GIRONDINS AV GEORGES CLEMENCEA AV DE LINDUSTRIE RUE DE L INDUSTRIE RUE DE LINDUSTRIE RUE DE GARDELLE CHE DU PRESIDENT DOUN RUE DE GARDELLE CHE DU PRESIDENT CARNO CHE DU VELODROME RUE DE GARDELLE CHE DU CASSE AV DU GENERAL DE GAULL
33500 33500 33500 33500 33500 33500 33500 33500 33500 33500 33500 33500 33500 33500 33500 33500 33500 33500 33500 33500 33500 33500 33500 33500 33500 33500 33500 33500 33500 33500 33500 33500 33500 33500 33500 33500 33500 33500 33500 33500 33500 33500 33500 33500 33500 33500 33500 33500 33500 33500 33500 33500 33500 33500 33500 33500 33500 33500 33500 33500 33500 33500 33500 33500 33500 33500 33500 33500 33500 33500 33500 33500 33500 33500 33500 33500 33500 33500 33500 33500 33500 33500 33500 33500 33500 33500 33500 33500 33500 33500 33500 33500 33500 33500 33500 33500 33500 33500 33500 33500 33500 33500 33500 33500 33500 33500 33500 33500 33500 33500 33500 33500 33500 33500 33500 33500 33500 33500 33500 33500 33500 33500 33500 33500 33500 33500 33500 33500 33500 33500 33500 33500 33500 33500 33500 33500 33500 33500 33500 33500 33500 33500 33500 33500 33500 33500 33500 33500 33500 33500 33500 33500 33500 33500 33500 33500 33500 33500 33500 33500 33500 33500 33500 33500 33500 33500 33500 33500 33500 33500 33500 33500 33500	33500 33500 33500 33500 33500 33500 33500 33500 33500 33500 33500 33500 33500 33500 33500 33500 33500 33500 33500 33500 33500 33500 33500 33500 33500 33500 33500 33500 33500 33500 33500 33500 33500 33500 33500 33500 33500 33500 33500 33500 33500 33500 33500 33500 33500 33500 33500 33500 33500 33500 33500 33500 33500 33500 33500 33500 33500 33500 33500 33500 33500 33500 33500 33500 33500 33500 33500 33500 33500 33500 33500 33500 33500 33500 33500 33500 33500 33500 33500 33500 33500 33500 33500 33500 33500 33500 33500 33500 33500 33500 33500 33500 33500 33500 33500 33500 33500 33500 33500 33500 33500 33500 33500 33500 33500 33500 33500 33500 33500 33500 33500 33500 33500 33500 33500 33500 33500 33500 33500 33500 33500 33500 33500 33500 33500 33500 33500 33500 33500 33500 33500 33500 33500 33500 33500 33500 33500 33500 33500 33500 33500 33500 33500 33500 33500 33500 33500 33500 33500 33500 33500 33500 33500 33500 33500 33500 33500 33500 33500 33500 33500 33500 33500 33500 33500 33500 33500 33500 33500 33500 33500 33500 33500 33500 33500 33500 33500 33500 33500 33500 33500 33500 33500 33500 33500 33500 33500 33500 33500 33500 33500 33500
LIBOURNE	LIBOURNE
VAIN  - P - P - P - ERRE  ERRE  FES  IE  IE  IE  IE  IE  IE  IE  IE  IE	SCI DES TREILLES HOFMANN SCI DE L'EPINETTE SCI DE LA JALOUSIE SCI DE LA JALOUSIE SCI CORMASOL SCI ALIE-NOR SC
DEP2 BUR1 BUR1 BUR1 BUR1 BUR2 MAG4 BUR2 MAG6 MAG6 MAG6 MAG6 MAG6 MAG7 BUR3 MAG1 BUR2 DEP2 DEP2 DEP2 DEP2 DEP2 DEP2 DEP2 DEP	BUR1 BUR2 BUR2 BUR3 BUR3 BUR1 BUR1 BUR1 BUR3 BUR1 BUR1 BUR1 BUR1 BUR1 BUR1 BUR1 BUR1
117 836 9 540 63 112 16 503 140 556 81 090 217 449 106 308 1 1506 3 694 1 124 724 2282 254 227 635 114 866 56 980 76 353 225 968 9 976 38 628 145 272 11 018 9 1014 3 9976 3 9976 9 709 9 9709 9 9709	10 240 9 063 16 650 6 475 17 341 5 120 15 900 3 463 3 4 395 11 130 5 254 9 982 29 356 13 674 8 943 10 953 11 2 33 10 953 11 2 43 11 2 42 10 953 11 2 43 11 2 50 10 50 10 50 10 50 10 50 10 50 10 50 10 50 11 50 10 50 11 50 10 50 11

		Affiché le  ID: 033-200070092-20220927-2022_09
Description	)21 )21 )21 )21 )21 )21 )21 )21 )21 )21	021 021 021 021 021 021 021 021 021 021
B         C         A         A         A         A         A         A         A         A         A         A         A         A         A         A         A         A         A         A         A         A         A         A         A         A         A         A         A         A         A         A         A         A         A         A         A         A         A         A         A         A         A         A         A         A         A         A         A         A         A         A         A         A         A         A         A         A         A         A         A         A         A         A         A         A         A         A         A         A         A         A         A         A         A         A         A         A         A         A         A         A         A         A         A         A         A         A         A         A         A         A         A         A         A         A         A         A         A         A         A         A         A         A         A         A         A	CM CC CC AN CC	BH AO AO AO BBO CO AC CO BE CO CO BE CO
552 36 36 36 36 36 36 64 9 50 29 50 29 50 29 50 29 50 29 50 29 50 29 50 29 50 29 50 29 50 20 9 11 11 11 11 11 11 11 11 11	958 538 667 667 667 13	1141 92 225 84 478 314 709 709 1576 316 316
20 62 62 9 9 9 9 105 105 105 105 105 105 105 105 105 105	3 214 10 10 8 8 62 62 36 36 36	109 27 27 10 10 2 2 14 15 15 33 33 33 33 43
		8
	DE TAS DE TAS DE TAS	AV GALLIENI CITE DU VIEUX TILLEUL RUE DE L INDUSTRIE PL ABEL SURCHAMP RUE DES TREILLES RUE FRANCOIS VIDAL CRS DES GIRONDINS RUE PLINE PARMENTIER RUE GAMBETTA BD BEAUSEJOUR CRS DES GIRONDINS
33500 3400 3500 33500 33500 33500 33500 33500 33500 33500 33500 33500 33500 33500 33500 33500 33500 33500 33500 33500 33500 33500 33500 33500 33500 33500 33500 33500 33500 33500 33500 33500 33500 33500 33500 33500 33500 33500 33500 33500 33500 33500 33500 33500 33500 33500 33500 33500 33500 33500 33500 33500 33500 33500 33500 33500 33500 33500 33500 33500 33500 33500 33500 33500 33500 33500 33500 33500 33500 33500 33500 33500 33500 33500 33500 33500 33500 33500 33500 33500 33500 33500 33500 33500 33500 33500 33500 33500 33500 33500 33500 33500 33500 33500 33500 33500 33500 33500 33500 33500 33500 33500 33500 33500 33500 33500 33500 33500 33500 33500 33500 33500 33500 33500 33500 33500 33500 33500 33500 33500 33500 33500 33500 33500 33500 33500 33500 33500 33500 33500 33500 33500 33500 33500 33500 33500 33500 33500 33500 33500 33500 33500 33500 33500 33500 33500 33500 33500 33500 33500 33500 33500 33500 33500 33500 33500 33500 33500 33500 33500 33500 33500 33500 33500 33500 33500 33500 33500 33500 33500 33500 33500 33500 33500 33500 33500 33500 33500 33500 33500 33500 33500 33500 33500 33500 33500 33500 33500 33500 33500 33500 33500 33500 33500 33500 33500 33500 33500 33500 33500 33500 33500 33500 33500 33500 33500 33500 33500 33500 33500 33500	33500 33500 33500 33500 33500 33500 33500 33500 33500	33500 33500 33500 33500 33500 33500 33500 33500 33500 33500
LIBOURNE	LIBOURNE LIBOURNE LIBOURNE LIBOURNE LIBOURNE LIBOURNE LIBOURNE LIBOURNE LIBOURNE	LIBOURNE
MOUNTER LOUIS MOUTER MO	THERRY AMMAR STEPHANE SEDILLE SANTIAGO FERNANDEZ SANTIAGO FERNANDEZ SANTIAGO FERNANDEZ REGIS GUILLAUMIE RABAH BAKRI PHILIPPE TERRADE PHILIPPE CHARLES	IRNE ST EMILION E DE SERVICES DU LIBOUR  LICES
BUR1  BUR1  IND1  IND2  IND1  IND2  IND3  IND2	MAG1 BUR3 BUR1 ATE1 MAG1 MAG1 BUR2 MAG1 ATE1	HOT3 BUR1 BUR1 MAG1 DEP4 ATE2 BUR1 DEP2 BUR1 DEP2 MAGG1 BUR1 ATE1
7 078 8 734 7 7445 17 493 6 837 15 984 1 1 998 1 1 998 1 1 998 1 1 998 1 1 998 1 1 998 1 1 998 1 1 998 1 1 998 1 1 998 1 1 998 1 1 998 1 1 998 1 1 998 1 1 998 1 1 998 1 1 998 1 1 998 1 1 998 1 1 998 1 1 998 1 1 998 1 1 998 1 1 998 1 1 998 1 1 998 1 1 998 1 1 998 1 1 998 1 1 998 1 1 998 1 1 998 1 1 998 1 1 998 1 1 998 1 1 998 1 1 998 1 1 998 1 1 998 1 1 998 1 1 998 1 1 998 1 1 998 1 1 998 1 1 998 1 1 998 1 1 998 1 1 998 1 1 998 1 1 998 1 1 998 1 1 998 1 1 998 1 1 998 1 1 998 1 1 998 1 1 998 1 1 998 1 1 998 1 1 998 1 1 998 1 1 998 1 1 998 1 1 998 1 1 998 1 1 998 1 1 998 1 1 998 1 1 998 1 1 998 1 1 998 1 1 998 1 1 998 1 1 998 1 1 998 1 1 998 1 1 998 1 1 998 1 1 998 1 1 998 1 1 998 1 1 998 1 1 998 1 1 998 1 1 998 1 1 998 1 1 998 1 1 998 1 1 998 1 1 998 1 1 998 1 1 998 1 1 998 1 1 998 1 1 998 1 1 998 1 1 998 1 1 998 1 1 998 1 1 998 1 1 998 1 1 998 1 1 998 1 1 998 1 1 998 1 1 998 1 1 998 1 1 998 1 1 998 1 1 998 1 1 998 1 1 998 1 1 998 1 1 998 1 1 998 1 1 998 1 1 998 1 1 998 1 1 998 1 1 998 1 1 998 1 1 998 1 1 998 1 1 998 1 1 998 1 1 998 1 1 998 1 1 998 1 1 998 1 1 998 1 1 998 1 1 998 1 1 998 1 1 998 1 1 998 1 1 998 1 1 998 1 1 998 1 1 998 1 1 998 1 1 998 1 1 998 1 1 998 1 1 998 1 1 998 1 1 998 1 1 998 1 1 998 1 1 998 1 1 998 1 1 998 1 1 998 1 1 998 1 1 998 1 1 998 1 1 998 1 1 998 1 1 998 1 1 998 1 1 998 1 1 998 1 1 998 1 1 998 1 1 998 1 1 998 1 1 998 1 1 998 1 1 998 1 1 998 1 1 998 1 1 998 1 1 998 1 1 998 1 1 998 1 1 998 1 1 998 1 1 998 1 1 998 1 1 998 1 1 998 1 1 998 1 1 998 1 1 998 1 1 998 1 1 998 1 1 998 1 1 998 1 1 998 1 1 998 1 1 998 1 1 998 1 1 998 1 1 998 1 1 998 1 1 998 1 1 998 1 1 998 1 1 998 1 1 998 1 1 998 1 1 998 1 1 998 1 1 998 1 1 998 1 1 998 1 1 998 1 1 998 1 1 998 1 1 998 1 1 998 1 1 998 1 1 998 1 1 998 1 1 998 1 1 998 1 1 998 1 1 998 1 1 998 1 1 998 1 1 998 1 1 998 1 1 998 1 1 998 1 1 998 1 1 998 1 1 998 1 1 998 1 1 998 1 1 998 1 1 998 1 1 998 1 1 998 1 1 998 1 1 998 1 1 998 1 1 998 1 1 998 1 1 998 1 1 998 1 1 998 1 1 998 1 1 998 1 1 998 1 1 998 1 1 998 1 1 998 1 1 998 1 1 998 1 1 998 1 1 998 1 1 998	17 421 4 500 4 819 17 277 7 445 11 002 7 326 16 379 6 415 7 078	15 696 23 373 17 216 2 829 1 014 28 564 17 168 20 511 5 956 15 813 1 822

Liste des locaux commerciaux vacants LA CALI

ID: 033-200070092-20220927-2022\_09\_240-DE 134 135 135 135 173 173 67 705 705 90 90 349 2266 2266 2266 2266 2266 2266 2266 2266 2266 2266 2266 2266 2266 2266 2266 2266 2266 2266 2266 2266 2266 2266 2266 2266 2266 2266 2266 2266 2266 2266 2266 2266 2266 2266 2266 2266 2266 2266 2266 2266 2266 2266 2266 2266 2266 2266 2266 2266 2266 2266 2266 2266 2266 2266 2266 2266 2266 2266 2266 2266 2266 2266 2266 2266 2266 2266 2266 2266 2266 2266 2266 2266 2266 2266 2266 2266 2266 2266 2266 2266 2266 2266 2266 2266 2266 2266 2266 2266 2266 2266 2266 2266 2266 2266 2266 2266 2266 2266 2266 2266 2266 2266 2266 2266 2266 2266 2266 2266 2266 2266 2266 2266 2266 2266 2266 2266 2266 2266 2266 2266 2266 2266 2266 2266 2266 2266 2266 2266 2266 2266 2266 2266 2266 2266 2266 2266 2266 2266 2266 2266 2266 2266 2266 2266 2266 2266 2266 2266 2266 2266 2266 2266 2266 2266 2266 2266 2266 2266 2266 2266 2266 2266 2266 2266 2266 2266 2266 2266 2266 2266 2266 2266 2266 2266 2266 2266 2266 2266 2266 2266 2266 2266 2266 2266 2266 2266 2266 2266 2266 2266 2266 2266 2266 2266 2266 2266 2266 2266 2266 2266 2266 2266 2266 2266 2266 2266 2266 2266 2266 2266 2266 2266 2266 2266 2266 2266 2266 2266 2266 2266 2266 2266 2266 2266 2266 2266 2266 2266 2266 2266 2266 2266 2266 2266 2266 2266 2266 2266 2266 2266 2266 2266 2266 2266 2266 2266 2266 2266 2266 2266 2266 2266 2266 2266 2266 2266 2266 2266 2266 2266 2266 2266 2266 2266 2266 2266 2266 2266 2266 2266 2266 2266 2266 2266 2266 2266 2266 2266 2266 2266 2266 2266 2266 2266 2266 2266 2266 2266 2266 2266 2266 2266 2266 2266 2266 2266 2266 2266 2266 2266 2266 2266 2266 2266 2266 2266 2266 2266 2266 2266 2266 2266 2266 2266 2266 2266 2266 2266 2266 2266 2266 2266 2266 2266 2266 2266 2266 2266 2266 2266 2266 2266 2266 2266 2266 2266 2266 2266 2266 2266 2 11 13 13 39 9012 78 51 51 51 118 9121 46 70 67 10 116 59 248 26 26 147 9002 8 3 133 1 1 10 10 11 11 11 14 46 8 6 17 10 10 10 42 42 42 92 92 70 70 12 12 CHE DU PT BEAUSEJOUR
CHE DU PT BEAUSEJOUR
CHE DE LA COMMANDERIE
CHE DE GARDELLE
RUE DE LA MARNE
RUE DE LA MARNE
33 

 PL DE L EPINETTE
 33500

 RUE ETIENNE SABATIE
 33500

 RUE ETIENNE SABATIE
 33500

 AV DU MARECHAL FOCH
 33500

 AV DU GENERAL DE GAULI
 33500

 AV DU GENERAL DE GAULI
 33500

 AV DU GENERAL DE GAULI
 33500

 RUE HONORE VINSON
 33500

 RUE JEAN JACQUES ROUS
 33500

 RUE DU PRESIDENT CARNO
 33500

 RUE DES TREILLES
 33500

 RUE ORBE
 33500

 QUAI DU PRIOURAT

RUE WALDECK ROUSSEAU 3

RUE MICHEL MONTAIGNE 3

RUE DE L INDUSTRIE

3

RTE DE SAINT EMILION

AV DU GENERAL DE GAULI 3 AV DE L EPINETTE CRS DES GIRONDINS AV HENRI BRULLE CRS DES GIRONDINS RUE LYROT RUE CHAPERON GRANGER RUE JULES SIMON 

 W GALLIENI
 33500

 W DE L EPINETTE
 33500

 RUE DU PRESIDENT WILSC 33500
 33500

 HE DU CASSE
 33500

 AV DE LEPINETTE 33500
AV DU GENERAL DE GAULI 33500
RUE LAMOTHE 33500 L ABEL SURCHAMP UE DE LA BELOTE UE DE L INDUSTRIE OT Z.A. LES DAGUEYS UE DE LA MARNE V DU GENERAL DE GAULI V DE VERDUN V DE LA ROUDET
UE DE LA MARNE
V DE L EPINETTE
V DE L EPINETTE V DE LEPINETTE
V DE LEPINETTE
V DE LEPINETTE
UE JEAN JAURES
V GALLIENI ABEL SURCHAMP E DE L INDUSTRIE DE L INDUSTRIE PRESIDENT CARN 33500 33500 33500 33500 33500 33500 33500 33500 33500 33500 33500 SC SOCIETE CIVILE LES GRANDS VIGNOBLES D
SC SOCIETE CIVILE LES GRANDS VIGNOBLES D
SC SOCIETE CIVILE LES GRANDS VIGNOBLES D
SC SOC CIVILE CHATEAU NENIN
SC SOC CIVILE CHATEAU NENIN
SC SOC CIVILE CHATEAU NENIN
SCI VERNAM
SCI VERNAM
SCI VERNAM
SCI VERNAM
SCI VERNAM
SCI VERNAM
SCI TER LIBOURNE
SCI TOH IMMO
SCI SERNIDAM
SCI SERNIDAM
SCI SERNIDAM
SCI SERNIDAM
SCI SERNIDAM
SCI SERNIDAM
SCI SERNIDAM SCI SCI L'INSOLENCE

SCI SCI L'INSOLENCE

SCI SCI LIBOURNE

SCI SCI LIBOURNE

SCI SCI LES JARDINS DE GALLIENI

SCI SCI LES CHARMILLES

SCI SCI LERMATH

SCI SCI DU 49 AVENUE DE VERDUN

SCI SCI DU 49 AVENUE DE VERDUN

SCI SCI DES 12 T 34 RUE ETIENNE 5/

SCI SCI DES 32 ET 34 RUE ETIENNE 5/

SCI SCI SCI 137 AVENUE GENERAL DE GA

SCI SCI SCI 137 AVENUE GENERAL DE GA

SCI SCI SCI MMOBILIER

SCI PICASSI

SCI PICASSI SCI SERNIDAM
SCI SERNIDAM
SCI SERNIDAM
SCI SERNIDAM
SCI SERNIDAM
SCI SCI SCI TOTO
SCI SCI SCI ROUDIER
SCI SCI ROUDIER
SCI SCI PHL
SCI SCI OLIVER-VILLATTE
SCI SCI SCI MSMC LIBOURNE
SCI SCI SCI MAMAAVICENNE
SCI SCI MAMAAVICENNE SCI PAKETI
SCI OLI-PIERRE
SCI M.V.N.
SCI M.V.N.
SCI MR ET MME BOUCH
SCI MICHAUD-PASCAL
SCI MICHAUD-PASCAL
SCI M.F.G.M
SCI M.F.G.M
SCI MEOLIA
SCI MEOLIA
SCI MAYAANA
SCI LYROT GAMBETTA
SCI LYROT GAMBETTA
SCI LYROT GAMBETTA
SCI LYROT GAMBETTA DE GAULLE SABATIE BUR1
HOT4
DEP2
BUR2
BUR2
CONTROL
BUR2
BUR2
CONTROL
BUR3
CONTROL
BUR3
CONTROL
BUR1
CONTROL
BUR1
CONTROL
BUR1
CONTROL
BUR3
CONTROL
BUR3
CONTROL
BUR4
CONTROL
BUR5
CONTROL
BUR6
CONTROL
BUR7
C 8 408
140 777
5 211
77 966
38 680
34 503
17 490
14 417
121 155 11 445
199 800
342 710
23 824
21 056
158 523
12 243
3 424
13 103
114 908 6 370 13 847 15 336 188 175 21 213 77 453 99 168 54 527 59 600 51 198 15 060 6 325 2 382 6 301 1 908 14 443 2 680 20 784 24 190 26 609 16 396 7 530 99 645 22 101 55 360 4 330 7 950 10 424 10 424 10 424 10 424 10 424 10 424 10 424 29 440 29 333 7 742 10 42 10 42 10 42

240-DE

                                                                                                                                                                                                                                                                                                                                         |                                                                                                                                                                                                                                                                                                                                                                                                                                                                                                                                                                                                                                                                                                                                                                                                                                                                                                                                                                                                                                                                                                                                                                                                                                                                                                                                                                                                                                                                                                                                                                                                                                                                                                                                                                                                                                                                                                                                                                                                                                                                                                                              |                                                                                                                                                                                                                                                                                                                                                                                                                                                                                                                                                                                                                                                                                                                                                                                                                                                                                                                                                                                                                                                                                                                                                                                                                                                                                                                                                                                                                                                                                                                                                                                                                                                                                                                                                                                                                                                                                                                                                                                                                                                                                                                              |                                                                                       |                                                                                                                                                                                                                                                                                                                                                                                                                                                                                                                                                                                                                                                                                                                                                                                                                                                                                                                                                                                                                                                                                                                                                                                                                                                                                                                                                                                                                                                                                                                                                                                                                                                                                                                                                                                                                                                                                                                                                                                                                                                                                                                              |                                                                                                                                                                                                                                                                                                                                                                                                                                                                                                                                                                                                                                                                                                                                                                                                                                                                                                                                                                                                                                                                                                                                                                                                                                                                                                                                                                                                                                                                                                                                                                                                                                                                                                                                                                                                                                                                                                                                                                                                                                                                                                                              |                                                                                                                                                                                                                                                                                                                                                                                                                                                                                                                                                                                                                                                                                                                                                                                                                                                                                                                                                                                                                                                                                                                                                                                                                                                                                                                                                                                                                                                 
                                                                                                                                                                                                                                                                                                                                                                                                                                                                                                                                                                                                                                                                           |                                                                                                                                                                                                                                                                                                                                                                                                                                                                                                                                                                                                                                                                                                                                                                                                                                                                                                                                                                                                                                                                                                                                                                                                                                                                                                                                                                                                                                                                                                                                                                                                                                                                                                                                                                                                                                                                                                                                                                                                                                                                                                                           |                                                                                                                                                                                                                                                                                                                                                                                                                                                                                                                                                                                                                                                                                                                                                                                                                                                                                                                                                                                                                                                                                                                                                                                                                                                                                                                                                                                                                                                                                                                                                                                                                                                                                                                                                                                                                                                                                                                                                                                                                                                                                                                              |                                                                                                   |                                                                                                                                                                                                                                                                                                                                                                                                                                                                                                                                                                                                                                                                                                                                                                                                                                                                                                                                                                                                                                                                                                                                                                                                                                                                                                                                                                                                                                                                                                                                                                                                                                                                                                                                                                                                                                                                                                                                                                                                                                                                                                                              |                                                                                   |                                                                                                                                                                                                                                                                                                                                                                                                                                                                                                                                                                                                                                                                                                                                                                                                                                                                                                                                                                                                                                                                                                                                                                                                                                                                                                                                                                                                                                                                                                                                                                                                                                                                                                                                                                                                                                                                                                                                                                                                                                                                                                                              |                                                                                                                                                                                                                                                                                                                                                                                                                                                                                                                                                                                                                                                                                                                                                                                                                                                                                                                                                                                                                  
                                                                                                                                                                                                                                                                                                                                                                                                                                                                                                                                                                                                                                                                                                                                                                                                                                                                                                                                                                                                                                                                                                           |                                                                                                       |                                                                                                   |                                                                                               |                                                                                                     |                                                                                                                                                                                                                                                                                                                                                                                                                                                                                                                                                                                                                                                                                                                                                                                                                                                                                                                                                                                                                                                                                                                                                                                                                                                                                                                                                                                                                                                                                                                                                                                                                                                                                                                                                                                                                                                                                                                                                                                                                                                                                                                           |                                                                                           |                                                                                                                                                                                                                                                                                                                                                                                                                                                                                                                                                                                                                                                                                                                                                                                                                                                                                                                                                                                                                                                                                                                                                                                                                                                                                                                                                                                                                                                                                                                                                                                                                                                                                                                                                                                                                                                                                                                                                                                                                                                                                                                            |                                                                                                                                                                                                                                                                                                                                                                                                                                                                                                                                                                                                                                                                                                                                                                                                                                                                                                                                                                                                                                                                                                                                                                                                                                                                                                                                                                                                                                                                                                                                                                                                                                                                                                                                                                                                                                                                                                                                                                                                                                                                                                                                |                                                                                                                                                                                                                                                                                                                                                                                                                                                                                                                                                                                                                                                                                                                                                                                                                                                                                                                                                                                                                                                                                                                                                                                                                                                                                                                                                                                                                                                                                                                                                                                                                                                                                                                                                                                                                                                                                                                                                                                                                                                                                                                               |                                                                                                                                                                                                                                                           
                                                                                                                                                                                                                                                                                                                                                                                                                                                                                                                                                                                                                                                                                                                                                                                                                                                                                                                                                                                                                                                                                                                                                                                                                                                                                                                                                                                                                                                                                                                                                                                                                                                                                                                                                                                                                                                                  |                                                                                                                                                                                                                                                                                                                                                                                                                                                                                                                                                                                                                                                                                                                                                                                                                                                                                                                                                                                                                                                                                                                                                                                                                                                                                                                                                                                                                                                                                                                                                                                                                                                                                                                                                                                                                                                                                                                                                                                                                                                                                                                              |                                                                                                                                                                                                                                                                                                                                                                                                                                                                                                                                                                                                                                                                                                                                                                                                                                                                                                                                                                                                                                                                                                                                                                                                                                                                                                                                                                                                                                                                                                                                                                                                                                                                                                                                                                                                                                                                                                                                                                                                                                                                                                                                |                                                                                                                                                                                                                                                                                                                                                                                                                                                                                                                                                                                                                                                                                                                                                                                                                                                                                                                                                                                                                                                                                                                                                                                                                                                                                                                                                                                                                                                                                                                                                                                                                                                                                                                                                                                                                                                                                                                                                                                                                                                                                                                                |                                                                                                                                                                                                                                                                                                                                                                                                                                                                                                                                                                                                                                                                                                                                                                                                                                                                                                                                                                                                                                                                                                                                                                                                                                                                                                                                                                                                                                                                                                                                                                                                                                                                                                                                                                                                                                                                                                                                                                                                                                                                                                                                |          
                                                                                                                                                                                                                                                                                                                                                                                                                                                                                                                                                                                                                                                                                                                                                                                                                                                                                                                                                                                                                                                                                                                                                                                                                                                                                                                                                                                                                                                                                                                                                                                                                                                                                                                                                                                                                                                                                                                                                                                                                                                                                                                     |                                                                                                                                                                                                                                                                                                                                                                                                                                                                                                                                                                                                                                                                                                                                                                                                                                                                                                                                                                                                                                                                                                                                                                                                                                                                                                                                                                                                                                                                                                                                                                                                                                                                                                               |                                                                                                                                                                                                                                                                                                                                                                                                                                                                                                                                                                                                                                                                                                                                                                                                                                                                                                                                                                                                                   |                                                                                                                                                                                                                                                                                                                                                                                                                                                                                                                                                                                                                                                                                                                                                                                                                                                                                                                                                                                                                                                |                                                                                                                                                                                                                                                                                                                                                                                                                                                                                                                                                                                                                                                                                                                                                                              |                                                                                                                                                                                                                                                                                                                                                                                                                                                                                                                                                                                                                                                                                                                                                                                                        |                                                                                                                                                                                                                                                                                                                                                                                                                                                                                                                                                                                         |                                                                                                                                                                                                                                                                                                                                                                                                                                                                                                |                                                                                                                                                                                                                                                                                                                                                                                                                                                                                                                              |                                                                                                                                                                                                                                                                                                                                                                                                                                                                                                                                                                                                                |                                                                                                                                                                                                                                                                                                                                                                                                                                                                                                                                                                                                                                  |                              
                                                                                                                                                                                                                                                                                                                                                                                                                                                                                                                                                                                                                                                                                                                                                                                                                                                                                                                                                                                                                                                                                                                                                                                                                                                     |                                                                                                                                                                                                                                                                                                                                                                                                                                                                                                                                                                                                                                                                                                                                                                                                                                                                                                                                                                                                                                                                                                                                                                                                                                                                                                                                                                                                                                                                                                                                                                                                                                                                                                                                                                                                                                                                                                                                                                                                                                                                                                                                |                                                                                                                                                                                                                                                                                                                                                                                                                                                                                                                                                                                                                                                                                                                                                                                                                                                                                                                                                                                                                                                                                                                                                                                                                                                                                                                                                                                                                                                                                                                                                                                                                                                                                                                                                                                                                                                                                                                                                                                                                                                                                                                                |                                                                                                                                                                                                                                                                                                                                                                                                                                                                                                                                                                                                                                                                                                                                                                                                                                                                                                                                                                                                                                                                                                                                                                                                                                                                                                                                                                                                                                                                                                                                                                                                                                                                                                                                                                                           |                                                                                                                                                                                                                                                                                                                                                                                                                                                                                                                                                                                                                                                                                                                                                                                                                                                                                                                                                                                                                                                                                                                                                                                                                                                                                                                                                                                                                                                                                                                                                                                                                                                     |                                                                                                                                                                                                                                                                                                                                                                                                                                                                                                                                                                                                                                                                                                                                                                                                                                                                                                                                                                                                                                                                                                                                                                                                                                                                                                                                                                                                                                     
                                                              |                                                                                                                                                                                                                                                                                                                                                                                                                                                                                                                                                                                                                                                                                                                                                                                                                                                                                                                                                                                                                                                                                                                                                                                                                                                                                                                                                                                                                                                                                                                                                                                                                                                                                                                                                                                                                                                                                                                                                                                                                                                                                                                              |                                                                                                                                                                                                                                                                                                                                                                                                                                                                                                                                                                                                                                                                                                                                                                                                                                                                                                                                                                                                                                                                                                                                                                                                                                                                                                                                                                                                                                                                                                                                                                                                                                                                                                                                                                                                                                                                                                                                                                                                                                                                                                                              |                                                                                                                                                                                                                                                                                                                                                                                                                                                                                                                                                                                                                                                                                                                                                                                                                                                                                                                                                                                                                                                                                                                                                                                                                                                                                                                                                                                                                                                                                                                                                                                                                                                                                                                                                                                                                                                                                                                                                                                                                                                                                                                                |                                                                                                                                                                                                                                                                                                                                                                                                                                                                                                                                                                                                                                                                                                                                                                                                                                                                                                                                                                                                                                                                                                                                                                                                                                                                                                                                                                                                                                                                                                                                                                                                                                                                                                                                                                                                                                                                                                                                                                                                                                                                                                                              |                                                                                                  |                                                                                                                                                                                                                                                                                                                                                                                                                                                                                                                                                                                                                                                                                                                                                                                                                                                                                                                                                                                                                                                                                                                                                                                                                                                                                                                                                                                                                                                                                                                                                                                                                                                                                                               
                                                                                                                                                                                                                                                                                                                                                                                                             |                                                                                                                                                                                                                                                                                                                                                                                                                                                                                                                                                                                                                                                                                                                                                                                                                                                                                                                                                                                                                                                                                                                                                                                                                                                                                                                                                                                                                                                                                                                                                                                                                                                                                                                                                                                                                                                                                                                                                                                                                                                                                                                              |                                                                                                                                                                                                                                                                                                                                                                                                                                                                                                                                                                                                                                                                                                                                                                                                                                                                                                                                                                                                                                                                                                                                                                                                                                                                                                                                                                                                                                                                                                                                                                                                                                                                                                                                                                                                                                                                                                                                                                                                                                                                                                                              |           | Affic                                                                                                                                                                                                                                                                                                                                                                                                                                                                                                                                                                                                                                                                                                                                                                                                                                                                                                                                                                                                                                                                                                                                                                                                                                                                                                                                                                                                                                                                                                                                                                                                                                                                                                                                                                                                                                                                                                                                                                                                                                                                                                                        | ché le                                                                                     | 3000.                                                                                                                                                                                                                                                                                                                                                                                                                                                                                                                                                                                                                                                                                                                                                                                                                                                                                                                                                                                                                                                                                                                                                                                                                                                                                                                                                                                                                                                                                                                                                                                                                                                                                                                                                                                                                                                                                                                                                                                                                                                                                                                       | 7000                                                                                                  | 2 222                                                                                                                                                                                                                                                                                                                                                                                                                                                                                                                                                                                                                                                                                                                                                                                                                                                                                                                                                                                                                                                                                                                                                                                                                                               
                                                                                                                                                                                                                                                                                                                                                                                                                                                                                                                                                                                                                                                                                                                                                                                                                                                                        | 22001      | 27.00                                                                                                                                                                                                                                                                                                                                                                                                                                                                                                                                                                                                                                                                                                                                                                                                                                                                                                                                                                                                                                                                                                                                                                                                                                                                                                                                                                                                                                                                                                                                                                                                                                                                                                                                                                                                                                                                                                                                                                                                                                                                                                                       | 22.0                                                                                                                                                                                                                                                                                                                                                                                                                                                                                                                                                                                                                                                                                                                                                                                                                                                                                                                                                                                                                                                                                                                                                                                                                                                                                                                                                                                                                                                                                                                                                                                                                                                                                                                                                                                                                                                                                                                                                                                                                                                                                                                         | 0.040                                                                                                                                                                                                                                                                                                                                                                                                                                                                                                                                                                                                                                                                                                                                                                                                                                                                                                                                                                                                                                                                                                                                                                                                                                                                                                                                                                                                                                                                                                                                                                                                                                                                                                                                                                                                                                                                                                                                                                                                                                                                                                                        |
------------------------------------------------------------------------------------------------------------------------------------------------------------------------------------------------------------------------------------------------------------------------------------------------------------------------------------------------------------------------------------------------------------------------------------------------------------------------------------------------------------------------------------------------------------------------------------------------------------------------------------------------------------------------------------------------------------------------------------------------------------------------------------------------------------------------------------------------------------------------------------------------------------------------------------------------------------------------------------------------------------------------------------------------------------------------------------------------------------------------------------------------------------------------------------------------------------------------------------------------------------------------------------------------------------------------------------------------------------------------------------------------------------------------------------------------------------------------------------------------------------------------------------------------------------------------------------------------------------------------------------------------------------------------------------------------------------------------------------------------------------------------------------------------------------------------------------------------------------------------------------------------------------------------------------------------------------------------------------------------------------------------------------------------------------------------------------------------------------------------------	------------------------------------------------------------------------------------------------------------------------------------------------------------------------------------------------------------------------------------------------------------------------------------------------------------------------------------------------------------------------------------------------------------------------------------------------------------------------------------------------------------------------------------------------------------------------------------------------------------------------------------------------------------------------------------------------------------------------------------------------------------------------------------------------------------------------------------------------------------------------------------------------------------------------------------------------------------------------------------------------------------------------------------------------------------------------------------------------------------------------------------------------------------------------------------------------------------------------------------------------------------------------------------------------------------------------------------------------------------------------------------------------------------------------------------------------------------------------------------------------------------------------------------------------------------------------------------------------------------------------------------------------------------------------------------------------------------------------------------------------------------------------------------------------------------------------------------------------------------------------------------------------------------------------------------------------------------------------------------------------------------------------------------------------------------------------------------------------------------------------------	------------------------------------------------------------------------------------------------------------------------------------------------------------------------------------------------------------------------------------------------------------------------------------------------------------------------------------------------------------------------------------------------------------------------------------------------------------------------------------------------------------------------------------------------------------------------------------------------------------------------------------------------------------------------------------------------------------------------------------------------------------------------------------------------------------------------------------------------------------------------------------------------------------------------------------------------------------------------------------------------------------------------------------------------------------------------------------------------------------------------------------------------------------------------------------------------------------------------------------------------------------------------------------------------------------------------------------------------------------------------------------------------------------------------------------------------------------------------------------------------------------------------------------------------------------------------------------------------------------------------------------------------------------------------------------------------------------------------------------------------------------------------------------------------------------------------------------------------------------------------------------------------------------------------------------------------------------------------------------------------------------------------------------------------------------------------------------------------------------------------------	---------------------------------------------------------------------------------------------	------------------------------------------------------------------------------------------------------------------------------------------------------------------------------------------------------------------------------------------------------------------------------------------------------------------------------------------------------------------------------------------------------------------------------------------------------------------------------------------------------------------------------------------------------------------------------------------------------------------------------------------------------------------------------------------------------------------------------------------------------------------------------------------------------------------------------------------------------------------------------------------------------------------------------------------------------------------------------------------------------------------------------------------------------------------------------------------------------------------------------------------------------------------------------------------------------------------------------------------------------------------------------------------------------------------------------------------------------------------------------------------------------------------------------------------------------------------------------------------------------------------------------------------------------------------------------------------------------------------------------------------------------------------------------------------------------------------------------------------------------------------------------------------------------------------------------------------------------------------------------------------------------------------------------------------------------------------------------------------------------------------------------------------------------------------------------------------------------------------------------
------------------------------------------------------------------------------------------------------------------------------------------------------------------------------------------------------------------------------------------------------------------------------------------------------------------------------------------------------------------------------------------------------------------------------------------------------------------------------------------------------------------------------------------------------------------------------------------------------------------------------------------------------------------------------------------------------------------------------------------------------------------------------------------------------------------------------------------------------------------------------------------------------------------------------------------------------------------------------------------------------------------------------------------------------------------------------------------------------------------------------------------------------------------------------------------------------------------------------------------------------------------------------------------------------------------------------------------------------------------------------------------------------------------------------------------------------------------------------------------------------------------------------------------------------------------------------------------------------------------------------------------------------------------------------------------------------------------------------------------------------------------------------------------------------------------------------------------------------------------------------------------------------------------------------------------------------------------------------------------------------------------------------------------------------------------------------------------------------------------------------	-----------------------------------------------------------------------------------------------------------------------------------------------------------------------------------------------------------------------------------------------------------------------------------------------------------------------------------------------------------------------------------------------------------------------------------------------------------------------------------------------------------------------------------------------------------------------------------------------------------------------------------------------------------------------------------------------------------------------------------------------------------------------------------------------------------------------------------------------------------------------------------------------------------------------------------------------------------------------------------------------------------------------------------------------------------------------------------------------------------------------------------------------------------------------------------------------------------------------------------------------------------------------------------------------------------------------------------------------------------------------------------------------------------------------------------------------------------------------------------------------------------------------------------------------------------------------------------------------------------------------------------------------------------------------------------------------------------------------------------------------------------------------------------------------------------------------------------------------------------------------------------------------------------------------------------------------------------------------------------------------------------------------------------------------------------------------------------------------------------------------------	---------------------------------------------------------------------------------------------------------------------------------------------------------------------------------------------------------------------------------------------------------------------------------------------------------------------------------------------------------------------------------------------------------------------------------------------------------------------------------------------------------------------------------------------------------------------------------------------------------------------------------------------------------------------------------------------------------------------------------------------------------------------------------------------------------------------------------------------------------------------------------------------------------------------------------------------------------------------------------------------------------------------------------------------------------------------------------------------------------------------------------------------------------------------------------------------------------------------------------------------------------------------------------------------------------------------------------------------------------------------------------------------------------------------------------------------------------------------------------------------------------------------------------------------------------------------------------------------------------------------------------------------------------------------------------------------------------------------------------------------------------------------------------------------------------------------------------------------------------------------------------------------------------------------------------------------------------------------------------------------------------------------------------------------------------------------------------------------------------------------------	------------------------------------------------------------------------------------------------------------------------------------------------------------------------------------------------------------------------------------------------------------------------------------------------------------------------------------------------------------------------------------------------------------------------------------------------------------------------------------------------------------------------------------------------------------------------------------------------------------------------------------------------------------------------------------------------------------------------------------------------------------------------------------------------------------------------------------------------------------------------------------------------------------------------------------------------------------------------------------------------------------------------------------------------------------------------------------------------------------------------------------------------------------------------------------------------------------------------------------------------------------------------------------------------------------------------------------------------------------------------------------------------------------------------------------------------------------------------------------------------------------------------------------------------------------------------------------------------------------------------------------------------------------------------------------------------------------------------------------------------------------------------------------------------------------------------------------------------------------------------------------------------------------------------------------------------------------------------------------------------------------------------------------------------------------------------------------------------------------------------------	---------------------------------------------------------------------------------------------------
------------------------------------------------------------------------------------------------------------------------------------------------------------------------------------------------------------------------------------------------------------------------------------------------------------------------------------------------------------------------------------------------------------------------------------------------------------------------------------------------------------------------------------------------------------------------------------------------------------------------------------------------------------------------------------------------------------------------------------------------------------------------------------------------------------------------------------------------------------------------------------------------------------------------------------------------------------------------------------------------------------------------------------------------------------------------------------------------------------------------------------------------------------------------------------------------------------------------------------------------------------------------------------------------------------------------------------------------------------------------------------------------------------------------------------------------------------------------------------------------------------------------------------------------------------------------------------------------------------------------------------------------------------------------------------------------------------------------------------------------------------------------------------------------------------------------------------------------------------------------------------------------------------------------------------------------------------------------------------------------------------------------------------------------------------------------------------------------------------------------------	-----------------------------------------------------------------------------------	------------------------------------------------------------------------------------------------------------------------------------------------------------------------------------------------------------------------------------------------------------------------------------------------------------------------------------------------------------------------------------------------------------------------------------------------------------------------------------------------------------------------------------------------------------------------------------------------------------------------------------------------------------------------------------------------------------------------------------------------------------------------------------------------------------------------------------------------------------------------------------------------------------------------------------------------------------------------------------------------------------------------------------------------------------------------------------------------------------------------------------------------------------------------------------------------------------------------------------------------------------------------------------------------------------------------------------------------------------------------------------------------------------------------------------------------------------------------------------------------------------------------------------------------------------------------------------------------------------------------------------------------------------------------------------------------------------------------------------------------------------------------------------------------------------------------------------------------------------------------------------------------------------------------------------------------------------------------------------------------------------------------------------------------------------------------------------------------------------------------------	------------------------------------------------------------------------------------------------------------------------------------------------------------------------------------------------------------------------------------------------------------------------------------------------------------------------------------------------------------------------------------------------------------------------------------------------------------------------------------------------------------------------------------------------------------------------------------------------------------------------------------------------------------------------------------------------------------------------------------------------------------------------------------------------------------------------------------------------------------------------------------------------------------------------------------------------------------------------------------------------------------------------------------------------------------------------------------------------------------------------------------------------------------------------------------------------------------------------------------------------------------------------------------------------------------------------------------------------------------------------------------------------------------------------------------------------------------------------------------------------------------------------------------------------------------------------------------------------------------------------------------------------------------------------------------------------------------------------------------------------------------------------------------------------------------------------------------------------------------------------------------------------------------------------------------------------------------------------------------------------------------------------------------------------------------------------------------------------------------------------------	-------------------------------------------------------------------------------------------------------
----------------------------------------------------------------------------------------------------------------------------------------------------------------------------------------------------------------------------------------------------------------------------------------------------------------------------------------------------------------------------------------------------------------------------------------------------------------------------------------------------------------------------------------------------------------------------------------------------------------------------------------------------------------------------------------------------------------------------------------------------------------------------------------------------------------------------------------------------------------------------------------------------------------------------------------------------------------------------------------------------------------------------------------------------------------------------------------------------------------------------------------------------------------------------------------------------------------------------------------------------------------------------------------------------------------------------------------------------------------------------------------------------------------------------------------------------------------------------------------------------------------------------------------------------------------------------------------------------------------------------------------------------------------------------------------------------------------------------------------------------------------------------------------------------------------------------------------------------------------------------------------------------------------------------------------------------------------------------------------------------------------------------------------------------------------------------------------------------------------------------	--------------------------------------------------------------------------------------------------------------------------------------------------------------------------------------------------------------------------------------------------------------------------------------------------------------------------------------------------------------------------------------------------------------------------------------------------------------------------------------------------------------------------------------------------------------------------------------------------------------------------------------------------------------------------------------------------------------------------------------------------------------------------------------------------------------------------------------------------------------------------------------------------------------------------------------------------------------------------------------------------------------------------------------------------------------------------------------------------------------------------------------------------------------------------------------------------------------------------------------------------------------------------------------------------------------------------------------------------------------------------------------------------------------------------------------------------------------------------------------------------------------------------------------------------------------------------------------------------------------------------------------------------------------------------------------------------------------------------------------------------------------------------------------------------------------------------------------------------------------------------------------------------------------------------------------------------------------------------------------------------------------------------------------------------------------------------------------------------------------------------------	-------------------------------------------------------------------------------------------------------------------------------------------------------------------------------------------------------------------------------------------------------------------------------------------------------------------------------------------------------------------------------------------------------------------------------------------------------------------------------------------------------------------------------------------------------------------------------------------------------------------------------------------------------------------------------------------------------------------------------------------------------------------------------------------------------------------------------------------------------------------------------------------------------------------------------------------------------------------------------------------------------------------------------------------------------------------------------------------------------------------------------------------------------------------------------------------------------------------------------------------------------------------------------------------------------------------------------------------------------------------------------------------------------------------------------------------------------------------------------------------------------------------------------------------------------------------------------------------------------------------------------------------------------------------------------------------------------------------------------------------------------------------------------------------------------------------------------------------------------------------------------------------------------------------------------------------------------------------------------------------------------------------------------------------------------------------------------------------------------------------------------	------------------------------------------------------------------------------------------------------------------------------------------------------------------------------------------------------------------------------------------------------------------------------------------------------------------------------------------------------------------------------------------------------------------------------------------------------------------------------------------------------------------------------------------------------------------------------------------------------------------------------------------------------------------------------------------------------------------------------------------------------------------------------------------------------------------------------------------------------------------------------------------------------------------------------------------------------------------------------------------------------------------------------------------------------------------------------------------------------------------------------------------------------------------------------------------------------------------------------------------------------------------------------------------------------------------------------------------------------------------------------------------------------------------------------------------------------------------------------------------------------------------------------------------------------------------------------------------------------------------------------------------------------------------------------------------------------------------------------------------------------------------------------------------------------------------------------------------------------------------------------------------------------------------------------------------------------------------------------------------------------------------------------------------------------------------------------------------------------------------------------	
------------------------------------------------------------------------------------------------------------------------------------------------------------------------------------------------------------------------------------------------------------------------------------------------------------------------------------------------------------------------------------------------------------------------------------------------------------------------------------------------------------------------------------------------------------------------------------------------------------------------------------------------------------------------------------------------------------------------------------------------------------------------------------------------------------------------------------------------------------------------------------------------------------------------------------------------------------------------------------------------------------------------------------------------------------------------------------------------------------------------------------------------------------------------------------------------------------------------------------------------------------------------------------------------------------------------------------------------------------------------------------------------------------------------------------------------------------------------------------------------------------------------------------------------------------------------------------------------------------------------------------------------------------------------------------------------------------------------------------------------------------------------------------------------------------------------------------------------------------------------------------------------------------------------------------------------------------------------------------------------------------------------------------------------------------------------------------------------------------------------------	--------------------------------------------------------------------------------------------------------------------------------------------------------------------------------------------------------------------------------------------------------------------------------------------------------------------------------------------------------------------------------------------------------------------------------------------------------------------------------------------------------------------------------------------------------------------------------------------------------------------------------------------------------------------------------------------------------------------------------------------------------------------------------------------------------------------------------------------------------------------------------------------------------------------------------------------------------------------------------------------------------------------------------------------------------------------------------------------------------------------------------------------------------------------------------------------------------------------------------------------------------------------------------------------------------------------------------------------------------------------------------------------------------------------------------------------------------------------------------------------------------------------------------------------------------------------------------------------------------------------------------------------------------------------------------------------------------------------------------------------------------------------------------------------------------------------------------------------------------------------------------------------------------------------------------------------------------------------------------------------------------------------------------------------------------------------------------------------------------------------------------	--------------------------------------------------------------------------------------------------------------------------------------------------------------------------------------------------------------------------------------------------------------------------------------------------------------------------------------------------------------------------------------------------------------------------------------------------------------------------------------------------------------------------------------------------------------------------------------------------------------------------------------------------------------------------------------------------------------------------------------------------------------------------------------------------------------------------------------------------------------------------------------------------------------------------------------------------------------------------------------------------------------------------------------------------------------------------------------------------------------------------------------------------------------------------------------------------------------------------------------------------------------------------------------------------------------------------------------------------------------------------------------------------------------------------------------------------------------------------------------------------------------------------------------------------------------------------------------------------------------------------------------------------------------------------------------------------------------------------------------------------------------------------------------------------------------------------------------------------------------------------------------------------------------------------------------------------------------------------------------------------------------------------------------------------------------------------------------------------------------------------------	--------------------------------------------------------------------------------------------------------------------------------------------------------------------------------------------------------------------------------------------------------------------------------------------------------------------------------------------------------------------------------------------------------------------------------------------------------------------------------------------------------------------------------------------------------------------------------------------------------------------------------------------------------------------------------------------------------------------------------------------------------------------------------------------------------------------------------------------------------------------------------------------------------------------------------------------------------------------------------------------------------------------------------------------------------------------------------------------------------------------------------------------------------------------------------------------------------------------------------------------------------------------------------------------------------------------------------------------------------------------------------------------------------------------------------------------------------------------------------------------------------------------------------------------------------------------------------------------------------------------------------------------------------------------------------------------------------------------------------------------------------------------------------------------------------------------------------------------------------------------------------------------------------------------------------------------------------------------------------------------------------------------------------------------------------------------------------------------------------------------------------	
--------------------------------------------------------------------------------------------------------------------------------------------------------------------------------------------------------------------------------------------------------------------------------------------------------------------------------------------------------------------------------------------------------------------------------------------------------------------------------------------------------------------------------------------------------------------------------------------------------------------------------------------------------------------------------------------------------------------------------------------------------------------------------------------------------------------------------------------------------------------------------------------------------------------------------------------------------------------------------------------------------------------------------------------------------------------------------------------------------------------------------------------------------------------------------------------------------------------------------------------------------------------------------------------------------------------------------------------------------------------------------------------------------------------------------------------------------------------------------------------------------------------------------------------------------------------------------------------------------------------------------------------------------------------------------------------------------------------------------------------------------------------------------------------------------------------------------------------------------------------------------------------------------------------------------------------------------------------------------------------------------------------------------------------------------------------------------------------------------------------------------	---------------------------------------------------------------------------------------------------------------------------------------------------------------------------------------------------------------------------------------------------------------------------------------------------------------------------------------------------------------------------------------------------------------------------------------------------------------------------------------------------------------------------------------------------------------------------------------------------------------------------------------------------------------------------------------------------------------------------------------------------------------------------------------------------------------------------------------------------------------------------------------------------------------------------------------------------------------------------------------------------------------------------------------------------------------------------------------------------------------------------------------------------------------------------------------------------------------------------------------------------------------------------------------------------------------------------------------------------------------------------------------------------------------------------------------------------------------------------------------------------------------------------------------------------------------------------------------------------------------------------------------------------------------------------------------------------------------	-------------------------------------------------------------------------------------------------------------------------------------------------------------------------------------------------------------------------------------------------------------------------------------------------------------------------------------------------------------------------------------------------------------------------------------------------------------------------------------------------------------------------------------------------------------------------------------------------------------------------------------------------------------------------------------------------------------------------------------------------------------------------------------------------------------------------------------------------------------------------------------------------------------------------------------------------------------------------------------------------------------------	------------------------------------------------------------------------------------------------------------------------------------------------------------------------------------------------------------------------------------------------------------------------------------------------------------------------------------------------------------------------------------------------------------------------------------------------------------------------------------------------------------------------------------------------------------------------------------------------------------------------------------------------------------------------------------------------------------------------------------------------------------------------------------------------------------------------------------------------------------------------------------------------------------------------------------------------------------------------------------------------------------------------------------------------	------------------------------------------------------------------------------------------------------------------------------------------------------------------------------------------------------------------------------------------------------------------------------------------------------------------------------------------------------------------------------------------------------------------------------------------------------------------------------------------------------------------------------------------------------------------------------------------------------------------------------------------------------------------------------------------------------------------------------------------------------------------------------
------------------------------------------------------------------------------------------------------------------------------------------------------------------------------------------------------------------------------------------------------------------------------------------------------------------------------------------------------------------------------------------------------------------------------------------------------------------------------------------------------------------------------------------------------------------------------------------------------------------------------------------------------------------------------------------------------------------------------------------------------------------------------------------------------------------------------------------------------------------------------------------------------------------------------------------------------------------------------------------------------------------------------------------------------------------------------------------------------------------------------------------------------------------------------------------------------------------------------------------------------------------------------------	--------------------------------------------------------------------------------------------------------------------------------------------------------------------------------------------------------------------------------------------------------------------------------------------------------------------------------------------------------------------------------------------------------------------------------------------------------------------------------------------------------------------------------------------------------------------------------------------------------------------------------------------------------------------------------------------------------------------------------------------------------------------------------------------------------------------------------------------------------------------------------------------------------------------------------------------------------------------------------------------------------------------------------------------------------------------------------------------------------------------------------------------------------------------------------------------------------------------------------------------------------------------------------------------------------------------------------------------------------------------------------------------------------------------------------------------------------------------------------------------------------------------------------------------------------------------------------------------------------------------------------------------------------------------------------------------------------------------------------------------------------------------------------------------------------------------------------------------------------------------------------------------------------------------------------------------------------------------------------------------------------------------------------------------------------------------------------------------------------------------------------	--------------------------------------------------------------------------------------------------------------------------------------------------------------------------------------------------------------------------------------------------------------------------------------------------------------------------------------------------------------------------------------------------------------------------------------------------------------------------------------------------------------------------------------------------------------------------------------------------------------------------------------------------------------------------------------------------------------------------------------------------------------------------------------------------------------------------------------------------------------------------------------------------------------------------------------------------------------------------------------------------------------------------------------------------------------------------------------------------------------------------------------------------------------------------------------------------------------------------------------------------------------------------------------------------------------------------------------------------------------------------------------------------------------------------------------------------------------------------------------------------------------------------------------------------------------------------------------------------------------------------------------------------------------------------------------------------------------------------------------------------------------------------------------------------------------------------------------------------------------------------------------------------------------------------------------------------------------------------------------------------------------------------------------------------------------------------------------------------------------------------------	-------------------------------------------------------------------------------------------------------------------------------------------------------------------------------------------------------------------------------------------------------------------------------------------------------------------------------------------------------------------------------------------------------------------------------------------------------------------------------------------------------------------------------------------------------------------------------------------------------------------------------------------------------------------------------------------------------------------------------------------------------------------------------------------------------------------------------------------------------------------------------------------------------------------------------------------------------------------------------------------------------------------------------------------------------------------------------------------------------------------------------------------------------------------------------------------------------------------------------------------------------------------------------------------------------------------------------------------------------------------------------------------------------------------------------------------------------------------------------------------------------------------------------------------------------------------------------------------------------------------------------------------------------------------------------------------------------------------------------------------------------------------------------------------	-----------------------------------------------------------------------------------------------------------------------------------------------------------------------------------------------------------------------------------------------------------------------------------------------------------------------------------------------------------------------------------------------------------------------------------------------------------------------------------------------------------------------------------------------------------------------------------------------------------------------------------------------------------------------------------------------------------------------------------------------------------------------------------------------------------------------------------------------------------------------------------------------------------------------------------------------------------------------------------------------------------------------------------------------------------------------------------------------------------------------------------------------------------------------------------------------------------------------------------------------------------------------------------------------------------------------------------------------------------------------------------------------------------------------------------------------------------------------------------------------------------------------------------------------------------------------------------------------------------------------------------------------------
----------------------------------------------------------------------------------------------------------------------------------------------------------------------------------------------------------------------------------------------------------------------------------------------------------------------------------------------------------------------------------------------------------------------------------------------------------------------------------------------------------------------------------------------------------------------------------------------------------------------------------------------------------------------------------------------------------------------------------------------------------------------------------------------------------------------------------------------------------------------------------------------------------------------------------------------------------------------------------------------------------------------------------------------------------------------------------------------------------------------------------------------------------------------------------------------------------------------------------------------------------------------------------------------------------------------------------------------------------------------------------------------------------------------------------------------------------------------------------------------------	------------------------------------------------------------------------------------------------------------------------------------------------------------------------------------------------------------------------------------------------------------------------------------------------------------------------------------------------------------------------------------------------------------------------------------------------------------------------------------------------------------------------------------------------------------------------------------------------------------------------------------------------------------------------------------------------------------------------------------------------------------------------------------------------------------------------------------------------------------------------------------------------------------------------------------------------------------------------------------------------------------------------------------------------------------------------------------------------------------------------------------------------------------------------------------------------------------------------------------------------------------------------------------------------------------------------------------------------------------------------------------------------------------------------------------------------------------------------------------------------------------------------------------------------------------------------------------------------------------------------------------------------------------------------------------------------------------------------------------------------------------------------------------------------------------------------------------------------------------------------------------------------------------------------------------------------------------------------------------------------------------------------------------------------------------------------------------------------------------------------------	------------------------------------------------------------------------------------------------------------------------------------------------------------------------------------------------------------------------------------------------------------------------------------------------------------------------------------------------------------------------------------------------------------------------------------------------------------------------------------------------------------------------------------------------------------------------------------------------------------------------------------------------------------------------------------------------------------------------------------------------------------------------------------------------------------------------------------------------------------------------------------------------------------------------------------------------------------------------------------------------------------------------------------------------------------------------------------------------------------------------------------------------------------------------------------------------------------------------------------------------------------------------------------------------------------------------------------------------------------------------------------------------------------------------------------------------------------------------------------------------------------------------------------------------------------------------------------------------------------------------------------------------------------------------------------------------------------------------------------------------------------------------------------------------------------------------------------------------------------------------------------------------------------------------------------------------------------------------------------------------------------------------------------------------------------------------------------------------------------------------------	--------------------------------------------------------------------------------------------------------------------------------------------------------------------------------------------------------------------------------------------------------------------------------------------------------------------------------------------------------------------------------------------------------------------------------------------------------------------------------------------------------------------------------------------------------------------------------------------------------------------------------------------------------------------------------------------------------------------------------------------------------------------------------------------------------------------------------------------------------------------------------------------------------------------------------------------------------------------------------------------------------------------------------------------------------------------------------------------------------------------------------------------------------------------------------------------------------------------------------------------------------------------------------------------------------------------------------------------------------------------------------------------------------------------------------------------------------------------------------------------------------------------------------------------------------------------------------------------------------------------------------------------------------------------------------------------------------------------------------------------------------------------------------------------------------------------------------------------------------------------------------------------------------------------------------------------------------------------------------------------------------------------------------------------------------------------------------------------------------------------------------	------------------------------------------------------------------------------------------------------------------------------------------------------------------------------------------------------------------------------------------------------------------------------------------------------------------------------------------------------------------------------------------------------------------------------------------------------------------------------------------------------------------------------------------------------------------------------------------------------------------------------------------------------------------------------------------------------------------------------------------------------------------------------------------------------------------------------------------------------------------------------------------------------------------------------------------------------------------------------------------------------------------------------------------------------------------------------------------------------------------------------------------------------------------------------------------------------------------------------------------------------------------------------------------------------------------------------------------------------------------------------------------------------------------------------------------------------------------------------------------------------------------------------------------------------------------------------------------------------------------------------------------------------------------------------------------------------------------------------------------------------------------------------------------------------------------------------------------------------------------------------------------------------------------------------------------------------------------------------------------------------------------------------------------------------------------------------------------------------------------------------
-----------------------------------------------------------------------------------------------------------------------------------------------------------------------------------------------------------------------------------------------------------------------------------------------------------------------------------------------------------------------------------------------------------------------------------------------------------------------------------------------------------------------------------------------------------------------------------------------------------------------------------------------------------------------------------------------------------------------------------------------------------------------------------------------------------------------------------------------------------------------------------------------------------------------------------------------------------------------------------------------------------------------------------------------------------------------------------------------------------------------------------------------------------------------------------------------------------------------------------------------------------------------------------------------------------------------------------------------------------------------------------------------------------------------------------------------------------------------------------------------------------------------------------------------------------------------------------------------------------------------------------------------------------------------------------------------------------------------------------------------------------------------------------------------------------------------------------------------------------------------------------------------------------------------------------------------------------------------------------------------------------------------------------------------------------------------------------------------------------------------------	------------------------------------------------------------------------------------------------------------------------------------------------------------------------------------------------------------------------------------------------------------------------------------------------------------------------------------------------------------------------------------------------------------------------------------------------------------------------------------------------------------------------------------------------------------------------------------------------------------------------------------------------------------------------------------------------------------------------------------------------------------------------------------------------------------------------------------------------------------------------------------------------------------------------------------------------------------------------------------------------------------------------------------------------------------------------------------------------------------------------------------------------------------------------------------------------------------------------------------------------------------------------------------------------------------------------------------------------------------------------------------------------------------------------------------------------------------------------------------------------------------------------------------------------------------------------------------------------------------------------------------------------------------------------------------------------------------------------------------------------------------------------------------------------------------------------------------------------------------------------------------------------------------------------------------------------------------------------------------------------------------------------------------------------------------------------------------------------------------------------------	------------------------------------------------------------------------------------------------------------------------------------------------------------------------------------------------------------------------------------------------------------------------------------------------------------------------------------------------------------------------------------------------------------------------------------------------------------------------------------------------------------------------------------------------------------------------------------------------------------------------------------------------------------------------------------------------------------------------------------------------------------------------------------------------------------------------------------------------------------------------------------------------------------------------------------------------------------------------------------------------------------------------------------------------------------------------------------------------------------------------------------------------------------------------------------------------------------------------------------------------------------------------------------------------------------------------------------------------------------------------------------------------------------------------------------------------------------------------------------------------------------------------------------------------------------------------------------------------------------------------------------------------------------------------------------------------------------------------------------------------------------------------------------------------------------------------------------------------------------------------------------------------------------------------------------------------------------------------------------------------------------------------------------------------------------------------------------------------------------------------------	-----------	------------------------------------------------------------------------------------------------------------------------------------------------------------------------------------------------------------------------------------------------------------------------------------------------------------------------------------------------------------------------------------------------------------------------------------------------------------------------------------------------------------------------------------------------------------------------------------------------------------------------------------------------------------------------------------------------------------------------------------------------------------------------------------------------------------------------------------------------------------------------------------------------------------------------------------------------------------------------------------------------------------------------------------------------------------------------------------------------------------------------------------------------------------------------------------------------------------------------------------------------------------------------------------------------------------------------------------------------------------------------------------------------------------------------------------------------------------------------------------------------------------------------------------------------------------------------------------------------------------------------------------------------------------------------------------------------------------------------------------------------------------------------------------------------------------------------------------------------------------------------------------------------------------------------------------------------------------------------------------------------------------------------------------------------------------------------------------------------------------------------------
-----------------------------------------------------------------------------------------------------------------------------------------------------------------------------------------------------------------------------------------------------------------------------------------------------------------------------------------------------------------------------------------------------------------------------------------------------------------------------------------------------------------------------------------------------------------------------------------------------------------------------------------------------------------------------------------------------------------------------------------------------------------------------------------------------------------------------------------------------------------------------------------------------------------------------------------------------------------------------------------------------------------------------------------------------------------------------------------------------------------------------------------------------------------------------------------------------------------------------------------------------------------------------------------------------------------------------------------------------------------------------------------------------------------------------------------------------------------------------------------------------------------------------------------------------------------------------------------------------------------------------------------------------------------------------------------------------------------------------------------------------------------------------------------------------------------------------------------------------------------------------------------------------------------------------------------------------------------------------------------------------------------------------------------------------------------------------------------------------------------------------	-------------------------------------------------------------------------------------------------------	------------------------------------------------------------------------------------------------------------------------------------------------------------------------------------------------------------------------------------------------------------------------------------------------------------------------------------------------------------------------------------------------------------------------------------------------------------------------------------------------------------------------------------------------------------------------------------------------------------------------------------------------------------------------------------------------------------------------------------------------------------------------------------------------------------------------------------------------------------------------------------------------------------------------------------------------------------------------------------------------------------------------------------------------------------------------------------------------------------------------------------------------------------------------------------------------------------------------------------------------------------------------------------------------------------------------------------------------------------------------------------------------------------------------------------------------------------------------------------------------------------------------------------------------------------------------------------------------------------------------------------------------------------------------------------------------------------------------------------------------------------------------------------------------------------------------------------------------------------------------------------------------------------------------------------------------------------------------------------------------------------------------------------------------------------------------------------------------------------------------------	------------	-----------------------------------------------------------------------------------------------------------------------------------------------------------------------------------------------------------------------------------------------------------------------------------------------------------------------------------------------------------------------------------------------------------------------------------------------------------------------------------------------------------------------------------------------------------------------------------------------------------------------------------------------------------------------------------------------------------------------------------------------------------------------------------------------------------------------------------------------------------------------------------------------------------------------------------------------------------------------------------------------------------------------------------------------------------------------------------------------------------------------------------------------------------------------------------------------------------------------------------------------------------------------------------------------------------------------------------------------------------------------------------------------------------------------------------------------------------------------------------------------------------------------------------------------------------------------------------------------------------------------------------------------------------------------------------------------------------------------------------------------------------------------------------------------------------------------------------------------------------------------------------------------------------------------------------------------------------------------------------------------------------------------------------------------------------------------------------------------------------------------------
------------------------------------------------------------------------------------------------------------------------------------------------------------------------------------------------------------------------------------------------------------------------------------------------------------------------------------------------------------------------------------------------------------------------------------------------------------------------------------------------------------------------------------------------------------------------------------------------------------------------------------------------------------------------------------------------------------------------------------------------------------------------------------------------------------------------------------------------------------------------------------------------------------------------------------------------------------------------------------------------------------------------------------------------------------------------------------------------------------------------------------------------------------------------------------------------------------------------------------------------------------------------------------------------------------------------------------------------------------------------------------------------------------------------------------------------------------------------------------------------------------------------------------------------------------------------------------------------------------------------------------------------------------------------------------------------------------------------------------------------------------------------------------------------------------------------------------------------------------------------------------------------------------------------------------------------------------------------------------------------------------------------------------------------------------------------------------------------------------------------------				
[NI]	1181	N) I		) NI
                                                                                                                                                                                                                                                                                                                                         | NIL                                                                                                                                                                                                                                                                                                                                                                                                                                                                                                                                                                                                                                                                                                                                                                                                                                                                                                                                                                                                                                                                                                                                                                                                                                                                                                                                                                                                                                                                                                                                                                                                                                                                                                                                                                                                                                                                                                                                                                                                                                                                                                                          | INI                                                                                                                                                                                                                                                                                                                                                                                                                                                                                                                                                                                                                                                                                                                                                                                                                                                                                                                                                                                                                                                                                                                                                                                                                                                                                                                                                                                                                                                                                                                                                                                                                                                                                                                                                                                                                                                                                                                                                                                                                                                                                                                          | NIN                                                                                   | ı I Nı                                                                                                                                                                                                                                                                                                                                                                                                                                                                                                                                                                                                                                                                                                                                                                                                                                                                                                                                                                                                                                                                                                                                                                                                                                                                                                                                                                                                                                                                                                                                                                                                                                                                                                                                                                                                                                                                                                                                                                                                                                                                                                                       | [N]                                                                                                                                                                                                                                                                                                                                                                                                                                                                                                                                                                                                                                                                                                                                                                                                                                                                                                                                                                                                                                                                                                                                                                                                                                                                                                                                                                                                                                                                                                                                                                                                                                                                                                                                                                                                                                                                                                                                                                                                                                                                                                                          | N) [N                                                                                                                                                                                                                                                                                                                                                                                                                                                                                                                                                                                                                                                                                                                                                                                                                                                                                                                                                                                                                                                                                                                                                                                                                                                                                                                                                                                                                                           
                                                                                                                                                                                                                                                                                                                                                                                                                                                                                                                                                                                                                                                                           | NI N                                                                                                                                                                                                                                                                                                                                                                                                                                                                                                                                                                                                                                                                                                                                                                                                                                                                                                                                                                                                                                                                                                                                                                                                                                                                                                                                                                                                                                                                                                                                                                                                                                                                                                                                                                                                                                                                                                                                                                                                                                                                                                                      | ) I N                                                                                                                                                                                                                                                                                                                                                                                                                                                                                                                                                                                                                                                                                                                                                                                                                                                                                                                                                                                                                                                                                                                                                                                                                                                                                                                                                                                                                                                                                                                                                                                                                                                                                                                                                                                                                                                                                                                                                                                                                                                                                                                        | INT                                                                                               | NI                                                                                                                                                                                                                                                                                                                                                                                                                                                                                                                                                                                                                                                                                                                                                                                                                                                                                                                                                                                                                                                                                                                                                                                                                                                                                                                                                                                                                                                                                                                                                                                                                                                                                                                                                                                                                                                                                                                                                                                                                                                                                                                           | ۸۱۸                                                                               | J N                                                                                                                                                                                                                                                                                                                                                                                                                                                                                                                                                                                                                                                                                                                                                                                                                                                                                                                                                                                                                                                                                                                                                                                                                                                                                                                                                                                                                                                                                                                                                                                                                                                                                                                                                                                                                                                                                                                                                                                                                                                                                                                          | ı I Na                                                                                                                                                                                                                                                                                                                                                                                                                                                                                                                                                                                                                                                                                                                                                                                                                                                                                                                                                                                                           
                                                                                                                                                                                                                                                                                                                                                                                                                                                                                                                                                                                                                                                                                                                                                                                                                                                                                                                                                                                                                                                                                                           | IN                                                                                                    | NI                                                                                                | NIN                                                                                           | )   N                                                                                               | IN                                                                                                                                                                                                                                                                                                                                                                                                                                                                                                                                                                                                                                                                                                                                                                                                                                                                                                                                                                                                                                                                                                                                                                                                                                                                                                                                                                                                                                                                                                                                                                                                                                                                                                                                                                                                                                                                                                                                                                                                                                                                                                                        | N.T                                                                                       | NILA                                                                                                                                                                                                                                                                                                                                                                                                                                                                                                                                                                                                                                                                                                                                                                                                                                                                                                                                                                                                                                                                                                                                                                                                                                                                                                                                                                                                                                                                                                                                                                                                                                                                                                                                                                                                                                                                                                                                                                                                                                                                                                                       | ۸۱۸                                                                                                                                                                                                                                                                                                                                                                                                                                                                                                                                                                                                                                                                                                                                                                                                                                                                                                                                                                                                                                                                                                                                                                                                                                                                                                                                                                                                                                                                                                                                                                                                                                                                                                                                                                                                                                                                                                                                                                                                                                                                                                                            | I NI                                                                                                                                                                                                                                                                                                                                                                                                                                                                                                                                                                                                                                                                                                                                                                                                                                                                                                                                                                                                                                                                                                                                                                                                                                                                                                                                                                                                                                                                                                                                                                                                                                                                                                                                                                                                                                                                                                                                                                                                                                                                                                                          | I K J I                                                                                                                                                                                                                                                   
                                                                                                                                                                                                                                                                                                                                                                                                                                                                                                                                                                                                                                                                                                                                                                                                                                                                                                                                                                                                                                                                                                                                                                                                                                                                                                                                                                                                                                                                                                                                                                                                                                                                                                                                                                                                                                                                  | NIL                                                                                                                                                                                                                                                                                                                                                                                                                                                                                                                                                                                                                                                                                                                                                                                                                                                                                                                                                                                                                                                                                                                                                                                                                                                                                                                                                                                                                                                                                                                                                                                                                                                                                                                                                                                                                                                                                                                                                                                                                                                                                                                          | S) IN                                                                                                                                                                                                                                                                                                                                                                                                                                                                                                                                                                                                                                                                                                                                                                                                                                                                                                                                                                                                                                                                                                                                                                                                                                                                                                                                                                                                                                                                                                                                                                                                                                                                                                                                                                                                                                                                                                                                                                                                                                                                                                                          | ılsı                                                                                                                                                                                                                                                                                                                                                                                                                                                                                                                                                                                                                                                                                                                                                                                                                                                                                                                                                                                                                                                                                                                                                                                                                                                                                                                                                                                                                                                                                                                                                                                                                                                                                                                                                                                                                                                                                                                                                                                                                                                                                                                           | IN                                                                                                                                                                                                                                                                                                                                                                                                                                                                                                                                                                                                                                                                                                                                                                                                                                                                                                                                                                                                                                                                                                                                                                                                                                                                                                                                                                                                                                                                                                                                                                                                                                                                                                                                                                                                                                                                                                                                                                                                                                                                                                                             | N        
                                                                                                                                                                                                                                                                                                                                                                                                                                                                                                                                                                                                                                                                                                                                                                                                                                                                                                                                                                                                                                                                                                                                                                                                                                                                                                                                                                                                                                                                                                                                                                                                                                                                                                                                                                                                                                                                                                                                                                                                                                                                                                                     | NIN                                                                                                                                                                                                                                                                                                                                                                                                                                                                                                                                                                                                                                                                                                                                                                                                                                                                                                                                                                                                                                                                                                                                                                                                                                                                                                                                                                                                                                                                                                                                                                                                                                                                                                           | ואונ                                                                                                                                                                                                                                                                                                                                                                                                                                                                                                                                                                                                                                                                                                                                                                                                                                                                                                                                                                                                              | INI                                                                                                                                                                                                                                                                                                                                                                                                                                                                                                                                                                                                                                                                                                                                                                                                                                                                                                                                                                                                                                            | N) I N                                                                                                                                                                                                                                                                                                                                                                                                                                                                                                                                                                                                                                                                                                                                                                       | 3 N                                                                                                                                                                                                                                                                                                                                                                                                                                                                                                                                                                                                                                                                                                                                                                                                    | JIN)                                                                                                                                                                                                                                                                                                                                                                                                                                                                                                                                                                                    | TNI                                                                                                                                                                                                                                                                                                                                                                                                                                                                                            | INI                                                                                                                                                                                                                                                                                                                                                                                                                                                                                                                          | NIN                                                                                                                                                                                                                                                                                                                                                                                                                                                                                                                                                                                                            | u I N                                                                                                                                                                                                                                                                                                                                                                                                                                                                                                                                                                                                                            | Tail                         
                                                                                                                                                                                                                                                                                                                                                                                                                                                                                                                                                                                                                                                                                                                                                                                                                                                                                                                                                                                                                                                                                                                                                                                                                                                     | NIN                                                                                                                                                                                                                                                                                                                                                                                                                                                                                                                                                                                                                                                                                                                                                                                                                                                                                                                                                                                                                                                                                                                                                                                                                                                                                                                                                                                                                                                                                                                                                                                                                                                                                                                                                                                                                                                                                                                                                                                                                                                                                                                            | a la                                                                                                                                                                                                                                                                                                                                                                                                                                                                                                                                                                                                                                                                                                                                                                                                                                                                                                                                                                                                                                                                                                                                                                                                                                                                                                                                                                                                                                                                                                                                                                                                                                                                                                                                                                                                                                                                                                                                                                                                                                                                                                                           | INI N                                                                                                                                                                                                                                                                                                                                                                                                                                                                                                                                                                                                                                                                                                                                                                                                                                                                                                                                                                                                                                                                                                                                                                                                                                                                                                                                                                                                                                                                                                                                                                                                                                                                                                                                                                                     | u I N                                                                                                                                                                                                                                                                                                                                                                                                                                                                                                                                                                                                                                                                                                                                                                                                                                                                                                                                                                                                                                                                                                                                                                                                                                                                                                                                                                                                                                                                                                                                                                                                                                               | INI                                                                                                                                                                                                                                                                                                                                                                                                                                                                                                                                                                                                                                                                                                                                                                                                                                                                                                                                                                                                                                                                                                                                                                                                                                                                                                                                                                                                                                 
                                                              | N K                                                                                                                                                                                                                                                                                                                                                                                                                                                                                                                                                                                                                                                                                                                                                                                                                                                                                                                                                                                                                                                                                                                                                                                                                                                                                                                                                                                                                                                                                                                                                                                                                                                                                                                                                                                                                                                                                                                                                                                                                                                                                                                          | 1 1 1                                                                                                                                                                                                                                                                                                                                                                                                                                                                                                                                                                                                                                                                                                                                                                                                                                                                                                                                                                                                                                                                                                                                                                                                                                                                                                                                                                                                                                                                                                                                                                                                                                                                                                                                                                                                                                                                                                                                                                                                                                                                                                                        | IN I                                                                                                                                                                                                                                                                                                                                                                                                                                                                                                                                                                                                                                                                                                                                                                                                                                                                                                                                                                                                                                                                                                                                                                                                                                                                                                                                                                                                                                                                                                                                                                                                                                                                                                                                                                                                                                                                                                                                                                                                                                                                                                                           | N   N                                                                                                                                                                                                                                                                                                                                                                                                                                                                                                                                                                                                                                                                                                                                                                                                                                                                                                                                                                                                                                                                                                                                                                                                                                                                                                                                                                                                                                                                                                                                                                                                                                                                                                                                                                                                                                                                                                                                                                                                                                                                                                                        | ) N                                                                                              | TNI                                                                                                                                                                                                                                                                                                                                                                                                                                                                                                                                                                                                                                                                                                                                                                                                                                                                                                                                                                                                                                                                                                                                                                                                                                                                                                                                                                                                                                                                                                                                                                                                                                                                                                           
                                                                                                                                                                                                                                                                                                                                                                                                             | NIN                                                                                                                                                                                                                                                                                                                                                                                                                                                                                                                                                                                                                                                                                                                                                                                                                                                                                                                                                                                                                                                                                                                                                                                                                                                                                                                                                                                                                                                                                                                                                                                                                                                                                                                                                                                                                                                                                                                                                                                                                                                                                                                          | 3 N                                                                                                                                                                                                                                                                                                                                                                                                                                                                                                                                                                                                                                                                                                                                                                                                                                                                                                                                                                                                                                                                                                                                                                                                                                                                                                                                                                                                                                                                                                                                                                                                                                                                                                                                                                                                                                                                                                                                                                                                                                                                                                                          | ]<br>[2]  | ID :                                                                                                                                                                                                                                                                                                                                                                                                                                                                                                                                                                                                                                                                                                                                                                                                                                                                                                                                                                                                                                                                                                                                                                                                                                                                                                                                                                                                                                                                                                                                                                                                                                                                                                                                                                                                                                                                                                                                                                                                                                                                                                                         | 033-2                                                                                      | 2000                                                                                                                                                                                                                                                                                                                                                                                                                                                                                                                                                                                                                                                                                                                                                                                                                                                                                                                                                                                                                                                                                                                                                                                                                                                                                                                                                                                                                                                                                                                                                                                                                                                                                                                                                                                                                                                                                                                                                                                                                                                                                                                        | 7009                                                                                                  | 2-202                                                                                                                                                                                                                                                                                                                                                                                                                                                                                                                                                                                                                                                                                                                                                                                                                                                                                                                                                                                                                                                                                                                                                                                                                                               
                                                                                                                                                                                                                                                                                                                                                                                                                                                                                                                                                                                                                                                                                                                                                                                                                                                                        | 2092       | 27-20                                                                                                                                                                                                                                                                                                                                                                                                                                                                                                                                                                                                                                                                                                                                                                                                                                                                                                                                                                                                                                                                                                                                                                                                                                                                                                                                                                                                                                                                                                                                                                                                                                                                                                                                                                                                                                                                                                                                                                                                                                                                                                                       | 22_09<br>3   N                                                                                                                                                                                                                                                                                                                                                                                                                                                                                                                                                                                                                                                                                                                                                                                                                                                                                                                                                                                                                                                                                                                                                                                                                                                                                                                                                                                                                                                                                                                                                                                                                                                                                                                                                                                                                                                                                                                                                                                                                                                                                                               | 9_240                                                                                                                                                                                                                                                                                                                                                                                                                                                                                                                                                                                                                                                                                                                                                                                                                                                                                                                                                                                                                                                                                                                                                                                                                                                                                                                                                                                                                                                                                                                                                                                                                                                                                                                                                                                                                                                                                                                                                                                                                                                                                                                        |
| 021                                                                                                                                                                                                                                                                                                                                                                                                                                                                                                                                                                                                                                                                                                                                                                                                                                                                                                                                                                                                                                                                                                                                                                                                                                                                                                                                                                                                                                                                                                                                                                                                                                                                                                                                                                                                                                                                                                                                                                                                                                                                                                                          | 021                                                                                                                                                                                                                                                                                                                                                                                                                                                                                                                                                                                                                                                                                                                                                                                                                                                                                                                                                                                                                                                                                                                                                                                                                                                                                                                                                                                                                                                                                                                                                                                                                                                                                                                                                                                                                                                                                                                                                                                                                                                                                                                          | 021                                                                                                                                                                                                                                                                                                                                                                                                                                                                                                                                                                                                                                                                                                                                                                                                                                                                                                                                                                                                                                                                                                                                                                                                                                                                                                                                                                                                                                                                                                                                                                                                                                                                                                                                                                                                                                                                                                                                                                                                                                                                                                                          | 021                                                                                         | 021                                                                                                                                                                                                                                                                                                                                                                                                                                                                                                                                                                                                                                                                                                                                                                                                                                                                                                                                                                                                                                                                                                                                                                                                                                                                                                                                                                                                                                                                                                                                                                                                                                                                                                                                                                                                                                                                                                                                                                                                                                                                                                                          | 021                                                                                                                                                                                                                                                                                                                                                                                                                                                                                                                                                                                                                                                                                                                                                                                                                                                                                                                                                                                                                                                                                                                                                                                                                                                                                                                                                                                                                                                                                                                                                                                                                                                                                                                                                                                
                                                                                                                                                                                                                                                                                                                                         | 021                                                                                                                                                                                                                                                                                                                                                                                                                                                                                                                                                                                                                                                                                                                                                                                                                                                                                                                                                                                                                                                                                                                                                                                                                                                                                                                                                                                                                                                                                                                                                                                                                                                                                                                                                                                                                                                                                                                                                                                                                                                                                                                          | 021                                                                                                                                                                                                                                                                                                                                                                                                                                                                                                                                                                                                                                                                                                                                                                                                                                                                                                                                                                                                                                                                                                                                                                                                                                                                                                                                                                                                                                                                                                                                                                                                                                                                                                                                                                                                                                                                                                                                                                                                                                                                                                                          | 021                                                                                   | 021                                                                                                                                                                                                                                                                                                                                                                                                                                                                                                                                                                                                                                                                                                                                                                                                                                                                                                                                                                                                                                                                                                                                                                                                                                                                                                                                                                                                                                                                                                                                                                                                                                                                                                                                                                                                                                                                                                                                                                                                                                                                                                                          | 021                                                                                                                                                                                                                                                                                                                                                                                                                                                                                                                                                                                                                                                                                                                                                                                                                                                                                                                                                                                                                                                                                                                                                                                                                                                                                                                                                                                                                                                                                                                                                                                                                                                                                                                                                                                                                                                                                                                                                                                                                                                                                                                          | 021                                                                                                                                                                                                                                                                                                                                                                                                                                                                                                                                                                                                                                                                                                                                                                                                                                                                                                                                                                                                                                                                                                                                                                                                                                                                                                                                                                                                                                             
                                                                                                                                                                                                                                                                                                                                                                                                                                                                                                                                                                                                                                                                           | 021                                                                                                                                                                                                                                                                                                                                                                                                                                                                                                                                                                                                                                                                                                                                                                                                                                                                                                                                                                                                                                                                                                                                                                                                                                                                                                                                                                                                                                                                                                                                                                                                                                                                                                                                                                                                                                                                                                                                                                                                                                                                                                                       | 021                                                                                                                                                                                                                                                                                                                                                                                                                                                                                                                                                                                                                                                                                                                                                                                                                                                                                                                                                                                                                                                                                                                                                                                                                                                                                                                                                                                                                                                                                                                                                                                                                                                                                                                                                                                                                                                                                                                                                                                                                                                                                                                          | 021                                                                                               | 021                                                                                                                                                                                                                                                                                                                                                                                                                                                                                                                                                                                                                                                                                                                                                                                                                                                                                                                                                                                                                                                                                                                                                                                                                                                                                                                                                                                                                                                                                                                                                                                                                                                                                                                                                                                                                                                                                                                                                                                                                                                                                                                          | 021                                                                               | 021                                                                                                                                                                                                                                                                                                                                                                                                                                                                                                                                                                                                                                                                                                                                                                                                                                                                                                                                                                                                                                                                                                                                                                                                                                                                                                                                                                                                                                                                                                                                                                                                                                                                                                                                                                                                                                                                                                                                                                                                                                                                                                                          | 021                                                                                                                                                                                                                                                                                                                                                                                                                                                                                                                                                                                                                                                                                                                                                                                                                                                                                                                                                                                                              
                                                                                                                                                                                                                                                                                                                                                                                                                                                                                                                                                                                                                                                                                                                                                                                                                                                                                                                                                                                                                                                                                                           | 021                                                                                                   | 021                                                                                               | 021                                                                                           | 021                                                                                                 | 021                                                                                                                                                                                                                                                                                                                                                                                                                                                                                                                                                                                                                                                                                                                                                                                                                                                                                                                                                                                                                                                                                                                                                                                                                                                                                                                                                                                                                                                                                                                                                                                                                                                                                                                                                                                                                                                                                                                                                                                                                                                                                                                       | 021                                                                                       | 021                                                                                                                                                                                                                                                                                                                                                                                                                                                                                                                                                                                                                                                                                                                                                                                                                                                                                                                                                                                                                                                                                                                                                                                                                                                                                                                                                                                                                                                                                                                                                                                                                                                                                                                                                                                                                                                                                                                                                                                                                                                                                                                        | 021                                                                                                                                                                                                                                                                                                                                                                                                                                                                                                                                                                                                                                                                                                                                                                                                                                                                                                                                                                                                                                                                                                                                                                                                                                                                                                                                                                                                                                                                                                                                                                                                                                                                                                                                                                                                                                                                                                                                                                                                                                                                                                                            | 021                                                                                                                                                                                                                                                                                                                                                                                                                                                                                                                                                                                                                                                                                                                                                                                                                                                                                                                                                                                                                                                                                                                                                                                                                                                                                                                                                                                                                                                                                                                                                                                                                                                                                                                                                                                                                                                                                                                                                                                                                                                                                                                           | 2021                                                                                                                                                                                                                                                      
                                                                                                                                                                                                                                                                                                                                                                                                                                                                                                                                                                                                                                                                                                                                                                                                                                                                                                                                                                                                                                                                                                                                                                                                                                                                                                                                                                                                                                                                                                                                                                                                                                                                                                                                                                                                                                                                  | 021                                                                                                                                                                                                                                                                                                                                                                                                                                                                                                                                                                                                                                                                                                                                                                                                                                                                                                                                                                                                                                                                                                                                                                                                                                                                                                                                                                                                                                                                                                                                                                                                                                                                                                                                                                                                                                                                                                                                                                                                                                                                                                                          | 021                                                                                                                                                                                                                                                                                                                                                                                                                                                                                                                                                                                                                                                                                                                                                                                                                                                                                                                                                                                                                                                                                                                                                                                                                                                                                                                                                                                                                                                                                                                                                                                                                                                                                                                                                                                                                                                                                                                                                                                                                                                                                                                            | 021                                                                                                                                                                                                                                                                                                                                                                                                                                                                                                                                                                                                                                                                                                                                                                                                                                                                                                                                                                                                                                                                                                                                                                                                                                                                                                                                                                                                                                                                                                                                                                                                                                                                                                                                                                                                                                                                                                                                                                                                                                                                                                                            | 021                                                                                                                                                                                                                                                                                                                                                                                                                                                                                                                                                                                                                                                                                                                                                                                                                                                                                                                                                                                                                                                                                                                                                                                                                                                                                                                                                                                                                                                                                                                                                                                                                                                                                                                                                                                                                                                                                                                                                                                                                                                                                                                            | 021      
                                                                                                                                                                                                                                                                                                                                                                                                                                                                                                                                                                                                                                                                                                                                                                                                                                                                                                                                                                                                                                                                                                                                                                                                                                                                                                                                                                                                                                                                                                                                                                                                                                                                                                                                                                                                                                                                                                                                                                                                                                                                                                                     | 021                                                                                                                                                                                                                                                                                                                                                                                                                                                                                                                                                                                                                                                                                                                                                                                                                                                                                                                                                                                                                                                                                                                                                                                                                                                                                                                                                                                                                                                                                                                                                                                                                                                                                                           | 021                                                                                                                                                                                                                                                                                                                                                                                                                                                                                                                                                                                                                                                                                                                                                                                                                                                                                                                                                                                                               | 021                                                                                                                                                                                                                                                                                                                                                                                                                                                                                                                                                                                                                                                                                                                                                                                                                                                                                                                                                                                                                                            | 021                                                                                                                                                                                                                                                                                                                                                                                                                                                                                                                                                                                                                                                                                                                                                                          | 021                                                                                                                                                                                                                                                                                                                                                                                                                                                                                                                                                                                                                                                                                                                                                                                                    | 021                                                                                                                                                                                                                                                                                                                                                                                                                                                                                                                                                                                     | 021                                                                                                                                                                                                                                                                                                                                                                                                                                                                                            | 021                                                                                                                                                                                                                                                                                                                                                                                                                                                                                                                          | 021                                                                                                                                                                                                                                                                                                                                                                                                                                                                                                                                                                                                            | 021                                                                                                                                                                                                                                                                                                                                                                                                                                                                                                                                                                                                                              | 021                          
                                                                                                                                                                                                                                                                                                                                                                                                                                                                                                                                                                                                                                                                                                                                                                                                                                                                                                                                                                                                                                                                                                                                                                                                                                                     | 021                                                                                                                                                                                                                                                                                                                                                                                                                                                                                                                                                                                                                                                                                                                                                                                                                                                                                                                                                                                                                                                                                                                                                                                                                                                                                                                                                                                                                                                                                                                                                                                                                                                                                                                                                                                                                                                                                                                                                                                                                                                                                                                            | 021                                                                                                                                                                                                                                                                                                                                                                                                                                                                                                                                                                                                                                                                                                                                                                                                                                                                                                                                                                                                                                                                                                                                                                                                                                                                                                                                                                                                                                                                                                                                                                                                                                                                                                                                                                                                                                                                                                                                                                                                                                                                                                                            | 021                                                                                                                                                                                                                                                                                                                                                                                                                                                                                                                                                                                                                                                                                                                                                                                                                                                                                                                                                                                                                                                                                                                                                                                                                                                                                                                                                                                                                                                                                                                                                                                                                                                                                                                                                                                       | 021                                                                                                                                                                                                                                                                                                                                                                                                                                                                                                                                                                                                                                                                                                                                                                                                                                                                                                                                                                                                                                                                                                                                                                                                                                                                                                                                                                                                                                                                                                                                                                                                                                                 | 021                                                                                                                                                                                                                                                                                                                                                                                                                                                                                                                                                                                                                                                                                                                                                                                                                                                                                                                                                                                                                                                                                                                                                                                                                                                                                                                                                                                                                                 
                                                              | 021                                                                                                                                                                                                                                                                                                                                                                                                                                                                                                                                                                                                                                                                                                                                                                                                                                                                                                                                                                                                                                                                                                                                                                                                                                                                                                                                                                                                                                                                                                                                                                                                                                                                                                                                                                                                                                                                                                                                                                                                                                                                                                                          | 021                                                                                                                                                                                                                                                                                                                                                                                                                                                                                                                                                                                                                                                                                                                                                                                                                                                                                                                                                                                                                                                                                                                                                                                                                                                                                                                                                                                                                                                                                                                                                                                                                                                                                                                                                                                                                                                                                                                                                                                                                                                                                                                          | 2021                                                                                                                                                                                                                                                                                                                                                                                                                                                                                                                                                                                                                                                                                                                                                                                                                                                                                                                                                                                                                                                                                                                                                                                                                                                                                                                                                                                                                                                                                                                                                                                                                                                                                                                                                                                                                                                                                                                                                                                                                                                                                                                           | 021                                                                                                                                                                                                                                                                                                                                                                                                                                                                                                                                                                                                                                                                                                                                                                                                                                                                                                                                                                                                                                                                                                                                                                                                                                                                                                                                                                                                                                                                                                                                                                                                                                                                                                                                                                                                                                                                                                                                                                                                                                                                                                                          | 021                                                                                              | 021                                                                                                                                                                                                                                                                                                                                                                                                                                                                                                                                                                                                                                                                                                                                                                                                                                                                                                                                                                                                                                                                                                                                                                                                                                                                                                                                                                                                                                                                                                                                                                                                                                                                                                           
                                                                                                                                                                                                                                                                                                                                                                                                             | 021                                                                                                                                                                                                                                                                                                                                                                                                                                                                                                                                                                                                                                                                                                                                                                                                                                                                                                                                                                                                                                                                                                                                                                                                                                                                                                                                                                                                                                                                                                                                                                                                                                                                                                                                                                                                                                                                                                                                                                                                                                                                                                                          | 021                                                                                                                                                                                                                                                                                                                                                                                                                                                                                                                                                                                                                                                                                                                                                                                                                                                                                                                                                                                                                                                                                                                                                                                                                                                                                                                                                                                                                                                                                                                                                                                                                                                                                                                                                                                                                                                                                                                                                                                                                                                                                                                          | 021       | 021                                                                                                                                                                                                                                                                                                                                                                                                                                                                                                                                                                                                                                                                                                                                                                                                                                                                                                                                                                                                                                                                                                                                                                                                                                                                                                                                                                                                                                                                                                                                                                                                                                                                                                                                                                                                                                                                                                                                                                                                                                                                                                                          | 021                                                                                        | 021                                                                                                                                                                                                                                                                                                                                                                                                                                                                                                                                                                                                                                                                                                                                                                                                                                                                                                                                                                                                                                                                                                                                                                                                                                                                                                                                                                                                                                                                                                                                                                                                                                                                                                                                                                                                                                                                                                                                                                                                                                                                                                                         | 021                                                                                                   | 021                                                                                                                                                                                                                                                                                                                                                                                                                                                                                                                                                                                                                                                                                                                                                                                                                                                                                                                                                                                                                                                                                                                                                                                                                                                 
                                                                                                                                                                                                                                                                                                                                                                                                                                                                                                                                                                                                                                                                                                                                                                                                                                                                        | 021        | 021                                                                                                                                                                                                                                                                                                                                                                                                                                                                                                                                                                                                                                                                                                                                                                                                                                                                                                                                                                                                                                                                                                                                                                                                                                                                                                                                                                                                                                                                                                                                                                                                                                                                                                                                                                                                                                                                                                                                                                                                                                                                                                                         | 021                                                                                                                                                                                                                                                                                                                                                                                                                                                                                                                                                                                                                                                                                                                                                                                                                                                                                                                                                                                                                                                                                                                                                                                                                                                                                                                                                                                                                                                                                                                                                                                                                                                                                                                                                                                                                                                                                                                                                                                                                                                                                                                          | 021                                                                                                                                                                                                                                                                                                                                                                                                                                                                                                                                                                                                                                                                                                                                                                                                                                                                                                                                                                                                                                                                                                                                                                                                                                                                                                                                                                                                                                                                                                                                                                                                                                                                                                                                                                                                                                                                                                                                                                                                                                                                                                                          |
| PL                                                                                                                                                                                                                                                                                                                                                                                                                                                                                                                                                                                                                                                                                                                                                                                                                                                                                                                                                                                                                                                                                                                                                                                                                                                                                                                                                                                                                                                                                                                                                                                                                                                                                                                                                                                                                                                                                                                                                                                                                                                                                                                           | a a                                                                                                                                                                                                                                                                                                                                                                                                                                                                                                                                                                                                                                                                                                                                                                                                                                                                                                                                                                                                                                                                                                                                                                                                                                                                                                                                                                                                                                                                                                                                                                                                                                                                                                                                                                                                                                                                                                                                                                                                                                                                                                                          | AM !                                                                                                                                                                                                                                                                                                                                                                                                                                                                                                                                                                                                                                                                                                                                                                                                                                                                                                                                                                                                                                                                                                                                                                                                                                                                                                                                                                                                                                                                                                                                                                                                                                                                                                                                                                                                                                                                                                                                                                                                                                                                                                                         | 7A AO                                                                                       | ð                                                                                                                                                                                                                                                                                                                                                                                                                                                                                                                                                                                                                                                                                                                                                                                                                                                                                                                                                                                                                                                                                                                                                                                                                                                                                                                                                                                                                                                                                                                                                                                                                                                                                                                                                                                                                                                                                                                                                                                                                                                                                                                            | AO                                                                                                                                                                                                                                                                                                                                                                                                                                                                                                                                                                                                                                                                                                                                                                                                                                                                                                                                                                                                                                                                                                                                                                                                                                                                                                                                                                                                                                                                                                                                                                                                                                                                                                                                                                                 
                                                                                                                                                                                                                                                                                                                                         | 2 2                                                                                                                                                                                                                                                                                                                                                                                                                                                                                                                                                                                                                                                                                                                                                                                                                                                                                                                                                                                                                                                                                                                                                                                                                                                                                                                                                                                                                                                                                                                                                                                                                                                                                                                                                                                                                                                                                                                                                                                                                                                                                                                          | S A                                                                                                                                                                                                                                                                                                                                                                                                                                                                                                                                                                                                                                                                                                                                                                                                                                                                                                                                                                                                                                                                                                                                                                                                                                                                                                                                                                                                                                                                                                                                                                                                                                                                                                                                                                                                                                                                                                                                                                                                                                                                                                                          | 8 6                                                                                   | 무                                                                                                                                                                                                                                                                                                                                                                                                                                                                                                                                                                                                                                                                                                                                                                                                                                                                                                                                                                                                                                                                                                                                                                                                                                                                                                                                                                                                                                                                                                                                                                                                                                                                                                                                                                                                                                                                                                                                                                                                                                                                                                                            | ð                                                                                                                                                                                                                                                                                                                                                                                                                                                                                                                                                                                                                                                                                                                                                                                                                                                                                                                                                                                                                                                                                                                                                                                                                                                                                                                                                                                                                                                                                                                                                                                                                                                                                                                                                                                                                                                                                                                                                                                                                                                                                                                            | 8 8                                                                                                                                                                                                                                                                                                                                                                                                                                                                                                                                                                                                                                                                                                                                                                                                                                                                                                                                                                                                                                                                                                                                                                                                                                                                                                                                                                                                                                             
                                                                                                                                                                                                                                                                                                                                                                                                                                                                                                                                                                                                                                                                           | 3 2                                                                                                                                                                                                                                                                                                                                                                                                                                                                                                                                                                                                                                                                                                                                                                                                                                                                                                                                                                                                                                                                                                                                                                                                                                                                                                                                                                                                                                                                                                                                                                                                                                                                                                                                                                                                                                                                                                                                                                                                                                                                                                                       | P A                                                                                                                                                                                                                                                                                                                                                                                                                                                                                                                                                                                                                                                                                                                                                                                                                                                                                                                                                                                                                                                                                                                                                                                                                                                                                                                                                                                                                                                                                                                                                                                                                                                                                                                                                                                                                                                                                                                                                                                                                                                                                                                          | 8                                                                                                 | 28                                                                                                                                                                                                                                                                                                                                                                                                                                                                                                                                                                                                                                                                                                                                                                                                                                                                                                                                                                                                                                                                                                                                                                                                                                                                                                                                                                                                                                                                                                                                                                                                                                                                                                                                                                                                                                                                                                                                                                                                                                                                                                                           | 8 8                                                                               | 3 8                                                                                                                                                                                                                                                                                                                                                                                                                                                                                                                                                                                                                                                                                                                                                                                                                                                                                                                                                                                                                                                                                                                                                                                                                                                                                                                                                                                                                                                                                                                                                                                                                                                                                                                                                                                                                                                                                                                                                                                                                                                                                                                          | 8                                                                                                                                                                                                                                                                                                                                                                                                                                                                                                                                                                                                                                                                                                                                                                                                                                                                                                                                                                                                                
                                                                                                                                                                                                                                                                                                                                                                                                                                                                                                                                                                                                                                                                                                                                                                                                                                                                                                                                                                                                                                                                                                           | 8                                                                                                     | 8                                                                                                 | 8 =                                                                                           | 8 8                                                                                                 | BM                                                                                                                                                                                                                                                                                                                                                                                                                                                                                                                                                                                                                                                                                                                                                                                                                                                                                                                                                                                                                                                                                                                                                                                                                                                                                                                                                                                                                                                                                                                                                                                                                                                                                                                                                                                                                                                                                                                                                                                                                                                                                                                        | 뿔                                                                                         | A S                                                                                                                                                                                                                                                                                                                                                                                                                                                                                                                                                                                                                                                                                                                                                                                                                                                                                                                                                                                                                                                                                                                                                                                                                                                                                                                                                                                                                                                                                                                                                                                                                                                                                                                                                                                                                                                                                                                                                                                                                                                                                                                        | 2 2                                                                                                                                                                                                                                                                                                                                                                                                                                                                                                                                                                                                                                                                                                                                                                                                                                                                                                                                                                                                                                                                                                                                                                                                                                                                                                                                                                                                                                                                                                                                                                                                                                                                                                                                                                                                                                                                                                                                                                                                                                                                                                                            | BZ                                                                                                                                                                                                                                                                                                                                                                                                                                                                                                                                                                                                                                                                                                                                                                                                                                                                                                                                                                                                                                                                                                                                                                                                                                                                                                                                                                                                                                                                                                                                                                                                                                                                                                                                                                                                                                                                                                                                                                                                                                                                                                                            | 웃                                                                                                                                                                                                                                                         
                                                                                                                                                                                                                                                                                                                                                                                                                                                                                                                                                                                                                                                                                                                                                                                                                                                                                                                                                                                                                                                                                                                                                                                                                                                                                                                                                                                                                                                                                                                                                                                                                                                                                                                                                                                                                                                                  | 8                                                                                                                                                                                                                                                                                                                                                                                                                                                                                                                                                                                                                                                                                                                                                                                                                                                                                                                                                                                                                                                                                                                                                                                                                                                                                                                                                                                                                                                                                                                                                                                                                                                                                                                                                                                                                                                                                                                                                                                                                                                                                                                            | 문 명                                                                                                                                                                                                                                                                                                                                                                                                                                                                                                                                                                                                                                                                                                                                                                                                                                                                                                                                                                                                                                                                                                                                                                                                                                                                                                                                                                                                                                                                                                                                                                                                                                                                                                                                                                                                                                                                                                                                                                                                                                                                                                                            | B B                                                                                                                                                                                                                                                                                                                                                                                                                                                                                                                                                                                                                                                                                                                                                                                                                                                                                                                                                                                                                                                                                                                                                                                                                                                                                                                                                                                                                                                                                                                                                                                                                                                                                                                                                                                                                                                                                                                                                                                                                                                                                                                            | 모                                                                                                                                                                                                                                                                                                                                                                                                                                                                                                                                                                                                                                                                                                                                                                                                                                                                                                                                                                                                                                                                                                                                                                                                                                                                                                                                                                                                                                                                                                                                                                                                                                                                                                                                                                                                                                                                                                                                                                                                                                                                                                                              | 野        
                                                                                                                                                                                                                                                                                                                                                                                                                                                                                                                                                                                                                                                                                                                                                                                                                                                                                                                                                                                                                                                                                                                                                                                                                                                                                                                                                                                                                                                                                                                                                                                                                                                                                                                                                                                                                                                                                                                                                                                                                                                                                                                     | 문 2                                                                                                                                                                                                                                                                                                                                                                                                                                                                                                                                                                                                                                                                                                                                                                                                                                                                                                                                                                                                                                                                                                                                                                                                                                                                                                                                                                                                                                                                                                                                                                                                                                                                                                           | 위                                                                                                                                                                                                                                                                                                                                                                                                                                                                                                                                                                                                                                                                                                                                                                                                                                                                                                                                                                                                                 | P                                                                                                                                                                                                                                                                                                                                                                                                                                                                                                                                                                                                                                                                                                                                                                                                                                                                                                                                                                                                                                              | 의 6                                                                                                                                                                                                                                                                                                                                                                                                                                                                                                                                                                                                                                                                                                                                                                          | 3 8                                                                                                                                                                                                                                                                                                                                                                                                                                                                                                                                                                                                                                                                                                                                                                                                    | 3 모                                                                                                                                                                                                                                                                                                                                                                                                                                                                                                                                                                                     |                                                                                                                                                                                                                                                                                                                                                                                                                                                                                                | P                                                                                                                                                                                                                                                                                                                                                                                                                                                                                                                            | 3                                                                                                                                                                                                                                                                                                                                                                                                                                                                                                                                                                                                              | 2 2                                                                                                                                                                                                                                                                                                                                                                                                                                                                                                                                                                                                                              | 2                            
                                                                                                                                                                                                                                                                                                                                                                                                                                                                                                                                                                                                                                                                                                                                                                                                                                                                                                                                                                                                                                                                                                                                                                                                                                                     | 2 3                                                                                                                                                                                                                                                                                                                                                                                                                                                                                                                                                                                                                                                                                                                                                                                                                                                                                                                                                                                                                                                                                                                                                                                                                                                                                                                                                                                                                                                                                                                                                                                                                                                                                                                                                                                                                                                                                                                                                                                                                                                                                                                            | 3 2                                                                                                                                                                                                                                                                                                                                                                                                                                                                                                                                                                                                                                                                                                                                                                                                                                                                                                                                                                                                                                                                                                                                                                                                                                                                                                                                                                                                                                                                                                                                                                                                                                                                                                                                                                                                                                                                                                                                                                                                                                                                                                                            | 오                                                                                                                                                                                                                                                                                                                                                                                                                                                                                                                                                                                                                                                                                                                                                                                                                                                                                                                                                                                                                                                                                                                                                                                                                                                                                                                                                                                                                                                                                                                                                                                                                                                                                                                                                                                         | 2 2                                                                                                                                                                                                                                                                                                                                                                                                                                                                                                                                                                                                                                                                                                                                                                                                                                                                                                                                                                                                                                                                                                                                                                                                                                                                                                                                                                                                                                                                                                                                                                                                                                                 | 8                                                                                                                                                                                                                                                                                                                                                                                                                                                                                                                                                                                                                                                                                                                                                                                                                                                                                                                                                                                                                                                                                                                                                                                                                                                                                                                                                                                                                                   
                                                              | 8 8                                                                                                                                                                                                                                                                                                                                                                                                                                                                                                                                                                                                                                                                                                                                                                                                                                                                                                                                                                                                                                                                                                                                                                                                                                                                                                                                                                                                                                                                                                                                                                                                                                                                                                                                                                                                                                                                                                                                                                                                                                                                                                                          | 8                                                                                                                                                                                                                                                                                                                                                                                                                                                                                                                                                                                                                                                                                                                                                                                                                                                                                                                                                                                                                                                                                                                                                                                                                                                                                                                                                                                                                                                                                                                                                                                                                                                                                                                                                                                                                                                                                                                                                                                                                                                                                                                            | ВВ                                                                                                                                                                                                                                                                                                                                                                                                                                                                                                                                                                                                                                                                                                                                                                                                                                                                                                                                                                                                                                                                                                                                                                                                                                                                                                                                                                                                                                                                                                                                                                                                                                                                                                                                                                                                                                                                                                                                                                                                                                                                                                                             | B 4                                                                                                                                                                                                                                                                                                                                                                                                                                                                                                                                                                                                                                                                                                                                                                                                                                                                                                                                                                                                                                                                                                                                                                                                                                                                                                                                                                                                                                                                                                                                                                                                                                                                                                                                                                                                                                                                                                                                                                                                                                                                                                                          | 2                                                                                                | 2                                                                                                                                                                                                                                                                                                                                                                                                                                                                                                                                                                                                                                                                                                                                                                                                                                                                                                                                                                                                                                                                                                                                                                                                                                                                                                                                                                                                                                                                                                                                                                                                                                                                                                             
                                                                                                                                                                                                                                                                                                                                                                                                             | ₽ ?                                                                                                                                                                                                                                                                                                                                                                                                                                                                                                                                                                                                                                                                                                                                                                                                                                                                                                                                                                                                                                                                                                                                                                                                                                                                                                                                                                                                                                                                                                                                                                                                                                                                                                                                                                                                                                                                                                                                                                                                                                                                                                                          | 3 8                                                                                                                                                                                                                                                                                                                                                                                                                                                                                                                                                                                                                                                                                                                                                                                                                                                                                                                                                                                                                                                                                                                                                                                                                                                                                                                                                                                                                                                                                                                                                                                                                                                                                                                                                                                                                                                                                                                                                                                                                                                                                                                          | 모         | 모                                                                                                                                                                                                                                                                                                                                                                                                                                                                                                                                                                                                                                                                                                                                                                                                                                                                                                                                                                                                                                                                                                                                                                                                                                                                                                                                                                                                                                                                                                                                                                                                                                                                                                                                                                                                                                                                                                                                                                                                                                                                                                                            | <u> 8</u> 8                                                                                | R                                                                                                                                                                                                                                                                                                                                                                                                                                                                                                                                                                                                                                                                                                                                                                                                                                                                                                                                                                                                                                                                                                                                                                                                                                                                                                                                                                                                                                                                                                                                                                                                                                                                                                                                                                                                                                                                                                                                                                                                                                                                                                                           | 모 ?                                                                                                   | 8 8                                                                                                                                                                                                                                                                                                                                                                                                                                                                                                                                                                                                                                                                                                                                                                                                                                                                                                                                                                                                                                                                                                                                                                                                                                                 
                                                                                                                                                                                                                                                                                                                                                                                                                                                                                                                                                                                                                                                                                                                                                                                                                                                                        | R          | 87 -                                                                                                                                                                                                                                                                                                                                                                                                                                                                                                                                                                                                                                                                                                                                                                                                                                                                                                                                                                                                                                                                                                                                                                                                                                                                                                                                                                                                                                                                                                                                                                                                                                                                                                                                                                                                                                                                                                                                                                                                                                                                                                                        | ₽<br>B<br>B                                                                                                                                                                                                                                                                                                                                                                                                                                                                                                                                                                                                                                                                                                                                                                                                                                                                                                                                                                                                                                                                                                                                                                                                                                                                                                                                                                                                                                                                                                                                                                                                                                                                                                                                                                                                                                                                                                                                                                                                                                                                                                                  | ВН                                                                                                                                                                                                                                                                                                                                                                                                                                                                                                                                                                                                                                                                                                                                                                                                                                                                                                                                                                                                                                                                                                                                                                                                                                                                                                                                                                                                                                                                                                                                                                                                                                                                                                                                                                                                                                                                                                                                                                                                                                                                                                                           | | | | | | |
|                                                                                                                                                                                                                                                                                                                                                                                                                                                                                                                                                                                                                                                                                                                                                                                                                                                                                                                                                                                                                                                                                                                                                                                                                                                                                                                                                                                                                                                                                                                                                                                                                                                                                                                                                                                                                                                                                                                                                                                                                                                                                                                              |                                                                                                                                                                                                                                                                                                                                                                                                                                                                                                                                                                                                                                                                                                                                                                                                                                                                                                                                                                                                                                                                                                                                                                                                                                                                                                                                                                                                                                                                                                                                                                                                                                                                                                                                                                                                                                                                                                                                                                                                                                                                                                                              |                                                                                                                                                                                                                                                                                                                                                                                                                                                                                                                                                                                                                                                                                                                                                                                                                                                                                                                                                                                                                                                                                                                                                                                                                                                                                                                                                                                                                                                                                                                                                                                                                                                                                                                                                                                                                                                                                                                                                                                                                                                                                                                              |                                                                                             |                                                                                                                                                                                                                                                                                                                                                                                                                                                                                                                                                                                                                                                                                                                                                                                                                                                                                                                                                                                                                                                                                                                                                                                                                                                                                                                                                                                                                                                                                                                                                                                                                                                                                                                                                                                                                                                                                                                                                                                                                                                                                                                              |                                                                                                                                                                                                                                                                                                                                                                                                                                                                                                                                                                                                                                                                                                                                                                                                                                                                                                                                                                                                                                                                                                                                                                                                                                                                                                                                                                                                                                                                                                                                                                                                                                                                                                                                                                                    
                                                                                                                                                                                                                                                                                                                                         |                                                                                                                                                                                                                                                                                                                                                                                                                                                                                                                                                                                                                                                                                                                                                                                                                                                                                                                                                                                                                                                                                                                                                                                                                                                                                                                                                                                                                                                                                                                                                                                                                                                                                                                                                                                                                                                                                                                                                                                                                                                                                                                              |                                                                                                                                                                                                                                                                                                                                                                                                                                                                                                                                                                                                                                                                                                                                                                                                                                                                                                                                                                                                                                                                                                                                                                                                                                                                                                                                                                                                                                                                                                                                                                                                                                                                                                                                                                                                                                                                                                                                                                                                                                                                                                                              |                                                                                       |                                                                                                                                                                                                                                                                                                                                                                                                                                                                                                                                                                                                                                                                                                                                                                                                                                                                                                                                                                                                                                                                                                                                                                                                                                                                                                                                                                                                                                                                                                                                                                                                                                                                                                                                                                                                                                                                                                                                                                                                                                                                                                                              |                                                                                                                                                                                                                                                                                                                                                                                                                                                                                                                                                                                                                                                                                                                                                                                                                                                                                                                                                                                                                                                                                                                                                                                                                                                                                                                                                                                                                                                                                                                                                                                                                                                                                                                                                                                                                                                                                                                                                                                                                                                                                                                              |                                                                                                                                                                                                                                                                                                                                                                                                                                                                                                                                                                                                                                                                                                                                                                                                                                                                                                                                                                                                                                                                                                                                                                                                                                                                                                                                                                                                                                                 
                                                                                                                                                                                                                                                                                                                                                                                                                                                                                                                                                                                                                                                                           |                                                                                                                                                                                                                                                                                                                                                                                                                                                                                                                                                                                                                                                                                                                                                                                                                                                                                                                                                                                                                                                                                                                                                                                                                                                                                                                                                                                                                                                                                                                                                                                                                                                                                                                                                                                                                                                                                                                                                                                                                                                                                                                           |                                                                                                                                                                                                                                                                                                                                                                                                                                                                                                                                                                                                                                                                                                                                                                                                                                                                                                                                                                                                                                                                                                                                                                                                                                                                                                                                                                                                                                                                                                                                                                                                                                                                                                                                                                                                                                                                                                                                                                                                                                                                                                                              |                                                                                                   |                                                                                                                                                                                                                                                                                                                                                                                                                                                                                                                                                                                                                                                                                                                                                                                                                                                                                                                                                                                                                                                                                                                                                                                                                                                                                                                                                                                                                                                                                                                                                                                                                                                                                                                                                                                                                                                                                                                                                                                                                                                                                                                              |                                                                                   |                                                                                                                                                                                                                                                                                                                                                                                                                                                                                                                                                                                                                                                                                                                                                                                                                                                                                                                                                                                                                                                                                                                                                                                                                                                                                                                                                                                                                                                                                                                                                                                                                                                                                                                                                                                                                                                                                                                                                                                                                                                                                                                              |                                                                                                                                                                                                                                                                                                                                                                                                                                                                                                                                                                                                                                                                                                                                                                                                                                                                                                                                                                                                                  
                                                                                                                                                                                                                                                                                                                                                                                                                                                                                                                                                                                                                                                                                                                                                                                                                                                                                                                                                                                                                                                                                                           |                                                                                                       |                                                                                                   |                                                                                               |                                                                                                     |                                                                                                                                                                                                                                                                                                                                                                                                                                                                                                                                                                                                                                                                                                                                                                                                                                                                                                                                                                                                                                                                                                                                                                                                                                                                                                                                                                                                                                                                                                                                                                                                                                                                                                                                                                                                                                                                                                                                                                                                                                                                                                                           |                                                                                           |                                                                                                                                                                                                                                                                                                                                                                                                                                                                                                                                                                                                                                                                                                                                                                                                                                                                                                                                                                                                                                                                                                                                                                                                                                                                                                                                                                                                                                                                                                                                                                                                                                                                                                                                                                                                                                                                                                                                                                                                                                                                                                                            |                                                                                                                                                                                                                                                                                                                                                                                                                                                                                                                                                                                                                                                                                                                                                                                                                                                                                                                                                                                                                                                                                                                                                                                                                                                                                                                                                                                                                                                                                                                                                                                                                                                                                                                                                                                                                                                                                                                                                                                                                                                                                                                                |                                                                                                                                                                                                                                                                                                                                                                                                                                                                                                                                                                                                                                                                                                                                                                                                                                                                                                                                                                                                                                                                                                                                                                                                                                                                                                                                                                                                                                                                                                                                                                                                                                                                                                                                                                                                                                                                                                                                                                                                                                                                                                                               |                                                                                                                                                                                                                                                           
                                                                                                                                                                                                                                                                                                                                                                                                                                                                                                                                                                                                                                                                                                                                                                                                                                                                                                                                                                                                                                                                                                                                                                                                                                                                                                                                                                                                                                                                                                                                                                                                                                                                                                                                                                                                                                                                  |                                                                                                                                                                                                                                                                                                                                                                                                                                                                                                                                                                                                                                                                                                                                                                                                                                                                                                                                                                                                                                                                                                                                                                                                                                                                                                                                                                                                                                                                                                                                                                                                                                                                                                                                                                                                                                                                                                                                                                                                                                                                                                                              |                                                                                                                                                                                                                                                                                                                                                                                                                                                                                                                                                                                                                                                                                                                                                                                                                                                                                                                                                                                                                                                                                                                                                                                                                                                                                                                                                                                                                                                                                                                                                                                                                                                                                                                                                                                                                                                                                                                                                                                                                                                                                                                                |                                                                                                                                                                                                                                                                                                                                                                                                                                                                                                                                                                                                                                                                                                                                                                                                                                                                                                                                                                                                                                                                                                                                                                                                                                                                                                                                                                                                                                                                                                                                                                                                                                                                                                                                                                                                                                                                                                                                                                                                                                                                                                                                |                                                                                                                                                                                                                                                                                                                                                                                                                                                                                                                                                                                                                                                                                                                                                                                                                                                                                                                                                                                                                                                                                                                                                                                                                                                                                                                                                                                                                                                                                                                                                                                                                                                                                                                                                                                                                                                                                                                                                                                                                                                                                                                                |          
                                                                                                                                                                                                                                                                                                                                                                                                                                                                                                                                                                                                                                                                                                                                                                                                                                                                                                                                                                                                                                                                                                                                                                                                                                                                                                                                                                                                                                                                                                                                                                                                                                                                                                                                                                                                                                                                                                                                                                                                                                                                                                                     |                                                                                                                                                                                                                                                                                                                                                                                                                                                                                                                                                                                                                                                                                                                                                                                                                                                                                                                                                                                                                                                                                                                                                                                                                                                                                                                                                                                                                                                                                                                                                                                                                                                                                                               |                                                                                                                                                                                                                                                                                                                                                                                                                                                                                                                                                                                                                                                                                                                                                                                                                                                                                                                                                                                                                   |                                                                                                                                                                                                                                                                                                                                                                                                                                                                                                                                                                                                                                                                                                                                                                                                                                                                                                                                                                                                                                                |                                                                                                                                                                                                                                                                                                                                                                                                                                                                                                                                                                                                                                                                                                                                                                              |                                                                                                                                                                                                                                                                                                                                                                                                                                                                                                                                                                                                                                                                                                                                                                                                        |                                                                                                                                                                                                                                                                                                                                                                                                                                                                                                                                                                                         |                                                                                                                                                                                                                                                                                                                                                                                                                                                                                                |                                                                                                                                                                                                                                                                                                                                                                                                                                                                                                                              |                                                                                                                                                                                                                                                                                                                                                                                                                                                                                                                                                                                                                |                                                                                                                                                                                                                                                                                                                                                                                                                                                                                                                                                                                                                                  |                              
                                                                                                                                                                                                                                                                                                                                                                                                                                                                                                                                                                                                                                                                                                                                                                                                                                                                                                                                                                                                                                                                                                                                                                                                                                                     |                                                                                                                                                                                                                                                                                                                                                                                                                                                                                                                                                                                                                                                                                                                                                                                                                                                                                                                                                                                                                                                                                                                                                                                                                                                                                                                                                                                                                                                                                                                                                                                                                                                                                                                                                                                                                                                                                                                                                                                                                                                                                                                                |                                                                                                                                                                                                                                                                                                                                                                                                                                                                                                                                                                                                                                                                                                                                                                                                                                                                                                                                                                                                                                                                                                                                                                                                                                                                                                                                                                                                                                                                                                                                                                                                                                                                                                                                                                                                                                                                                                                                                                                                                                                                                                                                |                                                                                                                                                                                                                                                                                                                                                                                                                                                                                                                                                                                                                                                                                                                                                                                                                                                                                                                                                                                                                                                                                                                                                                                                                                                                                                                                                                                                                                                                                                                                                                                                                                                                                                                                                                                           |                                                                                                                                                                                                                                                                                                                                                                                                                                                                                                                                                                                                                                                                                                                                                                                                                                                                                                                                                                                                                                                                                                                                                                                                                                                                                                                                                                                                                                                                                                                                                                                                                                                     |                                                                                                                                                                                                                                                                                                                                                                                                                                                                                                                                                                                                                                                                                                                                                                                                                                                                                                                                                                                                                                                                                                                                                                                                                                                                                                                                                                                                                                     
                                                              |                                                                                                                                                                                                                                                                                                                                                                                                                                                                                                                                                                                                                                                                                                                                                                                                                                                                                                                                                                                                                                                                                                                                                                                                                                                                                                                                                                                                                                                                                                                                                                                                                                                                                                                                                                                                                                                                                                                                                                                                                                                                                                                              |                                                                                                                                                                                                                                                                                                                                                                                                                                                                                                                                                                                                                                                                                                                                                                                                                                                                                                                                                                                                                                                                                                                                                                                                                                                                                                                                                                                                                                                                                                                                                                                                                                                                                                                                                                                                                                                                                                                                                                                                                                                                                                                              |                                                                                                                                                                                                                                                                                                                                                                                                                                                                                                                                                                                                                                                                                                                                                                                                                                                                                                                                                                                                                                                                                                                                                                                                                                                                                                                                                                                                                                                                                                                                                                                                                                                                                                                                                                                                                                                                                                                                                                                                                                                                                                                                |                                                                                                                                                                                                                                                                                                                                                                                                                                                                                                                                                                                                                                                                                                                                                                                                                                                                                                                                                                                                                                                                                                                                                                                                                                                                                                                                                                                                                                                                                                                                                                                                                                                                                                                                                                                                                                                                                                                                                                                                                                                                                                                              |                                                                                                  |                                                                                                                                                                                                                                                                                                                                                                                                                                                                                                                                                                                                                                                                                                                                                                                                                                                                                                                                                                                                                                                                                                                                                                                                                                                                                                                                                                                                                                                                                                                                                                                                                                                                                                               
                                                                                                                                                                                                                                                                                                                                                                                                             |                                                                                                                                                                                                                                                                                                                                                                                                                                                                                                                                                                                                                                                                                                                                                                                                                                                                                                                                                                                                                                                                                                                                                                                                                                                                                                                                                                                                                                                                                                                                                                                                                                                                                                                                                                                                                                                                                                                                                                                                                                                                                                                              |                                                                                                                                                                                                                                                                                                                                                                                                                                                                                                                                                                                                                                                                                                                                                                                                                                                                                                                                                                                                                                                                                                                                                                                                                                                                                                                                                                                                                                                                                                                                                                                                                                                                                                                                                                                                                                                                                                                                                                                                                                                                                                                              |           |                                                                                                                                                                                                                                                                                                                                                                                                                                                                                                                                                                                                                                                                                                                                                                                                                                                                                                                                                                                                                                                                                                                                                                                                                                                                                                                                                                                                                                                                                                                                                                                                                                                                                                                                                                                                                                                                                                                                                                                                                                                                                                                              |                                                                                            |                                                                                                                                                                                                                                                                                                                                                                                                                                                                                                                                                                                                                                                                                                                                                                                                                                                                                                                                                                                                                                                                                                                                                                                                                                                                                                                                                                                                                                                                                                                                                                                                                                                                                                                                                                                                                                                                                                                                                                                                                                                                                                                             |                                                                                                       |                                                                                                                                                                                                                                                                                                                                                                                                                                                                                                                                                                                                                                                                                                                                                                                                                                                                                                                                                                                                                                                                                                                                                                                                                                                     
                                                                                                                                                                                                                                                                                                                                                                                                                                                                                                                                                                                                                                                                                                                                                                                                                                                                        |            |                                                                                                                                                                                                                                                                                                                                                                                                                                                                                                                                                                                                                                                                                                                                                                                                                                                                                                                                                                                                                                                                                                                                                                                                                                                                                                                                                                                                                                                                                                                                                                                                                                                                                                                                                                                                                                                                                                                                                                                                                                                                                                                             |                                                                                                                                                                                                                                                                                                                                                                                                                                                                                                                                                                                                                                                                                                                                                                                                                                                                                                                                                                                                                                                                                                                                                                                                                                                                                                                                                                                                                                                                                                                                                                                                                                                                                                                                                                                                                                                                                                                                                                                                                                                                                                                              |                                                                                                                                                                                                                                                                                                                                                                                                                                                                                                                                                                                                                                                                                                                                                                                                                                                                                                                                                                                                                                                                                                                                                                                                                                                                                                                                                                                                                                                                                                                                                                                                                                                                                                                                                                                                                                                                                                                                                                                                                                                                                                                              |
| 334                                                                                                                                                                                                                                                                                                                                                                                                                                                                                                                                                                                                                                                                                                                                                                                                                                                                                                                                                                                                                                                                                                                                                                                                                                                                                                                                                                                                                                                                                                                                                                                                                                                                                                                                                                                                                                                                                                                                                                                                                                                                                                                          | 133                                                                                                                                                                                                                                                                                                                                                                                                                                                                                                                                                                                                                                                                                                                                                                                                                                                                                                                                                                                                                                                                                                                                                                                                                                                                                                                                                                                                                                                                                                                                                                                                                                                                                                                                                                                                                                                                                                                                                                                                                                                                                                                          | 322                                                                                                                                                                                                                                                                                                                                                                                                                                                                                                                                                                                                                                                                                                                                                                                                                                                                                                                                                                                                                                                                                                                                                                                                                                                                                                                                                                                                                                                                                                                                                                                                                                                                                                                                                                                                                                                                                                                                                                                                                                                                                                                          | 238                                                                                         | 577                                                                                                                                                                                                                                                                                                                                                                                                                                                                                                                                                                                                                                                                                                                                                                                                                                                                                                                                                                                                                                                                                                                                                                                                                                                                                                                                                                                                                                                                                                                                                                                                                                                                                                                                                                                                                                                                                                                                                                                                                                                                                                                          | 577                                                                                                                                                                                                                                                                                                                                                                                                                                                                                                                                                                                                                                                                                                                                                                                                                                                                                                                                                                                                                                                                                                                                                                                                                                                                                                                                                                                                                                                                                                                                                                                                                                                                                                                                                                                
                                                                                                                                                                                                                                                                                                                                         | 185                                                                                                                                                                                                                                                                                                                                                                                                                                                                                                                                                                                                                                                                                                                                                                                                                                                                                                                                                                                                                                                                                                                                                                                                                                                                                                                                                                                                                                                                                                                                                                                                                                                                                                                                                                                                                                                                                                                                                                                                                                                                                                                          | 328                                                                                                                                                                                                                                                                                                                                                                                                                                                                                                                                                                                                                                                                                                                                                                                                                                                                                                                                                                                                                                                                                                                                                                                                                                                                                                                                                                                                                                                                                                                                                                                                                                                                                                                                                                                                                                                                                                                                                                                                                                                                                                                          | 109                                                                                   | 1021                                                                                                                                                                                                                                                                                                                                                                                                                                                                                                                                                                                                                                                                                                                                                                                                                                                                                                                                                                                                                                                                                                                                                                                                                                                                                                                                                                                                                                                                                                                                                                                                                                                                                                                                                                                                                                                                                                                                                                                                                                                                                                                         | Ы                                                                                                                                                                                                                                                                                                                                                                                                                                                                                                                                                                                                                                                                                                                                                                                                                                                                                                                                                                                                                                                                                                                                                                                                                                                                                                                                                                                                                                                                                                                                                                                                                                                                                                                                                                                                                                                                                                                                                                                                                                                                                                                            | 1 2                                                                                                                                                                                                                                                                                                                                                                                                                                                                                                                                                                                                                                                                                                                                                                                                                                                                                                                                                                                                                                                                                                                                                                                                                                                                                                                                                                                                                                             
                                                                                                                                                                                                                                                                                                                                                                                                                                                                                                                                                                                                                                                                           | 53 965                                                                                                                                                                                                                                                                                                                                                                                                                                                                                                                                                                                                                                                                                                                                                                                                                                                                                                                                                                                                                                                                                                                                                                                                                                                                                                                                                                                                                                                                                                                                                                                                                                                                                                                                                                                                                                                                                                                                                                                                                                                                                                                    | 173                                                                                                                                                                                                                                                                                                                                                                                                                                                                                                                                                                                                                                                                                                                                                                                                                                                                                                                                                                                                                                                                                                                                                                                                                                                                                                                                                                                                                                                                                                                                                                                                                                                                                                                                                                                                                                                                                                                                                                                                                                                                                                                          | 237                                                                                               | 578                                                                                                                                                                                                                                                                                                                                                                                                                                                                                                                                                                                                                                                                                                                                                                                                                                                                                                                                                                                                                                                                                                                                                                                                                                                                                                                                                                                                                                                                                                                                                                                                                                                                                                                                                                                                                                                                                                                                                                                                                                                                                                                          | 596                                                                               | 879                                                                                                                                                                                                                                                                                                                                                                                                                                                                                                                                                                                                                                                                                                                                                                                                                                                                                                                                                                                                                                                                                                                                                                                                                                                                                                                                                                                                                                                                                                                                                                                                                                                                                                                                                                                                                                                                                                                                                                                                                                                                                                                          | 700                                                                                                                                                                                                                                                                                                                                                                                                                                                                                                                                                                                                                                                                                                                                                                                                                                                                                                                                                                                                              
                                                                                                                                                                                                                                                                                                                                                                                                                                                                                                                                                                                                                                                                                                                                                                                                                                                                                                                                                                                                                                                                                                           | 879                                                                                                   | 879                                                                                               | 699                                                                                           | 375                                                                                                 | 310                                                                                                                                                                                                                                                                                                                                                                                                                                                                                                                                                                                                                                                                                                                                                                                                                                                                                                                                                                                                                                                                                                                                                                                                                                                                                                                                                                                                                                                                                                                                                                                                                                                                                                                                                                                                                                                                                                                                                                                                                                                                                                                       | 784                                                                                       | 430                                                                                                                                                                                                                                                                                                                                                                                                                                                                                                                                                                                                                                                                                                                                                                                                                                                                                                                                                                                                                                                                                                                                                                                                                                                                                                                                                                                                                                                                                                                                                                                                                                                                                                                                                                                                                                                                                                                                                                                                                                                                                                                        | 869                                                                                                                                                                                                                                                                                                                                                                                                                                                                                                                                                                                                                                                                                                                                                                                                                                                                                                                                                                                                                                                                                                                                                                                                                                                                                                                                                                                                                                                                                                                                                                                                                                                                                                                                                                                                                                                                                                                                                                                                                                                                                                                            | 129                                                                                                                                                                                                                                                                                                                                                                                                                                                                                                                                                                                                                                                                                                                                                                                                                                                                                                                                                                                                                                                                                                                                                                                                                                                                                                                                                                                                                                                                                                                                                                                                                                                                                                                                                                                                                                                                                                                                                                                                                                                                                                                           | 225                                                                                                                                                                                                                                                       
                                                                                                                                                                                                                                                                                                                                                                                                                                                                                                                                                                                                                                                                                                                                                                                                                                                                                                                                                                                                                                                                                                                                                                                                                                                                                                                                                                                                                                                                                                                                                                                                                                                                                                                                                                                                                                                                  | 703                                                                                                                                                                                                                                                                                                                                                                                                                                                                                                                                                                                                                                                                                                                                                                                                                                                                                                                                                                                                                                                                                                                                                                                                                                                                                                                                                                                                                                                                                                                                                                                                                                                                                                                                                                                                                                                                                                                                                                                                                                                                                                                          | 1065                                                                                                                                                                                                                                                                                                                                                                                                                                                                                                                                                                                                                                                                                                                                                                                                                                                                                                                                                                                                                                                                                                                                                                                                                                                                                                                                                                                                                                                                                                                                                                                                                                                                                                                                                                                                                                                                                                                                                                                                                                                                                                                           | 645                                                                                                                                                                                                                                                                                                                                                                                                                                                                                                                                                                                                                                                                                                                                                                                                                                                                                                                                                                                                                                                                                                                                                                                                                                                                                                                                                                                                                                                                                                                                                                                                                                                                                                                                                                                                                                                                                                                                                                                                                                                                                                                            | 793                                                                                                                                                                                                                                                                                                                                                                                                                                                                                                                                                                                                                                                                                                                                                                                                                                                                                                                                                                                                                                                                                                                                                                                                                                                                                                                                                                                                                                                                                                                                                                                                                                                                                                                                                                                                                                                                                                                                                                                                                                                                                                                            | 211      
                                                                                                                                                                                                                                                                                                                                                                                                                                                                                                                                                                                                                                                                                                                                                                                                                                                                                                                                                                                                                                                                                                                                                                                                                                                                                                                                                                                                                                                                                                                                                                                                                                                                                                                                                                                                                                                                                                                                                                                                                                                                                                                     | 856                                                                                                                                                                                                                                                                                                                                                                                                                                                                                                                                                                                                                                                                                                                                                                                                                                                                                                                                                                                                                                                                                                                                                                                                                                                                                                                                                                                                                                                                                                                                                                                                                                                                                                           | 27                                                                                                                                                                                                                                                                                                                                                                                                                                                                                                                                                                                                                                                                                                                                                                                                                                                                                                                                                                                                                | 47                                                                                                                                                                                                                                                                                                                                                                                                                                                                                                                                                                                                                                                                                                                                                                                                                                                                                                                                                                                                                                             | 27                                                                                                                                                                                                                                                                                                                                                                                                                                                                                                                                                                                                                                                                                                                                                                           | 147                                                                                                                                                                                                                                                                                                                                                                                                                                                                                                                                                                                                                                                                                                                                                                                                    | 717                                                                                                                                                                                                                                                                                                                                                                                                                                                                                                                                                                                     | 623                                                                                                                                                                                                                                                                                                                                                                                                                                                                                            | 278                                                                                                                                                                                                                                                                                                                                                                                                                                                                                                                          | 611                                                                                                                                                                                                                                                                                                                                                                                                                                                                                                                                                                                                            | 430                                                                                                                                                                                                                                                                                                                                                                                                                                                                                                                                                                                                                              | 431                          
                                                                                                                                                                                                                                                                                                                                                                                                                                                                                                                                                                                                                                                                                                                                                                                                                                                                                                                                                                                                                                                                                                                                                                                                                                                     | 414                                                                                                                                                                                                                                                                                                                                                                                                                                                                                                                                                                                                                                                                                                                                                                                                                                                                                                                                                                                                                                                                                                                                                                                                                                                                                                                                                                                                                                                                                                                                                                                                                                                                                                                                                                                                                                                                                                                                                                                                                                                                                                                            | 429                                                                                                                                                                                                                                                                                                                                                                                                                                                                                                                                                                                                                                                                                                                                                                                                                                                                                                                                                                                                                                                                                                                                                                                                                                                                                                                                                                                                                                                                                                                                                                                                                                                                                                                                                                                                                                                                                                                                                                                                                                                                                                                            | 336                                                                                                                                                                                                                                                                                                                                                                                                                                                                                                                                                                                                                                                                                                                                                                                                                                                                                                                                                                                                                                                                                                                                                                                                                                                                                                                                                                                                                                                                                                                                                                                                                                                                                                                                                                                       | 248                                                                                                                                                                                                                                                                                                                                                                                                                                                                                                                                                                                                                                                                                                                                                                                                                                                                                                                                                                                                                                                                                                                                                                                                                                                                                                                                                                                                                                                                                                                                                                                                                                                 | 845                                                                                                                                                                                                                                                                                                                                                                                                                                                                                                                                                                                                                                                                                                                                                                                                                                                                                                                                                                                                                                                                                                                                                                                                                                                                                                                                                                                                                                 
                                                              | 844                                                                                                                                                                                                                                                                                                                                                                                                                                                                                                                                                                                                                                                                                                                                                                                                                                                                                                                                                                                                                                                                                                                                                                                                                                                                                                                                                                                                                                                                                                                                                                                                                                                                                                                                                                                                                                                                                                                                                                                                                                                                                                                          | 232                                                                                                                                                                                                                                                                                                                                                                                                                                                                                                                                                                                                                                                                                                                                                                                                                                                                                                                                                                                                                                                                                                                                                                                                                                                                                                                                                                                                                                                                                                                                                                                                                                                                                                                                                                                                                                                                                                                                                                                                                                                                                                                          | 322                                                                                                                                                                                                                                                                                                                                                                                                                                                                                                                                                                                                                                                                                                                                                                                                                                                                                                                                                                                                                                                                                                                                                                                                                                                                                                                                                                                                                                                                                                                                                                                                                                                                                                                                                                                                                                                                                                                                                                                                                                                                                                                            | 172                                                                                                                                                                                                                                                                                                                                                                                                                                                                                                                                                                                                                                                                                                                                                                                                                                                                                                                                                                                                                                                                                                                                                                                                                                                                                                                                                                                                                                                                                                                                                                                                                                                                                                                                                                                                                                                                                                                                                                                                                                                                                                                          | 7                                                                                                | 84                                                                                                                                                                                                                                                                                                                                                                                                                                                                                                                                                                                                                                                                                                                                                                                                                                                                                                                                                                                                                                                                                                                                                                                                                                                                                                                                                                                                                                                                                                                                                                                                                                                                                                            
                                                                                                                                                                                                                                                                                                                                                                                                             | 550                                                                                                                                                                                                                                                                                                                                                                                                                                                                                                                                                                                                                                                                                                                                                                                                                                                                                                                                                                                                                                                                                                                                                                                                                                                                                                                                                                                                                                                                                                                                                                                                                                                                                                                                                                                                                                                                                                                                                                                                                                                                                                                          | 581                                                                                                                                                                                                                                                                                                                                                                                                                                                                                                                                                                                                                                                                                                                                                                                                                                                                                                                                                                                                                                                                                                                                                                                                                                                                                                                                                                                                                                                                                                                                                                                                                                                                                                                                                                                                                                                                                                                                                                                                                                                                                                                          | 727       | 855                                                                                                                                                                                                                                                                                                                                                                                                                                                                                                                                                                                                                                                                                                                                                                                                                                                                                                                                                                                                                                                                                                                                                                                                                                                                                                                                                                                                                                                                                                                                                                                                                                                                                                                                                                                                                                                                                                                                                                                                                                                                                                                          | 133                                                                                        | 488                                                                                                                                                                                                                                                                                                                                                                                                                                                                                                                                                                                                                                                                                                                                                                                                                                                                                                                                                                                                                                                                                                                                                                                                                                                                                                                                                                                                                                                                                                                                                                                                                                                                                                                                                                                                                                                                                                                                                                                                                                                                                                                         | 616                                                                                                   | 433<br>178                                                                                                                                                                                                                                                                                                                                                                                                                                                                                                                                                                                                                                                                                                                                                                                                                                                                                                                                                                                                                                                                                                                                                                                                                                          
                                                                                                                                                                                                                                                                                                                                                                                                                                                                                                                                                                                                                                                                                                                                                                                                                                                                        | 79         | 56                                                                                                                                                                                                                                                                                                                                                                                                                                                                                                                                                                                                                                                                                                                                                                                                                                                                                                                                                                                                                                                                                                                                                                                                                                                                                                                                                                                                                                                                                                                                                                                                                                                                                                                                                                                                                                                                                                                                                                                                                                                                                                                          | 138                                                                                                                                                                                                                                                                                                                                                                                                                                                                                                                                                                                                                                                                                                                                                                                                                                                                                                                                                                                                                                                                                                                                                                                                                                                                                                                                                                                                                                                                                                                                                                                                                                                                                                                                                                                                                                                                                                                                                                                                                                                                                                                          | 947                                                                                                                                                                                                                                                                                                                                                                                                                                                                                                                                                                                                                                                                                                                                                                                                                                                                                                                                                                                                                                                                                                                                                                                                                                                                                                                                                                                                                                                                                                                                                                                                                                                                                                                                                                                                                                                                                                                                                                                                                                                                                                                          | | | | | | |
|                                                                                                                                                                                                                                                                                                                                                                                                                                                                                                                                                                                                                                                                                                                                                                                                                                                                                                                                                                                                                                                                                                                                                                                                                                                                                                                                                                                                                                                                                                                                                                                                                                                                                                                                                                                                                                                                                                                                                                                                                                                                                                                              |                                                                                                                                                                                                                                                                                                                                                                                                                                                                                                                                                                                                                                                                                                                                                                                                                                                                                                                                                                                                                                                                                                                                                                                                                                                                                                                                                                                                                                                                                                                                                                                                                                                                                                                                                                                                                                                                                                                                                                                                                                                                                                                              |                                                                                                                                                                                                                                                                                                                                                                                                                                                                                                                                                                                                                                                                                                                                                                                                                                                                                                                                                                                                                                                                                                                                                                                                                                                                                                                                                                                                                                                                                                                                                                                                                                                                                                                                                                                                                                                                                                                                                                                                                                                                                                                              |                                                                                             |                                                                                                                                                                                                                                                                                                                                                                                                                                                                                                                                                                                                                                                                                                                                                                                                                                                                                                                                                                                                                                                                                                                                                                                                                                                                                                                                                                                                                                                                                                                                                                                                                                                                                                                                                                                                                                                                                                                                                                                                                                                                                                                              |                                                                                                                                                                                                                                                                                                                                                                                                                                                                                                                                                                                                                                                                                                                                                                                                                                                                                                                                                                                                                                                                                                                                                                                                                                                                                                                                                                                                                                                                                                                                                                                                                                                                                                                                                                                    
                                                                                                                                                                                                                                                                                                                                         |                                                                                                                                                                                                                                                                                                                                                                                                                                                                                                                                                                                                                                                                                                                                                                                                                                                                                                                                                                                                                                                                                                                                                                                                                                                                                                                                                                                                                                                                                                                                                                                                                                                                                                                                                                                                                                                                                                                                                                                                                                                                                                                              |                                                                                                                                                                                                                                                                                                                                                                                                                                                                                                                                                                                                                                                                                                                                                                                                                                                                                                                                                                                                                                                                                                                                                                                                                                                                                                                                                                                                                                                                                                                                                                                                                                                                                                                                                                                                                                                                                                                                                                                                                                                                                                                              |                                                                                       |                                                                                                                                                                                                                                                                                                                                                                                                                                                                                                                                                                                                                                                                                                                                                                                                                                                                                                                                                                                                                                                                                                                                                                                                                                                                                                                                                                                                                                                                                                                                                                                                                                                                                                                                                                                                                                                                                                                                                                                                                                                                                                                              |                                                                                                                                                                                                                                                                                                                                                                                                                                                                                                                                                                                                                                                                                                                                                                                                                                                                                                                                                                                                                                                                                                                                                                                                                                                                                                                                                                                                                                                                                                                                                                                                                                                                                                                                                                                                                                                                                                                                                                                                                                                                                                                              |                                                                                                                                                                                                                                                                                                                                                                                                                                                                                                                                                                                                                                                                                                                                                                                                                                                                                                                                                                                                                                                                                                                                                                                                                                                                                                                                                                                                                                                 
                                                                                                                                                                                                                                                                                                                                                                                                                                                                                                                                                                                                                                                                           |                                                                                                                                                                                                                                                                                                                                                                                                                                                                                                                                                                                                                                                                                                                                                                                                                                                                                                                                                                                                                                                                                                                                                                                                                                                                                                                                                                                                                                                                                                                                                                                                                                                                                                                                                                                                                                                                                                                                                                                                                                                                                                                           |                                                                                                                                                                                                                                                                                                                                                                                                                                                                                                                                                                                                                                                                                                                                                                                                                                                                                                                                                                                                                                                                                                                                                                                                                                                                                                                                                                                                                                                                                                                                                                                                                                                                                                                                                                                                                                                                                                                                                                                                                                                                                                                              |                                                                                                   |                                                                                                                                                                                                                                                                                                                                                                                                                                                                                                                                                                                                                                                                                                                                                                                                                                                                                                                                                                                                                                                                                                                                                                                                                                                                                                                                                                                                                                                                                                                                                                                                                                                                                                                                                                                                                                                                                                                                                                                                                                                                                                                              |                                                                                   |                                                                                                                                                                                                                                                                                                                                                                                                                                                                                                                                                                                                                                                                                                                                                                                                                                                                                                                                                                                                                                                                                                                                                                                                                                                                                                                                                                                                                                                                                                                                                                                                                                                                                                                                                                                                                                                                                                                                                                                                                                                                                                                              |                                                                                                                                                                                                                                                                                                                                                                                                                                                                                                                                                                                                                                                                                                                                                                                                                                                                                                                                                                                                                  
                                                                                                                                                                                                                                                                                                                                                                                                                                                                                                                                                                                                                                                                                                                                                                                                                                                                                                                                                                                                                                                                                                           |                                                                                                       |                                                                                                   |                                                                                               |                                                                                                     |                                                                                                                                                                                                                                                                                                                                                                                                                                                                                                                                                                                                                                                                                                                                                                                                                                                                                                                                                                                                                                                                                                                                                                                                                                                                                                                                                                                                                                                                                                                                                                                                                                                                                                                                                                                                                                                                                                                                                                                                                                                                                                                           |                                                                                           |                                                                                                                                                                                                                                                                                                                                                                                                                                                                                                                                                                                                                                                                                                                                                                                                                                                                                                                                                                                                                                                                                                                                                                                                                                                                                                                                                                                                                                                                                                                                                                                                                                                                                                                                                                                                                                                                                                                                                                                                                                                                                                                            |                                                                                                                                                                                                                                                                                                                                                                                                                                                                                                                                                                                                                                                                                                                                                                                                                                                                                                                                                                                                                                                                                                                                                                                                                                                                                                                                                                                                                                                                                                                                                                                                                                                                                                                                                                                                                                                                                                                                                                                                                                                                                                                                |                                                                                                                                                                                                                                                                                                                                                                                                                                                                                                                                                                                                                                                                                                                                                                                                                                                                                                                                                                                                                                                                                                                                                                                                                                                                                                                                                                                                                                                                                                                                                                                                                                                                                                                                                                                                                                                                                                                                                                                                                                                                                                                               |                                                                                                                                                                                                                                                           
                                                                                                                                                                                                                                                                                                                                                                                                                                                                                                                                                                                                                                                                                                                                                                                                                                                                                                                                                                                                                                                                                                                                                                                                                                                                                                                                                                                                                                                                                                                                                                                                                                                                                                                                                                                                                                                                  |                                                                                                                                                                                                                                                                                                                                                                                                                                                                                                                                                                                                                                                                                                                                                                                                                                                                                                                                                                                                                                                                                                                                                                                                                                                                                                                                                                                                                                                                                                                                                                                                                                                                                                                                                                                                                                                                                                                                                                                                                                                                                                                              |                                                                                                                                                                                                                                                                                                                                                                                                                                                                                                                                                                                                                                                                                                                                                                                                                                                                                                                                                                                                                                                                                                                                                                                                                                                                                                                                                                                                                                                                                                                                                                                                                                                                                                                                                                                                                                                                                                                                                                                                                                                                                                                                |                                                                                                                                                                                                                                                                                                                                                                                                                                                                                                                                                                                                                                                                                                                                                                                                                                                                                                                                                                                                                                                                                                                                                                                                                                                                                                                                                                                                                                                                                                                                                                                                                                                                                                                                                                                                                                                                                                                                                                                                                                                                                                                                |                                                                                                                                                                                                                                                                                                                                                                                                                                                                                                                                                                                                                                                                                                                                                                                                                                                                                                                                                                                                                                                                                                                                                                                                                                                                                                                                                                                                                                                                                                                                                                                                                                                                                                                                                                                                                                                                                                                                                                                                                                                                                                                                |          
                                                                                                                                                                                                                                                                                                                                                                                                                                                                                                                                                                                                                                                                                                                                                                                                                                                                                                                                                                                                                                                                                                                                                                                                                                                                                                                                                                                                                                                                                                                                                                                                                                                                                                                                                                                                                                                                                                                                                                                                                                                                                                                     |                                                                                                                                                                                                                                                                                                                                                                                                                                                                                                                                                                                                                                                                                                                                                                                                                                                                                                                                                                                                                                                                                                                                                                                                                                                                                                                                                                                                                                                                                                                                                                                                                                                                                                               |                                                                                                                                                                                                                                                                                                                                                                                                                                                                                                                                                                                                                                                                                                                                                                                                                                                                                                                                                                                                                   |                                                                                                                                                                                                                                                                                                                                                                                                                                                                                                                                                                                                                                                                                                                                                                                                                                                                                                                                                                                                                                                |                                                                                                                                                                                                                                                                                                                                                                                                                                                                                                                                                                                                                                                                                                                                                                              |                                                                                                                                                                                                                                                                                                                                                                                                                                                                                                                                                                                                                                                                                                                                                                                                        |                                                                                                                                                                                                                                                                                                                                                                                                                                                                                                                                                                                         |                                                                                                                                                                                                                                                                                                                                                                                                                                                                                                |                                                                                                                                                                                                                                                                                                                                                                                                                                                                                                                              |                                                                                                                                                                                                                                                                                                                                                                                                                                                                                                                                                                                                                |                                                                                                                                                                                                                                                                                                                                                                                                                                                                                                                                                                                                                                  |                              
                                                                                                                                                                                                                                                                                                                                                                                                                                                                                                                                                                                                                                                                                                                                                                                                                                                                                                                                                                                                                                                                                                                                                                                                                                                     |                                                                                                                                                                                                                                                                                                                                                                                                                                                                                                                                                                                                                                                                                                                                                                                                                                                                                                                                                                                                                                                                                                                                                                                                                                                                                                                                                                                                                                                                                                                                                                                                                                                                                                                                                                                                                                                                                                                                                                                                                                                                                                                                |                                                                                                                                                                                                                                                                                                                                                                                                                                                                                                                                                                                                                                                                                                                                                                                                                                                                                                                                                                                                                                                                                                                                                                                                                                                                                                                                                                                                                                                                                                                                                                                                                                                                                                                                                                                                                                                                                                                                                                                                                                                                                                                                |                                                                                                                                                                                                                                                                                                                                                                                                                                                                                                                                                                                                                                                                                                                                                                                                                                                                                                                                                                                                                                                                                                                                                                                                                                                                                                                                                                                                                                                                                                                                                                                                                                                                                                                                                                                           |                                                                                                                                                                                                                                                                                                                                                                                                                                                                                                                                                                                                                                                                                                                                                                                                                                                                                                                                                                                                                                                                                                                                                                                                                                                                                                                                                                                                                                                                                                                                                                                                                                                     |                                                                                                                                                                                                                                                                                                                                                                                                                                                                                                                                                                                                                                                                                                                                                                                                                                                                                                                                                                                                                                                                                                                                                                                                                                                                                                                                                                                                                                     
                                                              |                                                                                                                                                                                                                                                                                                                                                                                                                                                                                                                                                                                                                                                                                                                                                                                                                                                                                                                                                                                                                                                                                                                                                                                                                                                                                                                                                                                                                                                                                                                                                                                                                                                                                                                                                                                                                                                                                                                                                                                                                                                                                                                              |                                                                                                                                                                                                                                                                                                                                                                                                                                                                                                                                                                                                                                                                                                                                                                                                                                                                                                                                                                                                                                                                                                                                                                                                                                                                                                                                                                                                                                                                                                                                                                                                                                                                                                                                                                                                                                                                                                                                                                                                                                                                                                                              |                                                                                                                                                                                                                                                                                                                                                                                                                                                                                                                                                                                                                                                                                                                                                                                                                                                                                                                                                                                                                                                                                                                                                                                                                                                                                                                                                                                                                                                                                                                                                                                                                                                                                                                                                                                                                                                                                                                                                                                                                                                                                                                                |                                                                                                                                                                                                                                                                                                                                                                                                                                                                                                                                                                                                                                                                                                                                                                                                                                                                                                                                                                                                                                                                                                                                                                                                                                                                                                                                                                                                                                                                                                                                                                                                                                                                                                                                                                                                                                                                                                                                                                                                                                                                                                                              |                                                                                                  |                                                                                                                                                                                                                                                                                                                                                                                                                                                                                                                                                                                                                                                                                                                                                                                                                                                                                                                                                                                                                                                                                                                                                                                                                                                                                                                                                                                                                                                                                                                                                                                                                                                                                                               
                                                                                                                                                                                                                                                                                                                                                                                                             |                                                                                                                                                                                                                                                                                                                                                                                                                                                                                                                                                                                                                                                                                                                                                                                                                                                                                                                                                                                                                                                                                                                                                                                                                                                                                                                                                                                                                                                                                                                                                                                                                                                                                                                                                                                                                                                                                                                                                                                                                                                                                                                              |                                                                                                                                                                                                                                                                                                                                                                                                                                                                                                                                                                                                                                                                                                                                                                                                                                                                                                                                                                                                                                                                                                                                                                                                                                                                                                                                                                                                                                                                                                                                                                                                                                                                                                                                                                                                                                                                                                                                                                                                                                                                                                                              | Н         |                                                                                                                                                                                                                                                                                                                                                                                                                                                                                                                                                                                                                                                                                                                                                                                                                                                                                                                                                                                                                                                                                                                                                                                                                                                                                                                                                                                                                                                                                                                                                                                                                                                                                                                                                                                                                                                                                                                                                                                                                                                                                                                              |                                                                                            |                                                                                                                                                                                                                                                                                                                                                                                                                                                                                                                                                                                                                                                                                                                                                                                                                                                                                                                                                                                                                                                                                                                                                                                                                                                                                                                                                                                                                                                                                                                                                                                                                                                                                                                                                                                                                                                                                                                                                                                                                                                                                                                             |                                                                                                       |                                                                                                                                                                                                                                                                                                                                                                                                                                                                                                                                                                                                                                                                                                                                                                                                                                                                                                                                                                                                                                                                                                                                                                                                                                                     
                                                                                                                                                                                                                                                                                                                                                                                                                                                                                                                                                                                                                                                                                                                                                                                                                                                                        |            |                                                                                                                                                                                                                                                                                                                                                                                                                                                                                                                                                                                                                                                                                                                                                                                                                                                                                                                                                                                                                                                                                                                                                                                                                                                                                                                                                                                                                                                                                                                                                                                                                                                                                                                                                                                                                                                                                                                                                                                                                                                                                                                             |                                                                                                                                                                                                                                                                                                                                                                                                                                                                                                                                                                                                                                                                                                                                                                                                                                                                                                                                                                                                                                                                                                                                                                                                                                                                                                                                                                                                                                                                                                                                                                                                                                                                                                                                                                                                                                                                                                                                                                                                                                                                                                                              |                                                                                                                                                                                                                                                                                                                                                                                                                                                                                                                                                                                                                                                                                                                                                                                                                                                                                                                                                                                                                                                                                                                                                                                                                                                                                                                                                                                                                                                                                                                                                                                                                                                                                                                                                                                                                                                                                                                                                                                                                                                                                                                              |
| 24                                                                                                                                                                                                                                                                                                                                                                                                                                                                                                                                                                                                                                                                                                                                                                                                                                                                                                                                                                                                                                                                                                                                                                                                                                                                                                                                                                                                                                                                                                                                                                                                                                                                                                                                                                                                                                                                                                                                                                                                                                                                                                                           | 1 4                                                                                                                                                                                                                                                                                                                                                                                                                                                                                                                                                                                                                                                                                                                                                                                                                                                                                                                                                                                                                                                                                                                                                                                                                                                                                                                                                                                                                                                                                                                                                                                                                                                                                                                                                                                                                                                                                                                                                                                                                                                                                                                          | 4                                                                                                                                                                                                                                                                                                                                                                                                                                                                                                                                                                                                                                                                                                                                                                                                                                                                                                                                                                                                                                                                                                                                                                                                                                                                                                                                                                                                                                                                                                                                                                                                                                                                                                                                                                                                                                                                                                                                                                                                                                                                                                                            | 4 25                                                                                        | 77                                                                                                                                                                                                                                                                                                                                                                                                                                                                                                                                                                                                                                                                                                                                                                                                                                                                                                                                                                                                                                                                                                                                                                                                                                                                                                                                                                                                                                                                                                                                                                                                                                                                                                                                                                                                                                                                                                                                                                                                                                                                                                                           | 77                                                                                                                                                                                                                                                                                                                                                                                                                                                                                                                                                                                                                                                                                                                                                                                                                                                                                                                                                                                                                                                                                                                                                                                                                                                                                                                                                                                                                                                                                                                                                                                                                                                                                                                                                                                 
                                                                                                                                                                                                                                                                                                                                         | 36,                                                                                                                                                                                                                                                                                                                                                                                                                                                                                                                                                                                                                                                                                                                                                                                                                                                                                                                                                                                                                                                                                                                                                                                                                                                                                                                                                                                                                                                                                                                                                                                                                                                                                                                                                                                                                                                                                                                                                                                                                                                                                                                          | 2 2                                                                                                                                                                                                                                                                                                                                                                                                                                                                                                                                                                                                                                                                                                                                                                                                                                                                                                                                                                                                                                                                                                                                                                                                                                                                                                                                                                                                                                                                                                                                                                                                                                                                                                                                                                                                                                                                                                                                                                                                                                                                                                                          | <u> </u>                                                                              | 34                                                                                                                                                                                                                                                                                                                                                                                                                                                                                                                                                                                                                                                                                                                                                                                                                                                                                                                                                                                                                                                                                                                                                                                                                                                                                                                                                                                                                                                                                                                                                                                                                                                                                                                                                                                                                                                                                                                                                                                                                                                                                                                           | 25                                                                                                                                                                                                                                                                                                                                                                                                                                                                                                                                                                                                                                                                                                                                                                                                                                                                                                                                                                                                                                                                                                                                                                                                                                                                                                                                                                                                                                                                                                                                                                                                                                                                                                                                                                                                                                                                                                                                                                                                                                                                                                                           | 25 25                                                                                                                                                                                                                                                                                                                                                                                                                                                                                                                                                                                                                                                                                                                                                                                                                                                                                                                                                                                                                                                                                                                                                                                                                                                                                                                                                                                                                                           
                                                                                                                                                                                                                                                                                                                                                                                                                                                                                                                                                                                                                                                                           | 25 10                                                                                                                                                                                                                                                                                                                                                                                                                                                                                                                                                                                                                                                                                                                                                                                                                                                                                                                                                                                                                                                                                                                                                                                                                                                                                                                                                                                                                                                                                                                                                                                                                                                                                                                                                                                                                                                                                                                                                                                                                                                                                                                     | 3 5                                                                                                                                                                                                                                                                                                                                                                                                                                                                                                                                                                                                                                                                                                                                                                                                                                                                                                                                                                                                                                                                                                                                                                                                                                                                                                                                                                                                                                                                                                                                                                                                                                                                                                                                                                                                                                                                                                                                                                                                                                                                                                                          | 15                                                                                                | 33 5                                                                                                                                                                                                                                                                                                                                                                                                                                                                                                                                                                                                                                                                                                                                                                                                                                                                                                                                                                                                                                                                                                                                                                                                                                                                                                                                                                                                                                                                                                                                                                                                                                                                                                                                                                                                                                                                                                                                                                                                                                                                                                                         | 13 2                                                                              | 3 12                                                                                                                                                                                                                                                                                                                                                                                                                                                                                                                                                                                                                                                                                                                                                                                                                                                                                                                                                                                                                                                                                                                                                                                                                                                                                                                                                                                                                                                                                                                                                                                                                                                                                                                                                                                                                                                                                                                                                                                                                                                                                                                         | 9 6                                                                                                                                                                                                                                                                                                                                                                                                                                                                                                                                                                                                                                                                                                                                                                                                                                                                                                                                                                                                              
                                                                                                                                                                                                                                                                                                                                                                                                                                                                                                                                                                                                                                                                                                                                                                                                                                                                                                                                                                                                                                                                                                           | 32                                                                                                    | 32                                                                                                | ∞ F                                                                                           | 1 11                                                                                                | 16                                                                                                                                                                                                                                                                                                                                                                                                                                                                                                                                                                                                                                                                                                                                                                                                                                                                                                                                                                                                                                                                                                                                                                                                                                                                                                                                                                                                                                                                                                                                                                                                                                                                                                                                                                                                                                                                                                                                                                                                                                                                                                                        | 18                                                                                        | 7 5                                                                                                                                                                                                                                                                                                                                                                                                                                                                                                                                                                                                                                                                                                                                                                                                                                                                                                                                                                                                                                                                                                                                                                                                                                                                                                                                                                                                                                                                                                                                                                                                                                                                                                                                                                                                                                                                                                                                                                                                                                                                                                                        | 7, 5                                                                                                                                                                                                                                                                                                                                                                                                                                                                                                                                                                                                                                                                                                                                                                                                                                                                                                                                                                                                                                                                                                                                                                                                                                                                                                                                                                                                                                                                                                                                                                                                                                                                                                                                                                                                                                                                                                                                                                                                                                                                                                                           | 14                                                                                                                                                                                                                                                                                                                                                                                                                                                                                                                                                                                                                                                                                                                                                                                                                                                                                                                                                                                                                                                                                                                                                                                                                                                                                                                                                                                                                                                                                                                                                                                                                                                                                                                                                                                                                                                                                                                                                                                                                                                                                                                            | 9                                                                                                                                                                                                                                                         
                                                                                                                                                                                                                                                                                                                                                                                                                                                                                                                                                                                                                                                                                                                                                                                                                                                                                                                                                                                                                                                                                                                                                                                                                                                                                                                                                                                                                                                                                                                                                                                                                                                                                                                                                                                                                                                                  | 19                                                                                                                                                                                                                                                                                                                                                                                                                                                                                                                                                                                                                                                                                                                                                                                                                                                                                                                                                                                                                                                                                                                                                                                                                                                                                                                                                                                                                                                                                                                                                                                                                                                                                                                                                                                                                                                                                                                                                                                                                                                                                                                           | 24                                                                                                                                                                                                                                                                                                                                                                                                                                                                                                                                                                                                                                                                                                                                                                                                                                                                                                                                                                                                                                                                                                                                                                                                                                                                                                                                                                                                                                                                                                                                                                                                                                                                                                                                                                                                                                                                                                                                                                                                                                                                                                                             | 10                                                                                                                                                                                                                                                                                                                                                                                                                                                                                                                                                                                                                                                                                                                                                                                                                                                                                                                                                                                                                                                                                                                                                                                                                                                                                                                                                                                                                                                                                                                                                                                                                                                                                                                                                                                                                                                                                                                                                                                                                                                                                                                             | 17                                                                                                                                                                                                                                                                                                                                                                                                                                                                                                                                                                                                                                                                                                                                                                                                                                                                                                                                                                                                                                                                                                                                                                                                                                                                                                                                                                                                                                                                                                                                                                                                                                                                                                                                                                                                                                                                                                                                                                                                                                                                                                                             | ∞        
                                                                                                                                                                                                                                                                                                                                                                                                                                                                                                                                                                                                                                                                                                                                                                                                                                                                                                                                                                                                                                                                                                                                                                                                                                                                                                                                                                                                                                                                                                                                                                                                                                                                                                                                                                                                                                                                                                                                                                                                                                                                                                                     | 21                                                                                                                                                                                                                                                                                                                                                                                                                                                                                                                                                                                                                                                                                                                                                                                                                                                                                                                                                                                                                                                                                                                                                                                                                                                                                                                                                                                                                                                                                                                                                                                                                                                                                                            | 3 83                                                                                                                                                                                                                                                                                                                                                                                                                                                                                                                                                                                                                                                                                                                                                                                                                                                                                                                                                                                                              | 18                                                                                                                                                                                                                                                                                                                                                                                                                                                                                                                                                                                                                                                                                                                                                                                                                                                                                                                                                                                                                                             | 35 15                                                                                                                                                                                                                                                                                                                                                                                                                                                                                                                                                                                                                                                                                                                                                                        | 16                                                                                                                                                                                                                                                                                                                                                                                                                                                                                                                                                                                                                                                                                                                                                                                                     | 1 15                                                                                                                                                                                                                                                                                                                                                                                                                                                                                                                                                                                    | 27                                                                                                                                                                                                                                                                                                                                                                                                                                                                                             | 67                                                                                                                                                                                                                                                                                                                                                                                                                                                                                                                           | 19                                                                                                                                                                                                                                                                                                                                                                                                                                                                                                                                                                                                             | 19                                                                                                                                                                                                                                                                                                                                                                                                                                                                                                                                                                                                                               | 7                            
                                                                                                                                                                                                                                                                                                                                                                                                                                                                                                                                                                                                                                                                                                                                                                                                                                                                                                                                                                                                                                                                                                                                                                                                                                                     | 90                                                                                                                                                                                                                                                                                                                                                                                                                                                                                                                                                                                                                                                                                                                                                                                                                                                                                                                                                                                                                                                                                                                                                                                                                                                                                                                                                                                                                                                                                                                                                                                                                                                                                                                                                                                                                                                                                                                                                                                                                                                                                                                             | 7                                                                                                                                                                                                                                                                                                                                                                                                                                                                                                                                                                                                                                                                                                                                                                                                                                                                                                                                                                                                                                                                                                                                                                                                                                                                                                                                                                                                                                                                                                                                                                                                                                                                                                                                                                                                                                                                                                                                                                                                                                                                                                                              | 26                                                                                                                                                                                                                                                                                                                                                                                                                                                                                                                                                                                                                                                                                                                                                                                                                                                                                                                                                                                                                                                                                                                                                                                                                                                                                                                                                                                                                                                                                                                                                                                                                                                                                                                                                                                        | 13 78                                                                                                                                                                                                                                                                                                                                                                                                                                                                                                                                                                                                                                                                                                                                                                                                                                                                                                                                                                                                                                                                                                                                                                                                                                                                                                                                                                                                                                                                                                                                                                                                                                               | 60                                                                                                                                                                                                                                                                                                                                                                                                                                                                                                                                                                                                                                                                                                                                                                                                                                                                                                                                                                                                                                                                                                                                                                                                                                                                                                                                                                                                                                  
                                                              | 60 %                                                                                                                                                                                                                                                                                                                                                                                                                                                                                                                                                                                                                                                                                                                                                                                                                                                                                                                                                                                                                                                                                                                                                                                                                                                                                                                                                                                                                                                                                                                                                                                                                                                                                                                                                                                                                                                                                                                                                                                                                                                                                                                         | 83                                                                                                                                                                                                                                                                                                                                                                                                                                                                                                                                                                                                                                                                                                                                                                                                                                                                                                                                                                                                                                                                                                                                                                                                                                                                                                                                                                                                                                                                                                                                                                                                                                                                                                                                                                                                                                                                                                                                                                                                                                                                                                                           | 86                                                                                                                                                                                                                                                                                                                                                                                                                                                                                                                                                                                                                                                                                                                                                                                                                                                                                                                                                                                                                                                                                                                                                                                                                                                                                                                                                                                                                                                                                                                                                                                                                                                                                                                                                                                                                                                                                                                                                                                                                                                                                                                             | 90 2                                                                                                                                                                                                                                                                                                                                                                                                                                                                                                                                                                                                                                                                                                                                                                                                                                                                                                                                                                                                                                                                                                                                                                                                                                                                                                                                                                                                                                                                                                                                                                                                                                                                                                                                                                                                                                                                                                                                                                                                                                                                                                                         | 14                                                                                               | 10                                                                                                                                                                                                                                                                                                                                                                                                                                                                                                                                                                                                                                                                                                                                                                                                                                                                                                                                                                                                                                                                                                                                                                                                                                                                                                                                                                                                                                                                                                                                                                                                                                                                                                            
                                                                                                                                                                                                                                                                                                                                                                                                             | 15                                                                                                                                                                                                                                                                                                                                                                                                                                                                                                                                                                                                                                                                                                                                                                                                                                                                                                                                                                                                                                                                                                                                                                                                                                                                                                                                                                                                                                                                                                                                                                                                                                                                                                                                                                                                                                                                                                                                                                                                                                                                                                                           | 28                                                                                                                                                                                                                                                                                                                                                                                                                                                                                                                                                                                                                                                                                                                                                                                                                                                                                                                                                                                                                                                                                                                                                                                                                                                                                                                                                                                                                                                                                                                                                                                                                                                                                                                                                                                                                                                                                                                                                                                                                                                                                                                           | <br> L    | 23                                                                                                                                                                                                                                                                                                                                                                                                                                                                                                                                                                                                                                                                                                                                                                                                                                                                                                                                                                                                                                                                                                                                                                                                                                                                                                                                                                                                                                                                                                                                                                                                                                                                                                                                                                                                                                                                                                                                                                                                                                                                                                                           | 17                                                                                         | 33                                                                                                                                                                                                                                                                                                                                                                                                                                                                                                                                                                                                                                                                                                                                                                                                                                                                                                                                                                                                                                                                                                                                                                                                                                                                                                                                                                                                                                                                                                                                                                                                                                                                                                                                                                                                                                                                                                                                                                                                                                                                                                                          | 7 0                                                                                                   | 8 67                                                                                                                                                                                                                                                                                                                                                                                                                                                                                                                                                                                                                                                                                                                                                                                                                                                                                                                                                                                                                                                                                                                                                                                                                                                
                                                                                                                                                                                                                                                                                                                                                                                                                                                                                                                                                                                                                                                                                                                                                                                                                                                                        | 100        | 73                                                                                                                                                                                                                                                                                                                                                                                                                                                                                                                                                                                                                                                                                                                                                                                                                                                                                                                                                                                                                                                                                                                                                                                                                                                                                                                                                                                                                                                                                                                                                                                                                                                                                                                                                                                                                                                                                                                                                                                                                                                                                                                          | 73                                                                                                                                                                                                                                                                                                                                                                                                                                                                                                                                                                                                                                                                                                                                                                                                                                                                                                                                                                                                                                                                                                                                                                                                                                                                                                                                                                                                                                                                                                                                                                                                                                                                                                                                                                                                                                                                                                                                                                                                                                                                                                                           | 12                                                                                                                                                                                                                                                                                                                                                                                                                                                                                                                                                                                                                                                                                                                                                                                                                                                                                                                                                                                                                                                                                                                                                                                                                                                                                                                                                                                                                                                                                                                                                                                                                                                                                                                                                                                                                                                                                                                                                                                                                                                                                                                           |
| 9                                                                                                                                                                                                                                                                                                                                                                                                                                                                                                                                                                                                                                                                                                                                                                                                                                                                                                                                                                                                                                                                                                                                                                                                                                                                                                                                                                                                                                                                                                                                                                                                                                                                                                                                                                                                                                                                                                                                                                                                                                                                                                                            |                                                                                                                                                                                                                                                                                                                                                                                                                                                                                                                                                                                                                                                                                                                                                                                                                                                                                                                                                                                                                                                                                                                                                                                                                                                                                                                                                                                                                                                                                                                                                                                                                                                                                                                                                                                                                                                                                                                                                                                                                                                                                                                              | l (                                                                                                                                                                                                                                                                                                                                                                                                                                                                                                                                                                                                                                                                                                                                                                                                                                                                                                                                                                                                                                                                                                                                                                                                                                                                                                                                                                                                                                                                                                                                                                                                                                                                                                                                                                                                                                                                                                                                                                                                                                                                                                                          | ۵                                                                                           | 7                                                                                                                                                                                                                                                                                                                                                                                                                                                                                                                                                                                                                                                                                                                                                                                                                                                                                                                                                                                                                                                                                                                                                                                                                                                                                                                                                                                                                                                                                                                                                                                                                                                                                                                                                                                                                                                                                                                                                                                                                                                                                                                            | 7                                                                                                                                                                                                                                                                                                                                                                                                                                                                                                                                                                                                                                                                                                                                                                                                                                                                                                                                                                                                                                                                                                                                                                                                                                                                                                                                                                                                                                                                                                                                                                                                                                                                                                                                                                                  
                                                                                                                                                                                                                                                                                                                                         | 4                                                                                                                                                                                                                                                                                                                                                                                                                                                                                                                                                                                                                                                                                                                                                                                                                                                                                                                                                                                                                                                                                                                                                                                                                                                                                                                                                                                                                                                                                                                                                                                                                                                                                                                                                                                                                                                                                                                                                                                                                                                                                                                            |                                                                                                                                                                                                                                                                                                                                                                                                                                                                                                                                                                                                                                                                                                                                                                                                                                                                                                                                                                                                                                                                                                                                                                                                                                                                                                                                                                                                                                                                                                                                                                                                                                                                                                                                                                                                                                                                                                                                                                                                                                                                                                                              |                                                                                       |                                                                                                                                                                                                                                                                                                                                                                                                                                                                                                                                                                                                                                                                                                                                                                                                                                                                                                                                                                                                                                                                                                                                                                                                                                                                                                                                                                                                                                                                                                                                                                                                                                                                                                                                                                                                                                                                                                                                                                                                                                                                                                                              |                                                                                                                                                                                                                                                                                                                                                                                                                                                                                                                                                                                                                                                                                                                                                                                                                                                                                                                                                                                                                                                                                                                                                                                                                                                                                                                                                                                                                                                                                                                                                                                                                                                                                                                                                                                                                                                                                                                                                                                                                                                                                                                              | | | | | |
                                                                                                                                                                                                                                                                                                                                                                                                                                                                                                                                                                                                                                                                           |                                                                                                                                                                                                                                                                                                                                                                                                                                                                                                                                                                                                                                                                                                                                                                                                                                                                                                                                                                                                                                                                                                                                                                                                                                                                                                                                                                                                                                                                                                                                                                                                                                                                                                                                                                                                                                                                                                                                                                                                                                                                                                                           |                                                                                                                                                                                                                                                                                                                                                                                                                                                                                                                                                                                                                                                                                                                                                                                                                                                                                                                                                                                                                                                                                                                                                                                                                                                                                                                                                                                                                                                                                                                                                                                                                                                                                                                                                                                                                                                                                                                                                                                                                                                                                                                              |                                                                                                   |                                                                                                                                                                                                                                                                                                                                                                                                                                                                                                                                                                                                                                                                                                                                                                                                                                                                                                                                                                                                                                                                                                                                                                                                                                                                                                                                                                                                                                                                                                                                                                                                                                                                                                                                                                                                                                                                                                                                                                                                                                                                                                                              |                                                                                   |                                                                                                                                                                                                                                                                                                                                                                                                                                                                                                                                                                                                                                                                                                                                                                                                                                                                                                                                                                                                                                                                                                                                                                                                                                                                                                                                                                                                                                                                                                                                                                                                                                                                                                                                                                                                                                                                                                                                                                                                                                                                                                                              |                                                                                                                                                                                                                                                                                                                                                                                                                                                                                                                                                                                                                                                                                                                                                                                                                                                                                                                                                                                                                  
                                                                                                                                                                                                                                                                                                                                                                                                                                                                                                                                                                                                                                                                                                                                                                                                                                                                                                                                                                                                                                                                                                           |                                                                                                       |                                                                                                   |                                                                                               |                                                                                                     |                                                                                                                                                                                                                                                                                                                                                                                                                                                                                                                                                                                                                                                                                                                                                                                                                                                                                                                                                                                                                                                                                                                                                                                                                                                                                                                                                                                                                                                                                                                                                                                                                                                                                                                                                                                                                                                                                                                                                                                                                                                                                                                           |                                                                                           |                                                                                                                                                                                                                                                                                                                                                                                                                                                                                                                                                                                                                                                                                                                                                                                                                                                                                                                                                                                                                                                                                                                                                                                                                                                                                                                                                                                                                                                                                                                                                                                                                                                                                                                                                                                                                                                                                                                                                                                                                                                                                                                            |                                                                                                                                                                                                                                                                                                                                                                                                                                                                                                                                                                                                                                                                                                                                                                                                                                                                                                                                                                                                                                                                                                                                                                                                                                                                                                                                                                                                                                                                                                                                                                                                                                                                                                                                                                                                                                                                                                                                                                                                                                                                                                                                |                                                                                                                                                                                                                                                                                                                                                                                                                                                                                                                                                                                                                                                                                                                                                                                                                                                                                                                                                                                                                                                                                                                                                                                                                                                                                                                                                                                                                                                                                                                                                                                                                                                                                                                                                                                                                                                                                                                                                                                                                                                                                                                               |                                                                                                                                                                                                                                                           
                                                                                                                                                                                                                                                                                                                                                                                                                                                                                                                                                                                                                                                                                                                                                                                                                                                                                                                                                                                                                                                                                                                                                                                                                                                                                                                                                                                                                                                                                                                                                                                                                                                                                                                                                                                                                                                                  |                                                                                                                                                                                                                                                                                                                                                                                                                                                                                                                                                                                                                                                                                                                                                                                                                                                                                                                                                                                                                                                                                                                                                                                                                                                                                                                                                                                                                                                                                                                                                                                                                                                                                                                                                                                                                                                                                                                                                                                                                                                                                                                              |                                                                                                                                                                                                                                                                                                                                                                                                                                                                                                                                                                                                                                                                                                                                                                                                                                                                                                                                                                                                                                                                                                                                                                                                                                                                                                                                                                                                                                                                                                                                                                                                                                                                                                                                                                                                                                                                                                                                                                                                                                                                                                                                | 1 7                                                                                                                                                                                                                                                                                                                                                                                                                                                                                                                                                                                                                                                                                                                                                                                                                                                                                                                                                                                                                                                                                                                                                                                                                                                                                                                                                                                                                                                                                                                                                                                                                                                                                                                                                                                                                                                                                                                                                                                                                                                                                                                            |                                                                                                                                                                                                                                                                                                                                                                                                                                                                                                                                                                                                                                                                                                                                                                                                                                                                                                                                                                                                                                                                                                                                                                                                                                                                                                                                                                                                                                                                                                                                                                                                                                                                                                                                                                                                                                                                                                                                                                                                                                                                                                                                |          
                                                                                                                                                                                                                                                                                                                                                                                                                                                                                                                                                                                                                                                                                                                                                                                                                                                                                                                                                                                                                                                                                                                                                                                                                                                                                                                                                                                                                                                                                                                                                                                                                                                                                                                                                                                                                                                                                                                                                                                                                                                                                                                     |                                                                                                                                                                                                                                                                                                                                                                                                                                                                                                                                                                                                                                                                                                                                                                                                                                                                                                                                                                                                                                                                                                                                                                                                                                                                                                                                                                                                                                                                                                                                                                                                                                                                                                               |                                                                                                                                                                                                                                                                                                                                                                                                                                                                                                                                                                                                                                                                                                                                                                                                                                                                                                                                                                                                                   |                                                                                                                                                                                                                                                                                                                                                                                                                                                                                                                                                                                                                                                                                                                                                                                                                                                                                                                                                                                                                                                |                                                                                                                                                                                                                                                                                                                                                                                                                                                                                                                                                                                                                                                                                                                                                                              |                                                                                                                                                                                                                                                                                                                                                                                                                                                                                                                                                                                                                                                                                                                                                                                                        |                                                                                                                                                                                                                                                                                                                                                                                                                                                                                                                                                                                         |                                                                                                                                                                                                                                                                                                                                                                                                                                                                                                |                                                                                                                                                                                                                                                                                                                                                                                                                                                                                                                              |                                                                                                                                                                                                                                                                                                                                                                                                                                                                                                                                                                                                                |                                                                                                                                                                                                                                                                                                                                                                                                                                                                                                                                                                                                                                  |                              
                                                                                                                                                                                                                                                                                                                                                                                                                                                                                                                                                                                                                                                                                                                                                                                                                                                                                                                                                                                                                                                                                                                                                                                                                                                     |                                                                                                                                                                                                                                                                                                                                                                                                                                                                                                                                                                                                                                                                                                                                                                                                                                                                                                                                                                                                                                                                                                                                                                                                                                                                                                                                                                                                                                                                                                                                                                                                                                                                                                                                                                                                                                                                                                                                                                                                                                                                                                                                |                                                                                                                                                                                                                                                                                                                                                                                                                                                                                                                                                                                                                                                                                                                                                                                                                                                                                                                                                                                                                                                                                                                                                                                                                                                                                                                                                                                                                                                                                                                                                                                                                                                                                                                                                                                                                                                                                                                                                                                                                                                                                                                                |                                                                                                                                                                                                                                                                                                                                                                                                                                                                                                                                                                                                                                                                                                                                                                                                                                                                                                                                                                                                                                                                                                                                                                                                                                                                                                                                                                                                                                                                                                                                                                                                                                                                                                                                                                                           |                                                                                                                                                                                                                                                                                                                                                                                                                                                                                                                                                                                                                                                                                                                                                                                                                                                                                                                                                                                                                                                                                                                                                                                                                                                                                                                                                                                                                                                                                                                                                                                                                                                     |                                                                                                                                                                                                                                                                                                                                                                                                                                                                                                                                                                                                                                                                                                                                                                                                                                                                                                                                                                                                                                                                                                                                                                                                                                                                                                                                                                                                                                     
                                                              |                                                                                                                                                                                                                                                                                                                                                                                                                                                                                                                                                                                                                                                                                                                                                                                                                                                                                                                                                                                                                                                                                                                                                                                                                                                                                                                                                                                                                                                                                                                                                                                                                                                                                                                                                                                                                                                                                                                                                                                                                                                                                                                              |                                                                                                                                                                                                                                                                                                                                                                                                                                                                                                                                                                                                                                                                                                                                                                                                                                                                                                                                                                                                                                                                                                                                                                                                                                                                                                                                                                                                                                                                                                                                                                                                                                                                                                                                                                                                                                                                                                                                                                                                                                                                                                                              |                                                                                                                                                                                                                                                                                                                                                                                                                                                                                                                                                                                                                                                                                                                                                                                                                                                                                                                                                                                                                                                                                                                                                                                                                                                                                                                                                                                                                                                                                                                                                                                                                                                                                                                                                                                                                                                                                                                                                                                                                                                                                                                                | 8                                                                                                                                                                                                                                                                                                                                                                                                                                                                                                                                                                                                                                                                                                                                                                                                                                                                                                                                                                                                                                                                                                                                                                                                                                                                                                                                                                                                                                                                                                                                                                                                                                                                                                                                                                                                                                                                                                                                                                                                                                                                                                                            |                                                                                                  |                                                                                                                                                                                                                                                                                                                                                                                                                                                                                                                                                                                                                                                                                                                                                                                                                                                                                                                                                                                                                                                                                                                                                                                                                                                                                                                                                                                                                                                                                                                                                                                                                                                                                                               
                                                                                                                                                                                                                                                                                                                                                                                                             |                                                                                                                                                                                                                                                                                                                                                                                                                                                                                                                                                                                                                                                                                                                                                                                                                                                                                                                                                                                                                                                                                                                                                                                                                                                                                                                                                                                                                                                                                                                                                                                                                                                                                                                                                                                                                                                                                                                                                                                                                                                                                                                              |                                                                                                                                                                                                                                                                                                                                                                                                                                                                                                                                                                                                                                                                                                                                                                                                                                                                                                                                                                                                                                                                                                                                                                                                                                                                                                                                                                                                                                                                                                                                                                                                                                                                                                                                                                                                                                                                                                                                                                                                                                                                                                                              | Ш         |                                                                                                                                                                                                                                                                                                                                                                                                                                                                                                                                                                                                                                                                                                                                                                                                                                                                                                                                                                                                                                                                                                                                                                                                                                                                                                                                                                                                                                                                                                                                                                                                                                                                                                                                                                                                                                                                                                                                                                                                                                                                                                                              |                                                                                            |                                                                                                                                                                                                                                                                                                                                                                                                                                                                                                                                                                                                                                                                                                                                                                                                                                                                                                                                                                                                                                                                                                                                                                                                                                                                                                                                                                                                                                                                                                                                                                                                                                                                                                                                                                                                                                                                                                                                                                                                                                                                                                                             |                                                                                                       |                                                                                                                                                                                                                                                                                                                                                                                                                                                                                                                                                                                                                                                                                                                                                                                                                                                                                                                                                                                                                                                                                                                                                                                                                                                     
                                                                                                                                                                                                                                                                                                                                                                                                                                                                                                                                                                                                                                                                                                                                                                                                                                                                        |            |                                                                                                                                                                                                                                                                                                                                                                                                                                                                                                                                                                                                                                                                                                                                                                                                                                                                                                                                                                                                                                                                                                                                                                                                                                                                                                                                                                                                                                                                                                                                                                                                                                                                                                                                                                                                                                                                                                                                                                                                                                                                                                                             | $\perp$                                                                                                                                                                                                                                                                                                                                                                                                                                                                                                                                                                                                                                                                                                                                                                                                                                                                                                                                                                                                                                                                                                                                                                                                                                                                                                                                                                                                                                                                                                                                                                                                                                                                                                                                                                                                                                                                                                                                                                                                                                                                                                                      | Ц                                                                                                                                                                                                                                                                                                                                                                                                                                                                                                                                                                                                                                                                                                                                                                                                                                                                                                                                                                                                                                                                                                                                                                                                                                                                                                                                                                                                                                                                                                                                                                                                                                                                                                                                                                                                                                                                                                                                                                                                                                                                                                                            |
|                                                                                                                                                                                                                                                                                                                                                                                                                                                                                                                                                                                                                                                                                                                                                                                                                                                                                                                                                                                                                                                                                                                                                                                                                                                                                                                                                                                                                                                                                                                                                                                                                                                                                                                                                                                                                                                                                                                                                                                                                                                                                                                              |                                                                                                                                                                                                                                                                                                                                                                                                                                                                                                                                                                                                                                                                                                                                                                                                                                                                                                                                                                                                                                                                                                                                                                                                                                                                                                                                                                                                                                                                                                                                                                                                                                                                                                                                                                                                                                                                                                                                                                                                                                                                                                                              |                                                                                                                                                                                                                                                                                                                                                                                                                                                                                                                                                                                                                                                                                                                                                                                                                                                                                                                                                                                                                                                                                                                                                                                                                                                                                                                                                                                                                                                                                                                                                                                                                                                                                                                                                                                                                                                                                                                                                                                                                                                                                                                              |                                                                                             |                                                                                                                                                                                                                                                                                                                                                                                                                                                                                                                                                                                                                                                                                                                                                                                                                                                                                                                                                                                                                                                                                                                                                                                                                                                                                                                                                                                                                                                                                                                                                                                                                                                                                                                                                                                                                                                                                                                                                                                                                                                                                                                              |                                                                                                                                                                                                                                                                                                                                                                                                                                                                                                                                                                                                                                                                                                                                                                                                                                                                                                                                                                                                                                                                                                                                                                                                                                                                                                                                                                                                                                                                                                                                                                                                                                                                                                                                                                                    
                                                                                                                                                                                                                                                                                                                                         |                                                                                                                                                                                                                                                                                                                                                                                                                                                                                                                                                                                                                                                                                                                                                                                                                                                                                                                                                                                                                                                                                                                                                                                                                                                                                                                                                                                                                                                                                                                                                                                                                                                                                                                                                                                                                                                                                                                                                                                                                                                                                                                              |                                                                                                                                                                                                                                                                                                                                                                                                                                                                                                                                                                                                                                                                                                                                                                                                                                                                                                                                                                                                                                                                                                                                                                                                                                                                                                                                                                                                                                                                                                                                                                                                                                                                                                                                                                                                                                                                                                                                                                                                                                                                                                                              |                                                                                       |                                                                                                                                                                                                                                                                                                                                                                                                                                                                                                                                                                                                                                                                                                                                                                                                                                                                                                                                                                                                                                                                                                                                                                                                                                                                                                                                                                                                                                                                                                                                                                                                                                                                                                                                                                                                                                                                                                                                                                                                                                                                                                                              |                                                                                                                                                                                                                                                                                                                                                                                                                                                                                                                                                                                                                                                                                                                                                                                                                                                                                                                                                                                                                                                                                                                                                                                                                                                                                                                                                                                                                                                                                                                                                                                                                                                                                                                                                                                                                                                                                                                                                                                                                                                                                                                              | В                                                                                                                                                                                                                                                                                                                                                                                                                                                                                                                                                                                                                                                                                                                                                                                                                                                                                                                                                                                                                                                                                                                                                                                                                                                                                                                                                                                                                                               
                                                                                                                                                                                                                                                                                                                                                                                                                                                                                                                                                                                                                                                                           |                                                                                                                                                                                                                                                                                                                                                                                                                                                                                                                                                                                                                                                                                                                                                                                                                                                                                                                                                                                                                                                                                                                                                                                                                                                                                                                                                                                                                                                                                                                                                                                                                                                                                                                                                                                                                                                                                                                                                                                                                                                                                                                           |                                                                                                                                                                                                                                                                                                                                                                                                                                                                                                                                                                                                                                                                                                                                                                                                                                                                                                                                                                                                                                                                                                                                                                                                                                                                                                                                                                                                                                                                                                                                                                                                                                                                                                                                                                                                                                                                                                                                                                                                                                                                                                                              |                                                                                                   |                                                                                                                                                                                                                                                                                                                                                                                                                                                                                                                                                                                                                                                                                                                                                                                                                                                                                                                                                                                                                                                                                                                                                                                                                                                                                                                                                                                                                                                                                                                                                                                                                                                                                                                                                                                                                                                                                                                                                                                                                                                                                                                              |                                                                                   |                                                                                                                                                                                                                                                                                                                                                                                                                                                                                                                                                                                                                                                                                                                                                                                                                                                                                                                                                                                                                                                                                                                                                                                                                                                                                                                                                                                                                                                                                                                                                                                                                                                                                                                                                                                                                                                                                                                                                                                                                                                                                                                              |                                                                                                                                                                                                                                                                                                                                                                                                                                                                                                                                                                                                                                                                                                                                                                                                                                                                                                                                                                                                                  
                                                                                                                                                                                                                                                                                                                                                                                                                                                                                                                                                                                                                                                                                                                                                                                                                                                                                                                                                                                                                                                                                                           |                                                                                                       |                                                                                                   | )                                                                                             | >                                                                                                   |                                                                                                                                                                                                                                                                                                                                                                                                                                                                                                                                                                                                                                                                                                                                                                                                                                                                                                                                                                                                                                                                                                                                                                                                                                                                                                                                                                                                                                                                                                                                                                                                                                                                                                                                                                                                                                                                                                                                                                                                                                                                                                                           |                                                                                           | В                                                                                                                                                                                                                                                                                                                                                                                                                                                                                                                                                                                                                                                                                                                                                                                                                                                                                                                                                                                                                                                                                                                                                                                                                                                                                                                                                                                                                                                                                                                                                                                                                                                                                                                                                                                                                                                                                                                                                                                                                                                                                                                          |                                                                                                                                                                                                                                                                                                                                                                                                                                                                                                                                                                                                                                                                                                                                                                                                                                                                                                                                                                                                                                                                                                                                                                                                                                                                                                                                                                                                                                                                                                                                                                                                                                                                                                                                                                                                                                                                                                                                                                                                                                                                                                                                |                                                                                                                                                                                                                                                                                                                                                                                                                                                                                                                                                                                                                                                                                                                                                                                                                                                                                                                                                                                                                                                                                                                                                                                                                                                                                                                                                                                                                                                                                                                                                                                                                                                                                                                                                                                                                                                                                                                                                                                                                                                                                                                               |                                                                                                                                                                                                                                                           
                                                                                                                                                                                                                                                                                                                                                                                                                                                                                                                                                                                                                                                                                                                                                                                                                                                                                                                                                                                                                                                                                                                                                                                                                                                                                                                                                                                                                                                                                                                                                                                                                                                                                                                                                                                                                                                                  |                                                                                                                                                                                                                                                                                                                                                                                                                                                                                                                                                                                                                                                                                                                                                                                                                                                                                                                                                                                                                                                                                                                                                                                                                                                                                                                                                                                                                                                                                                                                                                                                                                                                                                                                                                                                                                                                                                                                                                                                                                                                                                                              |                                                                                                                                                                                                                                                                                                                                                                                                                                                                                                                                                                                                                                                                                                                                                                                                                                                                                                                                                                                                                                                                                                                                                                                                                                                                                                                                                                                                                                                                                                                                                                                                                                                                                                                                                                                                                                                                                                                                                                                                                                                                                                                                |                                                                                                                                                                                                                                                                                                                                                                                                                                                                                                                                                                                                                                                                                                                                                                                                                                                                                                                                                                                                                                                                                                                                                                                                                                                                                                                                                                                                                                                                                                                                                                                                                                                                                                                                                                                                                                                                                                                                                                                                                                                                                                                                |                                                                                                                                                                                                                                                                                                                                                                                                                                                                                                                                                                                                                                                                                                                                                                                                                                                                                                                                                                                                                                                                                                                                                                                                                                                                                                                                                                                                                                                                                                                                                                                                                                                                                                                                                                                                                                                                                                                                                                                                                                                                                                                                | .        
                                                                                                                                                                                                                                                                                                                                                                                                                                                                                                                                                                                                                                                                                                                                                                                                                                                                                                                                                                                                                                                                                                                                                                                                                                                                                                                                                                                                                                                                                                                                                                                                                                                                                                                                                                                                                                                                                                                                                                                                                                                                                                                     |                                                                                                                                                                                                                                                                                                                                                                                                                                                                                                                                                                                                                                                                                                                                                                                                                                                                                                                                                                                                                                                                                                                                                                                                                                                                                                                                                                                                                                                                                                                                                                                                                                                                                                               |                                                                                                                                                                                                                                                                                                                                                                                                                                                                                                                                                                                                                                                                                                                                                                                                                                                                                                                                                                                                                   |                                                                                                                                                                                                                                                                                                                                                                                                                                                                                                                                                                                                                                                                                                                                                                                                                                                                                                                                                                                                                                                |                                                                                                                                                                                                                                                                                                                                                                                                                                                                                                                                                                                                                                                                                                                                                                              |                                                                                                                                                                                                                                                                                                                                                                                                                                                                                                                                                                                                                                                                                                                                                                                                        |                                                                                                                                                                                                                                                                                                                                                                                                                                                                                                                                                                                         |                                                                                                                                                                                                                                                                                                                                                                                                                                                                                                |                                                                                                                                                                                                                                                                                                                                                                                                                                                                                                                              |                                                                                                                                                                                                                                                                                                                                                                                                                                                                                                                                                                                                                | 00                                                                                                                                                                                                                                                                                                                                                                                                                                                                                                                                                                                                                               | B                            
                                                                                                                                                                                                                                                                                                                                                                                                                                                                                                                                                                                                                                                                                                                                                                                                                                                                                                                                                                                                                                                                                                                                                                                                                                                     | 0                                                                                                                                                                                                                                                                                                                                                                                                                                                                                                                                                                                                                                                                                                                                                                                                                                                                                                                                                                                                                                                                                                                                                                                                                                                                                                                                                                                                                                                                                                                                                                                                                                                                                                                                                                                                                                                                                                                                                                                                                                                                                                                              | ۳ ۳                                                                                                                                                                                                                                                                                                                                                                                                                                                                                                                                                                                                                                                                                                                                                                                                                                                                                                                                                                                                                                                                                                                                                                                                                                                                                                                                                                                                                                                                                                                                                                                                                                                                                                                                                                                                                                                                                                                                                                                                                                                                                                                            |                                                                                                                                                                                                                                                                                                                                                                                                                                                                                                                                                                                                                                                                                                                                                                                                                                                                                                                                                                                                                                                                                                                                                                                                                                                                                                                                                                                                                                                                                                                                                                                                                                                                                                                                                                                           |                                                                                                                                                                                                                                                                                                                                                                                                                                                                                                                                                                                                                                                                                                                                                                                                                                                                                                                                                                                                                                                                                                                                                                                                                                                                                                                                                                                                                                                                                                                                                                                                                                                     | | | |
                                                              |                                                                                                                                                                                                                                                                                                                                                                                                                                                                                                                                                                                                                                                                                                                                                                                                                                                                                                                                                                                                                                                                                                                                                                                                                                                                                                                                                                                                                                                                                                                                                                                                                                                                                                                                                                                                                                                                                                                                                                                                                                                                                                                              |                                                                                                                                                                                                                                                                                                                                                                                                                                                                                                                                                                                                                                                                                                                                                                                                                                                                                                                                                                                                                                                                                                                                                                                                                                                                                                                                                                                                                                                                                                                                                                                                                                                                                                                                                                                                                                                                                                                                                                                                                                                                                                                              |                                                                                                                                                                                                                                                                                                                                                                                                                                                                                                                                                                                                                                                                                                                                                                                                                                                                                                                                                                                                                                                                                                                                                                                                                                                                                                                                                                                                                                                                                                                                                                                                                                                                                                                                                                                                                                                                                                                                                                                                                                                                                                                                |                                                                                                                                                                                                                                                                                                                                                                                                                                                                                                                                                                                                                                                                                                                                                                                                                                                                                                                                                                                                                                                                                                                                                                                                                                                                                                                                                                                                                                                                                                                                                                                                                                                                                                                                                                                                                                                                                                                                                                                                                                                                                                                              |                                                                                                  |                                                                                                                                                                                                                                                                                                                                                                                                                                                                                                                                                                                                                                                                                                                                                                                                                                                                                                                                                                                                                                                                                                                                                                                                                                                                                                                                                                                                                                                                                                                                                                                                                                                                                                               
                                                                                                                                                                                                                                                                                                                                                                                                             | ٩                                                                                                                                                                                                                                                                                                                                                                                                                                                                                                                                                                                                                                                                                                                                                                                                                                                                                                                                                                                                                                                                                                                                                                                                                                                                                                                                                                                                                                                                                                                                                                                                                                                                                                                                                                                                                                                                                                                                                                                                                                                                                                                            |                                                                                                                                                                                                                                                                                                                                                                                                                                                                                                                                                                                                                                                                                                                                                                                                                                                                                                                                                                                                                                                                                                                                                                                                                                                                                                                                                                                                                                                                                                                                                                                                                                                                                                                                                                                                                                                                                                                                                                                                                                                                                                                              | 8         |                                                                                                                                                                                                                                                                                                                                                                                                                                                                                                                                                                                                                                                                                                                                                                                                                                                                                                                                                                                                                                                                                                                                                                                                                                                                                                                                                                                                                                                                                                                                                                                                                                                                                                                                                                                                                                                                                                                                                                                                                                                                                                                              |                                                                                            |                                                                                                                                                                                                                                                                                                                                                                                                                                                                                                                                                                                                                                                                                                                                                                                                                                                                                                                                                                                                                                                                                                                                                                                                                                                                                                                                                                                                                                                                                                                                                                                                                                                                                                                                                                                                                                                                                                                                                                                                                                                                                                                             |                                                                                                       |                                                                                                                                                                                                                                                                                                                                                                                                                                                                                                                                                                                                                                                                                                                                                                                                                                                                                                                                                                                                                                                                                                                                                                                                                                                     
                                                                                                                                                                                                                                                                                                                                                                                                                                                                                                                                                                                                                                                                                                                                                                                                                                                                        |            |                                                                                                                                                                                                                                                                                                                                                                                                                                                                                                                                                                                                                                                                                                                                                                                                                                                                                                                                                                                                                                                                                                                                                                                                                                                                                                                                                                                                                                                                                                                                                                                                                                                                                                                                                                                                                                                                                                                                                                                                                                                                                                                             |                                                                                                                                                                                                                                                                                                                                                                                                                                                                                                                                                                                                                                                                                                                                                                                                                                                                                                                                                                                                                                                                                                                                                                                                                                                                                                                                                                                                                                                                                                                                                                                                                                                                                                                                                                                                                                                                                                                                                                                                                                                                                                                              |                                                                                                                                                                                                                                                                                                                                                                                                                                                                                                                                                                                                                                                                                                                                                                                                                                                                                                                                                                                                                                                                                                                                                                                                                                                                                                                                                                                                                                                                                                                                                                                                                                                                                                                                                                                                                                                                                                                                                                                                                                                                                                                              |
| LES                                                                                                                                                                                                                                                                                                                                                                                                                                                                                                                                                                                                                                                                                                                                                                                                                                                                                                                                                                                                                                                                                                                                                                                                                                                                                                                                                                                                                                                                                                                                                                                                                                                                                                                                                                                                                                                                                                                                                                                                                                                                                                                          | I ES                                                                                                                                                                                                                                                                                                                                                                                                                                                                                                                                                                                                                                                                                                                                                                                                                                                                                                                                                                                                                                                                                                                                                                                                                                                                                                                                                                                                                                                                                                                                                                                                                                                                                                                                                                                                                                                                                                                                                                                                                                                                                                                         | 司                                                                                                                                                                                                                                                                                                                                                                                                                                                                                                                                                                                                                                                                                                                                                                                                                                                                                                                                                                                                                                                                                                                                                                                                                                                                                                                                                                                                                                                                                                                                                                                                                                                                                                                                                                                                                                                                                                                                                                                                                                                                                                                            | 8 5                                                                                         | 집                                                                                                                                                                                                                                                                                                                                                                                                                                                                                                                                                                                                                                                                                                                                                                                                                                                                                                                                                                                                                                                                                                                                                                                                                                                                                                                                                                                                                                                                                                                                                                                                                                                                                                                                                                                                                                                                                                                                                                                                                                                                                                                            | 골                                                                                                                                                                                                                                                                                                                                                                                                                                                                                                                                                                                                                                                                                                                                                                                                                                                                                                                                                                                                                                                                                                                                                                                                                                                                                                                                                                                                                                                                                                                                                                                                                                                                                                                                                                                  
                                                                                                                                                                                                                                                                                                                                         | ¥ 2                                                                                                                                                                                                                                                                                                                                                                                                                                                                                                                                                                                                                                                                                                                                                                                                                                                                                                                                                                                                                                                                                                                                                                                                                                                                                                                                                                                                                                                                                                                                                                                                                                                                                                                                                                                                                                                                                                                                                                                                                                                                                                                          | 2 2                                                                                                                                                                                                                                                                                                                                                                                                                                                                                                                                                                                                                                                                                                                                                                                                                                                                                                                                                                                                                                                                                                                                                                                                                                                                                                                                                                                                                                                                                                                                                                                                                                                                                                                                                                                                                                                                                                                                                                                                                                                                                                                          | 공<br>공                                                                                | 민준                                                                                                                                                                                                                                                                                                                                                                                                                                                                                                                                                                                                                                                                                                                                                                                                                                                                                                                                                                                                                                                                                                                                                                                                                                                                                                                                                                                                                                                                                                                                                                                                                                                                                                                                                                                                                                                                                                                                                                                                                                                                                                                           | ᆱ                                                                                                                                                                                                                                                                                                                                                                                                                                                                                                                                                                                                                                                                                                                                                                                                                                                                                                                                                                                                                                                                                                                                                                                                                                                                                                                                                                                                                                                                                                                                                                                                                                                                                                                                                                                                                                                                                                                                                                                                                                                                                                                            | 2 2                                                                                                                                                                                                                                                                                                                                                                                                                                                                                                                                                                                                                                                                                                                                                                                                                                                                                                                                                                                                                                                                                                                                                                                                                                                                                                                                                                                                                                             
                                                                                                                                                                                                                                                                                                                                                                                                                                                                                                                                                                                                                                                                           | 2 2                                                                                                                                                                                                                                                                                                                                                                                                                                                                                                                                                                                                                                                                                                                                                                                                                                                                                                                                                                                                                                                                                                                                                                                                                                                                                                                                                                                                                                                                                                                                                                                                                                                                                                                                                                                                                                                                                                                                                                                                                                                                                                                       | 길                                                                                                                                                                                                                                                                                                                                                                                                                                                                                                                                                                                                                                                                                                                                                                                                                                                                                                                                                                                                                                                                                                                                                                                                                                                                                                                                                                                                                                                                                                                                                                                                                                                                                                                                                                                                                                                                                                                                                                                                                                                                                                                            | ~                                                                                                 | ᆱ                                                                                                                                                                                                                                                                                                                                                                                                                                                                                                                                                                                                                                                                                                                                                                                                                                                                                                                                                                                                                                                                                                                                                                                                                                                                                                                                                                                                                                                                                                                                                                                                                                                                                                                                                                                                                                                                                                                                                                                                                                                                                                                            | 2 2                                                                               | 2 2                                                                                                                                                                                                                                                                                                                                                                                                                                                                                                                                                                                                                                                                                                                                                                                                                                                                                                                                                                                                                                                                                                                                                                                                                                                                                                                                                                                                                                                                                                                                                                                                                                                                                                                                                                                                                                                                                                                                                                                                                                                                                                                          | 2 2                                                                                                                                                                                                                                                                                                                                                                                                                                                                                                                                                                                                                                                                                                                                                                                                                                                                                                                                                                                                              
                                                                                                                                                                                                                                                                                                                                                                                                                                                                                                                                                                                                                                                                                                                                                                                                                                                                                                                                                                                                                                                                                                           | 몬                                                                                                     | 낌                                                                                                 | 리                                                                                             | <u> </u>                                                                                            | 모                                                                                                                                                                                                                                                                                                                                                                                                                                                                                                                                                                                                                                                                                                                                                                                                                                                                                                                                                                                                                                                                                                                                                                                                                                                                                                                                                                                                                                                                                                                                                                                                                                                                                                                                                                                                                                                                                                                                                                                                                                                                                                                         | 괻                                                                                         | 짇                                                                                                                                                                                                                                                                                                                                                                                                                                                                                                                                                                                                                                                                                                                                                                                                                                                                                                                                                                                                                                                                                                                                                                                                                                                                                                                                                                                                                                                                                                                                                                                                                                                                                                                                                                                                                                                                                                                                                                                                                                                                                                                          | 2 2                                                                                                                                                                                                                                                                                                                                                                                                                                                                                                                                                                                                                                                                                                                                                                                                                                                                                                                                                                                                                                                                                                                                                                                                                                                                                                                                                                                                                                                                                                                                                                                                                                                                                                                                                                                                                                                                                                                                                                                                                                                                                                                            | 2 A                                                                                                                                                                                                                                                                                                                                                                                                                                                                                                                                                                                                                                                                                                                                                                                                                                                                                                                                                                                                                                                                                                                                                                                                                                                                                                                                                                                                                                                                                                                                                                                                                                                                                                                                                                                                                                                                                                                                                                                                                                                                                                                           | A                                                                                                                                                                                                                                                         
                                                                                                                                                                                                                                                                                                                                                                                                                                                                                                                                                                                                                                                                                                                                                                                                                                                                                                                                                                                                                                                                                                                                                                                                                                                                                                                                                                                                                                                                                                                                                                                                                                                                                                                                                                                                                                                                  | 공                                                                                                                                                                                                                                                                                                                                                                                                                                                                                                                                                                                                                                                                                                                                                                                                                                                                                                                                                                                                                                                                                                                                                                                                                                                                                                                                                                                                                                                                                                                                                                                                                                                                                                                                                                                                                                                                                                                                                                                                                                                                                                                            | 2 2                                                                                                                                                                                                                                                                                                                                                                                                                                                                                                                                                                                                                                                                                                                                                                                                                                                                                                                                                                                                                                                                                                                                                                                                                                                                                                                                                                                                                                                                                                                                                                                                                                                                                                                                                                                                                                                                                                                                                                                                                                                                                                                            | 2 2                                                                                                                                                                                                                                                                                                                                                                                                                                                                                                                                                                                                                                                                                                                                                                                                                                                                                                                                                                                                                                                                                                                                                                                                                                                                                                                                                                                                                                                                                                                                                                                                                                                                                                                                                                                                                                                                                                                                                                                                                                                                                                                            | <br>                                                                                                                                                                                                                                                                                                                                                                                                                                                                                                                                                                                                                                                                                                                                                                                                                                                                                                                                                                                                                                                                                                                                                                                                                                                                                                                                                                                                                                                                                                                                                                                                                                                                                                                                                                                                                                                                                                                                                                                                                                                                                                                           | 찓        
                                                                                                                                                                                                                                                                                                                                                                                                                                                                                                                                                                                                                                                                                                                                                                                                                                                                                                                                                                                                                                                                                                                                                                                                                                                                                                                                                                                                                                                                                                                                                                                                                                                                                                                                                                                                                                                                                                                                                                                                                                                                                                                     | 2 3                                                                                                                                                                                                                                                                                                                                                                                                                                                                                                                                                                                                                                                                                                                                                                                                                                                                                                                                                                                                                                                                                                                                                                                                                                                                                                                                                                                                                                                                                                                                                                                                                                                                                                           | 2 2                                                                                                                                                                                                                                                                                                                                                                                                                                                                                                                                                                                                                                                                                                                                                                                                                                                                                                                                                                                                               | 쾯                                                                                                                                                                                                                                                                                                                                                                                                                                                                                                                                                                                                                                                                                                                                                                                                                                                                                                                                                                                                                                              | 2 6                                                                                                                                                                                                                                                                                                                                                                                                                                                                                                                                                                                                                                                                                                                                                                          | 2 2                                                                                                                                                                                                                                                                                                                                                                                                                                                                                                                                                                                                                                                                                                                                                                                                    | 2 8                                                                                                                                                                                                                                                                                                                                                                                                                                                                                                                                                                                     | 문                                                                                                                                                                                                                                                                                                                                                                                                                                                                                              | 퀻                                                                                                                                                                                                                                                                                                                                                                                                                                                                                                                            | 낌                                                                                                                                                                                                                                                                                                                                                                                                                                                                                                                                                                                                              | 집문                                                                                                                                                                                                                                                                                                                                                                                                                                                                                                                                                                                                                               | ౭                            
                                                                                                                                                                                                                                                                                                                                                                                                                                                                                                                                                                                                                                                                                                                                                                                                                                                                                                                                                                                                                                                                                                                                                                                                                                                     | 2 2                                                                                                                                                                                                                                                                                                                                                                                                                                                                                                                                                                                                                                                                                                                                                                                                                                                                                                                                                                                                                                                                                                                                                                                                                                                                                                                                                                                                                                                                                                                                                                                                                                                                                                                                                                                                                                                                                                                                                                                                                                                                                                                            | 2 2                                                                                                                                                                                                                                                                                                                                                                                                                                                                                                                                                                                                                                                                                                                                                                                                                                                                                                                                                                                                                                                                                                                                                                                                                                                                                                                                                                                                                                                                                                                                                                                                                                                                                                                                                                                                                                                                                                                                                                                                                                                                                                                            | A S                                                                                                                                                                                                                                                                                                                                                                                                                                                                                                                                                                                                                                                                                                                                                                                                                                                                                                                                                                                                                                                                                                                                                                                                                                                                                                                                                                                                                                                                                                                                                                                                                                                                                                                                                                                       | 2 2                                                                                                                                                                                                                                                                                                                                                                                                                                                                                                                                                                                                                                                                                                                                                                                                                                                                                                                                                                                                                                                                                                                                                                                                                                                                                                                                                                                                                                                                                                                                                                                                                                                 | 낌                                                                                                                                                                                                                                                                                                                                                                                                                                                                                                                                                                                                                                                                                                                                                                                                                                                                                                                                                                                                                                                                                                                                                                                                                                                                                                                                                                                                                                   
                                                              | 2 2                                                                                                                                                                                                                                                                                                                                                                                                                                                                                                                                                                                                                                                                                                                                                                                                                                                                                                                                                                                                                                                                                                                                                                                                                                                                                                                                                                                                                                                                                                                                                                                                                                                                                                                                                                                                                                                                                                                                                                                                                                                                                                                          | 2 2                                                                                                                                                                                                                                                                                                                                                                                                                                                                                                                                                                                                                                                                                                                                                                                                                                                                                                                                                                                                                                                                                                                                                                                                                                                                                                                                                                                                                                                                                                                                                                                                                                                                                                                                                                                                                                                                                                                                                                                                                                                                                                                          | S                                                                                                                                                                                                                                                                                                                                                                                                                                                                                                                                                                                                                                                                                                                                                                                                                                                                                                                                                                                                                                                                                                                                                                                                                                                                                                                                                                                                                                                                                                                                                                                                                                                                                                                                                                                                                                                                                                                                                                                                                                                                                                                              | 2 2                                                                                                                                                                                                                                                                                                                                                                                                                                                                                                                                                                                                                                                                                                                                                                                                                                                                                                                                                                                                                                                                                                                                                                                                                                                                                                                                                                                                                                                                                                                                                                                                                                                                                                                                                                                                                                                                                                                                                                                                                                                                                                                          | 민                                                                                                | P                                                                                                                                                                                                                                                                                                                                                                                                                                                                                                                                                                                                                                                                                                                                                                                                                                                                                                                                                                                                                                                                                                                                                                                                                                                                                                                                                                                                                                                                                                                                                                                                                                                                                                             
                                                                                                                                                                                                                                                                                                                                                                                                             | 2 2                                                                                                                                                                                                                                                                                                                                                                                                                                                                                                                                                                                                                                                                                                                                                                                                                                                                                                                                                                                                                                                                                                                                                                                                                                                                                                                                                                                                                                                                                                                                                                                                                                                                                                                                                                                                                                                                                                                                                                                                                                                                                                                          |                                                                                                                                                                                                                                                                                                                                                                                                                                                                                                                                                                                                                                                                                                                                                                                                                                                                                                                                                                                                                                                                                                                                                                                                                                                                                                                                                                                                                                                                                                                                                                                                                                                                                                                                                                                                                                                                                                                                                                                                                                                                                                                              | P         | ₽ Ş                                                                                                                                                                                                                                                                                                                                                                                                                                                                                                                                                                                                                                                                                                                                                                                                                                                                                                                                                                                                                                                                                                                                                                                                                                                                                                                                                                                                                                                                                                                                                                                                                                                                                                                                                                                                                                                                                                                                                                                                                                                                                                                          | Q 20                                                                                       | 골                                                                                                                                                                                                                                                                                                                                                                                                                                                                                                                                                                                                                                                                                                                                                                                                                                                                                                                                                                                                                                                                                                                                                                                                                                                                                                                                                                                                                                                                                                                                                                                                                                                                                                                                                                                                                                                                                                                                                                                                                                                                                                                           |                                                                                                       | 5 Z                                                                                                                                                                                                                                                                                                                                                                                                                                                                                                                                                                                                                                                                                                                                                                                                                                                                                                                                                                                                                                                                                                                                                                                                                                                 
                                                                                                                                                                                                                                                                                                                                                                                                                                                                                                                                                                                                                                                                                                                                                                                                                                                                        | P          | ₽ ?                                                                                                                                                                                                                                                                                                                                                                                                                                                                                                                                                                                                                                                                                                                                                                                                                                                                                                                                                                                                                                                                                                                                                                                                                                                                                                                                                                                                                                                                                                                                                                                                                                                                                                                                                                                                                                                                                                                                                                                                                                                                                                                         | N BD                                                                                                                                                                                                                                                                                                                                                                                                                                                                                                                                                                                                                                                                                                                                                                                                                                                                                                                                                                                                                                                                                                                                                                                                                                                                                                                                                                                                                                                                                                                                                                                                                                                                                                                                                                                                                                                                                                                                                                                                                                                                                                                         | AV                                                                                                                                                                                                                                                                                                                                                                                                                                                                                                                                                                                                                                                                                                                                                                                                                                                                                                                                                                                                                                                                                                                                                                                                                                                                                                                                                                                                                                                                                                                                                                                                                                                                                                                                                                                                                                                                                                                                                                                                                                                                                                                           |
| COLE                                                                                                                                                                                                                                                                                                                                                                                                                                                                                                                                                                                                                                                                                                                                                                                                                                                                                                                                                                                                                                                                                                                                                                                                                                                                                                                                                                                                                                                                                                                                                                                                                                                                                                                                                                                                                                                                                                                                                                                                                                                                                                                         | SIMO                                                                                                                                                                                                                                                                                                                                                                                                                                                                                                                                                                                                                                                                                                                                                                                                                                                                                                                                                                                                                                                                                                                                                                                                                                                                                                                                                                                                                                                                                                                                                                                                                                                                                                                                                                                                                                                                                                                                                                                                                                                                                                                         | NAC S                                                                                                                                                                                                                                                                                                                                                                                                                                                                                                                                                                                                                                                                                                                                                                                                                                                                                                                                                                                                                                                                                                                                                                                                                                                                                                                                                                                                                                                                                                                                                                                                                                                                                                                                                                                                                                                                                                                                                                                                                                                                                                                        |                                                                                             | DU F                                                                                                                                                                                                                                                                                                                                                                                                                                                                                                                                                                                                                                                                                                                                                                                                                                                                                                                                                                                                                                                                                                                                                                                                                                                                                                                                                                                                                                                                                                                                                                                                                                                                                                                                                                                                                                                                                                                                                                                                                                                                                                                         | E I                                                                                                                                                                                                                                                                                                                                                                                                                                                                                                                                                                                                                                                                                                                                                                                                                                                                                                                                                                                                                                                                                                                                                                                                                                                                                                                                                                                                                                                                                                                                                                                                                                                                                                                                                                                
                                                                                                                                                                                                                                                                                                                                         | 212                                                                                                                                                                                                                                                                                                                                                                                                                                                                                                                                                                                                                                                                                                                                                                                                                                                                                                                                                                                                                                                                                                                                                                                                                                                                                                                                                                                                                                                                                                                                                                                                                                                                                                                                                                                                                                                                                                                                                                                                                                                                                                                          |                                                                                                                                                                                                                                                                                                                                                                                                                                                                                                                                                                                                                                                                                                                                                                                                                                                                                                                                                                                                                                                                                                                                                                                                                                                                                                                                                                                                                                                                                                                                                                                                                                                                                                                                                                                                                                                                                                                                                                                                                                                                                                                              |                                                                                       |                                                                                                                                                                                                                                                                                                                                                                                                                                                                                                                                                                                                                                                                                                                                                                                                                                                                                                                                                                                                                                                                                                                                                                                                                                                                                                                                                                                                                                                                                                                                                                                                                                                                                                                                                                                                                                                                                                                                                                                                                                                                                                                              | 띮                                                                                                                                                                                                                                                                                                                                                                                                                                                                                                                                                                                                                                                                                                                                                                                                                                                                                                                                                                                                                                                                                                                                                                                                                                                                                                                                                                                                                                                                                                                                                                                                                                                                                                                                                                                                                                                                                                                                                                                                                                                                                                                            | EDEL                                                                                                                                                                                                                                                                                                                                                                                                                                                                                                                                                                                                                                                                                                                                                                                                                                                                                                                                                                                                                                                                                                                                                                                                                                                                                                                                                                                                                                            
                                                                                                                                                                                                                                                                                                                                                                                                                                                                                                                                                                                                                                                                           | FDFS                                                                                                                                                                                                                                                                                                                                                                                                                                                                                                                                                                                                                                                                                                                                                                                                                                                                                                                                                                                                                                                                                                                                                                                                                                                                                                                                                                                                                                                                                                                                                                                                                                                                                                                                                                                                                                                                                                                                                                                                                                                                                                                      | E FIR                                                                                                                                                                                                                                                                                                                                                                                                                                                                                                                                                                                                                                                                                                                                                                                                                                                                                                                                                                                                                                                                                                                                                                                                                                                                                                                                                                                                                                                                                                                                                                                                                                                                                                                                                                                                                                                                                                                                                                                                                                                                                                                        | E DE L                                                                                            | ELAN                                                                                                                                                                                                                                                                                                                                                                                                                                                                                                                                                                                                                                                                                                                                                                                                                                                                                                                                                                                                                                                                                                                                                                                                                                                                                                                                                                                                                                                                                                                                                                                                                                                                                                                                                                                                                                                                                                                                                                                                                                                                                                                         |                                                                                   |                                                                                                                                                                                                                                                                                                                                                                                                                                                                                                                                                                                                                                                                                                                                                                                                                                                                                                                                                                                                                                                                                                                                                                                                                                                                                                                                                                                                                                                                                                                                                                                                                                                                                                                                                                                                                                                                                                                                                                                                                                                                                                                              |                                                                                                                                                                                                                                                                                                                                                                                                                                                                                                                                                                                                                                                                                                                                                                                                                                                                                                                                                                                                                  
                                                                                                                                                                                                                                                                                                                                                                                                                                                                                                                                                                                                                                                                                                                                                                                                                                                                                                                                                                                                                                                                                                           | E DES                                                                                                 | E DES                                                                                             |                                                                                               | ARIS                                                                                                | DO C                                                                                                                                                                                                                                                                                                                                                                                                                                                                                                                                                                                                                                                                                                                                                                                                                                                                                                                                                                                                                                                                                                                                                                                                                                                                                                                                                                                                                                                                                                                                                                                                                                                                                                                                                                                                                                                                                                                                                                                                                                                                                                                      | EBEL                                                                                      | MA                                                                                                                                                                                                                                                                                                                                                                                                                                                                                                                                                                                                                                                                                                                                                                                                                                                                                                                                                                                                                                                                                                                                                                                                                                                                                                                                                                                                                                                                                                                                                                                                                                                                                                                                                                                                                                                                                                                                                                                                                                                                                                                         | ) LES                                                                                                                                                                                                                                                                                                                                                                                                                                                                                                                                                                                                                                                                                                                                                                                                                                                                                                                                                                                                                                                                                                                                                                                                                                                                                                                                                                                                                                                                                                                                                                                                                                                                                                                                                                                                                                                                                                                                                                                                                                                                                                                          | FRAN                                                                                                                                                                                                                                                                                                                                                                                                                                                                                                                                                                                                                                                                                                                                                                                                                                                                                                                                                                                                                                                                                                                                                                                                                                                                                                                                                                                                                                                                                                                                                                                                                                                                                                                                                                                                                                                                                                                                                                                                                                                                                                                          | DU G                                                                                                                                                                                                                                                      
                                                                                                                                                                                                                                                                                                                                                                                                                                                                                                                                                                                                                                                                                                                                                                                                                                                                                                                                                                                                                                                                                                                                                                                                                                                                                                                                                                                                                                                                                                                                                                                                                                                                                                                                                                                                                                                                  | EVIE                                                                                                                                                                                                                                                                                                                                                                                                                                                                                                                                                                                                                                                                                                                                                                                                                                                                                                                                                                                                                                                                                                                                                                                                                                                                                                                                                                                                                                                                                                                                                                                                                                                                                                                                                                                                                                                                                                                                                                                                                                                                                                                         |                                                                                                                                                                                                                                                                                                                                                                                                                                                                                                                                                                                                                                                                                                                                                                                                                                                                                                                                                                                                                                                                                                                                                                                                                                                                                                                                                                                                                                                                                                                                                                                                                                                                                                                                                                                                                                                                                                                                                                                                                                                                                                                                | GALL                                                                                                                                                                                                                                                                                                                                                                                                                                                                                                                                                                                                                                                                                                                                                                                                                                                                                                                                                                                                                                                                                                                                                                                                                                                                                                                                                                                                                                                                                                                                                                                                                                                                                                                                                                                                                                                                                                                                                                                                                                                                                                                           | R                                                                                                                                                                                                                                                                                                                                                                                                                                                                                                                                                                                                                                                                                                                                                                                                                                                                                                                                                                                                                                                                                                                                                                                                                                                                                                                                                                                                                                                                                                                                                                                                                                                                                                                                                                                                                                                                                                                                                                                                                                                                                                                              | E DE 1   
                                                                                                                                                                                                                                                                                                                                                                                                                                                                                                                                                                                                                                                                                                                                                                                                                                                                                                                                                                                                                                                                                                                                                                                                                                                                                                                                                                                                                                                                                                                                                                                                                                                                                                                                                                                                                                                                                                                                                                                                                                                                                                                     | 2   2                                                                                                                                                                                                                                                                                                                                                                                                                                                                                                                                                                                                                                                                                                                                                                                                                                                                                                                                                                                                                                                                                                                                                                                                                                                                                                                                                                                                                                                                                                                                                                                                                                                                                                         | E AND                                                                                                                                                                                                                                                                                                                                                                                                                                                                                                                                                                                                                                                                                                                                                                                                                                                                                                                                                                                                             | EFRA                                                                                                                                                                                                                                                                                                                                                                                                                                                                                                                                                                                                                                                                                                                                                                                                                                                                                                                                                                                                                                           | E AND                                                                                                                                                                                                                                                                                                                                                                                                                                                                                                                                                                                                                                                                                                                                                                        |                                                                                                                                                                                                                                                                                                                                                                                                                                                                                                                                                                                                                                                                                                                                                                                                        | SEO SE                                                                                                                                                                                                                                                                                                                                                                                                                                                                                                                                                                                  | ECHA                                                                                                                                                                                                                                                                                                                                                                                                                                                                                           | EDU                                                                                                                                                                                                                                                                                                                                                                                                                                                                                                                          |                                                                                                                                                                                                                                                                                                                                                                                                                                                                                                                                                                                                                | : DF S                                                                                                                                                                                                                                                                                                                                                                                                                                                                                                                                                                                                                           | E MA                         
                                                                                                                                                                                                                                                                                                                                                                                                                                                                                                                                                                                                                                                                                                                                                                                                                                                                                                                                                                                                                                                                                                                                                                                                                                                     | E MA                                                                                                                                                                                                                                                                                                                                                                                                                                                                                                                                                                                                                                                                                                                                                                                                                                                                                                                                                                                                                                                                                                                                                                                                                                                                                                                                                                                                                                                                                                                                                                                                                                                                                                                                                                                                                                                                                                                                                                                                                                                                                                                           | MA                                                                                                                                                                                                                                                                                                                                                                                                                                                                                                                                                                                                                                                                                                                                                                                                                                                                                                                                                                                                                                                                                                                                                                                                                                                                                                                                                                                                                                                                                                                                                                                                                                                                                                                                                                                                                                                                                                                                                                                                                                                                                                                             | DU P/                                                                                                                                                                                                                                                                                                                                                                                                                                                                                                                                                                                                                                                                                                                                                                                                                                                                                                                                                                                                                                                                                                                                                                                                                                                                                                                                                                                                                                                                                                                                                                                                                                                                                                                                                                                     | S Q                                                                                                                                                                                                                                                                                                                                                                                                                                                                                                                                                                                                                                                                                                                                                                                                                                                                                                                                                                                                                                                                                                                                                                                                                                                                                                                                                                                                                                                                                                                                                                                                                                                 | 모                                                                                                                                                                                                                                                                                                                                                                                                                                                                                                                                                                                                                                                                                                                                                                                                                                                                                                                                                                                                                                                                                                                                                                                                                                                                                                                                                                                                                                   
                                                              | E DES                                                                                                                                                                                                                                                                                                                                                                                                                                                                                                                                                                                                                                                                                                                                                                                                                                                                                                                                                                                                                                                                                                                                                                                                                                                                                                                                                                                                                                                                                                                                                                                                                                                                                                                                                                                                                                                                                                                                                                                                                                                                                                                        | E GAN                                                                                                                                                                                                                                                                                                                                                                                                                                                                                                                                                                                                                                                                                                                                                                                                                                                                                                                                                                                                                                                                                                                                                                                                                                                                                                                                                                                                                                                                                                                                                                                                                                                                                                                                                                                                                                                                                                                                                                                                                                                                                                                        |                                                                                                                                                                                                                                                                                                                                                                                                                                                                                                                                                                                                                                                                                                                                                                                                                                                                                                                                                                                                                                                                                                                                                                                                                                                                                                                                                                                                                                                                                                                                                                                                                                                                                                                                                                                                                                                                                                                                                                                                                                                                                                                                |                                                                                                                                                                                                                                                                                                                                                                                                                                                                                                                                                                                                                                                                                                                                                                                                                                                                                                                                                                                                                                                                                                                                                                                                                                                                                                                                                                                                                                                                                                                                                                                                                                                                                                                                                                                                                                                                                                                                                                                                                                                                                                                              |                                                                                                  | GEOR                                                                                                                                                                                                                                                                                                                                                                                                                                                                                                                                                                                                                                                                                                                                                                                                                                                                                                                                                                                                                                                                                                                                                                                                                                                                                                                                                                                                                                                                                                                                                                                                                                                                                                          
                                                                                                                                                                                                                                                                                                                                                                                                             | DE LA                                                                                                                                                                                                                                                                                                                                                                                                                                                                                                                                                                                                                                                                                                                                                                                                                                                                                                                                                                                                                                                                                                                                                                                                                                                                                                                                                                                                                                                                                                                                                                                                                                                                                                                                                                                                                                                                                                                                                                                                                                                                                                                        | - I                                                                                                                                                                                                                                                                                                                                                                                                                                                                                                                                                                                                                                                                                                                                                                                                                                                                                                                                                                                                                                                                                                                                                                                                                                                                                                                                                                                                                                                                                                                                                                                                                                                                                                                                                                                                                                                                                                                                                                                                                                                                                                                          |           | MNG                                                                                                                                                                                                                                                                                                                                                                                                                                                                                                                                                                                                                                                                                                                                                                                                                                                                                                                                                                                                                                                                                                                                                                                                                                                                                                                                                                                                                                                                                                                                                                                                                                                                                                                                                                                                                                                                                                                                                                                                                                                                                                                          | E DU                                                                                       | BEIL                                                                                                                                                                                                                                                                                                                                                                                                                                                                                                                                                                                                                                                                                                                                                                                                                                                                                                                                                                                                                                                                                                                                                                                                                                                                                                                                                                                                                                                                                                                                                                                                                                                                                                                                                                                                                                                                                                                                                                                                                                                                                                                        | ECHA                                                                                                  | E WAI                                                                                                                                                                                                                                                                                                                                                                                                                                                                                                                                                                                                                                                                                                                                                                                                                                                                                                                                                                                                                                                                                                                                                                                                                                               
                                                                                                                                                                                                                                                                                                                                                                                                                                                                                                                                                                                                                                                                                                                                                                                                                                                                        |            | DU GI                                                                                                                                                                                                                                                                                                                                                                                                                                                                                                                                                                                                                                                                                                                                                                                                                                                                                                                                                                                                                                                                                                                                                                                                                                                                                                                                                                                                                                                                                                                                                                                                                                                                                                                                                                                                                                                                                                                                                                                                                                                                                                                       | REAU                                                                                                                                                                                                                                                                                                                                                                                                                                                                                                                                                                                                                                                                                                                                                                                                                                                                                                                                                                                                                                                                                                                                                                                                                                                                                                                                                                                                                                                                                                                                                                                                                                                                                                                                                                                                                                                                                                                                                                                                                                                                                                                         | GEOR                                                                                                                                                                                                                                                                                                                                                                                                                                                                                                                                                                                                                                                                                                                                                                                                                                                                                                                                                                                                                                                                                                                                                                                                                                                                                                                                                                                                                                                                                                                                                                                                                                                                                                                                                                                                                                                                                                                                                                                                                                                                                                                         |
|                                                                                                                                                                                                                                                                                                                                                                                                                                                                                                                                                                                                                                                                                                                                                                                                                                                                                                                                                                                                                                                                                                                                                                                                                                                                                                                                                                                                                                                                                                                                                                                                                                                                                                                                                                                                                                                                                                                                                                                                                                                                                                                              |                                                                                                                                                                                                                                                                                                                                                                                                                                                                                                                                                                                                                                                                                                                                                                                                                                                                                                                                                                                                                                                                                                                                                                                                                                                                                                                                                                                                                                                                                                                                                                                                                                                                                                                                                                                                                                                                                                                                                                                                                                                                                                                              |                                                                                                                                                                                                                                                                                                                                                                                                                                                                                                                                                                                                                                                                                                                                                                                                                                                                                                                                                                                                                                                                                                                                                                                                                                                                                                                                                                                                                                                                                                                                                                                                                                                                                                                                                                                                                                                                                                                                                                                                                                                                                                                              |                                                                                             | .   S                                                                                                                                                                                                                                                                                                                                                                                                                                                                                                                                                                                                                                                                                                                                                                                                                                                                                                                                                                                                                                                                                                                                                                                                                                                                                                                                                                                                                                                                                                                                                                                                                                                                                                                                                                                                                                                                                                                                                                                                                                                                                                                        | N<br>N                                                                                                                                                                                                                                                                                                                                                                                                                                                                                                                                                                                                                                                                                                                                                                                                                                                                                                                                                                                                                                                                                                                                                                                                                                                                                                                                                                                                                                                                                                                                                                                                                                                                                                                                                                             
                                                                                                                                                                                                                                                                                                                                         |                                                                                                                                                                                                                                                                                                                                                                                                                                                                                                                                                                                                                                                                                                                                                                                                                                                                                                                                                                                                                                                                                                                                                                                                                                                                                                                                                                                                                                                                                                                                                                                                                                                                                                                                                                                                                                                                                                                                                                                                                                                                                                                              | OGR                                                                                                                                                                                                                                                                                                                                                                                                                                                                                                                                                                                                                                                                                                                                                                                                                                                                                                                                                                                                                                                                                                                                                                                                                                                                                                                                                                                                                                                                                                                                                                                                                                                                                                                                                                                                                                                                                                                                                                                                                                                                                                                          | m                                                                                     | E PAF                                                                                                                                                                                                                                                                                                                                                                                                                                                                                                                                                                                                                                                                                                                                                                                                                                                                                                                                                                                                                                                                                                                                                                                                                                                                                                                                                                                                                                                                                                                                                                                                                                                                                                                                                                                                                                                                                                                                                                                                                                                                                                                        | ND.                                                                                                                                                                                                                                                                                                                                                                                                                                                                                                                                                                                                                                                                                                                                                                                                                                                                                                                                                                                                                                                                                                                                                                                                                                                                                                                                                                                                                                                                                                                                                                                                                                                                                                                                                                                                                                                                                                                                                                                                                                                                                                                          | ND S                                                                                                                                                                                                                                                                                                                                                                                                                                                                                                                                                                                                                                                                                                                                                                                                                                                                                                                                                                                                                                                                                                                                                                                                                                                                                                                                                                                                                                            
                                                                                                                                                                                                                                                                                                                                                                                                                                                                                                                                                                                                                                                                           | DAG                                                                                                                                                                                                                                                                                                                                                                                                                                                                                                                                                                                                                                                                                                                                                                                                                                                                                                                                                                                                                                                                                                                                                                                                                                                                                                                                                                                                                                                                                                                                                                                                                                                                                                                                                                                                                                                                                                                                                                                                                                                                                                                       |                                                                                                                                                                                                                                                                                                                                                                                                                                                                                                                                                                                                                                                                                                                                                                                                                                                                                                                                                                                                                                                                                                                                                                                                                                                                                                                                                                                                                                                                                                                                                                                                                                                                                                                                                                                                                                                                                                                                                                                                                                                                                                                              | J.<br>HOL                                                                                         | SI                                                                                                                                                                                                                                                                                                                                                                                                                                                                                                                                                                                                                                                                                                                                                                                                                                                                                                                                                                                                                                                                                                                                                                                                                                                                                                                                                                                                                                                                                                                                                                                                                                                                                                                                                                                                                                                                                                                                                                                                                                                                                                                           | 퀽                                                                                 |                                                                                                                                                                                                                                                                                                                                                                                                                                                                                                                                                                                                                                                                                                                                                                                                                                                                                                                                                                                                                                                                                                                                                                                                                                                                                                                                                                                                                                                                                                                                                                                                                                                                                                                                                                                                                                                                                                                                                                                                                                                                                                                              |                                                                                                                                                                                                                                                                                                                                                                                                                                                                                                                                                                                                                                                                                                                                                                                                                                                                                                                                                                                                                  
                                                                                                                                                                                                                                                                                                                                                                                                                                                                                                                                                                                                                                                                                                                                                                                                                                                                                                                                                                                                                                                                                                           | CHAI                                                                                                  | CHAI                                                                                              | PORT                                                                                          | IDE B                                                                                               | CASSE                                                                                                                                                                                                                                                                                                                                                                                                                                                                                                                                                                                                                                                                                                                                                                                                                                                                                                                                                                                                                                                                                                                                                                                                                                                                                                                                                                                                                                                                                                                                                                                                                                                                                                                                                                                                                                                                                                                                                                                                                                                                                                                     | DEUV                                                                                      |                                                                                                                                                                                                                                                                                                                                                                                                                                                                                                                                                                                                                                                                                                                                                                                                                                                                                                                                                                                                                                                                                                                                                                                                                                                                                                                                                                                                                                                                                                                                                                                                                                                                                                                                                                                                                                                                                                                                                                                                                                                                                                                            |                                                                                                                                                                                                                                                                                                                                                                                                                                                                                                                                                                                                                                                                                                                                                                                                                                                                                                                                                                                                                                                                                                                                                                                                                                                                                                                                                                                                                                                                                                                                                                                                                                                                                                                                                                                                                                                                                                                                                                                                                                                                                                                                | COS                                                                                                                                                                                                                                                                                                                                                                                                                                                                                                                                                                                                                                                                                                                                                                                                                                                                                                                                                                                                                                                                                                                                                                                                                                                                                                                                                                                                                                                                                                                                                                                                                                                                                                                                                                                                                                                                                                                                                                                                                                                                                                                           | ENER,                                                                                                                                                                                                                                                     
                                                                                                                                                                                                                                                                                                                                                                                                                                                                                                                                                                                                                                                                                                                                                                                                                                                                                                                                                                                                                                                                                                                                                                                                                                                                                                                                                                                                                                                                                                                                                                                                                                                                                                                                                                                                                                                                  | E G                                                                                                                                                                                                                                                                                                                                                                                                                                                                                                                                                                                                                                                                                                                                                                                                                                                                                                                                                                                                                                                                                                                                                                                                                                                                                                                                                                                                                                                                                                                                                                                                                                                                                                                                                                                                                                                                                                                                                                                                                                                                                                                          | AGL                                                                                                                                                                                                                                                                                                                                                                                                                                                                                                                                                                                                                                                                                                                                                                                                                                                                                                                                                                                                                                                                                                                                                                                                                                                                                                                                                                                                                                                                                                                                                                                                                                                                                                                                                                                                                                                                                                                                                                                                                                                                                                                            |                                                                                                                                                                                                                                                                                                                                                                                                                                                                                                                                                                                                                                                                                                                                                                                                                                                                                                                                                                                                                                                                                                                                                                                                                                                                                                                                                                                                                                                                                                                                                                                                                                                                                                                                                                                                                                                                                                                                                                                                                                                                                                                                | BEAU                                                                                                                                                                                                                                                                                                                                                                                                                                                                                                                                                                                                                                                                                                                                                                                                                                                                                                                                                                                                                                                                                                                                                                                                                                                                                                                                                                                                                                                                                                                                                                                                                                                                                                                                                                                                                                                                                                                                                                                                                                                                                                                           | SSNO.    
                                                                                                                                                                                                                                                                                                                                                                                                                                                                                                                                                                                                                                                                                                                                                                                                                                                                                                                                                                                                                                                                                                                                                                                                                                                                                                                                                                                                                                                                                                                                                                                                                                                                                                                                                                                                                                                                                                                                                                                                                                                                                                                     | IAREC                                                                                                                                                                                                                                                                                                                                                                                                                                                                                                                                                                                                                                                                                                                                                                                                                                                                                                                                                                                                                                                                                                                                                                                                                                                                                                                                                                                                                                                                                                                                                                                                                                                                                                         | REN                                                                                                                                                                                                                                                                                                                                                                                                                                                                                                                                                                                                                                                                                                                                                                                                                                                                                                                                                                                                               | NCOIS                                                                                                                                                                                                                                                                                                                                                                                                                                                                                                                                                                                                                                                                                                                                                                                                                                                                                                                                                                                                                                          |                                                                                                                                                                                                                                                                                                                                                                                                                                                                                                                                                                                                                                                                                                                                                                              |                                                                                                                                                                                                                                                                                                                                                                                                                                                                                                                                                                                                                                                                                                                                                                                                        | GES (                                                                                                                                                                                                                                                                                                                                                                                                                                                                                                                                                                                   | NZY                                                                                                                                                                                                                                                                                                                                                                                                                                                                                            |                                                                                                                                                                                                                                                                                                                                                                                                                                                                                                                              | RIOC                                                                                                                                                                                                                                                                                                                                                                                                                                                                                                                                                                                                           | ALIN                                                                                                                                                                                                                                                                                                                                                                                                                                                                                                                                                                                                                             |                              
                                                                                                                                                                                                                                                                                                                                                                                                                                                                                                                                                                                                                                                                                                                                                                                                                                                                                                                                                                                                                                                                                                                                                                                                                                                     |                                                                                                                                                                                                                                                                                                                                                                                                                                                                                                                                                                                                                                                                                                                                                                                                                                                                                                                                                                                                                                                                                                                                                                                                                                                                                                                                                                                                                                                                                                                                                                                                                                                                                                                                                                                                                                                                                                                                                                                                                                                                                                                                |                                                                                                                                                                                                                                                                                                                                                                                                                                                                                                                                                                                                                                                                                                                                                                                                                                                                                                                                                                                                                                                                                                                                                                                                                                                                                                                                                                                                                                                                                                                                                                                                                                                                                                                                                                                                                                                                                                                                                                                                                                                                                                                                | ARC D                                                                                                                                                                                                                                                                                                                                                                                                                                                                                                                                                                                                                                                                                                                                                                                                                                                                                                                                                                                                                                                                                                                                                                                                                                                                                                                                                                                                                                                                                                                                                                                                                                                                                                                                                                                     | JT FXI                                                                                                                                                                                                                                                                                                                                                                                                                                                                                                                                                                                                                                                                                                                                                                                                                                                                                                                                                                                                                                                                                                                                                                                                                                                                                                                                                                                                                                                                                                                                                                                                                                              | CHAIS                                                                                                                                                                                                                                                                                                                                                                                                                                                                                                                                                                                                                                                                                                                                                                                                                                                                                                                                                                                                                                                                                                                                                                                                                                                                                                                                                                                                                               
                                                              |                                                                                                                                                                                                                                                                                                                                                                                                                                                                                                                                                                                                                                                                                                                                                                                                                                                                                                                                                                                                                                                                                                                                                                                                                                                                                                                                                                                                                                                                                                                                                                                                                                                                                                                                                                                                                                                                                                                                                                                                                                                                                                                              | BETT                                                                                                                                                                                                                                                                                                                                                                                                                                                                                                                                                                                                                                                                                                                                                                                                                                                                                                                                                                                                                                                                                                                                                                                                                                                                                                                                                                                                                                                                                                                                                                                                                                                                                                                                                                                                                                                                                                                                                                                                                                                                                                                         | RN                                                                                                                                                                                                                                                                                                                                                                                                                                                                                                                                                                                                                                                                                                                                                                                                                                                                                                                                                                                                                                                                                                                                                                                                                                                                                                                                                                                                                                                                                                                                                                                                                                                                                                                                                                                                                                                                                                                                                                                                                                                                                                                             | ARRE I                                                                                                                                                                                                                                                                                                                                                                                                                                                                                                                                                                                                                                                                                                                                                                                                                                                                                                                                                                                                                                                                                                                                                                                                                                                                                                                                                                                                                                                                                                                                                                                                                                                                                                                                                                                                                                                                                                                                                                                                                                                                                                                       | SFER                                                                                             | GES                                                                                                                                                                                                                                                                                                                                                                                                                                                                                                                                                                                                                                                                                                                                                                                                                                                                                                                                                                                                                                                                                                                                                                                                                                                                                                                                                                                                                                                                                                                                                                                                                                                                                                           
                                                                                                                                                                                                                                                                                                                                                                                                             | ROU                                                                                                                                                                                                                                                                                                                                                                                                                                                                                                                                                                                                                                                                                                                                                                                                                                                                                                                                                                                                                                                                                                                                                                                                                                                                                                                                                                                                                                                                                                                                                                                                                                                                                                                                                                                                                                                                                                                                                                                                                                                                                                                          | ST ST                                                                                                                                                                                                                                                                                                                                                                                                                                                                                                                                                                                                                                                                                                                                                                                                                                                                                                                                                                                                                                                                                                                                                                                                                                                                                                                                                                                                                                                                                                                                                                                                                                                                                                                                                                                                                                                                                                                                                                                                                                                                                                                        | RT B      | AREC                                                                                                                                                                                                                                                                                                                                                                                                                                                                                                                                                                                                                                                                                                                                                                                                                                                                                                                                                                                                                                                                                                                                                                                                                                                                                                                                                                                                                                                                                                                                                                                                                                                                                                                                                                                                                                                                                                                                                                                                                                                                                                                         |                                                                                            | 2                                                                                                                                                                                                                                                                                                                                                                                                                                                                                                                                                                                                                                                                                                                                                                                                                                                                                                                                                                                                                                                                                                                                                                                                                                                                                                                                                                                                                                                                                                                                                                                                                                                                                                                                                                                                                                                                                                                                                                                                                                                                                                                           | NZY                                                                                                   | E DECK                                                                                                                                                                                                                                                                                                                                                                                                                                                                                                                                                                                                                                                                                                                                                                                                                                                                                                                                                                                                                                                                                                                                                                                                                                              
                                                                                                                                                                                                                                                                                                                                                                                                                                                                                                                                                                                                                                                                                                                                                                                                                                                                        | RDU        | ENER/                                                                                                                                                                                                                                                                                                                                                                                                                                                                                                                                                                                                                                                                                                                                                                                                                                                                                                                                                                                                                                                                                                                                                                                                                                                                                                                                                                                                                                                                                                                                                                                                                                                                                                                                                                                                                                                                                                                                                                                                                                                                                                                       | SEJOL                                                                                                                                                                                                                                                                                                                                                                                                                                                                                                                                                                                                                                                                                                                                                                                                                                                                                                                                                                                                                                                                                                                                                                                                                                                                                                                                                                                                                                                                                                                                                                                                                                                                                                                                                                                                                                                                                                                                                                                                                                                                                                                        | GES C                                                                                                                                                                                                                                                                                                                                                                                                                                                                                                                                                                                                                                                                                                                                                                                                                                                                                                                                                                                                                                                                                                                                                                                                                                                                                                                                                                                                                                                                                                                                                                                                                                                                                                                                                                                                                                                                                                                                                                                                                                                                                                                        |
|                                                                                                                                                                                                                                                                                                                                                                                                                                                                                                                                                                                                                                                                                                                                                                                                                                                                                                                                                                                                                                                                                                                                                                                                                                                                                                                                                                                                                                                                                                                                                                                                                                                                                                                                                                                                                                                                                                                                                                                                                                                                                                                              |                                                                                                                                                                                                                                                                                                                                                                                                                                                                                                                                                                                                                                                                                                                                                                                                                                                                                                                                                                                                                                                                                                                                                                                                                                                                                                                                                                                                                                                                                                                                                                                                                                                                                                                                                                                                                                                                                                                                                                                                                                                                                                                              |                                                                                                                                                                                                                                                                                                                                                                                                                                                                                                                                                                                                                                                                                                                                                                                                                                                                                                                                                                                                                                                                                                                                                                                                                                                                                                                                                                                                                                                                                                                                                                                                                                                                                                                                                                                                                                                                                                                                                                                                                                                                                                                              |                                                                                             | RIVEA                                                                                                                                                                                                                                                                                                                                                                                                                                                                                                                                                                                                                                                                                                                                                                                                                                                                                                                                                                                                                                                                                                                                                                                                                                                                                                                                                                                                                                                                                                                                                                                                                                                                                                                                                                                                                                                                                                                                                                                                                                                                                                                        | RIVEA                                                                                                                                                                                                                                                                                                                                                                                                                                                                                                                                                                                                                                                                                                                                                                                                                                                                                                                                                                                                                                                                                                                                                                                                                                                                                                                                                                                                                                                                                                                                                                                                                                                                                                                                                                              
                                                                                                                                                                                                                                                                                                                                         | 1                                                                                                                                                                                                                                                                                                                                                                                                                                                                                                                                                                                                                                                                                                                                                                                                                                                                                                                                                                                                                                                                                                                                                                                                                                                                                                                                                                                                                                                                                                                                                                                                                                                                                                                                                                                                                                                                                                                                                                                                                                                                                                                            | NO                                                                                                                                                                                                                                                                                                                                                                                                                                                                                                                                                                                                                                                                                                                                                                                                                                                                                                                                                                                                                                                                                                                                                                                                                                                                                                                                                                                                                                                                                                                                                                                                                                                                                                                                                                                                                                                                                                                                                                                                                                                                                                                           | -                                                                                     | \<br>MEN                                                                                                                                                                                                                                                                                                                                                                                                                                                                                                                                                                                                                                                                                                                                                                                                                                                                                                                                                                                                                                                                                                                                                                                                                                                                                                                                                                                                                                                                                                                                                                                                                                                                                                                                                                                                                                                                                                                                                                                                                                                                                                                     | JSTRIE                                                                                                                                                                                                                                                                                                                                                                                                                                                                                                                                                                                                                                                                                                                                                                                                                                                                                                                                                                                                                                                                                                                                                                                                                                                                                                                                                                                                                                                                                                                                                                                                                                                                                                                                                                                                                                                                                                                                                                                                                                                                                                                       | STRE                                                                                                                                                                                                                                                                                                                                                                                                                                                                                                                                                                                                                                                                                                                                                                                                                                                                                                                                                                                                                                                                                                                                                                                                                                                                                                                                                                                                                                            
                                                                                                                                                                                                                                                                                                                                                                                                                                                                                                                                                                                                                                                                           | FYS                                                                                                                                                                                                                                                                                                                                                                                                                                                                                                                                                                                                                                                                                                                                                                                                                                                                                                                                                                                                                                                                                                                                                                                                                                                                                                                                                                                                                                                                                                                                                                                                                                                                                                                                                                                                                                                                                                                                                                                                                                                                                                                       | DOT                                                                                                                                                                                                                                                                                                                                                                                                                                                                                                                                                                                                                                                                                                                                                                                                                                                                                                                                                                                                                                                                                                                                                                                                                                                                                                                                                                                                                                                                                                                                                                                                                                                                                                                                                                                                                                                                                                                                                                                                                                                                                                                          | STEAL                                                                                             |                                                                                                                                                                                                                                                                                                                                                                                                                                                                                                                                                                                                                                                                                                                                                                                                                                                                                                                                                                                                                                                                                                                                                                                                                                                                                                                                                                                                                                                                                                                                                                                                                                                                                                                                                                                                                                                                                                                                                                                                                                                                                                                              | 톍                                                                                 | ^ C                                                                                                                                                                                                                                                                                                                                                                                                                                                                                                                                                                                                                                                                                                                                                                                                                                                                                                                                                                                                                                                                                                                                                                                                                                                                                                                                                                                                                                                                                                                                                                                                                                                                                                                                                                                                                                                                                                                                                                                                                                                                                                                          |                                                                                                                                                                                                                                                                                                                                                                                                                                                                                                                                                                                                                                                                                                                                                                                                                                                                                                                                                                                                                  
                                                                                                                                                                                                                                                                                                                                                                                                                                                                                                                                                                                                                                                                                                                                                                                                                                                                                                                                                                                                                                                                                                           |                                                                                                       |                                                                                                   | 읡                                                                                             |                                                                                                     |                                                                                                                                                                                                                                                                                                                                                                                                                                                                                                                                                                                                                                                                                                                                                                                                                                                                                                                                                                                                                                                                                                                                                                                                                                                                                                                                                                                                                                                                                                                                                                                                                                                                                                                                                                                                                                                                                                                                                                                                                                                                                                                           | 쮜                                                                                         | <u>ج</u> ا ج                                                                                                                                                                                                                                                                                                                                                                                                                                                                                                                                                                                                                                                                                                                                                                                                                                                                                                                                                                                                                                                                                                                                                                                                                                                                                                                                                                                                                                                                                                                                                                                                                                                                                                                                                                                                                                                                                                                                                                                                                                                                                                               |                                                                                                                                                                                                                                                                                                                                                                                                                                                                                                                                                                                                                                                                                                                                                                                                                                                                                                                                                                                                                                                                                                                                                                                                                                                                                                                                                                                                                                                                                                                                                                                                                                                                                                                                                                                                                                                                                                                                                                                                                                                                                                                                | MAU                                                                                                                                                                                                                                                                                                                                                                                                                                                                                                                                                                                                                                                                                                                                                                                                                                                                                                                                                                                                                                                                                                                                                                                                                                                                                                                                                                                                                                                                                                                                                                                                                                                                                                                                                                                                                                                                                                                                                                                                                                                                                                                           | AL DE                                                                                                                                                                                                                                                     
                                                                                                                                                                                                                                                                                                                                                                                                                                                                                                                                                                                                                                                                                                                                                                                                                                                                                                                                                                                                                                                                                                                                                                                                                                                                                                                                                                                                                                                                                                                                                                                                                                                                                                                                                                                                                                                                  | RANG                                                                                                                                                                                                                                                                                                                                                                                                                                                                                                                                                                                                                                                                                                                                                                                                                                                                                                                                                                                                                                                                                                                                                                                                                                                                                                                                                                                                                                                                                                                                                                                                                                                                                                                                                                                                                                                                                                                                                                                                                                                                                                                         |                                                                                                                                                                                                                                                                                                                                                                                                                                                                                                                                                                                                                                                                                                                                                                                                                                                                                                                                                                                                                                                                                                                                                                                                                                                                                                                                                                                                                                                                                                                                                                                                                                                                                                                                                                                                                                                                                                                                                                                                                                                                                                                                |                                                                                                                                                                                                                                                                                                                                                                                                                                                                                                                                                                                                                                                                                                                                                                                                                                                                                                                                                                                                                                                                                                                                                                                                                                                                                                                                                                                                                                                                                                                                                                                                                                                                                                                                                                                                                                                                                                                                                                                                                                                                                                                                | CHAN                                                                                                                                                                                                                                                                                                                                                                                                                                                                                                                                                                                                                                                                                                                                                                                                                                                                                                                                                                                                                                                                                                                                                                                                                                                                                                                                                                                                                                                                                                                                                                                                                                                                                                                                                                                                                                                                                                                                                                                                                                                                                                                           | ÄINT     
                                                                                                                                                                                                                                                                                                                                                                                                                                                                                                                                                                                                                                                                                                                                                                                                                                                                                                                                                                                                                                                                                                                                                                                                                                                                                                                                                                                                                                                                                                                                                                                                                                                                                                                                                                                                                                                                                                                                                                                                                                                                                                                     | HAH.                                                                                                                                                                                                                                                                                                                                                                                                                                                                                                                                                                                                                                                                                                                                                                                                                                                                                                                                                                                                                                                                                                                                                                                                                                                                                                                                                                                                                                                                                                                                                                                                                                                                                                          | NE/O                                                                                                                                                                                                                                                                                                                                                                                                                                                                                                                                                                                                                                                                                                                                                                                                                                                                                                                                                                                                              | S                                                                                                                                                                                                                                                                                                                                                                                                                                                                                                                                                                                                                                                                                                                                                                                                                                                                                                                                                                                                                                              | [                                                                                                                                                                                                                                                                                                                                                                                                                                                                                                                                                                                                                                                                                                                                                                            |                                                                                                                                                                                                                                                                                                                                                                                                                                                                                                                                                                                                                                                                                                                                                                                                        | TEME                                                                                                                                                                                                                                                                                                                                                                                                                                                                                                                                                                                    |                                                                                                                                                                                                                                                                                                                                                                                                                                                                                                | EUR N                                                                                                                                                                                                                                                                                                                                                                                                                                                                                                                        | RAT                                                                                                                                                                                                                                                                                                                                                                                                                                                                                                                                                                                                            | ENER EN                                                                                                                                                                                                                                                                                                                                                                                                                                                                                                                                                                                                                          | Ê                            
                                                                                                                                                                                                                                                                                                                                                                                                                                                                                                                                                                                                                                                                                                                                                                                                                                                                                                                                                                                                                                                                                                                                                                                                                                                     | Ž Ž                                                                                                                                                                                                                                                                                                                                                                                                                                                                                                                                                                                                                                                                                                                                                                                                                                                                                                                                                                                                                                                                                                                                                                                                                                                                                                                                                                                                                                                                                                                                                                                                                                                                                                                                                                                                                                                                                                                                                                                                                                                                                                                            |                                                                                                                                                                                                                                                                                                                                                                                                                                                                                                                                                                                                                                                                                                                                                                                                                                                                                                                                                                                                                                                                                                                                                                                                                                                                                                                                                                                                                                                                                                                                                                                                                                                                                                                                                                                                                                                                                                                                                                                                                                                                                                                                | ES SP                                                                                                                                                                                                                                                                                                                                                                                                                                                                                                                                                                                                                                                                                                                                                                                                                                                                                                                                                                                                                                                                                                                                                                                                                                                                                                                                                                                                                                                                                                                                                                                                                                                                                                                                                                                     | PFR\                                                                                                                                                                                                                                                                                                                                                                                                                                                                                                                                                                                                                                                                                                                                                                                                                                                                                                                                                                                                                                                                                                                                                                                                                                                                                                                                                                                                                                                                                                                                                                                                                                                | "                                                                                                                                                                                                                                                                                                                                                                                                                                                                                                                                                                                                                                                                                                                                                                                                                                                                                                                                                                                                                                                                                                                                                                                                                                                                                                                                                                                                                                   
                                                              | 0, 0                                                                                                                                                                                                                                                                                                                                                                                                                                                                                                                                                                                                                                                                                                                                                                                                                                                                                                                                                                                                                                                                                                                                                                                                                                                                                                                                                                                                                                                                                                                                                                                                                                                                                                                                                                                                                                                                                                                                                                                                                                                                                                                         | '   Þ                                                                                                                                                                                                                                                                                                                                                                                                                                                                                                                                                                                                                                                                                                                                                                                                                                                                                                                                                                                                                                                                                                                                                                                                                                                                                                                                                                                                                                                                                                                                                                                                                                                                                                                                                                                                                                                                                                                                                                                                                                                                                                                        |                                                                                                                                                                                                                                                                                                                                                                                                                                                                                                                                                                                                                                                                                                                                                                                                                                                                                                                                                                                                                                                                                                                                                                                                                                                                                                                                                                                                                                                                                                                                                                                                                                                                                                                                                                                                                                                                                                                                                                                                                                                                                                                                |                                                                                                                                                                                                                                                                                                                                                                                                                                                                                                                                                                                                                                                                                                                                                                                                                                                                                                                                                                                                                                                                                                                                                                                                                                                                                                                                                                                                                                                                                                                                                                                                                                                                                                                                                                                                                                                                                                                                                                                                                                                                                                                              |                                                                                                  | OMP                                                                                                                                                                                                                                                                                                                                                                                                                                                                                                                                                                                                                                                                                                                                                                                                                                                                                                                                                                                                                                                                                                                                                                                                                                                                                                                                                                                                                                                                                                                                                                                                                                                                                                           
                                                                                                                                                                                                                                                                                                                                                                                                             |                                                                                                                                                                                                                                                                                                                                                                                                                                                                                                                                                                                                                                                                                                                                                                                                                                                                                                                                                                                                                                                                                                                                                                                                                                                                                                                                                                                                                                                                                                                                                                                                                                                                                                                                                                                                                                                                                                                                                                                                                                                                                                                              |                                                                                                                                                                                                                                                                                                                                                                                                                                                                                                                                                                                                                                                                                                                                                                                                                                                                                                                                                                                                                                                                                                                                                                                                                                                                                                                                                                                                                                                                                                                                                                                                                                                                                                                                                                                                                                                                                                                                                                                                                                                                                                                              |           | HALF                                                                                                                                                                                                                                                                                                                                                                                                                                                                                                                                                                                                                                                                                                                                                                                                                                                                                                                                                                                                                                                                                                                                                                                                                                                                                                                                                                                                                                                                                                                                                                                                                                                                                                                                                                                                                                                                                                                                                                                                                                                                                                                         | NEL P                                                                                      |                                                                                                                                                                                                                                                                                                                                                                                                                                                                                                                                                                                                                                                                                                                                                                                                                                                                                                                                                                                                                                                                                                                                                                                                                                                                                                                                                                                                                                                                                                                                                                                                                                                                                                                                                                                                                                                                                                                                                                                                                                                                                                                             | 0                                                                                                     | ROU                                                                                                                                                                                                                                                                                                                                                                                                                                                                                                                                                                                                                                                                                                                                                                                                                                                                                                                                                                                                                                                                                                                                                                                                                                                 
                                                                                                                                                                                                                                                                                                                                                                                                                                                                                                                                                                                                                                                                                                                                                                                                                                                                        |            | 띪                                                                                                                                                                                                                                                                                                                                                                                                                                                                                                                                                                                                                                                                                                                                                                                                                                                                                                                                                                                                                                                                                                                                                                                                                                                                                                                                                                                                                                                                                                                                                                                                                                                                                                                                                                                                                                                                                                                                                                                                                                                                                                                           | 짂                                                                                                                                                                                                                                                                                                                                                                                                                                                                                                                                                                                                                                                                                                                                                                                                                                                                                                                                                                                                                                                                                                                                                                                                                                                                                                                                                                                                                                                                                                                                                                                                                                                                                                                                                                                                                                                                                                                                                                                                                                                                                                                            | )<br>EME                                                                                                                                                                                                                                                                                                                                                                                                                                                                                                                                                                                                                                                                                                                                                                                                                                                                                                                                                                                                                                                                                                                                                                                                                                                                                                                                                                                                                                                                                                                                                                                                                                                                                                                                                                                                                                                                                                                                                                                                                                                                                                                     | |
|                                                                                                                                                                                                                                                                                                                                                                                                                                                                                                                                                                                                                                                                                                                                                                                                                                                                                                                                                                                                                                                                                                                                                                                                                                                                                                                                                                                                                                                                                                                                                                                                                                                                                                                                                                                                                                                                                                                                                                                                                                                                                                                              |                                                                                                                                                                                                                                                                                                                                                                                                                                                                                                                                                                                                                                                                                                                                                                                                                                                                                                                                                                                                                                                                                                                                                                                                                                                                                                                                                                                                                                                                                                                                                                                                                                                                                                                                                                                                                                                                                                                                                                                                                                                                                                                              |                                                                                                                                                                                                                                                                                                                                                                                                                                                                                                                                                                                                                                                                                                                                                                                                                                                                                                                                                                                                                                                                                                                                                                                                                                                                                                                                                                                                                                                                                                                                                                                                                                                                                                                                                                                                                                                                                                                                                                                                                                                                                                                              |                                                                                             | اح                                                                                                                                                                                                                                                                                                                                                                                                                                                                                                                                                                                                                                                                                                                                                                                                                                                                                                                                                                                                                                                                                                                                                                                                                                                                                                                                                                                                                                                                                                                                                                                                                                                                                                                                                                                                                                                                                                                                                                                                                                                                                                                           |                                                                                                                                                                                                                                                                                                                                                                                                                                                                                                                                                                                                                                                                                                                                                                                                                                                                                                                                                                                                                                                                                                                                                                                                                                                                                                                                                                                                                                                                                                                                                                                                                                                                                                                                                                                    
                                                                                                                                                                                                                                                                                                                                         | 3                                                                                                                                                                                                                                                                                                                                                                                                                                                                                                                                                                                                                                                                                                                                                                                                                                                                                                                                                                                                                                                                                                                                                                                                                                                                                                                                                                                                                                                                                                                                                                                                                                                                                                                                                                                                                                                                                                                                                                                                                                                                                                                            |                                                                                                                                                                                                                                                                                                                                                                                                                                                                                                                                                                                                                                                                                                                                                                                                                                                                                                                                                                                                                                                                                                                                                                                                                                                                                                                                                                                                                                                                                                                                                                                                                                                                                                                                                                                                                                                                                                                                                                                                                                                                                                                              |                                                                                       | I                                                                                                                                                                                                                                                                                                                                                                                                                                                                                                                                                                                                                                                                                                                                                                                                                                                                                                                                                                                                                                                                                                                                                                                                                                                                                                                                                                                                                                                                                                                                                                                                                                                                                                                                                                                                                                                                                                                                                                                                                                                                                                                            |                                                                                                                                                                                                                                                                                                                                                                                                                                                                                                                                                                                                                                                                                                                                                                                                                                                                                                                                                                                                                                                                                                                                                                                                                                                                                                                                                                                                                                                                                                                                                                                                                                                                                                                                                                                                                                                                                                                                                                                                                                                                                                                              |                                                                                                                                                                                                                                                                                                                                                                                                                                                                                                                                                                                                                                                                                                                                                                                                                                                                                                                                                                                                                                                                                                                                                                                                                                                                                                                                                                                                                                                 
                                                                                                                                                                                                                                                                                                                                                                                                                                                                                                                                                                                                                                                                           |                                                                                                                                                                                                                                                                                                                                                                                                                                                                                                                                                                                                                                                                                                                                                                                                                                                                                                                                                                                                                                                                                                                                                                                                                                                                                                                                                                                                                                                                                                                                                                                                                                                                                                                                                                                                                                                                                                                                                                                                                                                                                                                           |                                                                                                                                                                                                                                                                                                                                                                                                                                                                                                                                                                                                                                                                                                                                                                                                                                                                                                                                                                                                                                                                                                                                                                                                                                                                                                                                                                                                                                                                                                                                                                                                                                                                                                                                                                                                                                                                                                                                                                                                                                                                                                                              | NEU                                                                                               |                                                                                                                                                                                                                                                                                                                                                                                                                                                                                                                                                                                                                                                                                                                                                                                                                                                                                                                                                                                                                                                                                                                                                                                                                                                                                                                                                                                                                                                                                                                                                                                                                                                                                                                                                                                                                                                                                                                                                                                                                                                                                                                              | mi                                                                                | "                                                                                                                                                                                                                                                                                                                                                                                                                                                                                                                                                                                                                                                                                                                                                                                                                                                                                                                                                                                                                                                                                                                                                                                                                                                                                                                                                                                                                                                                                                                                                                                                                                                                                                                                                                                                                                                                                                                                                                                                                                                                                                                            | i mi                                                                                                                                                                                                                                                                                                                                                                                                                                                                                                                                                                                                                                                                                                                                                                                                                                                                                                                                                                                                             
                                                                                                                                                                                                                                                                                                                                                                                                                                                                                                                                                                                                                                                                                                                                                                                                                                                                                                                                                                                                                                                                                                           |                                                                                                       |                                                                                                   | ۳Ì                                                                                            |                                                                                                     |                                                                                                                                                                                                                                                                                                                                                                                                                                                                                                                                                                                                                                                                                                                                                                                                                                                                                                                                                                                                                                                                                                                                                                                                                                                                                                                                                                                                                                                                                                                                                                                                                                                                                                                                                                                                                                                                                                                                                                                                                                                                                                                           |                                                                                           |                                                                                                                                                                                                                                                                                                                                                                                                                                                                                                                                                                                                                                                                                                                                                                                                                                                                                                                                                                                                                                                                                                                                                                                                                                                                                                                                                                                                                                                                                                                                                                                                                                                                                                                                                                                                                                                                                                                                                                                                                                                                                                                            |                                                                                                                                                                                                                                                                                                                                                                                                                                                                                                                                                                                                                                                                                                                                                                                                                                                                                                                                                                                                                                                                                                                                                                                                                                                                                                                                                                                                                                                                                                                                                                                                                                                                                                                                                                                                                                                                                                                                                                                                                                                                                                                                | AC                                                                                                                                                                                                                                                                                                                                                                                                                                                                                                                                                                                                                                                                                                                                                                                                                                                                                                                                                                                                                                                                                                                                                                                                                                                                                                                                                                                                                                                                                                                                                                                                                                                                                                                                                                                                                                                                                                                                                                                                                                                                                                                            | GAUL                                                                                                                                                                                                                                                      
                                                                                                                                                                                                                                                                                                                                                                                                                                                                                                                                                                                                                                                                                                                                                                                                                                                                                                                                                                                                                                                                                                                                                                                                                                                                                                                                                                                                                                                                                                                                                                                                                                                                                                                                                                                                                                                                  | m '                                                                                                                                                                                                                                                                                                                                                                                                                                                                                                                                                                                                                                                                                                                                                                                                                                                                                                                                                                                                                                                                                                                                                                                                                                                                                                                                                                                                                                                                                                                                                                                                                                                                                                                                                                                                                                                                                                                                                                                                                                                                                                                          | "                                                                                                                                                                                                                                                                                                                                                                                                                                                                                                                                                                                                                                                                                                                                                                                                                                                                                                                                                                                                                                                                                                                                                                                                                                                                                                                                                                                                                                                                                                                                                                                                                                                                                                                                                                                                                                                                                                                                                                                                                                                                                                                              |                                                                                                                                                                                                                                                                                                                                                                                                                                                                                                                                                                                                                                                                                                                                                                                                                                                                                                                                                                                                                                                                                                                                                                                                                                                                                                                                                                                                                                                                                                                                                                                                                                                                                                                                                                                                                                                                                                                                                                                                                                                                                                                                | =                                                                                                                                                                                                                                                                                                                                                                                                                                                                                                                                                                                                                                                                                                                                                                                                                                                                                                                                                                                                                                                                                                                                                                                                                                                                                                                                                                                                                                                                                                                                                                                                                                                                                                                                                                                                                                                                                                                                                                                                                                                                                                                              | | | | | | |
                                                                                                                                                                                                                                                                                                                                                                                                                                                                                                                                                                                                                                                                                                                                                                                                                                                                                                                                                                                                                                                                                                                                                                                                                                                                                                                                                                                                                                                                                                                                                                                                                                                                                                                                                                                                                                                                                                                                                                                                                                                                                                                     | 읽                                                                                                                                                                                                                                                                                                                                                                                                                                                                                                                                                                                                                                                                                                                                                                                                                                                                                                                                                                                                                                                                                                                                                                                                                                                                                                                                                                                                                                                                                                                                                                                                                                                                                                             | ¬                                                                                                                                                                                                                                                                                                                                                                                                                                                                                                                                                                                                                                                                                                                                                                                                                                                                                                                                                                                                                 | STAN                                                                                                                                                                                                                                                                                                                                                                                                                                                                                                                                                                                                                                                                                                                                                                                                                                                                                                                                                                                                                                           | 7                                                                                                                                                                                                                                                                                                                                                                                                                                                                                                                                                                                                                                                                                                                                                                            |                                                                                                                                                                                                                                                                                                                                                                                                                                                                                                                                                                                                                                                                                                                                                                                                        | NCEA                                                                                                                                                                                                                                                                                                                                                                                                                                                                                                                                                                                    |                                                                                                                                                                                                                                                                                                                                                                                                                                                                                                | ARD                                                                                                                                                                                                                                                                                                                                                                                                                                                                                                                          | 1                                                                                                                                                                                                                                                                                                                                                                                                                                                                                                                                                                                                              | 2                                                                                                                                                                                                                                                                                                                                                                                                                                                                                                                                                                                                                                |                              
                                                                                                                                                                                                                                                                                                                                                                                                                                                                                                                                                                                                                                                                                                                                                                                                                                                                                                                                                                                                                                                                                                                                                                                                                                                     |                                                                                                                                                                                                                                                                                                                                                                                                                                                                                                                                                                                                                                                                                                                                                                                                                                                                                                                                                                                                                                                                                                                                                                                                                                                                                                                                                                                                                                                                                                                                                                                                                                                                                                                                                                                                                                                                                                                                                                                                                                                                                                                                |                                                                                                                                                                                                                                                                                                                                                                                                                                                                                                                                                                                                                                                                                                                                                                                                                                                                                                                                                                                                                                                                                                                                                                                                                                                                                                                                                                                                                                                                                                                                                                                                                                                                                                                                                                                                                                                                                                                                                                                                                                                                                                                                | ORTS                                                                                                                                                                                                                                                                                                                                                                                                                                                                                                                                                                                                                                                                                                                                                                                                                                                                                                                                                                                                                                                                                                                                                                                                                                                                                                                                                                                                                                                                                                                                                                                                                                                                                                                                                                                      |                                                                                                                                                                                                                                                                                                                                                                                                                                                                                                                                                                                                                                                                                                                                                                                                                                                                                                                                                                                                                                                                                                                                                                                                                                                                                                                                                                                                                                                                                                                                                                                                                                                     |                                                                                                                                                                                                                                                                                                                                                                                                                                                                                                                                                                                                                                                                                                                                                                                                                                                                                                                                                                                                                                                                                                                                                                                                                                                                                                                                                                                                                                     
                                                              |                                                                                                                                                                                                                                                                                                                                                                                                                                                                                                                                                                                                                                                                                                                                                                                                                                                                                                                                                                                                                                                                                                                                                                                                                                                                                                                                                                                                                                                                                                                                                                                                                                                                                                                                                                                                                                                                                                                                                                                                                                                                                                                              |                                                                                                                                                                                                                                                                                                                                                                                                                                                                                                                                                                                                                                                                                                                                                                                                                                                                                                                                                                                                                                                                                                                                                                                                                                                                                                                                                                                                                                                                                                                                                                                                                                                                                                                                                                                                                                                                                                                                                                                                                                                                                                                              | Н                                                                                                                                                                                                                                                                                                                                                                                                                                                                                                                                                                                                                                                                                                                                                                                                                                                                                                                                                                                                                                                                                                                                                                                                                                                                                                                                                                                                                                                                                                                                                                                                                                                                                                                                                                                                                                                                                                                                                                                                                                                                                                                              | Ž                                                                                                                                                                                                                                                                                                                                                                                                                                                                                                                                                                                                                                                                                                                                                                                                                                                                                                                                                                                                                                                                                                                                                                                                                                                                                                                                                                                                                                                                                                                                                                                                                                                                                                                                                                                                                                                                                                                                                                                                                                                                                                                            | ž                                                                                                |                                                                                                                                                                                                                                                                                                                                                                                                                                                                                                                                                                                                                                                                                                                                                                                                                                                                                                                                                                                                                                                                                                                                                                                                                                                                                                                                                                                                                                                                                                                                                                                                                                                                                                               
                                                                                                                                                                                                                                                                                                                                                                                                             |                                                                                                                                                                                                                                                                                                                                                                                                                                                                                                                                                                                                                                                                                                                                                                                                                                                                                                                                                                                                                                                                                                                                                                                                                                                                                                                                                                                                                                                                                                                                                                                                                                                                                                                                                                                                                                                                                                                                                                                                                                                                                                                              |                                                                                                                                                                                                                                                                                                                                                                                                                                                                                                                                                                                                                                                                                                                                                                                                                                                                                                                                                                                                                                                                                                                                                                                                                                                                                                                                                                                                                                                                                                                                                                                                                                                                                                                                                                                                                                                                                                                                                                                                                                                                                                                              |           | 임                                                                                                                                                                                                                                                                                                                                                                                                                                                                                                                                                                                                                                                                                                                                                                                                                                                                                                                                                                                                                                                                                                                                                                                                                                                                                                                                                                                                                                                                                                                                                                                                                                                                                                                                                                                                                                                                                                                                                                                                                                                                                                                            |                                                                                            |                                                                                                                                                                                                                                                                                                                                                                                                                                                                                                                                                                                                                                                                                                                                                                                                                                                                                                                                                                                                                                                                                                                                                                                                                                                                                                                                                                                                                                                                                                                                                                                                                                                                                                                                                                                                                                                                                                                                                                                                                                                                                                                             | 1                                                                                                     | SSEAL                                                                                                                                                                                                                                                                                                                                                                                                                                                                                                                                                                                                                                                                                                                                                                                                                                                                                                                                                                                                                                                                                                                                                                                                                                               
                                                                                                                                                                                                                                                                                                                                                                                                                                                                                                                                                                                                                                                                                                                                                                                                                                                                        |            | GAUL                                                                                                                                                                                                                                                                                                                                                                                                                                                                                                                                                                                                                                                                                                                                                                                                                                                                                                                                                                                                                                                                                                                                                                                                                                                                                                                                                                                                                                                                                                                                                                                                                                                                                                                                                                                                                                                                                                                                                                                                                                                                                                                        | >                                                                                                                                                                                                                                                                                                                                                                                                                                                                                                                                                                                                                                                                                                                                                                                                                                                                                                                                                                                                                                                                                                                                                                                                                                                                                                                                                                                                                                                                                                                                                                                                                                                                                                                                                                                                                                                                                                                                                                                                                                                                                                                            | NCEA                                                                                                                                                                                                                                                                                                                                                                                                                                                                                                                                                                                                                                                                                                                                                                                                                                                                                                                                                                                                                                                                                                                                                                                                                                                                                                                                                                                                                                                                                                                                                                                                                                                                                                                                                                                                                                                                                                                                                                                                                                                                                                                         |
| 3379                                                                                                                                                                                                                                                                                                                                                                                                                                                                                                                                                                                                                                                                                                                                                                                                                                                                                                                                                                                                                                                                                                                                                                                                                                                                                                                                                                                                                                                                                                                                                                                                                                                                                                                                                                                                                                                                                                                                                                                                                                                                                                                         | 3379                                                                                                                                                                                                                                                                                                                                                                                                                                                                                                                                                                                                                                                                                                                                                                                                                                                                                                                                                                                                                                                                                                                                                                                                                                                                                                                                                                                                                                                                                                                                                                                                                                                                                                                                                                                                                                                                                                                                                                                                                                                                                                                         | 3342                                                                                                                                                                                                                                                                                                                                                                                                                                                                                                                                                                                                                                                                                                                                                                                                                                                                                                                                                                                                                                                                                                                                                                                                                                                                                                                                                                                                                                                                                                                                                                                                                                                                                                                                                                                                                                                                                                                                                                                                                                                                                                                         | 334                                                                                         | 3342                                                                                                                                                                                                                                                                                                                                                                                                                                                                                                                                                                                                                                                                                                                                                                                                                                                                                                                                                                                                                                                                                                                                                                                                                                                                                                                                                                                                                                                                                                                                                                                                                                                                                                                                                                                                                                                                                                                                                                                                                                                                                                                         | 3342                                                                                                                                                                                                                                                                                                                                                                                                                                                                                                                                                                                                                                                                                                                                                                                                                                                                                                                                                                                                                                                                                                                                                                                                                                                                                                                                                                                                                                                                                                                                                                                                                                                                                                                                                                               
                                                                                                                                                                                                                                                                                                                                         | 3342                                                                                                                                                                                                                                                                                                                                                                                                                                                                                                                                                                                                                                                                                                                                                                                                                                                                                                                                                                                                                                                                                                                                                                                                                                                                                                                                                                                                                                                                                                                                                                                                                                                                                                                                                                                                                                                                                                                                                                                                                                                                                                                         | 3350                                                                                                                                                                                                                                                                                                                                                                                                                                                                                                                                                                                                                                                                                                                                                                                                                                                                                                                                                                                                                                                                                                                                                                                                                                                                                                                                                                                                                                                                                                                                                                                                                                                                                                                                                                                                                                                                                                                                                                                                                                                                                                                         | 3350                                                                                  | 335(                                                                                                                                                                                                                                                                                                                                                                                                                                                                                                                                                                                                                                                                                                                                                                                                                                                                                                                                                                                                                                                                                                                                                                                                                                                                                                                                                                                                                                                                                                                                                                                                                                                                                                                                                                                                                                                                                                                                                                                                                                                                                                                         | 3350                                                                                                                                                                                                                                                                                                                                                                                                                                                                                                                                                                                                                                                                                                                                                                                                                                                                                                                                                                                                                                                                                                                                                                                                                                                                                                                                                                                                                                                                                                                                                                                                                                                                                                                                                                                                                                                                                                                                                                                                                                                                                                                         | 3350                                                                                                                                                                                                                                                                                                                                                                                                                                                                                                                                                                                                                                                                                                                                                                                                                                                                                                                                                                                                                                                                                                                                                                                                                                                                                                                                                                                                                                            
                                                                                                                                                                                                                                                                                                                                                                                                                                                                                                                                                                                                                                                                           | 335                                                                                                                                                                                                                                                                                                                                                                                                                                                                                                                                                                                                                                                                                                                                                                                                                                                                                                                                                                                                                                                                                                                                                                                                                                                                                                                                                                                                                                                                                                                                                                                                                                                                                                                                                                                                                                                                                                                                                                                                                                                                                                                       | 3350                                                                                                                                                                                                                                                                                                                                                                                                                                                                                                                                                                                                                                                                                                                                                                                                                                                                                                                                                                                                                                                                                                                                                                                                                                                                                                                                                                                                                                                                                                                                                                                                                                                                                                                                                                                                                                                                                                                                                                                                                                                                                                                         | 3350                                                                                              | 3350                                                                                                                                                                                                                                                                                                                                                                                                                                                                                                                                                                                                                                                                                                                                                                                                                                                                                                                                                                                                                                                                                                                                                                                                                                                                                                                                                                                                                                                                                                                                                                                                                                                                                                                                                                                                                                                                                                                                                                                                                                                                                                                         | 335                                                                               | 33 55                                                                                                                                                                                                                                                                                                                                                                                                                                                                                                                                                                                                                                                                                                                                                                                                                                                                                                                                                                                                                                                                                                                                                                                                                                                                                                                                                                                                                                                                                                                                                                                                                                                                                                                                                                                                                                                                                                                                                                                                                                                                                                                        | 3350                                                                                                                                                                                                                                                                                                                                                                                                                                                                                                                                                                                                                                                                                                                                                                                                                                                                                                                                                                                                             
                                                                                                                                                                                                                                                                                                                                                                                                                                                                                                                                                                                                                                                                                                                                                                                                                                                                                                                                                                                                                                                                                                           | 3350                                                                                                  | 3350                                                                                              | 3350                                                                                          | 3350                                                                                                | 3350                                                                                                                                                                                                                                                                                                                                                                                                                                                                                                                                                                                                                                                                                                                                                                                                                                                                                                                                                                                                                                                                                                                                                                                                                                                                                                                                                                                                                                                                                                                                                                                                                                                                                                                                                                                                                                                                                                                                                                                                                                                                                                                      | 3350                                                                                      | 3350                                                                                                                                                                                                                                                                                                                                                                                                                                                                                                                                                                                                                                                                                                                                                                                                                                                                                                                                                                                                                                                                                                                                                                                                                                                                                                                                                                                                                                                                                                                                                                                                                                                                                                                                                                                                                                                                                                                                                                                                                                                                                                                       | 23 25                                                                                                                                                                                                                                                                                                                                                                                                                                                                                                                                                                                                                                                                                                                                                                                                                                                                                                                                                                                                                                                                                                                                                                                                                                                                                                                                                                                                                                                                                                                                                                                                                                                                                                                                                                                                                                                                                                                                                                                                                                                                                                                          | 3350                                                                                                                                                                                                                                                                                                                                                                                                                                                                                                                                                                                                                                                                                                                                                                                                                                                                                                                                                                                                                                                                                                                                                                                                                                                                                                                                                                                                                                                                                                                                                                                                                                                                                                                                                                                                                                                                                                                                                                                                                                                                                                                          | 335(                                                                                                                                                                                                                                                      
                                                                                                                                                                                                                                                                                                                                                                                                                                                                                                                                                                                                                                                                                                                                                                                                                                                                                                                                                                                                                                                                                                                                                                                                                                                                                                                                                                                                                                                                                                                                                                                                                                                                                                                                                                                                                                                                  | 335                                                                                                                                                                                                                                                                                                                                                                                                                                                                                                                                                                                                                                                                                                                                                                                                                                                                                                                                                                                                                                                                                                                                                                                                                                                                                                                                                                                                                                                                                                                                                                                                                                                                                                                                                                                                                                                                                                                                                                                                                                                                                                                          | 335                                                                                                                                                                                                                                                                                                                                                                                                                                                                                                                                                                                                                                                                                                                                                                                                                                                                                                                                                                                                                                                                                                                                                                                                                                                                                                                                                                                                                                                                                                                                                                                                                                                                                                                                                                                                                                                                                                                                                                                                                                                                                                                            | 3350                                                                                                                                                                                                                                                                                                                                                                                                                                                                                                                                                                                                                                                                                                                                                                                                                                                                                                                                                                                                                                                                                                                                                                                                                                                                                                                                                                                                                                                                                                                                                                                                                                                                                                                                                                                                                                                                                                                                                                                                                                                                                                                           | 335                                                                                                                                                                                                                                                                                                                                                                                                                                                                                                                                                                                                                                                                                                                                                                                                                                                                                                                                                                                                                                                                                                                                                                                                                                                                                                                                                                                                                                                                                                                                                                                                                                                                                                                                                                                                                                                                                                                                                                                                                                                                                                                            | 3350     
                                                                                                                                                                                                                                                                                                                                                                                                                                                                                                                                                                                                                                                                                                                                                                                                                                                                                                                                                                                                                                                                                                                                                                                                                                                                                                                                                                                                                                                                                                                                                                                                                                                                                                                                                                                                                                                                                                                                                                                                                                                                                                                     | 3350                                                                                                                                                                                                                                                                                                                                                                                                                                                                                                                                                                                                                                                                                                                                                                                                                                                                                                                                                                                                                                                                                                                                                                                                                                                                                                                                                                                                                                                                                                                                                                                                                                                                                                          | 3350                                                                                                                                                                                                                                                                                                                                                                                                                                                                                                                                                                                                                                                                                                                                                                                                                                                                                                                                                                                                              | 3350                                                                                                                                                                                                                                                                                                                                                                                                                                                                                                                                                                                                                                                                                                                                                                                                                                                                                                                                                                                                                                           | 335                                                                                                                                                                                                                                                                                                                                                                                                                                                                                                                                                                                                                                                                                                                                                                          | 335                                                                                                                                                                                                                                                                                                                                                                                                                                                                                                                                                                                                                                                                                                                                                                                                    | 335(                                                                                                                                                                                                                                                                                                                                                                                                                                                                                                                                                                                    | 3350                                                                                                                                                                                                                                                                                                                                                                                                                                                                                           | 3350                                                                                                                                                                                                                                                                                                                                                                                                                                                                                                                         | 3350                                                                                                                                                                                                                                                                                                                                                                                                                                                                                                                                                                                                           | 3350                                                                                                                                                                                                                                                                                                                                                                                                                                                                                                                                                                                                                             | 3350                         
                                                                                                                                                                                                                                                                                                                                                                                                                                                                                                                                                                                                                                                                                                                                                                                                                                                                                                                                                                                                                                                                                                                                                                                                                                                     | 3350                                                                                                                                                                                                                                                                                                                                                                                                                                                                                                                                                                                                                                                                                                                                                                                                                                                                                                                                                                                                                                                                                                                                                                                                                                                                                                                                                                                                                                                                                                                                                                                                                                                                                                                                                                                                                                                                                                                                                                                                                                                                                                                           | 3350                                                                                                                                                                                                                                                                                                                                                                                                                                                                                                                                                                                                                                                                                                                                                                                                                                                                                                                                                                                                                                                                                                                                                                                                                                                                                                                                                                                                                                                                                                                                                                                                                                                                                                                                                                                                                                                                                                                                                                                                                                                                                                                           | 3350                                                                                                                                                                                                                                                                                                                                                                                                                                                                                                                                                                                                                                                                                                                                                                                                                                                                                                                                                                                                                                                                                                                                                                                                                                                                                                                                                                                                                                                                                                                                                                                                                                                                                                                                                                                      | 3350                                                                                                                                                                                                                                                                                                                                                                                                                                                                                                                                                                                                                                                                                                                                                                                                                                                                                                                                                                                                                                                                                                                                                                                                                                                                                                                                                                                                                                                                                                                                                                                                                                                | 3350                                                                                                                                                                                                                                                                                                                                                                                                                                                                                                                                                                                                                                                                                                                                                                                                                                                                                                                                                                                                                                                                                                                                                                                                                                                                                                                                                                                                                                
                                                              | 3350                                                                                                                                                                                                                                                                                                                                                                                                                                                                                                                                                                                                                                                                                                                                                                                                                                                                                                                                                                                                                                                                                                                                                                                                                                                                                                                                                                                                                                                                                                                                                                                                                                                                                                                                                                                                                                                                                                                                                                                                                                                                                                                         | 3350                                                                                                                                                                                                                                                                                                                                                                                                                                                                                                                                                                                                                                                                                                                                                                                                                                                                                                                                                                                                                                                                                                                                                                                                                                                                                                                                                                                                                                                                                                                                                                                                                                                                                                                                                                                                                                                                                                                                                                                                                                                                                                                         | 3350                                                                                                                                                                                                                                                                                                                                                                                                                                                                                                                                                                                                                                                                                                                                                                                                                                                                                                                                                                                                                                                                                                                                                                                                                                                                                                                                                                                                                                                                                                                                                                                                                                                                                                                                                                                                                                                                                                                                                                                                                                                                                                                           | 3350                                                                                                                                                                                                                                                                                                                                                                                                                                                                                                                                                                                                                                                                                                                                                                                                                                                                                                                                                                                                                                                                                                                                                                                                                                                                                                                                                                                                                                                                                                                                                                                                                                                                                                                                                                                                                                                                                                                                                                                                                                                                                                                         | 3350                                                                                             | 3350                                                                                                                                                                                                                                                                                                                                                                                                                                                                                                                                                                                                                                                                                                                                                                                                                                                                                                                                                                                                                                                                                                                                                                                                                                                                                                                                                                                                                                                                                                                                                                                                                                                                                                          
                                                                                                                                                                                                                                                                                                                                                                                                             | 3350                                                                                                                                                                                                                                                                                                                                                                                                                                                                                                                                                                                                                                                                                                                                                                                                                                                                                                                                                                                                                                                                                                                                                                                                                                                                                                                                                                                                                                                                                                                                                                                                                                                                                                                                                                                                                                                                                                                                                                                                                                                                                                                         | 3350                                                                                                                                                                                                                                                                                                                                                                                                                                                                                                                                                                                                                                                                                                                                                                                                                                                                                                                                                                                                                                                                                                                                                                                                                                                                                                                                                                                                                                                                                                                                                                                                                                                                                                                                                                                                                                                                                                                                                                                                                                                                                                                         | 3350      | 3350                                                                                                                                                                                                                                                                                                                                                                                                                                                                                                                                                                                                                                                                                                                                                                                                                                                                                                                                                                                                                                                                                                                                                                                                                                                                                                                                                                                                                                                                                                                                                                                                                                                                                                                                                                                                                                                                                                                                                                                                                                                                                                                         | 3350                                                                                       | 3350                                                                                                                                                                                                                                                                                                                                                                                                                                                                                                                                                                                                                                                                                                                                                                                                                                                                                                                                                                                                                                                                                                                                                                                                                                                                                                                                                                                                                                                                                                                                                                                                                                                                                                                                                                                                                                                                                                                                                                                                                                                                                                                        | 3350                                                                                                  | 3350                                                                                                                                                                                                                                                                                                                                                                                                                                                                                                                                                                                                                                                                                                                                                                                                                                                                                                                                                                                                                                                                                                                                                                                                                                                
                                                                                                                                                                                                                                                                                                                                                                                                                                                                                                                                                                                                                                                                                                                                                                                                                                                                        | 3350       | 3350                                                                                                                                                                                                                                                                                                                                                                                                                                                                                                                                                                                                                                                                                                                                                                                                                                                                                                                                                                                                                                                                                                                                                                                                                                                                                                                                                                                                                                                                                                                                                                                                                                                                                                                                                                                                                                                                                                                                                                                                                                                                                                                        | 3350                                                                                                                                                                                                                                                                                                                                                                                                                                                                                                                                                                                                                                                                                                                                                                                                                                                                                                                                                                                                                                                                                                                                                                                                                                                                                                                                                                                                                                                                                                                                                                                                                                                                                                                                                                                                                                                                                                                                                                                                                                                                                                                         | 3350                                                                                                                                                                                                                                                                                                                                                                                                                                                                                                                                                                                                                                                                                                                                                                                                                                                                                                                                                                                                                                                                                                                                                                                                                                                                                                                                                                                                                                                                                                                                                                                                                                                                                                                                                                                                                                                                                                                                                                                                                                                                                                                         |
| 00                                                                                                                                                                                                                                                                                                                                                                                                                                                                                                                                                                                                                                                                                                                                                                                                                                                                                                                                                                                                                                                                                                                                                                                                                                                                                                                                                                                                                                                                                                                                                                                                                                                                                                                                                                                                                                                                                                                                                                                                                                                                                                                           | 5 8                                                                                                                                                                                                                                                                                                                                                                                                                                                                                                                                                                                                                                                                                                                                                                                                                                                                                                                                                                                                                                                                                                                                                                                                                                                                                                                                                                                                                                                                                                                                                                                                                                                                                                                                                                                                                                                                                                                                                                                                                                                                                                                          | 6                                                                                                                                                                                                                                                                                                                                                                                                                                                                                                                                                                                                                                                                                                                                                                                                                                                                                                                                                                                                                                                                                                                                                                                                                                                                                                                                                                                                                                                                                                                                                                                                                                                                                                                                                                                                                                                                                                                                                                                                                                                                                                                            | 6                                                                                           | 00                                                                                                                                                                                                                                                                                                                                                                                                                                                                                                                                                                                                                                                                                                                                                                                                                                                                                                                                                                                                                                                                                                                                                                                                                                                                                                                                                                                                                                                                                                                                                                                                                                                                                                                                                                                                                                                                                                                                                                                                                                                                                                                           | 00                                                                                                                                                                                                                                                                                                                                                                                                                                                                                                                                                                                                                                                                                                                                                                                                                                                                                                                                                                                                                                                                                                                                                                                                                                                                                                                                                                                                                                                                                                                                                                                                                                                                                                                                                                                 
                                                                                                                                                                                                                                                                                                                                         | 5 6                                                                                                                                                                                                                                                                                                                                                                                                                                                                                                                                                                                                                                                                                                                                                                                                                                                                                                                                                                                                                                                                                                                                                                                                                                                                                                                                                                                                                                                                                                                                                                                                                                                                                                                                                                                                                                                                                                                                                                                                                                                                                                                          | 3 8                                                                                                                                                                                                                                                                                                                                                                                                                                                                                                                                                                                                                                                                                                                                                                                                                                                                                                                                                                                                                                                                                                                                                                                                                                                                                                                                                                                                                                                                                                                                                                                                                                                                                                                                                                                                                                                                                                                                                                                                                                                                                                                          | 8                                                                                     | 3 8                                                                                                                                                                                                                                                                                                                                                                                                                                                                                                                                                                                                                                                                                                                                                                                                                                                                                                                                                                                                                                                                                                                                                                                                                                                                                                                                                                                                                                                                                                                                                                                                                                                                                                                                                                                                                                                                                                                                                                                                                                                                                                                          |                                                                                                                                                                                                                                                                                                                                                                                                                                                                                                                                                                                                                                                                                                                                                                                                                                                                                                                                                                                                                                                                                                                                                                                                                                                                                                                                                                                                                                                                                                                                                                                                                                                                                                                                                                                                                                                                                                                                                                                                                                                                                                                              | 8                                                                                                                                                                                                                                                                                                                                                                                                                                                                                                                                                                                                                                                                                                                                                                                                                                                                                                                                                                                                                                                                                                                                                                                                                                                                                                                                                                                                                                               
                                                                                                                                                                                                                                                                                                                                                                                                                                                                                                                                                                                                                                                                           | 8 8                                                                                                                                                                                                                                                                                                                                                                                                                                                                                                                                                                                                                                                                                                                                                                                                                                                                                                                                                                                                                                                                                                                                                                                                                                                                                                                                                                                                                                                                                                                                                                                                                                                                                                                                                                                                                                                                                                                                                                                                                                                                                                                       | 3 8                                                                                                                                                                                                                                                                                                                                                                                                                                                                                                                                                                                                                                                                                                                                                                                                                                                                                                                                                                                                                                                                                                                                                                                                                                                                                                                                                                                                                                                                                                                                                                                                                                                                                                                                                                                                                                                                                                                                                                                                                                                                                                                          | 8                                                                                                 | 8                                                                                                                                                                                                                                                                                                                                                                                                                                                                                                                                                                                                                                                                                                                                                                                                                                                                                                                                                                                                                                                                                                                                                                                                                                                                                                                                                                                                                                                                                                                                                                                                                                                                                                                                                                                                                                                                                                                                                                                                                                                                                                                            | 8 8                                                                               | 3 8                                                                                                                                                                                                                                                                                                                                                                                                                                                                                                                                                                                                                                                                                                                                                                                                                                                                                                                                                                                                                                                                                                                                                                                                                                                                                                                                                                                                                                                                                                                                                                                                                                                                                                                                                                                                                                                                                                                                                                                                                                                                                                                          | 3 8                                                                                                                                                                                                                                                                                                                                                                                                                                                                                                                                                                                                                                                                                                                                                                                                                                                                                                                                                                                                              
                                                                                                                                                                                                                                                                                                                                                                                                                                                                                                                                                                                                                                                                                                                                                                                                                                                                                                                                                                                                                                                                                                           | 8                                                                                                     | 8                                                                                                 | 8                                                                                             | 3 8                                                                                                 |                                                                                                                                                                                                                                                                                                                                                                                                                                                                                                                                                                                                                                                                                                                                                                                                                                                                                                                                                                                                                                                                                                                                                                                                                                                                                                                                                                                                                                                                                                                                                                                                                                                                                                                                                                                                                                                                                                                                                                                                                                                                                                                           | 8                                                                                         | 8 8                                                                                                                                                                                                                                                                                                                                                                                                                                                                                                                                                                                                                                                                                                                                                                                                                                                                                                                                                                                                                                                                                                                                                                                                                                                                                                                                                                                                                                                                                                                                                                                                                                                                                                                                                                                                                                                                                                                                                                                                                                                                                                                        | 3 2                                                                                                                                                                                                                                                                                                                                                                                                                                                                                                                                                                                                                                                                                                                                                                                                                                                                                                                                                                                                                                                                                                                                                                                                                                                                                                                                                                                                                                                                                                                                                                                                                                                                                                                                                                                                                                                                                                                                                                                                                                                                                                                            |                                                                                                                                                                                                                                                                                                                                                                                                                                                                                                                                                                                                                                                                                                                                                                                                                                                                                                                                                                                                                                                                                                                                                                                                                                                                                                                                                                                                                                                                                                                                                                                                                                                                                                                                                                                                                                                                                                                                                                                                                                                                                                                               | 8                                                                                                                                                                                                                                                         
                                                                                                                                                                                                                                                                                                                                                                                                                                                                                                                                                                                                                                                                                                                                                                                                                                                                                                                                                                                                                                                                                                                                                                                                                                                                                                                                                                                                                                                                                                                                                                                                                                                                                                                                                                                                                                                                  | 8                                                                                                                                                                                                                                                                                                                                                                                                                                                                                                                                                                                                                                                                                                                                                                                                                                                                                                                                                                                                                                                                                                                                                                                                                                                                                                                                                                                                                                                                                                                                                                                                                                                                                                                                                                                                                                                                                                                                                                                                                                                                                                                            | 8 8                                                                                                                                                                                                                                                                                                                                                                                                                                                                                                                                                                                                                                                                                                                                                                                                                                                                                                                                                                                                                                                                                                                                                                                                                                                                                                                                                                                                                                                                                                                                                                                                                                                                                                                                                                                                                                                                                                                                                                                                                                                                                                                            | 3 8                                                                                                                                                                                                                                                                                                                                                                                                                                                                                                                                                                                                                                                                                                                                                                                                                                                                                                                                                                                                                                                                                                                                                                                                                                                                                                                                                                                                                                                                                                                                                                                                                                                                                                                                                                                                                                                                                                                                                                                                                                                                                                                            |                                                                                                                                                                                                                                                                                                                                                                                                                                                                                                                                                                                                                                                                                                                                                                                                                                                                                                                                                                                                                                                                                                                                                                                                                                                                                                                                                                                                                                                                                                                                                                                                                                                                                                                                                                                                                                                                                                                                                                                                                                                                                                                                | 8        
                                                                                                                                                                                                                                                                                                                                                                                                                                                                                                                                                                                                                                                                                                                                                                                                                                                                                                                                                                                                                                                                                                                                                                                                                                                                                                                                                                                                                                                                                                                                                                                                                                                                                                                                                                                                                                                                                                                                                                                                                                                                                                                     | 8 8                                                                                                                                                                                                                                                                                                                                                                                                                                                                                                                                                                                                                                                                                                                                                                                                                                                                                                                                                                                                                                                                                                                                                                                                                                                                                                                                                                                                                                                                                                                                                                                                                                                                                                           | 3 8                                                                                                                                                                                                                                                                                                                                                                                                                                                                                                                                                                                                                                                                                                                                                                                                                                                                                                                                                                                                               | ľ                                                                                                                                                                                                                                                                                                                                                                                                                                                                                                                                                                                                                                                                                                                                                                                                                                                                                                                                                                                                                                              | 8                                                                                                                                                                                                                                                                                                                                                                                                                                                                                                                                                                                                                                                                                                                                                                            | 3 8                                                                                                                                                                                                                                                                                                                                                                                                                                                                                                                                                                                                                                                                                                                                                                                                    | 3 8                                                                                                                                                                                                                                                                                                                                                                                                                                                                                                                                                                                     | 8                                                                                                                                                                                                                                                                                                                                                                                                                                                                                              | 8                                                                                                                                                                                                                                                                                                                                                                                                                                                                                                                            | 8                                                                                                                                                                                                                                                                                                                                                                                                                                                                                                                                                                                                              | 2 8                                                                                                                                                                                                                                                                                                                                                                                                                                                                                                                                                                                                                              | ŏ                            
                                                                                                                                                                                                                                                                                                                                                                                                                                                                                                                                                                                                                                                                                                                                                                                                                                                                                                                                                                                                                                                                                                                                                                                                                                                     | 8                                                                                                                                                                                                                                                                                                                                                                                                                                                                                                                                                                                                                                                                                                                                                                                                                                                                                                                                                                                                                                                                                                                                                                                                                                                                                                                                                                                                                                                                                                                                                                                                                                                                                                                                                                                                                                                                                                                                                                                                                                                                                                                              | 2 8                                                                                                                                                                                                                                                                                                                                                                                                                                                                                                                                                                                                                                                                                                                                                                                                                                                                                                                                                                                                                                                                                                                                                                                                                                                                                                                                                                                                                                                                                                                                                                                                                                                                                                                                                                                                                                                                                                                                                                                                                                                                                                                            |                                                                                                                                                                                                                                                                                                                                                                                                                                                                                                                                                                                                                                                                                                                                                                                                                                                                                                                                                                                                                                                                                                                                                                                                                                                                                                                                                                                                                                                                                                                                                                                                                                                                                                                                                                                           | 3 8                                                                                                                                                                                                                                                                                                                                                                                                                                                                                                                                                                                                                                                                                                                                                                                                                                                                                                                                                                                                                                                                                                                                                                                                                                                                                                                                                                                                                                                                                                                                                                                                                                                 | ŏ                                                                                                                                                                                                                                                                                                                                                                                                                                                                                                                                                                                                                                                                                                                                                                                                                                                                                                                                                                                                                                                                                                                                                                                                                                                                                                                                                                                                                                   
                                                              | 8 8                                                                                                                                                                                                                                                                                                                                                                                                                                                                                                                                                                                                                                                                                                                                                                                                                                                                                                                                                                                                                                                                                                                                                                                                                                                                                                                                                                                                                                                                                                                                                                                                                                                                                                                                                                                                                                                                                                                                                                                                                                                                                                                          | 5 8                                                                                                                                                                                                                                                                                                                                                                                                                                                                                                                                                                                                                                                                                                                                                                                                                                                                                                                                                                                                                                                                                                                                                                                                                                                                                                                                                                                                                                                                                                                                                                                                                                                                                                                                                                                                                                                                                                                                                                                                                                                                                                                          | 8                                                                                                                                                                                                                                                                                                                                                                                                                                                                                                                                                                                                                                                                                                                                                                                                                                                                                                                                                                                                                                                                                                                                                                                                                                                                                                                                                                                                                                                                                                                                                                                                                                                                                                                                                                                                                                                                                                                                                                                                                                                                                                                              | 8 8                                                                                                                                                                                                                                                                                                                                                                                                                                                                                                                                                                                                                                                                                                                                                                                                                                                                                                                                                                                                                                                                                                                                                                                                                                                                                                                                                                                                                                                                                                                                                                                                                                                                                                                                                                                                                                                                                                                                                                                                                                                                                                                          | 5 8                                                                                              | ŏ                                                                                                                                                                                                                                                                                                                                                                                                                                                                                                                                                                                                                                                                                                                                                                                                                                                                                                                                                                                                                                                                                                                                                                                                                                                                                                                                                                                                                                                                                                                                                                                                                                                                                                             
                                                                                                                                                                                                                                                                                                                                                                                                             | 8                                                                                                                                                                                                                                                                                                                                                                                                                                                                                                                                                                                                                                                                                                                                                                                                                                                                                                                                                                                                                                                                                                                                                                                                                                                                                                                                                                                                                                                                                                                                                                                                                                                                                                                                                                                                                                                                                                                                                                                                                                                                                                                            | 3 8                                                                                                                                                                                                                                                                                                                                                                                                                                                                                                                                                                                                                                                                                                                                                                                                                                                                                                                                                                                                                                                                                                                                                                                                                                                                                                                                                                                                                                                                                                                                                                                                                                                                                                                                                                                                                                                                                                                                                                                                                                                                                                                          | ĕ         | ŏ                                                                                                                                                                                                                                                                                                                                                                                                                                                                                                                                                                                                                                                                                                                                                                                                                                                                                                                                                                                                                                                                                                                                                                                                                                                                                                                                                                                                                                                                                                                                                                                                                                                                                                                                                                                                                                                                                                                                                                                                                                                                                                                            | 3 8                                                                                        |                                                                                                                                                                                                                                                                                                                                                                                                                                                                                                                                                                                                                                                                                                                                                                                                                                                                                                                                                                                                                                                                                                                                                                                                                                                                                                                                                                                                                                                                                                                                                                                                                                                                                                                                                                                                                                                                                                                                                                                                                                                                                                                             | 8                                                                                                     | 3 8                                                                                                                                                                                                                                                                                                                                                                                                                                                                                                                                                                                                                                                                                                                                                                                                                                                                                                                                                                                                                                                                                                                                                                                                                                                 
                                                                                                                                                                                                                                                                                                                                                                                                                                                                                                                                                                                                                                                                                                                                                                                                                                                                        | ŏ          | 8 8                                                                                                                                                                                                                                                                                                                                                                                                                                                                                                                                                                                                                                                                                                                                                                                                                                                                                                                                                                                                                                                                                                                                                                                                                                                                                                                                                                                                                                                                                                                                                                                                                                                                                                                                                                                                                                                                                                                                                                                                                                                                                                                         | 5 8                                                                                                                                                                                                                                                                                                                                                                                                                                                                                                                                                                                                                                                                                                                                                                                                                                                                                                                                                                                                                                                                                                                                                                                                                                                                                                                                                                                                                                                                                                                                                                                                                                                                                                                                                                                                                                                                                                                                                                                                                                                                                                                          | ŏ                                                                                                                                                                                                                                                                                                                                                                                                                                                                                                                                                                                                                                                                                                                                                                                                                                                                                                                                                                                                                                                                                                                                                                                                                                                                                                                                                                                                                                                                                                                                                                                                                                                                                                                                                                                                                                                                                                                                                                                                                                                                                                                            | | | | | | |
|                                                                                                                                                                                                                                                                                                                                                                                                                                                                                                                                                                                                                                                                                                                                                                                                                                                                                                                                                                                                                                                                                                                                                                                                                                                                                                                                                                                                                                                                                                                                                                                                                                                                                                                                                                                                                                                                                                                                                                                                                                                                                                                              |                                                                                                                                                                                                                                                                                                                                                                                                                                                                                                                                                                                                                                                                                                                                                                                                                                                                                                                                                                                                                                                                                                                                                                                                                                                                                                                                                                                                                                                                                                                                                                                                                                                                                                                                                                                                                                                                                                                                                                                                                                                                                                                              |                                                                                                                                                                                                                                                                                                                                                                                                                                                                                                                                                                                                                                                                                                                                                                                                                                                                                                                                                                                                                                                                                                                                                                                                                                                                                                                                                                                                                                                                                                                                                                                                                                                                                                                                                                                                                                                                                                                                                                                                                                                                                                                              |                                                                                             |                                                                                                                                                                                                                                                                                                                                                                                                                                                                                                                                                                                                                                                                                                                                                                                                                                                                                                                                                                                                                                                                                                                                                                                                                                                                                                                                                                                                                                                                                                                                                                                                                                                                                                                                                                                                                                                                                                                                                                                                                                                                                                                              |                                                                                                                                                                                                                                                                                                                                                                                                                                                                                                                                                                                                                                                                                                                                                                                                                                                                                                                                                                                                                                                                                                                                                                                                                                                                                                                                                                                                                                                                                                                                                                                                                                                                                                                                                                                    
                                                                                                                                                                                                                                                                                                                                         |                                                                                                                                                                                                                                                                                                                                                                                                                                                                                                                                                                                                                                                                                                                                                                                                                                                                                                                                                                                                                                                                                                                                                                                                                                                                                                                                                                                                                                                                                                                                                                                                                                                                                                                                                                                                                                                                                                                                                                                                                                                                                                                              |                                                                                                                                                                                                                                                                                                                                                                                                                                                                                                                                                                                                                                                                                                                                                                                                                                                                                                                                                                                                                                                                                                                                                                                                                                                                                                                                                                                                                                                                                                                                                                                                                                                                                                                                                                                                                                                                                                                                                                                                                                                                                                                              |                                                                                       |                                                                                                                                                                                                                                                                                                                                                                                                                                                                                                                                                                                                                                                                                                                                                                                                                                                                                                                                                                                                                                                                                                                                                                                                                                                                                                                                                                                                                                                                                                                                                                                                                                                                                                                                                                                                                                                                                                                                                                                                                                                                                                                              |                                                                                                                                                                                                                                                                                                                                                                                                                                                                                                                                                                                                                                                                                                                                                                                                                                                                                                                                                                                                                                                                                                                                                                                                                                                                                                                                                                                                                                                                                                                                                                                                                                                                                                                                                                                                                                                                                                                                                                                                                                                                                                                              |                                                                                                                                                                                                                                                                                                                                                                                                                                                                                                                                                                                                                                                                                                                                                                                                                                                                                                                                                                                                                                                                                                                                                                                                                                                                                                                                                                                                                                                 
                                                                                                                                                                                                                                                                                                                                                                                                                                                                                                                                                                                                                                                                           |                                                                                                                                                                                                                                                                                                                                                                                                                                                                                                                                                                                                                                                                                                                                                                                                                                                                                                                                                                                                                                                                                                                                                                                                                                                                                                                                                                                                                                                                                                                                                                                                                                                                                                                                                                                                                                                                                                                                                                                                                                                                                                                           |                                                                                                                                                                                                                                                                                                                                                                                                                                                                                                                                                                                                                                                                                                                                                                                                                                                                                                                                                                                                                                                                                                                                                                                                                                                                                                                                                                                                                                                                                                                                                                                                                                                                                                                                                                                                                                                                                                                                                                                                                                                                                                                              |                                                                                                   |                                                                                                                                                                                                                                                                                                                                                                                                                                                                                                                                                                                                                                                                                                                                                                                                                                                                                                                                                                                                                                                                                                                                                                                                                                                                                                                                                                                                                                                                                                                                                                                                                                                                                                                                                                                                                                                                                                                                                                                                                                                                                                                              |                                                                                   |                                                                                                                                                                                                                                                                                                                                                                                                                                                                                                                                                                                                                                                                                                                                                                                                                                                                                                                                                                                                                                                                                                                                                                                                                                                                                                                                                                                                                                                                                                                                                                                                                                                                                                                                                                                                                                                                                                                                                                                                                                                                                                                              |                                                                                                                                                                                                                                                                                                                                                                                                                                                                                                                                                                                                                                                                                                                                                                                                                                                                                                                                                                                                                  
                                                                                                                                                                                                                                                                                                                                                                                                                                                                                                                                                                                                                                                                                                                                                                                                                                                                                                                                                                                                                                                                                                           |                                                                                                       |                                                                                                   |                                                                                               |                                                                                                     |                                                                                                                                                                                                                                                                                                                                                                                                                                                                                                                                                                                                                                                                                                                                                                                                                                                                                                                                                                                                                                                                                                                                                                                                                                                                                                                                                                                                                                                                                                                                                                                                                                                                                                                                                                                                                                                                                                                                                                                                                                                                                                                           |                                                                                           |                                                                                                                                                                                                                                                                                                                                                                                                                                                                                                                                                                                                                                                                                                                                                                                                                                                                                                                                                                                                                                                                                                                                                                                                                                                                                                                                                                                                                                                                                                                                                                                                                                                                                                                                                                                                                                                                                                                                                                                                                                                                                                                            |                                                                                                                                                                                                                                                                                                                                                                                                                                                                                                                                                                                                                                                                                                                                                                                                                                                                                                                                                                                                                                                                                                                                                                                                                                                                                                                                                                                                                                                                                                                                                                                                                                                                                                                                                                                                                                                                                                                                                                                                                                                                                                                                |                                                                                                                                                                                                                                                                                                                                                                                                                                                                                                                                                                                                                                                                                                                                                                                                                                                                                                                                                                                                                                                                                                                                                                                                                                                                                                                                                                                                                                                                                                                                                                                                                                                                                                                                                                                                                                                                                                                                                                                                                                                                                                                               |                                                                                                                                                                                                                                                           
                                                                                                                                                                                                                                                                                                                                                                                                                                                                                                                                                                                                                                                                                                                                                                                                                                                                                                                                                                                                                                                                                                                                                                                                                                                                                                                                                                                                                                                                                                                                                                                                                                                                                                                                                                                                                                                                  |                                                                                                                                                                                                                                                                                                                                                                                                                                                                                                                                                                                                                                                                                                                                                                                                                                                                                                                                                                                                                                                                                                                                                                                                                                                                                                                                                                                                                                                                                                                                                                                                                                                                                                                                                                                                                                                                                                                                                                                                                                                                                                                              |                                                                                                                                                                                                                                                                                                                                                                                                                                                                                                                                                                                                                                                                                                                                                                                                                                                                                                                                                                                                                                                                                                                                                                                                                                                                                                                                                                                                                                                                                                                                                                                                                                                                                                                                                                                                                                                                                                                                                                                                                                                                                                                                |                                                                                                                                                                                                                                                                                                                                                                                                                                                                                                                                                                                                                                                                                                                                                                                                                                                                                                                                                                                                                                                                                                                                                                                                                                                                                                                                                                                                                                                                                                                                                                                                                                                                                                                                                                                                                                                                                                                                                                                                                                                                                                                                |                                                                                                                                                                                                                                                                                                                                                                                                                                                                                                                                                                                                                                                                                                                                                                                                                                                                                                                                                                                                                                                                                                                                                                                                                                                                                                                                                                                                                                                                                                                                                                                                                                                                                                                                                                                                                                                                                                                                                                                                                                                                                                                                |          
                                                                                                                                                                                                                                                                                                                                                                                                                                                                                                                                                                                                                                                                                                                                                                                                                                                                                                                                                                                                                                                                                                                                                                                                                                                                                                                                                                                                                                                                                                                                                                                                                                                                                                                                                                                                                                                                                                                                                                                                                                                                                                                     |                                                                                                                                                                                                                                                                                                                                                                                                                                                                                                                                                                                                                                                                                                                                                                                                                                                                                                                                                                                                                                                                                                                                                                                                                                                                                                                                                                                                                                                                                                                                                                                                                                                                                                               |                                                                                                                                                                                                                                                                                                                                                                                                                                                                                                                                                                                                                                                                                                                                                                                                                                                                                                                                                                                                                   |                                                                                                                                                                                                                                                                                                                                                                                                                                                                                                                                                                                                                                                                                                                                                                                                                                                                                                                                                                                                                                                |                                                                                                                                                                                                                                                                                                                                                                                                                                                                                                                                                                                                                                                                                                                                                                              |                                                                                                                                                                                                                                                                                                                                                                                                                                                                                                                                                                                                                                                                                                                                                                                                        |                                                                                                                                                                                                                                                                                                                                                                                                                                                                                                                                                                                         |                                                                                                                                                                                                                                                                                                                                                                                                                                                                                                |                                                                                                                                                                                                                                                                                                                                                                                                                                                                                                                              |                                                                                                                                                                                                                                                                                                                                                                                                                                                                                                                                                                                                                |                                                                                                                                                                                                                                                                                                                                                                                                                                                                                                                                                                                                                                  |                              
                                                                                                                                                                                                                                                                                                                                                                                                                                                                                                                                                                                                                                                                                                                                                                                                                                                                                                                                                                                                                                                                                                                                                                                                                                                     |                                                                                                                                                                                                                                                                                                                                                                                                                                                                                                                                                                                                                                                                                                                                                                                                                                                                                                                                                                                                                                                                                                                                                                                                                                                                                                                                                                                                                                                                                                                                                                                                                                                                                                                                                                                                                                                                                                                                                                                                                                                                                                                                |                                                                                                                                                                                                                                                                                                                                                                                                                                                                                                                                                                                                                                                                                                                                                                                                                                                                                                                                                                                                                                                                                                                                                                                                                                                                                                                                                                                                                                                                                                                                                                                                                                                                                                                                                                                                                                                                                                                                                                                                                                                                                                                                |                                                                                                                                                                                                                                                                                                                                                                                                                                                                                                                                                                                                                                                                                                                                                                                                                                                                                                                                                                                                                                                                                                                                                                                                                                                                                                                                                                                                                                                                                                                                                                                                                                                                                                                                                                                           |                                                                                                                                                                                                                                                                                                                                                                                                                                                                                                                                                                                                                                                                                                                                                                                                                                                                                                                                                                                                                                                                                                                                                                                                                                                                                                                                                                                                                                                                                                                                                                                                                                                     |                                                                                                                                                                                                                                                                                                                                                                                                                                                                                                                                                                                                                                                                                                                                                                                                                                                                                                                                                                                                                                                                                                                                                                                                                                                                                                                                                                                                                                     
                                                              |                                                                                                                                                                                                                                                                                                                                                                                                                                                                                                                                                                                                                                                                                                                                                                                                                                                                                                                                                                                                                                                                                                                                                                                                                                                                                                                                                                                                                                                                                                                                                                                                                                                                                                                                                                                                                                                                                                                                                                                                                                                                                                                              |                                                                                                                                                                                                                                                                                                                                                                                                                                                                                                                                                                                                                                                                                                                                                                                                                                                                                                                                                                                                                                                                                                                                                                                                                                                                                                                                                                                                                                                                                                                                                                                                                                                                                                                                                                                                                                                                                                                                                                                                                                                                                                                              |                                                                                                                                                                                                                                                                                                                                                                                                                                                                                                                                                                                                                                                                                                                                                                                                                                                                                                                                                                                                                                                                                                                                                                                                                                                                                                                                                                                                                                                                                                                                                                                                                                                                                                                                                                                                                                                                                                                                                                                                                                                                                                                                |                                                                                                                                                                                                                                                                                                                                                                                                                                                                                                                                                                                                                                                                                                                                                                                                                                                                                                                                                                                                                                                                                                                                                                                                                                                                                                                                                                                                                                                                                                                                                                                                                                                                                                                                                                                                                                                                                                                                                                                                                                                                                                                              |                                                                                                  |                                                                                                                                                                                                                                                                                                                                                                                                                                                                                                                                                                                                                                                                                                                                                                                                                                                                                                                                                                                                                                                                                                                                                                                                                                                                                                                                                                                                                                                                                                                                                                                                                                                                                                               
                                                                                                                                                                                                                                                                                                                                                                                                             |                                                                                                                                                                                                                                                                                                                                                                                                                                                                                                                                                                                                                                                                                                                                                                                                                                                                                                                                                                                                                                                                                                                                                                                                                                                                                                                                                                                                                                                                                                                                                                                                                                                                                                                                                                                                                                                                                                                                                                                                                                                                                                                              |                                                                                                                                                                                                                                                                                                                                                                                                                                                                                                                                                                                                                                                                                                                                                                                                                                                                                                                                                                                                                                                                                                                                                                                                                                                                                                                                                                                                                                                                                                                                                                                                                                                                                                                                                                                                                                                                                                                                                                                                                                                                                                                              |           |                                                                                                                                                                                                                                                                                                                                                                                                                                                                                                                                                                                                                                                                                                                                                                                                                                                                                                                                                                                                                                                                                                                                                                                                                                                                                                                                                                                                                                                                                                                                                                                                                                                                                                                                                                                                                                                                                                                                                                                                                                                                                                                              |                                                                                            |                                                                                                                                                                                                                                                                                                                                                                                                                                                                                                                                                                                                                                                                                                                                                                                                                                                                                                                                                                                                                                                                                                                                                                                                                                                                                                                                                                                                                                                                                                                                                                                                                                                                                                                                                                                                                                                                                                                                                                                                                                                                                                                             |                                                                                                       |                                                                                                                                                                                                                                                                                                                                                                                                                                                                                                                                                                                                                                                                                                                                                                                                                                                                                                                                                                                                                                                                                                                                                                                                                                                     
                                                                                                                                                                                                                                                                                                                                                                                                                                                                                                                                                                                                                                                                                                                                                                                                                                                                        |            |                                                                                                                                                                                                                                                                                                                                                                                                                                                                                                                                                                                                                                                                                                                                                                                                                                                                                                                                                                                                                                                                                                                                                                                                                                                                                                                                                                                                                                                                                                                                                                                                                                                                                                                                                                                                                                                                                                                                                                                                                                                                                                                             |                                                                                                                                                                                                                                                                                                                                                                                                                                                                                                                                                                                                                                                                                                                                                                                                                                                                                                                                                                                                                                                                                                                                                                                                                                                                                                                                                                                                                                                                                                                                                                                                                                                                                                                                                                                                                                                                                                                                                                                                                                                                                                                              |                                                                                                                                                                                                                                                                                                                                                                                                                                                                                                                                                                                                                                                                                                                                                                                                                                                                                                                                                                                                                                                                                                                                                                                                                                                                                                                                                                                                                                                                                                                                                                                                                                                                                                                                                                                                                                                                                                                                                                                                                                                                                                                              |
| NERI                                                                                                                                                                                                                                                                                                                                                                                                                                                                                                                                                                                                                                                                                                                                                                                                                                                                                                                                                                                                                                                                                                                                                                                                                                                                                                                                                                                                                                                                                                                                                                                                                                                                                                                                                                                                                                                                                                                                                                                                                                                                                                                         | NE NE                                                                                                                                                                                                                                                                                                                                                                                                                                                                                                                                                                                                                                                                                                                                                                                                                                                                                                                                                                                                                                                                                                                                                                                                                                                                                                                                                                                                                                                                                                                                                                                                                                                                                                                                                                                                                                                                                                                                                                                                                                                                                                                        | MOC                                                                                                                                                                                                                                                                                                                                                                                                                                                                                                                                                                                                                                                                                                                                                                                                                                                                                                                                                                                                                                                                                                                                                                                                                                                                                                                                                                                                                                                                                                                                                                                                                                                                                                                                                                                                                                                                                                                                                                                                                                                                                                                          | 2 2                                                                                         | MOC                                                                                                                                                                                                                                                                                                                                                                                                                                                                                                                                                                                                                                                                                                                                                                                                                                                                                                                                                                                                                                                                                                                                                                                                                                                                                                                                                                                                                                                                                                                                                                                                                                                                                                                                                                                                                                                                                                                                                                                                                                                                                                                          | Moc                                                                                                                                                                                                                                                                                                                                                                                                                                                                                                                                                                                                                                                                                                                                                                                                                                                                                                                                                                                                                                                                                                                                                                                                                                                                                                                                                                                                                                                                                                                                                                                                                                                                                                                                                                                
                                                                                                                                                                                                                                                                                                                                         | MO E                                                                                                                                                                                                                                                                                                                                                                                                                                                                                                                                                                                                                                                                                                                                                                                                                                                                                                                                                                                                                                                                                                                                                                                                                                                                                                                                                                                                                                                                                                                                                                                                                                                                                                                                                                                                                                                                                                                                                                                                                                                                                                                         | LIBO                                                                                                                                                                                                                                                                                                                                                                                                                                                                                                                                                                                                                                                                                                                                                                                                                                                                                                                                                                                                                                                                                                                                                                                                                                                                                                                                                                                                                                                                                                                                                                                                                                                                                                                                                                                                                                                                                                                                                                                                                                                                                                                         | LIBO                                                                                  |                                                                                                                                                                                                                                                                                                                                                                                                                                                                                                                                                                                                                                                                                                                                                                                                                                                                                                                                                                                                                                                                                                                                                                                                                                                                                                                                                                                                                                                                                                                                                                                                                                                                                                                                                                                                                                                                                                                                                                                                                                                                                                                              | LIBO                                                                                                                                                                                                                                                                                                                                                                                                                                                                                                                                                                                                                                                                                                                                                                                                                                                                                                                                                                                                                                                                                                                                                                                                                                                                                                                                                                                                                                                                                                                                                                                                                                                                                                                                                                                                                                                                                                                                                                                                                                                                                                                         | LIBO                                                                                                                                                                                                                                                                                                                                                                                                                                                                                                                                                                                                                                                                                                                                                                                                                                                                                                                                                                                                                                                                                                                                                                                                                                                                                                                                                                                                                                            
                                                                                                                                                                                                                                                                                                                                                                                                                                                                                                                                                                                                                                                                           |                                                                                                                                                                                                                                                                                                                                                                                                                                                                                                                                                                                                                                                                                                                                                                                                                                                                                                                                                                                                                                                                                                                                                                                                                                                                                                                                                                                                                                                                                                                                                                                                                                                                                                                                                                                                                                                                                                                                                                                                                                                                                                                           | LIBO                                                                                                                                                                                                                                                                                                                                                                                                                                                                                                                                                                                                                                                                                                                                                                                                                                                                                                                                                                                                                                                                                                                                                                                                                                                                                                                                                                                                                                                                                                                                                                                                                                                                                                                                                                                                                                                                                                                                                                                                                                                                                                                         | LIBO                                                                                              | LIBO                                                                                                                                                                                                                                                                                                                                                                                                                                                                                                                                                                                                                                                                                                                                                                                                                                                                                                                                                                                                                                                                                                                                                                                                                                                                                                                                                                                                                                                                                                                                                                                                                                                                                                                                                                                                                                                                                                                                                                                                                                                                                                                         | LIBO E                                                                            |                                                                                                                                                                                                                                                                                                                                                                                                                                                                                                                                                                                                                                                                                                                                                                                                                                                                                                                                                                                                                                                                                                                                                                                                                                                                                                                                                                                                                                                                                                                                                                                                                                                                                                                                                                                                                                                                                                                                                                                                                                                                                                                              | LIBO<br>LIBO                                                                                                                                                                                                                                                                                                                                                                                                                                                                                                                                                                                                                                                                                                                                                                                                                                                                                                                                                                                                     
                                                                                                                                                                                                                                                                                                                                                                                                                                                                                                                                                                                                                                                                                                                                                                                                                                                                                                                                                                                                                                                                                                           | ПВО                                                                                                   | LIBO                                                                                              | LIB E                                                                                         |                                                                                                     | LIBO                                                                                                                                                                                                                                                                                                                                                                                                                                                                                                                                                                                                                                                                                                                                                                                                                                                                                                                                                                                                                                                                                                                                                                                                                                                                                                                                                                                                                                                                                                                                                                                                                                                                                                                                                                                                                                                                                                                                                                                                                                                                                                                      | LIBO                                                                                      | OBIT                                                                                                                                                                                                                                                                                                                                                                                                                                                                                                                                                                                                                                                                                                                                                                                                                                                                                                                                                                                                                                                                                                                                                                                                                                                                                                                                                                                                                                                                                                                                                                                                                                                                                                                                                                                                                                                                                                                                                                                                                                                                                                                       |                                                                                                                                                                                                                                                                                                                                                                                                                                                                                                                                                                                                                                                                                                                                                                                                                                                                                                                                                                                                                                                                                                                                                                                                                                                                                                                                                                                                                                                                                                                                                                                                                                                                                                                                                                                                                                                                                                                                                                                                                                                                                                                                | OBIL                                                                                                                                                                                                                                                                                                                                                                                                                                                                                                                                                                                                                                                                                                                                                                                                                                                                                                                                                                                                                                                                                                                                                                                                                                                                                                                                                                                                                                                                                                                                                                                                                                                                                                                                                                                                                                                                                                                                                                                                                                                                                                                          | LIBO                                                                                                                                                                                                                                                      
                                                                                                                                                                                                                                                                                                                                                                                                                                                                                                                                                                                                                                                                                                                                                                                                                                                                                                                                                                                                                                                                                                                                                                                                                                                                                                                                                                                                                                                                                                                                                                                                                                                                                                                                                                                                                                                                  | LIBO                                                                                                                                                                                                                                                                                                                                                                                                                                                                                                                                                                                                                                                                                                                                                                                                                                                                                                                                                                                                                                                                                                                                                                                                                                                                                                                                                                                                                                                                                                                                                                                                                                                                                                                                                                                                                                                                                                                                                                                                                                                                                                                         | LIBO                                                                                                                                                                                                                                                                                                                                                                                                                                                                                                                                                                                                                                                                                                                                                                                                                                                                                                                                                                                                                                                                                                                                                                                                                                                                                                                                                                                                                                                                                                                                                                                                                                                                                                                                                                                                                                                                                                                                                                                                                                                                                                                           |                                                                                                                                                                                                                                                                                                                                                                                                                                                                                                                                                                                                                                                                                                                                                                                                                                                                                                                                                                                                                                                                                                                                                                                                                                                                                                                                                                                                                                                                                                                                                                                                                                                                                                                                                                                                                                                                                                                                                                                                                                                                                                                                | CBI                                                                                                                                                                                                                                                                                                                                                                                                                                                                                                                                                                                                                                                                                                                                                                                                                                                                                                                                                                                                                                                                                                                                                                                                                                                                                                                                                                                                                                                                                                                                                                                                                                                                                                                                                                                                                                                                                                                                                                                                                                                                                                                            | LIBO     
                                                                                                                                                                                                                                                                                                                                                                                                                                                                                                                                                                                                                                                                                                                                                                                                                                                                                                                                                                                                                                                                                                                                                                                                                                                                                                                                                                                                                                                                                                                                                                                                                                                                                                                                                                                                                                                                                                                                                                                                                                                                                                                     | LIBO                                                                                                                                                                                                                                                                                                                                                                                                                                                                                                                                                                                                                                                                                                                                                                                                                                                                                                                                                                                                                                                                                                                                                                                                                                                                                                                                                                                                                                                                                                                                                                                                                                                                                                          | LIBO                                                                                                                                                                                                                                                                                                                                                                                                                                                                                                                                                                                                                                                                                                                                                                                                                                                                                                                                                                                                              | LIBO                                                                                                                                                                                                                                                                                                                                                                                                                                                                                                                                                                                                                                                                                                                                                                                                                                                                                                                                                                                                                                           | LI E                                                                                                                                                                                                                                                                                                                                                                                                                                                                                                                                                                                                                                                                                                                                                                         |                                                                                                                                                                                                                                                                                                                                                                                                                                                                                                                                                                                                                                                                                                                                                                                                        | IBO III                                                                                                                                                                                                                                                                                                                                                                                                                                                                                                                                                                                 | LIBO                                                                                                                                                                                                                                                                                                                                                                                                                                                                                           | LIBO                                                                                                                                                                                                                                                                                                                                                                                                                                                                                                                         | LIBO                                                                                                                                                                                                                                                                                                                                                                                                                                                                                                                                                                                                           | LIBO                                                                                                                                                                                                                                                                                                                                                                                                                                                                                                                                                                                                                             | LIBO                         
                                                                                                                                                                                                                                                                                                                                                                                                                                                                                                                                                                                                                                                                                                                                                                                                                                                                                                                                                                                                                                                                                                                                                                                                                                                     | LIBO                                                                                                                                                                                                                                                                                                                                                                                                                                                                                                                                                                                                                                                                                                                                                                                                                                                                                                                                                                                                                                                                                                                                                                                                                                                                                                                                                                                                                                                                                                                                                                                                                                                                                                                                                                                                                                                                                                                                                                                                                                                                                                                           |                                                                                                                                                                                                                                                                                                                                                                                                                                                                                                                                                                                                                                                                                                                                                                                                                                                                                                                                                                                                                                                                                                                                                                                                                                                                                                                                                                                                                                                                                                                                                                                                                                                                                                                                                                                                                                                                                                                                                                                                                                                                                                                                | LIBO                                                                                                                                                                                                                                                                                                                                                                                                                                                                                                                                                                                                                                                                                                                                                                                                                                                                                                                                                                                                                                                                                                                                                                                                                                                                                                                                                                                                                                                                                                                                                                                                                                                                                                                                                                                      |                                                                                                                                                                                                                                                                                                                                                                                                                                                                                                                                                                                                                                                                                                                                                                                                                                                                                                                                                                                                                                                                                                                                                                                                                                                                                                                                                                                                                                                                                                                                                                                                                                                     | LIBO                                                                                                                                                                                                                                                                                                                                                                                                                                                                                                                                                                                                                                                                                                                                                                                                                                                                                                                                                                                                                                                                                                                                                                                                                                                                                                                                                                                                                                
                                                              | [B]                                                                                                                                                                                                                                                                                                                                                                                                                                                                                                                                                                                                                                                                                                                                                                                                                                                                                                                                                                                                                                                                                                                                                                                                                                                                                                                                                                                                                                                                                                                                                                                                                                                                                                                                                                                                                                                                                                                                                                                                                                                                                                                          | LIBO                                                                                                                                                                                                                                                                                                                                                                                                                                                                                                                                                                                                                                                                                                                                                                                                                                                                                                                                                                                                                                                                                                                                                                                                                                                                                                                                                                                                                                                                                                                                                                                                                                                                                                                                                                                                                                                                                                                                                                                                                                                                                                                         | LIBO                                                                                                                                                                                                                                                                                                                                                                                                                                                                                                                                                                                                                                                                                                                                                                                                                                                                                                                                                                                                                                                                                                                                                                                                                                                                                                                                                                                                                                                                                                                                                                                                                                                                                                                                                                                                                                                                                                                                                                                                                                                                                                                           | LIBO E                                                                                                                                                                                                                                                                                                                                                                                                                                                                                                                                                                                                                                                                                                                                                                                                                                                                                                                                                                                                                                                                                                                                                                                                                                                                                                                                                                                                                                                                                                                                                                                                                                                                                                                                                                                                                                                                                                                                                                                                                                                                                                                       | LIBO                                                                                             | LIBO                                                                                                                                                                                                                                                                                                                                                                                                                                                                                                                                                                                                                                                                                                                                                                                                                                                                                                                                                                                                                                                                                                                                                                                                                                                                                                                                                                                                                                                                                                                                                                                                                                                                                                          
                                                                                                                                                                                                                                                                                                                                                                                                             | LIBO                                                                                                                                                                                                                                                                                                                                                                                                                                                                                                                                                                                                                                                                                                                                                                                                                                                                                                                                                                                                                                                                                                                                                                                                                                                                                                                                                                                                                                                                                                                                                                                                                                                                                                                                                                                                                                                                                                                                                                                                                                                                                                                         | LBO                                                                                                                                                                                                                                                                                                                                                                                                                                                                                                                                                                                                                                                                                                                                                                                                                                                                                                                                                                                                                                                                                                                                                                                                                                                                                                                                                                                                                                                                                                                                                                                                                                                                                                                                                                                                                                                                                                                                                                                                                                                                                                                          | LIBO      | LIBO                                                                                                                                                                                                                                                                                                                                                                                                                                                                                                                                                                                                                                                                                                                                                                                                                                                                                                                                                                                                                                                                                                                                                                                                                                                                                                                                                                                                                                                                                                                                                                                                                                                                                                                                                                                                                                                                                                                                                                                                                                                                                                                         | B E                                                                                        | ПВО                                                                                                                                                                                                                                                                                                                                                                                                                                                                                                                                                                                                                                                                                                                                                                                                                                                                                                                                                                                                                                                                                                                                                                                                                                                                                                                                                                                                                                                                                                                                                                                                                                                                                                                                                                                                                                                                                                                                                                                                                                                                                                                         | LIBO                                                                                                  | I I I I I I I I I I I I I I I I I I I                                                                                                                                                                                                                                                                                                                                                                                                                                                                                                                                                                                                                                                                                                                                                                                                                                                                                                                                                                                                                                                                                                                                                                                                               
                                                                                                                                                                                                                                                                                                                                                                                                                                                                                                                                                                                                                                                                                                                                                                                                                                                                        | LIBO       | LIBO                                                                                                                                                                                                                                                                                                                                                                                                                                                                                                                                                                                                                                                                                                                                                                                                                                                                                                                                                                                                                                                                                                                                                                                                                                                                                                                                                                                                                                                                                                                                                                                                                                                                                                                                                                                                                                                                                                                                                                                                                                                                                                                        | LIBO                                                                                                                                                                                                                                                                                                                                                                                                                                                                                                                                                                                                                                                                                                                                                                                                                                                                                                                                                                                                                                                                                                                                                                                                                                                                                                                                                                                                                                                                                                                                                                                                                                                                                                                                                                                                                                                                                                                                                                                                                                                                                                                         | LIBO I                                                                                                                                                                                                                                                                                                                                                                                                                                                                                                                                                                                                                                                                                                                                                                                                                                                                                                                                                                                                                                                                                                                                                                                                                                                                                                                                                                                                                                                                                                                                                                                                                                                                                                                                                                                                                                                                                                                                                                                                                                                                                                                       |
| GEAN                                                                                                                                                                                                                                                                                                                                                                                                                                                                                                                                                                                                                                                                                                                                                                                                                                                                                                                                                                                                                                                                                                                                                                                                                                                                                                                                                                                                                                                                                                                                                                                                                                                                                                                                                                                                                                                                                                                                                                                                                                                                                                                         | GEAN                                                                                                                                                                                                                                                                                                                                                                                                                                                                                                                                                                                                                                                                                                                                                                                                                                                                                                                                                                                                                                                                                                                                                                                                                                                                                                                                                                                                                                                                                                                                                                                                                                                                                                                                                                                                                                                                                                                                                                                                                                                                                                                         | LON                                                                                                                                                                                                                                                                                                                                                                                                                                                                                                                                                                                                                                                                                                                                                                                                                                                                                                                                                                                                                                                                                                                                                                                                                                                                                                                                                                                                                                                                                                                                                                                                                                                                                                                                                                                                                                                                                                                                                                                                                                                                                                                          |                                                                                             | NON I                                                                                                                                                                                                                                                                                                                                                                                                                                                                                                                                                                                                                                                                                                                                                                                                                                                                                                                                                                                                                                                                                                                                                                                                                                                                                                                                                                                                                                                                                                                                                                                                                                                                                                                                                                                                                                                                                                                                                                                                                                                                                                                        | N<br>N                                                                                                                                                                                                                                                                                                                                                                                                                                                                                                                                                                                                                                                                                                                                                                                                                                                                                                                                                                                                                                                                                                                                                                                                                                                                                                                                                                                                                                                                                                                                                                                                                                                                                                                                                                             
                                                                                                                                                                                                                                                                                                                                         |                                                                                                                                                                                                                                                                                                                                                                                                                                                                                                                                                                                                                                                                                                                                                                                                                                                                                                                                                                                                                                                                                                                                                                                                                                                                                                                                                                                                                                                                                                                                                                                                                                                                                                                                                                                                                                                                                                                                                                                                                                                                                                                              | URNE                                                                                                                                                                                                                                                                                                                                                                                                                                                                                                                                                                                                                                                                                                                                                                                                                                                                                                                                                                                                                                                                                                                                                                                                                                                                                                                                                                                                                                                                                                                                                                                                                                                                                                                                                                                                                                                                                                                                                                                                                                                                                                                         | URNE                                                                                  | RNE                                                                                                                                                                                                                                                                                                                                                                                                                                                                                                                                                                                                                                                                                                                                                                                                                                                                                                                                                                                                                                                                                                                                                                                                                                                                                                                                                                                                                                                                                                                                                                                                                                                                                                                                                                                                                                                                                                                                                                                                                                                                                                                          | URNE                                                                                                                                                                                                                                                                                                                                                                                                                                                                                                                                                                                                                                                                                                                                                                                                                                                                                                                                                                                                                                                                                                                                                                                                                                                                                                                                                                                                                                                                                                                                                                                                                                                                                                                                                                                                                                                                                                                                                                                                                                                                                                                         | URNE                                                                                                                                                                                                                                                                                                                                                                                                                                                                                                                                                                                                                                                                                                                                                                                                                                                                                                                                                                                                                                                                                                                                                                                                                                                                                                                                                                                                                                            
                                                                                                                                                                                                                                                                                                                                                                                                                                                                                                                                                                                                                                                                           |                                                                                                                                                                                                                                                                                                                                                                                                                                                                                                                                                                                                                                                                                                                                                                                                                                                                                                                                                                                                                                                                                                                                                                                                                                                                                                                                                                                                                                                                                                                                                                                                                                                                                                                                                                                                                                                                                                                                                                                                                                                                                                                           | RNE                                                                                                                                                                                                                                                                                                                                                                                                                                                                                                                                                                                                                                                                                                                                                                                                                                                                                                                                                                                                                                                                                                                                                                                                                                                                                                                                                                                                                                                                                                                                                                                                                                                                                                                                                                                                                                                                                                                                                                                                                                                                                                                          | URNE                                                                                              | RNE                                                                                                                                                                                                                                                                                                                                                                                                                                                                                                                                                                                                                                                                                                                                                                                                                                                                                                                                                                                                                                                                                                                                                                                                                                                                                                                                                                                                                                                                                                                                                                                                                                                                                                                                                                                                                                                                                                                                                                                                                                                                                                                          | SE SE                                                                             |                                                                                                                                                                                                                                                                                                                                                                                                                                                                                                                                                                                                                                                                                                                                                                                                                                                                                                                                                                                                                                                                                                                                                                                                                                                                                                                                                                                                                                                                                                                                                                                                                                                                                                                                                                                                                                                                                                                                                                                                                                                                                                                              |                                                                                                                                                                                                                                                                                                                                                                                                                                                                                                                                                                                                                                                                                                                                                                                                                                                                                                                                                                                                                  
                                                                                                                                                                                                                                                                                                                                                                                                                                                                                                                                                                                                                                                                                                                                                                                                                                                                                                                                                                                                                                                                                                           | I RNE                                                                                                 | RI                                                                                                |                                                                                               |                                                                                                     | I S                                                                                                                                                                                                                                                                                                                                                                                                                                                                                                                                                                                                                                                                                                                                                                                                                                                                                                                                                                                                                                                                                                                                                                                                                                                                                                                                                                                                                                                                                                                                                                                                                                                                                                                                                                                                                                                                                                                                                                                                                                                                                                                       | UR NE                                                                                     | SRNE!                                                                                                                                                                                                                                                                                                                                                                                                                                                                                                                                                                                                                                                                                                                                                                                                                                                                                                                                                                                                                                                                                                                                                                                                                                                                                                                                                                                                                                                                                                                                                                                                                                                                                                                                                                                                                                                                                                                                                                                                                                                                                                                      |                                                                                                                                                                                                                                                                                                                                                                                                                                                                                                                                                                                                                                                                                                                                                                                                                                                                                                                                                                                                                                                                                                                                                                                                                                                                                                                                                                                                                                                                                                                                                                                                                                                                                                                                                                                                                                                                                                                                                                                                                                                                                                                                | I SE                                                                                                                                                                                                                                                                                                                                                                                                                                                                                                                                                                                                                                                                                                                                                                                                                                                                                                                                                                                                                                                                                                                                                                                                                                                                                                                                                                                                                                                                                                                                                                                                                                                                                                                                                                                                                                                                                                                                                                                                                                                                                                                          | IRNE                                                                                                                                                                                                                                                      
                                                                                                                                                                                                                                                                                                                                                                                                                                                                                                                                                                                                                                                                                                                                                                                                                                                                                                                                                                                                                                                                                                                                                                                                                                                                                                                                                                                                                                                                                                                                                                                                                                                                                                                                                                                                                                                                  | URNE                                                                                                                                                                                                                                                                                                                                                                                                                                                                                                                                                                                                                                                                                                                                                                                                                                                                                                                                                                                                                                                                                                                                                                                                                                                                                                                                                                                                                                                                                                                                                                                                                                                                                                                                                                                                                                                                                                                                                                                                                                                                                                                         | URNE I                                                                                                                                                                                                                                                                                                                                                                                                                                                                                                                                                                                                                                                                                                                                                                                                                                                                                                                                                                                                                                                                                                                                                                                                                                                                                                                                                                                                                                                                                                                                                                                                                                                                                                                                                                                                                                                                                                                                                                                                                                                                                                                         | URNE                                                                                                                                                                                                                                                                                                                                                                                                                                                                                                                                                                                                                                                                                                                                                                                                                                                                                                                                                                                                                                                                                                                                                                                                                                                                                                                                                                                                                                                                                                                                                                                                                                                                                                                                                                                                                                                                                                                                                                                                                                                                                                                           | SR RE                                                                                                                                                                                                                                                                                                                                                                                                                                                                                                                                                                                                                                                                                                                                                                                                                                                                                                                                                                                                                                                                                                                                                                                                                                                                                                                                                                                                                                                                                                                                                                                                                                                                                                                                                                                                                                                                                                                                                                                                                                                                                                                          | UR NE    
                                                                                                                                                                                                                                                                                                                                                                                                                                                                                                                                                                                                                                                                                                                                                                                                                                                                                                                                                                                                                                                                                                                                                                                                                                                                                                                                                                                                                                                                                                                                                                                                                                                                                                                                                                                                                                                                                                                                                                                                                                                                                                                     |                                                                                                                                                                                                                                                                                                                                                                                                                                                                                                                                                                                                                                                                                                                                                                                                                                                                                                                                                                                                                                                                                                                                                                                                                                                                                                                                                                                                                                                                                                                                                                                                                                                                                                               | URNE                                                                                                                                                                                                                                                                                                                                                                                                                                                                                                                                                                                                                                                                                                                                                                                                                                                                                                                                                                                                              | UR NE                                                                                                                                                                                                                                                                                                                                                                                                                                                                                                                                                                                                                                                                                                                                                                                                                                                                                                                                                                                                                                          |                                                                                                                                                                                                                                                                                                                                                                                                                                                                                                                                                                                                                                                                                                                                                                              |                                                                                                                                                                                                                                                                                                                                                                                                                                                                                                                                                                                                                                                                                                                                                                                                        | I SE                                                                                                                                                                                                                                                                                                                                                                                                                                                                                                                                                                                    | URNE                                                                                                                                                                                                                                                                                                                                                                                                                                                                                           | URNE<br>NE                                                                                                                                                                                                                                                                                                                                                                                                                                                                                                                   | URNE                                                                                                                                                                                                                                                                                                                                                                                                                                                                                                                                                                                                           | URNE<br>ENF                                                                                                                                                                                                                                                                                                                                                                                                                                                                                                                                                                                                                      | URNE                         
                                                                                                                                                                                                                                                                                                                                                                                                                                                                                                                                                                                                                                                                                                                                                                                                                                                                                                                                                                                                                                                                                                                                                                                                                                                     | URNE S                                                                                                                                                                                                                                                                                                                                                                                                                                                                                                                                                                                                                                                                                                                                                                                                                                                                                                                                                                                                                                                                                                                                                                                                                                                                                                                                                                                                                                                                                                                                                                                                                                                                                                                                                                                                                                                                                                                                                                                                                                                                                                                         | RNE                                                                                                                                                                                                                                                                                                                                                                                                                                                                                                                                                                                                                                                                                                                                                                                                                                                                                                                                                                                                                                                                                                                                                                                                                                                                                                                                                                                                                                                                                                                                                                                                                                                                                                                                                                                                                                                                                                                                                                                                                                                                                                                            | URNE                                                                                                                                                                                                                                                                                                                                                                                                                                                                                                                                                                                                                                                                                                                                                                                                                                                                                                                                                                                                                                                                                                                                                                                                                                                                                                                                                                                                                                                                                                                                                                                                                                                                                                                                                                                      |                                                                                                                                                                                                                                                                                                                                                                                                                                                                                                                                                                                                                                                                                                                                                                                                                                                                                                                                                                                                                                                                                                                                                                                                                                                                                                                                                                                                                                                                                                                                                                                                                                                     | URNE                                                                                                                                                                                                                                                                                                                                                                                                                                                                                                                                                                                                                                                                                                                                                                                                                                                                                                                                                                                                                                                                                                                                                                                                                                                                                                                                                                                                                                
                                                              |                                                                                                                                                                                                                                                                                                                                                                                                                                                                                                                                                                                                                                                                                                                                                                                                                                                                                                                                                                                                                                                                                                                                                                                                                                                                                                                                                                                                                                                                                                                                                                                                                                                                                                                                                                                                                                                                                                                                                                                                                                                                                                                              | RNE                                                                                                                                                                                                                                                                                                                                                                                                                                                                                                                                                                                                                                                                                                                                                                                                                                                                                                                                                                                                                                                                                                                                                                                                                                                                                                                                                                                                                                                                                                                                                                                                                                                                                                                                                                                                                                                                                                                                                                                                                                                                                                                          | URNE<br>NE                                                                                                                                                                                                                                                                                                                                                                                                                                                                                                                                                                                                                                                                                                                                                                                                                                                                                                                                                                                                                                                                                                                                                                                                                                                                                                                                                                                                                                                                                                                                                                                                                                                                                                                                                                                                                                                                                                                                                                                                                                                                                                                     | URNE I                                                                                                                                                                                                                                                                                                                                                                                                                                                                                                                                                                                                                                                                                                                                                                                                                                                                                                                                                                                                                                                                                                                                                                                                                                                                                                                                                                                                                                                                                                                                                                                                                                                                                                                                                                                                                                                                                                                                                                                                                                                                                                                       | RRNE                                                                                             | URNE                                                                                                                                                                                                                                                                                                                                                                                                                                                                                                                                                                                                                                                                                                                                                                                                                                                                                                                                                                                                                                                                                                                                                                                                                                                                                                                                                                                                                                                                                                                                                                                                                                                                                                          
                                                                                                                                                                                                                                                                                                                                                                                                             | URNE                                                                                                                                                                                                                                                                                                                                                                                                                                                                                                                                                                                                                                                                                                                                                                                                                                                                                                                                                                                                                                                                                                                                                                                                                                                                                                                                                                                                                                                                                                                                                                                                                                                                                                                                                                                                                                                                                                                                                                                                                                                                                                                         | RNE                                                                                                                                                                                                                                                                                                                                                                                                                                                                                                                                                                                                                                                                                                                                                                                                                                                                                                                                                                                                                                                                                                                                                                                                                                                                                                                                                                                                                                                                                                                                                                                                                                                                                                                                                                                                                                                                                                                                                                                                                                                                                                                          | URNE      | URNE                                                                                                                                                                                                                                                                                                                                                                                                                                                                                                                                                                                                                                                                                                                                                                                                                                                                                                                                                                                                                                                                                                                                                                                                                                                                                                                                                                                                                                                                                                                                                                                                                                                                                                                                                                                                                                                                                                                                                                                                                                                                                                                         |                                                                                            | UR NE                                                                                                                                                                                                                                                                                                                                                                                                                                                                                                                                                                                                                                                                                                                                                                                                                                                                                                                                                                                                                                                                                                                                                                                                                                                                                                                                                                                                                                                                                                                                                                                                                                                                                                                                                                                                                                                                                                                                                                                                                                                                                                                       | URNE                                                                                                  | R R                                                                                                                                                                                                                                                                                                                                                                                                                                                                                                                                                                                                                                                                                                                                                                                                                                                                                                                                                                                                                                                                                                                                                                                                                                                 
                                                                                                                                                                                                                                                                                                                                                                                                                                                                                                                                                                                                                                                                                                                                                                                                                                                                        | JRNE<br>E  | URNE                                                                                                                                                                                                                                                                                                                                                                                                                                                                                                                                                                                                                                                                                                                                                                                                                                                                                                                                                                                                                                                                                                                                                                                                                                                                                                                                                                                                                                                                                                                                                                                                                                                                                                                                                                                                                                                                                                                                                                                                                                                                                                                        | I RNE                                                                                                                                                                                                                                                                                                                                                                                                                                                                                                                                                                                                                                                                                                                                                                                                                                                                                                                                                                                                                                                                                                                                                                                                                                                                                                                                                                                                                                                                                                                                                                                                                                                                                                                                                                                                                                                                                                                                                                                                                                                                                                                        | JRNE                                                                                                                                                                                                                                                                                                                                                                                                                                                                                                                                                                                                                                                                                                                                                                                                                                                                                                                                                                                                                                                                                                                                                                                                                                                                                                                                                                                                                                                                                                                                                                                                                                                                                                                                                                                                                                                                                                                                                                                                                                                                                                                         | | | | | | |
|                                                                                                                                                                                                                                                                                                                                                                                                                                                                                                                                                                                                                                                                                                                                                                                                                                                                                                                                                                                                                                                                                                                                                                                                                                                                                                                                                                                                                                                                                                                                                                                                                                                                                                                                                                                                                                                                                                                                                                                                                                                                                                                              |                                                                                                                                                                                                                                                                                                                                                                                                                                                                                                                                                                                                                                                                                                                                                                                                                                                                                                                                                                                                                                                                                                                                                                                                                                                                                                                                                                                                                                                                                                                                                                                                                                                                                                                                                                                                                                                                                                                                                                                                                                                                                                                              |                                                                                                                                                                                                                                                                                                                                                                                                                                                                                                                                                                                                                                                                                                                                                                                                                                                                                                                                                                                                                                                                                                                                                                                                                                                                                                                                                                                                                                                                                                                                                                                                                                                                                                                                                                                                                                                                                                                                                                                                                                                                                                                              |                                                                                             |                                                                                                                                                                                                                                                                                                                                                                                                                                                                                                                                                                                                                                                                                                                                                                                                                                                                                                                                                                                                                                                                                                                                                                                                                                                                                                                                                                                                                                                                                                                                                                                                                                                                                                                                                                                                                                                                                                                                                                                                                                                                                                                              |                                                                                                                                                                                                                                                                                                                                                                                                                                                                                                                                                                                                                                                                                                                                                                                                                                                                                                                                                                                                                                                                                                                                                                                                                                                                                                                                                                                                                                                                                                                                                                                                                                                                                                                                                                                    
                                                                                                                                                                                                                                                                                                                                         |                                                                                                                                                                                                                                                                                                                                                                                                                                                                                                                                                                                                                                                                                                                                                                                                                                                                                                                                                                                                                                                                                                                                                                                                                                                                                                                                                                                                                                                                                                                                                                                                                                                                                                                                                                                                                                                                                                                                                                                                                                                                                                                              |                                                                                                                                                                                                                                                                                                                                                                                                                                                                                                                                                                                                                                                                                                                                                                                                                                                                                                                                                                                                                                                                                                                                                                                                                                                                                                                                                                                                                                                                                                                                                                                                                                                                                                                                                                                                                                                                                                                                                                                                                                                                                                                              |                                                                                       |                                                                                                                                                                                                                                                                                                                                                                                                                                                                                                                                                                                                                                                                                                                                                                                                                                                                                                                                                                                                                                                                                                                                                                                                                                                                                                                                                                                                                                                                                                                                                                                                                                                                                                                                                                                                                                                                                                                                                                                                                                                                                                                              |                                                                                                                                                                                                                                                                                                                                                                                                                                                                                                                                                                                                                                                                                                                                                                                                                                                                                                                                                                                                                                                                                                                                                                                                                                                                                                                                                                                                                                                                                                                                                                                                                                                                                                                                                                                                                                                                                                                                                                                                                                                                                                                              |                                                                                                                                                                                                                                                                                                                                                                                                                                                                                                                                                                                                                                                                                                                                                                                                                                                                                                                                                                                                                                                                                                                                                                                                                                                                                                                                                                                                                                                 
                                                                                                                                                                                                                                                                                                                                                                                                                                                                                                                                                                                                                                                                           |                                                                                                                                                                                                                                                                                                                                                                                                                                                                                                                                                                                                                                                                                                                                                                                                                                                                                                                                                                                                                                                                                                                                                                                                                                                                                                                                                                                                                                                                                                                                                                                                                                                                                                                                                                                                                                                                                                                                                                                                                                                                                                                           |                                                                                                                                                                                                                                                                                                                                                                                                                                                                                                                                                                                                                                                                                                                                                                                                                                                                                                                                                                                                                                                                                                                                                                                                                                                                                                                                                                                                                                                                                                                                                                                                                                                                                                                                                                                                                                                                                                                                                                                                                                                                                                                              |                                                                                                   |                                                                                                                                                                                                                                                                                                                                                                                                                                                                                                                                                                                                                                                                                                                                                                                                                                                                                                                                                                                                                                                                                                                                                                                                                                                                                                                                                                                                                                                                                                                                                                                                                                                                                                                                                                                                                                                                                                                                                                                                                                                                                                                              |                                                                                   |                                                                                                                                                                                                                                                                                                                                                                                                                                                                                                                                                                                                                                                                                                                                                                                                                                                                                                                                                                                                                                                                                                                                                                                                                                                                                                                                                                                                                                                                                                                                                                                                                                                                                                                                                                                                                                                                                                                                                                                                                                                                                                                              |                                                                                                                                                                                                                                                                                                                                                                                                                                                                                                                                                                                                                                                                                                                                                                                                                                                                                                                                                                                                                  
                                                                                                                                                                                                                                                                                                                                                                                                                                                                                                                                                                                                                                                                                                                                                                                                                                                                                                                                                                                                                                                                                                           |                                                                                                       |                                                                                                   |                                                                                               |                                                                                                     |                                                                                                                                                                                                                                                                                                                                                                                                                                                                                                                                                                                                                                                                                                                                                                                                                                                                                                                                                                                                                                                                                                                                                                                                                                                                                                                                                                                                                                                                                                                                                                                                                                                                                                                                                                                                                                                                                                                                                                                                                                                                                                                           |                                                                                           |                                                                                                                                                                                                                                                                                                                                                                                                                                                                                                                                                                                                                                                                                                                                                                                                                                                                                                                                                                                                                                                                                                                                                                                                                                                                                                                                                                                                                                                                                                                                                                                                                                                                                                                                                                                                                                                                                                                                                                                                                                                                                                                            |                                                                                                                                                                                                                                                                                                                                                                                                                                                                                                                                                                                                                                                                                                                                                                                                                                                                                                                                                                                                                                                                                                                                                                                                                                                                                                                                                                                                                                                                                                                                                                                                                                                                                                                                                                                                                                                                                                                                                                                                                                                                                                                                |                                                                                                                                                                                                                                                                                                                                                                                                                                                                                                                                                                                                                                                                                                                                                                                                                                                                                                                                                                                                                                                                                                                                                                                                                                                                                                                                                                                                                                                                                                                                                                                                                                                                                                                                                                                                                                                                                                                                                                                                                                                                                                                               |                                                                                                                                                                                                                                                           
                                                                                                                                                                                                                                                                                                                                                                                                                                                                                                                                                                                                                                                                                                                                                                                                                                                                                                                                                                                                                                                                                                                                                                                                                                                                                                                                                                                                                                                                                                                                                                                                                                                                                                                                                                                                                                                                  |                                                                                                                                                                                                                                                                                                                                                                                                                                                                                                                                                                                                                                                                                                                                                                                                                                                                                                                                                                                                                                                                                                                                                                                                                                                                                                                                                                                                                                                                                                                                                                                                                                                                                                                                                                                                                                                                                                                                                                                                                                                                                                                              |                                                                                                                                                                                                                                                                                                                                                                                                                                                                                                                                                                                                                                                                                                                                                                                                                                                                                                                                                                                                                                                                                                                                                                                                                                                                                                                                                                                                                                                                                                                                                                                                                                                                                                                                                                                                                                                                                                                                                                                                                                                                                                                                |                                                                                                                                                                                                                                                                                                                                                                                                                                                                                                                                                                                                                                                                                                                                                                                                                                                                                                                                                                                                                                                                                                                                                                                                                                                                                                                                                                                                                                                                                                                                                                                                                                                                                                                                                                                                                                                                                                                                                                                                                                                                                                                                |                                                                                                                                                                                                                                                                                                                                                                                                                                                                                                                                                                                                                                                                                                                                                                                                                                                                                                                                                                                                                                                                                                                                                                                                                                                                                                                                                                                                                                                                                                                                                                                                                                                                                                                                                                                                                                                                                                                                                                                                                                                                                                                                |          
                                                                                                                                                                                                                                                                                                                                                                                                                                                                                                                                                                                                                                                                                                                                                                                                                                                                                                                                                                                                                                                                                                                                                                                                                                                                                                                                                                                                                                                                                                                                                                                                                                                                                                                                                                                                                                                                                                                                                                                                                                                                                                                     |                                                                                                                                                                                                                                                                                                                                                                                                                                                                                                                                                                                                                                                                                                                                                                                                                                                                                                                                                                                                                                                                                                                                                                                                                                                                                                                                                                                                                                                                                                                                                                                                                                                                                                               |                                                                                                                                                                                                                                                                                                                                                                                                                                                                                                                                                                                                                                                                                                                                                                                                                                                                                                                                                                                                                   |                                                                                                                                                                                                                                                                                                                                                                                                                                                                                                                                                                                                                                                                                                                                                                                                                                                                                                                                                                                                                                                |                                                                                                                                                                                                                                                                                                                                                                                                                                                                                                                                                                                                                                                                                                                                                                              |                                                                                                                                                                                                                                                                                                                                                                                                                                                                                                                                                                                                                                                                                                                                                                                                        |                                                                                                                                                                                                                                                                                                                                                                                                                                                                                                                                                                                         |                                                                                                                                                                                                                                                                                                                                                                                                                                                                                                |                                                                                                                                                                                                                                                                                                                                                                                                                                                                                                                              |                                                                                                                                                                                                                                                                                                                                                                                                                                                                                                                                                                                                                |                                                                                                                                                                                                                                                                                                                                                                                                                                                                                                                                                                                                                                  |                              
                                                                                                                                                                                                                                                                                                                                                                                                                                                                                                                                                                                                                                                                                                                                                                                                                                                                                                                                                                                                                                                                                                                                                                                                                                                     |                                                                                                                                                                                                                                                                                                                                                                                                                                                                                                                                                                                                                                                                                                                                                                                                                                                                                                                                                                                                                                                                                                                                                                                                                                                                                                                                                                                                                                                                                                                                                                                                                                                                                                                                                                                                                                                                                                                                                                                                                                                                                                                                |                                                                                                                                                                                                                                                                                                                                                                                                                                                                                                                                                                                                                                                                                                                                                                                                                                                                                                                                                                                                                                                                                                                                                                                                                                                                                                                                                                                                                                                                                                                                                                                                                                                                                                                                                                                                                                                                                                                                                                                                                                                                                                                                |                                                                                                                                                                                                                                                                                                                                                                                                                                                                                                                                                                                                                                                                                                                                                                                                                                                                                                                                                                                                                                                                                                                                                                                                                                                                                                                                                                                                                                                                                                                                                                                                                                                                                                                                                                                           |                                                                                                                                                                                                                                                                                                                                                                                                                                                                                                                                                                                                                                                                                                                                                                                                                                                                                                                                                                                                                                                                                                                                                                                                                                                                                                                                                                                                                                                                                                                                                                                                                                                     |                                                                                                                                                                                                                                                                                                                                                                                                                                                                                                                                                                                                                                                                                                                                                                                                                                                                                                                                                                                                                                                                                                                                                                                                                                                                                                                                                                                                                                     
                                                              |                                                                                                                                                                                                                                                                                                                                                                                                                                                                                                                                                                                                                                                                                                                                                                                                                                                                                                                                                                                                                                                                                                                                                                                                                                                                                                                                                                                                                                                                                                                                                                                                                                                                                                                                                                                                                                                                                                                                                                                                                                                                                                                              |                                                                                                                                                                                                                                                                                                                                                                                                                                                                                                                                                                                                                                                                                                                                                                                                                                                                                                                                                                                                                                                                                                                                                                                                                                                                                                                                                                                                                                                                                                                                                                                                                                                                                                                                                                                                                                                                                                                                                                                                                                                                                                                              |                                                                                                                                                                                                                                                                                                                                                                                                                                                                                                                                                                                                                                                                                                                                                                                                                                                                                                                                                                                                                                                                                                                                                                                                                                                                                                                                                                                                                                                                                                                                                                                                                                                                                                                                                                                                                                                                                                                                                                                                                                                                                                                                |                                                                                                                                                                                                                                                                                                                                                                                                                                                                                                                                                                                                                                                                                                                                                                                                                                                                                                                                                                                                                                                                                                                                                                                                                                                                                                                                                                                                                                                                                                                                                                                                                                                                                                                                                                                                                                                                                                                                                                                                                                                                                                                              |                                                                                                  |                                                                                                                                                                                                                                                                                                                                                                                                                                                                                                                                                                                                                                                                                                                                                                                                                                                                                                                                                                                                                                                                                                                                                                                                                                                                                                                                                                                                                                                                                                                                                                                                                                                                                                               
                                                                                                                                                                                                                                                                                                                                                                                                             |                                                                                                                                                                                                                                                                                                                                                                                                                                                                                                                                                                                                                                                                                                                                                                                                                                                                                                                                                                                                                                                                                                                                                                                                                                                                                                                                                                                                                                                                                                                                                                                                                                                                                                                                                                                                                                                                                                                                                                                                                                                                                                                              |                                                                                                                                                                                                                                                                                                                                                                                                                                                                                                                                                                                                                                                                                                                                                                                                                                                                                                                                                                                                                                                                                                                                                                                                                                                                                                                                                                                                                                                                                                                                                                                                                                                                                                                                                                                                                                                                                                                                                                                                                                                                                                                              |           |                                                                                                                                                                                                                                                                                                                                                                                                                                                                                                                                                                                                                                                                                                                                                                                                                                                                                                                                                                                                                                                                                                                                                                                                                                                                                                                                                                                                                                                                                                                                                                                                                                                                                                                                                                                                                                                                                                                                                                                                                                                                                                                              |                                                                                            |                                                                                                                                                                                                                                                                                                                                                                                                                                                                                                                                                                                                                                                                                                                                                                                                                                                                                                                                                                                                                                                                                                                                                                                                                                                                                                                                                                                                                                                                                                                                                                                                                                                                                                                                                                                                                                                                                                                                                                                                                                                                                                                             |                                                                                                       |                                                                                                                                                                                                                                                                                                                                                                                                                                                                                                                                                                                                                                                                                                                                                                                                                                                                                                                                                                                                                                                                                                                                                                                                                                                     
                                                                                                                                                                                                                                                                                                                                                                                                                                                                                                                                                                                                                                                                                                                                                                                                                                                                        |            |                                                                                                                                                                                                                                                                                                                                                                                                                                                                                                                                                                                                                                                                                                                                                                                                                                                                                                                                                                                                                                                                                                                                                                                                                                                                                                                                                                                                                                                                                                                                                                                                                                                                                                                                                                                                                                                                                                                                                                                                                                                                                                                             |                                                                                                                                                                                                                                                                                                                                                                                                                                                                                                                                                                                                                                                                                                                                                                                                                                                                                                                                                                                                                                                                                                                                                                                                                                                                                                                                                                                                                                                                                                                                                                                                                                                                                                                                                                                                                                                                                                                                                                                                                                                                                                                              |                                                                                                                                                                                                                                                                                                                                                                                                                                                                                                                                                                                                                                                                                                                                                                                                                                                                                                                                                                                                                                                                                                                                                                                                                                                                                                                                                                                                                                                                                                                                                                                                                                                                                                                                                                                                                                                                                                                                                                                                                                                                                                                              |
|                                                                                                                                                                                                                                                                                                                                                                                                                                                                                                                                                                                                                                                                                                                                                                                                                                                                                                                                                                                                                                                                                                                                                                                                                                                                                                                                                                                                                                                                                                                                                                                                                                                                                                                                                                                                                                                                                                                                                                                                                                                                                                                              |                                                                                                                                                                                                                                                                                                                                                                                                                                                                                                                                                                                                                                                                                                                                                                                                                                                                                                                                                                                                                                                                                                                                                                                                                                                                                                                                                                                                                                                                                                                                                                                                                                                                                                                                                                                                                                                                                                                                                                                                                                                                                                                              |                                                                                                                                                                                                                                                                                                                                                                                                                                                                                                                                                                                                                                                                                                                                                                                                                                                                                                                                                                                                                                                                                                                                                                                                                                                                                                                                                                                                                                                                                                                                                                                                                                                                                                                                                                                                                                                                                                                                                                                                                                                                                                                              |                                                                                             |                                                                                                                                                                                                                                                                                                                                                                                                                                                                                                                                                                                                                                                                                                                                                                                                                                                                                                                                                                                                                                                                                                                                                                                                                                                                                                                                                                                                                                                                                                                                                                                                                                                                                                                                                                                                                                                                                                                                                                                                                                                                                                                              |                                                                                                                                                                                                                                                                                                                                                                                                                                                                                                                                                                                                                                                                                                                                                                                                                                                                                                                                                                                                                                                                                                                                                                                                                                                                                                                                                                                                                                                                                                                                                                                                                                                                                                                                                                                    
                                                                                                                                                                                                                                                                                                                                         |                                                                                                                                                                                                                                                                                                                                                                                                                                                                                                                                                                                                                                                                                                                                                                                                                                                                                                                                                                                                                                                                                                                                                                                                                                                                                                                                                                                                                                                                                                                                                                                                                                                                                                                                                                                                                                                                                                                                                                                                                                                                                                                              |                                                                                                                                                                                                                                                                                                                                                                                                                                                                                                                                                                                                                                                                                                                                                                                                                                                                                                                                                                                                                                                                                                                                                                                                                                                                                                                                                                                                                                                                                                                                                                                                                                                                                                                                                                                                                                                                                                                                                                                                                                                                                                                              |                                                                                       |                                                                                                                                                                                                                                                                                                                                                                                                                                                                                                                                                                                                                                                                                                                                                                                                                                                                                                                                                                                                                                                                                                                                                                                                                                                                                                                                                                                                                                                                                                                                                                                                                                                                                                                                                                                                                                                                                                                                                                                                                                                                                                                              |                                                                                                                                                                                                                                                                                                                                                                                                                                                                                                                                                                                                                                                                                                                                                                                                                                                                                                                                                                                                                                                                                                                                                                                                                                                                                                                                                                                                                                                                                                                                                                                                                                                                                                                                                                                                                                                                                                                                                                                                                                                                                                                              |                                                                                                                                                                                                                                                                                                                                                                                                                                                                                                                                                                                                                                                                                                                                                                                                                                                                                                                                                                                                                                                                                                                                                                                                                                                                                                                                                                                                                                                 
                                                                                                                                                                                                                                                                                                                                                                                                                                                                                                                                                                                                                                                                           |                                                                                                                                                                                                                                                                                                                                                                                                                                                                                                                                                                                                                                                                                                                                                                                                                                                                                                                                                                                                                                                                                                                                                                                                                                                                                                                                                                                                                                                                                                                                                                                                                                                                                                                                                                                                                                                                                                                                                                                                                                                                                                                           |                                                                                                                                                                                                                                                                                                                                                                                                                                                                                                                                                                                                                                                                                                                                                                                                                                                                                                                                                                                                                                                                                                                                                                                                                                                                                                                                                                                                                                                                                                                                                                                                                                                                                                                                                                                                                                                                                                                                                                                                                                                                                                                              |                                                                                                   |                                                                                                                                                                                                                                                                                                                                                                                                                                                                                                                                                                                                                                                                                                                                                                                                                                                                                                                                                                                                                                                                                                                                                                                                                                                                                                                                                                                                                                                                                                                                                                                                                                                                                                                                                                                                                                                                                                                                                                                                                                                                                                                              |                                                                                   |                                                                                                                                                                                                                                                                                                                                                                                                                                                                                                                                                                                                                                                                                                                                                                                                                                                                                                                                                                                                                                                                                                                                                                                                                                                                                                                                                                                                                                                                                                                                                                                                                                                                                                                                                                                                                                                                                                                                                                                                                                                                                                                              |                                                                                                                                                                                                                                                                                                                                                                                                                                                                                                                                                                                                                                                                                                                                                                                                                                                                                                                                                                                                                  
                                                                                                                                                                                                                                                                                                                                                                                                                                                                                                                                                                                                                                                                                                                                                                                                                                                                                                                                                                                                                                                                                                           |                                                                                                       |                                                                                                   |                                                                                               |                                                                                                     |                                                                                                                                                                                                                                                                                                                                                                                                                                                                                                                                                                                                                                                                                                                                                                                                                                                                                                                                                                                                                                                                                                                                                                                                                                                                                                                                                                                                                                                                                                                                                                                                                                                                                                                                                                                                                                                                                                                                                                                                                                                                                                                           |                                                                                           |                                                                                                                                                                                                                                                                                                                                                                                                                                                                                                                                                                                                                                                                                                                                                                                                                                                                                                                                                                                                                                                                                                                                                                                                                                                                                                                                                                                                                                                                                                                                                                                                                                                                                                                                                                                                                                                                                                                                                                                                                                                                                                                            |                                                                                                                                                                                                                                                                                                                                                                                                                                                                                                                                                                                                                                                                                                                                                                                                                                                                                                                                                                                                                                                                                                                                                                                                                                                                                                                                                                                                                                                                                                                                                                                                                                                                                                                                                                                                                                                                                                                                                                                                                                                                                                                                |                                                                                                                                                                                                                                                                                                                                                                                                                                                                                                                                                                                                                                                                                                                                                                                                                                                                                                                                                                                                                                                                                                                                                                                                                                                                                                                                                                                                                                                                                                                                                                                                                                                                                                                                                                                                                                                                                                                                                                                                                                                                                                                               |                                                                                                                                                                                                                                                           
                                                                                                                                                                                                                                                                                                                                                                                                                                                                                                                                                                                                                                                                                                                                                                                                                                                                                                                                                                                                                                                                                                                                                                                                                                                                                                                                                                                                                                                                                                                                                                                                                                                                                                                                                                                                                                                                  |                                                                                                                                                                                                                                                                                                                                                                                                                                                                                                                                                                                                                                                                                                                                                                                                                                                                                                                                                                                                                                                                                                                                                                                                                                                                                                                                                                                                                                                                                                                                                                                                                                                                                                                                                                                                                                                                                                                                                                                                                                                                                                                              |                                                                                                                                                                                                                                                                                                                                                                                                                                                                                                                                                                                                                                                                                                                                                                                                                                                                                                                                                                                                                                                                                                                                                                                                                                                                                                                                                                                                                                                                                                                                                                                                                                                                                                                                                                                                                                                                                                                                                                                                                                                                                                                                |                                                                                                                                                                                                                                                                                                                                                                                                                                                                                                                                                                                                                                                                                                                                                                                                                                                                                                                                                                                                                                                                                                                                                                                                                                                                                                                                                                                                                                                                                                                                                                                                                                                                                                                                                                                                                                                                                                                                                                                                                                                                                                                                |                                                                                                                                                                                                                                                                                                                                                                                                                                                                                                                                                                                                                                                                                                                                                                                                                                                                                                                                                                                                                                                                                                                                                                                                                                                                                                                                                                                                                                                                                                                                                                                                                                                                                                                                                                                                                                                                                                                                                                                                                                                                                                                                |          
                                                                                                                                                                                                                                                                                                                                                                                                                                                                                                                                                                                                                                                                                                                                                                                                                                                                                                                                                                                                                                                                                                                                                                                                                                                                                                                                                                                                                                                                                                                                                                                                                                                                                                                                                                                                                                                                                                                                                                                                                                                                                                                     |                                                                                                                                                                                                                                                                                                                                                                                                                                                                                                                                                                                                                                                                                                                                                                                                                                                                                                                                                                                                                                                                                                                                                                                                                                                                                                                                                                                                                                                                                                                                                                                                                                                                                                               |                                                                                                                                                                                                                                                                                                                                                                                                                                                                                                                                                                                                                                                                                                                                                                                                                                                                                                                                                                                                                   |                                                                                                                                                                                                                                                                                                                                                                                                                                                                                                                                                                                                                                                                                                                                                                                                                                                                                                                                                                                                                                                |                                                                                                                                                                                                                                                                                                                                                                                                                                                                                                                                                                                                                                                                                                                                                                              |                                                                                                                                                                                                                                                                                                                                                                                                                                                                                                                                                                                                                                                                                                                                                                                                        |                                                                                                                                                                                                                                                                                                                                                                                                                                                                                                                                                                                         |                                                                                                                                                                                                                                                                                                                                                                                                                                                                                                |                                                                                                                                                                                                                                                                                                                                                                                                                                                                                                                              |                                                                                                                                                                                                                                                                                                                                                                                                                                                                                                                                                                                                                |                                                                                                                                                                                                                                                                                                                                                                                                                                                                                                                                                                                                                                  |                              
                                                                                                                                                                                                                                                                                                                                                                                                                                                                                                                                                                                                                                                                                                                                                                                                                                                                                                                                                                                                                                                                                                                                                                                                                                                     |                                                                                                                                                                                                                                                                                                                                                                                                                                                                                                                                                                                                                                                                                                                                                                                                                                                                                                                                                                                                                                                                                                                                                                                                                                                                                                                                                                                                                                                                                                                                                                                                                                                                                                                                                                                                                                                                                                                                                                                                                                                                                                                                |                                                                                                                                                                                                                                                                                                                                                                                                                                                                                                                                                                                                                                                                                                                                                                                                                                                                                                                                                                                                                                                                                                                                                                                                                                                                                                                                                                                                                                                                                                                                                                                                                                                                                                                                                                                                                                                                                                                                                                                                                                                                                                                                |                                                                                                                                                                                                                                                                                                                                                                                                                                                                                                                                                                                                                                                                                                                                                                                                                                                                                                                                                                                                                                                                                                                                                                                                                                                                                                                                                                                                                                                                                                                                                                                                                                                                                                                                                                                           |                                                                                                                                                                                                                                                                                                                                                                                                                                                                                                                                                                                                                                                                                                                                                                                                                                                                                                                                                                                                                                                                                                                                                                                                                                                                                                                                                                                                                                                                                                                                                                                                                                                     |                                                                                                                                                                                                                                                                                                                                                                                                                                                                                                                                                                                                                                                                                                                                                                                                                                                                                                                                                                                                                                                                                                                                                                                                                                                                                                                                                                                                                                     
                                                              |                                                                                                                                                                                                                                                                                                                                                                                                                                                                                                                                                                                                                                                                                                                                                                                                                                                                                                                                                                                                                                                                                                                                                                                                                                                                                                                                                                                                                                                                                                                                                                                                                                                                                                                                                                                                                                                                                                                                                                                                                                                                                                                              |                                                                                                                                                                                                                                                                                                                                                                                                                                                                                                                                                                                                                                                                                                                                                                                                                                                                                                                                                                                                                                                                                                                                                                                                                                                                                                                                                                                                                                                                                                                                                                                                                                                                                                                                                                                                                                                                                                                                                                                                                                                                                                                              |                                                                                                                                                                                                                                                                                                                                                                                                                                                                                                                                                                                                                                                                                                                                                                                                                                                                                                                                                                                                                                                                                                                                                                                                                                                                                                                                                                                                                                                                                                                                                                                                                                                                                                                                                                                                                                                                                                                                                                                                                                                                                                                                |                                                                                                                                                                                                                                                                                                                                                                                                                                                                                                                                                                                                                                                                                                                                                                                                                                                                                                                                                                                                                                                                                                                                                                                                                                                                                                                                                                                                                                                                                                                                                                                                                                                                                                                                                                                                                                                                                                                                                                                                                                                                                                                              |                                                                                                  |                                                                                                                                                                                                                                                                                                                                                                                                                                                                                                                                                                                                                                                                                                                                                                                                                                                                                                                                                                                                                                                                                                                                                                                                                                                                                                                                                                                                                                                                                                                                                                                                                                                                                                               
                                                                                                                                                                                                                                                                                                                                                                                                             |                                                                                                                                                                                                                                                                                                                                                                                                                                                                                                                                                                                                                                                                                                                                                                                                                                                                                                                                                                                                                                                                                                                                                                                                                                                                                                                                                                                                                                                                                                                                                                                                                                                                                                                                                                                                                                                                                                                                                                                                                                                                                                                              |                                                                                                                                                                                                                                                                                                                                                                                                                                                                                                                                                                                                                                                                                                                                                                                                                                                                                                                                                                                                                                                                                                                                                                                                                                                                                                                                                                                                                                                                                                                                                                                                                                                                                                                                                                                                                                                                                                                                                                                                                                                                                                                              |           |                                                                                                                                                                                                                                                                                                                                                                                                                                                                                                                                                                                                                                                                                                                                                                                                                                                                                                                                                                                                                                                                                                                                                                                                                                                                                                                                                                                                                                                                                                                                                                                                                                                                                                                                                                                                                                                                                                                                                                                                                                                                                                                              |                                                                                            |                                                                                                                                                                                                                                                                                                                                                                                                                                                                                                                                                                                                                                                                                                                                                                                                                                                                                                                                                                                                                                                                                                                                                                                                                                                                                                                                                                                                                                                                                                                                                                                                                                                                                                                                                                                                                                                                                                                                                                                                                                                                                                                             |                                                                                                       |                                                                                                                                                                                                                                                                                                                                                                                                                                                                                                                                                                                                                                                                                                                                                                                                                                                                                                                                                                                                                                                                                                                                                                                                                                                     
                                                                                                                                                                                                                                                                                                                                                                                                                                                                                                                                                                                                                                                                                                                                                                                                                                                                        |            |                                                                                                                                                                                                                                                                                                                                                                                                                                                                                                                                                                                                                                                                                                                                                                                                                                                                                                                                                                                                                                                                                                                                                                                                                                                                                                                                                                                                                                                                                                                                                                                                                                                                                                                                                                                                                                                                                                                                                                                                                                                                                                                             |                                                                                                                                                                                                                                                                                                                                                                                                                                                                                                                                                                                                                                                                                                                                                                                                                                                                                                                                                                                                                                                                                                                                                                                                                                                                                                                                                                                                                                                                                                                                                                                                                                                                                                                                                                                                                                                                                                                                                                                                                                                                                                                              |                                                                                                                                                                                                                                                                                                                                                                                                                                                                                                                                                                                                                                                                                                                                                                                                                                                                                                                                                                                                                                                                                                                                                                                                                                                                                                                                                                                                                                                                                                                                                                                                                                                                                                                                                                                                                                                                                                                                                                                                                                                                                                                              |
|                                                                                                                                                                                                                                                                                                                                                                                                                                                                                                                                                                                                                                                                                                                                                                                                                                                                                                                                                                                                                                                                                                                                                                                                                                                                                                                                                                                                                                                                                                                                                                                                                                                                                                                                                                                                                                                                                                                                                                                                                                                                                                                              | 7 I TO                                                                                                                                                                                                                                                                                                                                                                                                                                                                                                                                                                                                                                                                                                                                                                                                                                                                                                                                                                                                                                                                                                                                                                                                                                                                                                                                                                                                                                                                                                                                                                                                                                                                                                                                                                                                                                                                                                                                                                                                                                                                                                                       | M CE                                                                                                                                                                                                                                                                                                                                                                                                                                                                                                                                                                                                                                                                                                                                                                                                                                                                                                                                                                                                                                                                                                                                                                                                                                                                                                                                                                                                                                                                                                                                                                                                                                                                                                                                                                                                                                                                                                                                                                                                                                                                                                                         | M M                                                                                         | MPH                                                                                                                                                                                                                                                                                                                                                                                                                                                                                                                                                                                                                                                                                                                                                                                                                                                                                                                                                                                                                                                                                                                                                                                                                                                                                                                                                                                                                                                                                                                                                                                                                                                                                                                                                                                                                                                                                                                                                                                                                                                                                                                          | M<br>P                                                                                                                                                                                                                                                                                                                                                                                                                                                                                                                                                                                                                                                                                                                                                                                                                                                                                                                                                                                                                                                                                                                                                                                                                                                                                                                                                                                                                                                                                                                                                                                                                                                                                                                                                                             
                                                                                                                                                                                                                                                                                                                                         | SCIS                                                                                                                                                                                                                                                                                                                                                                                                                                                                                                                                                                                                                                                                                                                                                                                                                                                                                                                                                                                                                                                                                                                                                                                                                                                                                                                                                                                                                                                                                                                                                                                                                                                                                                                                                                                                                                                                                                                                                                                                                                                                                                                         | 3300                                                                                                                                                                                                                                                                                                                                                                                                                                                                                                                                                                                                                                                                                                                                                                                                                                                                                                                                                                                                                                                                                                                                                                                                                                                                                                                                                                                                                                                                                                                                                                                                                                                                                                                                                                                                                                                                                                                                                                                                                                                                                                                         | ASS /                                                                                 | ASS /                                                                                                                                                                                                                                                                                                                                                                                                                                                                                                                                                                                                                                                                                                                                                                                                                                                                                                                                                                                                                                                                                                                                                                                                                                                                                                                                                                                                                                                                                                                                                                                                                                                                                                                                                                                                                                                                                                                                                                                                                                                                                                                        | ASS /                                                                                                                                                                                                                                                                                                                                                                                                                                                                                                                                                                                                                                                                                                                                                                                                                                                                                                                                                                                                                                                                                                                                                                                                                                                                                                                                                                                                                                                                                                                                                                                                                                                                                                                                                                                                                                                                                                                                                                                                                                                                                                                        | ASS /                                                                                                                                                                                                                                                                                                                                                                                                                                                                                                                                                                                                                                                                                                                                                                                                                                                                                                                                                                                                                                                                                                                                                                                                                                                                                                                                                                                                                                           
                                                                                                                                                                                                                                                                                                                                                                                                                                                                                                                                                                                                                                                                           | ASS /                                                                                                                                                                                                                                                                                                                                                                                                                                                                                                                                                                                                                                                                                                                                                                                                                                                                                                                                                                                                                                                                                                                                                                                                                                                                                                                                                                                                                                                                                                                                                                                                                                                                                                                                                                                                                                                                                                                                                                                                                                                                                                                     | ASS (                                                                                                                                                                                                                                                                                                                                                                                                                                                                                                                                                                                                                                                                                                                                                                                                                                                                                                                                                                                                                                                                                                                                                                                                                                                                                                                                                                                                                                                                                                                                                                                                                                                                                                                                                                                                                                                                                                                                                                                                                                                                                                                        | ASS (                                                                                             | ASS (                                                                                                                                                                                                                                                                                                                                                                                                                                                                                                                                                                                                                                                                                                                                                                                                                                                                                                                                                                                                                                                                                                                                                                                                                                                                                                                                                                                                                                                                                                                                                                                                                                                                                                                                                                                                                                                                                                                                                                                                                                                                                                                        | ASS [                                                                             | ASS                                                                                                                                                                                                                                                                                                                                                                                                                                                                                                                                                                                                                                                                                                                                                                                                                                                                                                                                                                                                                                                                                                                                                                                                                                                                                                                                                                                                                                                                                                                                                                                                                                                                                                                                                                                                                                                                                                                                                                                                                                                                                                                          | ASS [                                                                                                                                                                                                                                                                                                                                                                                                                                                                                                                                                                                                                                                                                                                                                                                                                                                                                                                                                                                                            
                                                                                                                                                                                                                                                                                                                                                                                                                                                                                                                                                                                                                                                                                                                                                                                                                                                                                                                                                                                                                                                                                                           | ASS [                                                                                                 | ASS [                                                                                             | ASS [                                                                                         | ∠ا د                                                                                                | SIS                                                                                                                                                                                                                                                                                                                                                                                                                                                                                                                                                                                                                                                                                                                                                                                                                                                                                                                                                                                                                                                                                                                                                                                                                                                                                                                                                                                                                                                                                                                                                                                                                                                                                                                                                                                                                                                                                                                                                                                                                                                                                                                       | ASS (                                                                                     | ASS I                                                                                                                                                                                                                                                                                                                                                                                                                                                                                                                                                                                                                                                                                                                                                                                                                                                                                                                                                                                                                                                                                                                                                                                                                                                                                                                                                                                                                                                                                                                                                                                                                                                                                                                                                                                                                                                                                                                                                                                                                                                                                                                      | ASS                                                                                                                                                                                                                                                                                                                                                                                                                                                                                                                                                                                                                                                                                                                                                                                                                                                                                                                                                                                                                                                                                                                                                                                                                                                                                                                                                                                                                                                                                                                                                                                                                                                                                                                                                                                                                                                                                                                                                                                                                                                                                                                            | ASS L                                                                                                                                                                                                                                                                                                                                                                                                                                                                                                                                                                                                                                                                                                                                                                                                                                                                                                                                                                                                                                                                                                                                                                                                                                                                                                                                                                                                                                                                                                                                                                                                                                                                                                                                                                                                                                                                                                                                                                                                                                                                                                                         | ASS N                                                                                                                                                                                                                                                     
                                                                                                                                                                                                                                                                                                                                                                                                                                                                                                                                                                                                                                                                                                                                                                                                                                                                                                                                                                                                                                                                                                                                                                                                                                                                                                                                                                                                                                                                                                                                                                                                                                                                                                                                                                                                                                                                  | ASSO                                                                                                                                                                                                                                                                                                                                                                                                                                                                                                                                                                                                                                                                                                                                                                                                                                                                                                                                                                                                                                                                                                                                                                                                                                                                                                                                                                                                                                                                                                                                                                                                                                                                                                                                                                                                                                                                                                                                                                                                                                                                                                                         | ASSO                                                                                                                                                                                                                                                                                                                                                                                                                                                                                                                                                                                                                                                                                                                                                                                                                                                                                                                                                                                                                                                                                                                                                                                                                                                                                                                                                                                                                                                                                                                                                                                                                                                                                                                                                                                                                                                                                                                                                                                                                                                                                                                           | ASSO                                                                                                                                                                                                                                                                                                                                                                                                                                                                                                                                                                                                                                                                                                                                                                                                                                                                                                                                                                                                                                                                                                                                                                                                                                                                                                                                                                                                                                                                                                                                                                                                                                                                                                                                                                                                                                                                                                                                                                                                                                                                                                                           | ASSO                                                                                                                                                                                                                                                                                                                                                                                                                                                                                                                                                                                                                                                                                                                                                                                                                                                                                                                                                                                                                                                                                                                                                                                                                                                                                                                                                                                                                                                                                                                                                                                                                                                                                                                                                                                                                                                                                                                                                                                                                                                                                                                           | ASS S    
                                                                                                                                                                                                                                                                                                                                                                                                                                                                                                                                                                                                                                                                                                                                                                                                                                                                                                                                                                                                                                                                                                                                                                                                                                                                                                                                                                                                                                                                                                                                                                                                                                                                                                                                                                                                                                                                                                                                                                                                                                                                                                                     | ASS (                                                                                                                                                                                                                                                                                                                                                                                                                                                                                                                                                                                                                                                                                                                                                                                                                                                                                                                                                                                                                                                                                                                                                                                                                                                                                                                                                                                                                                                                                                                                                                                                                                                                                                         | EPA I                                                                                                                                                                                                                                                                                                                                                                                                                                                                                                                                                                                                                                                                                                                                                                                                                                                                                                                                                                                                             | EPA I                                                                                                                                                                                                                                                                                                                                                                                                                                                                                                                                                                                                                                                                                                                                                                                                                                                                                                                                                                                                                                          | EPA I                                                                                                                                                                                                                                                                                                                                                                                                                                                                                                                                                                                                                                                                                                                                                                        |                                                                                                                                                                                                                                                                                                                                                                                                                                                                                                                                                                                                                                                                                                                                                                                                        | I I                                                                                                                                                                                                                                                                                                                                                                                                                                                                                                                                                                                     | EURL                                                                                                                                                                                                                                                                                                                                                                                                                                                                                           | GCS (                                                                                                                                                                                                                                                                                                                                                                                                                                                                                                                        | GFA I                                                                                                                                                                                                                                                                                                                                                                                                                                                                                                                                                                                                          | GFA                                                                                                                                                                                                                                                                                                                                                                                                                                                                                                                                                                                                                              | TSNI                         
                                                                                                                                                                                                                                                                                                                                                                                                                                                                                                                                                                                                                                                                                                                                                                                                                                                                                                                                                                                                                                                                                                                                                                                                                                                     | INST                                                                                                                                                                                                                                                                                                                                                                                                                                                                                                                                                                                                                                                                                                                                                                                                                                                                                                                                                                                                                                                                                                                                                                                                                                                                                                                                                                                                                                                                                                                                                                                                                                                                                                                                                                                                                                                                                                                                                                                                                                                                                                                           | INSTI                                                                                                                                                                                                                                                                                                                                                                                                                                                                                                                                                                                                                                                                                                                                                                                                                                                                                                                                                                                                                                                                                                                                                                                                                                                                                                                                                                                                                                                                                                                                                                                                                                                                                                                                                                                                                                                                                                                                                                                                                                                                                                                          | LA JA                                                                                                                                                                                                                                                                                                                                                                                                                                                                                                                                                                                                                                                                                                                                                                                                                                                                                                                                                                                                                                                                                                                                                                                                                                                                                                                                                                                                                                                                                                                                                                                                                                                                                                                                                                                     | SCID                                                                                                                                                                                                                                                                                                                                                                                                                                                                                                                                                                                                                                                                                                                                                                                                                                                                                                                                                                                                                                                                                                                                                                                                                                                                                                                                                                                                                                                                                                                                                                                                                                                | SCI D                                                                                                                                                                                                                                                                                                                                                                                                                                                                                                                                                                                                                                                                                                                                                                                                                                                                                                                                                                                                                                                                                                                                                                                                                                                                                                                                                                                                                               
                                                              | SCID                                                                                                                                                                                                                                                                                                                                                                                                                                                                                                                                                                                                                                                                                                                                                                                                                                                                                                                                                                                                                                                                                                                                                                                                                                                                                                                                                                                                                                                                                                                                                                                                                                                                                                                                                                                                                                                                                                                                                                                                                                                                                                                         | SCID                                                                                                                                                                                                                                                                                                                                                                                                                                                                                                                                                                                                                                                                                                                                                                                                                                                                                                                                                                                                                                                                                                                                                                                                                                                                                                                                                                                                                                                                                                                                                                                                                                                                                                                                                                                                                                                                                                                                                                                                                                                                                                                         | SCI D                                                                                                                                                                                                                                                                                                                                                                                                                                                                                                                                                                                                                                                                                                                                                                                                                                                                                                                                                                                                                                                                                                                                                                                                                                                                                                                                                                                                                                                                                                                                                                                                                                                                                                                                                                                                                                                                                                                                                                                                                                                                                                                          | SCID                                                                                                                                                                                                                                                                                                                                                                                                                                                                                                                                                                                                                                                                                                                                                                                                                                                                                                                                                                                                                                                                                                                                                                                                                                                                                                                                                                                                                                                                                                                                                                                                                                                                                                                                                                                                                                                                                                                                                                                                                                                                                                                         | SCID                                                                                             | SCI E                                                                                                                                                                                                                                                                                                                                                                                                                                                                                                                                                                                                                                                                                                                                                                                                                                                                                                                                                                                                                                                                                                                                                                                                                                                                                                                                                                                                                                                                                                                                                                                                                                                                                                         
                                                                                                                                                                                                                                                                                                                                                                                                             | SCIE                                                                                                                                                                                                                                                                                                                                                                                                                                                                                                                                                                                                                                                                                                                                                                                                                                                                                                                                                                                                                                                                                                                                                                                                                                                                                                                                                                                                                                                                                                                                                                                                                                                                                                                                                                                                                                                                                                                                                                                                                                                                                                                         | SCI G                                                                                                                                                                                                                                                                                                                                                                                                                                                                                                                                                                                                                                                                                                                                                                                                                                                                                                                                                                                                                                                                                                                                                                                                                                                                                                                                                                                                                                                                                                                                                                                                                                                                                                                                                                                                                                                                                                                                                                                                                                                                                                                        | SCI G     | SCI G                                                                                                                                                                                                                                                                                                                                                                                                                                                                                                                                                                                                                                                                                                                                                                                                                                                                                                                                                                                                                                                                                                                                                                                                                                                                                                                                                                                                                                                                                                                                                                                                                                                                                                                                                                                                                                                                                                                                                                                                                                                                                                                        | H DS                                                                                       | SCI H                                                                                                                                                                                                                                                                                                                                                                                                                                                                                                                                                                                                                                                                                                                                                                                                                                                                                                                                                                                                                                                                                                                                                                                                                                                                                                                                                                                                                                                                                                                                                                                                                                                                                                                                                                                                                                                                                                                                                                                                                                                                                                                       | SCI H                                                                                                 |                                                                                                                                                                                                                                                                                                                                                                                                                                                                                                                                                                                                                                                                                                                                                                                                                                                                                                                                                                                                                                                                                                                                                                                                                                                     
                                                                                                                                                                                                                                                                                                                                                                                                                                                                                                                                                                                                                                                                                                                                                                                                                                                                        | SCLIC      | SCIL                                                                                                                                                                                                                                                                                                                                                                                                                                                                                                                                                                                                                                                                                                                                                                                                                                                                                                                                                                                                                                                                                                                                                                                                                                                                                                                                                                                                                                                                                                                                                                                                                                                                                                                                                                                                                                                                                                                                                                                                                                                                                                                        | SOL                                                                                                                                                                                                                                                                                                                                                                                                                                                                                                                                                                                                                                                                                                                                                                                                                                                                                                                                                                                                                                                                                                                                                                                                                                                                                                                                                                                                                                                                                                                                                                                                                                                                                                                                                                                                                                                                                                                                                                                                                                                                                                                          | SCILL                                                                                                                                                                                                                                                                                                                                                                                                                                                                                                                                                                                                                                                                                                                                                                                                                                                                                                                                                                                                                                                                                                                                                                                                                                                                                                                                                                                                                                                                                                                                                                                                                                                                                                                                                                                                                                                                                                                                                                                                                                                                                                                        |
| N-M                                                                                                                                                                                                                                                                                                                                                                                                                                                                                                                                                                                                                                                                                                                                                                                                                                                                                                                                                                                                                                                                                                                                                                                                                                                                                                                                                                                                                                                                                                                                                                                                                                                                                                                                                                                                                                                                                                                                                                                                                                                                                                                          |                                                                                                                                                                                                                                                                                                                                                                                                                                                                                                                                                                                                                                                                                                                                                                                                                                                                                                                                                                                                                                                                                                                                                                                                                                                                                                                                                                                                                                                                                                                                                                                                                                                                                                                                                                                                                                                                                                                                                                                                                                                                                                                              | DRIC                                                                                                                                                                                                                                                                                                                                                                                                                                                                                                                                                                                                                                                                                                                                                                                                                                                                                                                                                                                                                                                                                                                                                                                                                                                                                                                                                                                                                                                                                                                                                                                                                                                                                                                                                                                                                                                                                                                                                                                                                                                                                                                         |                                                                                             | ILIPPI                                                                                                                                                                                                                                                                                                                                                                                                                                                                                                                                                                                                                                                                                                                                                                                                                                                                                                                                                                                                                                                                                                                                                                                                                                                                                                                                                                                                                                                                                                                                                                                                                                                                                                                                                                                                                                                                                                                                                                                                                                                                                                                       |                                                                                                                                                                                                                                                                                                                                                                                                                                                                                                                                                                                                                                                                                                                                                                                                                                                                                                                                                                                                                                                                                                                                                                                                                                                                                                                                                                                                                                                                                                                                                                                                                                                                                                                                                                                    
                                                                                                                                                                                                                                                                                                                                         |                                                                                                                                                                                                                                                                                                                                                                                                                                                                                                                                                                                                                                                                                                                                                                                                                                                                                                                                                                                                                                                                                                                                                                                                                                                                                                                                                                                                                                                                                                                                                                                                                                                                                                                                                                                                                                                                                                                                                                                                                                                                                                                              | 000PE                                                                                                                                                                                                                                                                                                                                                                                                                                                                                                                                                                                                                                                                                                                                                                                                                                                                                                                                                                                                                                                                                                                                                                                                                                                                                                                                                                                                                                                                                                                                                                                                                                                                                                                                                                                                                                                                                                                                                                                                                                                                                                                        | ESIO                                                                                  | MIS                                                                                                                                                                                                                                                                                                                                                                                                                                                                                                                                                                                                                                                                                                                                                                                                                                                                                                                                                                                                                                                                                                                                                                                                                                                                                                                                                                                                                                                                                                                                                                                                                                                                                                                                                                                                                                                                                                                                                                                                                                                                                                                          | NIS I                                                                                                                                                                                                                                                                                                                                                                                                                                                                                                                                                                                                                                                                                                                                                                                                                                                                                                                                                                                                                                                                                                                                                                                                                                                                                                                                                                                                                                                                                                                                                                                                                                                                                                                                                                                                                                                                                                                                                                                                                                                                                                                        | MIS                                                                                                                                                                                                                                                                                                                                                                                                                                                                                                                                                                                                                                                                                                                                                                                                                                                                                                                                                                                                                                                                                                                                                                                                                                                                                                                                                                                                                                             
                                                                                                                                                                                                                                                                                                                                                                                                                                                                                                                                                                                                                                                                           | NIS I                                                                                                                                                                                                                                                                                                                                                                                                                                                                                                                                                                                                                                                                                                                                                                                                                                                                                                                                                                                                                                                                                                                                                                                                                                                                                                                                                                                                                                                                                                                                                                                                                                                                                                                                                                                                                                                                                                                                                                                                                                                                                                                     | MO                                                                                                                                                                                                                                                                                                                                                                                                                                                                                                                                                                                                                                                                                                                                                                                                                                                                                                                                                                                                                                                                                                                                                                                                                                                                                                                                                                                                                                                                                                                                                                                                                                                                                                                                                                                                                                                                                                                                                                                                                                                                                                                           | ONG                                                                                               | ISNO                                                                                                                                                                                                                                                                                                                                                                                                                                                                                                                                                                                                                                                                                                                                                                                                                                                                                                                                                                                                                                                                                                                                                                                                                                                                                                                                                                                                                                                                                                                                                                                                                                                                                                                                                                                                                                                                                                                                                                                                                                                                                                                         | E S                                                                               |                                                                                                                                                                                                                                                                                                                                                                                                                                                                                                                                                                                                                                                                                                                                                                                                                                                                                                                                                                                                                                                                                                                                                                                                                                                                                                                                                                                                                                                                                                                                                                                                                                                                                                                                                                                                                                                                                                                                                                                                                                                                                                                              | | | | |
                                                                                                                                                                                                                                                                                                                                                                                                                                                                                                                                                                                                                                                                                                                                                                                                                                                                                                                                                                                                                                                                                                           | E LA                                                                                                  | E LA                                                                                              | E LA                                                                                          |                                                                                                     | ED O                                                                                                                                                                                                                                                                                                                                                                                                                                                                                                                                                                                                                                                                                                                                                                                                                                                                                                                                                                                                                                                                                                                                                                                                                                                                                                                                                                                                                                                                                                                                                                                                                                                                                                                                                                                                                                                                                                                                                                                                                                                                                                                      | RANI                                                                                      |                                                                                                                                                                                                                                                                                                                                                                                                                                                                                                                                                                                                                                                                                                                                                                                                                                                                                                                                                                                                                                                                                                                                                                                                                                                                                                                                                                                                                                                                                                                                                                                                                                                                                                                                                                                                                                                                                                                                                                                                                                                                                                                            | NSTIT                                                                                                                                                                                                                                                                                                                                                                                                                                                                                                                                                                                                                                                                                                                                                                                                                                                                                                                                                                                                                                                                                                                                                                                                                                                                                                                                                                                                                                                                                                                                                                                                                                                                                                                                                                                                                                                                                                                                                                                                                                                                                                                          | 2 2                                                                                                                                                                                                                                                                                                                                                                                                                                                                                                                                                                                                                                                                                                                                                                                                                                                                                                                                                                                                                                                                                                                                                                                                                                                                                                                                                                                                                                                                                                                                                                                                                                                                                                                                                                                                                                                                                                                                                                                                                                                                                                                           |                                                                                                                                                                                                                                                           
                                                                                                                                                                                                                                                                                                                                                                                                                                                                                                                                                                                                                                                                                                                                                                                                                                                                                                                                                                                                                                                                                                                                                                                                                                                                                                                                                                                                                                                                                                                                                                                                                                                                                                                                                                                                                                                                  | CAT!                                                                                                                                                                                                                                                                                                                                                                                                                                                                                                                                                                                                                                                                                                                                                                                                                                                                                                                                                                                                                                                                                                                                                                                                                                                                                                                                                                                                                                                                                                                                                                                                                                                                                                                                                                                                                                                                                                                                                                                                                                                                                                                         |                                                                                                                                                                                                                                                                                                                                                                                                                                                                                                                                                                                                                                                                                                                                                                                                                                                                                                                                                                                                                                                                                                                                                                                                                                                                                                                                                                                                                                                                                                                                                                                                                                                                                                                                                                                                                                                                                                                                                                                                                                                                                                                                |                                                                                                                                                                                                                                                                                                                                                                                                                                                                                                                                                                                                                                                                                                                                                                                                                                                                                                                                                                                                                                                                                                                                                                                                                                                                                                                                                                                                                                                                                                                                                                                                                                                                                                                                                                                                                                                                                                                                                                                                                                                                                                                                | GAT                                                                                                                                                                                                                                                                                                                                                                                                                                                                                                                                                                                                                                                                                                                                                                                                                                                                                                                                                                                                                                                                                                                                                                                                                                                                                                                                                                                                                                                                                                                                                                                                                                                                                                                                                                                                                                                                                                                                                                                                                                                                                                                            |          
                                                                                                                                                                                                                                                                                                                                                                                                                                                                                                                                                                                                                                                                                                                                                                                                                                                                                                                                                                                                                                                                                                                                                                                                                                                                                                                                                                                                                                                                                                                                                                                                                                                                                                                                                                                                                                                                                                                                                                                                                                                                                                                     |                                                                                                                                                                                                                                                                                                                                                                                                                                                                                                                                                                                                                                                                                                                                                                                                                                                                                                                                                                                                                                                                                                                                                                                                                                                                                                                                                                                                                                                                                                                                                                                                                                                                                                               | MAISC                                                                                                                                                                                                                                                                                                                                                                                                                                                                                                                                                                                                                                                                                                                                                                                                                                                                                                                                                                                                             | MAISC                                                                                                                                                                                                                                                                                                                                                                                                                                                                                                                                                                                                                                                                                                                                                                                                                                                                                                                                                                                                                                          | MAISC                                                                                                                                                                                                                                                                                                                                                                                                                                                                                                                                                                                                                                                                                                                                                                        | ETABL                                                                                                                                                                                                                                                                                                                                                                                                                                                                                                                                                                                                                                                                                                                                                                                                  | GRO                                                                                                                                                                                                                                                                                                                                                                                                                                                                                                                                                                                     | DARI                                                                                                                                                                                                                                                                                                                                                                                                                                                                                           | 3 535                                                                                                                                                                                                                                                                                                                                                                                                                                                                                                                        | RAN                                                                                                                                                                                                                                                                                                                                                                                                                                                                                                                                                                                                            | GEAC<br>TEAC                                                                                                                                                                                                                                                                                                                                                                                                                                                                                                                                                                                                                     |                              
                                                                                                                                                                                                                                                                                                                                                                                                                                                                                                                                                                                                                                                                                                                                                                                                                                                                                                                                                                                                                                                                                                                                                                                                                                                     |                                                                                                                                                                                                                                                                                                                                                                                                                                                                                                                                                                                                                                                                                                                                                                                                                                                                                                                                                                                                                                                                                                                                                                                                                                                                                                                                                                                                                                                                                                                                                                                                                                                                                                                                                                                                                                                                                                                                                                                                                                                                                                                                |                                                                                                                                                                                                                                                                                                                                                                                                                                                                                                                                                                                                                                                                                                                                                                                                                                                                                                                                                                                                                                                                                                                                                                                                                                                                                                                                                                                                                                                                                                                                                                                                                                                                                                                                                                                                                                                                                                                                                                                                                                                                                                                                | ROUS                                                                                                                                                                                                                                                                                                                                                                                                                                                                                                                                                                                                                                                                                                                                                                                                                                                                                                                                                                                                                                                                                                                                                                                                                                                                                                                                                                                                                                                                                                                                                                                                                                                                                                                                                                                      | U 145                                                                                                                                                                                                                                                                                                                                                                                                                                                                                                                                                                                                                                                                                                                                                                                                                                                                                                                                                                                                                                                                                                                                                                                                                                                                                                                                                                                                                                                                                                                                                                                                                                               | U 56                                                                                                                                                                                                                                                                                                                                                                                                                                                                                                                                                                                                                                                                                                                                                                                                                                                                                                                                                                                                                                                                                                                                                                                                                                                                                                                                                                                                                                
                                                              | 0.56                                                                                                                                                                                                                                                                                                                                                                                                                                                                                                                                                                                                                                                                                                                                                                                                                                                                                                                                                                                                                                                                                                                                                                                                                                                                                                                                                                                                                                                                                                                                                                                                                                                                                                                                                                                                                                                                                                                                                                                                                                                                                                                         | U 83                                                                                                                                                                                                                                                                                                                                                                                                                                                                                                                                                                                                                                                                                                                                                                                                                                                                                                                                                                                                                                                                                                                                                                                                                                                                                                                                                                                                                                                                                                                                                                                                                                                                                                                                                                                                                                                                                                                                                                                                                                                                                                                         | 0 86                                                                                                                                                                                                                                                                                                                                                                                                                                                                                                                                                                                                                                                                                                                                                                                                                                                                                                                                                                                                                                                                                                                                                                                                                                                                                                                                                                                                                                                                                                                                                                                                                                                                                                                                                                                                                                                                                                                                                                                                                                                                                                                           | 되                                                                                                                                                                                                                                                                                                                                                                                                                                                                                                                                                                                                                                                                                                                                                                                                                                                                                                                                                                                                                                                                                                                                                                                                                                                                                                                                                                                                                                                                                                                                                                                                                                                                                                                                                                                                                                                                                                                                                                                                                                                                                                                            | 5  2<br>  2                                                                                      | | |
                                                                                                                                                                                                                                                                                                                                                                                                             | VZELI                                                                                                                                                                                                                                                                                                                                                                                                                                                                                                                                                                                                                                                                                                                                                                                                                                                                                                                                                                                                                                                                                                                                                                                                                                                                                                                                                                                                                                                                                                                                                                                                                                                                                                                                                                                                                                                                                                                                                                                                                                                                                                                        | REG I                                                                                                                                                                                                                                                                                                                                                                                                                                                                                                                                                                                                                                                                                                                                                                                                                                                                                                                                                                                                                                                                                                                                                                                                                                                                                                                                                                                                                                                                                                                                                                                                                                                                                                                                                                                                                                                                                                                                                                                                                                                                                                                        |           | Ar An                                                                                                                                                                                                                                                                                                                                                                                                                                                                                                                                                                                                                                                                                                                                                                                                                                                                                                                                                                                                                                                                                                                                                                                                                                                                                                                                                                                                                                                                                                                                                                                                                                                                                                                                                                                                                                                                                                                                                                                                                                                                                                                        | AUT F                                                                                      | EN                                                                                                                                                                                                                                                                                                                                                                                                                                                                                                                                                                                                                                                                                                                                                                                                                                                                                                                                                                                                                                                                                                                                                                                                                                                                                                                                                                                                                                                                                                                                                                                                                                                                                                                                                                                                                                                                                                                                                                                                                                                                                                                          | INGAI                                                                                                 |                                                                                                                                                                                                                                                                                                                                                                                                                                                                                                                                                                                                                                                                                                                                                                                                                                                                                                                                                                                                                                                                                                                                                                                                                                                     
                                                                                                                                                                                                                                                                                                                                                                                                                                                                                                                                                                                                                                                                                                                                                                                                                                                                        | ETA        | GAR                                                                                                                                                                                                                                                                                                                                                                                                                                                                                                                                                                                                                                                                                                                                                                                                                                                                                                                                                                                                                                                                                                                                                                                                                                                                                                                                                                                                                                                                                                                                                                                                                                                                                                                                                                                                                                                                                                                                                                                                                                                                                                                         | URE                                                                                                                                                                                                                                                                                                                                                                                                                                                                                                                                                                                                                                                                                                                                                                                                                                                                                                                                                                                                                                                                                                                                                                                                                                                                                                                                                                                                                                                                                                                                                                                                                                                                                                                                                                                                                                                                                                                                                                                                                                                                                                                          | S MC                                                                                                                                                                                                                                                                                                                                                                                                                                                                                                                                                                                                                                                                                                                                                                                                                                                                                                                                                                                                                                                                                                                                                                                                                                                                                                                                                                                                                                                                                                                                                                                                                                                                                                                                                                                                                                                                                                                                                                                                                                                                                                                         |
| ARIE I                                                                                                                                                                                                                                                                                                                                                                                                                                                                                                                                                                                                                                                                                                                                                                                                                                                                                                                                                                                                                                                                                                                                                                                                                                                                                                                                                                                                                                                                                                                                                                                                                                                                                                                                                                                                                                                                                                                                                                                                                                                                                                                       | ROLL                                                                                                                                                                                                                                                                                                                                                                                                                                                                                                                                                                                                                                                                                                                                                                                                                                                                                                                                                                                                                                                                                                                                                                                                                                                                                                                                                                                                                                                                                                                                                                                                                                                                                                                                                                                                                                                                                                                                                                                                                                                                                                                         | MARI                                                                                                                                                                                                                                                                                                                                                                                                                                                                                                                                                                                                                                                                                                                                                                                                                                                                                                                                                                                                                                                                                                                                                                                                                                                                                                                                                                                                                                                                                                                                                                                                                                                                                                                                                                                                                                                                                                                                                                                                                                                                                                                         |                                                                                             | E DUB                                                                                                                                                                                                                                                                                                                                                                                                                                                                                                                                                                                                                                                                                                                                                                                                                                                                                                                                                                                                                                                                                                                                                                                                                                                                                                                                                                                                                                                                                                                                                                                                                                                                                                                                                                                                                                                                                                                                                                                                                                                                                                                        | BUB                                                                                                                                                                                                                                                                                                                                                                                                                                                                                                                                                                                                                                                                                                                                                                                                                                                                                                                                                                                                                                                                                                                                                                                                                                                                                                                                                                                                                                                                                                                                                                                                                                                                                                                                                                                
                                                                                                                                                                                                                                                                                                                                         |                                                                                                                                                                                                                                                                                                                                                                                                                                                                                                                                                                                                                                                                                                                                                                                                                                                                                                                                                                                                                                                                                                                                                                                                                                                                                                                                                                                                                                                                                                                                                                                                                                                                                                                                                                                                                                                                                                                                                                                                                                                                                                                              | BJCG8                                                                                                                                                                                                                                                                                                                                                                                                                                                                                                                                                                                                                                                                                                                                                                                                                                                                                                                                                                                                                                                                                                                                                                                                                                                                                                                                                                                                                                                                                                                                                                                                                                                                                                                                                                                                                                                                                                                                                                                                                                                                                                                        | MUT                                                                                   | M ARE                                                                                                                                                                                                                                                                                                                                                                                                                                                                                                                                                                                                                                                                                                                                                                                                                                                                                                                                                                                                                                                                                                                                                                                                                                                                                                                                                                                                                                                                                                                                                                                                                                                                                                                                                                                                                                                                                                                                                                                                                                                                                                                        | AREN                                                                                                                                                                                                                                                                                                                                                                                                                                                                                                                                                                                                                                                                                                                                                                                                                                                                                                                                                                                                                                                                                                                                                                                                                                                                                                                                                                                                                                                                                                                                                                                                                                                                                                                                                                                                                                                                                                                                                                                                                                                                                                                         | AREN                                                                                                                                                                                                                                                                                                                                                                                                                                                                                                                                                                                                                                                                                                                                                                                                                                                                                                                                                                                                                                                                                                                                                                                                                                                                                                                                                                                                                                            
                                                                                                                                                                                                                                                                                                                                                                                                                                                                                                                                                                                                                                                                           | ARE                                                                                                                                                                                                                                                                                                                                                                                                                                                                                                                                                                                                                                                                                                                                                                                                                                                                                                                                                                                                                                                                                                                                                                                                                                                                                                                                                                                                                                                                                                                                                                                                                                                                                                                                                                                                                                                                                                                                                                                                                                                                                                                       | E ME                                                                                                                                                                                                                                                                                                                                                                                                                                                                                                                                                                                                                                                                                                                                                                                                                                                                                                                                                                                                                                                                                                                                                                                                                                                                                                                                                                                                                                                                                                                                                                                                                                                                                                                                                                                                                                                                                                                                                                                                                                                                                                                         | REGA:                                                                                             | STOR                                                                                                                                                                                                                                                                                                                                                                                                                                                                                                                                                                                                                                                                                                                                                                                                                                                                                                                                                                                                                                                                                                                                                                                                                                                                                                                                                                                                                                                                                                                                                                                                                                                                                                                                                                                                                                                                                                                                                                                                                                                                                                                         |                                                                                   |                                                                                                                                                                                                                                                                                                                                                                                                                                                                                                                                                                                                                                                                                                                                                                                                                                                                                                                                                                                                                                                                                                                                                                                                                                                                                                                                                                                                                                                                                                                                                                                                                                                                                                                                                                                                                                                                                                                                                                                                                                                                                                                              |                                                                                                                                                                                                                                                                                                                                                                                                                                                                                                                                                                                                                                                                                                                                                                                                                                                                                                                                                                                                                  
                                                                                                                                                                                                                                                                                                                                                                                                                                                                                                                                                                                                                                                                                                                                                                                                                                                                                                                                                                                                                                                                                                           | REE                                                                                                   | RUE                                                                                               |                                                                                               |                                                                                                     |                                                                                                                                                                                                                                                                                                                                                                                                                                                                                                                                                                                                                                                                                                                                                                                                                                                                                                                                                                                                                                                                                                                                                                                                                                                                                                                                                                                                                                                                                                                                                                                                                                                                                                                                                                                                                                                                                                                                                                                                                                                                                                                           | <br> K                                                                                    |                                                                                                                                                                                                                                                                                                                                                                                                                                                                                                                                                                                                                                                                                                                                                                                                                                                                                                                                                                                                                                                                                                                                                                                                                                                                                                                                                                                                                                                                                                                                                                                                                                                                                                                                                                                                                                                                                                                                                                                                                                                                                                                            |                                                                                                                                                                                                                                                                                                                                                                                                                                                                                                                                                                                                                                                                                                                                                                                                                                                                                                                                                                                                                                                                                                                                                                                                                                                                                                                                                                                                                                                                                                                                                                                                                                                                                                                                                                                                                                                                                                                                                                                                                                                                                                                                | E DES                                                                                                                                                                                                                                                                                                                                                                                                                                                                                                                                                                                                                                                                                                                                                                                                                                                                                                                                                                                                                                                                                                                                                                                                                                                                                                                                                                                                                                                                                                                                                                                                                                                                                                                                                                                                                                                                                                                                                                                                                                                                                                                         | ALITE                                                                                                                                                                                                                                                     
                                                                                                                                                                                                                                                                                                                                                                                                                                                                                                                                                                                                                                                                                                                                                                                                                                                                                                                                                                                                                                                                                                                                                                                                                                                                                                                                                                                                                                                                                                                                                                                                                                                                                                                                                                                                                                                                  | ON D                                                                                                                                                                                                                                                                                                                                                                                                                                                                                                                                                                                                                                                                                                                                                                                                                                                                                                                                                                                                                                                                                                                                                                                                                                                                                                                                                                                                                                                                                                                                                                                                                                                                                                                                                                                                                                                                                                                                                                                                                                                                                                                         |                                                                                                                                                                                                                                                                                                                                                                                                                                                                                                                                                                                                                                                                                                                                                                                                                                                                                                                                                                                                                                                                                                                                                                                                                                                                                                                                                                                                                                                                                                                                                                                                                                                                                                                                                                                                                                                                                                                                                                                                                                                                                                                                |                                                                                                                                                                                                                                                                                                                                                                                                                                                                                                                                                                                                                                                                                                                                                                                                                                                                                                                                                                                                                                                                                                                                                                                                                                                                                                                                                                                                                                                                                                                                                                                                                                                                                                                                                                                                                                                                                                                                                                                                                                                                                                                                | S PE                                                                                                                                                                                                                                                                                                                                                                                                                                                                                                                                                                                                                                                                                                                                                                                                                                                                                                                                                                                                                                                                                                                                                                                                                                                                                                                                                                                                                                                                                                                                                                                                                                                                                                                                                                                                                                                                                                                                                                                                                                                                                                                           | TE SAI   
                                                                                                                                                                                                                                                                                                                                                                                                                                                                                                                                                                                                                                                                                                                                                                                                                                                                                                                                                                                                                                                                                                                                                                                                                                                                                                                                                                                                                                                                                                                                                                                                                                                                                                                                                                                                                                                                                                                                                                                                                                                                                                                     | DEP                                                                                                                                                                                                                                                                                                                                                                                                                                                                                                                                                                                                                                                                                                                                                                                                                                                                                                                                                                                                                                                                                                                                                                                                                                                                                                                                                                                                                                                                                                                                                                                                                                                                                                           | N D E                                                                                                                                                                                                                                                                                                                                                                                                                                                                                                                                                                                                                                                                                                                                                                                                                                                                                                                                                                                                             | N D E                                                                                                                                                                                                                                                                                                                                                                                                                                                                                                                                                                                                                                                                                                                                                                                                                                                                                                                                                                                                                                          |                                                                                                                                                                                                                                                                                                                                                                                                                                                                                                                                                                                                                                                                                                                                                                              | ISSEN                                                                                                                                                                                                                                                                                                                                                                                                                                                                                                                                                                                                                                                                                                                                                                                                  | E E                                                                                                                                                                                                                                                                                                                                                                                                                                                                                                                                                                                     | NN                                                                                                                                                                                                                                                                                                                                                                                                                                                                                             |                                                                                                                                                                                                                                                                                                                                                                                                                                                                                                                              | C SIOC                                                                                                                                                                                                                                                                                                                                                                                                                                                                                                                                                                                                         | HATE.                                                                                                                                                                                                                                                                                                                                                                                                                                                                                                                                                                                                                            | 30RD                         
                                                                                                                                                                                                                                                                                                                                                                                                                                                                                                                                                                                                                                                                                                                                                                                                                                                                                                                                                                                                                                                                                                                                                                                                                                                     | SRD S                                                                                                                                                                                                                                                                                                                                                                                                                                                                                                                                                                                                                                                                                                                                                                                                                                                                                                                                                                                                                                                                                                                                                                                                                                                                                                                                                                                                                                                                                                                                                                                                                                                                                                                                                                                                                                                                                                                                                                                                                                                                                                                          |                                                                                                                                                                                                                                                                                                                                                                                                                                                                                                                                                                                                                                                                                                                                                                                                                                                                                                                                                                                                                                                                                                                                                                                                                                                                                                                                                                                                                                                                                                                                                                                                                                                                                                                                                                                                                                                                                                                                                                                                                                                                                                                                | SE                                                                                                                                                                                                                                                                                                                                                                                                                                                                                                                                                                                                                                                                                                                                                                                                                                                                                                                                                                                                                                                                                                                                                                                                                                                                                                                                                                                                                                                                                                                                                                                                                                                                                                                                                                                        | AV G                                                                                                                                                                                                                                                                                                                                                                                                                                                                                                                                                                                                                                                                                                                                                                                                                                                                                                                                                                                                                                                                                                                                                                                                                                                                                                                                                                                                                                                                                                                                                                                                                                                | RUED                                                                                                                                                                                                                                                                                                                                                                                                                                                                                                                                                                                                                                                                                                                                                                                                                                                                                                                                                                                                                                                                                                                                                                                                                                                                                                                                                                                                                                
                                                              |                                                                                                                                                                                                                                                                                                                                                                                                                                                                                                                                                                                                                                                                                                                                                                                                                                                                                                                                                                                                                                                                                                                                                                                                                                                                                                                                                                                                                                                                                                                                                                                                                                                                                                                                                                                                                                                                                                                                                                                                                                                                                                                              | RUEG                                                                                                                                                                                                                                                                                                                                                                                                                                                                                                                                                                                                                                                                                                                                                                                                                                                                                                                                                                                                                                                                                                                                                                                                                                                                                                                                                                                                                                                                                                                                                                                                                                                                                                                                                                                                                                                                                                                                                                                                                                                                                                                         | COUR                                                                                                                                                                                                                                                                                                                                                                                                                                                                                                                                                                                                                                                                                                                                                                                                                                                                                                                                                                                                                                                                                                                                                                                                                                                                                                                                                                                                                                                                                                                                                                                                                                                                                                                                                                                                                                                                                                                                                                                                                                                                                                                           | N N                                                                                                                                                                                                                                                                                                                                                                                                                                                                                                                                                                                                                                                                                                                                                                                                                                                                                                                                                                                                                                                                                                                                                                                                                                                                                                                                                                                                                                                                                                                                                                                                                                                                                                                                                                                                                                                                                                                                                                                                                                                                                                                          | >                                                                                                | П                                                                                                                                                                                                                                                                                                                                                                                                                                                                                                                                                                                                                                                                                                                                                                                                                                                                                                                                                                                                                                                                                                                                                                                                                                                                                                                                                                                                                                                                                                                                                                                                                                                                                                             
                                                                                                                                                                                                                                                                                                                                                                                                             | ΙĒ                                                                                                                                                                                                                                                                                                                                                                                                                                                                                                                                                                                                                                                                                                                                                                                                                                                                                                                                                                                                                                                                                                                                                                                                                                                                                                                                                                                                                                                                                                                                                                                                                                                                                                                                                                                                                                                                                                                                                                                                                                                                                                                           | ۳<br>[]                                                                                                                                                                                                                                                                                                                                                                                                                                                                                                                                                                                                                                                                                                                                                                                                                                                                                                                                                                                                                                                                                                                                                                                                                                                                                                                                                                                                                                                                                                                                                                                                                                                                                                                                                                                                                                                                                                                                                                                                                                                                                                                      |           | NOUE                                                                                                                                                                                                                                                                                                                                                                                                                                                                                                                                                                                                                                                                                                                                                                                                                                                                                                                                                                                                                                                                                                                                                                                                                                                                                                                                                                                                                                                                                                                                                                                                                                                                                                                                                                                                                                                                                                                                                                                                                                                                                                                         | ATAR<br>MBF                                                                                | HAL                                                                                                                                                                                                                                                                                                                                                                                                                                                                                                                                                                                                                                                                                                                                                                                                                                                                                                                                                                                                                                                                                                                                                                                                                                                                                                                                                                                                                                                                                                                                                                                                                                                                                                                                                                                                                                                                                                                                                                                                                                                                                                                         | ST                                                                                                    | SANTI                                                                                                                                                                                                                                                                                                                                                                                                                                                                                                                                                                                                                                                                                                                                                                                                                                                                                                                                                                                                                                                                                                                                                                                                                                               
                                                                                                                                                                                                                                                                                                                                                                                                                                                                                                                                                                                                                                                                                                                                                                                                                                                                        | FOR        | HING<br>CHE                                                                                                                                                                                                                                                                                                                                                                                                                                                                                                                                                                                                                                                                                                                                                                                                                                                                                                                                                                                                                                                                                                                                                                                                                                                                                                                                                                                                                                                                                                                                                                                                                                                                                                                                                                                                                                                                                                                                                                                                                                                                                                                 | ٦<br>A IN                                                                                                                                                                                                                                                                                                                                                                                                                                                                                                                                                                                                                                                                                                                                                                                                                                                                                                                                                                                                                                                                                                                                                                                                                                                                                                                                                                                                                                                                                                                                                                                                                                                                                                                                                                                                                                                                                                                                                                                                                                                                                                                    | USQL                                                                                                                                                                                                                                                                                                                                                                                                                                                                                                                                                                                                                                                                                                                                                                                                                                                                                                                                                                                                                                                                                                                                                                                                                                                                                                                                                                                                                                                                                                                                                                                                                                                                                                                                                                                                                                                                                                                                                                                                                                                                                                                         |
| 000                                                                                                                                                                                                                                                                                                                                                                                                                                                                                                                                                                                                                                                                                                                                                                                                                                                                                                                                                                                                                                                                                                                                                                                                                                                                                                                                                                                                                                                                                                                                                                                                                                                                                                                                                                                                                                                                                                                                                                                                                                                                                                                          | ≅ ō                                                                                                                                                                                                                                                                                                                                                                                                                                                                                                                                                                                                                                                                                                                                                                                                                                                                                                                                                                                                                                                                                                                                                                                                                                                                                                                                                                                                                                                                                                                                                                                                                                                                                                                                                                                                                                                                                                                                                                                                                                                                                                                          | NO                                                                                                                                                                                                                                                                                                                                                                                                                                                                                                                                                                                                                                                                                                                                                                                                                                                                                                                                                                                                                                                                                                                                                                                                                                                                                                                                                                                                                                                                                                                                                                                                                                                                                                                                                                                                                                                                                                                                                                                                                                                                                                                           | BELLIS                                                                                      | HOU                                                                                                                                                                                                                                                                                                                                                                                                                                                                                                                                                                                                                                                                                                                                                                                                                                                                                                                                                                                                                                                                                                                                                                                                                                                                                                                                                                                                                                                                                                                                                                                                                                                                                                                                                                                                                                                                                                                                                                                                                                                                                                                          | 읽                                                                                                                                                                                                                                                                                                                                                                                                                                                                                                                                                                                                                                                                                                                                                                                                                                                                                                                                                                                                                                                                                                                                                                                                                                                                                                                                                                                                                                                                                                                                                                                                                                                                                                                                                                                  
                                                                                                                                                                                                                                                                                                                                         |                                                                                                                                                                                                                                                                                                                                                                                                                                                                                                                                                                                                                                                                                                                                                                                                                                                                                                                                                                                                                                                                                                                                                                                                                                                                                                                                                                                                                                                                                                                                                                                                                                                                                                                                                                                                                                                                                                                                                                                                                                                                                                                              | LES                                                                                                                                                                                                                                                                                                                                                                                                                                                                                                                                                                                                                                                                                                                                                                                                                                                                                                                                                                                                                                                                                                                                                                                                                                                                                                                                                                                                                                                                                                                                                                                                                                                                                                                                                                                                                                                                                                                                                                                                                                                                                                                          | JELLE<br>SELIE                                                                        |                                                                                                                                                                                                                                                                                                                                                                                                                                                                                                                                                                                                                                                                                                                                                                                                                                                                                                                                                                                                                                                                                                                                                                                                                                                                                                                                                                                                                                                                                                                                                                                                                                                                                                                                                                                                                                                                                                                                                                                                                                                                                                                              | UTS EI                                                                                                                                                                                                                                                                                                                                                                                                                                                                                                                                                                                                                                                                                                                                                                                                                                                                                                                                                                                                                                                                                                                                                                                                                                                                                                                                                                                                                                                                                                                                                                                                                                                                                                                                                                                                                                                                                                                                                                                                                                                                                                                       | ATS EI                                                                                                                                                                                                                                                                                                                                                                                                                                                                                                                                                                                                                                                                                                                                                                                                                                                                                                                                                                                                                                                                                                                                                                                                                                                                                                                                                                                                                                          
                                                                                                                                                                                                                                                                                                                                                                                                                                                                                                                                                                                                                                                                           | TS EI                                                                                                                                                                                                                                                                                                                                                                                                                                                                                                                                                                                                                                                                                                                                                                                                                                                                                                                                                                                                                                                                                                                                                                                                                                                                                                                                                                                                                                                                                                                                                                                                                                                                                                                                                                                                                                                                                                                                                                                                                                                                                                                     |                                                                                                                                                                                                                                                                                                                                                                                                                                                                                                                                                                                                                                                                                                                                                                                                                                                                                                                                                                                                                                                                                                                                                                                                                                                                                                                                                                                                                                                                                                                                                                                                                                                                                                                                                                                                                                                                                                                                                                                                                                                                                                                              | NOI                                                                                               | ALE I                                                                                                                                                                                                                                                                                                                                                                                                                                                                                                                                                                                                                                                                                                                                                                                                                                                                                                                                                                                                                                                                                                                                                                                                                                                                                                                                                                                                                                                                                                                                                                                                                                                                                                                                                                                                                                                                                                                                                                                                                                                                                                                        | O S                                                                               |                                                                                                                                                                                                                                                                                                                                                                                                                                                                                                                                                                                                                                                                                                                                                                                                                                                                                                                                                                                                                                                                                                                                                                                                                                                                                                                                                                                                                                                                                                                                                                                                                                                                                                                                                                                                                                                                                                                                                                                                                                                                                                                              | ES C                                                                                                                                                                                                                                                                                                                                                                                                                                                                                                                                                                                                                                                                                                                                                                                                                                                                                                                                                                                                             
                                                                                                                                                                                                                                                                                                                                                                                                                                                                                                                                                                                                                                                                                                                                                                                                                                                                                                                                                                                                                                                                                                           | DES CI                                                                                                | )ES CI                                                                                            | DES CI                                                                                        |                                                                                                     | EGIR                                                                                                                                                                                                                                                                                                                                                                                                                                                                                                                                                                                                                                                                                                                                                                                                                                                                                                                                                                                                                                                                                                                                                                                                                                                                                                                                                                                                                                                                                                                                                                                                                                                                                                                                                                                                                                                                                                                                                                                                                                                                                                                      | GE DE                                                                                     |                                                                                                                                                                                                                                                                                                                                                                                                                                                                                                                                                                                                                                                                                                                                                                                                                                                                                                                                                                                                                                                                                                                                                                                                                                                                                                                                                                                                                                                                                                                                                                                                                                                                                                                                                                                                                                                                                                                                                                                                                                                                                                                            |                                                                                                                                                                                                                                                                                                                                                                                                                                                                                                                                                                                                                                                                                                                                                                                                                                                                                                                                                                                                                                                                                                                                                                                                                                                                                                                                                                                                                                                                                                                                                                                                                                                                                                                                                                                                                                                                                                                                                                                                                                                                                                                                | NEW                                                                                                                                                                                                                                                                                                                                                                                                                                                                                                                                                                                                                                                                                                                                                                                                                                                                                                                                                                                                                                                                                                                                                                                                                                                                                                                                                                                                                                                                                                                                                                                                                                                                                                                                                                                                                                                                                                                                                                                                                                                                                       | SOCI                                                                                                                                                                                                                                                                                          
                                                                                                                                                                                                                                                                                                                                                                                                                                                                                                                                                                                                                                                                                                                                                                                                                                                                                                                                                                                                                                                                                                                                                                                                                                                                                                                                                                                                                                                                                                                                                                                                                                                                                                                                                                                                                              | LA R                                                                                                                                                                                                                                                                                                                                                                                                                                                                                                                                                                                                                                                                                                                                                                                                                                                                                                                                                                                                                                                                                                                                                                                                                                                                                                                                                                                                                                                                                                                                                                                                                                                                                                                                                                                                                                                                                                                                                                                                                                                                                                                         | PAR                                                                                                                                                                                                                                                                                                                                                                                                                                                                                                                                                                                                                                                                                                                                                                                                                                                                                                                                                                                                                                                                                                                                                                                                                                                                                                                                                                                                                                                                                                                                                                                                                                                                                                                                                                                                                                                                                                                                                                                                                                                                                                                            |                                                                                                                                                                                                                                                                                                                                                                                                                                                                                                                                                                                                                                                                                                                                                                                                                                                                                                                                                                                                                                                                                                                                                                                                                                                                                                                                                                                                                                                                                                                                                                                                                                                                                                                                                                                                                                                                                                                                                                                                                                                                                                                                | Y BEI                                                                                                                                                                                                                                                                                                                                                                                                                                                                                                                                                                                                                                                                                                                                                                                                                                                                                                                                                                                                                                                                                                                                                                                                                                                                                                                                                                                                                                                                                                                                                                                                                                                                                                                                                                                                                                                                                                                                                                                                                                                                                                                          | ¥ <br> ≤                                     
                                                                                                                                                                                                                                                                                                                                                                                                                                                                                                                                                                                                                                                                                                                                                                                                                                                                                                                                                                                                                                                                                                                                                                                                                                                                                                                                                                                                                                                                                                                                                                                                                                                                                                                                                                                                                                                                                                                                                                                                                                                                                 | ART D                                                                                                                                                                                                                                                                                                                                                                                                                                                                                                                                                                                                                                                                                                                                                                                                                                                                                                                                                                                                                                                                                                                                                                                                                                                                                                                                                                                                                                                                                                                                                                                                                                                                                                         | NFA                                                                                                                                                                                                                                                                                                                                                                                                                                                                                                                                                                                                                                                                                                                                                                                                                                                                                                                                                                                                               | NFA                                                                                                                                                                                                                                                                                                                                                                                                                                                                                                                                                                                                                                                                                                                                                                                                                                                                                                                                                                                                                                            | NFA]                                                                                                                                                                                                                                                                                                                                                                                                                                                                                                                                                                                                                                                                                                                                                                         |                                                                                                                                                                                                                                                                                                                                                                                                                                                                                                                                                                                                                                                                                                                                                                                                        | ABIT/                                                                                                                                                                                                                                                                                                                                                                                                                                                                                                                                                                                   | E EST,                                                                                                                                                                                                                                                                                                                                                                                                                                                                                         | 유                                                                                                                                                                                                                                                                                                                                                                                                                                                                                                                            | ANOL                                                                                                                                                                                                                                                                                                                                                                                                                                                                                                                                                                                                           | AU DI                                                                                                                                                                                                                                                                                                                                                                                                                                                                                                                                                                                                                            | EAUX                                                             
                                                                                                                                                                                                                                                                                                                                                                                                                                                                                                                                                                                                                                                                                                                                                                                                                                                                                                                                                                                                                                                                                                                                                                                                                 | EAUX                                                                                                                                                                                                                                                                                                                                                                                                                                                                                                                                                                                                                                                                                                                                                                                                                                                                                                                                                                                                                                                                                                                                                                                                                                                                                                                                                                                                                                                                                                                                                                                                                                                                                                                                                                                                                                                                                                                                                                                                                                                                                                                           | RNAIS                                                                                                                                                                                                                                                                                                                                                                                                                                                                                                                                                                                                                                                                                                                                                                                                                                                                                                                                                                                                                                                                                                                                                                                                                                                                                                                                                                                                                                                                                                                                                                                                                                                                                                                                                                                                                                                                                                                                                                                                                                                                                                                          |                                                                                                                                                                                                                                                                                                                                                                                                                                                                                                                                                                                                                                                                                                                                                                                                                                                                                                                                                                                                                                                                                                                                                                                                                                                                                                                                                                                                                                                                                                                                                                                                                                                                                                                                                                                           | AINT                                                                                                                                                                                                                                                                                                                                                                                                                                                                                                                                                                                                                                                                                                                                                                                                                                                                                                                                                                                                                                                                                                                                                                                                                                                                                                                                                                                                                                                                                                                                                                                                                                                | ES CH                                                                                                                                                                                                                                                                                                                                                                                                                                                                                                                                                                                                                                                                                                                                                                                                                                                                                                                                                                                                                                                                                                                                                                                                                                                                                                                                                                                                                                                                   
                          |                                                                                                                                                                                                                                                                                                                                                                                                                                                                                                                                                                                                                                                                                                                                                                                                                                                                                                                                                                                                                                                                                                                                                                                                                                                                                                                                                                                                                                                                                                                                                                                                                                                                                                                                                                                                                                                                                                                                                                                                                                                                                                                              | AMB                                                                                                                                                                                                                                                                                                                                                                                                                                                                                                                                                                                                                                                                                                                                                                                                                                                                                                                                                                                                                                                                                                                                                                                                                                                                                                                                                                                                                                                                                                                                                                                                                                                                                                                                                                                                                                                                                                                                                                                                                                                                                                                          | 2 TOL                                                                                                                                                                                                                                                                                                                                                                                                                                                                                                                                                                                                                                                                                                                                                                                                                                                                                                                                                                                                                                                                                                                                                                                                                                                                                                                                                                                                                                                                                                                                                                                                                                                                                                                                                                                                                                                                                                                                                                                                                                                                                                                          | DE B/                                                                                                                                                                                                                                                                                                                                                                                                                                                                                                                                                                                                                                                                                                                                                                                                                                                                                                                                                                                                                                                                                                                                                                                                                                                                                                                                                                                                                                                                                                                                                                                                                                                                                                                                                                                                                                                                                                                                                                                                                                                                                                                        |                                                                                                  |                                                                                                                                                                                                                                                                                                                                                                                                                                                                                                                                                                                                                                                                                                                                                                                                                                                                                                                                                                                                                                                                                                                                                                                                                                                                                                                                                                                                                                                                                                                                                                                                                                                                                                                                                   
                                                                                                                                                                                                                                                                                                                                                                         | 1                                                                                                                                                                                                                                                                                                                                                                                                                                                                                                                                                                                                                                                                                                                                                                                                                                                                                                                                                                                                                                                                                                                                                                                                                                                                                                                                                                                                                                                                                                                                                                                                                                                                                                                                                                                                                                                                                                                                                                                                                                                                                                                            | ξ<br>H                                                                                                                                                                                                                                                                                                                                                                                                                                                                                                                                                                                                                                                                                                                                                                                                                                                                                                                                                                                                                                                                                                                                                                                                                                                                                                                                                                                                                                                                                                                                                                                                                                                                                                                                                                                                                                                                                                                                                                                                                                                                                                                       |           | IX ET                                                                                                                                                                                                                                                                                                                                                                                                                                                                                                                                                                                                                                                                                                                                                                                                                                                                                                                                                                                                                                                                                                                                                                                                                                                                                                                                                                                                                                                                                                                                                                                                                                                                                                                                                                                                                                                                                                                                                                                                                                                                                                                        | ABET                                                                                       | ۱۲                                                                                                                                                                                                                                                                                                                                                                                                                                                                                                                                                                                                                                                                                                                                                                                                                                                                                                                                                                                                                                                                                                                                                                                                                                                                                                                                                                                                                                                                                                                                                                                                                                                                                                                                                                                                                                                                                                                                                                                                                                                                                                                          |                                                                                                       | ]<br> <br>                                                                                                                                                                                                                                                                                                                                                                                                                                                                                                                                                                                                                                                                                                                                                                                                                                                                                                                                                                                                                                                                                                                                                                                                                                                                              
                                                                                                                                                                                                                                                                                                                                                                                                                                                                                                                                                                                                                                                                                                                                                                                                                                    | SEAT       | Н                                                                                                                                                                                                                                                                                                                                                                                                                                                                                                                                                                                                                                                                                                                                                                                                                                                                                                                                                                                                                                                                                                                                                                                                                                                                                                                                                                                                                                                                                                                                                                                                                                                                                                                                                                                                                                                                                                                                                                                                                                                                                                                           | ERIE                                                                                                                                                                                                                                                                                                                                                                                                                                                                                                                                                                                                                                                                                                                                                                                                                                                                                                                                                                                                                                                                                                                                                                                                                                                                                                                                                                                                                                                                                                                                                                                                                                                                                                                                                                                                                                                                                                                                                                                                                                                                                                                         | JETAI                                                                                                                                                                                                                                                                                                                                                                                                                                                                                                                                                                                                                                                                                                                                                                                                                                                                                                                                                                                                                                                                                                                                                                                                                                                                                                                                                                                                                                                                                                                                                                                                                                                                                                                                                                                                                                                                                                                                                                                                                                                                                                                        |
| 5                                                                                                                                                                                                                                                                                                                                                                                                                                                                                                                                                                                                                                                                                                                                                                                                                                                                                                                                                                                                                                                                                                                                                                                                                                                                                                                                                                                                                                                                                                                                                                                                                                                                                                                                                                                                                                                                                                                                                                                                                                                                                                                            |                                                                                                                                                                                                                                                                                                                                                                                                                                                                                                                                                                                                                                                                                                                                                                                                                                                                                                                                                                                                                                                                                                                                                                                                                                                                                                                                                                                                                                                                                                                                                                                                                                                                                                                                                                                                                                                                                                                                                                                                                                                                                                                              |                                                                                                                                                                                                                                                                                                                                                                                                                                                                                                                                                                                                                                                                                                                                                                                                                                                                                                                                                                                                                                                                                                                                                                                                                                                                                                                                                                                                                                                                                                                                                                                                                                                                                                                                                                                                                                                                                                                                                                                                                                                                                                                              | ر) اخ                                                                                       | []<br>  A<br>  D                                                                                                                                                                                                                                                                                                                                                                                                                                                                                                                                                                                                                                                                                                                                                                                                                                                                                                                                                                                                                                                                                                                                                                                                                                                                                                                                                                                                                                                                                                                                                                                                                                                                                                                                                                                                                                                                                                                                                                                                                                                                                                             |                                                                                                                                                                                                                                                                                                                                                                                                                                                                                                                                                                                                                                                                                                                                                                                                                                                                                                                                                                                                                                                                                                                                                                                                                                                                                                                                                                                                                                                                                                                                                                                                                                                                                                                                                                                    
                                                                                                                                                                                                                                                                                                                                         |                                                                                                                                                                                                                                                                                                                                                                                                                                                                                                                                                                                                                                                                                                                                                                                                                                                                                                                                                                                                                                                                                                                                                                                                                                                                                                                                                                                                                                                                                                                                                                                                                                                                                                                                                                                                                                                                                                                                                                                                                                                                                                                              | OPR<br>OPR                                                                                                                                                                                                                                                                                                                                                                                                                                                                                                                                                                                                                                                                                                                                                                                                                                                                                                                                                                                                                                                                                                                                                                                                                                                                                                                                                                                                                                                                                                                                                                                                                                                                                                                                                                                                                                                                                                                                                                                                                                                                                                                   |                                                                                       | VFAN                                                                                                                                                                                                                                                                                                                                                                                                                                                                                                                                                                                                                                                                                                                                                                                                                                                                                                                                                                                                                                                                                                                                                                                                                                                                                                                                                                                                                                                                                                                                                                                                                                                                                                                                                                                                                                                                                                                                                                                                                                                                                                                         | VFAN                                                                                                                                                                                                                                                                                                                                                                                                                                                                                                                                                                                                                                                                                                                                                                                                                                                                                                                                                                                                                                                                                                                                                                                                                                                                                                                                                                                                                                                                                                                                                                                                                                                                                                                                                                                                                                                                                                                                                                                                                                                                                                                         | VFAN                                                                                                                                                                                                                                                                                                                                                                                                                                                                                                                                                                                                                                                                                                                                                                                                                                                                                                                                                                                                                                                                                                                                                                                                                                                                                                                                                                                                                                            
                                                                                                                                                                                                                                                                                                                                                                                                                                                                                                                                                                                                                                                                           | VFAN:                                                                                                                                                                                                                                                                                                                                                                                                                                                                                                                                                                                                                                                                                                                                                                                                                                                                                                                                                                                                                                                                                                                                                                                                                                                                                                                                                                                                                                                                                                                                                                                                                                                                                                                                                                                                                                                                                                                                                                                                                                                                                                                     | SOCI                                                                                                                                                                                                                                                                                                                                                                                                                                                                                                                                                                                                                                                                                                                                                                                                                                                                                                                                                                                                                                                                                                                                                                                                                                                                                                                                                                                                                                                                                                                                                                                                                                                                                                                                                                                                                                                                                                                                                                                                                                                                                                                         | SOEU                                                                                              | SRAEL                                                                                                                                                                                                                                                                                                                                                                                                                                                                                                                                                                                                                                                                                                                                                                                                                                                                                                                                                                                                                                                                                                                                                                                                                                                                                                                                                                                                                                                                                                                                                                                                                                                                                                                                                                                                                                                                                                                                                                                                                                                                                                                        | AS S                                                                              |                                                                                                                                                                                                                                                                                                                                                                                                                                                                                                                                                                                                                                                                                                                                                                                                                                                                                                                                                                                                                                                                                                                                                                                                                                                                                                                                                                                                                                                                                                                                                                                                                                                                                                                                                                                                                                                                                                                                                                                                                                                                                                                              | SIA                                                                                                                                                                                                                                                                                                                                                                                                                                                                                                                                                                                                                                                                                                                                                                                                                                                                                                                                                                                                              
                                                                                                                                                                                                                                                                                                                                                                                                                                                                                                                                                                                                                                                                                                                                                                                                                                                                                                                                                                                                                                                                                                           | N S                                                                                                   | AS                                                                                                | AS S                                                                                          |                                                                                                     | ONDE                                                                                                                                                                                                                                                                                                                                                                                                                                                                                                                                                                                                                                                                                                                                                                                                                                                                                                                                                                                                                                                                                                                                                                                                                                                                                                                                                                                                                                                                                                                                                                                                                                                                                                                                                                                                                                                                                                                                                                                                                                                                                                                      | FRA                                                                                       |                                                                                                                                                                                                                                                                                                                                                                                                                                                                                                                                                                                                                                                                                                                                                                                                                                                                                                                                                                                                                                                                                                                                                                                                                                                                                                                                                                                                                                                                                                                                                                                                                                                                                                                                                                                                                                                                                                                                                                                                                                                                                                                            |                                                                                                                                                                                                                                                                                                                                                                                                                                                                                                                                                                                                                                                                                                                                                                                                                                                                                                                                                                                                                                                                                                                                                                                                                                                                                                                                                                                                                                                                                                                                                                                                                                                                                                                                                                                                                                                                                                                                                                                                                                                                                                                                |                                                                                                                                                                                                                                                                                                                                                                                                                                                                                                                                                                                                                                                                                                                                                                                                                                                                                                                                                                                                                                                                                                                                                                                                                                                                                                                                                                                                                                                                                                                                                                                                                                                                                                                                                                                                                                                                                                                                                                                                                                                                                                                               | ALE A                                                                                                                                                                                                                                                     
                                                                                                                                                                                                                                                                                                                                                                                                                                                                                                                                                                                                                                                                                                                                                                                                                                                                                                                                                                                                                                                                                                                                                                                                                                                                                                                                                                                                                                                                                                                                                                                                                                                                                                                                                                                                                                                                  | UE D                                                                                                                                                                                                                                                                                                                                                                                                                                                                                                                                                                                                                                                                                                                                                                                                                                                                                                                                                                                                                                                                                                                                                                                                                                                                                                                                                                                                                                                                                                                                                                                                                                                                                                                                                                                                                                                                                                                                                                                                                                                                                                                         | EME                                                                                                                                                                                                                                                                                                                                                                                                                                                                                                                                                                                                                                                                                                                                                                                                                                                                                                                                                                                                                                                                                                                                                                                                                                                                                                                                                                                                                                                                                                                                                                                                                                                                                                                                                                                                                                                                                                                                                                                                                                                                                                                            |                                                                                                                                                                                                                                                                                                                                                                                                                                                                                                                                                                                                                                                                                                                                                                                                                                                                                                                                                                                                                                                                                                                                                                                                                                                                                                                                                                                                                                                                                                                                                                                                                                                                                                                                                                                                                                                                                                                                                                                                                                                                                                                                | Ã                                                                                                                                                                                                                                                                                                                                                                                                                                                                                                                                                                                                                                                                                                                                                                                                                                                                                                                                                                                                                                                                                                                                                                                                                                                                                                                                                                                                                                                                                                                                                                                                                                                                                                                                                                                                                                                                                                                                                                                                                                                                                                                              | NCEN     
                                                                                                                                                                                                                                                                                                                                                                                                                                                                                                                                                                                                                                                                                                                                                                                                                                                                                                                                                                                                                                                                                                                                                                                                                                                                                                                                                                                                                                                                                                                                                                                                                                                                                                                                                                                                                                                                                                                                                                                                                                                                                                                     | ES AS                                                                                                                                                                                                                                                                                                                                                                                                                                                                                                                                                                                                                                                                                                                                                                                                                                                                                                                                                                                                                                                                                                                                                                                                                                                                                                                                                                                                                                                                                                                                                                                                                                                                                                         | NTS F                                                                                                                                                                                                                                                                                                                                                                                                                                                                                                                                                                                                                                                                                                                                                                                                                                                                                                                                                                                                             | NTS FI                                                                                                                                                                                                                                                                                                                                                                                                                                                                                                                                                                                                                                                                                                                                                                                                                                                                                                                                                                                                                                         |                                                                                                                                                                                                                                                                                                                                                                                                                                                                                                                                                                                                                                                                                                                                                                              |                                                                                                                                                                                                                                                                                                                                                                                                                                                                                                                                                                                                                                                                                                                                                                                                        |                                                                                                                                                                                                                                                                                                                                                                                                                                                                                                                                                                                         | ATE                                                                                                                                                                                                                                                                                                                                                                                                                                                                                            |                                                                                                                                                                                                                                                                                                                                                                                                                                                                                                                              | JEIX E                                                                                                                                                                                                                                                                                                                                                                                                                                                                                                                                                                                                         | GRO                                                                                                                                                                                                                                                                                                                                                                                                                                                                                                                                                                                                                              | GRO                          
                                                                                                                                                                                                                                                                                                                                                                                                                                                                                                                                                                                                                                                                                                                                                                                                                                                                                                                                                                                                                                                                                                                                                                                                                                                     | GRO                                                                                                                                                                                                                                                                                                                                                                                                                                                                                                                                                                                                                                                                                                                                                                                                                                                                                                                                                                                                                                                                                                                                                                                                                                                                                                                                                                                                                                                                                                                                                                                                                                                                                                                                                                                                                                                                                                                                                                                                                                                                                                                            | GRO                                                                                                                                                                                                                                                                                                                                                                                                                                                                                                                                                                                                                                                                                                                                                                                                                                                                                                                                                                                                                                                                                                                                                                                                                                                                                                                                                                                                                                                                                                                                                                                                                                                                                                                                                                                                                                                                                                                                                                                                                                                                                                                            |                                                                                                                                                                                                                                                                                                                                                                                                                                                                                                                                                                                                                                                                                                                                                                                                                                                                                                                                                                                                                                                                                                                                                                                                                                                                                                                                                                                                                                                                                                                                                                                                                                                                                                                                                                                           | EXUP                                                                                                                                                                                                                                                                                                                                                                                                                                                                                                                                                                                                                                                                                                                                                                                                                                                                                                                                                                                                                                                                                                                                                                                                                                                                                                                                                                                                                                                                                                                                                                                                                                                | AIS P                                                                                                                                                                                                                                                                                                                                                                                                                                                                                                                                                                                                                                                                                                                                                                                                                                                                                                                                                                                                                                                                                                                                                                                                                                                                                                                                                                                                                               
                                                              | AISP                                                                                                                                                                                                                                                                                                                                                                                                                                                                                                                                                                                                                                                                                                                                                                                                                                                                                                                                                                                                                                                                                                                                                                                                                                                                                                                                                                                                                                                                                                                                                                                                                                                                                                                                                                                                                                                                                                                                                                                                                                                                                                                         | ATTA                                                                                                                                                                                                                                                                                                                                                                                                                                                                                                                                                                                                                                                                                                                                                                                                                                                                                                                                                                                                                                                                                                                                                                                                                                                                                                                                                                                                                                                                                                                                                                                                                                                                                                                                                                                                                                                                                                                                                                                                                                                                                                                         | RNY                                                                                                                                                                                                                                                                                                                                                                                                                                                                                                                                                                                                                                                                                                                                                                                                                                                                                                                                                                                                                                                                                                                                                                                                                                                                                                                                                                                                                                                                                                                                                                                                                                                                                                                                                                                                                                                                                                                                                                                                                                                                                                                            | RREA                                                                                                                                                                                                                                                                                                                                                                                                                                                                                                                                                                                                                                                                                                                                                                                                                                                                                                                                                                                                                                                                                                                                                                                                                                                                                                                                                                                                                                                                                                                                                                                                                                                                                                                                                                                                                                                                                                                                                                                                                                                                                                                         |                                                                                                  | | |
                                                                                                                                                                                                                                                                                                                                                                                                             |                                                                                                                                                                                                                                                                                                                                                                                                                                                                                                                                                                                                                                                                                                                                                                                                                                                                                                                                                                                                                                                                                                                                                                                                                                                                                                                                                                                                                                                                                                                                                                                                                                                                                                                                                                                                                                                                                                                                                                                                                                                                                                                              |                                                                                                                                                                                                                                                                                                                                                                                                                                                                                                                                                                                                                                                                                                                                                                                                                                                                                                                                                                                                                                                                                                                                                                                                                                                                                                                                                                                                                                                                                                                                                                                                                                                                                                                                                                                                                                                                                                                                                                                                                                                                                                                              |           | FILS                                                                                                                                                                                                                                                                                                                                                                                                                                                                                                                                                                                                                                                                                                                                                                                                                                                                                                                                                                                                                                                                                                                                                                                                                                                                                                                                                                                                                                                                                                                                                                                                                                                                                                                                                                                                                                                                                                                                                                                                                                                                                                                         |                                                                                            | 7                                                                                                                                                                                                                                                                                                                                                                                                                                                                                                                                                                                                                                                                                                                                                                                                                                                                                                                                                                                                                                                                                                                                                                                                                                                                                                                                                                                                                                                                                                                                                                                                                                                                                                                                                                                                                                                                                                                                                                                                                                                                                                                           |                                                                                                       |                                                                                                                                                                                                                                                                                                                                                                                                                                                                                                                                                                                                                                                                                                                                                                                                                                                                                                                                                                                                                                                                                                                                                                                                                                                     
                                                                                                                                                                                                                                                                                                                                                                                                                                                                                                                                                                                                                                                                                                                                                                                                                                                                        |            |                                                                                                                                                                                                                                                                                                                                                                                                                                                                                                                                                                                                                                                                                                                                                                                                                                                                                                                                                                                                                                                                                                                                                                                                                                                                                                                                                                                                                                                                                                                                                                                                                                                                                                                                                                                                                                                                                                                                                                                                                                                                                                                             |                                                                                                                                                                                                                                                                                                                                                                                                                                                                                                                                                                                                                                                                                                                                                                                                                                                                                                                                                                                                                                                                                                                                                                                                                                                                                                                                                                                                                                                                                                                                                                                                                                                                                                                                                                                                                                                                                                                                                                                                                                                                                                                              | RES                                                                                                                                                                                                                                                                                                                                                                                                                                                                                                                                                                                                                                                                                                                                                                                                                                                                                                                                                                                                                                                                                                                                                                                                                                                                                                                                                                                                                                                                                                                                                                                                                                                                                                                                                                                                                                                                                                                                                                                                                                                                                                                          |
|                                                                                                                                                                                                                                                                                                                                                                                                                                                                                                                                                                                                                                                                                                                                                                                                                                                                                                                                                                                                                                                                                                                                                                                                                                                                                                                                                                                                                                                                                                                                                                                                                                                                                                                                                                                                                                                                                                                                                                                                                                                                                                                              |                                                                                                                                                                                                                                                                                                                                                                                                                                                                                                                                                                                                                                                                                                                                                                                                                                                                                                                                                                                                                                                                                                                                                                                                                                                                                                                                                                                                                                                                                                                                                                                                                                                                                                                                                                                                                                                                                                                                                                                                                                                                                                                              |                                                                                                                                                                                                                                                                                                                                                                                                                                                                                                                                                                                                                                                                                                                                                                                                                                                                                                                                                                                                                                                                                                                                                                                                                                                                                                                                                                                                                                                                                                                                                                                                                                                                                                                                                                                                                                                                                                                                                                                                                                                                                                                              | ) nee                                                                                       | D pás                                                                                                                                                                                                                                                                                                                                                                                                                                                                                                                                                                                                                                                                                                                                                                                                                                                                                                                                                                                                                                                                                                                                                                                                                                                                                                                                                                                                                                                                                                                                                                                                                                                                                                                                                                                                                                                                                                                                                                                                                                                                                                                        |                                                                                                                                                                                                                                                                                                                                                                                                                                                                                                                                                                                                                                                                                                                                                                                                                                                                                                                                                                                                                                                                                                                                                                                                                                                                                                                                                                                                                                                                                                                                                                                                                                                                                                                                                                                    
                                                                                                                                                                                                                                                                                                                                         | 1                                                                                                                                                                                                                                                                                                                                                                                                                                                                                                                                                                                                                                                                                                                                                                                                                                                                                                                                                                                                                                                                                                                                                                                                                                                                                                                                                                                                                                                                                                                                                                                                                                                                                                                                                                                                                                                                                                                                                                                                                                                                                                                            | PRIE                                                                                                                                                                                                                                                                                                                                                                                                                                                                                                                                                                                                                                                                                                                                                                                                                                                                                                                                                                                                                                                                                                                                                                                                                                                                                                                                                                                                                                                                                                                                                                                                                                                                                                                                                                                                                                                                                                                                                                                                                                                                                                                         |                                                                                       | N ST                                                                                                                                                                                                                                                                                                                                                                                                                                                                                                                                                                                                                                                                                                                                                                                                                                                                                                                                                                                                                                                                                                                                                                                                                                                                                                                                                                                                                                                                                                                                                                                                                                                                                                                                                                                                                                                                                                                                                                                                                                                                                                                         | IS IN                                                                                                                                                                                                                                                                                                                                                                                                                                                                                                                                                                                                                                                                                                                                                                                                                                                                                                                                                                                                                                                                                                                                                                                                                                                                                                                                                                                                                                                                                                                                                                                                                                                                                                                                                                                                                                                                                                                                                                                                                                                                                                                        | /NI S1                                                                                                                                                                                                                                                                                                                                                                                                                                                                                                                                                                                                                                                                                                                                                                                                                                                                                                                                                                                                                                                                                                                                                                                                                                                                                                                                                                                                                                          
                                                                                                                                                                                                                                                                                                                                                                                                                                                                                                                                                                                                                                                                           |                                                                                                                                                                                                                                                                                                                                                                                                                                                                                                                                                                                                                                                                                                                                                                                                                                                                                                                                                                                                                                                                                                                                                                                                                                                                                                                                                                                                                                                                                                                                                                                                                                                                                                                                                                                                                                                                                                                                                                                                                                                                                                                           |                                                                                                                                                                                                                                                                                                                                                                                                                                                                                                                                                                                                                                                                                                                                                                                                                                                                                                                                                                                                                                                                                                                                                                                                                                                                                                                                                                                                                                                                                                                                                                                                                                                                                                                                                                                                                                                                                                                                                                                                                                                                                                                              | RS DE                                                                                             | .ITE D                                                                                                                                                                                                                                                                                                                                                                                                                                                                                                                                                                                                                                                                                                                                                                                                                                                                                                                                                                                                                                                                                                                                                                                                                                                                                                                                                                                                                                                                                                                                                                                                                                                                                                                                                                                                                                                                                                                                                                                                                                                                                                                       |                                                                                   |                                                                                                                                                                                                                                                                                                                                                                                                                                                                                                                                                                                                                                                                                                                                                                                                                                                                                                                                                                                                                                                                                                                                                                                                                                                                                                                                                                                                                                                                                                                                                                                                                                                                                                                                                                                                                                                                                                                                                                                                                                                                                                                              |                                                                                                                                                                                                                                                                                                                                                                                                                                                                                                                                                                                                                                                                                                                                                                                                                                                                                                                                                                                                                  
                                                                                                                                                                                                                                                                                                                                                                                                                                                                                                                                                                                                                                                                                                                                                                                                                                                                                                                                                                                                                                                                                                           |                                                                                                       |                                                                                                   | ,                                                                                             | <b>*</b> [달                                                                                         | PRO                                                                                                                                                                                                                                                                                                                                                                                                                                                                                                                                                                                                                                                                                                                                                                                                                                                                                                                                                                                                                                                                                                                                                                                                                                                                                                                                                                                                                                                                                                                                                                                                                                                                                                                                                                                                                                                                                                                                                                                                                                                                                                                       | 띪                                                                                         |                                                                                                                                                                                                                                                                                                                                                                                                                                                                                                                                                                                                                                                                                                                                                                                                                                                                                                                                                                                                                                                                                                                                                                                                                                                                                                                                                                                                                                                                                                                                                                                                                                                                                                                                                                                                                                                                                                                                                                                                                                                                                                                            |                                                                                                                                                                                                                                                                                                                                                                                                                                                                                                                                                                                                                                                                                                                                                                                                                                                                                                                                                                                                                                                                                                                                                                                                                                                                                                                                                                                                                                                                                                                                                                                                                                                                                                                                                                                                                                                                                                                                                                                                                                                                                                                                | E HE                                                                                                                                                                                                                                                                                                                                                                                                                                                                                                                                                                                                                                                                                                                                                                                                                                                                                                                                                                                                                                                                                                                                                                                                                                                                                                                                                                                                                                                                                                                                                                                                                                                                                                                                                                                                                                                                                                                                                                                                                                                                                                                          | GRIC                                                                                                                                                                                                                                                      
                                                                                                                                                                                                                                                                                                                                                                                                                                                                                                                                                                                                                                                                                                                                                                                                                                                                                                                                                                                                                                                                                                                                                                                                                                                                                                                                                                                                                                                                                                                                                                                                                                                                                                                                                                                                                                                                  | ES CH                                                                                                                                                                                                                                                                                                                                                                                                                                                                                                                                                                                                                                                                                                                                                                                                                                                                                                                                                                                                                                                                                                                                                                                                                                                                                                                                                                                                                                                                                                                                                                                                                                                                                                                                                                                                                                                                                                                                                                                                                                                                                                                        | NIAI                                                                                                                                                                                                                                                                                                                                                                                                                                                                                                                                                                                                                                                                                                                                                                                                                                                                                                                                                                                                                                                                                                                                                                                                                                                                                                                                                                                                                                                                                                                                                                                                                                                                                                                                                                                                                                                                                                                                                                                                                                                                                                                           |                                                                                                                                                                                                                                                                                                                                                                                                                                                                                                                                                                                                                                                                                                                                                                                                                                                                                                                                                                                                                                                                                                                                                                                                                                                                                                                                                                                                                                                                                                                                                                                                                                                                                                                                                                                                                                                                                                                                                                                                                                                                                                                                |                                                                                                                                                                                                                                                                                                                                                                                                                                                                                                                                                                                                                                                                                                                                                                                                                                                                                                                                                                                                                                                                                                                                                                                                                                                                                                                                                                                                                                                                                                                                                                                                                                                                                                                                                                                                                                                                                                                                                                                                                                                                                                                                |          
                                                                                                                                                                                                                                                                                                                                                                                                                                                                                                                                                                                                                                                                                                                                                                                                                                                                                                                                                                                                                                                                                                                                                                                                                                                                                                                                                                                                                                                                                                                                                                                                                                                                                                                                                                                                                                                                                                                                                                                                                                                                                                                     | SFAN                                                                                                                                                                                                                                                                                                                                                                                                                                                                                                                                                                                                                                                                                                                                                                                                                                                                                                                                                                                                                                                                                                                                                                                                                                                                                                                                                                                                                                                                                                                                                                                                                                                                                                          | RANC                                                                                                                                                                                                                                                                                                                                                                                                                                                                                                                                                                                                                                                                                                                                                                                                                                                                                                                                                                                                              | RANC                                                                                                                                                                                                                                                                                                                                                                                                                                                                                                                                                                                                                                                                                                                                                                                                                                                                                                                                                                                                                                           | RANC                                                                                                                                                                                                                                                                                                                                                                                                                                                                                                                                                                                                                                                                                                                                                                         |                                                                                                                                                                                                                                                                                                                                                                                                                                                                                                                                                                                                                                                                                                                                                                                                        |                                                                                                                                                                                                                                                                                                                                                                                                                                                                                                                                                                                         |                                                                                                                                                                                                                                                                                                                                                                                                                                                                                                | GICAL                                                                                                                                                                                                                                                                                                                                                                                                                                                                                                                        | TFILS                                                                                                                                                                                                                                                                                                                                                                                                                                                                                                                                                                                                          | HAS NE                                                                                                                                                                                                                                                                                                                                                                                                                                                                                                                                                                                                                           | NE I                         
                                                                                                                                                                                                                                                                                                                                                                                                                                                                                                                                                                                                                                                                                                                                                                                                                                                                                                                                                                                                                                                                                                                                                                                                                                                     | NDE I                                                                                                                                                                                                                                                                                                                                                                                                                                                                                                                                                                                                                                                                                                                                                                                                                                                                                                                                                                                                                                                                                                                                                                                                                                                                                                                                                                                                                                                                                                                                                                                                                                                                                                                                                                                                                                                                                                                                                                                                                                                                                                                          |                                                                                                                                                                                                                                                                                                                                                                                                                                                                                                                                                                                                                                                                                                                                                                                                                                                                                                                                                                                                                                                                                                                                                                                                                                                                                                                                                                                                                                                                                                                                                                                                                                                                                                                                                                                                                                                                                                                                                                                                                                                                                                                                |                                                                                                                                                                                                                                                                                                                                                                                                                                                                                                                                                                                                                                                                                                                                                                                                                                                                                                                                                                                                                                                                                                                                                                                                                                                                                                                                                                                                                                                                                                                                                                                                                                                                                                                                                                                           |                                                                                                                                                                                                                                                                                                                                                                                                                                                                                                                                                                                                                                                                                                                                                                                                                                                                                                                                                                                                                                                                                                                                                                                                                                                                                                                                                                                                                                                                                                                                                                                                                                                     | AR M                                                                                                                                                                                                                                                                                                                                                                                                                                                                                                                                                                                                                                                                                                                                                                                                                                                                                                                                                                                                                                                                                                                                                                                                                                                                                                                                                                                                                                
                                                              | Ä 3                                                                                                                                                                                                                                                                                                                                                                                                                                                                                                                                                                                                                                                                                                                                                                                                                                                                                                                                                                                                                                                                                                                                                                                                                                                                                                                                                                                                                                                                                                                                                                                                                                                                                                                                                                                                                                                                                                                                                                                                                                                                                                                          | 2                                                                                                                                                                                                                                                                                                                                                                                                                                                                                                                                                                                                                                                                                                                                                                                                                                                                                                                                                                                                                                                                                                                                                                                                                                                                                                                                                                                                                                                                                                                                                                                                                                                                                                                                                                                                                                                                                                                                                                                                                                                                                                                            |                                                                                                                                                                                                                                                                                                                                                                                                                                                                                                                                                                                                                                                                                                                                                                                                                                                                                                                                                                                                                                                                                                                                                                                                                                                                                                                                                                                                                                                                                                                                                                                                                                                                                                                                                                                                                                                                                                                                                                                                                                                                                                                                |                                                                                                                                                                                                                                                                                                                                                                                                                                                                                                                                                                                                                                                                                                                                                                                                                                                                                                                                                                                                                                                                                                                                                                                                                                                                                                                                                                                                                                                                                                                                                                                                                                                                                                                                                                                                                                                                                                                                                                                                                                                                                                                              |                                                                                                  | | |
                                                                                                                                                                                                                                                                                                                                                                                                             |                                                                                                                                                                                                                                                                                                                                                                                                                                                                                                                                                                                                                                                                                                                                                                                                                                                                                                                                                                                                                                                                                                                                                                                                                                                                                                                                                                                                                                                                                                                                                                                                                                                                                                                                                                                                                                                                                                                                                                                                                                                                                                                              |                                                                                                                                                                                                                                                                                                                                                                                                                                                                                                                                                                                                                                                                                                                                                                                                                                                                                                                                                                                                                                                                                                                                                                                                                                                                                                                                                                                                                                                                                                                                                                                                                                                                                                                                                                                                                                                                                                                                                                                                                                                                                                                              |           |                                                                                                                                                                                                                                                                                                                                                                                                                                                                                                                                                                                                                                                                                                                                                                                                                                                                                                                                                                                                                                                                                                                                                                                                                                                                                                                                                                                                                                                                                                                                                                                                                                                                                                                                                                                                                                                                                                                                                                                                                                                                                                                              |                                                                                            |                                                                                                                                                                                                                                                                                                                                                                                                                                                                                                                                                                                                                                                                                                                                                                                                                                                                                                                                                                                                                                                                                                                                                                                                                                                                                                                                                                                                                                                                                                                                                                                                                                                                                                                                                                                                                                                                                                                                                                                                                                                                                                                             |                                                                                                       |                                                                                                                                                                                                                                                                                                                                                                                                                                                                                                                                                                                                                                                                                                                                                                                                                                                                                                                                                                                                                                                                                                                                                                                                                                                     
                                                                                                                                                                                                                                                                                                                                                                                                                                                                                                                                                                                                                                                                                                                                                                                                                                                                        |            |                                                                                                                                                                                                                                                                                                                                                                                                                                                                                                                                                                                                                                                                                                                                                                                                                                                                                                                                                                                                                                                                                                                                                                                                                                                                                                                                                                                                                                                                                                                                                                                                                                                                                                                                                                                                                                                                                                                                                                                                                                                                                                                             |                                                                                                                                                                                                                                                                                                                                                                                                                                                                                                                                                                                                                                                                                                                                                                                                                                                                                                                                                                                                                                                                                                                                                                                                                                                                                                                                                                                                                                                                                                                                                                                                                                                                                                                                                                                                                                                                                                                                                                                                                                                                                                                              |                                                                                                                                                                                                                                                                                                                                                                                                                                                                                                                                                                                                                                                                                                                                                                                                                                                                                                                                                                                                                                                                                                                                                                                                                                                                                                                                                                                                                                                                                                                                                                                                                                                                                                                                                                                                                                                                                                                                                                                                                                                                                                                              |
|                                                                                                                                                                                                                                                                                                                                                                                                                                                                                                                                                                                                                                                                                                                                                                                                                                                                                                                                                                                                                                                                                                                                                                                                                                                                                                                                                                                                                                                                                                                                                                                                                                                                                                                                                                                                                                                                                                                                                                                                                                                                                                                              |                                                                                                                                                                                                                                                                                                                                                                                                                                                                                                                                                                                                                                                                                                                                                                                                                                                                                                                                                                                                                                                                                                                                                                                                                                                                                                                                                                                                                                                                                                                                                                                                                                                                                                                                                                                                                                                                                                                                                                                                                                                                                                                              |                                                                                                                                                                                                                                                                                                                                                                                                                                                                                                                                                                                                                                                                                                                                                                                                                                                                                                                                                                                                                                                                                                                                                                                                                                                                                                                                                                                                                                                                                                                                                                                                                                                                                                                                                                                                                                                                                                                                                                                                                                                                                                                              | BCZ                                                                                         | BIR                                                                                                                                                                                                                                                                                                                                                                                                                                                                                                                                                                                                                                                                                                                                                                                                                                                                                                                                                                                                                                                                                                                                                                                                                                                                                                                                                                                                                                                                                                                                                                                                                                                                                                                                                                                                                                                                                                                                                                                                                                                                                                                          |                                                                                                                                                                                                                                                                                                                                                                                                                                                                                                                                                                                                                                                                                                                                                                                                                                                                                                                                                                                                                                                                                                                                                                                                                                                                                                                                                                                                                                                                                                                                                                                                                                                                                                                                                                                    
                                                                                                                                                                                                                                                                                                                                         |                                                                                                                                                                                                                                                                                                                                                                                                                                                                                                                                                                                                                                                                                                                                                                                                                                                                                                                                                                                                                                                                                                                                                                                                                                                                                                                                                                                                                                                                                                                                                                                                                                                                                                                                                                                                                                                                                                                                                                                                                                                                                                                              | TAIRE                                                                                                                                                                                                                                                                                                                                                                                                                                                                                                                                                                                                                                                                                                                                                                                                                                                                                                                                                                                                                                                                                                                                                                                                                                                                                                                                                                                                                                                                                                                                                                                                                                                                                                                                                                                                                                                                                                                                                                                                                                                                                                                        |                                                                                       | DAP                                                                                                                                                                                                                                                                                                                                                                                                                                                                                                                                                                                                                                                                                                                                                                                                                                                                                                                                                                                                                                                                                                                                                                                                                                                                                                                                                                                                                                                                                                                                                                                                                                                                                                                                                                                                                                                                                                                                                                                                                                                                                                                          | DAP                                                                                                                                                                                                                                                                                                                                                                                                                                                                                                                                                                                                                                                                                                                                                                                                                                                                                                                                                                                                                                                                                                                                                                                                                                                                                                                                                                                                                                                                                                                                                                                                                                                                                                                                                                                                                                                                                                                                                                                                                                                                                                                          | DAP.                                                                                                                                                                                                                                                                                                                                                                                                                                                                                                                                                                                                                                                                                                                                                                                                                                                                                                                                                                                                                                                                                                                                                                                                                                                                                                                                                                                                                                            
                                                                                                                                                                                                                                                                                                                                                                                                                                                                                                                                                                                                                                                                           | DAP.                                                                                                                                                                                                                                                                                                                                                                                                                                                                                                                                                                                                                                                                                                                                                                                                                                                                                                                                                                                                                                                                                                                                                                                                                                                                                                                                                                                                                                                                                                                                                                                                                                                                                                                                                                                                                                                                                                                                                                                                                                                                                                                      | LIBO                                                                                                                                                                                                                                                                                                                                                                                                                                                                                                                                                                                                                                                                                                                                                                                                                                                                                                                                                                                                                                                                                                                                                                                                                                                                                                                                                                                                                                                                                                                                                                                                                                                                                                                                                                                                                                                                                                                                                                                                                                                                                                                         | ST JC                                                                                             | ELA                                                                                                                                                                                                                                                                                                                                                                                                                                                                                                                                                                                                                                                                                                                                                                                                                                                                                                                                                                                                                                                                                                                                                                                                                                                                                                                                                                                                                                                                                                                                                                                                                                                                                                                                                                                                                                                                                                                                                                                                                                                                                                                          |                                                                                   |                                                                                                                                                                                                                                                                                                                                                                                                                                                                                                                                                                                                                                                                                                                                                                                                                                                                                                                                                                                                                                                                                                                                                                                                                                                                                                                                                                                                                                                                                                                                                                                                                                                                                                                                                                                                                                                                                                                                                                                                                                                                                                                              |                                                                                                                                                                                                                                                                                                                                                                                                                                                                                                                                                                                                                                                                                                                                                                                                                                                                                                                                                                                                                  
                                                                                                                                                                                                                                                                                                                                                                                                                                                                                                                                                                                                                                                                                                                                                                                                                                                                                                                                                                                                                                                                                                           |                                                                                                       |                                                                                                   |                                                                                               | NUE                                                                                                 |                                                                                                                                                                                                                                                                                                                                                                                                                                                                                                                                                                                                                                                                                                                                                                                                                                                                                                                                                                                                                                                                                                                                                                                                                                                                                                                                                                                                                                                                                                                                                                                                                                                                                                                                                                                                                                                                                                                                                                                                                                                                                                                           |                                                                                           |                                                                                                                                                                                                                                                                                                                                                                                                                                                                                                                                                                                                                                                                                                                                                                                                                                                                                                                                                                                                                                                                                                                                                                                                                                                                                                                                                                                                                                                                                                                                                                                                                                                                                                                                                                                                                                                                                                                                                                                                                                                                                                                            |                                                                                                                                                                                                                                                                                                                                                                                                                                                                                                                                                                                                                                                                                                                                                                                                                                                                                                                                                                                                                                                                                                                                                                                                                                                                                                                                                                                                                                                                                                                                                                                                                                                                                                                                                                                                                                                                                                                                                                                                                                                                                                                                | HOV                                                                                                                                                                                                                                                                                                                                                                                                                                                                                                                                                                                                                                                                                                                                                                                                                                                                                                                                                                                                                                                                                                                                                                                                                                                                                                                                                                                                                                                                                                                                                                                                                                                                                                                                                                                                                                                                                                                                                                                                                                                                                                                           | DIE G                                                                                                                                                                                                                                                     
                                                                                                                                                                                                                                                                                                                                                                                                                                                                                                                                                                                                                                                                                                                                                                                                                                                                                                                                                                                                                                                                                                                                                                                                                                                                                                                                                                                                                                                                                                                                                                                                                                                                                                                                                                                                                                                                  | AS                                                                                                                                                                                                                                                                                                                                                                                                                                                                                                                                                                                                                                                                                                                                                                                                                                                                                                                                                                                                                                                                                                                                                                                                                                                                                                                                                                                                                                                                                                                                                                                                                                                                                                                                                                                                                                                                                                                                                                                                                                                                                                                           | APA                                                                                                                                                                                                                                                                                                                                                                                                                                                                                                                                                                                                                                                                                                                                                                                                                                                                                                                                                                                                                                                                                                                                                                                                                                                                                                                                                                                                                                                                                                                                                                                                                                                                                                                                                                                                                                                                                                                                                                                                                                                                                                                            |                                                                                                                                                                                                                                                                                                                                                                                                                                                                                                                                                                                                                                                                                                                                                                                                                                                                                                                                                                                                                                                                                                                                                                                                                                                                                                                                                                                                                                                                                                                                                                                                                                                                                                                                                                                                                                                                                                                                                                                                                                                                                                                                |                                                                                                                                                                                                                                                                                                                                                                                                                                                                                                                                                                                                                                                                                                                                                                                                                                                                                                                                                                                                                                                                                                                                                                                                                                                                                                                                                                                                                                                                                                                                                                                                                                                                                                                                                                                                                                                                                                                                                                                                                                                                                                                                | PAUL     
                                                                                                                                                                                                                                                                                                                                                                                                                                                                                                                                                                                                                                                                                                                                                                                                                                                                                                                                                                                                                                                                                                                                                                                                                                                                                                                                                                                                                                                                                                                                                                                                                                                                                                                                                                                                                                                                                                                                                                                                                                                                                                                     | ALLIA                                                                                                                                                                                                                                                                                                                                                                                                                                                                                                                                                                                                                                                                                                                                                                                                                                                                                                                                                                                                                                                                                                                                                                                                                                                                                                                                                                                                                                                                                                                                                                                                                                                                                                         |                                                                                                                                                                                                                                                                                                                                                                                                                                                                                                                                                                                                                                                                                                                                                                                                                                                                                                                                                                                                                   | OIS C                                                                                                                                                                                                                                                                                                                                                                                                                                                                                                                                                                                                                                                                                                                                                                                                                                                                                                                                                                                                                                          | OIS CO                                                                                                                                                                                                                                                                                                                                                                                                                                                                                                                                                                                                                                                                                                                                                                       |                                                                                                                                                                                                                                                                                                                                                                                                                                                                                                                                                                                                                                                                                                                                                                                                        | N N N N N N N N N N N N N N N N N N N                                                                                                                                                                                                                                                                                                                                                                                                                                                                                                                                                   |                                                                                                                                                                                                                                                                                                                                                                                                                                                                                                | E DU                                                                                                                                                                                                                                                                                                                                                                                                                                                                                                                         |                                                                                                                                                                                                                                                                                                                                                                                                                                                                                                                                                                                                                |                                                                                                                                                                                                                                                                                                                                                                                                                                                                                                                                                                                                                                  |                              
                                                                                                                                                                                                                                                                                                                                                                                                                                                                                                                                                                                                                                                                                                                                                                                                                                                                                                                                                                                                                                                                                                                                                                                                                                                     |                                                                                                                                                                                                                                                                                                                                                                                                                                                                                                                                                                                                                                                                                                                                                                                                                                                                                                                                                                                                                                                                                                                                                                                                                                                                                                                                                                                                                                                                                                                                                                                                                                                                                                                                                                                                                                                                                                                                                                                                                                                                                                                                | ATION                                                                                                                                                                                                                                                                                                                                                                                                                                                                                                                                                                                                                                                                                                                                                                                                                                                                                                                                                                                                                                                                                                                                                                                                                                                                                                                                                                                                                                                                                                                                                                                                                                                                                                                                                                                                                                                                                                                                                                                                                                                                                                                          |                                                                                                                                                                                                                                                                                                                                                                                                                                                                                                                                                                                                                                                                                                                                                                                                                                                                                                                                                                                                                                                                                                                                                                                                                                                                                                                                                                                                                                                                                                                                                                                                                                                                                                                                                                                           |                                                                                                                                                                                                                                                                                                                                                                                                                                                                                                                                                                                                                                                                                                                                                                                                                                                                                                                                                                                                                                                                                                                                                                                                                                                                                                                                                                                                                                                                                                                                                                                                                                                     | RLAC                                                                                                                                                                                                                                                                                                                                                                                                                                                                                                                                                                                                                                                                                                                                                                                                                                                                                                                                                                                                                                                                                                                                                                                                                                                                                                                                                                                                                                
                                                              | R                                                                                                                                                                                                                                                                                                                                                                                                                                                                                                                                                                                                                                                                                                                                                                                                                                                                                                                                                                                                                                                                                                                                                                                                                                                                                                                                                                                                                                                                                                                                                                                                                                                                                                                                                                                                                                                                                                                                                                                                                                                                                                                            | 2                                                                                                                                                                                                                                                                                                                                                                                                                                                                                                                                                                                                                                                                                                                                                                                                                                                                                                                                                                                                                                                                                                                                                                                                                                                                                                                                                                                                                                                                                                                                                                                                                                                                                                                                                                                                                                                                                                                                                                                                                                                                                                                            |                                                                                                                                                                                                                                                                                                                                                                                                                                                                                                                                                                                                                                                                                                                                                                                                                                                                                                                                                                                                                                                                                                                                                                                                                                                                                                                                                                                                                                                                                                                                                                                                                                                                                                                                                                                                                                                                                                                                                                                                                                                                                                                                |                                                                                                                                                                                                                                                                                                                                                                                                                                                                                                                                                                                                                                                                                                                                                                                                                                                                                                                                                                                                                                                                                                                                                                                                                                                                                                                                                                                                                                                                                                                                                                                                                                                                                                                                                                                                                                                                                                                                                                                                                                                                                                                              |                                                                                                  | | |
                                                                                                                                                                                                                                                                                                                                                                                                             |                                                                                                                                                                                                                                                                                                                                                                                                                                                                                                                                                                                                                                                                                                                                                                                                                                                                                                                                                                                                                                                                                                                                                                                                                                                                                                                                                                                                                                                                                                                                                                                                                                                                                                                                                                                                                                                                                                                                                                                                                                                                                                                              |                                                                                                                                                                                                                                                                                                                                                                                                                                                                                                                                                                                                                                                                                                                                                                                                                                                                                                                                                                                                                                                                                                                                                                                                                                                                                                                                                                                                                                                                                                                                                                                                                                                                                                                                                                                                                                                                                                                                                                                                                                                                                                                              |           |                                                                                                                                                                                                                                                                                                                                                                                                                                                                                                                                                                                                                                                                                                                                                                                                                                                                                                                                                                                                                                                                                                                                                                                                                                                                                                                                                                                                                                                                                                                                                                                                                                                                                                                                                                                                                                                                                                                                                                                                                                                                                                                              |                                                                                            |                                                                                                                                                                                                                                                                                                                                                                                                                                                                                                                                                                                                                                                                                                                                                                                                                                                                                                                                                                                                                                                                                                                                                                                                                                                                                                                                                                                                                                                                                                                                                                                                                                                                                                                                                                                                                                                                                                                                                                                                                                                                                                                             |                                                                                                       |                                                                                                                                                                                                                                                                                                                                                                                                                                                                                                                                                                                                                                                                                                                                                                                                                                                                                                                                                                                                                                                                                                                                                                                                                                                     
                                                                                                                                                                                                                                                                                                                                                                                                                                                                                                                                                                                                                                                                                                                                                                                                                                                                        |            |                                                                                                                                                                                                                                                                                                                                                                                                                                                                                                                                                                                                                                                                                                                                                                                                                                                                                                                                                                                                                                                                                                                                                                                                                                                                                                                                                                                                                                                                                                                                                                                                                                                                                                                                                                                                                                                                                                                                                                                                                                                                                                                             |                                                                                                                                                                                                                                                                                                                                                                                                                                                                                                                                                                                                                                                                                                                                                                                                                                                                                                                                                                                                                                                                                                                                                                                                                                                                                                                                                                                                                                                                                                                                                                                                                                                                                                                                                                                                                                                                                                                                                                                                                                                                                                                              |                                                                                                                                                                                                                                                                                                                                                                                                                                                                                                                                                                                                                                                                                                                                                                                                                                                                                                                                                                                                                                                                                                                                                                                                                                                                                                                                                                                                                                                                                                                                                                                                                                                                                                                                                                                                                                                                                                                                                                                                                                                                                                                              |
|                                                                                                                                                                                                                                                                                                                                                                                                                                                                                                                                                                                                                                                                                                                                                                                                                                                                                                                                                                                                                                                                                                                                                                                                                                                                                                                                                                                                                                                                                                                                                                                                                                                                                                                                                                                                                                                                                                                                                                                                                                                                                                                              |                                                                                                                                                                                                                                                                                                                                                                                                                                                                                                                                                                                                                                                                                                                                                                                                                                                                                                                                                                                                                                                                                                                                                                                                                                                                                                                                                                                                                                                                                                                                                                                                                                                                                                                                                                                                                                                                                                                                                                                                                                                                                                                              |                                                                                                                                                                                                                                                                                                                                                                                                                                                                                                                                                                                                                                                                                                                                                                                                                                                                                                                                                                                                                                                                                                                                                                                                                                                                                                                                                                                                                                                                                                                                                                                                                                                                                                                                                                                                                                                                                                                                                                                                                                                                                                                              | BAUU                                                                                        | 2                                                                                                                                                                                                                                                                                                                                                                                                                                                                                                                                                                                                                                                                                                                                                                                                                                                                                                                                                                                                                                                                                                                                                                                                                                                                                                                                                                                                                                                                                                                                                                                                                                                                                                                                                                                                                                                                                                                                                                                                                                                                                                                            |                                                                                                                                                                                                                                                                                                                                                                                                                                                                                                                                                                                                                                                                                                                                                                                                                                                                                                                                                                                                                                                                                                                                                                                                                                                                                                                                                                                                                                                                                                                                                                                                                                                                                                                                                                                    
                                                                                                                                                                                                                                                                                                                                         | از                                                                                                                                                                                                                                                                                                                                                                                                                                                                                                                                                                                                                                                                                                                                                                                                                                                                                                                                                                                                                                                                                                                                                                                                                                                                                                                                                                                                                                                                                                                                                                                                                                                                                                                                                                                                                                                                                                                                                                                                                                                                                                                           | S RES                                                                                                                                                                                                                                                                                                                                                                                                                                                                                                                                                                                                                                                                                                                                                                                                                                                                                                                                                                                                                                                                                                                                                                                                                                                                                                                                                                                                                                                                                                                                                                                                                                                                                                                                                                                                                                                                                                                                                                                                                                                                                                                        |                                                                                       | TES LI                                                                                                                                                                                                                                                                                                                                                                                                                                                                                                                                                                                                                                                                                                                                                                                                                                                                                                                                                                                                                                                                                                                                                                                                                                                                                                                                                                                                                                                                                                                                                                                                                                                                                                                                                                                                                                                                                                                                                                                                                                                                                                                       | TES LI                                                                                                                                                                                                                                                                                                                                                                                                                                                                                                                                                                                                                                                                                                                                                                                                                                                                                                                                                                                                                                                                                                                                                                                                                                                                                                                                                                                                                                                                                                                                                                                                                                                                                                                                                                                                                                                                                                                                                                                                                                                                                                                       | LES LI                                                                                                                                                                                                                                                                                                                                                                                                                                                                                                                                                                                                                                                                                                                                                                                                                                                                                                                                                                                                                                                                                                                                                                                                                                                                                                                                                                                                                                          
                                                                                                                                                                                                                                                                                                                                                                                                                                                                                                                                                                                                                                                                           | ES                                                                                                                                                                                                                                                                                                                                                                                                                                                                                                                                                                                                                                                                                                                                                                                                                                                                                                                                                                                                                                                                                                                                                                                                                                                                                                                                                                                                                                                                                                                                                                                                                                                                                                                                                                                                                                                                                                                                                                                                                                                                                                                        | URNA                                                                                                                                                                                                                                                                                                                                                                                                                                                                                                                                                                                                                                                                                                                                                                                                                                                                                                                                                                                                                                                                                                                                                                                                                                                                                                                                                                                                                                                                                                                                                                                                                                                                                                                                                                                                                                                                                                                                                                                                                                                                                                                         | SEPH                                                                                              | SIRON                                                                                                                                                                                                                                                                                                                                                                                                                                                                                                                                                                                                                                                                                                                                                                                                                                                                                                                                                                                                                                                                                                                                                                                                                                                                                                                                                                                                                                                                                                                                                                                                                                                                                                                                                                                                                                                                                                                                                                                                                                                                                                                        |                                                                                   |                                                                                                                                                                                                                                                                                                                                                                                                                                                                                                                                                                                                                                                                                                                                                                                                                                                                                                                                                                                                                                                                                                                                                                                                                                                                                                                                                                                                                                                                                                                                                                                                                                                                                                                                                                                                                                                                                                                                                                                                                                                                                                                              |                                                                                                                                                                                                                                                                                                                                                                                                                                                                                                                                                                                                                                                                                                                                                                                                                                                                                                                                                                                                                  
                                                                                                                                                                                                                                                                                                                                                                                                                                                                                                                                                                                                                                                                                                                                                                                                                                                                                                                                                                                                                                                                                                           |                                                                                                       |                                                                                                   |                                                                                               | ADD                                                                                                 | N E                                                                                                                                                                                                                                                                                                                                                                                                                                                                                                                                                                                                                                                                                                                                                                                                                                                                                                                                                                                                                                                                                                                                                                                                                                                                                                                                                                                                                                                                                                                                                                                                                                                                                                                                                                                                                                                                                                                                                                                                                                                                                                                       |                                                                                           |                                                                                                                                                                                                                                                                                                                                                                                                                                                                                                                                                                                                                                                                                                                                                                                                                                                                                                                                                                                                                                                                                                                                                                                                                                                                                                                                                                                                                                                                                                                                                                                                                                                                                                                                                                                                                                                                                                                                                                                                                                                                                                                            |                                                                                                                                                                                                                                                                                                                                                                                                                                                                                                                                                                                                                                                                                                                                                                                                                                                                                                                                                                                                                                                                                                                                                                                                                                                                                                                                                                                                                                                                                                                                                                                                                                                                                                                                                                                                                                                                                                                                                                                                                                                                                                                                | HE                                                                                                                                                                                                                                                                                                                                                                                                                                                                                                                                                                                                                                                                                                                                                                                                                                                                                                                                                                                                                                                                                                                                                                                                                                                                                                                                                                                                                                                                                                                                                                                                                                                                                                                                                                                                                                                                                                                                                                                                                                                                                                                            | RON                                                                                                                                                                                                                                                       
                                                                                                                                                                                                                                                                                                                                                                                                                                                                                                                                                                                                                                                                                                                                                                                                                                                                                                                                                                                                                                                                                                                                                                                                                                                                                                                                                                                                                                                                                                                                                                                                                                                                                                                                                                                                                                                                  |                                                                                                                                                                                                                                                                                                                                                                                                                                                                                                                                                                                                                                                                                                                                                                                                                                                                                                                                                                                                                                                                                                                                                                                                                                                                                                                                                                                                                                                                                                                                                                                                                                                                                                                                                                                                                                                                                                                                                                                                                                                                                                                              | 되                                                                                                                                                                                                                                                                                                                                                                                                                                                                                                                                                                                                                                                                                                                                                                                                                                                                                                                                                                                                                                                                                                                                                                                                                                                                                                                                                                                                                                                                                                                                                                                                                                                                                                                                                                                                                                                                                                                                                                                                                                                                                                                              | S N                                                                                                                                                                                                                                                                                                                                                                                                                                                                                                                                                                                                                                                                                                                                                                                                                                                                                                                                                                                                                                                                                                                                                                                                                                                                                                                                                                                                                                                                                                                                                                                                                                                                                                                                                                                                                                                                                                                                                                                                                                                                                                                            | 3                                                                                                                                                                                                                                                                                                                                                                                                                                                                                                                                                                                                                                                                                                                                                                                                                                                                                                                                                                                                                                                                                                                                                                                                                                                                                                                                                                                                                                                                                                                                                                                                                                                                                                                                                                                                                                                                                                                                                                                                                                                                                                                              |          
                                                                                                                                                                                                                                                                                                                                                                                                                                                                                                                                                                                                                                                                                                                                                                                                                                                                                                                                                                                                                                                                                                                                                                                                                                                                                                                                                                                                                                                                                                                                                                                                                                                                                                                                                                                                                                                                                                                                                                                                                                                                                                                     | ES                                                                                                                                                                                                                                                                                                                                                                                                                                                                                                                                                                                                                                                                                                                                                                                                                                                                                                                                                                                                                                                                                                                                                                                                                                                                                                                                                                                                                                                                                                                                                                                                                                                                                                            | TSNC                                                                                                                                                                                                                                                                                                                                                                                                                                                                                                                                                                                                                                                                                                                                                                                                                                                                                                                                                                                                              | /TSNC                                                                                                                                                                                                                                                                                                                                                                                                                                                                                                                                                                                                                                                                                                                                                                                                                                                                                                                                                                                                                                          | JESNC                                                                                                                                                                                                                                                                                                                                                                                                                                                                                                                                                                                                                                                                                                                                                                        |                                                                                                                                                                                                                                                                                                                                                                                                                                                                                                                                                                                                                                                                                                                                                                                                        | CDEL                                                                                                                                                                                                                                                                                                                                                                                                                                                                                                                                                                                    |                                                                                                                                                                                                                                                                                                                                                                                                                                                                                                | LIBO                                                                                                                                                                                                                                                                                                                                                                                                                                                                                                                         |                                                                                                                                                                                                                                                                                                                                                                                                                                                                                                                                                                                                                |                                                                                                                                                                                                                                                                                                                                                                                                                                                                                                                                                                                                                                  |                              
                                                                                                                                                                                                                                                                                                                                                                                                                                                                                                                                                                                                                                                                                                                                                                                                                                                                                                                                                                                                                                                                                                                                                                                                                                                     |                                                                                                                                                                                                                                                                                                                                                                                                                                                                                                                                                                                                                                                                                                                                                                                                                                                                                                                                                                                                                                                                                                                                                                                                                                                                                                                                                                                                                                                                                                                                                                                                                                                                                                                                                                                                                                                                                                                                                                                                                                                                                                                                | 一点                                                                                                                                                                                                                                                                                                                                                                                                                                                                                                                                                                                                                                                                                                                                                                                                                                                                                                                                                                                                                                                                                                                                                                                                                                                                                                                                                                                                                                                                                                                                                                                                                                                                                                                                                                                                                                                                                                                                                                                                                                                                                                                             |                                                                                                                                                                                                                                                                                                                                                                                                                                                                                                                                                                                                                                                                                                                                                                                                                                                                                                                                                                                                                                                                                                                                                                                                                                                                                                                                                                                                                                                                                                                                                                                                                                                                                                                                                                                           |                                                                                                                                                                                                                                                                                                                                                                                                                                                                                                                                                                                                                                                                                                                                                                                                                                                                                                                                                                                                                                                                                                                                                                                                                                                                                                                                                                                                                                                                                                                                                                                                                                                     | ROIX                                                                                                                                                                                                                                                                                                                                                                                                                                                                                                                                                                                                                                                                                                                                                                                                                                                                                                                                                                                                                                                                                                                                                                                                                                                                                                                                                                                                                                
                                                              | ROS                                                                                                                                                                                                                                                                                                                                                                                                                                                                                                                                                                                                                                                                                                                                                                                                                                                                                                                                                                                                                                                                                                                                                                                                                                                                                                                                                                                                                                                                                                                                                                                                                                                                                                                                                                                                                                                                                                                                                                                                                                                                                                                          | Š                                                                                                                                                                                                                                                                                                                                                                                                                                                                                                                                                                                                                                                                                                                                                                                                                                                                                                                                                                                                                                                                                                                                                                                                                                                                                                                                                                                                                                                                                                                                                                                                                                                                                                                                                                                                                                                                                                                                                                                                                                                                                                                            |                                                                                                                                                                                                                                                                                                                                                                                                                                                                                                                                                                                                                                                                                                                                                                                                                                                                                                                                                                                                                                                                                                                                                                                                                                                                                                                                                                                                                                                                                                                                                                                                                                                                                                                                                                                                                                                                                                                                                                                                                                                                                                                                |                                                                                                                                                                                                                                                                                                                                                                                                                                                                                                                                                                                                                                                                                                                                                                                                                                                                                                                                                                                                                                                                                                                                                                                                                                                                                                                                                                                                                                                                                                                                                                                                                                                                                                                                                                                                                                                                                                                                                                                                                                                                                                                              |                                                                                                  | П                                                                                                                                                                                                                                                                                                                                                                                                                                                                                                                                                                                                                                                                                                                                                                                                                                                                                                                                                                                                                                                                                                                                                                                                                                                                                                                                                                                                                                                                                                                                                                                                                                                                                                             
                                                                                                                                                                                                                                                                                                                                                                                                             |                                                                                                                                                                                                                                                                                                                                                                                                                                                                                                                                                                                                                                                                                                                                                                                                                                                                                                                                                                                                                                                                                                                                                                                                                                                                                                                                                                                                                                                                                                                                                                                                                                                                                                                                                                                                                                                                                                                                                                                                                                                                                                                              |                                                                                                                                                                                                                                                                                                                                                                                                                                                                                                                                                                                                                                                                                                                                                                                                                                                                                                                                                                                                                                                                                                                                                                                                                                                                                                                                                                                                                                                                                                                                                                                                                                                                                                                                                                                                                                                                                                                                                                                                                                                                                                                              |           |                                                                                                                                                                                                                                                                                                                                                                                                                                                                                                                                                                                                                                                                                                                                                                                                                                                                                                                                                                                                                                                                                                                                                                                                                                                                                                                                                                                                                                                                                                                                                                                                                                                                                                                                                                                                                                                                                                                                                                                                                                                                                                                              |                                                                                            |                                                                                                                                                                                                                                                                                                                                                                                                                                                                                                                                                                                                                                                                                                                                                                                                                                                                                                                                                                                                                                                                                                                                                                                                                                                                                                                                                                                                                                                                                                                                                                                                                                                                                                                                                                                                                                                                                                                                                                                                                                                                                                                             |                                                                                                       |                                                                                                                                                                                                                                                                                                                                                                                                                                                                                                                                                                                                                                                                                                                                                                                                                                                                                                                                                                                                                                                                                                                                                                                                                                                     
                                                                                                                                                                                                                                                                                                                                                                                                                                                                                                                                                                                                                                                                                                                                                                                                                                                                        |            |                                                                                                                                                                                                                                                                                                                                                                                                                                                                                                                                                                                                                                                                                                                                                                                                                                                                                                                                                                                                                                                                                                                                                                                                                                                                                                                                                                                                                                                                                                                                                                                                                                                                                                                                                                                                                                                                                                                                                                                                                                                                                                                             |                                                                                                                                                                                                                                                                                                                                                                                                                                                                                                                                                                                                                                                                                                                                                                                                                                                                                                                                                                                                                                                                                                                                                                                                                                                                                                                                                                                                                                                                                                                                                                                                                                                                                                                                                                                                                                                                                                                                                                                                                                                                                                                              |                                                                                                                                                                                                                                                                                                                                                                                                                                                                                                                                                                                                                                                                                                                                                                                                                                                                                                                                                                                                                                                                                                                                                                                                                                                                                                                                                                                                                                                                                                                                                                                                                                                                                                                                                                                                                                                                                                                                                                                                                                                                                                                              |
|                                                                                                                                                                                                                                                                                                                                                                                                                                                                                                                                                                                                                                                                                                                                                                                                                                                                                                                                                                                                                                                                                                                                                                                                                                                                                                                                                                                                                                                                                                                                                                                                                                                                                                                                                                                                                                                                                                                                                                                                                                                                                                                              |                                                                                                                                                                                                                                                                                                                                                                                                                                                                                                                                                                                                                                                                                                                                                                                                                                                                                                                                                                                                                                                                                                                                                                                                                                                                                                                                                                                                                                                                                                                                                                                                                                                                                                                                                                                                                                                                                                                                                                                                                                                                                                                              |                                                                                                                                                                                                                                                                                                                                                                                                                                                                                                                                                                                                                                                                                                                                                                                                                                                                                                                                                                                                                                                                                                                                                                                                                                                                                                                                                                                                                                                                                                                                                                                                                                                                                                                                                                                                                                                                                                                                                                                                                                                                                                                              |                                                                                             |                                                                                                                                                                                                                                                                                                                                                                                                                                                                                                                                                                                                                                                                                                                                                                                                                                                                                                                                                                                                                                                                                                                                                                                                                                                                                                                                                                                                                                                                                                                                                                                                                                                                                                                                                                                                                                                                                                                                                                                                                                                                                                                              |                                                                                                                                                                                                                                                                                                                                                                                                                                                                                                                                                                                                                                                                                                                                                                                                                                                                                                                                                                                                                                                                                                                                                                                                                                                                                                                                                                                                                                                                                                                                                                                                                                                                                                                                                                                    
                                                                                                                                                                                                                                                                                                                                         |                                                                                                                                                                                                                                                                                                                                                                                                                                                                                                                                                                                                                                                                                                                                                                                                                                                                                                                                                                                                                                                                                                                                                                                                                                                                                                                                                                                                                                                                                                                                                                                                                                                                                                                                                                                                                                                                                                                                                                                                                                                                                                                              | Æ                                                                                                                                                                                                                                                                                                                                                                                                                                                                                                                                                                                                                                                                                                                                                                                                                                                                                                                                                                                                                                                                                                                                                                                                                                                                                                                                                                                                                                                                                                                                                                                                                                                                                                                                                                                                                                                                                                                                                                                                                                                                                                                            |                                                                                       | BOU                                                                                                                                                                                                                                                                                                                                                                                                                                                                                                                                                                                                                                                                                                                                                                                                                                                                                                                                                                                                                                                                                                                                                                                                                                                                                                                                                                                                                                                                                                                                                                                                                                                                                                                                                                                                                                                                                                                                                                                                                                                                                                                          |                                                                                                                                                                                                                                                                                                                                                                                                                                                                                                                                                                                                                                                                                                                                                                                                                                                                                                                                                                                                                                                                                                                                                                                                                                                                                                                                                                                                                                                                                                                                                                                                                                                                                                                                                                                                                                                                                                                                                                                                                                                                                                                              | BOU                                                                                                                                                                                                                                                                                                                                                                                                                                                                                                                                                                                                                                                                                                                                                                                                                                                                                                                                                                                                                                                                                                                                                                                                                                                                                                                                                                                                                                             
                                                                                                                                                                                                                                                                                                                                                                                                                                                                                                                                                                                                                                                                           |                                                                                                                                                                                                                                                                                                                                                                                                                                                                                                                                                                                                                                                                                                                                                                                                                                                                                                                                                                                                                                                                                                                                                                                                                                                                                                                                                                                                                                                                                                                                                                                                                                                                                                                                                                                                                                                                                                                                                                                                                                                                                                                           | s                                                                                                                                                                                                                                                                                                                                                                                                                                                                                                                                                                                                                                                                                                                                                                                                                                                                                                                                                                                                                                                                                                                                                                                                                                                                                                                                                                                                                                                                                                                                                                                                                                                                                                                                                                                                                                                                                                                                                                                                                                                                                                                            |                                                                                                   | ē                                                                                                                                                                                                                                                                                                                                                                                                                                                                                                                                                                                                                                                                                                                                                                                                                                                                                                                                                                                                                                                                                                                                                                                                                                                                                                                                                                                                                                                                                                                                                                                                                                                                                                                                                                                                                                                                                                                                                                                                                                                                                                                            |                                                                                   |                                                                                                                                                                                                                                                                                                                                                                                                                                                                                                                                                                                                                                                                                                                                                                                                                                                                                                                                                                                                                                                                                                                                                                                                                                                                                                                                                                                                                                                                                                                                                                                                                                                                                                                                                                                                                                                                                                                                                                                                                                                                                                                              |                                                                                                                                                                                                                                                                                                                                                                                                                                                                                                                                                                                                                                                                                                                                                                                                                                                                                                                                                                                                                  
                                                                                                                                                                                                                                                                                                                                                                                                                                                                                                                                                                                                                                                                                                                                                                                                                                                                                                                                                                                                                                                                                                           |                                                                                                       |                                                                                                   |                                                                                               | مَا                                                                                                 | IFANC                                                                                                                                                                                                                                                                                                                                                                                                                                                                                                                                                                                                                                                                                                                                                                                                                                                                                                                                                                                                                                                                                                                                                                                                                                                                                                                                                                                                                                                                                                                                                                                                                                                                                                                                                                                                                                                                                                                                                                                                                                                                                                                     |                                                                                           |                                                                                                                                                                                                                                                                                                                                                                                                                                                                                                                                                                                                                                                                                                                                                                                                                                                                                                                                                                                                                                                                                                                                                                                                                                                                                                                                                                                                                                                                                                                                                                                                                                                                                                                                                                                                                                                                                                                                                                                                                                                                                                                            |                                                                                                                                                                                                                                                                                                                                                                                                                                                                                                                                                                                                                                                                                                                                                                                                                                                                                                                                                                                                                                                                                                                                                                                                                                                                                                                                                                                                                                                                                                                                                                                                                                                                                                                                                                                                                                                                                                                                                                                                                                                                                                                                | E                                                                                                                                                                                                                                                                                                                                                                                                                                                                                                                                                                                                                                                                                                                                                                                                                                                                                                                                                                                                                                                                                                                                                                                                                                                                                                                                                                                                                                                                                                                                                                                                                                                                                                                                                                                                                                                                                                                                                                                                                                                                                                                             | ~                                                                                                                                                                                                                                                         
                                                                                                                                                                                                                                                                                                                                                                                                                                                                                                                                                                                                                                                                                                                                                                                                                                                                                                                                                                                                                                                                                                                                                                                                                                                                                                                                                                                                                                                                                                                                                                                                                                                                                                                                                                                                                                                                  |                                                                                                                                                                                                                                                                                                                                                                                                                                                                                                                                                                                                                                                                                                                                                                                                                                                                                                                                                                                                                                                                                                                                                                                                                                                                                                                                                                                                                                                                                                                                                                                                                                                                                                                                                                                                                                                                                                                                                                                                                                                                                                                              | LAG                                                                                                                                                                                                                                                                                                                                                                                                                                                                                                                                                                                                                                                                                                                                                                                                                                                                                                                                                                                                                                                                                                                                                                                                                                                                                                                                                                                                                                                                                                                                                                                                                                                                                                                                                                                                                                                                                                                                                                                                                                                                                                                            |                                                                                                                                                                                                                                                                                                                                                                                                                                                                                                                                                                                                                                                                                                                                                                                                                                                                                                                                                                                                                                                                                                                                                                                                                                                                                                                                                                                                                                                                                                                                                                                                                                                                                                                                                                                                                                                                                                                                                                                                                                                                                                                                | 2                                                                                                                                                                                                                                                                                                                                                                                                                                                                                                                                                                                                                                                                                                                                                                                                                                                                                                                                                                                                                                                                                                                                                                                                                                                                                                                                                                                                                                                                                                                                                                                                                                                                                                                                                                                                                                                                                                                                                                                                                                                                                                                              |          
                                                                                                                                                                                                                                                                                                                                                                                                                                                                                                                                                                                                                                                                                                                                                                                                                                                                                                                                                                                                                                                                                                                                                                                                                                                                                                                                                                                                                                                                                                                                                                                                                                                                                                                                                                                                                                                                                                                                                                                                                                                                                                                     |                                                                                                                                                                                                                                                                                                                                                                                                                                                                                                                                                                                                                                                                                                                                                                                                                                                                                                                                                                                                                                                                                                                                                                                                                                                                                                                                                                                                                                                                                                                                                                                                                                                                                                               | \frac{1}{2}                                                                                                                                                                                                                                                                                                                                                                                                                                                                                                                                                                                                                                                                                                                                                                                                                                                                                                                                                                                                       |                                                                                                                                                                                                                                                                                                                                                                                                                                                                                                                                                                                                                                                                                                                                                                                                                                                                                                                                                                                                                                                |                                                                                                                                                                                                                                                                                                                                                                                                                                                                                                                                                                                                                                                                                                                                                                              |                                                                                                                                                                                                                                                                                                                                                                                                                                                                                                                                                                                                                                                                                                                                                                                                        | <u> </u>                                                                                                                                                                                                                                                                                                                                                                                                                                                                                                                                                                                |                                                                                                                                                                                                                                                                                                                                                                                                                                                                                                | 郞                                                                                                                                                                                                                                                                                                                                                                                                                                                                                                                            |                                                                                                                                                                                                                                                                                                                                                                                                                                                                                                                                                                                                                |                                                                                                                                                                                                                                                                                                                                                                                                                                                                                                                                                                                                                                  |                              
                                                                                                                                                                                                                                                                                                                                                                                                                                                                                                                                                                                                                                                                                                                                                                                                                                                                                                                                                                                                                                                                                                                                                                                                                                                     |                                                                                                                                                                                                                                                                                                                                                                                                                                                                                                                                                                                                                                                                                                                                                                                                                                                                                                                                                                                                                                                                                                                                                                                                                                                                                                                                                                                                                                                                                                                                                                                                                                                                                                                                                                                                                                                                                                                                                                                                                                                                                                                                | APP                                                                                                                                                                                                                                                                                                                                                                                                                                                                                                                                                                                                                                                                                                                                                                                                                                                                                                                                                                                                                                                                                                                                                                                                                                                                                                                                                                                                                                                                                                                                                                                                                                                                                                                                                                                                                                                                                                                                                                                                                                                                                                                            |                                                                                                                                                                                                                                                                                                                                                                                                                                                                                                                                                                                                                                                                                                                                                                                                                                                                                                                                                                                                                                                                                                                                                                                                                                                                                                                                                                                                                                                                                                                                                                                                                                                                                                                                                                                           |                                                                                                                                                                                                                                                                                                                                                                                                                                                                                                                                                                                                                                                                                                                                                                                                                                                                                                                                                                                                                                                                                                                                                                                                                                                                                                                                                                                                                                                                                                                                                                                                                                                     | 9                                                                                                                                                                                                                                                                                                                                                                                                                                                                                                                                                                                                                                                                                                                                                                                                                                                                                                                                                                                                                                                                                                                                                                                                                                                                                                                                                                                                                                   
                                                              | <u>ه</u> ا                                                                                                                                                                                                                                                                                                                                                                                                                                                                                                                                                                                                                                                                                                                                                                                                                                                                                                                                                                                                                                                                                                                                                                                                                                                                                                                                                                                                                                                                                                                                                                                                                                                                                                                                                                                                                                                                                                                                                                                                                                                                                                                   | 0                                                                                                                                                                                                                                                                                                                                                                                                                                                                                                                                                                                                                                                                                                                                                                                                                                                                                                                                                                                                                                                                                                                                                                                                                                                                                                                                                                                                                                                                                                                                                                                                                                                                                                                                                                                                                                                                                                                                                                                                                                                                                                                            |                                                                                                                                                                                                                                                                                                                                                                                                                                                                                                                                                                                                                                                                                                                                                                                                                                                                                                                                                                                                                                                                                                                                                                                                                                                                                                                                                                                                                                                                                                                                                                                                                                                                                                                                                                                                                                                                                                                                                                                                                                                                                                                                |                                                                                                                                                                                                                                                                                                                                                                                                                                                                                                                                                                                                                                                                                                                                                                                                                                                                                                                                                                                                                                                                                                                                                                                                                                                                                                                                                                                                                                                                                                                                                                                                                                                                                                                                                                                                                                                                                                                                                                                                                                                                                                                              |                                                                                                  | | |
                                                                                                                                                                                                                                                                                                                                                                                                             |                                                                                                                                                                                                                                                                                                                                                                                                                                                                                                                                                                                                                                                                                                                                                                                                                                                                                                                                                                                                                                                                                                                                                                                                                                                                                                                                                                                                                                                                                                                                                                                                                                                                                                                                                                                                                                                                                                                                                                                                                                                                                                                              |                                                                                                                                                                                                                                                                                                                                                                                                                                                                                                                                                                                                                                                                                                                                                                                                                                                                                                                                                                                                                                                                                                                                                                                                                                                                                                                                                                                                                                                                                                                                                                                                                                                                                                                                                                                                                                                                                                                                                                                                                                                                                                                              |           |                                                                                                                                                                                                                                                                                                                                                                                                                                                                                                                                                                                                                                                                                                                                                                                                                                                                                                                                                                                                                                                                                                                                                                                                                                                                                                                                                                                                                                                                                                                                                                                                                                                                                                                                                                                                                                                                                                                                                                                                                                                                                                                              |                                                                                            |                                                                                                                                                                                                                                                                                                                                                                                                                                                                                                                                                                                                                                                                                                                                                                                                                                                                                                                                                                                                                                                                                                                                                                                                                                                                                                                                                                                                                                                                                                                                                                                                                                                                                                                                                                                                                                                                                                                                                                                                                                                                                                                             |                                                                                                       |                                                                                                                                                                                                                                                                                                                                                                                                                                                                                                                                                                                                                                                                                                                                                                                                                                                                                                                                                                                                                                                                                                                                                                                                                                                     
                                                                                                                                                                                                                                                                                                                                                                                                                                                                                                                                                                                                                                                                                                                                                                                                                                                                        |            |                                                                                                                                                                                                                                                                                                                                                                                                                                                                                                                                                                                                                                                                                                                                                                                                                                                                                                                                                                                                                                                                                                                                                                                                                                                                                                                                                                                                                                                                                                                                                                                                                                                                                                                                                                                                                                                                                                                                                                                                                                                                                                                             |                                                                                                                                                                                                                                                                                                                                                                                                                                                                                                                                                                                                                                                                                                                                                                                                                                                                                                                                                                                                                                                                                                                                                                                                                                                                                                                                                                                                                                                                                                                                                                                                                                                                                                                                                                                                                                                                                                                                                                                                                                                                                                                              |                                                                                                                                                                                                                                                                                                                                                                                                                                                                                                                                                                                                                                                                                                                                                                                                                                                                                                                                                                                                                                                                                                                                                                                                                                                                                                                                                                                                                                                                                                                                                                                                                                                                                                                                                                                                                                                                                                                                                                                                                                                                                                                              |
| ATE                                                                                                                                                                                                                                                                                                                                                                                                                                                                                                                                                                                                                                                                                                                                                                                                                                                                                                                                                                                                                                                                                                                                                                                                                                                                                                                                                                                                                                                                                                                                                                                                                                                                                                                                                                                                                                                                                                                                                                                                                                                                                                                          |                                                                                                                                                                                                                                                                                                                                                                                                                                                                                                                                                                                                                                                                                                                                                                                                                                                                                                                                                                                                                                                                                                                                                                                                                                                                                                                                                                                                                                                                                                                                                                                                                                                                                                                                                                                                                                                                                                                                                                                                                                                                                                                              | MA                                                                                                                                                                                                                                                                                                                                                                                                                                                                                                                                                                                                                                                                                                                                                                                                                                                                                                                                                                                                                                                                                                                                                                                                                                                                                                                                                                                                                                                                                                                                                                                                                                                                                                                                                                                                                                                                                                                                                                                                                                                                                                                           | B F                                                                                         | BUR                                                                                                                                                                                                                                                                                                                                                                                                                                                                                                                                                                                                                                                                                                                                                                                                                                                                                                                                                                                                                                                                                                                                                                                                                                                                                                                                                                                                                                                                                                                                                                                                                                                                                                                                                                                                                                                                                                                                                                                                                                                                                                                          | BUR                                                                                                                                                                                                                                                                                                                                                                                                                                                                                                                                                                                                                                                                                                                                                                                                                                                                                                                                                                                                                                                                                                                                                                                                                                                                                                                                                                                                                                                                                                                                                                                                                                                                                                                                                                                
                                                                                                                                                                                                                                                                                                                                         | P 6                                                                                                                                                                                                                                                                                                                                                                                                                                                                                                                                                                                                                                                                                                                                                                                                                                                                                                                                                                                                                                                                                                                                                                                                                                                                                                                                                                                                                                                                                                                                                                                                                                                                                                                                                                                                                                                                                                                                                                                                                                                                                                                          | C L G                                                                                                                                                                                                                                                                                                                                                                                                                                                                                                                                                                                                                                                                                                                                                                                                                                                                                                                                                                                                                                                                                                                                                                                                                                                                                                                                                                                                                                                                                                                                                                                                                                                                                                                                                                                                                                                                                                                                                                                                                                                                                                                        |                                                                                       |                                                                                                                                                                                                                                                                                                                                                                                                                                                                                                                                                                                                                                                                                                                                                                                                                                                                                                                                                                                                                                                                                                                                                                                                                                                                                                                                                                                                                                                                                                                                                                                                                                                                                                                                                                                                                                                                                                                                                                                                                                                                                                                              |                                                                                                                                                                                                                                                                                                                                                                                                                                                                                                                                                                                                                                                                                                                                                                                                                                                                                                                                                                                                                                                                                                                                                                                                                                                                                                                                                                                                                                                                                                                                                                                                                                                                                                                                                                                                                                                                                                                                                                                                                                                                                                                              |                                                                                                                                                                                                                                                                                                                                                                                                                                                                                                                                                                                                                                                                                                                                                                                                                                                                                                                                                                                                                                                                                                                                                                                                                                                                                                                                                                                                                                                 
                                                                                                                                                                                                                                                                                                                                                                                                                                                                                                                                                                                                                                                                           |                                                                                                                                                                                                                                                                                                                                                                                                                                                                                                                                                                                                                                                                                                                                                                                                                                                                                                                                                                                                                                                                                                                                                                                                                                                                                                                                                                                                                                                                                                                                                                                                                                                                                                                                                                                                                                                                                                                                                                                                                                                                                                                           |                                                                                                                                                                                                                                                                                                                                                                                                                                                                                                                                                                                                                                                                                                                                                                                                                                                                                                                                                                                                                                                                                                                                                                                                                                                                                                                                                                                                                                                                                                                                                                                                                                                                                                                                                                                                                                                                                                                                                                                                                                                                                                                              |                                                                                                   |                                                                                                                                                                                                                                                                                                                                                                                                                                                                                                                                                                                                                                                                                                                                                                                                                                                                                                                                                                                                                                                                                                                                                                                                                                                                                                                                                                                                                                                                                                                                                                                                                                                                                                                                                                                                                                                                                                                                                                                                                                                                                                                              |                                                                                   |                                                                                                                                                                                                                                                                                                                                                                                                                                                                                                                                                                                                                                                                                                                                                                                                                                                                                                                                                                                                                                                                                                                                                                                                                                                                                                                                                                                                                                                                                                                                                                                                                                                                                                                                                                                                                                                                                                                                                                                                                                                                                                                              |                                                                                                                                                                                                                                                                                                                                                                                                                                                                                                                                                                                                                                                                                                                                                                                                                                                                                                                                                                                                                  
                                                                                                                                                                                                                                                                                                                                                                                                                                                                                                                                                                                                                                                                                                                                                                                                                                                                                                                                                                                                                                                                                                           |                                                                                                       |                                                                                                   |                                                                                               |                                                                                                     | BUR                                                                                                                                                                                                                                                                                                                                                                                                                                                                                                                                                                                                                                                                                                                                                                                                                                                                                                                                                                                                                                                                                                                                                                                                                                                                                                                                                                                                                                                                                                                                                                                                                                                                                                                                                                                                                                                                                                                                                                                                                                                                                                                       | BUR                                                                                       | ENS                                                                                                                                                                                                                                                                                                                                                                                                                                                                                                                                                                                                                                                                                                                                                                                                                                                                                                                                                                                                                                                                                                                                                                                                                                                                                                                                                                                                                                                                                                                                                                                                                                                                                                                                                                                                                                                                                                                                                                                                                                                                                                                        | 5 E                                                                                                                                                                                                                                                                                                                                                                                                                                                                                                                                                                                                                                                                                                                                                                                                                                                                                                                                                                                                                                                                                                                                                                                                                                                                                                                                                                                                                                                                                                                                                                                                                                                                                                                                                                                                                                                                                                                                                                                                                                                                                                                            | 1 B                                                                                                                                                                                                                                                                                                                                                                                                                                                                                                                                                                                                                                                                                                                                                                                                                                                                                                                                                                                                                                                                                                                                                                                                                                                                                                                                                                                                                                                                                                                                                                                                                                                                                                                                                                                                                                                                                                                                                                                                                                                                                                                           | BUR                                                                                                                                                                                                                                                       
                                                                                                                                                                                                                                                                                                                                                                                                                                                                                                                                                                                                                                                                                                                                                                                                                                                                                                                                                                                                                                                                                                                                                                                                                                                                                                                                                                                                                                                                                                                                                                                                                                                                                                                                                                                                                                                                  | ENS                                                                                                                                                                                                                                                                                                                                                                                                                                                                                                                                                                                                                                                                                                                                                                                                                                                                                                                                                                                                                                                                                                                                                                                                                                                                                                                                                                                                                                                                                                                                                                                                                                                                                                                                                                                                                                                                                                                                                                                                                                                                                                                          | E S                                                                                                                                                                                                                                                                                                                                                                                                                                                                                                                                                                                                                                                                                                                                                                                                                                                                                                                                                                                                                                                                                                                                                                                                                                                                                                                                                                                                                                                                                                                                                                                                                                                                                                                                                                                                                                                                                                                                                                                                                                                                                                                            | 8 8                                                                                                                                                                                                                                                                                                                                                                                                                                                                                                                                                                                                                                                                                                                                                                                                                                                                                                                                                                                                                                                                                                                                                                                                                                                                                                                                                                                                                                                                                                                                                                                                                                                                                                                                                                                                                                                                                                                                                                                                                                                                                                                            | SPE                                                                                                                                                                                                                                                                                                                                                                                                                                                                                                                                                                                                                                                                                                                                                                                                                                                                                                                                                                                                                                                                                                                                                                                                                                                                                                                                                                                                                                                                                                                                                                                                                                                                                                                                                                                                                                                                                                                                                                                                                                                                                                                            |          
                                                                                                                                                                                                                                                                                                                                                                                                                                                                                                                                                                                                                                                                                                                                                                                                                                                                                                                                                                                                                                                                                                                                                                                                                                                                                                                                                                                                                                                                                                                                                                                                                                                                                                                                                                                                                                                                                                                                                                                                                                                                                                                     | BUR                                                                                                                                                                                                                                                                                                                                                                                                                                                                                                                                                                                                                                                                                                                                                                                                                                                                                                                                                                                                                                                                                                                                                                                                                                                                                                                                                                                                                                                                                                                                                                                                                                                                                                           | ATE                                                                                                                                                                                                                                                                                                                                                                                                                                                                                                                                                                                                                                                                                                                                                                                                                                                                                                                                                                                                               | BUR                                                                                                                                                                                                                                                                                                                                                                                                                                                                                                                                                                                                                                                                                                                                                                                                                                                                                                                                                                                                                                            | 핑                                                                                                                                                                                                                                                                                                                                                                                                                                                                                                                                                                                                                                                                                                                                                                            | Z F                                                                                                                                                                                                                                                                                                                                                                                                                                                                                                                                                                                                                                                                                                                                                                                                    | I B                                                                                                                                                                                                                                                                                                                                                                                                                                                                                                                                                                                     | BUR                                                                                                                                                                                                                                                                                                                                                                                                                                                                                            | 吊                                                                                                                                                                                                                                                                                                                                                                                                                                                                                                                            | DEP                                                                                                                                                                                                                                                                                                                                                                                                                                                                                                                                                                                                            | BUR                                                                                                                                                                                                                                                                                                                                                                                                                                                                                                                                                                                                                              | ENS                          
                                                                                                                                                                                                                                                                                                                                                                                                                                                                                                                                                                                                                                                                                                                                                                                                                                                                                                                                                                                                                                                                                                                                                                                                                                                     | BUR                                                                                                                                                                                                                                                                                                                                                                                                                                                                                                                                                                                                                                                                                                                                                                                                                                                                                                                                                                                                                                                                                                                                                                                                                                                                                                                                                                                                                                                                                                                                                                                                                                                                                                                                                                                                                                                                                                                                                                                                                                                                                                                            | ENS                                                                                                                                                                                                                                                                                                                                                                                                                                                                                                                                                                                                                                                                                                                                                                                                                                                                                                                                                                                                                                                                                                                                                                                                                                                                                                                                                                                                                                                                                                                                                                                                                                                                                                                                                                                                                                                                                                                                                                                                                                                                                                                            | BUR                                                                                                                                                                                                                                                                                                                                                                                                                                                                                                                                                                                                                                                                                                                                                                                                                                                                                                                                                                                                                                                                                                                                                                                                                                                                                                                                                                                                                                                                                                                                                                                                                                                                                                                                                                                       | BUR MA                                                                                                                                                                                                                                                                                                                                                                                                                                                                                                                                                                                                                                                                                                                                                                                                                                                                                                                                                                                                                                                                                                                                                                                                                                                                                                                                                                                                                                                                                                                                                                                                                                              | MA                                                                                                                                                                                                                                                                                                                                                                                                                                                                                                                                                                                                                                                                                                                                                                                                                                                                                                                                                                                                                                                                                                                                                                                                                                                                                                                                                                                                                                  
                                                              | MA                                                                                                                                                                                                                                                                                                                                                                                                                                                                                                                                                                                                                                                                                                                                                                                                                                                                                                                                                                                                                                                                                                                                                                                                                                                                                                                                                                                                                                                                                                                                                                                                                                                                                                                                                                                                                                                                                                                                                                                                                                                                                                                           | P MA                                                                                                                                                                                                                                                                                                                                                                                                                                                                                                                                                                                                                                                                                                                                                                                                                                                                                                                                                                                                                                                                                                                                                                                                                                                                                                                                                                                                                                                                                                                                                                                                                                                                                                                                                                                                                                                                                                                                                                                                                                                                                                                         | BUR                                                                                                                                                                                                                                                                                                                                                                                                                                                                                                                                                                                                                                                                                                                                                                                                                                                                                                                                                                                                                                                                                                                                                                                                                                                                                                                                                                                                                                                                                                                                                                                                                                                                                                                                                                                                                                                                                                                                                                                                                                                                                                                            | MA                                                                                                                                                                                                                                                                                                                                                                                                                                                                                                                                                                                                                                                                                                                                                                                                                                                                                                                                                                                                                                                                                                                                                                                                                                                                                                                                                                                                                                                                                                                                                                                                                                                                                                                                                                                                                                                                                                                                                                                                                                                                                                                           | BUR                                                                                              | PE                                                                                                                                                                                                                                                                                                                                                                                                                                                                                                                                                                                                                                                                                                                                                                                                                                                                                                                                                                                                                                                                                                                                                                                                                                                                                                                                                                                                                                                                                                                                                                                                                                                                                                            
                                                                                                                                                                                                                                                                                                                                                                                                             | BUR                                                                                                                                                                                                                                                                                                                                                                                                                                                                                                                                                                                                                                                                                                                                                                                                                                                                                                                                                                                                                                                                                                                                                                                                                                                                                                                                                                                                                                                                                                                                                                                                                                                                                                                                                                                                                                                                                                                                                                                                                                                                                                                          | P MA                                                                                                                                                                                                                                                                                                                                                                                                                                                                                                                                                                                                                                                                                                                                                                                                                                                                                                                                                                                                                                                                                                                                                                                                                                                                                                                                                                                                                                                                                                                                                                                                                                                                                                                                                                                                                                                                                                                                                                                                                                                                                                                         | MA        | DEP S                                                                                                                                                                                                                                                                                                                                                                                                                                                                                                                                                                                                                                                                                                                                                                                                                                                                                                                                                                                                                                                                                                                                                                                                                                                                                                                                                                                                                                                                                                                                                                                                                                                                                                                                                                                                                                                                                                                                                                                                                                                                                                                        | BUR                                                                                        | BUR                                                                                                                                                                                                                                                                                                                                                                                                                                                                                                                                                                                                                                                                                                                                                                                                                                                                                                                                                                                                                                                                                                                                                                                                                                                                                                                                                                                                                                                                                                                                                                                                                                                                                                                                                                                                                                                                                                                                                                                                                                                                                                                         | 된<br>달                                                                                                | DF M                                                                                                                                                                                                                                                                                                                                                                                                                                                                                                                                                                                                                                                                                                                                                                                                                                                                                                                                                                                                                                                                                                                                                                                                                                                
                                                                                                                                                                                                                                                                                                                                                                                                                                                                                                                                                                                                                                                                                                                                                                                                                                                                        | RUR        | BUR                                                                                                                                                                                                                                                                                                                                                                                                                                                                                                                                                                                                                                                                                                                                                                                                                                                                                                                                                                                                                                                                                                                                                                                                                                                                                                                                                                                                                                                                                                                                                                                                                                                                                                                                                                                                                                                                                                                                                                                                                                                                                                                         | PI MAC                                                                                                                                                                                                                                                                                                                                                                                                                                                                                                                                                                                                                                                                                                                                                                                                                                                                                                                                                                                                                                                                                                                                                                                                                                                                                                                                                                                                                                                                                                                                                                                                                                                                                                                                                                                                                                                                                                                                                                                                                                                                                                                       | MAC                                                                                                                                                                                                                                                                                                                                                                                                                                                                                                                                                                                                                                                                                                                                                                                                                                                                                                                                                                                                                                                                                                                                                                                                                                                                                                                                                                                                                                                                                                                                                                                                                                                                                                                                                                                                                                                                                                                                                                                                                                                                                                                          | |
|                                                                                                                                                                                                                                                                                                                                                                                                                                                                                                                                                                                                                                                                                                                                                                                                                                                                                                                                                                                                                                                                                                                                                                                                                                                                                                                                                                                                                                                                                                                                                                                                                                                                                                                                                                                                                                                                                                                                                                                                                                                                                                                              | 2 2                                                                                                                                                                                                                                                                                                                                                                                                                                                                                                                                                                                                                                                                                                                                                                                                                                                                                                                                                                                                                                                                                                                                                                                                                                                                                                                                                                                                                                                                                                                                                                                                                                                                                                                                                                                                                                                                                                                                                                                                                                                                                                                          | $\left  \frac{G1}{a} \right $                                                                                                                                                                                                                                                                                                                                                                                                                                                                                                                                                                                                                                                                                                                                                                                                                                                                                                                                                                                                                                                                                                                                                                                                                                                                                                                                                                                                                                                                                                                                                                                                                                                                                                                                                                                                                                                                                                                                                                                                                                                                                                | 3                                                                                           | ع اد                                                                                                                                                                                                                                                                                                                                                                                                                                                                                                                                                                                                                                                                                                                                                                                                                                                                                                                                                                                                                                                                                                                                                                                                                                                                                                                                                                                                                                                                                                                                                                                                                                                                                                                                                                                                                                                                                                                                                                                                                                                                                                                         |                                                                                                                                                                                                                                                                                                                                                                                                                                                                                                                                                                                                                                                                                                                                                                                                                                                                                                                                                                                                                                                                                                                                                                                                                                                                                                                                                                                                                                                                                                                                                                                                                                                                                                                                                                                    
                                                                                                                                                                                                                                                                                                                                         | 2)                                                                                                                                                                                                                                                                                                                                                                                                                                                                                                                                                                                                                                                                                                                                                                                                                                                                                                                                                                                                                                                                                                                                                                                                                                                                                                                                                                                                                                                                                                                                                                                                                                                                                                                                                                                                                                                                                                                                                                                                                                                                                                                           |                                                                                                                                                                                                                                                                                                                                                                                                                                                                                                                                                                                                                                                                                                                                                                                                                                                                                                                                                                                                                                                                                                                                                                                                                                                                                                                                                                                                                                                                                                                                                                                                                                                                                                                                                                                                                                                                                                                                                                                                                                                                                                                              | ٠٠٠.                                                                                  | د ا د                                                                                                                                                                                                                                                                                                                                                                                                                                                                                                                                                                                                                                                                                                                                                                                                                                                                                                                                                                                                                                                                                                                                                                                                                                                                                                                                                                                                                                                                                                                                                                                                                                                                                                                                                                                                                                                                                                                                                                                                                                                                                                                        |                                                                                                                                                                                                                                                                                                                                                                                                                                                                                                                                                                                                                                                                                                                                                                                                                                                                                                                                                                                                                                                                                                                                                                                                                                                                                                                                                                                                                                                                                                                                                                                                                                                                                                                                                                                                                                                                                                                                                                                                                                                                                                                              |                                                                                                                                                                                                                                                                                                                                                                                                                                                                                                                                                                                                                                                                                                                                                                                                                                                                                                                                                                                                                                                                                                                                                                                                                                                                                                                                                                                                                                                 
                                                                                                                                                                                                                                                                                                                                                                                                                                                                                                                                                                                                                                                                           |                                                                                                                                                                                                                                                                                                                                                                                                                                                                                                                                                                                                                                                                                                                                                                                                                                                                                                                                                                                                                                                                                                                                                                                                                                                                                                                                                                                                                                                                                                                                                                                                                                                                                                                                                                                                                                                                                                                                                                                                                                                                                                                           | 1                                                                                                                                                                                                                                                                                                                                                                                                                                                                                                                                                                                                                                                                                                                                                                                                                                                                                                                                                                                                                                                                                                                                                                                                                                                                                                                                                                                                                                                                                                                                                                                                                                                                                                                                                                                                                                                                                                                                                                                                                                                                                                                            | 3                                                                                                 | 12                                                                                                                                                                                                                                                                                                                                                                                                                                                                                                                                                                                                                                                                                                                                                                                                                                                                                                                                                                                                                                                                                                                                                                                                                                                                                                                                                                                                                                                                                                                                                                                                                                                                                                                                                                                                                                                                                                                                                                                                                                                                                                                           | 7) [                                                                              |                                                                                                                                                                                                                                                                                                                                                                                                                                                                                                                                                                                                                                                                                                                                                                                                                                                                                                                                                                                                                                                                                                                                                                                                                                                                                                                                                                                                                                                                                                                                                                                                                                                                                                                                                                                                                                                                                                                                                                                                                                                                                                                              | 1                                                                                                                                                                                                                                                                                                                                                                                                                                                                                                                                                                                                                                                                                                                                                                                                                                                                                                                                                                                                                
                                                                                                                                                                                                                                                                                                                                                                                                                                                                                                                                                                                                                                                                                                                                                                                                                                                                                                                                                                                                                                                                                                           |                                                                                                       |                                                                                                   | ~                                                                                             | -   P                                                                                               |                                                                                                                                                                                                                                                                                                                                                                                                                                                                                                                                                                                                                                                                                                                                                                                                                                                                                                                                                                                                                                                                                                                                                                                                                                                                                                                                                                                                                                                                                                                                                                                                                                                                                                                                                                                                                                                                                                                                                                                                                                                                                                                           | F                                                                                         | -                                                                                                                                                                                                                                                                                                                                                                                                                                                                                                                                                                                                                                                                                                                                                                                                                                                                                                                                                                                                                                                                                                                                                                                                                                                                                                                                                                                                                                                                                                                                                                                                                                                                                                                                                                                                                                                                                                                                                                                                                                                                                                                          | Ĭ 4                                                                                                                                                                                                                                                                                                                                                                                                                                                                                                                                                                                                                                                                                                                                                                                                                                                                                                                                                                                                                                                                                                                                                                                                                                                                                                                                                                                                                                                                                                                                                                                                                                                                                                                                                                                                                                                                                                                                                                                                                                                                                                                            |                                                                                                                                                                                                                                                                                                                                                                                                                                                                                                                                                                                                                                                                                                                                                                                                                                                                                                                                                                                                                                                                                                                                                                                                                                                                                                                                                                                                                                                                                                                                                                                                                                                                                                                                                                                                                                                                                                                                                                                                                                                                                                                               | ~                                                                                                                                                                                                                                                         
                                                                                                                                                                                                                                                                                                                                                                                                                                                                                                                                                                                                                                                                                                                                                                                                                                                                                                                                                                                                                                                                                                                                                                                                                                                                                                                                                                                                                                                                                                                                                                                                                                                                                                                                                                                                                                                                  | -<br> <br>                                                                                                                                                                                                                                                                                                                                                                                                                                                                                                                                                                                                                                                                                                                                                                                                                                                                                                                                                                                                                                                                                                                                                                                                                                                                                                                                                                                                                                                                                                                                                                                                                                                                                                                                                                                                                                                                                                                                                                                                                                                                                                                   |                                                                                                                                                                                                                                                                                                                                                                                                                                                                                                                                                                                                                                                                                                                                                                                                                                                                                                                                                                                                                                                                                                                                                                                                                                                                                                                                                                                                                                                                                                                                                                                                                                                                                                                                                                                                                                                                                                                                                                                                                                                                                                                                | 3   6                                                                                                                                                                                                                                                                                                                                                                                                                                                                                                                                                                                                                                                                                                                                                                                                                                                                                                                                                                                                                                                                                                                                                                                                                                                                                                                                                                                                                                                                                                                                                                                                                                                                                                                                                                                                                                                                                                                                                                                                                                                                                                                          | 5 7                                                                                                                                                                                                                                                                                                                                                                                                                                                                                                                                                                                                                                                                                                                                                                                                                                                                                                                                                                                                                                                                                                                                                                                                                                                                                                                                                                                                                                                                                                                                                                                                                                                                                                                                                                                                                                                                                                                                                                                                                                                                                                                            | 2        
                                                                                                                                                                                                                                                                                                                                                                                                                                                                                                                                                                                                                                                                                                                                                                                                                                                                                                                                                                                                                                                                                                                                                                                                                                                                                                                                                                                                                                                                                                                                                                                                                                                                                                                                                                                                                                                                                                                                                                                                                                                                                                                     |                                                                                                                                                                                                                                                                                                                                                                                                                                                                                                                                                                                                                                                                                                                                                                                                                                                                                                                                                                                                                                                                                                                                                                                                                                                                                                                                                                                                                                                                                                                                                                                                                                                                                                               | ٦ -                                                                                                                                                                                                                                                                                                                                                                                                                                                                                                                                                                                                                                                                                                                                                                                                                                                                                                                                                                                                               |                                                                                                                                                                                                                                                                                                                                                                                                                                                                                                                                                                                                                                                                                                                                                                                                                                                                                                                                                                                                                                                | ع  ح                                                                                                                                                                                                                                                                                                                                                                                                                                                                                                                                                                                                                                                                                                                                                                         | 3 2                                                                                                                                                                                                                                                                                                                                                                                                                                                                                                                                                                                                                                                                                                                                                                                                    | ع اد                                                                                                                                                                                                                                                                                                                                                                                                                                                                                                                                                                                    |                                                                                                                                                                                                                                                                                                                                                                                                                                                                                                | 2                                                                                                                                                                                                                                                                                                                                                                                                                                                                                                                            | 2 1                                                                                                                                                                                                                                                                                                                                                                                                                                                                                                                                                                                                            |                                                                                                                                                                                                                                                                                                                                                                                                                                                                                                                                                                                                                                  |                              
                                                                                                                                                                                                                                                                                                                                                                                                                                                                                                                                                                                                                                                                                                                                                                                                                                                                                                                                                                                                                                                                                                                                                                                                                                                     |                                                                                                                                                                                                                                                                                                                                                                                                                                                                                                                                                                                                                                                                                                                                                                                                                                                                                                                                                                                                                                                                                                                                                                                                                                                                                                                                                                                                                                                                                                                                                                                                                                                                                                                                                                                                                                                                                                                                                                                                                                                                                                                                |                                                                                                                                                                                                                                                                                                                                                                                                                                                                                                                                                                                                                                                                                                                                                                                                                                                                                                                                                                                                                                                                                                                                                                                                                                                                                                                                                                                                                                                                                                                                                                                                                                                                                                                                                                                                                                                                                                                                                                                                                                                                                                                                | Ñ                                                                                                                                                                                                                                                                                                                                                                                                                                                                                                                                                                                                                                                                                                                                                                                                                                                                                                                                                                                                                                                                                                                                                                                                                                                                                                                                                                                                                                                                                                                                                                                                                                                                                                                                                                                         |                                                                                                                                                                                                                                                                                                                                                                                                                                                                                                                                                                                                                                                                                                                                                                                                                                                                                                                                                                                                                                                                                                                                                                                                                                                                                                                                                                                                                                                                                                                                                                                                                                                     |                                                                                                                                                                                                                                                                                                                                                                                                                                                                                                                                                                                                                                                                                                                                                                                                                                                                                                                                                                                                                                                                                                                                                                                                                                                                                                                                                                                                                                     
                                                              | 입투                                                                                                                                                                                                                                                                                                                                                                                                                                                                                                                                                                                                                                                                                                                                                                                                                                                                                                                                                                                                                                                                                                                                                                                                                                                                                                                                                                                                                                                                                                                                                                                                                                                                                                                                                                                                                                                                                                                                                                                                                                                                                                                           | 1 2                                                                                                                                                                                                                                                                                                                                                                                                                                                                                                                                                                                                                                                                                                                                                                                                                                                                                                                                                                                                                                                                                                                                                                                                                                                                                                                                                                                                                                                                                                                                                                                                                                                                                                                                                                                                                                                                                                                                                                                                                                                                                                                          |                                                                                                                                                                                                                                                                                                                                                                                                                                                                                                                                                                                                                                                                                                                                                                                                                                                                                                                                                                                                                                                                                                                                                                                                                                                                                                                                                                                                                                                                                                                                                                                                                                                                                                                                                                                                                                                                                                                                                                                                                                                                                                                                | 32 F                                                                                                                                                                                                                                                                                                                                                                                                                                                                                                                                                                                                                                                                                                                                                                                                                                                                                                                                                                                                                                                                                                                                                                                                                                                                                                                                                                                                                                                                                                                                                                                                                                                                                                                                                                                                                                                                                                                                                                                                                                                                                                                         | 3   ==                                                                                           | 2                                                                                                                                                                                                                                                                                                                                                                                                                                                                                                                                                                                                                                                                                                                                                                                                                                                                                                                                                                                                                                                                                                                                                                                                                                                                                                                                                                                                                                                                                                                                                                                                                                                                                                             
                                                                                                                                                                                                                                                                                                                                                                                                             | 7                                                                                                                                                                                                                                                                                                                                                                                                                                                                                                                                                                                                                                                                                                                                                                                                                                                                                                                                                                                                                                                                                                                                                                                                                                                                                                                                                                                                                                                                                                                                                                                                                                                                                                                                                                                                                                                                                                                                                                                                                                                                                                                            | 5 31                                                                                                                                                                                                                                                                                                                                                                                                                                                                                                                                                                                                                                                                                                                                                                                                                                                                                                                                                                                                                                                                                                                                                                                                                                                                                                                                                                                                                                                                                                                                                                                                                                                                                                                                                                                                                                                                                                                                                                                                                                                                                                                         |           | 2                                                                                                                                                                                                                                                                                                                                                                                                                                                                                                                                                                                                                                                                                                                                                                                                                                                                                                                                                                                                                                                                                                                                                                                                                                                                                                                                                                                                                                                                                                                                                                                                                                                                                                                                                                                                                                                                                                                                                                                                                                                                                                                            | 2 2                                                                                        |                                                                                                                                                                                                                                                                                                                                                                                                                                                                                                                                                                                                                                                                                                                                                                                                                                                                                                                                                                                                                                                                                                                                                                                                                                                                                                                                                                                                                                                                                                                                                                                                                                                                                                                                                                                                                                                                                                                                                                                                                                                                                                                             | .7                                                                                                    | 2 31                                                                                                                                                                                                                                                                                                                                                                                                                                                                                                                                                                                                                                                                                                                                                                                                                                                                                                                                                                                                                                                                                                                                                                                                                                                
                                                                                                                                                                                                                                                                                                                                                                                                                                                                                                                                                                                                                                                                                                                                                                                                                                                                        | -          |                                                                                                                                                                                                                                                                                                                                                                                                                                                                                                                                                                                                                                                                                                                                                                                                                                                                                                                                                                                                                                                                                                                                                                                                                                                                                                                                                                                                                                                                                                                                                                                                                                                                                                                                                                                                                                                                                                                                                                                                                                                                                                                             | 3 32                                                                                                                                                                                                                                                                                                                                                                                                                                                                                                                                                                                                                                                                                                                                                                                                                                                                                                                                                                                                                                                                                                                                                                                                                                                                                                                                                                                                                                                                                                                                                                                                                                                                                                                                                                                                                                                                                                                                                                                                                                                                                                                         | 31                                                                                                                                                                                                                                                                                                                                                                                                                                                                                                                                                                                                                                                                                                                                                                                                                                                                                                                                                                                                                                                                                                                                                                                                                                                                                                                                                                                                                                                                                                                                                                                                                                                                                                                                                                                                                                                                                                                                                                                                                                                                                                                           | | | | | | |
|                                                                                                                                                                                                                                                                                                                                                                                                                                                                                                                                                                                                                                                                                                                                                                                                                                                                                                                                                                                                                                                                                                                                                                                                                                                                                                                                                                                                                                                                                                                                                                                                                                                                                                                                                                                                                                                                                                                                                                                                                                                                                                                              |                                                                                                                                                                                                                                                                                                                                                                                                                                                                                                                                                                                                                                                                                                                                                                                                                                                                                                                                                                                                                                                                                                                                                                                                                                                                                                                                                                                                                                                                                                                                                                                                                                                                                                                                                                                                                                                                                                                                                                                                                                                                                                                              |                                                                                                                                                                                                                                                                                                                                                                                                                                                                                                                                                                                                                                                                                                                                                                                                                                                                                                                                                                                                                                                                                                                                                                                                                                                                                                                                                                                                                                                                                                                                                                                                                                                                                                                                                                                                                                                                                                                                                                                                                                                                                                                              |                                                                                             |                                                                                                                                                                                                                                                                                                                                                                                                                                                                                                                                                                                                                                                                                                                                                                                                                                                                                                                                                                                                                                                                                                                                                                                                                                                                                                                                                                                                                                                                                                                                                                                                                                                                                                                                                                                                                                                                                                                                                                                                                                                                                                                              |                                                                                                                                                                                                                                                                                                                                                                                                                                                                                                                                                                                                                                                                                                                                                                                                                                                                                                                                                                                                                                                                                                                                                                                                                                                                                                                                                                                                                                                                                                                                                                                                                                                                                                                                                                                    
                                                                                                                                                                                                                                                                                                                                         |                                                                                                                                                                                                                                                                                                                                                                                                                                                                                                                                                                                                                                                                                                                                                                                                                                                                                                                                                                                                                                                                                                                                                                                                                                                                                                                                                                                                                                                                                                                                                                                                                                                                                                                                                                                                                                                                                                                                                                                                                                                                                                                              |                                                                                                                                                                                                                                                                                                                                                                                                                                                                                                                                                                                                                                                                                                                                                                                                                                                                                                                                                                                                                                                                                                                                                                                                                                                                                                                                                                                                                                                                                                                                                                                                                                                                                                                                                                                                                                                                                                                                                                                                                                                                                                                              |                                                                                       |                                                                                                                                                                                                                                                                                                                                                                                                                                                                                                                                                                                                                                                                                                                                                                                                                                                                                                                                                                                                                                                                                                                                                                                                                                                                                                                                                                                                                                                                                                                                                                                                                                                                                                                                                                                                                                                                                                                                                                                                                                                                                                                              |                                                                                                                                                                                                                                                                                                                                                                                                                                                                                                                                                                                                                                                                                                                                                                                                                                                                                                                                                                                                                                                                                                                                                                                                                                                                                                                                                                                                                                                                                                                                                                                                                                                                                                                                                                                                                                                                                                                                                                                                                                                                                                                              |                                                                                                                                                                                                                                                                                                                                                                                                                                                                                                                                                                                                                                                                                                                                                                                                                                                                                                                                                                                                                                                                                                                                                                                                                                                                                                                                                                                                                                                 
                                                                                                                                                                                                                                                                                                                                                                                                                                                                                                                                                                                                                                                                           |                                                                                                                                                                                                                                                                                                                                                                                                                                                                                                                                                                                                                                                                                                                                                                                                                                                                                                                                                                                                                                                                                                                                                                                                                                                                                                                                                                                                                                                                                                                                                                                                                                                                                                                                                                                                                                                                                                                                                                                                                                                                                                                           |                                                                                                                                                                                                                                                                                                                                                                                                                                                                                                                                                                                                                                                                                                                                                                                                                                                                                                                                                                                                                                                                                                                                                                                                                                                                                                                                                                                                                                                                                                                                                                                                                                                                                                                                                                                                                                                                                                                                                                                                                                                                                                                              |                                                                                                   |                                                                                                                                                                                                                                                                                                                                                                                                                                                                                                                                                                                                                                                                                                                                                                                                                                                                                                                                                                                                                                                                                                                                                                                                                                                                                                                                                                                                                                                                                                                                                                                                                                                                                                                                                                                                                                                                                                                                                                                                                                                                                                                              |                                                                                   |                                                                                                                                                                                                                                                                                                                                                                                                                                                                                                                                                                                                                                                                                                                                                                                                                                                                                                                                                                                                                                                                                                                                                                                                                                                                                                                                                                                                                                                                                                                                                                                                                                                                                                                                                                                                                                                                                                                                                                                                                                                                                                                              |                                                                                                                                                                                                                                                                                                                                                                                                                                                                                                                                                                                                                                                                                                                                                                                                                                                                                                                                                                                                                  
                                                                                                                                                                                                                                                                                                                                                                                                                                                                                                                                                                                                                                                                                                                                                                                                                                                                                                                                                                                                                                                                                                           |                                                                                                       |                                                                                                   |                                                                                               |                                                                                                     |                                                                                                                                                                                                                                                                                                                                                                                                                                                                                                                                                                                                                                                                                                                                                                                                                                                                                                                                                                                                                                                                                                                                                                                                                                                                                                                                                                                                                                                                                                                                                                                                                                                                                                                                                                                                                                                                                                                                                                                                                                                                                                                           |                                                                                           |                                                                                                                                                                                                                                                                                                                                                                                                                                                                                                                                                                                                                                                                                                                                                                                                                                                                                                                                                                                                                                                                                                                                                                                                                                                                                                                                                                                                                                                                                                                                                                                                                                                                                                                                                                                                                                                                                                                                                                                                                                                                                                                            |                                                                                                                                                                                                                                                                                                                                                                                                                                                                                                                                                                                                                                                                                                                                                                                                                                                                                                                                                                                                                                                                                                                                                                                                                                                                                                                                                                                                                                                                                                                                                                                                                                                                                                                                                                                                                                                                                                                                                                                                                                                                                                                                |                                                                                                                                                                                                                                                                                                                                                                                                                                                                                                                                                                                                                                                                                                                                                                                                                                                                                                                                                                                                                                                                                                                                                                                                                                                                                                                                                                                                                                                                                                                                                                                                                                                                                                                                                                                                                                                                                                                                                                                                                                                                                                                               |                                                                                                                                                                                                                                                           
                                                                                                                                                                                                                                                                                                                                                                                                                                                                                                                                                                                                                                                                                                                                                                                                                                                                                                                                                                                                                                                                                                                                                                                                                                                                                                                                                                                                                                                                                                                                                                                                                                                                                                                                                                                                                                                                  |                                                                                                                                                                                                                                                                                                                                                                                                                                                                                                                                                                                                                                                                                                                                                                                                                                                                                                                                                                                                                                                                                                                                                                                                                                                                                                                                                                                                                                                                                                                                                                                                                                                                                                                                                                                                                                                                                                                                                                                                                                                                                                                              |                                                                                                                                                                                                                                                                                                                                                                                                                                                                                                                                                                                                                                                                                                                                                                                                                                                                                                                                                                                                                                                                                                                                                                                                                                                                                                                                                                                                                                                                                                                                                                                                                                                                                                                                                                                                                                                                                                                                                                                                                                                                                                                                |                                                                                                                                                                                                                                                                                                                                                                                                                                                                                                                                                                                                                                                                                                                                                                                                                                                                                                                                                                                                                                                                                                                                                                                                                                                                                                                                                                                                                                                                                                                                                                                                                                                                                                                                                                                                                                                                                                                                                                                                                                                                                                                                |                                                                                                                                                                                                                                                                                                                                                                                                                                                                                                                                                                                                                                                                                                                                                                                                                                                                                                                                                                                                                                                                                                                                                                                                                                                                                                                                                                                                                                                                                                                                                                                                                                                                                                                                                                                                                                                                                                                                                                                                                                                                                                                                |          
                                                                                                                                                                                                                                                                                                                                                                                                                                                                                                                                                                                                                                                                                                                                                                                                                                                                                                                                                                                                                                                                                                                                                                                                                                                                                                                                                                                                                                                                                                                                                                                                                                                                                                                                                                                                                                                                                                                                                                                                                                                                                                                     |                                                                                                                                                                                                                                                                                                                                                                                                                                                                                                                                                                                                                                                                                                                                                                                                                                                                                                                                                                                                                                                                                                                                                                                                                                                                                                                                                                                                                                                                                                                                                                                                                                                                                                               |                                                                                                                                                                                                                                                                                                                                                                                                                                                                                                                                                                                                                                                                                                                                                                                                                                                                                                                                                                                                                   |                                                                                                                                                                                                                                                                                                                                                                                                                                                                                                                                                                                                                                                                                                                                                                                                                                                                                                                                                                                                                                                |                                                                                                                                                                                                                                                                                                                                                                                                                                                                                                                                                                                                                                                                                                                                                                              |                                                                                                                                                                                                                                                                                                                                                                                                                                                                                                                                                                                                                                                                                                                                                                                                        |                                                                                                                                                                                                                                                                                                                                                                                                                                                                                                                                                                                         |                                                                                                                                                                                                                                                                                                                                                                                                                                                                                                |                                                                                                                                                                                                                                                                                                                                                                                                                                                                                                                              |                                                                                                                                                                                                                                                                                                                                                                                                                                                                                                                                                                                                                |                                                                                                                                                                                                                                                                                                                                                                                                                                                                                                                                                                                                                                  |                              
                                                                                                                                                                                                                                                                                                                                                                                                                                                                                                                                                                                                                                                                                                                                                                                                                                                                                                                                                                                                                                                                                                                                                                                                                                                     |                                                                                                                                                                                                                                                                                                                                                                                                                                                                                                                                                                                                                                                                                                                                                                                                                                                                                                                                                                                                                                                                                                                                                                                                                                                                                                                                                                                                                                                                                                                                                                                                                                                                                                                                                                                                                                                                                                                                                                                                                                                                                                                                |                                                                                                                                                                                                                                                                                                                                                                                                                                                                                                                                                                                                                                                                                                                                                                                                                                                                                                                                                                                                                                                                                                                                                                                                                                                                                                                                                                                                                                                                                                                                                                                                                                                                                                                                                                                                                                                                                                                                                                                                                                                                                                                                |                                                                                                                                                                                                                                                                                                                                                                                                                                                                                                                                                                                                                                                                                                                                                                                                                                                                                                                                                                                                                                                                                                                                                                                                                                                                                                                                                                                                                                                                                                                                                                                                                                                                                                                                                                                           |                                                                                                                                                                                                                                                                                                                                                                                                                                                                                                                                                                                                                                                                                                                                                                                                                                                                                                                                                                                                                                                                                                                                                                                                                                                                                                                                                                                                                                                                                                                                                                                                                                                     |                                                                                                                                                                                                                                                                                                                                                                                                                                                                                                                                                                                                                                                                                                                                                                                                                                                                                                                                                                                                                                                                                                                                                                                                                                                                                                                                                                                                                                     
                                                              |                                                                                                                                                                                                                                                                                                                                                                                                                                                                                                                                                                                                                                                                                                                                                                                                                                                                                                                                                                                                                                                                                                                                                                                                                                                                                                                                                                                                                                                                                                                                                                                                                                                                                                                                                                                                                                                                                                                                                                                                                                                                                                                              |                                                                                                                                                                                                                                                                                                                                                                                                                                                                                                                                                                                                                                                                                                                                                                                                                                                                                                                                                                                                                                                                                                                                                                                                                                                                                                                                                                                                                                                                                                                                                                                                                                                                                                                                                                                                                                                                                                                                                                                                                                                                                                                              |                                                                                                                                                                                                                                                                                                                                                                                                                                                                                                                                                                                                                                                                                                                                                                                                                                                                                                                                                                                                                                                                                                                                                                                                                                                                                                                                                                                                                                                                                                                                                                                                                                                                                                                                                                                                                                                                                                                                                                                                                                                                                                                                |                                                                                                                                                                                                                                                                                                                                                                                                                                                                                                                                                                                                                                                                                                                                                                                                                                                                                                                                                                                                                                                                                                                                                                                                                                                                                                                                                                                                                                                                                                                                                                                                                                                                                                                                                                                                                                                                                                                                                                                                                                                                                                                              |                                                                                                  |                                                                                                                                                                                                                                                                                                                                                                                                                                                                                                                                                                                                                                                                                                                                                                                                                                                                                                                                                                                                                                                                                                                                                                                                                                                                                                                                                                                                                                                                                                                                                                                                                                                                                                               
                                                                                                                                                                                                                                                                                                                                                                                                             |                                                                                                                                                                                                                                                                                                                                                                                                                                                                                                                                                                                                                                                                                                                                                                                                                                                                                                                                                                                                                                                                                                                                                                                                                                                                                                                                                                                                                                                                                                                                                                                                                                                                                                                                                                                                                                                                                                                                                                                                                                                                                                                              |                                                                                                                                                                                                                                                                                                                                                                                                                                                                                                                                                                                                                                                                                                                                                                                                                                                                                                                                                                                                                                                                                                                                                                                                                                                                                                                                                                                                                                                                                                                                                                                                                                                                                                                                                                                                                                                                                                                                                                                                                                                                                                                              |           |                                                                                                                                                                                                                                                                                                                                                                                                                                                                                                                                                                                                                                                                                                                                                                                                                                                                                                                                                                                                                                                                                                                                                                                                                                                                                                                                                                                                                                                                                                                                                                                                                                                                                                                                                                                                                                                                                                                                                                                                                                                                                                                              |                                                                                            |                                                                                                                                                                                                                                                                                                                                                                                                                                                                                                                                                                                                                                                                                                                                                                                                                                                                                                                                                                                                                                                                                                                                                                                                                                                                                                                                                                                                                                                                                                                                                                                                                                                                                                                                                                                                                                                                                                                                                                                                                                                                                                                             |                                                                                                       |                                                                                                                                                                                                                                                                                                                                                                                                                                                                                                                                                                                                                                                                                                                                                                                                                                                                                                                                                                                                                                                                                                                                                                                                                                                     
                                                                                                                                                                                                                                                                                                                                                                                                                                                                                                                                                                                                                                                                                                                                                                                                                                                                        |            |                                                                                                                                                                                                                                                                                                                                                                                                                                                                                                                                                                                                                                                                                                                                                                                                                                                                                                                                                                                                                                                                                                                                                                                                                                                                                                                                                                                                                                                                                                                                                                                                                                                                                                                                                                                                                                                                                                                                                                                                                                                                                                                             |                                                                                                                                                                                                                                                                                                                                                                                                                                                                                                                                                                                                                                                                                                                                                                                                                                                                                                                                                                                                                                                                                                                                                                                                                                                                                                                                                                                                                                                                                                                                                                                                                                                                                                                                                                                                                                                                                                                                                                                                                                                                                                                              |                                                                                                                                                                                                                                                                                                                                                                                                                                                                                                                                                                                                                                                                                                                                                                                                                                                                                                                                                                                                                                                                                                                                                                                                                                                                                                                                                                                                                                                                                                                                                                                                                                                                                                                                                                                                                                                                                                                                                                                                                                                                                                                              |
|                                                                                                                                                                                                                                                                                                                                                                                                                                                                                                                                                                                                                                                                                                                                                                                                                                                                                                                                                                                                                                                                                                                                                                                                                                                                                                                                                                                                                                                                                                                                                                                                                                                                                                                                                                                                                                                                                                                                                                                                                                                                                                                              |                                                                                                                                                                                                                                                                                                                                                                                                                                                                                                                                                                                                                                                                                                                                                                                                                                                                                                                                                                                                                                                                                                                                                                                                                                                                                                                                                                                                                                                                                                                                                                                                                                                                                                                                                                                                                                                                                                                                                                                                                                                                                                                              |                                                                                                                                                                                                                                                                                                                                                                                                                                                                                                                                                                                                                                                                                                                                                                                                                                                                                                                                                                                                                                                                                                                                                                                                                                                                                                                                                                                                                                                                                                                                                                                                                                                                                                                                                                                                                                                                                                                                                                                                                                                                                                                              |                                                                                             |                                                                                                                                                                                                                                                                                                                                                                                                                                                                                                                                                                                                                                                                                                                                                                                                                                                                                                                                                                                                                                                                                                                                                                                                                                                                                                                                                                                                                                                                                                                                                                                                                                                                                                                                                                                                                                                                                                                                                                                                                                                                                                                              |                                                                                                                                                                                                                                                                                                                                                                                                                                                                                                                                                                                                                                                                                                                                                                                                                                                                                                                                                                                                                                                                                                                                                                                                                                                                                                                                                                                                                                                                                                                                                                                                                                                                                                                                                                                    
                                                                                                                                                                                                                                                                                                                                         |                                                                                                                                                                                                                                                                                                                                                                                                                                                                                                                                                                                                                                                                                                                                                                                                                                                                                                                                                                                                                                                                                                                                                                                                                                                                                                                                                                                                                                                                                                                                                                                                                                                                                                                                                                                                                                                                                                                                                                                                                                                                                                                              |                                                                                                                                                                                                                                                                                                                                                                                                                                                                                                                                                                                                                                                                                                                                                                                                                                                                                                                                                                                                                                                                                                                                                                                                                                                                                                                                                                                                                                                                                                                                                                                                                                                                                                                                                                                                                                                                                                                                                                                                                                                                                                                              |                                                                                       |                                                                                                                                                                                                                                                                                                                                                                                                                                                                                                                                                                                                                                                                                                                                                                                                                                                                                                                                                                                                                                                                                                                                                                                                                                                                                                                                                                                                                                                                                                                                                                                                                                                                                                                                                                                                                                                                                                                                                                                                                                                                                                                              |                                                                                                                                                                                                                                                                                                                                                                                                                                                                                                                                                                                                                                                                                                                                                                                                                                                                                                                                                                                                                                                                                                                                                                                                                                                                                                                                                                                                                                                                                                                                                                                                                                                                                                                                                                                                                                                                                                                                                                                                                                                                                                                              |                                                                                                                                                                                                                                                                                                                                                                                                                                                                                                                                                                                                                                                                                                                                                                                                                                                                                                                                                                                                                                                                                                                                                                                                                                                                                                                                                                                                                                                 
                                                                                                                                                                                                                                                                                                                                                                                                                                                                                                                                                                                                                                                                           |                                                                                                                                                                                                                                                                                                                                                                                                                                                                                                                                                                                                                                                                                                                                                                                                                                                                                                                                                                                                                                                                                                                                                                                                                                                                                                                                                                                                                                                                                                                                                                                                                                                                                                                                                                                                                                                                                                                                                                                                                                                                                                                           |                                                                                                                                                                                                                                                                                                                                                                                                                                                                                                                                                                                                                                                                                                                                                                                                                                                                                                                                                                                                                                                                                                                                                                                                                                                                                                                                                                                                                                                                                                                                                                                                                                                                                                                                                                                                                                                                                                                                                                                                                                                                                                                              |                                                                                                   |                                                                                                                                                                                                                                                                                                                                                                                                                                                                                                                                                                                                                                                                                                                                                                                                                                                                                                                                                                                                                                                                                                                                                                                                                                                                                                                                                                                                                                                                                                                                                                                                                                                                                                                                                                                                                                                                                                                                                                                                                                                                                                                              |                                                                                   |                                                                                                                                                                                                                                                                                                                                                                                                                                                                                                                                                                                                                                                                                                                                                                                                                                                                                                                                                                                                                                                                                                                                                                                                                                                                                                                                                                                                                                                                                                                                                                                                                                                                                                                                                                                                                                                                                                                                                                                                                                                                                                                              |                                                                                                                                                                                                                                                                                                                                                                                                                                                                                                                                                                                                                                                                                                                                                                                                                                                                                                                                                                                                                  
                                                                                                                                                                                                                                                                                                                                                                                                                                                                                                                                                                                                                                                                                                                                                                                                                                                                                                                                                                                                                                                                                                           |                                                                                                       |                                                                                                   |                                                                                               |                                                                                                     |                                                                                                                                                                                                                                                                                                                                                                                                                                                                                                                                                                                                                                                                                                                                                                                                                                                                                                                                                                                                                                                                                                                                                                                                                                                                                                                                                                                                                                                                                                                                                                                                                                                                                                                                                                                                                                                                                                                                                                                                                                                                                                                           |                                                                                           |                                                                                                                                                                                                                                                                                                                                                                                                                                                                                                                                                                                                                                                                                                                                                                                                                                                                                                                                                                                                                                                                                                                                                                                                                                                                                                                                                                                                                                                                                                                                                                                                                                                                                                                                                                                                                                                                                                                                                                                                                                                                                                                            |                                                                                                                                                                                                                                                                                                                                                                                                                                                                                                                                                                                                                                                                                                                                                                                                                                                                                                                                                                                                                                                                                                                                                                                                                                                                                                                                                                                                                                                                                                                                                                                                                                                                                                                                                                                                                                                                                                                                                                                                                                                                                                                                |                                                                                                                                                                                                                                                                                                                                                                                                                                                                                                                                                                                                                                                                                                                                                                                                                                                                                                                                                                                                                                                                                                                                                                                                                                                                                                                                                                                                                                                                                                                                                                                                                                                                                                                                                                                                                                                                                                                                                                                                                                                                                                                               |                                                                                                                                                                                                                                                           
                                                                                                                                                                                                                                                                                                                                                                                                                                                                                                                                                                                                                                                                                                                                                                                                                                                                                                                                                                                                                                                                                                                                                                                                                                                                                                                                                                                                                                                                                                                                                                                                                                                                                                                                                                                                                                                                  |                                                                                                                                                                                                                                                                                                                                                                                                                                                                                                                                                                                                                                                                                                                                                                                                                                                                                                                                                                                                                                                                                                                                                                                                                                                                                                                                                                                                                                                                                                                                                                                                                                                                                                                                                                                                                                                                                                                                                                                                                                                                                                                              |                                                                                                                                                                                                                                                                                                                                                                                                                                                                                                                                                                                                                                                                                                                                                                                                                                                                                                                                                                                                                                                                                                                                                                                                                                                                                                                                                                                                                                                                                                                                                                                                                                                                                                                                                                                                                                                                                                                                                                                                                                                                                                                                |                                                                                                                                                                                                                                                                                                                                                                                                                                                                                                                                                                                                                                                                                                                                                                                                                                                                                                                                                                                                                                                                                                                                                                                                                                                                                                                                                                                                                                                                                                                                                                                                                                                                                                                                                                                                                                                                                                                                                                                                                                                                                                                                |                                                                                                                                                                                                                                                                                                                                                                                                                                                                                                                                                                                                                                                                                                                                                                                                                                                                                                                                                                                                                                                                                                                                                                                                                                                                                                                                                                                                                                                                                                                                                                                                                                                                                                                                                                                                                                                                                                                                                                                                                                                                                                                                |          
                                                                                                                                                                                                                                                                                                                                                                                                                                                                                                                                                                                                                                                                                                                                                                                                                                                                                                                                                                                                                                                                                                                                                                                                                                                                                                                                                                                                                                                                                                                                                                                                                                                                                                                                                                                                                                                                                                                                                                                                                                                                                                                     |                                                                                                                                                                                                                                                                                                                                                                                                                                                                                                                                                                                                                                                                                                                                                                                                                                                                                                                                                                                                                                                                                                                                                                                                                                                                                                                                                                                                                                                                                                                                                                                                                                                                                                               |                                                                                                                                                                                                                                                                                                                                                                                                                                                                                                                                                                                                                                                                                                                                                                                                                                                                                                                                                                                                                   |                                                                                                                                                                                                                                                                                                                                                                                                                                                                                                                                                                                                                                                                                                                                                                                                                                                                                                                                                                                                                                                |                                                                                                                                                                                                                                                                                                                                                                                                                                                                                                                                                                                                                                                                                                                                                                              |                                                                                                                                                                                                                                                                                                                                                                                                                                                                                                                                                                                                                                                                                                                                                                                                        |                                                                                                                                                                                                                                                                                                                                                                                                                                                                                                                                                                                         |                                                                                                                                                                                                                                                                                                                                                                                                                                                                                                |                                                                                                                                                                                                                                                                                                                                                                                                                                                                                                                              |                                                                                                                                                                                                                                                                                                                                                                                                                                                                                                                                                                                                                |                                                                                                                                                                                                                                                                                                                                                                                                                                                                                                                                                                                                                                  |                              
                                                                                                                                                                                                                                                                                                                                                                                                                                                                                                                                                                                                                                                                                                                                                                                                                                                                                                                                                                                                                                                                                                                                                                                                                                                     |                                                                                                                                                                                                                                                                                                                                                                                                                                                                                                                                                                                                                                                                                                                                                                                                                                                                                                                                                                                                                                                                                                                                                                                                                                                                                                                                                                                                                                                                                                                                                                                                                                                                                                                                                                                                                                                                                                                                                                                                                                                                                                                                |                                                                                                                                                                                                                                                                                                                                                                                                                                                                                                                                                                                                                                                                                                                                                                                                                                                                                                                                                                                                                                                                                                                                                                                                                                                                                                                                                                                                                                                                                                                                                                                                                                                                                                                                                                                                                                                                                                                                                                                                                                                                                                                                |                                                                                                                                                                                                                                                                                                                                                                                                                                                                                                                                                                                                                                                                                                                                                                                                                                                                                                                                                                                                                                                                                                                                                                                                                                                                                                                                                                                                                                                                                                                                                                                                                                                                                                                                                                                           |                                                                                                                                                                                                                                                                                                                                                                                                                                                                                                                                                                                                                                                                                                                                                                                                                                                                                                                                                                                                                                                                                                                                                                                                                                                                                                                                                                                                                                                                                                                                                                                                                                                     |                                                                                                                                                                                                                                                                                                                                                                                                                                                                                                                                                                                                                                                                                                                                                                                                                                                                                                                                                                                                                                                                                                                                                                                                                                                                                                                                                                                                                                     
                                                              |                                                                                                                                                                                                                                                                                                                                                                                                                                                                                                                                                                                                                                                                                                                                                                                                                                                                                                                                                                                                                                                                                                                                                                                                                                                                                                                                                                                                                                                                                                                                                                                                                                                                                                                                                                                                                                                                                                                                                                                                                                                                                                                              |                                                                                                                                                                                                                                                                                                                                                                                                                                                                                                                                                                                                                                                                                                                                                                                                                                                                                                                                                                                                                                                                                                                                                                                                                                                                                                                                                                                                                                                                                                                                                                                                                                                                                                                                                                                                                                                                                                                                                                                                                                                                                                                              |                                                                                                                                                                                                                                                                                                                                                                                                                                                                                                                                                                                                                                                                                                                                                                                                                                                                                                                                                                                                                                                                                                                                                                                                                                                                                                                                                                                                                                                                                                                                                                                                                                                                                                                                                                                                                                                                                                                                                                                                                                                                                                                                |                                                                                                                                                                                                                                                                                                                                                                                                                                                                                                                                                                                                                                                                                                                                                                                                                                                                                                                                                                                                                                                                                                                                                                                                                                                                                                                                                                                                                                                                                                                                                                                                                                                                                                                                                                                                                                                                                                                                                                                                                                                                                                                              |                                                                                                  |                                                                                                                                                                                                                                                                                                                                                                                                                                                                                                                                                                                                                                                                                                                                                                                                                                                                                                                                                                                                                                                                                                                                                                                                                                                                                                                                                                                                                                                                                                                                                                                                                                                                                                               
                                                                                                                                                                                                                                                                                                                                                                                                             |                                                                                                                                                                                                                                                                                                                                                                                                                                                                                                                                                                                                                                                                                                                                                                                                                                                                                                                                                                                                                                                                                                                                                                                                                                                                                                                                                                                                                                                                                                                                                                                                                                                                                                                                                                                                                                                                                                                                                                                                                                                                                                                              |                                                                                                                                                                                                                                                                                                                                                                                                                                                                                                                                                                                                                                                                                                                                                                                                                                                                                                                                                                                                                                                                                                                                                                                                                                                                                                                                                                                                                                                                                                                                                                                                                                                                                                                                                                                                                                                                                                                                                                                                                                                                                                                              |           |                                                                                                                                                                                                                                                                                                                                                                                                                                                                                                                                                                                                                                                                                                                                                                                                                                                                                                                                                                                                                                                                                                                                                                                                                                                                                                                                                                                                                                                                                                                                                                                                                                                                                                                                                                                                                                                                                                                                                                                                                                                                                                                              |                                                                                            |                                                                                                                                                                                                                                                                                                                                                                                                                                                                                                                                                                                                                                                                                                                                                                                                                                                                                                                                                                                                                                                                                                                                                                                                                                                                                                                                                                                                                                                                                                                                                                                                                                                                                                                                                                                                                                                                                                                                                                                                                                                                                                                             |                                                                                                       |                                                                                                                                                                                                                                                                                                                                                                                                                                                                                                                                                                                                                                                                                                                                                                                                                                                                                                                                                                                                                                                                                                                                                                                                                                                     
                                                                                                                                                                                                                                                                                                                                                                                                                                                                                                                                                                                                                                                                                                                                                                                                                                                                        |            |                                                                                                                                                                                                                                                                                                                                                                                                                                                                                                                                                                                                                                                                                                                                                                                                                                                                                                                                                                                                                                                                                                                                                                                                                                                                                                                                                                                                                                                                                                                                                                                                                                                                                                                                                                                                                                                                                                                                                                                                                                                                                                                             |                                                                                                                                                                                                                                                                                                                                                                                                                                                                                                                                                                                                                                                                                                                                                                                                                                                                                                                                                                                                                                                                                                                                                                                                                                                                                                                                                                                                                                                                                                                                                                                                                                                                                                                                                                                                                                                                                                                                                                                                                                                                                                                              |                                                                                                                                                                                                                                                                                                                                                                                                                                                                                                                                                                                                                                                                                                                                                                                                                                                                                                                                                                                                                                                                                                                                                                                                                                                                                                                                                                                                                                                                                                                                                                                                                                                                                                                                                                                                                                                                                                                                                                                                                                                                                                                              |
|                                                                                                                                                                                                                                                                                                                                                                                                                                                                                                                                                                                                                                                                                                                                                                                                                                                                                                                                                                                                                                                                                                                                                                                                                                                                                                                                                                                                                                                                                                                                                                                                                                                                                                                                                                                                                                                                                                                                                                                                                                                                                                                              | +                                                                                                                                                                                                                                                                                                                                                                                                                                                                                                                                                                                                                                                                                                                                                                                                                                                                                                                                                                                                                                                                                                                                                                                                                                                                                                                                                                                                                                                                                                                                                                                                                                                                                                                                                                                                                                                                                                                                                                                                                                                                                                                            | $\forall$                                                                                                                                                                                                                                                                                                                                                                                                                                                                                                                                                                                                                                                                                                                                                                                                                                                                                                                                                                                                                                                                                                                                                                                                                                                                                                                                                                                                                                                                                                                                                                                                                                                                                                                                                                                                                                                                                                                                                                                                                                                                                                                    | +                                                                                           |                                                                                                                                                                                                                                                                                                                                                                                                                                                                                                                                                                                                                                                                                                                                                                                                                                                                                                                                                                                                                                                                                                                                                                                                                                                                                                                                                                                                                                                                                                                                                                                                                                                                                                                                                                                                                                                                                                                                                                                                                                                                                                                              | H                                                                                                                                                                                                                                                                                                                                                                                                                                                                                                                                                                                                                                                                                                                                                                                                                                                                                                                                                                                                                                                                                                                                                                                                                                                                                                                                                                                                                                                                                                                                                                                                                                                                                                                                                                                  
                                                                                                                                                                                                                                                                                                                                         | 1                                                                                                                                                                                                                                                                                                                                                                                                                                                                                                                                                                                                                                                                                                                                                                                                                                                                                                                                                                                                                                                                                                                                                                                                                                                                                                                                                                                                                                                                                                                                                                                                                                                                                                                                                                                                                                                                                                                                                                                                                                                                                                                            | 18                                                                                                                                                                                                                                                                                                                                                                                                                                                                                                                                                                                                                                                                                                                                                                                                                                                                                                                                                                                                                                                                                                                                                                                                                                                                                                                                                                                                                                                                                                                                                                                                                                                                                                                                                                                                                                                                                                                                                                                                                                                                                                                           | 9.                                                                                    | 4 4                                                                                                                                                                                                                                                                                                                                                                                                                                                                                                                                                                                                                                                                                                                                                                                                                                                                                                                                                                                                                                                                                                                                                                                                                                                                                                                                                                                                                                                                                                                                                                                                                                                                                                                                                                                                                                                                                                                                                                                                                                                                                                                          |                                                                                                                                                                                                                                                                                                                                                                                                                                                                                                                                                                                                                                                                                                                                                                                                                                                                                                                                                                                                                                                                                                                                                                                                                                                                                                                                                                                                                                                                                                                                                                                                                                                                                                                                                                                                                                                                                                                                                                                                                                                                                                                              | 12                                                                                                                                                                                                                                                                                                                                                                                                                                                                                                                                                                                                                                                                                                                                                                                                                                                                                                                                                                                                                                                                                                                                                                                                                                                                                                                                                                                                                                              
                                                                                                                                                                                                                                                                                                                                                                                                                                                                                                                                                                                                                                                                           | 2                                                                                                                                                                                                                                                                                                                                                                                                                                                                                                                                                                                                                                                                                                                                                                                                                                                                                                                                                                                                                                                                                                                                                                                                                                                                                                                                                                                                                                                                                                                                                                                                                                                                                                                                                                                                                                                                                                                                                                                                                                                                                                                         | Н_                                                                                                                                                                                                                                                                                                                                                                                                                                                                                                                                                                                                                                                                                                                                                                                                                                                                                                                                                                                                                                                                                                                                                                                                                                                                                                                                                                                                                                                                                                                                                                                                                                                                                                                                                                                                                                                                                                                                                                                                                                                                                                                           | 15                                                                                                | 1                                                                                                                                                                                                                                                                                                                                                                                                                                                                                                                                                                                                                                                                                                                                                                                                                                                                                                                                                                                                                                                                                                                                                                                                                                                                                                                                                                                                                                                                                                                                                                                                                                                                                                                                                                                                                                                                                                                                                                                                                                                                                                                            |                                                                                   | ω L                                                                                                                                                                                                                                                                                                                                                                                                                                                                                                                                                                                                                                                                                                                                                                                                                                                                                                                                                                                                                                                                                                                                                                                                                                                                                                                                                                                                                                                                                                                                                                                                                                                                                                                                                                                                                                                                                                                                                                                                                                                                                                                          | 10 1                                                                                                                                                                                                                                                                                                                                                                                                                                                                                                                                                                                                                                                                                                                                                                                                                                                                                                                                                                                                             
                                                                                                                                                                                                                                                                                                                                                                                                                                                                                                                                                                                                                                                                                                                                                                                                                                                                                                                                                                                                                                                                                                           | 23                                                                                                    | 6                                                                                                 | 2                                                                                             |                                                                                                     | 9                                                                                                                                                                                                                                                                                                                                                                                                                                                                                                                                                                                                                                                                                                                                                                                                                                                                                                                                                                                                                                                                                                                                                                                                                                                                                                                                                                                                                                                                                                                                                                                                                                                                                                                                                                                                                                                                                                                                                                                                                                                                                                                         | 2                                                                                         | 1 0                                                                                                                                                                                                                                                                                                                                                                                                                                                                                                                                                                                                                                                                                                                                                                                                                                                                                                                                                                                                                                                                                                                                                                                                                                                                                                                                                                                                                                                                                                                                                                                                                                                                                                                                                                                                                                                                                                                                                                                                                                                                                                                        | υ<br>1 α                                                                                                                                                                                                                                                                                                                                                                                                                                                                                                                                                                                                                                                                                                                                                                                                                                                                                                                                                                                                                                                                                                                                                                                                                                                                                                                                                                                                                                                                                                                                                                                                                                                                                                                                                                                                                                                                                                                                                                                                                                                                                                                       | 7 3                                                                                                                                                                                                                                                                                                                                                                                                                                                                                                                                                                                                                                                                                                                                                                                                                                                                                                                                                                                                                                                                                                                                                                                                                                                                                                                                                                                                                                                                                                                                                                                                                                                                                                                                                                                                                                                                                                                                                                                                                                                                                                                           | 9                                                                                                                                                                                                                                                         
                                                                                                                                                                                                                                                                                                                                                                                                                                                                                                                                                                                                                                                                                                                                                                                                                                                                                                                                                                                                                                                                                                                                                                                                                                                                                                                                                                                                                                                                                                                                                                                                                                                                                                                                                                                                                                                                  | 1                                                                                                                                                                                                                                                                                                                                                                                                                                                                                                                                                                                                                                                                                                                                                                                                                                                                                                                                                                                                                                                                                                                                                                                                                                                                                                                                                                                                                                                                                                                                                                                                                                                                                                                                                                                                                                                                                                                                                                                                                                                                                                                            | w                                                                                                                                                                                                                                                                                                                                                                                                                                                                                                                                                                                                                                                                                                                                                                                                                                                                                                                                                                                                                                                                                                                                                                                                                                                                                                                                                                                                                                                                                                                                                                                                                                                                                                                                                                                                                                                                                                                                                                                                                                                                                                                              | 4 7                                                                                                                                                                                                                                                                                                                                                                                                                                                                                                                                                                                                                                                                                                                                                                                                                                                                                                                                                                                                                                                                                                                                                                                                                                                                                                                                                                                                                                                                                                                                                                                                                                                                                                                                                                                                                                                                                                                                                                                                                                                                                                                            | 4.                                                                                                                                                                                                                                                                                                                                                                                                                                                                                                                                                                                                                                                                                                                                                                                                                                                                                                                                                                                                                                                                                                                                                                                                                                                                                                                                                                                                                                                                                                                                                                                                                                                                                                                                                                                                                                                                                                                                                                                                                                                                                                                             | 2        
                                                                                                                                                                                                                                                                                                                                                                                                                                                                                                                                                                                                                                                                                                                                                                                                                                                                                                                                                                                                                                                                                                                                                                                                                                                                                                                                                                                                                                                                                                                                                                                                                                                                                                                                                                                                                                                                                                                                                                                                                                                                                                                     | ر ا<br>د                                                                                                                                                                                                                                                                                                                                                                                                                                                                                                                                                                                                                                                                                                                                                                                                                                                                                                                                                                                                                                                                                                                                                                                                                                                                                                                                                                                                                                                                                                                                                                                                                                                                                                      | 4 4                                                                                                                                                                                                                                                                                                                                                                                                                                                                                                                                                                                                                                                                                                                                                                                                                                                                                                                                                                                                               | 12                                                                                                                                                                                                                                                                                                                                                                                                                                                                                                                                                                                                                                                                                                                                                                                                                                                                                                                                                                                                                                             | 12 1                                                                                                                                                                                                                                                                                                                                                                                                                                                                                                                                                                                                                                                                                                                                                                         | 2 F                                                                                                                                                                                                                                                                                                                                                                                                                                                                                                                                                                                                                                                                                                                                                                                                    | 1 6                                                                                                                                                                                                                                                                                                                                                                                                                                                                                                                                                                                     |                                                                                                                                                                                                                                                                                                                                                                                                                                                                                                | <br>                                                                                                                                                                                                                                                                                                                                                                                                                                                                                                                         | 2                                                                                                                                                                                                                                                                                                                                                                                                                                                                                                                                                                                                              |                                                                                                                                                                                                                                                                                                                                                                                                                                                                                                                                                                                                                                  |                              
                                                                                                                                                                                                                                                                                                                                                                                                                                                                                                                                                                                                                                                                                                                                                                                                                                                                                                                                                                                                                                                                                                                                                                                                                                                     | w                                                                                                                                                                                                                                                                                                                                                                                                                                                                                                                                                                                                                                                                                                                                                                                                                                                                                                                                                                                                                                                                                                                                                                                                                                                                                                                                                                                                                                                                                                                                                                                                                                                                                                                                                                                                                                                                                                                                                                                                                                                                                                                              | 2                                                                                                                                                                                                                                                                                                                                                                                                                                                                                                                                                                                                                                                                                                                                                                                                                                                                                                                                                                                                                                                                                                                                                                                                                                                                                                                                                                                                                                                                                                                                                                                                                                                                                                                                                                                                                                                                                                                                                                                                                                                                                                                              | اخا<br>احا                                                                                                                                                                                                                                                                                                                                                                                                                                                                                                                                                                                                                                                                                                                                                                                                                                                                                                                                                                                                                                                                                                                                                                                                                                                                                                                                                                                                                                                                                                                                                                                                                                                                                                                                                                                |                                                                                                                                                                                                                                                                                                                                                                                                                                                                                                                                                                                                                                                                                                                                                                                                                                                                                                                                                                                                                                                                                                                                                                                                                                                                                                                                                                                                                                                                                                                                                                                                                                                     | 12                                                                                                                                                                                                                                                                                                                                                                                                                                                                                                                                                                                                                                                                                                                                                                                                                                                                                                                                                                                                                                                                                                                                                                                                                                                                                                                                                                                                                                  
                                                              |                                                                                                                                                                                                                                                                                                                                                                                                                                                                                                                                                                                                                                                                                                                                                                                                                                                                                                                                                                                                                                                                                                                                                                                                                                                                                                                                                                                                                                                                                                                                                                                                                                                                                                                                                                                                                                                                                                                                                                                                                                                                                                                              | 1 2                                                                                                                                                                                                                                                                                                                                                                                                                                                                                                                                                                                                                                                                                                                                                                                                                                                                                                                                                                                                                                                                                                                                                                                                                                                                                                                                                                                                                                                                                                                                                                                                                                                                                                                                                                                                                                                                                                                                                                                                                                                                                                                          | H                                                                                                                                                                                                                                                                                                                                                                                                                                                                                                                                                                                                                                                                                                                                                                                                                                                                                                                                                                                                                                                                                                                                                                                                                                                                                                                                                                                                                                                                                                                                                                                                                                                                                                                                                                                                                                                                                                                                                                                                                                                                                                                              | <u> </u>                                                                                                                                                                                                                                                                                                                                                                                                                                                                                                                                                                                                                                                                                                                                                                                                                                                                                                                                                                                                                                                                                                                                                                                                                                                                                                                                                                                                                                                                                                                                                                                                                                                                                                                                                                                                                                                                                                                                                                                                                                                                                                                     | _                                                                                                |                                                                                                                                                                                                                                                                                                                                                                                                                                                                                                                                                                                                                                                                                                                                                                                                                                                                                                                                                                                                                                                                                                                                                                                                                                                                                                                                                                                                                                                                                                                                                                                                                                                                                                               
                                                                                                                                                                                                                                                                                                                                                                                                             | 2                                                                                                                                                                                                                                                                                                                                                                                                                                                                                                                                                                                                                                                                                                                                                                                                                                                                                                                                                                                                                                                                                                                                                                                                                                                                                                                                                                                                                                                                                                                                                                                                                                                                                                                                                                                                                                                                                                                                                                                                                                                                                                                            | _                                                                                                                                                                                                                                                                                                                                                                                                                                                                                                                                                                                                                                                                                                                                                                                                                                                                                                                                                                                                                                                                                                                                                                                                                                                                                                                                                                                                                                                                                                                                                                                                                                                                                                                                                                                                                                                                                                                                                                                                                                                                                                                            | <br>      | ωı                                                                                                                                                                                                                                                                                                                                                                                                                                                                                                                                                                                                                                                                                                                                                                                                                                                                                                                                                                                                                                                                                                                                                                                                                                                                                                                                                                                                                                                                                                                                                                                                                                                                                                                                                                                                                                                                                                                                                                                                                                                                                                                           | - 1 8<br>- 1 8                                                                             | 2                                                                                                                                                                                                                                                                                                                                                                                                                                                                                                                                                                                                                                                                                                                                                                                                                                                                                                                                                                                                                                                                                                                                                                                                                                                                                                                                                                                                                                                                                                                                                                                                                                                                                                                                                                                                                                                                                                                                                                                                                                                                                                                           |                                                                                                       | 2 6                                                                                                                                                                                                                                                                                                                                                                                                                                                                                                                                                                                                                                                                                                                                                                                                                                                                                                                                                                                                                                                                                                                                                                                                                                                 
                                                                                                                                                                                                                                                                                                                                                                                                                                                                                                                                                                                                                                                                                                                                                                                                                                                                        | +          |                                                                                                                                                                                                                                                                                                                                                                                                                                                                                                                                                                                                                                                                                                                                                                                                                                                                                                                                                                                                                                                                                                                                                                                                                                                                                                                                                                                                                                                                                                                                                                                                                                                                                                                                                                                                                                                                                                                                                                                                                                                                                                                             | <br> -                                                                                                                                                                                                                                                                                                                                                                                                                                                                                                                                                                                                                                                                                                                                                                                                                                                                                                                                                                                                                                                                                                                                                                                                                                                                                                                                                                                                                                                                                                                                                                                                                                                                                                                                                                                                                                                                                                                                                                                                                                                                                                                       | 10                                                                                                                                                                                                                                                                                                                                                                                                                                                                                                                                                                                                                                                                                                                                                                                                                                                                                                                                                                                                                                                                                                                                                                                                                                                                                                                                                                                                                                                                                                                                                                                                                                                                                                                                                                                                                                                                                                                                                                                                                                                                                                                           |
| 5 462                                                                                                                                                                                                                                                                                                                                                                                                                                                                                                                                                                                                                                                                                                                                                                                                                                                                                                                                                                                                                                                                                                                                                                                                                                                                                                                                                                                                                                                                                                                                                                                                                                                                                                                                                                                                                                                                                                                                                                                                                                                                                                                        | 5 95a                                                                                                                                                                                                                                                                                                                                                                                                                                                                                                                                                                                                                                                                                                                                                                                                                                                                                                                                                                                                                                                                                                                                                                                                                                                                                                                                                                                                                                                                                                                                                                                                                                                                                                                                                                                                                                                                                                                                                                                                                                                                                                                        | 8 373                                                                                                                                                                                                                                                                                                                                                                                                                                                                                                                                                                                                                                                                                                                                                                                                                                                                                                                                                                                                                                                                                                                                                                                                                                                                                                                                                                                                                                                                                                                                                                                                                                                                                                                                                                                                                                                                                                                                                                                                                                                                                                                        | 7 222                                                                                       | 7 881                                                                                                                                                                                                                                                                                                                                                                                                                                                                                                                                                                                                                                                                                                                                                                                                                                                                                                                                                                                                                                                                                                                                                                                                                                                                                                                                                                                                                                                                                                                                                                                                                                                                                                                                                                                                                                                                                                                                                                                                                                                                                                                        | 7 881                                                                                                                                                                                                                                                                                                                                                                                                                                                                                                                                                                                                                                                                                                                                                                                                                                                                                                                                                                                                                                                                                                                                                                                                                                                                                                                                                                                                                                                                                                                                                                                                                                                                                                                                                                              
                                                                                                                                                                                                                                                                                                                                         | 4 471                                                                                                                                                                                                                                                                                                                                                                                                                                                                                                                                                                                                                                                                                                                                                                                                                                                                                                                                                                                                                                                                                                                                                                                                                                                                                                                                                                                                                                                                                                                                                                                                                                                                                                                                                                                                                                                                                                                                                                                                                                                                                                                        | 7 720                                                                                                                                                                                                                                                                                                                                                                                                                                                                                                                                                                                                                                                                                                                                                                                                                                                                                                                                                                                                                                                                                                                                                                                                                                                                                                                                                                                                                                                                                                                                                                                                                                                                                                                                                                                                                                                                                                                                                                                                                                                                                                                        | 6 200                                                                                 | 7 742                                                                                                                                                                                                                                                                                                                                                                                                                                                                                                                                                                                                                                                                                                                                                                                                                                                                                                                                                                                                                                                                                                                                                                                                                                                                                                                                                                                                                                                                                                                                                                                                                                                                                                                                                                                                                                                                                                                                                                                                                                                                                                                        | 7 288                                                                                                                                                                                                                                                                                                                                                                                                                                                                                                                                                                                                                                                                                                                                                                                                                                                                                                                                                                                                                                                                                                                                                                                                                                                                                                                                                                                                                                                                                                                                                                                                                                                                                                                                                                                                                                                                                                                                                                                                                                                                                                                        | 5 475                                                                                                                                                                                                                                                                                                                                                                                                                                                                                                                                                                                                                                                                                                                                                                                                                                                                                                                                                                                                                                                                                                                                                                                                                                                                                                                                                                                                                                           
                                                                                                                                                                                                                                                                                                                                                                                                                                                                                                                                                                                                                                                                           | 2 158                                                                                                                                                                                                                                                                                                                                                                                                                                                                                                                                                                                                                                                                                                                                                                                                                                                                                                                                                                                                                                                                                                                                                                                                                                                                                                                                                                                                                                                                                                                                                                                                                                                                                                                                                                                                                                                                                                                                                                                                                                                                                                                     | 4 37(                                                                                                                                                                                                                                                                                                                                                                                                                                                                                                                                                                                                                                                                                                                                                                                                                                                                                                                                                                                                                                                                                                                                                                                                                                                                                                                                                                                                                                                                                                                                                                                                                                                                                                                                                                                                                                                                                                                                                                                                                                                                                                                        | 0 700                                                                                             | 1 295                                                                                                                                                                                                                                                                                                                                                                                                                                                                                                                                                                                                                                                                                                                                                                                                                                                                                                                                                                                                                                                                                                                                                                                                                                                                                                                                                                                                                                                                                                                                                                                                                                                                                                                                                                                                                                                                                                                                                                                                                                                                                                                        | 7 962                                                                             | 0 270                                                                                                                                                                                                                                                                                                                                                                                                                                                                                                                                                                                                                                                                                                                                                                                                                                                                                                                                                                                                                                                                                                                                                                                                                                                                                                                                                                                                                                                                                                                                                                                                                                                                                                                                                                                                                                                                                                                                                                                                                                                                                                                        | 1 746                                                                                                                                                                                                                                                                                                                                                                                                                                                                                                                                                                                                                                                                                                                                                                                                                                                                                                                                                                                                            
                                                                                                                                                                                                                                                                                                                                                                                                                                                                                                                                                                                                                                                                                                                                                                                                                                                                                                                                                                                                                                                                                                           | 1 452                                                                                                 | 8 824                                                                                             | 2 740                                                                                         | 9 845                                                                                               | 7 308                                                                                                                                                                                                                                                                                                                                                                                                                                                                                                                                                                                                                                                                                                                                                                                                                                                                                                                                                                                                                                                                                                                                                                                                                                                                                                                                                                                                                                                                                                                                                                                                                                                                                                                                                                                                                                                                                                                                                                                                                                                                                                                     | 0 180                                                                                     | 7 938                                                                                                                                                                                                                                                                                                                                                                                                                                                                                                                                                                                                                                                                                                                                                                                                                                                                                                                                                                                                                                                                                                                                                                                                                                                                                                                                                                                                                                                                                                                                                                                                                                                                                                                                                                                                                                                                                                                                                                                                                                                                                                                      | 7 791                                                                                                                                                                                                                                                                                                                                                                                                                                                                                                                                                                                                                                                                                                                                                                                                                                                                                                                                                                                                                                                                                                                                                                                                                                                                                                                                                                                                                                                                                                                                                                                                                                                                                                                                                                                                                                                                                                                                                                                                                                                                                                                          | 9 156                                                                                                                                                                                                                                                                                                                                                                                                                                                                                                                                                                                                                                                                                                                                                                                                                                                                                                                                                                                                                                                                                                                                                                                                                                                                                                                                                                                                                                                                                                                                                                                                                                                                                                                                                                                                                                                                                                                                                                                                                                                                                                                         | 1 866                                                                                                                                                                                                                                                     
                                                                                                                                                                                                                                                                                                                                                                                                                                                                                                                                                                                                                                                                                                                                                                                                                                                                                                                                                                                                                                                                                                                                                                                                                                                                                                                                                                                                                                                                                                                                                                                                                                                                                                                                                                                                                                                                  | 8 059                                                                                                                                                                                                                                                                                                                                                                                                                                                                                                                                                                                                                                                                                                                                                                                                                                                                                                                                                                                                                                                                                                                                                                                                                                                                                                                                                                                                                                                                                                                                                                                                                                                                                                                                                                                                                                                                                                                                                                                                                                                                                                                        | 1 475                                                                                                                                                                                                                                                                                                                                                                                                                                                                                                                                                                                                                                                                                                                                                                                                                                                                                                                                                                                                                                                                                                                                                                                                                                                                                                                                                                                                                                                                                                                                                                                                                                                                                                                                                                                                                                                                                                                                                                                                                                                                                                                          | 2 705                                                                                                                                                                                                                                                                                                                                                                                                                                                                                                                                                                                                                                                                                                                                                                                                                                                                                                                                                                                                                                                                                                                                                                                                                                                                                                                                                                                                                                                                                                                                                                                                                                                                                                                                                                                                                                                                                                                                                                                                                                                                                                                          | 18 679                                                                                                                                                                                                                                                                                                                                                                                                                                                                                                                                                                                                                                                                                                                                                                                                                                                                                                                                                                                                                                                                                                                                                                                                                                                                                                                                                                                                                                                                                                                                                                                                                                                                                                                                                                                                                                                                                                                                                                                                                                                                                                                         | 0 784    
                                                                                                                                                                                                                                                                                                                                                                                                                                                                                                                                                                                                                                                                                                                                                                                                                                                                                                                                                                                                                                                                                                                                                                                                                                                                                                                                                                                                                                                                                                                                                                                                                                                                                                                                                                                                                                                                                                                                                                                                                                                                                                                     | 7 529                                                                                                                                                                                                                                                                                                                                                                                                                                                                                                                                                                                                                                                                                                                                                                                                                                                                                                                                                                                                                                                                                                                                                                                                                                                                                                                                                                                                                                                                                                                                                                                                                                                                                                         | 11 261                                                                                                                                                                                                                                                                                                                                                                                                                                                                                                                                                                                                                                                                                                                                                                                                                                                                                                                                                                                                            | 8 938                                                                                                                                                                                                                                                                                                                                                                                                                                                                                                                                                                                                                                                                                                                                                                                                                                                                                                                                                                                                                                          | 1 423                                                                                                                                                                                                                                                                                                                                                                                                                                                                                                                                                                                                                                                                                                                                                                        | 5 015                                                                                                                                                                                                                                                                                                                                                                                                                                                                                                                                                                                                                                                                                                                                                                                                  | 1 595                                                                                                                                                                                                                                                                                                                                                                                                                                                                                                                                                                                   | 4 518                                                                                                                                                                                                                                                                                                                                                                                                                                                                                          | 1 848                                                                                                                                                                                                                                                                                                                                                                                                                                                                                                                        | 1 339                                                                                                                                                                                                                                                                                                                                                                                                                                                                                                                                                                                                          | 3 831                                                                                                                                                                                                                                                                                                                                                                                                                                                                                                                                                                                                                            | 3 695                        
                                                                                                                                                                                                                                                                                                                                                                                                                                                                                                                                                                                                                                                                                                                                                                                                                                                                                                                                                                                                                                                                                                                                                                                                                                                     | 2 936                                                                                                                                                                                                                                                                                                                                                                                                                                                                                                                                                                                                                                                                                                                                                                                                                                                                                                                                                                                                                                                                                                                                                                                                                                                                                                                                                                                                                                                                                                                                                                                                                                                                                                                                                                                                                                                                                                                                                                                                                                                                                                                          | 7 240                                                                                                                                                                                                                                                                                                                                                                                                                                                                                                                                                                                                                                                                                                                                                                                                                                                                                                                                                                                                                                                                                                                                                                                                                                                                                                                                                                                                                                                                                                                                                                                                                                                                                                                                                                                                                                                                                                                                                                                                                                                                                                                          | 4 908                                                                                                                                                                                                                                                                                                                                                                                                                                                                                                                                                                                                                                                                                                                                                                                                                                                                                                                                                                                                                                                                                                                                                                                                                                                                                                                                                                                                                                                                                                                                                                                                                                                                                                                                                                                     | .1 614<br>6 996                                                                                                                                                                                                                                                                                                                                                                                                                                                                                                                                                                                                                                                                                                                                                                                                                                                                                                                                                                                                                                                                                                                                                                                                                                                                                                                                                                                                                                                                                                                                                                                                                                     | 4 121                                                                                                                                                                                                                                                                                                                                                                                                                                                                                                                                                                                                                                                                                                                                                                                                                                                                                                                                                                                                                                                                                                                                                                                                                                                                                                                                                                                                                               
                                                              | 2 954                                                                                                                                                                                                                                                                                                                                                                                                                                                                                                                                                                                                                                                                                                                                                                                                                                                                                                                                                                                                                                                                                                                                                                                                                                                                                                                                                                                                                                                                                                                                                                                                                                                                                                                                                                                                                                                                                                                                                                                                                                                                                                                        | 2 930                                                                                                                                                                                                                                                                                                                                                                                                                                                                                                                                                                                                                                                                                                                                                                                                                                                                                                                                                                                                                                                                                                                                                                                                                                                                                                                                                                                                                                                                                                                                                                                                                                                                                                                                                                                                                                                                                                                                                                                                                                                                                                                        | 9 222                                                                                                                                                                                                                                                                                                                                                                                                                                                                                                                                                                                                                                                                                                                                                                                                                                                                                                                                                                                                                                                                                                                                                                                                                                                                                                                                                                                                                                                                                                                                                                                                                                                                                                                                                                                                                                                                                                                                                                                                                                                                                                                          | 6 071                                                                                                                                                                                                                                                                                                                                                                                                                                                                                                                                                                                                                                                                                                                                                                                                                                                                                                                                                                                                                                                                                                                                                                                                                                                                                                                                                                                                                                                                                                                                                                                                                                                                                                                                                                                                                                                                                                                                                                                                                                                                                                                        | 3 765                                                                                            | 3 494                                                                                                                                                                                                                                                                                                                                                                                                                                                                                                                                                                                                                                                                                                                                                                                                                                                                                                                                                                                                                                                                                                                                                                                                                                                                                                                                                                                                                                                                                                                                                                                                                                                                                                         
                                                                                                                                                                                                                                                                                                                                                                                                             | 7 220                                                                                                                                                                                                                                                                                                                                                                                                                                                                                                                                                                                                                                                                                                                                                                                                                                                                                                                                                                                                                                                                                                                                                                                                                                                                                                                                                                                                                                                                                                                                                                                                                                                                                                                                                                                                                                                                                                                                                                                                                                                                                                                        | 3 722                                                                                                                                                                                                                                                                                                                                                                                                                                                                                                                                                                                                                                                                                                                                                                                                                                                                                                                                                                                                                                                                                                                                                                                                                                                                                                                                                                                                                                                                                                                                                                                                                                                                                                                                                                                                                                                                                                                                                                                                                                                                                                                        | 0 720     | 8 220                                                                                                                                                                                                                                                                                                                                                                                                                                                                                                                                                                                                                                                                                                                                                                                                                                                                                                                                                                                                                                                                                                                                                                                                                                                                                                                                                                                                                                                                                                                                                                                                                                                                                                                                                                                                                                                                                                                                                                                                                                                                                                                        | 13 <b>4</b> 36<br>1 066                                                                    | 0 180                                                                                                                                                                                                                                                                                                                                                                                                                                                                                                                                                                                                                                                                                                                                                                                                                                                                                                                                                                                                                                                                                                                                                                                                                                                                                                                                                                                                                                                                                                                                                                                                                                                                                                                                                                                                                                                                                                                                                                                                                                                                                                                       | 4 104                                                                                                 | 7 898<br>8 91-7                                                                                                                                                                                                                                                                                                                                                                                                                                                                                                                                                                                                                                                                                                                                                                                                                                                                                                                                                                                                                                                                                                                                                                                                                                     
                                                                                                                                                                                                                                                                                                                                                                                                                                                                                                                                                                                                                                                                                                                                                                                                                                                                        | 9 036      | 2 402                                                                                                                                                                                                                                                                                                                                                                                                                                                                                                                                                                                                                                                                                                                                                                                                                                                                                                                                                                                                                                                                                                                                                                                                                                                                                                                                                                                                                                                                                                                                                                                                                                                                                                                                                                                                                                                                                                                                                                                                                                                                                                                       | 3 201                                                                                                                                                                                                                                                                                                                                                                                                                                                                                                                                                                                                                                                                                                                                                                                                                                                                                                                                                                                                                                                                                                                                                                                                                                                                                                                                                                                                                                                                                                                                                                                                                                                                                                                                                                                                                                                                                                                                                                                                                                                                                                                        | 0 507                                                                                                                                                                                                                                                                                                                                                                                                                                                                                                                                                                                                                                                                                                                                                                                                                                                                                                                                                                                                                                                                                                                                                                                                                                                                                                                                                                                                                                                                                                                                                                                                                                                                                                                                                                                                                                                                                                                                                                                                                                                                                                                        | |
| -                                                                                                                                                                                                                                                                                                                                                                                                                                                                                                                                                                                                                                                                                                                                                                                                                                                                                                                                                                                                                                                                                                                                                                                                                                                                                                                                                                                                                                                                                                                                                                                                                                                                                                                                                                                                                                                                                                                                                                                                                                                                                                                            | 102                                                                                                                                                                                                                                                                                                                                                                                                                                                                                                                                                                                                                                                                                                                                                                                                                                                                                                                                                                                                                                                                                                                                                                                                                                                                                                                                                                                                                                                                                                                                                                                                                                                                                                                                                                                                                                                                                                                                                                                                                                                                                                                          |                                                                                                                                                                                                                                                                                                                                                                                                                                                                                                                                                                                                                                                                                                                                                                                                                                                                                                                                                                                                                                                                                                                                                                                                                                                                                                                                                                                                                                                                                                                                                                                                                                                                                                                                                                                                                                                                                                                                                                                                                                                                                                                              |                                                                                             | 1                                                                                                                                                                                                                                                                                                                                                                                                                                                                                                                                                                                                                                                                                                                                                                                                                                                                                                                                                                                                                                                                                                                                                                                                                                                                                                                                                                                                                                                                                                                                                                                                                                                                                                                                                                                                                                                                                                                                                                                                                                                                                                                            |                                                                                                                                                                                                                                                                                                                                                                                                                                                                                                                                                                                                                                                                                                                                                                                                                                                                                                                                                                                                                                                                                                                                                                                                                                                                                                                                                                                                                                                                                                                                                                                                                                                                                                                                                                                    
                                                                                                                                                                                                                                                                                                                                         |                                                                                                                                                                                                                                                                                                                                                                                                                                                                                                                                                                                                                                                                                                                                                                                                                                                                                                                                                                                                                                                                                                                                                                                                                                                                                                                                                                                                                                                                                                                                                                                                                                                                                                                                                                                                                                                                                                                                                                                                                                                                                                                              | -                                                                                                                                                                                                                                                                                                                                                                                                                                                                                                                                                                                                                                                                                                                                                                                                                                                                                                                                                                                                                                                                                                                                                                                                                                                                                                                                                                                                                                                                                                                                                                                                                                                                                                                                                                                                                                                                                                                                                                                                                                                                                                                            |                                                                                       |                                                                                                                                                                                                                                                                                                                                                                                                                                                                                                                                                                                                                                                                                                                                                                                                                                                                                                                                                                                                                                                                                                                                                                                                                                                                                                                                                                                                                                                                                                                                                                                                                                                                                                                                                                                                                                                                                                                                                                                                                                                                                                                              |                                                                                                                                                                                                                                                                                                                                                                                                                                                                                                                                                                                                                                                                                                                                                                                                                                                                                                                                                                                                                                                                                                                                                                                                                                                                                                                                                                                                                                                                                                                                                                                                                                                                                                                                                                                                                                                                                                                                                                                                                                                                                                                              |                                                                                                                                                                                                                                                                                                                                                                                                                                                                                                                                                                                                                                                                                                                                                                                                                                                                                                                                                                                                                                                                                                                                                                                                                                                                                                                                                                                                                                                 
                                                                                                                                                                                                                                                                                                                                                                                                                                                                                                                                                                                                                                                                           |                                                                                                                                                                                                                                                                                                                                                                                                                                                                                                                                                                                                                                                                                                                                                                                                                                                                                                                                                                                                                                                                                                                                                                                                                                                                                                                                                                                                                                                                                                                                                                                                                                                                                                                                                                                                                                                                                                                                                                                                                                                                                                                           | 10                                                                                                                                                                                                                                                                                                                                                                                                                                                                                                                                                                                                                                                                                                                                                                                                                                                                                                                                                                                                                                                                                                                                                                                                                                                                                                                                                                                                                                                                                                                                                                                                                                                                                                                                                                                                                                                                                                                                                                                                                                                                                                                           | 1-1                                                                                               |                                                                                                                                                                                                                                                                                                                                                                                                                                                                                                                                                                                                                                                                                                                                                                                                                                                                                                                                                                                                                                                                                                                                                                                                                                                                                                                                                                                                                                                                                                                                                                                                                                                                                                                                                                                                                                                                                                                                                                                                                                                                                                                              |                                                                                   | - 1 -                                                                                                                                                                                                                                                                                                                                                                                                                                                                                                                                                                                                                                                                                                                                                                                                                                                                                                                                                                                                                                                                                                                                                                                                                                                                                                                                                                                                                                                                                                                                                                                                                                                                                                                                                                                                                                                                                                                                                                                                                                                                                                                        | 1 -                                                                                                                                                                                                                                                                                                                                                                                                                                                                                                                                                                                                                                                                                                                                                                                                                                                                                                                                                                                                              
                                                                                                                                                                                                                                                                                                                                                                                                                                                                                                                                                                                                                                                                                                                                                                                                                                                                                                                                                                                                                                                                                                           | 1.0                                                                                                   | -                                                                                                 |                                                                                               |                                                                                                     |                                                                                                                                                                                                                                                                                                                                                                                                                                                                                                                                                                                                                                                                                                                                                                                                                                                                                                                                                                                                                                                                                                                                                                                                                                                                                                                                                                                                                                                                                                                                                                                                                                                                                                                                                                                                                                                                                                                                                                                                                                                                                                                           | -                                                                                         |                                                                                                                                                                                                                                                                                                                                                                                                                                                                                                                                                                                                                                                                                                                                                                                                                                                                                                                                                                                                                                                                                                                                                                                                                                                                                                                                                                                                                                                                                                                                                                                                                                                                                                                                                                                                                                                                                                                                                                                                                                                                                                                            | 1.7                                                                                                                                                                                                                                                                                                                                                                                                                                                                                                                                                                                                                                                                                                                                                                                                                                                                                                                                                                                                                                                                                                                                                                                                                                                                                                                                                                                                                                                                                                                                                                                                                                                                                                                                                                                                                                                                                                                                                                                                                                                                                                                            |                                                                                                                                                                                                                                                                                                                                                                                                                                                                                                                                                                                                                                                                                                                                                                                                                                                                                                                                                                                                                                                                                                                                                                                                                                                                                                                                                                                                                                                                                                                                                                                                                                                                                                                                                                                                                                                                                                                                                                                                                                                                                                                               | |
                                                                                                                                                                                                                                                                                                                                                                                                                                                                                                                                                                                                                                                                                                                                                                                                                                                                                                                                                                                                                                                                                                                                                                                                                                                                                                                                                                                                                                                                                                                                                                                                                                                                                                                                                                                                                                                                  |                                                                                                                                                                                                                                                                                                                                                                                                                                                                                                                                                                                                                                                                                                                                                                                                                                                                                                                                                                                                                                                                                                                                                                                                                                                                                                                                                                                                                                                                                                                                                                                                                                                                                                                                                                                                                                                                                                                                                                                                                                                                                                                              | -,-                                                                                                                                                                                                                                                                                                                                                                                                                                                                                                                                                                                                                                                                                                                                                                                                                                                                                                                                                                                                                                                                                                                                                                                                                                                                                                                                                                                                                                                                                                                                                                                                                                                                                                                                                                                                                                                                                                                                                                                                                                                                                                                            |                                                                                                                                                                                                                                                                                                                                                                                                                                                                                                                                                                                                                                                                                                                                                                                                                                                                                                                                                                                                                                                                                                                                                                                                                                                                                                                                                                                                                                                                                                                                                                                                                                                                                                                                                                                                                                                                                                                                                                                                                                                                                                                                |                                                                                                                                                                                                                                                                                                                                                                                                                                                                                                                                                                                                                                                                                                                                                                                                                                                                                                                                                                                                                                                                                                                                                                                                                                                                                                                                                                                                                                                                                                                                                                                                                                                                                                                                                                                                                                                                                                                                                                                                                                                                                                                                |          
                                                                                                                                                                                                                                                                                                                                                                                                                                                                                                                                                                                                                                                                                                                                                                                                                                                                                                                                                                                                                                                                                                                                                                                                                                                                                                                                                                                                                                                                                                                                                                                                                                                                                                                                                                                                                                                                                                                                                                                                                                                                                                                     | - 1                                                                                                                                                                                                                                                                                                                                                                                                                                                                                                                                                                                                                                                                                                                                                                                                                                                                                                                                                                                                                                                                                                                                                                                                                                                                                                                                                                                                                                                                                                                                                                                                                                                                                                           |                                                                                                                                                                                                                                                                                                                                                                                                                                                                                                                                                                                                                                                                                                                                                                                                                                                                                                                                                                                                                   | 1 2 2                                                                                                                                                                                                                                                                                                                                                                                                                                                                                                                                                                                                                                                                                                                                                                                                                                                                                                                                                                                                                                          |                                                                                                                                                                                                                                                                                                                                                                                                                                                                                                                                                                                                                                                                                                                                                                              |                                                                                                                                                                                                                                                                                                                                                                                                                                                                                                                                                                                                                                                                                                                                                                                                        |                                                                                                                                                                                                                                                                                                                                                                                                                                                                                                                                                                                         |                                                                                                                                                                                                                                                                                                                                                                                                                                                                                                |                                                                                                                                                                                                                                                                                                                                                                                                                                                                                                                              | - 1                                                                                                                                                                                                                                                                                                                                                                                                                                                                                                                                                                                                            |                                                                                                                                                                                                                                                                                                                                                                                                                                                                                                                                                                                                                                  |                              
                                                                                                                                                                                                                                                                                                                                                                                                                                                                                                                                                                                                                                                                                                                                                                                                                                                                                                                                                                                                                                                                                                                                                                                                                                                     |                                                                                                                                                                                                                                                                                                                                                                                                                                                                                                                                                                                                                                                                                                                                                                                                                                                                                                                                                                                                                                                                                                                                                                                                                                                                                                                                                                                                                                                                                                                                                                                                                                                                                                                                                                                                                                                                                                                                                                                                                                                                                                                                |                                                                                                                                                                                                                                                                                                                                                                                                                                                                                                                                                                                                                                                                                                                                                                                                                                                                                                                                                                                                                                                                                                                                                                                                                                                                                                                                                                                                                                                                                                                                                                                                                                                                                                                                                                                                                                                                                                                                                                                                                                                                                                                                |                                                                                                                                                                                                                                                                                                                                                                                                                                                                                                                                                                                                                                                                                                                                                                                                                                                                                                                                                                                                                                                                                                                                                                                                                                                                                                                                                                                                                                                                                                                                                                                                                                                                                                                                                                                           |                                                                                                                                                                                                                                                                                                                                                                                                                                                                                                                                                                                                                                                                                                                                                                                                                                                                                                                                                                                                                                                                                                                                                                                                                                                                                                                                                                                                                                                                                                                                                                                                                                                     | -                                                                                                                                                                                                                                                                                                                                                                                                                                                                                                                                                                                                                                                                                                                                                                                                                                                                                                                                                                                                                                                                                                                                                                                                                                                                                                                                                                                                                                   
                                                              | - 1 '                                                                                                                                                                                                                                                                                                                                                                                                                                                                                                                                                                                                                                                                                                                                                                                                                                                                                                                                                                                                                                                                                                                                                                                                                                                                                                                                                                                                                                                                                                                                                                                                                                                                                                                                                                                                                                                                                                                                                                                                                                                                                                                        |                                                                                                                                                                                                                                                                                                                                                                                                                                                                                                                                                                                                                                                                                                                                                                                                                                                                                                                                                                                                                                                                                                                                                                                                                                                                                                                                                                                                                                                                                                                                                                                                                                                                                                                                                                                                                                                                                                                                                                                                                                                                                                                              | -                                                                                                                                                                                                                                                                                                                                                                                                                                                                                                                                                                                                                                                                                                                                                                                                                                                                                                                                                                                                                                                                                                                                                                                                                                                                                                                                                                                                                                                                                                                                                                                                                                                                                                                                                                                                                                                                                                                                                                                                                                                                                                                              |                                                                                                                                                                                                                                                                                                                                                                                                                                                                                                                                                                                                                                                                                                                                                                                                                                                                                                                                                                                                                                                                                                                                                                                                                                                                                                                                                                                                                                                                                                                                                                                                                                                                                                                                                                                                                                                                                                                                                                                                                                                                                                                              |                                                                                                  |                                                                                                                                                                                                                                                                                                                                                                                                                                                                                                                                                                                                                                                                                                                                                                                                                                                                                                                                                                                                                                                                                                                                                                                                                                                                                                                                                                                                                                                                                                                                                                                                                                                                                                               
                                                                                                                                                                                                                                                                                                                                                                                                             |                                                                                                                                                                                                                                                                                                                                                                                                                                                                                                                                                                                                                                                                                                                                                                                                                                                                                                                                                                                                                                                                                                                                                                                                                                                                                                                                                                                                                                                                                                                                                                                                                                                                                                                                                                                                                                                                                                                                                                                                                                                                                                                              |                                                                                                                                                                                                                                                                                                                                                                                                                                                                                                                                                                                                                                                                                                                                                                                                                                                                                                                                                                                                                                                                                                                                                                                                                                                                                                                                                                                                                                                                                                                                                                                                                                                                                                                                                                                                                                                                                                                                                                                                                                                                                                                              |           |                                                                                                                                                                                                                                                                                                                                                                                                                                                                                                                                                                                                                                                                                                                                                                                                                                                                                                                                                                                                                                                                                                                                                                                                                                                                                                                                                                                                                                                                                                                                                                                                                                                                                                                                                                                                                                                                                                                                                                                                                                                                                                                              |                                                                                            |                                                                                                                                                                                                                                                                                                                                                                                                                                                                                                                                                                                                                                                                                                                                                                                                                                                                                                                                                                                                                                                                                                                                                                                                                                                                                                                                                                                                                                                                                                                                                                                                                                                                                                                                                                                                                                                                                                                                                                                                                                                                                                                             |                                                                                                       | -                                                                                                                                                                                                                                                                                                                                                                                                                                                                                                                                                                                                                                                                                                                                                                                                                                                                                                                                                                                                                                                                                                                                                                                                                                                   
                                                                                                                                                                                                                                                                                                                                                                                                                                                                                                                                                                                                                                                                                                                                                                                                                                                                        |            |                                                                                                                                                                                                                                                                                                                                                                                                                                                                                                                                                                                                                                                                                                                                                                                                                                                                                                                                                                                                                                                                                                                                                                                                                                                                                                                                                                                                                                                                                                                                                                                                                                                                                                                                                                                                                                                                                                                                                                                                                                                                                                                             |                                                                                                                                                                                                                                                                                                                                                                                                                                                                                                                                                                                                                                                                                                                                                                                                                                                                                                                                                                                                                                                                                                                                                                                                                                                                                                                                                                                                                                                                                                                                                                                                                                                                                                                                                                                                                                                                                                                                                                                                                                                                                                                              |                                                                                                                                                                                                                                                                                                                                                                                                                                                                                                                                                                                                                                                                                                                                                                                                                                                                                                                                                                                                                                                                                                                                                                                                                                                                                                                                                                                                                                                                                                                                                                                                                                                                                                                                                                                                                                                                                                                                                                                                                                                                                                                              |
| 623   27                                                                                                                                                                                                                                                                                                                                                                                                                                                                                                                                                                                                                                                                                                                                                                                                                                                                                                                                                                                                                                                                                                                                                                                                                                                                                                                                                                                                                                                                                                                                                                                                                                                                                                                                                                                                                                                                                                                                                                                                                                                                                                                     | 622   27   ANGEGRACIA FORCE   33500   LIBOURNE   CERTA DEPORTMENTATE PARTY   SUBJECT CHARGE STATE                                                                                                                                                                                                                                                                                                                                                                                                                                                                                                                                                                                                                                                                                                                                                                                                                                                                                                                                                                                                                                                                                                                                                                                                                                                                                                                                                                                                                                                                                                                                                                                                                                                                                                                                                                                                                                                                                                                                                                                                                            | 171   10   AN GENERIC CHANCEY   33500 LIBOURNE   ET P. FIRMESSENERT PUBLIC POPCRETO BYAND   GPE2                                                                                                                                                                                                                                                                                                                                                                                                                                                                                                                                                                                                                                                                                                                                                                                                                                                                                                                                                                                                                                                                                                                                                                                                                                                                                                                                                                                                                                                                                                                                                                                                                                                                                                                                                                                                                                                                                                                                                                                                                             | 17.7   10   AM CHICANOZY   33500   LIBOUNNE   ETP ADMOSTRANT ENGLY CONCERN EN HOUTS         | Part    | 177   27   127   MUSICAMAYE   35500   LIBOURNE   EUR. LORGENNE ESTATE   PUBLIC POWER RE POUT DEPT                                                                                                                                                                                                                                                                                                                                                                                                                                                                                                                                                                                                                                                                                                                                                                                                                                                                                                                                                                                                                                                                                                                                                                                                                                                                                                                                                                                                                                                                                                                                                                                                                                                                                                                                                                                                                                                                                                                                                                                                                            | 277   10   AV GORGES CENTRAL 33500   LIBOUNNE   ET PERMISSEMENT PUBLIC CONCINED RIOU   BUR1                                                                                                                                                                                                                                                                                                                                                                                                                                                                                                                                                                                                                                                                                                                                                                                                                                                                                                                                                                                                                                                                                                                                                                                                                                                                                                                                                                                                                                                                                                                                                                                                                                                                              
                                                                                                                                                                                                                                                                                                                                                   | 277   10                                                                                                                                                                                                                                                                                                                                                                                                                                                                                                                                                                                                                                                                                                                                                                                                                                                                                                                                                                                                                                                                                                                                                                                                                                                                                                                                                                                                                                                                                                                                                                                                                                                                                                                                                                                                                                                                                                                                                                                                                                                                                                                     | 277   10                                                                              | 277   10                                                                                                                                                                                                                                                                                                                                                                                                                                                                                                                                                                                                                                                                                                                                                                                                                                                                                                                                                                                                                                                                                                                                                                                                                                                                                                                                                                                                                                                                                                                                                                                                                                                                                                                                                                                                                                                                                                                                                                                                                                                                                                                     | 277   10   AV GEORGES CLEMENCEM 33500   LIBOURNE ET P ERRONDE LABATO PRICE PONCER DE NOU DEP2                                                                                                                                                                                                                                                                                                                                                                                                                                                                                                                                                                                                                                                                                                                                                                                                                                                                                                                                                                                                                                                                                                                                                                                                                                                                                                                                                                                                                                                                                                                                                                                                                                                                                                                                                                                                                                                                                                                                                                                                                                | 227   15   27   28   27   28   28   28   28   28                                                                                                                                                                                                                                                                                                                                                                                                                                                                                                                                                                                                                                                                                                                                                                                                                                                                                                                                                                                                                                                                                                                                                                                                                                                                                                                                                                                                                                                                                                                                                                                                                                                                                                                                                                                                                                                                                                                                                                                                                                                                            | Part                                                                                                                                                                                                                                                                                                                                                                                                                                                                                                                                                                                                                                                                                                                                                                                                                                                                                                                                                                                                                                                                                                                                                                                                                                                                                                                                                                                                                                   
                                                                                                                                                                                                                                                                                                                                                                                                                                                                                                                                                                                                                                                                                  | 177   10   AV GEDRIGS CLIMENCE   33500   LIBOURNE   EVEL DAR DETAITE WHILE FORMER ESTATE   BUR1   177   16   QUAN DEL ISLE   33500   LIBOURNE   EF PETABLISSEMENT PUBLIC FONCIER DE NOU   DEP2   137   16   QUAN DEL ISLE   33500   LIBOURNE   EF PETABLISSEMENT PUBLIC FONCIER DE NOU   DEP2   127   35   RULE ANDRE MEVOTT   33500   LIBOURNE   EF PETABLISSEMENT PUBLIC FONCIER DE NOU   DEP2   127   35   RULE ANDRE MEVOTT   33500   LIBOURNE   EF PETABLISSEMENT PUBLIC FONCIER DE NOU   DEP2   127   128   RULE FRANCOIS CONSTANT   33500   LIBOURNE   EF PETABLISSEMENT PUBLIC FONCIER DE NOU   DEP2   128   RULE FRANCOIS CONSTANT   AVEI   107   33500   LIBOURNE   EF PETABLISSEMENT PUBLIC FONCIER DE NOU   DEP2   129   RULE DEL AGLACHEN   33500   LIBOURNE   EF PETABLISSEMENT PUBLIC FONCIER DE NOU   DEP2   129   RULE DEL AGLACHEN   33500   LIBOURNE   EF PETABLISSEMENT PUBLIC FONCIER DE NOU   DEP2   129   RULE DEL AGLACHER   33500   LIBOURNE   DEPART DES ASSEMBLIT DE LA GRONDE   BUR1   1062   24   RULE DEL AGLACHER   33500   LIBOURNE   ASSOCIATION DE NEAMTS FRANCOIS CONSTANT   RETEI   1062   24   RULE DEL AGLACHER   33500   LIBOURNE   ASSOCIATION DE NEAMTS FRANCOIS CONSTANT   DEP2   1065   107   AV GALLIEN   33500   LIBOURNE   ASSOCIATION DE NEAMT DE PAUL DE NEAMT DE PAUL DE NEAMT | 177   10   AV GEORGES CLIMENCEM 33500   LIBOURNE   ETP FIRALISSEMENT PUBLIC FONCIER DE NOU   DEP2 | 1717   1.0   AV GEORGES CLEMENCE   33500   LIBOURNE   EUR LOADDE MAE ESTATE   BUR1     1717   1.6   QUAL DE LISLE   33500   LIBOURNE   ET P GIRONDE HABITAT D'HICLE C'ONCIER DE NOU   DEP2     1477   1.6   QUAL DE LISLE   33500   LIBOURNE   ET P FLABISSEMIEMT PUBLIC C'ONCIER DE NOU   DEP2     1277   1.5   QUAL DE LISLE   33500   LIBOURNE   ET P FLABISSEMIEMT PUBLIC CONCIER DE NOU   DEP2     1278   1.5   QUAL DE LISLE   33500   LIBOURNE   ET P FLABISSEMIEMT PUBLIC CONCIER DE NOU   DEP2     1279   1.5   RUE ANDRE NIEWOIT   33500   LIBOURNE   ET P FLABISSEMIEMT PUBLIC CONCIER DE NOU   DEP2     1270   1.5   RUE ANDRE NIEWOIT   33500   LIBOURNE   ET P FLABISSEMIEMT PUBLIC CONCIER DE NOU   MAGA1     1271   1.5   RUE ENDE NIEWOIT   33500   LIBOURNE   ET P AMAISON DE RHANTS FRANCOIS CONSTANT   RETE     1285   2.1   AV DU MARECHAL FOCH   33500   LIBOURNE   EAS SOCIATION DE FANT SERANCOIS CONSTANT   RETE     1296   1.0   AV GALLIEN   33500   LIBOURNE   ASSOCIATION GRONDINE DEDUCATION SPECIA   BUR1     1297   1.5   RUE DE TOUSSAINT   33500   LIBOURNE   ASSOCIATION GRONDINE DEDUCATION SPECIA   BUR2     1298   1.0   AV FANNCOIS   33500   LIBOURNE   ASSOCIATION GRONDINE DEDUCATION SPECIA   BUR2     1299   AV FANNCOIS   33500   LIBOURNE   ASSOCIATION GRONDINE DEDUCATION SPECIA   BUR2     1290   AV FANNCOIS   33500   LIBOURNE   ASSOCIATION GRONDINE DEDUCATION SPECIA   BUR2     1291   AV FANNCOIS   33500   LIBOURNE   ASSOCIATION DE LA ARROCAE GRONDE   BUR3     1292   AV FANNCOIS   33500   LIBOURNE   ASSOCIATION DE LA RARCOIS GRONDE   BUR3     1293   AVE MEM AND ARCHITECT   33500   LIBOURNE   ASS INSTITUT DON BOSCO   ENGLANCE   BUR3     1294   AVE MEM AND ARCHITECT   33500   LIBOURNE   ASS INSTITUT DON BOSCO   ENGLAN   BUR3     1295   AVE DE L'ARISTI BERNAND   33500   LIBOURNE   ASS FED DELVOE A GRONDE PAVEAUC   BUR3     1296   BUR3   RUE DIS CHAIS   33500   LIBOURNE   ASS FED DELVOE A GRONDE PAVEAUC   BUR3     1296   BUR3   RUE DIS CHAIS   33500   LIBOURNE   ASS DE LA RUE DES CHAIS   BUR3     1201   BUR3   SASON   LIBOURNE   AS | 17.7   1.0   2.7   RUE CHANCY   335.00   LIBOURNE   EURI, DARDENNIE ESTATE   BUR1 | 1717   16   1717   1717   1717   1717   1717   1717   1717   1717   1717   1717   1717   1717   1717   1717   1717   1717   1717   1717   1717   1717   1717   1717   1717   1717   1717   1717   1717   1717   1717   1717   1717   1717   1717   1717   1717   1717   1717   1717   1717   1717   1717   1717   1717   1717   1717   1717   1717   1717   1717   1717   1717   1717   1717   1717   1717   1717   1717   1717   1717   1717   1717   1717   1717   1717   1717   1717   1717   1717   1717   1717   1717   1717   1717   1717   1717   1717   1717   1717   1717   1717   1717   1717   1717   1717   1717   1717   1717   1717   1717   1717   1717   1717   1717   1717   1717   1717   1717   1717   1717   1717   1717   1717   1717   1717   1717   1717   1717   1717   1717   1717   1717   1717   1717   1717   1717   1717   1717   1717   1717   1717   1717   1717   1717   1717   1717   1717   1717   1717   1717   1717   1717   1717   1717   1717   1717   1717   1717   1717   1717   1717   1717   1717   1717   1717   1717   1717   1717   1717   1717   1717   1717   1717   1717   1717   1717   1717   1717   1717   1717   1717   1717   1717   1717   1717   1717   1717   1717   1717   1717   1717   1717   1717   1717   1717   1717   1717   1717   1717   1717   1717   1717   1717   1717   1717   1717   1717   1717   1717   1717   1717   1717   1717   1717   1717   1717   1717   1717   1717   1717   1717   1717   1717   1717   1717   1717   1717   1717   1717   1717   1717   1717   1717   1717   1717   1717   1717   1717   1717   1717   1717   1717   1717   1717   1717   1717   1717   1717   1717   1717   1717   1717   1717   1717   1717   1717   1717   1717   1717   1717   1717   1717   1717   1717   1717   1717   1717   1717   1717   1717   1717   1717   1717   1717   1717   1717   1717   1717   1717   1717   1717   1717   1717   1717   1717   1717   1717   1717   1717   1717   1717   1717   1717   1717   1717   1717   1717   1717   1717   1717   1717   1717   1717   1717   1717   1717   1717   1717   1717   1717   1717   17 | 623   27   RUE CHANZY   33500   LIBOURNE   EURL DARDENNE ESTATE   BUR1                                                                                                                                                                                                                                                                                                                                                                                                                                                                                                                                                                                                                                                                                                                                                                                                                                                                                                                                                                                                                                                                                                                                                                                                                                                                                                                                                                                                                                                                                                                                                                                                                                                                                                                                                                                                                                                                                                                                                                                                                                                       | 1623   27   RUE CHANZY   33500   LIBOURNE   EURL DARDE NIE ESTATE   BUR1                              | 623   27   RUB CHANZY   33500   LIBOURNE EURL DARDENNE ESTATE   BUR1                              | 1                                                                                             | BOURNE   EURL DARDENNE ESTATE   BUR1                                                                | 1                                                                                                                                                                                                                                                                                                                                                                                                                                                                                                                                                                                                                                                                                                                                                                                                                                                                                                                                                                                                                                                                                                                                                                                                                                                                                                                                                                                 
                                                                                                                                                                                                                                                                                                                                                                                                                                                                                                                                                                                                                                                                                                                                       | 1                                                                                         | BOURNE   EURL DARDENNE ESTATE   BUR1                                                                                                                                                                                                                                                                                                                                                                                                                                                                                                                                                                                                                                                                                                                                                                                                                                                                                                                                                                                                                                                                                                                                                                                                                                                                                                                                                                                                                                                                                                                                                                                                                                                                                                                                                                                                                                                                                                                                                                                                                                                                                       | S23   27   RUE CHANZY   33500 LIBOURNE   EURL DARDENNE ESTATE   BUR1                                                                                                                                                                                                                                                                                                                                                                                                                                                                                                                                                                                                                                                                                                                                                                                                                                                                                                                                                                                                                                                                                                                                                                                                                                                                                                                                                                                                                                                                                                                                                                                                                                                                                                                                                                                                                                                                                                                                                                                                                                                           | 623   27   RUE CHANZY   33500   LIBOURNE   EURL DARDENNE ESTATE   BUR1   717   10   AV GEORGES CLEMENCEA   33500   LIBOURNE   ET P GIRONDE HABITAT OFFICE PUBLIC DE L' BUR1   BUR1   147   16   QUAI DE LISLE   33500   LIBOURNE   ET P ETABLISSEMENT PUBLIC FONCIER DE NOU   DEP2   DEPA   DEP  | 1                                                                                                                                                                                                                                                                                                                                                                                                                                                                                                                                                                                                                                                                                                                                                                                                                                                                                                                                                                                                                                                                                                                                                                                                                                                                                                                                                                                                                                                                                                                                                                                                                                                                                                                                                                                                                                                                                                                                                                                                                                                                                                                            | RUE CHANZY   33500   LIBOURNE   EURL DARDENNE ESTATE   BUR1                                                                                                                                                                                                                                                                                                                                                                                                                                                                                                                                                                                                                                                                                                                                                                                                                                                                                                                                                                                                                                                                                                                                                                                                                                                                                                                                                                                                                                                                                                                                                                                                                                                                                                                                                                                                                                                                                                                                                                                                                                                                  | RUE CHANZY 33500 LIBOURNE ET P GIRONDE HABITAT OFFICE PUBLIC DE L' BUR1 10 717 10 AV GEORGES CLEMENCEA 33500 LIBOURNE ET P GIRONDE HABITAT OFFICE PUBLIC DE L' BUR1 147 16 QUAI DE LISLE 33500 LIBOURNE ET P ETABLISSEMENT PUBLIC FONCIER DE NOU DEP2 27 35 RUE ANDRE NHEVOIT 33500 LIBOURNE ET P ETABLISSEMENT PUBLIC FONCIER DE NOU MAG1 47 18 RUE FRANCOIS CONSTANT 33500 LIBOURNE EPA MAISON D ENFANTS FRANCOIS CONSTANT HOT3 27 35 RUE ANDRE NHEVOIT 33500 LIBOURNE EPA MAISON D ENFANTS FRANCOIS CONSTANT BUR1 49 20 RUE THIERS 33500 LIBOURNE EPA MAISON D ENFANTS FRANCOIS CONSTANT ATE1 49 20 RUE THIERS 33500 LIBOURNE EPA MAISON D ENFANTS FRANCOIS CONSTANT ATE1 BUR1 27 35 RUE ANDRE NHEVOIT 33500 LIBOURNE EPA MAISON D
ENFANTS FRANCOIS CONSTANT ATE1 BUR1 BUR1 ATE1 BUR1 ATE1 BUR1 ATE1 BUR1 ATE1 BUR1 ATE1 BUR1 ATE1 BUR1 BUR1 ATE1 BUR1 ATE1 BUR1 ATE1 BUR1 BUR1 ATE1 BUR1 ATE1 BUR1 BUR1 ATE1 BUR1 BUR1 ATE1 BUR1 BUR1 ATEIN BUR1 BUR1 ATEIN BUR1 ATE1 BUR1 BUR1 ATEIN BUR1 ATEIN BUR1 ATEIN BUR1 ATEIN BUR1 BUR1 ATEIN BUR1 ATEIN BUR1 ATEIN BUR1 BUR1 ATEIN BUR1 BUR1 ATEIN BUR1 ATEIN BUR1 ATEIN BUR1 ATEIN BUR1 BUR1 ATEIN BUR1 ATEIN BUR1 BUR1 BUR1 ATEIN BUR1 BUR1 BUR1 BUR1 BUR1 BUR1 BUR1 BUR1                                                                                | Harmonia    | HORST STATE NOT THE FORMANZY STATE SUNTAINE SURL DANDENNE ESTATE BUR1 TO THE FORMANZY STATE SURL DANDENNE ESTATE BUR1 TO THE FORMANZY STATE SURL DANDE HABITAT OFFICE PUBLIC DE L' BUR1 TO THE FORMANZY STATE STATE SURL DANDE HABITAT OFFICE PUBLIC DE L' BUR1 TO THE FORMANZY STATE STATE SURL DE NOU DEP2 TO THE FORMANZY STATE STATE SURL DE NOU DEP2 TO THE FORMANZY STATE STATE SURL DE NOU DEP2 TO THE FORMANZY STATE STATE SURL DE NOU DEP2 TO THE FORMANZY STATE STATE SURL DE NOU DEP2 TO THE FORMANZY STATE STATE STATE SURL DE NOU DEP2 TO THE FORMANZY STATE STATE SURL DE NOU DE NETANT STANCOIS CONSTANT SURL DE NOU DE NETANT STANCOIS CONSTANT SURL DE NOU DE NETANT STANCOIS CONSTANT STATE STANCOIS CONSTANT STANCOIS C | RUE CHANZY 10 RUE CHANZY 10 AV GEORGES CLEMENCEA 33500 LIBOURNE 117 10 AV GEORGES CLEMENCEA 33500 LIBOURNE 117 10 AV GEORGES CLEMENCEA 33500 LIBOURNE 118 QUAI DE LISLE 119 10 QUAI DE LISLE 120 35 RUE ANDRE NHEVOIT 121 12 RUE ANDRE NHEVOIT 122 35 RUE ANDRE NHEVOIT 123 35 RUE ANDRE NHEVOIT 125 AU 126 AV DU MARECHAL FOCH 135 RUE THIERS 13500 LIBOURNE 127 BAMAISON D ENFANTS FRANCOIS CONSTANT 128 RUE ANDRE NHEVOIT 13500 LIBOURNE 129 AMAISON D ENFANTS FRANCOIS CONSTANT 120 BAMAISON D ENFANTS FRANCOIS CONSTANT 121 BAU 122 BAMAISON D ENFANTS FRANCOIS CONSTANT 123 BUR1 124 BAMAISON D ENFANTS FRANCOIS CONSTANT 125 BUR1 126 BUR1 127 BAV 128 BUR1 129 BUR1 120 BUR1                                                                                                                                                                                                                                                                                                                                                                                                                                                                                                                                                                                                                                                                                                                                                                                                                                                                                                                                                                                                                                                                                                                                                                                                                                                                                                    | RUE CHANZY  33500  LIBOURNE  ET P GIRONDE HABITAT OFFICE PUBLIC DE L'  BUR1  147  16  QUAI DE LISLE  33500  LIBOURNE  ET P ETABLISSEMENT PUBLIC FONCIER DE NOU  MAG1  27  35  RUE ANDRE NHEVOIT  33500  LIBOURNE  ET P ETABLISSEMENT PUBLIC FONCIER DE NOU  LIBOURNE  ET P ETABLISSEMENT PUBLIC FONCIER DE NOU  MAG1  ET P ETABLISSEMENT PUBLIC FONCIER DE NOU  MAG1  MAG1  A0  A0  A0  A0  A0  BUE THIERS  RUE ANDRE NHEVOIT  A3500  LIBOURNE  EPA MAISON D ENFANTS FRANCOIS CONSTANT  BUR1  ATE1  RIB1                                                                                                                                                                                                                                                                                                                                                                                                                                                                                                                                                                                                                                                | 623 27 RUE CHANZY 33500 LIBOURNE EURL DARDENNE ESTATE BUR1 717 10 AV GEORGES CLEMENCEA 33500 LIBOURNE ET P GIRONDE HABITAT OFFICE PUBLIC DE L' BUR1 147 16 QUAI DE LISLE 33500 LIBOURNE ET P ETABLISSEMENT PUBLIC FONCIER DE NOU DEP2 147 16 QUAI DE LISLE 33500 LIBOURNE ET P ETABLISSEMENT PUBLIC FONCIER DE NOU MAG1 27 35 RUE ANDRE NHEVOIT 33500 LIBOURNE EPA MAISON D ENFANTS FRANCOIS CONSTANT BUR1 47 18 RUE FRANCOIS CONSTANT 33500 LIBOURNE EPA MAISON D ENFANTS FRANCOIS CONSTANT BUR1                                                                                                                                                                                                                                                                                                                                                                                                                                                                                                                 | HOUST RUE CHANZY 33500 LIBOURNE EURL DARDENNE ESTATE BUR1  717 10 AV GEORGES CLEMENCEAI 33500 LIBOURNE ET P GIRONDE HABITAT OFFICE PUBLIC DE L' BUR1  147 16 QUAI DE LISLE 33500 LIBOURNE ET P ETABLISSEMENT PUBLIC FONCIER DE NOU DEP2  147 15 QUAI DE LISLE 33500 LIBOURNE ET P ETABLISSEMENT PUBLIC FONCIER DE NOU MAG1  27 35 RUE ANDRE NHEVOIT 33500 LIBOURNE EPA MAISON D ENFANTS FRANCOIS CONSTANT HOT3                                                                                                                                                                                                                                                                                                                                                                                                                                                                                                                                                                                                                                 | 623 27 RUE CHANZY 33500 LIBOURNE EURL DARDENNE ESTATE 717 10 AV GEORGES CLEMENCEA 33500 LIBOURNE ET P GIRONDE HABITAT OFFICE PUBLIC DE L' BUR1 147 16 QUAI DE LISLE 33500 LIBOURNE ET P ETABLISSEMENT PUBLIC FONCIER DE NOU DEP2 148 CHARLES LISLE 33500 LIBOURNE ET DE TABLISSEMENT DIBLIC FONCIER DE NOU MAGGI                                                                                                                                                                                                                                                                                                                                                                                                                                                             | 623     27     RUE CHANZY     33500     LIBOURNE     EURL DARDENNE ESTATE     BUR1       717     10     AV GEORGES CLEMENCEA 33500     LIBOURNE     ET P GIRONDE HABITAT OFFICE PUBLIC DE L'     BUR1                                                                                                                                                                                                                                                                                                                                                                                                                                                                                                                                                                                                  | 623 27 RUE CHANZY 33500 LIBOURNE EURL DARDENNE ESTATE BUR1                                                                                                                                                                                                                                                                                                                                                                                                                                                                                                                              |                                                                                                                                                                                                                                                                                                                                                                                                                                                                                                | 156 14 PL JEAN MOULIN 33500 LIBOURNE FONDS DE DOTATION PEY BERLAND BUR1  1085 12 PL JEAN MOULIN 33500 LIBOURNE EURL SOCIETE GUYONNEAU ET COMPAGNIE MAG6  117 5 RUE MICHEL MONTAIGNE 33500 LIBOURNE EURL PIERRANOVA MAG1  842 29 ALL ROBERT BOULIN 33500 LIBOURNE EURL IMMOBILIERE LIBOURNAISE MAG1  842 29 ALL ROBERT BOULIN 33500 LIBOURNE EURL IMMOBILIERE LIBOURNAISE MAG4  933 6 PL JEAN MOULIN 33500 LIBOURNE EURL FR INVESTISSEMENT DEP2  374 88 RTE DE SAINT EMILION 33500 LIBOURNE EURL FR INVESTISSEMENT MAG1  MAG1 | 278 67 RUE DU DOCTEUR NARD 33500 LIBOURNE GCS CLINIQUE CHIRURGICALE DU LIBOURN DEP2  156 14 PL JEAN MOULIN 33500 LIBOURNE FONDS DE DOTATION PEY BERLAND BUR1  1085 12 PL JEAN MOULIN 33500 LIBOURNE EURL SOCIETE GUYONNEAU ET COMPAGNIE MAG6  117 5 RUE MICHEL MONTAIGNE 33500 LIBOURNE EURL PIERRANOVA  842 29 ALL ROBERT BOULIN 33500 LIBOURNE EURL IMMOBILIERE LIBOURNAISE MAG1  843 6 PL JEAN MOULIN 33500 LIBOURNE EURL IMMOBILIERE LIBOURNAISE MAG4  933 6 PL JEAN MOULIN 33500 LIBOURNE EURL FR INVESTISSEMENT DEP2  374 88 RTE DE SAINT EMILION 33500 LIBOURNE EURL FR INVESTISSEMENT DEP2  MAG1  MAG1 | 156 14 PL JEAN
MOULIN 33500 LIBOURNE GFA FRANCOIS JANOUEIX ET FILS DEP2  278 67 RUE DU DOCTEUR NARD 33500 LIBOURNE GCS GCS CLINIQUE CHIRURGICALE DU LIBOURN DEP2  156 14 PL JEAN MOULIN 33500 LIBOURNE FONDS DE DOTATION PEY BERLAND BUR1  1085 12 PL JEAN MOULIN 33500 LIBOURNE EURL SOCIETE GUYONNEAU ET COMPAGNIE MAG6  117 5 RUE MICHEL MONTAIGNE 33500 LIBOURNE EURL PIERRANOVA  842 29 ALL ROBERT BOULIN 33500 LIBOURNE EURL IMMOBILIERE LIBOURNAISE MAG1  843 6 PL JEAN MOULIN 33500 LIBOURNE EURL FR INVESTISSEMENT DEP2  374 88 RTE DE SAINT EMILION 33500 LIBOURNE EURL FR INVESTISSEMENT MAG1  MAG1  MAG1  MAG1  MAG1 | 430 7 B RUE MAX LINDER 33500 LIBOURNE INST CCIT BORDEAUX GIRONDE ENST 65 195 RTE DE SAINT EMILION 33500 LIBOURNE GFA GFA CHATEAU DU TAILHAS BUR1 7 611 19 RUE DU PRIOURAT 33500 LIBOURNE GFA FRANCOIS JANOUEIX ET FILS DEP2 7 7 611 19 RUE DU DOCTEUR NARD 33500 LIBOURNE GCS GCS CLINIQUE CHIRURGICALE DU LIBOURN DEP2 7 8 67 RUE DU DOCTEUR NARD 33500 LIBOURNE GCS GCS CLINIQUE CHIRURGICALE DU LIBOURN DEP2 7 1085 12 PL JEAN MOULIN 33500 LIBOURNE EURL SOCIETE GUYONNEAU ET COMPAGNIE MAG6 7 842 29 ALL ROBERT BOULIN 33500 LIBOURNE EURL IMMOBILIERE LIBOURNAISE MAG1 7 848 RTE DE SAINT EMILION 33500 LIBOURNE EURL FR INVESTISSEMENT DEP2 7 933 6 PL JEAN MOULIN 33500 LIBOURNE EURL FR INVESTISSEMENT DEP2 7 10 10 10 10 10 10 10 10 10 10 10 10 10                                                                                                                                                                                                                                                                                                                                                                                                                                                                                                                      | 431 7 B RUE MAX LINDER 33500 LIBOURNE INST CCIT BORDEAUX GIRONDE ENS1 430 7 B RUE MAX LINDER 33500 LIBOURNE INST CCIT BORDEAUX GIRONDE ENS1 65 195 RTE DE SAINT EMILION 33500 LIBOURNE GFA GHA CHATEAU DU TAILHAS BUR1 7 611 19 RUE DU PRIOURAT 33500 LIBOURNE GFA FRANCOIS JANOUEIX ET FILS DEP2 7 7 7 7 8 PLJEAN MOULIN 33500 LIBOURNE GCS GCS CLINIQUE CHIRURGICALE DU LIBOURN DEP2 7 8 12 PLJEAN MOULIN 33500 LIBOURNE FONDS DE DOTATION PEY BERLAND BUR1 7 8 12 PLJEAN MOULIN 33500 LIBOURNE EURL SOCIETE GUYONNEAU ET COMPAGNIE MAG6 7 8 14 PLJEAN MOULIN 33500 LIBOURNE EURL SOCIETE GUYONNEAU ET COMPAGNIE MAG6 7 8 17 8 PLJEAN MOULIN 33500 LIBOURNE EURL IMMOBILLERE LIBOURNAISE MAG1 8 8 18 PLJEAN MOULIN 33500 LIBOURNE EURL IMMOBILLERE LIBOURNAISE MAG4 8 8 PLJEAN MOULIN 33500 LIBOURNE EURL FYMARIE MAG1 8 933 6 PLJEAN MOULIN 33500 LIBOURNE EURL FYMARIE MAG1 8 MAG1                                                                                                                                                                                                                                                                                                                                                                                                                                                                                                                                                                                                                                                                                                                                                                                                                                                                                                                                                                                                                                                                                                                                              | 414 9002 RUE MAX LINDER 33500 LIBOURNE INST CCIT BORDEAUX GRONDE  431 7 B RUE MAX LINDER 33500 LIBOURNE INST CCIT BORDEAUX GRONDE  430 7 B RUE MAX LINDER 33500 LIBOURNE INST CCIT BORDEAUX GRONDE  430 7 B RUE MAX LINDER 33500 LIBOURNE INST CCIT BORDEAUX GRONDE  430 7 B RUE MAX LINDER 33500 LIBOURNE INST CCIT BORDEAUX GRONDE  430 7 B RUE MAX LINDER 33500 LIBOURNE GFA GFA CHATEAU DU TAILHAS  430 7 RUE DU PRIOURAT 33500 LIBOURNE GFA GFA CHATEAU DU TAILHAS  431 19 RUE DU DOCTEUR NARD 33500 LIBOURNE GCS GCS CLINIQUE CHIRURGICALE DU LIBOURN DEP2  432 12 PL JEAN MOULIN 33500 LIBOURNE FONDS DE DOTATION PEY BERLAND  434 2 29 ALL ROBERT BOULIN 33500 LIBOURNE EURL SOCIETE GUYONNEAU ET COMPAGNIE MAG1  435 PL JEAN MOULIN 33500 LIBOURNE EURL IMMOBILIERE LIBOURNAISE MAG1  436 PL JEAN MOULIN 33500 LIBOURNE EURL IMMOBILIERE LIBOURNAISE MAG1  4370 RUE MAX LINDER SAINT EMILION 33500 LIBOURNE EURL IMMOBILIERE LIBOURNAISE MAG1  448 PL JEAN MOULIN 33500 LIBOURNE EURL IMMOBILIERE LIBOURNAISE MAG1  449 PL JEAN MOULIN 33500 LIBOURNE EURL IMMOBILIERE LIBOURNAISE MAG1  440 PL JEAN MOULIN 33500 LIBOURNE EURL IMMOBILIERE LIBOURNAISE MAG1  441 PL JEAN MOULIN MAG1  442 PL JEAN MOULIN MAG1  442 PL JEAN MOULIN MAG1  443 PL JEAN MOULIN MAG1  444 PL JEAN MOULIN MAG1  445 PL JEAN MOULIN MAG1  446 PL JEAN MOULIN MAG1  446 PL JEAN MAG1  447 PL JEAN MOULIN MAG1  448 PL JEAN MAG1  449 PL JEAN MOULIN MAG1  449 PL JEAN MOULIN MAG1  440 PL JEAN MOULIN MAG1  440 PL JEAN MAG1  440 PL JEAN MAC1  441 PL JEAN MAX LINDER MAG1  441 PL JEAN MAC1  440 PL JEAN MAX LINDER MAG1  441 PL JEAN MAC1  441 PL JEAN MAX LINDER MAX LINDER MAG1  442 PL JEAN MAC1  442 PL JEAN MAX LINDER MAX LINDER MAG1  444 PL JEAN MAX LINDER MAX LINDER MAG1  445 PL JEAN MAC1  445 PL JEAN MAX LINDER MAX LINDER MAG1  445 PL JEAN MAX LINDER MAX LINDER MAG1  446 PL JEAN MAX LINDER MAX LINDER MAG1  447 PL JEAN MAX LINDER MAX LINDER MAX LINDER MAG1  445 PL JEAN MAX LINDER MAX LINDER MAX LINDER MAG1  446 PL JEAN MAX LINDER MA | 429 7 B RUE MAX LINDER 33500 LIBOURNE INSTITUT LIBOURNAIS DE FORMATION PAR APP ENS1  428 7 B RUE MAX LINDER 33500 LIBOURNE INST CCIT BORDEAUX GIRONDE ENS1  431 7 B RUE MAX LINDER 33500 LIBOURNE INST CCIT BORDEAUX GIRONDE BUR1  430 7 B RUE MAX LINDER 33500 LIBOURNE INST CCIT BORDEAUX GIRONDE ENS1  430 7 B RUE MAX LINDER 33500 LIBOURNE INST CCIT BORDEAUX GIRONDE ENS1  431 19 B RUE MAX LINDER 33500 LIBOURNE INST CCIT BORDEAUX GIRONDE ENS1  432 195 RTE DE SAINT EMILION 33500 LIBOURNE GFA GFA CHATEAU DU TAILHAS  434 195 RUE DU PRIOURAT 33500 LIBOURNE GFA FRANCOIS JANOUEIX ET FILS  435 12 PL JEAN MOULIN 33500 LIBOURNE GCS GCS CLINIQUE CHIRURGICALE DU LIBOURN DEP2  436 117 5 RUE MICHEL MONTAIGNE 33500 LIBOURNE EURL SOCIETE GUYONNEAU ET COMPAGNIE MAG1  437  AL ROBERT BOULIN 33500 LIBOURNE EURL SOCIETE GUYONNEAU ET COMPAGNIE MAG1  438 PL JEAN MOULIN 33500 LIBOURNE EURL IMMOBILIERE LIBOURNAISE MAG1  439 ALL ROBERT BOULIN 33500 LIBOURNE EURL IMMOBILIERE LIBOURNAISE MAG1  449 PL JEAN MOULIN 33500 LIBOURNE EURL IMMOBILIERE LIBOURNAISE MAG1  449 PL JEAN MOULIN 33500 LIBOURNE EURL FR INVESTISSEMENT DEP2  440 BRIT DE SAINT EMILION 33500 LIBOURNE EURL FR INVESTISSEMENT DEP2  450 PL JEAN MOULIN 33500 LIBOURNE EURL FR INVESTISSEMENT DEP2  451 DEP2  452 PL JEAN MOULIN 33500 LIBOURNE EURL FR INVESTISSEMENT DEP2  452 DEP2  453 BRIT DE SAINT EMILION 33500 LIBOURNE EURL FR INVESTISSEMENT DEP2  454 DEP2  455 PL JEAN MOULIN JASSON LIBOURNE EURL FR INVESTISSEMENT DEP2  455 PL JEAN MOULIN JASSON LIBOURNE EURL FR INVESTISSEMENT DEP2  456 PL JEAN MOULIN JASSON LIBOURNE EURL FR INVESTISSEMENT DEP2  457 PL JEAN MOULIN JASSON LIBOURNE EURL FR INVESTISSEMENT DEP2  457 PL JEAN MOULIN JASSON LIBOURNE EURL FR INVESTISSEMENT DEP2 | 336   26                                                                                                                                                                                                                                                                                                                                                                                                                                                                                                                                                                                                                                                                                                                                                                                                                                                                                                                                                                                                                                                                                                                                                                                                                                                                                                                                                                                                                                                                                                                                                                                                                                            | 248   78                                                                                                                                                                                                                                                                                                                                                                                                                                                                                                                                                                                                                                                                                                                                                                                                                                                                                                                                                
                                                                                                                                                                                                                                                                                                                                                                                                                                                                                                                                          | B45   60   RUE DES CHAIS   33500   LIBOURNE   SCI DU 56 RUE DES CHAIS PAR MR LACROIX G   MAG1                                                                                                                                                                                                                                                                                                                                                                                                                                                                                                                                                                                                                                                                                                                                                                                                                                                                                                                                                                                                                                                                                                                                                                                                                                                                                                                                                                                                                                                                                                                                                                                                                                                                                                                                                                                                                                                                                                                                                                                                                                | 844   60                                                                                                                                                                                                                                                                                                                                                                                                                                                                                                                                                                                                                                                                                                                                                                                                                                                                                                                                                                                                                                                                                                                                                                                                                                                                                                                                                                                                                                                                                                                                                                                                                                                                                                                                                                                                                                                                                                                                                                                                                                                                                                                     | RUE GAMBETTA  33500  BA44  58  RUE DES CHAIS  33500  BA44  58  RUE DES CHAIS  33500  BA44  58  BA44  58  BA44  58  BA44  58  BA45  60  RUE DES CHAIS  33500  BA45  50  BA45  60  RUE DES CHAIS  33500  LIBOURNE  5CI DU 56 RUE DES CHAIS PAR MR LACROIX G  AGAL  BA45  AGAL  BAGAL  BA | 1322   86   CRS TOURNY   33500   LIBOURNE   SCI DU 86 COURS TOURNY   BUR1                                                                                                                                                                                                                                                                                                                                                                                                                                                                                                                                                                                                                                                                                                                                                                                                                                                                                                                                                                                                                                                                                                                                                                                                                                                                                                                                                                                                                                                                                                                                                                                                                                                                                                                                                                                                                                                                                                                                                                                                                                                    | 172   9030   RUE DE MARCE DE MARCE DES CHAIS   33500   LIBOURNE   SCI DU GEMIN DE BARREAU   MAGI | 17                                                                                                                                                                                                                                                                                                                                                                                                                                                                                                                                                                                                                                                                                                                                                                                                                                                                                                                                                                                                                                                                                                                                                                                                                                                                                                                                                                                                                                                                                                                                                                                                                                                                                                                                                                                                                                                                                                                                                                                                                                                                                                                          | B44   105   AVGEORGESPOMPIDOU 33500   LIBOURNE   SCI DYS                                                                                                                                                                                                                                                                                                                                                                                                                                                                                                                                                                                                                                                                                                                                                                                                                                                                                    
                                                                                                                                                                                                                                                                                                                                                                                                                                                                                                                                                                                                                                                                                                                                                                                                                                                                                                                                                                                                                                                                                                                                                                                | S50   159   Q                                                                                                                                                                                                                                                                                                                                                                                                                                                                                                                                                                                                                                                                                                                                                                                                                                                                                                                                                                                                                                                                                                                                                                                                                                                                                                                                                                                                                                                                                                                                                                                                                                                                                                                                                                                                                                                                                                                                                                                                                                                                                                                | Self   28 | Decoration   Science   S |                                                                                            | 2021   ROU   13.3   17   CRUE DUCCONEL PICOT   35500   IBOUNNE   SCHARAMANE   MARCE   MARCE | 2021   RE   488   33   31   RIVE BELLON   33500   LIBOURNE   SU HELTER HALAY &   DIRT                 | 2021   191   191   191   191   191   191   191   191   191   191   191   191   191   191   191   191   191   191   191   191   191   191   191   191   191   191   191   191   191   191   191   191   191   191   191   191   191   191   191   191   191   191   191   191   191   191   191   191   191   191   191   191   191   191   191   191   191   191   191   191   191   191   191   191   191   191   191   191   191   191   191   191   191   191   191   191   191   191   191   191   191   191   191   191   191   191   191   191   191   191   191   191   191   191   191   191   191   191   191   191   191   191   191   191   191   191   191   191   191   191   191   191   191   191   191   191   191   191   191   191   191   191   191   191   191   191   191   191   191   191   191   191   191   191   191   191   191   191   191   191   191   191   191   191   191   191   191   191   191   191   191   191   191   191   191   191   191   191   191   191   191   191   191   191   191   191   191   191   191   191   191   191   191   191   191   191   191   191   191   191   191   191   191   191   191   191   191   191   191   191   191   191   191   191   191   191   191   191   191   191   191   191   191   191   191   191   191   191   191   191   191   191   191   191   191   191   191   191   191   191   191   191   191   191   191   191   191   191   191   191   191   191   191   191   191   191   191   191   191   191   191   191   191   191   191   191   191   191   191   191   191   191   191   191   191   191   191   191   191   191   191   191   191   191   191   191   191   191   191   191   191   191   191   191   191   191   191   191   191   191   191   191   191   191   191   191   191   191   191   191   191   191   191   191   191   191   191   191   191   191   191   191   191   191   191   191   191   191   191   191   191   191   191   191   191   191   191   191   191   191   191   191   191   191   191   191   191   191   191   191   191   191   191   191   191   191   191   191   191   191 | 20212   CO | 2021   CA   19   199   199   AVEE MERGIN   33500   LIBOJURIE   SCILICE PLA PORSEAT   MACHINE                                                                                                                                                                                                                                                                                                                                                                                                                                                                                                                                                                                                                                                                                                                                                                                                                                                                                                                                                                                                                                                                                                                                                                                                                                                                                                                                                                                                                                                                                                                                                                                                                                                                                                                                                                                                                                                                                                                                                                                                                                | 2021   FIT   96   73   AND DESERRAD LES CAULUS   SOLUTION   SOLU | DOZIS   BP   158   23   AP DI GENERAL DE CALVI 33500   LIBOURNE   SCI LAMARY VALERE   MACZ 2021   ET   56   73   AP DI GENERAL DE CALVI 33500   LIBOURNE   SCI LAMAROCHE   MIRT 2021   CALVI 57   ST   ST   AP DI GENERAL DE CALVI 33500   LIBOURNE   SCI LAMAROCHE   MIRT 2021   CALVI 57   ST   ST   ST   ST   ST   ST   ST   S                                                                                                                                                                                                                                                                                                                                                                                                                                                                                                                                                                                                                                                                                                                                                                                                                                                                                                                                                                                                                                                                                                                                                                                                                                                                                                                                                                                                                                                                                                                                                                                                                                                                                                                                                                                            |
| STATE   STAT | 2022   27   28   28   28   28   28   28                                                                                                                                                                                                                                                                                                                                                                                                                                                                                                                                                                                                                                                                                                                                                                                                                                                                                                                                                                                                                                                                                                                                                                                                                                                                                                                                                                                                                                                                                                                                                                                                                                                                                                                                                                                                                                                                                                                                                                                                                                                                                      | 1972   27   RECENTION   2000   2000   2000   2000   2000   2000   2000   2000   2000   2000   2000   2000   2000   2000   2000   2000   2000   2000   2000   2000   2000   2000   2000   2000   2000   2000   2000   2000   2000   2000   2000   2000   2000   2000   2000   2000   2000   2000   2000   2000   2000   2000   2000   2000   2000   2000   2000   2000   2000   2000   2000   2000   2000   2000   2000   2000   2000   2000   2000   2000   2000   2000   2000   2000   2000   2000   2000   2000   2000   2000   2000   2000   2000   2000   2000   2000   2000   2000   2000   2000   2000   2000   2000   2000   2000   2000   2000   2000   2000   2000   2000   2000   2000   2000   2000   2000   2000   2000   2000   2000   2000   2000   2000   2000   2000   2000   2000   2000   2000   2000   2000   2000   2000   2000   2000   2000   2000   2000   2000   2000   2000   2000   2000   2000   2000   2000   2000   2000   2000   2000   2000   2000   2000   2000   2000   2000   2000   2000   2000   2000   2000   2000   2000   2000   2000   2000   2000   2000   2000   2000   2000   2000   2000   2000   2000   2000   2000   2000   2000   2000   2000   2000   2000   2000   2000   2000   2000   2000   2000   2000   2000   2000   2000   2000   2000   2000   2000   2000   2000   2000   2000   2000   2000   2000   2000   2000   2000   2000   2000   2000   2000   2000   2000   2000   2000   2000   2000   2000   2000   2000   2000   2000   2000   2000   2000   2000   2000   2000   2000   2000   2000   2000   2000   2000   2000   2000   2000   2000   2000   2000   2000   2000   2000   2000   2000   2000   2000   2000   2000   2000   2000   2000   2000   2000   2000   2000   2000   2000   2000   2000   2000   2000   2000   2000   2000   2000   2000   2000   2000   2000   2000   2000   2000   2000   2000   2000   2000   2000   2000   2000   2000   2000   2000   2000   2000   2000   2000   2000   2000   2000   2000   2000   2000   2000   2000   2000   2000   2000   2000   2000   2000   2000   2000   2000   2000   2000   2000   2000   2000 | 20                                                                                          | 23   27   RECENTANCY   23500   INDUMNE   EARLY CONTROL   CONTROL | STATE   STAT | 23   27   RUE CAMDENOSE   33500   LIBOURNE   CIP E RELIZIONE   C | 23   27   28   28   28   28   28   28   28                                                                                                                                                                                                                                                                                                                                                                                                                                                                                                                                                                                                                                                                                                                                                                                                                                                                                                                                                                                                                                                                                                                                                                                                                                                                                                                                                                                                                                                                                                                                                                                                                                                                                                                                                                                                                                                                                                                                                                                                                                                                                   | 22   27   RUE CHARDINOSE   33500   LIBOURNE   ELIRA DARGEME ESTATE   DEPT             | 23   27   RUE CHARTY   233500   LIBOURNE   ET P. CHARLES CATE   SUR DE P. CLUZU                                                                                                                                                                                                                                                                                                                                                                                                                                                                                                                                                                                                                                                                                                                                                                                                                                                                                                                                                                                                                                                                                                                                                                                                                                                                                                                                                                                                                                                                                                                                                                                                                                                                                                                                                                                                                                                                                                                                                                                                                                              | 23   27   28 DE GANDEROSE   33500   180 DIRNE   FILIA DE PRILIZAC   16                                                                                                                                                                                                                                                                                                                                                                                                                                                                                                                                                                                                                                                                                                                                                                                                                                                                                                                                                                                                                                                                                                                                                                                                                                                                                                                                                                                                                                                 
                                                                                                                                                                                                                                                                                                                                                                                                                                                                                                                                                                                                     | DETAILED   DETAILED | 22   27   28 DE CANDEROSE   23500   LIBOUINNE   EURL DEFELUZAC   DEF2                                                                                                                                                                                                                                                                                                                                                                                                                                                                                                                                                                                                                                                                                                                                                                                                                                                                                                                                                                                                                                                                                                                                                                                                                                                                                                                                                                                                                                                                                                                                                                                                                                                                                                                                                                                                                                                                                                                                                                                                                                                     | 22   BODE GARDENOSE   33500   LIBOURNE   EURIL DEPELUZAC                                                                                                                                                                                                                                                                                                                                                                                                                                                                                                                                                                                                                                                                                                                                                                                                                                                                                                                                                                                                                                                                                                                                                                                                                                                                                                                                                                                                                                                                                                                                                                                                                                                                                                                                                                                                                                                                                                                                                                                                                                                                     | BODIC GARDIEROSE   33500                                                                          | BODE GARDEROSE   33500                                                                                                                                                                                                                                                                                                                                                                                                                                                                                                                                                                                                                                                                                                                                                                                                                                                                                                                                                                                                                                                                                                                                                                                                                                                                                                                                                                                                                                                                                                                                                                                                                                                                                                                                                                                                                                                                                                                                                                                                                                                                                                       | Dec   Dec   Garderose   33500   Libourne   Euric Darderose   Dep2                 | DEC GANDEROSE   33500   LIBOURNE   EURL DE PELUZAC                                                                                                                                                                                                                                                                                                                                                                                                                                                                                                                                                                                                                                                                                                                                                                                                                                                                                                                                                                                                                                                                                                                                                                                                                                                                                                                                                                                                                                                                                                                                                                                                                                                                                                                                                                                                                                                                                                                                                                                                                                                                           | DEC GAMDEROSE   33500   LIBOURNE   EURL DE PELUZAC                                                                                                                                                                                                                                                                                                                                                                                                                                                                                                                                                                                                                                                                                                                                                                                                                                                                                                                                                                                                               
                                                                                                                                                                                                                                                                                                                                                                                                                                                                                                                                                                                                                                                                                                                                                                                                                                                                                                                                                                                                                                                           | DEC.   DEC.   DEC.   SARREROSE   33500   LIBOURNE   EURL DE PELUZAC   DEP2                            | DECIDIONE   STATE                                                                                 | 92   80 DE GARDEROSE   33500   LIBOURNE   EURL DE PELUZAC.   DEP2                             | DECEMBRICASE   33500   LIBOURNE   EURL DE PELUZAC   DEPZ                                            | 92   BD DE GARDEROSE   33500   LIBOURNE   EURL DE PELUZAC                                                                                                                                                                                                                                                                                                                                                                                                                                                                                                                                                                                                                                                                                                                                                                                                                                                                                                                                                                                                                                                                                                                                                                                                                                                                                                                                                                                                                                                                                                                                                                                                                                                                                                                                                                                                                                                                                                                                                                                                                                                                 | 92   BD DE GARDEROSE   33500   LIBOURNE   EURL DE PELUZAC                                 | SECONSTANT   STATE   STATE | BD DE GARDEROSE  92  BD DE GARDEROSE  92  BD DE GARDEROSE  93500  LIBOURNE  EURL DARDENNE ESTATE  977  10  AV GEORGES CLEMENCEAI 33500  LIBOURNE  ET P GIRONDE HABITAT OFFICE PUBLIC DE L'  BUR1  147  16  QUAI DE LISLE  33500  LIBOURNE  ET P ETABLISSEMENT PUBLIC FONCIER DE NOU  MAG1  147  18  RUE ANDRE NHEVOIT  33500  LIBOURNE  ET P ETABLISSEMENT PUBLIC FONCIER DE NOU  MAG1  47  18  RUE ANDRE NHEVOIT  33500  LIBOURNE  EPA MAISON D ENFANTS FRANCOIS CONSTANT  HOT3  49  20  RUE THIERS  33500  LIBOURNE  EPA MAISON D ENFANTS FRANCOIS CONSTANT  AV DU MARECHAL FOCH  33500  LIBOURNE  EPA MAISON D ENFANTS FRANCOIS CONSTANT  AV DU MARECHAL FOCH  33500  LIBOURNE  EPA MAISON D ENFANTS FRANCOIS CONSTANT  AVEL THIERS  33500  LIBOURNE  EPA MAISON D ENFANTS FRANCOIS CONSTANT  AVEL THIERS  33500  LIBOURNE  EPA MAISON D ENFANTS FRANCOIS CONSTANT  ATE1  BUR1  ASS OCIATION DEPART DES ASS FAMILIALES  BUR1  793  17  PL RENE BEAUCHAMP  33500  LIBOURNE  ASSOCIATION PEY BERLAND  DEP2  10645  107  AV GALLIENI  33500  LIBOURNE  ASSOCIATION OF EY BERLAND  DEP2  AV DU GENERAL DE GAULI  33500  LIBOURNE  ASSOCIATION DE DEDUCATION SPECIA  BUR2  AV FILLE GRANGE  33500  LIBOURNE  ASSOCIATION DE LA RUE DES CHAIS  BUR1  AV FILLE GRANGE  33500  LIBOURNE  ASSOCIATION DE LA RUE DES CHAIS  BUR1  AV FILLE GRANGE  33500  LIBOURNE  ASSOCIATION DE LA RUE DES CHAIS  BUR1  AV FILLE GRANGE  33500  LIBOURNE  ASSOCIATION DE LA RUE DES CHAIS  BUR1  AV FILLE GRANGE  33500  LIBOURNE  ASSOCIATION DE LA RUE DES CHAIS  BUR1  AV FILLE GRANGE  33500  LIBOURNE  ASSOCIATION DE LA RUE DES CHAIS  BUR1  AV FILLE GRANGE  33500  LIBOURNE  BUR1  ASSOCIATION DE LA RUE DES CHAIS  BUR1  AV FILLE GRANGE  BUR1  AV FILLE GRANGE  33500  LIBOURNE  ASSOCIATION DE LA RUE DES CHAIS  BUR1  BUR1  ASSOCIATION DE LA RUE DES CHAIS  BUR1  BUR1  ASSOCIATION DE LA RUE DES CHAIS  BUR1  BUR1 | BD DE GARDEROSE 33500 LIBOURNE EURL DE PELUZAC  123 27 RUE CHANZY 33500 LIBOURNE EURL DARDENNE ESTATE  147 10 AV GEORGES CLEMENCEA 33500 LIBOURNE ET P GIRONDE HABITAT OFFICE PUBLIC DE L'  147 16 QUAI DE LISLE 33500 LIBOURNE ET P ETABLISSEMENT PUBLIC FONCIER DE NOU DEP2  147 18 RUE ANDRE NHEVOIT 33500 LIBOURNE ET P ETABLISSEMENT PUBLIC FONCIER DE NOU MAG1  27 35 RUE ANDRE NHEVOIT 33500 LIBOURNE EPA MAISON D ENFANTS FRANCOIS CONSTANT HOT3  49 20 RUE THIERS 33500 LIBOURNE EPA MAISON D ENFANTS FRANCOIS CONSTANT ATE1  2856 21 AV DU MARECHAL FOCH 33500 LIBOURNE EPA MAISON D ENFANTS FRANCOIS CONSTANT DE LA GIRONDE  211 8 RUE EN DE TOUSSAINT 33500 LIBOURNE EPA MAISON D ENFANTS FRANCOIS CONSTANT DE PA GIRONDE  211 8 RUE EN DE TOUSSAINT 33500 LIBOURNE ASS UNION DEPART DE LA GIRONDE BUR1  211 8 RUE EN DE TOUSSAINT 33500 LIBOURNE ASS UNION DEPART DE SASS FAMILIALES BUR1  211 8 RUE EN DE TOUSSAINT 33500 LIBOURNE ASS OCIATION PEP BERLAUD SPECIA BUR2  212 AV GALLIENI 33500 LIBOURNE ASSOCIATION GIRONDINE D EDUCATION SPECIA BUR2  213 AV GALLIENI 33500 LIBOURNE ASSOCIATION DE DEUCATION SPECIA BUR2  225 9 AV DU GENERAL DE GAUL 33500 LIBOURNE ASSOCIATION DE LA RUE DE LA GIRONDE BUR1  226 BUR1  227 BUR2  228 BUR1  229 BUR1  2300 LIBOURNE ASSOCIATION DE LA RUE DE LA GIRONDE BUR1  240 BUR1  251 BUR1  252 BUR1  253 BUR1  254 RUE DE LA GIACIERE  255 BUR1  256 BUR1  257 BUR2  258 BUR1  258 BUR1  259 BADURRE  250 BUR1  | 92 BD DE GARDEROSE 33500 LIBOURNE EURL DE PELUZAC 623 27 RUE CHANZY 33500 LIBOURNE EURL DARDENNE ESTATE 717 10 AV GEORGES CLEMENCEA 33500 LIBOURNE ET P GIRONDE HABITAT OFFICE PUBLIC DE L' BUR1 147 16 QUAI DE LISLE 33500 LIBOURNE ET P ETABLISSEMENT PUBLIC FONCIER DE NOU DEP2 27 35 RUE ANDRE NHEVOIT 33500 LIBOURNE ET P ETABLISSEMENT PUBLIC FONCIER DE NOU MAG1 27 35 RUE FRANCOIS CONSTANT 33500 LIBOURNE EPA MAISON D ENFANTS FRANCOIS CONSTANT HOT3 27 35 RUE ANDRE NHEVOIT 33500 LIBOURNE EPA MAISON D ENFANTS FRANCOIS CONSTANT BUR1 28 20 RUE THIERS 33500 LIBOURNE EPA MAISON D ENFANTS FRANCOIS CONSTANT ATE1 29 20 RUE THIERS 33500 LIBOURNE EPA MAISON D ENFANTS FRANCOIS CONSTANT DE LA GIRONDE BUR1 211 8 RUE DE TOUSSAINT 33500 LIBOURNE DEPART DES ASS FAMILIALES BUR1 2793 17 PL RENE BEAUCHAMP 33500 LIBOURNE ASS SOCIETE SAINT VINCENT DE PAUL DEP2 28 107 AV GALLIENI 33500 LIBOURNE ASSOCIATION PEY BERLAND SEPECIA BUR2 29 RUE DE LA GLACIERE 33500 LIBOURNE ASSOCIATION GIRONDINE D EDUCATION SPECIA BUR2 35 107 AV GALLIENI 33500 LIBOURNE ASSOCIATION GIRONDINE D EDUCATION SPECIA BUR2 35 107 AV GALLIENI 33500 LIBOURNE ASSOCIATION DE DEPART DE LA GLACIER BUR2 35 107 AV GALLIENI 33500 LIBOURNE ASSOCIATION DEPARTEMENT DE AUGUS DEPART DE LA GLACIER BUR2 35 107 AV GALLIENI 33500 LIBOURNE ASSOCIATION DEPARTEMENT DE BAUL GENCALION SPECIA BUR2 35 107 AV GALLIENI 33500 LIBOURNE ASSOCIATION DEPARTEMENTALE APAH DE LA GLACIER BUR1 35 108 CUE PARTEMENTALE APAH DE LA GLACIER BUR1 35 108 CUE PARTEMENTALE APAH DE LA GLACIER BUR1 35 108 CUE PARTEMENTALE APAH DE LA GLACIER ENS1                                                                                                                                                                                                                                                                                                                                                                                                                                                                                                  | 92 BD DE GARDEROSE 33500 LIBOURNE EURL DE PELUZAC 623 27 RUE CHANZY 33500 LIBOURNE EURL DARDENNE ESTATE 9717 10 AV GEORGES CLEMENCEA 33500 LIBOURNE ET P GIRONDE HABITAT OFFICE PUBLIC DE L' BUR1 147 16 QUAI DE LISLE 33500 LIBOURNE ET P ETABLISSEMENT PUBLIC FONCIER DE NOU DEP2 147 16 QUAI DE LISLE 33500 LIBOURNE ET P ETABLISSEMENT PUBLIC FONCIER DE NOU MAG1 147 18 RUE ANDRE NHEVOIT 33500 LIBOURNE EPA MAISON D ENFANTS FRANCOIS CONSTANT HOT3 147 18 RUE ANDRE NHEVOIT 33500 LIBOURNE EPA MAISON D ENFANTS FRANCOIS CONSTANT BUR1 149 20 RUE THIERS 33500 LIBOURNE EPA MAISON D ENFANTS FRANCOIS CONSTANT ATE1 150 21 AV DU MARECHAL FOCH 33500 LIBOURNE EPA MAISON D ENFANTS FRANCOIS CONSTANT BUR1 1793 17 PL RENE BEAUCHAMP 33500 LIBOURNE ASS SOCIETE SAINT VINCENT DE PAUL 1793 17 AV GALLIENI 33500 LIBOURNE ASSOCIATION GIRONDINE D EDUCATION SPECIA BUR2 1794 180 AV GALLIENI 33500 LIBOURNE ASSOCIATION GIRONDINE D EDUCATION SPECIA BUR2 1794 1975 1976 AV GALLIENI 33500 LIBOURNE ASSOCIATION GIRONDINE D EDUCATION SPECIA BUR2 1794 1976 1976 AV GALLIENI 33500 LIBOURNE ASSOCIATION GIRONDINE D EDUCATION SPECIA BUR2     
                                                                                                                                                                                                                                                                                                                                                                                                                                                                                                                                                                                                                                                                                                                                                                                                                                                                                                                                                                         | 92 BD DE GARDEROSE 33500 LIBOURNE EURL DE PELUZAC  623 27 RUE CHANZY 33500 LIBOURNE EURL DARDENNE ESTATE  717 10 AV GEORGES CLEMENCEA 33500 LIBOURNE ET P GIRONDE HABITAT OFFICE PUBLIC DE L' BUR1  147 16 QUAI DE LISLE 33500 LIBOURNE ET P ETABLISSEMENT PUBLIC FONCIER DE NOU DEP2  27 35 RUE ANDRE NHEVOIT 33500 LIBOURNE EPA MAISON D ENFANTS FRANCOIS CONSTANT HOT3  47 18 RUE FRANCOIS CONSTANT 33500 LIBOURNE EPA MAISON D ENFANTS FRANCOIS CONSTANT HOT3  49 20 RUE THIERS 33500 LIBOURNE EPA MAISON D ENFANTS FRANCOIS CONSTANT ATE1  856 21 AV DU MARECHAI FOCH 33500 LIBOURNE DEPARTEMENT DE LA GIRONDE BUR1  793 17 AV GALLENI 33500 LIBOURNE ASSOCIATION DEPART DES ASS FAMILIALES BUR1  8645 107 AV GALLENI 33500 LIBOURNE ASSOCIATION GIRONDINE D EDUCATION SPECIA BUR2  180 BD DE GARDEROSE SISSON LIBOURNE ASSOCIATION SPECIA BUR2  180 BUR1  180 BUR1  180 BUR1  180 BUR1  180 BUR1  181 BUR1  181 BUR1  181 BUR1  180  | 92 BD DE GARDEROSE 33500 LIBOURNE EURL DE PELUZAC  623 27 RUE CHANZY 33500 LIBOURNE EURL DARDENNE ESTATE  717 10 AV GEORGES CLEMENCEA 33500 LIBOURNE ET P GIRONDE HABITAT OFFICE PUBLIC DE L' BUR1  147 16 QUAI DE LISLE 33500 LIBOURNE ET P ETABLISSEMENT PUBLIC FONCIER DE NOU  27 35 RUE ANDRE NHEVOIT 33500 LIBOURNE ET P ETABLISSEMENT PUBLIC FONCIER DE NOU  47 18 RUE FRANCOIS CONSTANT 33500 LIBOURNE EPA MAISON D ENFANTS FRANCOIS CONSTANT HOT3  27 35 RUE ANDRE NHEVOIT 33500 LIBOURNE EPA MAISON D ENFANTS FRANCOIS CONSTANT BUR1  49 20 RUE THIERS 33500 LIBOURNE EPA MAISON D ENFANTS FRANCOIS CONSTANT ATE1  856 21 AV DU MARECHAL FOCH 33500 LIBOURNE DEPT DEPARTEMENT DE LA GIRONDE BUR1  793 17 PL RENE BEAUCHAMP 33500 LIBOURNE ASS SOCIETE SAINT VINCENT DE PAUL  867 PETABLISSEMENT DE NOU  868 PETABLISSEMENT DUBLIC FONCIER DE NOU  869 DEPT DEPARTEMENT DE LA GIRONDE BUR1  869 BUR1  860 BUR1 | 92 BD DE GARDEROSE 33500 LIBOURNE EURL DE PELUZAC 623 27 RUE CHANZY 33500 LIBOURNE EURL DARDENNE ESTATE 717 10 AV GEORGES CLEMENCEA 33500 LIBOURNE ET P GIRONDE HABITAT OFFICE PUBLIC DE L' 91 147 16 QUAI DE LISLE 33500 LIBOURNE ET P ETABLISSEMENT PUBLIC FONCIER DE NOU MAG1 92 147 16 QUAI DE LISLE 33500 LIBOURNE ET P ETABLISSEMENT PUBLIC FONCIER DE NOU MAG1 93 15 RUE ANDRE NHEVOIT 33500 LIBOURNE ET P ETABLISSEMENT PUBLIC FONCIER DE NOU MAG1 94 18 RUE FRANCOIS CONSTANT 33500 LIBOURNE EPA MAISON D ENFANTS FRANCOIS CONSTANT BUR1 95 20 RUE THIERS 33500 LIBOURNE EPA MAISON D ENFANTS FRANCOIS CONSTANT BUR1 96 21 AV DU MARECHAL FOCH 33500 LIBOURNE DEPARTEMENT DE LA GIRONDE BUR1 97 210 BUR1 BUR1 98 211 BUR1 BUR1 98 211 BUR1 BUR1 BUR1 98 211 BUR1 BUR1 98 211 BUR1 BURNE BUR1 98 211 BUR1 BUR1                                                                                                                                                                                                                                                                                                                                                                                                                                                                                                                                                                                                                                                                                                                                                                                                                                                                                                                                                                                                                                                                                                                               | BD DE GARDEROSE 33500 LIBOURNE EURL DE PELUZAC 5  10 27 RUE CHANZY 33500 LIBOURNE EURL DARDENNE ESTATE 5  11 10 AV GEORGES CLEMENCEA 33500 LIBOURNE 5T P GIRONDE HABITAT OFFICE PUBLIC DE L' BUR1 5  11 10 QUAI DE LISLE 33500 LIBOURNE 5T P ETABLISSEMENT PUBLIC FONCIER DE NOU 5  11 16 QUAI DE LISLE 33500 LIBOURNE 5T P ETABLISSEMENT PUBLIC FONCIER DE NOU 5  12 35 RUE ANDRE NHEVOIT 33500 LIBOURNE 5T P ETABLISSEMENT PUBLIC FONCIER DE NOU 5  13 RUE FRANCOIS CONSTANT 33500 LIBOURNE 5PA MAISON D ENFANTS FRANCOIS CONSTANT 5PANCOIS CONSTANT | 92 BD DE GARDEROSE 3500 LIBOURNE EURL DE PELUZAC 623 27 RUE CHANZY 33500 LIBOURNE EURL DARDENNE ESTATE 717 10 AV GEORGES CLEMENCEA 33500 LIBOURNE ET P GIRONDE HABITAT OFFICE PUBLIC DE L' BUR1 717 16 QUAI DE LISLE 33500 LIBOURNE ET P ETABLISSEMENT PUBLIC FONCIER DE NOU DEP2 717 18 RUE ANDRE NHEVOIT 33500 LIBOURNE ET P ETABLISSEMENT PUBLIC FONCIER DE NOU MAG1 718 RUE ANDRE NHEVOIT 33500 LIBOURNE EPA MAISON D ENFANTS FRANCOIS CONSTANT BUR1 719 18 RUE ANDRE NHEVOIT 33500 LIBOURNE EPA MAISON D ENFANTS FRANCOIS CONSTANT BUR1 710 BUR1 EPA MAISON D ENFANTS FRANCOIS CONSTANT BUR1 711 18 RUE ANDRE NHEVOIT 33500 LIBOURNE EPA MAISON D ENFANTS FRANCOIS CONSTANT BUR1 712 TO BUR1 EPA MAISON D ENFANTS FRANCOIS CONSTANT ATE1                                                                                                                                                                                                                                                                                                                                                                                                                                                                                                                                                                                                                                                                                                                                                                                                                                                                                                                                                                 | 92 BD DE GARDEROSE 33500 LIBOURNE EURL DE PELUZAC 623 27 RUE CHANZY 33500 LIBOURNE EURL DARDENNE ESTATE BUR1 717 10 AV GEORGES CLEMENCEAI 33500 LIBOURNE ET P GIRONDE HABITAT OFFICE PUBLIC DE L' BUR1 717 16 QUAI DE LISLE 33500 LIBOURNE ET P ETABLISSEMENT PUBLIC FONCIER DE NOU DEP2 717 16 QUAI DE LISLE 33500 LIBOURNE ET P ETABLISSEMENT PUBLIC FONCIER DE NOU MAG1 717 18 RUE ANDRE NHEVOIT 33500 LIBOURNE ET P ETABLISSEMENT PUBLIC FONCIER DE NOU MAG1 718 RUE FRANCOIS CONSTANT 33500 LIBOURNE EPA MAISON D ENFANTS FRANCOIS CONSTANT BUR1                                                                                                                                                                                                                                                                                                                                                                                                                                                             | 92 BD DE GARDEROSE 33500 LIBOURNE EURL DE PELUZAC 623 27 RUE CHANZY 33500 LIBOURNE EURL DARDENNE ESTATE BUR1 717 10 AV GEORGES CLEMENCEA 33500 LIBOURNE ET P GIRONDE HABITAT OFFICE PUBLIC DE L' BUR1 717 16 QUAI DE LISLE 33500 LIBOURNE ET P ETABLISSEMENT PUBLIC FONCIER DE NOU DEP2 717 16 QUAI DE LISLE 33500 LIBOURNE ET P ETABLISSEMENT PUBLIC FONCIER DE NOU MAG1 717 16 QUAI DE LISLE 33500 LIBOURNE ET P ETABLISSEMENT PUBLIC FONCIER DE NOU MAG1 717 16 QUAI DE LISLE 33500 LIBOURNE ET P ETABLISSEMENT PUBLIC FONCIER DE NOU MAG1 718 PETABLISSEMENT PUBLIC FONCIER DE NOU MAG1 719 16 QUAI DE LISLE 33500 LIBOURNE ET P ETABLISSEMENT PUBLIC FONCIER DE NOU MAG1                                                                                                                                                                                                                                                                                                                                                                  | 92 BD DE GARDEROSE 33500 LIBOURNE EURL DE PELUZAC 623 27 RUE CHANZY 33500 LIBOURNE EURL DARDENNE ESTATE 717 10 AV GEORGES CLEMENCEA 33500 LIBOURNE ET P GIRONDE HABITAT OFFICE PUBLIC FONCIER DE NOU DEP2 147 16 QUAI DE LISLE 33500 LIBOURNE ET P ETABLISSEMENT PUBLIC FONCIER DE NOU DEP2 147 16 QUAI DE LISLE 33500 LIBOURNE ET P ETABLISSEMENT PUBLIC FONCIER DE NOU DEP2                                                                                                                                                                                                                                                                                                                                                                                                | 92 BD DE GARDEROSE 33500 LIBOURNE EURL DE PELUZAC 5 623 27 RUE CHANZY 33500 LIBOURNE EURL DARDENNE ESTATE BUR1 5 717 10 AV GEORGES CLEMENCEA 33500 LIBOURNE ET P GIRONDE HABITAT OFFICE PUBLIC DE L' BUR1                                                                                                                                                                                                                                                                 
                                                                                                                                                                                                                                                                                                                            | 92 BD DE GARDEROSE 33500 LIBOURNE EURL DE PELUZAC DEP2 5<br>623 27 RUE CHANZY 33500 LIBOURNE EURL DARDENNE ESTATE BUR1                                                                                                                                                                                                                                                                                                                                                                                                                                                                  | 92 BD DE GARDEROSE 33500 LIBOURNE EURL DE PELUZAC DEP2                                                                                                                                                                                                                                                                                                                                                                                                                                         | 156 14 PL JEAN MOULIN 33500 LIBOURNE FONDS DE DOTATION PEY BERLAND BUR1  1085 12 PL JEAN MOULIN 33500 LIBOURNE EURL SOCIETE GUYONNEAU ET COMPAGNIE MAG6  117 5 RUE MICHEL MONTAIGNE 33500 LIBOURNE EURL PIERRANOVA MAG1  842 29 ALL ROBERT BOULIN 33500 LIBOURNE EURL IMMOBILIERE LIBOURNAISE MAG1  842 29 ALL ROBERT BOULIN 33500 LIBOURNE EURL IMMOBILIERE LIBOURNAISE MAG4  843 C PLICANAGUIN 33500 LIBOURNE EURL IMMOBILIERE LIBOURNAISE MAG4                                                                            | 278 67 RUE DU DOCTEUR NARD 33500 LIBOURNE GCS GCS CLINIQUE CHIRURGICALE DU LIBOURN DEP2  156 14 PL JEAN MOULIN 33500 LIBOURNE FONDS DE DOTATION PEY BERLAND BUR1  1085 12 PL JEAN MOULIN 33500 LIBOURNE EURL SOCIETE GUYONNEAU ET COMPAGNIE MAG6  117 5 RUE MICHEL MONTAIGNE 33500 LIBOURNE EURL PIERRANOVA MAG1  842 29 ALL ROBERT BOULIN 33500 LIBOURNE EURL IMMOBILIERE LIBOURNAISE MAG4  848 29 ALL ROBERT BOULIN 33500 LIBOURNE EURL IMMOBILIERE LIBOURNAISE MAG4  849 BL JEAN MOULIN STOOL BOURNE EURL IMMOBILIERE LIBOURNAISE MAG4                                                                      | 19 RUE DU PRIOURAT 33500 LIBOURNE GFA FRANCOIS JANOUEIX ET FILS  278 67 RUE DU DOCTEUR NARD 33500 LIBOURNE GCS GCS CLINIQUE CHIRURGICALE DU LIBOURN DEP2  156 14 PL JEAN MOULIN 33500 LIBOURNE FONDS DE DOTATION PEY BERLAND BUR1  1085 12 PL JEAN MOULIN 33500 LIBOURNE EURL SOCIETE GUYONNEAU ET COMPAGNIE MAG6  117 5 RUE MICHEL MONTAIGNE 33500 LIBOURNE EURL PIERRANOVA MAG1  842 29 ALL ROBERT BOULIN 33500 LIBOURNE EURL IMMOBILIERE LIBOURNAISE MAG1  842 29 ALL ROBERT BOULIN 33500 LIBOURNE EURL IMMOBILIERE LIBOURNAISE MAG1  846 MAG1  847 EURL PRINCECTISCENTENT MAG4                                               | 430 7 B RUE MAX LINDER 33500 LIBOURNE INST CCIT BORDEAUX GIRONDE ENS1  65 195 RTE DE SAINT EMILION 33500 LIBOURNE GFA CHATEAU DU TAILHAS BUR1  611 19 RUE DU PRIOURAT 33500 LIBOURNE GFA FRANCOIS JANOUEIX ET FILS  278 67 RUE DU DOCTEUR NARD 33500 LIBOURNE GCS GCS CLINIQUE CHIRURGICALE DU LIBOURN DEP2  156 14 PL JEAN MOULIN 33500 LIBOURNE FONDS DE DOTATION PEY BERLAND BUR1  1085 12 PL JEAN MOULIN 33500 LIBOURNE EURL SOCIETE GUYONNEAU ET COMPAGNIE MAG6  117 5 RUE MICHEL MONTAIGNE 33500 LIBOURNE EURL PIERRANOVA  842 29 ALL ROBERT BOULIN 33500 LIBOURNE EURL IMMOBILIERE LIBOURNAISE MAG1  843 67 BL JEAN MOULIN 33500 LIBOURNE EURL IMMOBILIERE LIBOURNAISE MAG1  844 67 BL JEAN MOULIN 33500 LIBOURNE EURL IMMOBILIERE LIBOURNAISE MAG1  845 67 BL JEAN MOULIN 33500 LIBOURNE EURL IMMOBILIERE LIBOURNAISE MAG1  846 67 BR JEAN MOULIN 33500 LIBOURNE EURL IMMOBILIERE LIBOURNAISE MAG1  847 68 BR JEAN MOULIN 33500 LIBOURNE EURL IMMOBILIERE LIBOURNAISE MAG1  848 67 BR JEAN MOULIN 33500 LIBOURNE EURL IMMOBILIERE LIBOURNAISE MAG1  849 67 BR JEAN MOULIN 33500 LIBOURNE EURL IMMOBILIERE LIBOURNAISE MAG1  849 67 BR JEAN MOULIN 33500 LIBOURNE EURL IMMOBILIERE LIBOURNAISE MAG1  840 67 BR JEAN MOULIN 33500 LIBOURNE EURL IMMOBILIERE LIBOURNAISE MAG1 | 431 7 8 RUE MAX LINDER 33500 LIBOURNE INST CCIT BORDEAUX GIRONDE ENS1  430 7 8 RUE MAX LINDER 33500 LIBOURNE INST CCIT BORDEAUX GIRONDE ENS1  65 195 RTE DE SAINT EMILION 33500 LIBOURNE GFA GFA CHATEAU DU TAILHAS BUR1  111 19 RUE DU PRIOURAT 33500 LIBOURNE GFA FRANCOIS JANOUEIX ET FILS  1278 67 RUE DU DOCTEUR NARD 33500 LIBOURNE GCS GCS CLINIQUE CHIRURGICALE DU LIBOURN DEP2  128 12 PL JEAN MOULIN 33500 LIBOURNE FONDS DE DOTATION PEY BERLAND  117 5 RUE MICHEL MONTAIGNE 33500 LIBOURNE EURL SOCIETE GUYONNEAU ET COMPAGNIE MAGG  117 5 RUE MICHEL MONTAIGNE 33500 LIBOURNE EURL IMMOBILIERE LIBOURNAISE MAGG  842 29 ALL ROBERT BOULIN 33500 LIBOURNE EURL IMMOBILIERE LIBOURNAISE MAGG  118 CENTRALEM MAGG  119 BRUE MAX LINDER BURS  110 BOURNE EURL IMMOBILIERE LIBOURNAISE MAGG  110 BOURNE EURL IMMOBILIERE LIBOURNAISE MAGG  111 BRUE STREET GERMENT  111 BRUE STREET GERMENT  112 BRUE STREET GERMENT  113 BRUE STREET GERMENT  114 BRUE STREET GERMENT  115 BRUE STREET GERMENT  115 BRUE STREET GERMENT  117 BRUE STREET GERMENT  118 BRUE STREET GERMENT  118 BRUE STREET GERMENT  119 BRUE STREET GERMENT  110 BRUE STREET GERMENT  111 BRUE STREET GERMENT  111 BRUE STREET GERMENT  112 BRUE STREET GERMENT  113 BRUE STREET GERMENT  115 BRUE STREET GERMENT  115 BRUE STREET GERMENT  117 BRUE STREET GERMENT  118 BRUE STREET GERMENT  11 | 414 9002 RUE MAX LINDER 33500 LIBOURNE INST CCIT BORDEAUX GIRONDE BUR1  431 7 B RUE MAX LINDER 33500 LIBOURNE INST CCIT BORDEAUX GIRONDE ENS1  430 7 B RUE MAX LINDER 33500 LIBOURNE INST CCIT BORDEAUX GIRONDE ENS1  430 7 B RUE MAX LINDER 33500 LIBOURNE INST CCIT BORDEAUX GIRONDE ENS1  430 7 B RUE MAX LINDER 33500 LIBOURNE INST CCIT BORDEAUX GIRONDE ENS1  430 7 B RUE MAX LINDER 33500 LIBOURNE GFA GFA CHATEAU DU TAILHAS  430 195 RTE DE SAINT EMILION 33500 LIBOURNE GFA GFA CHATEAU DU TAILHAS  430 195 RUE DU DOCTEUR NARD 33500 LIBOURNE GFA FRANCOIS JANOUEIX ET FILS  156 14 PL JEAN MOULIN 33500 LIBOURNE GCS GCS CLINIQUE CHIRURGICALE DU LIBOURN DEP2  117 5 RUE MICHEL MONITAIGNE 33500 LIBOURNE EURL SOCIETE GUYONNEAU ET COMPAGNIE MAGG  1180 LIBOURNE EURL IMMOBILIERE LIBOURNAISE MAGG  MAGG  119 ALL ROBERT BOULIN 33500 LIBOURNE EURL IMMOBILIERE LIBOURNAISE MAGG   | 429 7 B RUE MAX LINDER 33500 LIBOURNE INSTITUT LIBOURNAIS DE FORMATION PAR APP ENS1  428 7 B RUE MAX LINDER 33500 LIBOURNE INST CCIT BORDEAUX GIRONDE ENS1  414 9002 RUE MAX LINDER 33500 LIBOURNE INST CCIT BORDEAUX GIRONDE BUR1  431 7 B RUE MAX LINDER 33500 LIBOURNE INST CCIT BORDEAUX GIRONDE ENS1  430 7 B RUE MAX LINDER 33500 LIBOURNE INST CCIT BORDEAUX GIRONDE ENS1  430 7 B RUE MAX LINDER 33500 LIBOURNE INST CCIT BORDEAUX GIRONDE ENS1  431 19 RUE DU PRIOURAT 33500 LIBOURNE GFA CHATEAU DU TAILHAS BUR1  432 278 67 RUE DU DOCTEUR NARD 33500 LIBOURNE GFA GRANCOIS JANOUEIX ET FILS  433 129 RUE DU DOCTEUR NARD 33500 LIBOURNE GCS CCINIQUE CHIRURGICALE DU LIBOURN DEP2  434 279 ALL ROBERT BOULIN 33500 LIBOURNE EURL SOCIETE GUYONNEAU ET COMPAGNIE MAG1  435 279 ALL ROBERT BOULIN 33500 LIBOURNE EURL IMMOBILIERE LIBOURNAISE MAG4  446 279 ALL ROBERT BOULIN 33500 LIBOURNE EURL IMMOBILIERE LIBOURNAISE MAG4  447 AL ROBERT BOULIN 33500 LIBOURNE EURL IMMOBILIERE LIBOURNAISE MAG4                                                                                                                                                                                                                                                                                                                                                                                                                                                                                                                                                                                                                                                                                                                                                                           | 336 26 AV DU PARC DES SPORTS 33500 LIBOURNE LA JAROUSSE  429 7 B RUE MAX LINDER 33500 LIBOURNE INSTITUT LIBOURNAIS DE FORMATION PAR APP ENS1  428 7 B RUE MAX LINDER 33500 LIBOURNE INST CCIT BORDEAUX GIRONDE ENS1  431 7 B RUE MAX LINDER 33500 LIBOURNE INST CCIT BORDEAUX GIRONDE ENS1  431 7 B RUE MAX LINDER 33500 LIBOURNE INST CCIT BORDEAUX GIRONDE ENS1  430 7 B RUE MAX LINDER 33500 LIBOURNE INST CCIT BORDEAUX GIRONDE ENS1  430 7 B RUE MAX LINDER 33500 LIBOURNE INST CCIT BORDEAUX GIRONDE ENS1  431 19 RIE DE SAINT EMILION 33500 LIBOURNE GFA GFA CHATEAU DU TAILHAS  430 7 RUE DU PRIOURAT 33500 LIBOURNE GFA FRANCOIS JANOUEIX ET FILS  431 19 RUE DU DOCTEUR NARD 33500 LIBOURNE GCS GCS CLINIQUE CHIRURGICALE DU LIBOURN DEP2  431 19 PLIEAN MOULIN 33500 LIBOURNE EURL SOCIETE GUYONNEAU ET COMPAGNIE MAG6  432 29 RUE MICHEL MONTAIGNE 33500 LIBOURNE EURL SOCIETE GUYONNEAU ET COMPAGNIE MAG1  434 29 ALL ROBERT BOULIN 33500 LIBOURNE EURL MIMOBILIERE LIBOURNAISE MAG1  435 EIGHE GERNACHT MAG1  436 ALL ROBERT BOULIN 33500 LIBOURNE EURL MIMOBILIERE LIBOURNAISE MAG1  447 ALL ROBERT BOULIN 33500 LIBOURNE EURL MIMOBILIERE LIBOURNAISE MAG1  448 EIGHE GERNACHT MAG1  449 ALL ROBERT BOULIN 33500 LIBOURNE EURL MIMOBILIERE LIBOURNAISE MAG1  449 ALL ROBERT BOULIN 33500 LIBOURNE EURL MIMOBILIERE LIBOURNAISE MAG1  440 ALL ROBERT BOULIN 33500 LIBOURNE EURL MIMOBILIERE LIBOURNAISE MAG1  440 ALL ROBERT BOULIN 33500 LIBOURNE EURL MIMOBILIERE LIBOURNAISE MAG1  441 ALL ROBERT BOULIN 34500 LIBOURNE EURL MIMOBILIERE LIBOURNAISE MAG1  442 ALL ROBERT BOULIN 34500 LIBOURNE EURL MIMOBILIERE LIBOURNAISE MAG1 | 248   78   RUE GAMBETTA   33500   LIBOURNE   SCI DU 145 AV GAL DE GAULLE   MAGTI                                                                                             
                                                                                                                                                                                                                                                                                                                                                                                                                                                                                                                                                                                                                                                                                                                                                                                                                                                                                                                                                                                                                                                                                                                                                                                                                                                                                                                     | Second Service Designation   Second Second Service Designation   Second Second Designation   Second Service Designation   Second Service Designation   Second Service Designation   Second Service Designation   Second Second Service Designation   Second Second Second Designation   Second Second Second Designation   Second Designati | 844   60                                                                                                                                                                                                                                                                                                                                                                                                                                                                                                                                                                                                                                                                                                                                                                                                                                                                                                                                                                                                                                                                                                                                                                                                                                                                                                                                                                                                                                                                                                                                                                                                                                                                                                                                                                                                                                                                                                                                                                                                                                                                                                                     | 222   83   RUE GAMBETTA   33500   LIBOURNE   SCI DU 35 RUE GAMBETTA   MAG1                                                                                                                                                                                                                                                                                                                                                                                                                                                                                                                                                                                                                                                                                                                                                                                                                                                                                                                                                                                                                                                                                                                                                                                                                                                                                                                                                                                                                                                                                                                                                                                                                                                                                                                                                                                                                                                                                                                                                                                                                                                     | 322   86   CRS TOURNY   33500   LIBOURNE   SCI DU 86 COURS TOURNY   BUR1                                                                                                                                                                                                                                                                                                                                                                                                                                                                                                                                                                                                                                                                                                                                                                                                                                                                                                                                                                                                                                                                                                                                                                                                                                                                                                                                                                                                                                                                                                                                                                                                                                                                                                                                                                                                                                                                                                                                                                                                                                                     | 172   9030   RILE DE BARREAU   33500   LIBOURNE   SCI DU GE COURS TOURNY   BUR1                  | 17                                                                                                                                                                                                                                                                                                                                                                                                                                                                                                                                                                                                                                                                                                                                                                                                                                                                                                                                                                                                                                                                                                                                                                                                                                                                                                                                                                                                                                                                                                                                                                                                                                                                                                                                                                                                                                                                                                                                                                                                                                                                                                                          | B44   105   AVGEORGESPOMPIDOU   33500   LIBOURNE   SCI DYS                                                
                                                                                                                                                                                                                                                                                                                                                                                                                                                                                                                                                                                                                                                                                                                                                                                                                                                                                                                                                                                                                                                                                                                                                                                                                                                                                                                                                                                                                                                                                                                                                                                                                                                                                                                                                                                                                                                                                                                                                                                                                  | S50                                                                                                                                                                                                                                                                                                                                                                                                                                                                                                                                                                                                                                                                                                                                                                                                                                                                                                                                                                                                                                                                                                                                                                                                                                                                                                                                                                                                                                                                                                                                                                                                                                                                                                                                                                                                                                                                                                                                                                                                                                                                                                                          | 231   28  | SRIT   28                                                                                                                                                                                                                                                                                                                                                                                                                                                                                                                                                                                                                                                                                                                                                                                                                                                                                                                                                                                                                                                                                                                                                                                                                                                                                                                                                                                                                                                                                                                                                                                                                                                                                                                                                                                                                                                                                                                                                                                                                                                                                                                    | 2021   H                                                                                   | 14                                                                                                                                                                                                                                                                                                                                                                                                                                                                                                                                                                                                                                                                                                                                                                                                                                                                                                                                                                                                                                                                                                                                                                                                                                                                                                                                                                                                                                                                                                                                                                                                                                                                                                                                                                                                                                                                                                                                                                                                                                                                                                                          | 2021   BE   488   33   31   BRUEBELLON   33500   IBOURNE   SCHEILER HAAPY & BURIL                     | 2021   BH   615   7   RUE CHARTY   33300   IBOURNE   SCH HIGALLS   MOT                                                                                                                                                                                                                                                                                                                                                                                                                                                                                                                                                                                                                                                                                                                                                                                                                                                                                                                                                                                                                                                                                                                                                                                                                                                                                                                                                                                                                                                                                                                                                                                                                                                                                                        
                                                                                                                                                                                                                                                                                                                                              | 2021   CO  | 2021   CH   29   109   AV DE FERDINN   33500   IBOURNE   SCILET A CORGEAT   BURST   MAGISTONINE   BURST   MAGISTONINE   MAGIST   MAGIST | 2021   191   292   202   202   202   202   202   202   202   202   202   202   202   202   202   202   202   202   202   202   202   202   202   202   202   202   202   202   202   202   202   202   202   202   202   202   202   202   202   202   202   202   202   202   202   202   202   202   202   202   202   202   202   202   202   202   202   202   202   202   202   202   202   202   202   202   202   202   202   202   202   202   202   202   202   202   202   202   202   202   202   202   202   202   202   202   202   202   202   202   202   202   202   202   202   202   202   202   202   202   202   202   202   202   202   202   202   202   202   202   202   202   202   202   202   202   202   202   202   202   202   202   202   202   202   202   202   202   202   202   202   202   202   202   202   202   202   202   202   202   202   202   202   202   202   202   202   202   202   202   202   202   202   202   202   202   202   202   202   202   202   202   202   202   202   202   202   202   202   202   202   202   202   202   202   202   202   202   202   202   202   202   202   202   202   202   202   202   202   202   202   202   202   202   202   202   202   202   202   202   202   202   202   202   202   202   202   202   202   202   202   202   202   202   202   202   202   202   202   202   202   202   202   202   202   202   202   202   202   202   202   202   202   202   202   202   202   202   202   202   202   202   202   202   202   202   202   202   202   202   202   202   202   202   202   202   202   202   202   202   202   202   202   202   202   202   202   202   202   202   202   202   202   202   202   202   202   202   202   202   202   202   202   202   202   202   202   202   202   202   202   202   202   202   202   202   202   202   202   202   202   202   202   202   202   202   202   202   202   202   202   202   202   202   202   202   202   202   202   202   202   202   202   202   202   202   202   202   202   202   202   202   202   202   202   202   202   202   202   202 | 2021   Ph   138   23                                                                                                                                                                                                                                                                                                                                                                                                                                                                                                                                                                                                                                                                                                                                                                                                                                                                                                                                                                                                                                                                                                                                                                                                                                                                                                                                                                                                                                                                                                                                                                                                                                                                                                                                                                                                                                                                                                                                                                                                                                                                                                         |
| 2019   2019   2019   2019   2019   2019   2019   2019   2019   2019   2019   2019   2019   2019   2019   2019   2019   2019   2019   2019   2019   2019   2019   2019   2019   2019   2019   2019   2019   2019   2019   2019   2019   2019   2019   2019   2019   2019   2019   2019   2019   2019   2019   2019   2019   2019   2019   2019   2019   2019   2019   2019   2019   2019   2019   2019   2019   2019   2019   2019   2019   2019   2019   2019   2019   2019   2019   2019   2019   2019   2019   2019   2019   2019   2019   2019   2019   2019   2019   2019   2019   2019   2019   2019   2019   2019   2019   2019   2019   2019   2019   2019   2019   2019   2019   2019   2019   2019   2019   2019   2019   2019   2019   2019   2019   2019   2019   2019   2019   2019   2019   2019   2019   2019   2019   2019   2019   2019   2019   2019   2019   2019   2019   2019   2019   2019   2019   2019   2019   2019   2019   2019   2019   2019   2019   2019   2019   2019   2019   2019   2019   2019   2019   2019   2019   2019   2019   2019   2019   2019   2019   2019   2019   2019   2019   2019   2019   2019   2019   2019   2019   2019   2019   2019   2019   2019   2019   2019   2019   2019   2019   2019   2019   2019   2019   2019   2019   2019   2019   2019   2019   2019   2019   2019   2019   2019   2019   2019   2019   2019   2019   2019   2019   2019   2019   2019   2019   2019   2019   2019   2019   2019   2019   2019   2019   2019   2019   2019   2019   2019   2019   2019   2019   2019   2019   2019   2019   2019   2019   2019   2019   2019   2019   2019   2019   2019   2019   2019   2019   2019   2019   2019   2019   2019   2019   2019   2019   2019   2019   2019   2019   2019   2019   2019   2019   2019   2019   2019   2019   2019   2019   2019   2019   2019   2019   2019   2019   2019   2019   2019   2019   2019   2019   2019   2019   2019   2019   2019   2019   2019   2019   2019   2019   2019   2019   2019   2019   2019   2019   2019   2019   2019   2019   2019   2019   2019   2019   2019   2019   2019   2019   2019    | 2013   201   201   201   201   201   201   201   201   201   201   201   201   201   201   201   201   201   201   201   201   201   201   201   201   201   201   201   201   201   201   201   201   201   201   201   201   201   201   201   201   201   201   201   201   201   201   201   201   201   201   201   201   201   201   201   201   201   201   201   201   201   201   201   201   201   201   201   201   201   201   201   201   201   201   201   201   201   201   201   201   201   201   201   201   201   201   201   201   201   201   201   201   201   201   201   201   201   201   201   201   201   201   201   201   201   201   201   201   201   201   201   201   201   201   201   201   201   201   201   201   201   201   201   201   201   201   201   201   201   201   201   201   201   201   201   201   201   201   201   201   201   201   201   201   201   201   201   201   201   201   201   201   201   201   201   201   201   201   201   201   201   201   201   201   201   201   201   201   201   201   201   201   201   201   201   201   201   201   201   201   201   201   201   201   201   201   201   201   201   201   201   201   201   201   201   201   201   201   201   201   201   201   201   201   201   201   201   201   201   201   201   201   201   201   201   201   201   201   201   201   201   201   201   201   201   201   201   201   201   201   201   201   201   201   201   201   201   201   201   201   201   201   201   201   201   201   201   201   201   201   201   201   201   201   201   201   201   201   201   201   201   201   201   201   201   201   201   201   201   201   201   201   201   201   201   201   201   201   201   201   201   201   201   201   201   201   201   201   201   201   201   201   201   201   201   201   201   201   201   201   201   201   201   201   201   201   201   201   201   201   201   201   201   201   201   201   201   201   201   201   201   201   201   201   201   201   201   201   201   201   201   201   201   201   201   201   201   201   201   201 |                                                                                                                                                                                                                                                                                                                                                                                                                                                                                                                                                                                                                                                                                                                                                                                                                                                                                                                                                                                                                                                                                                                                                                                                                                                                                                                                                                                                                                                                                                                                                                                                                                                                                                                                                                                                                                                                                                                                                                                                                                                                                                                              | 2013   88   17   DETAINMONED   2015   DEDONING   DEDONING   DEDONING   DESCRIPTION   DETAIL | 2013   28   RELEGATION   2020   INDIVIDUAL   2021   2021   2021   2021   2021   2021   2021   2021   2021   2021   2021   2021   2021   2021   2021   2021   2021   2021   2021   2021   2021   2021   2021   2021   2021   2021   2021   2021   2021   2021   2021   2021   2021   2021   2021   2021   2021   2021   2021   2021   2021   2021   2021   2021   2021   2021   2021   2021   2021   2021   2021   2021   2021   2021   2021   2021   2021   2021   2021   2021   2021   2021   2021   2021   2021   2021   2021   2021   2021   2021   2021   2021   2021   2021   2021   2021   2021   2021   2021   2021   2021   2021   2021   2021   2021   2021   2021   2021   2021   2021   2021   2021   2021   2021   2021   2021   2021   2021   2021   2021   2021   2021   2021   2021   2021   2021   2021   2021   2021   2021   2021   2021   2021   2021   2021   2021   2021   2021   2021   2021   2021   2021   2021   2021   2021   2021   2021   2021   2021   2021   2021   2021   2021   2021   2021   2021   2021   2021   2021   2021   2021   2021   2021   2021   2021   2021   2021   2021   2021   2021   2021   2021   2021   2021   2021   2021   2021   2021   2021   2021   2021   2021   2021   2021   2021   2021   2021   2021   2021   2021   2021   2021   2021   2021   2021   2021   2021   2021   2021   2021   2021   2021   2021   2021   2021   2021   2021   2021   2021   2021   2021   2021   2021   2021   2021   2021   2021   2021   2021   2021   2021   2021   2021   2021   2021   2021   2021   2021   2021   2021   2021   2021   2021   2021   2021   2021   2021   2021   2021   2021   2021   2021   2021   2021   2021   2021   2021   2021   2021   2021   2021   2021   2021   2021   2021   2021   2021   2021   2021   2021   2021   2021   2021   2021   2021   2021   2021   2021   2021   2021   2021   2021   2021   2021   2021   2021   2021   2021   2021   2021   2021   2021   2021   2021   2021   2021   2021   2021   2021   2021   2021   2021   2021   2021   2021   2021   2021   2021   2021   2021   2021   2021   2021   2021   2021   2021 | 201   201   202   202   202   202   202   202   202   202   202   202   202   202   202   202   202   202   202   202   202   202   202   202   202   202   202   202   202   202   202   202   202   202   202   202   202   202   202   202   202   202   202   202   202   202   202   202   202   202   202   202   202   202   202   202   202   202   202   202   202   202   202   202   202   202   202   202   202   202   202   202   202   202   202   202   202   202   202   202   202   202   202   202   202   202   202   202   202   202   202   202   202   202   202   202   202   202   202   202   202   202   202   202   202   202   202   202   202   202   202   202   202   202   202   202   202   202   202   202   202   202   202   202   202   202   202   202   202   202   202   202   202   202   202   202   202   202   202   202   202   202   202   202   202   202   202   202   202   202   202   202   202   202   202   202   202   202   202   202   202   202   202   202   202   202   202   202   202   202   202   202   202   202   202   202   202   202   202   202   202   202   202   202   202   202   202   202   202   202   202   202   202   202   202   202   202   202   202   202   202   202   202   202   202   202   202   202   202   202   202   202   202   202   202   202   202   202   202   202   202   202   202   202   202   202   202   202   202   202   202   202   202   202   202   202   202   202   202   202   202   202   202   202   202   202   202   202   202   202   202   202   202   202   202   202   202   202   202   202   202   202   202   202   202   202   202   202   202   202   202   202   202   202   202   202   202   202   202   202   202   202   202   202   202   202  
202   202   202   202   202   202   202   202   202   202   202   202   202   202   202   202   202   202   202   202   202   202   202   202   202   202   202   202   202   202   202   202   202   202   202   202   202   202   202   202   202   202   202   202   202   202   202   202   202   202   202   202   202   202   202  | 201   202   202   202   202   202   202   202   202   202   202   202   202   202   202   202   202   202   202   202   202   202   202   202   202   202   202   202   202   202   202   202   202   202   202   202   202   202   202   202   202   202   202   202   202   202   202   202   202   202   202   202   202   202   202   202   202   202   202   202   202   202   202   202   202   202   202   202   202   202   202   202   202   202   202   202   202   202   202   202   202   202   202   202   202   202   202   202   202   202   202   202   202   202   202   202   202   202   202   202   202   202   202   202   202   202   202   202   202   202   202   202   202   202   202   202   202   202   202   202   202   202   202   202   202   202   202   202   202   202   202   202   202   202   202   202   202   202   202   202   202   202   202   202   202   202   202   202   202   202   202   202   202   202   202   202   202   202   202   202   202   202   202   202   202   202   202   202   202   202   202   202   202   202   202   202   202   202   202   202   202   202   202   202   202   202   202   202   202   202   202   202   202   202   202   202   202   202   202   202   202   202   202   202   202   202   202   202   202   202   202   202   202   202   202   202   202   202   202   202   202   202   202   202   202   202   202   202   202   202   202   202   202   202   202   202   202   202   202   202   202   202   202   202   202   202   202   202   202   202   202   202   202   202   202   202   202   202   202   202   202   202   202   202   202   202   202   202   202   202   202   202   202   202   202   202   202   202   202   202   202   202   202   202   202   202   202   202   202   202   202   202   202   202   202   202   202   202   202   202   202   202   202   202   202   202   202   202   202   202   202   202   202   202   202   202   202   202   202   202   202   202   202   202   202   202   202   202   202   202   202   202   202   202   202   202   202   202   202   202   202  | 273   88                                                                                                                                                                                                                                                                                                                                                                                                                                                                                                                                                                                                                                                                                                                                                                                                                                                                                                                                                                                                                                                                                                                                                                                                                                                                                                                                                                                                                                                                                                                                                                                                                                                                                                                                                                                                                                                                                                                                                                                                                                                                                                                     | 274   88   RELEGANIZION   33500   1800/NNE   EUR. DOMINICALE EPHANEE   100            | 274   88   RE ESAMPT ANIONN   33500   180-0/RME   EUR, DOMINICE ET ANT ENDEZISON   100-0/RME   147   16                                                                                                                                                                                                                                                                                                                                                                                                                                                                                                                                                                                                                                                                                                                                                                                                                                                                                                                                                                                                                                                                                                                                                                                                                                                                                                                                                                                                                                                                                                                                                                                                                                                                                                                                                                                                                                                                                                                                                                                                                      | 2374   88                                                                                                                                                                                                                                                                                                                                                                                                                                                                                                                                                                                                                                                                                                                                                                                                                                                                                                                                                                                                                                                                                                                                                                                                                                                                                                                                                                                                                                                                                                                                                                                                                                                                                                                                                                                                                                                                                                                                                                                                                                                                                                                    | 274   88                                                                                                                                                                                                                                                                                                                                                                                                                                                                                                                                                                                                                                                                                                                                                                                                                                                                                                                                                                                                                                                                                                                                                                                                                                                                                                                                                                                                                                        
                                                                                                                                                                                                                                                                                                                                                                                                                                                                                                                                                                                                                                                                           | 273   28   RT DE SAMT ROUTE   23300                                                                                                                                                                                                                                                                                                                                                                                                                                                                                                                                                                                                                                                                                                                                                                                                                                                                                                                                                                                                                                                                                                                                                                                                                                                                                                                                                                                                                                                                                                                                                                                                                                                                                                                                                                                                                                                                                                                                                                                                                                                                                       | 274   285   RELEGANCISCUM   23500   LIBOURNE   EURL CONCENTION   | 2374   88                                                                                         | 374   88   RITE DE ANNE CHILDRY   33500   LIBOURNE   EURI DE PELUZAC                                                                                                                                                                                                                                                                                                                                                                                                                                                                                                                                                                                                                                                                                                                                                                                                                                                                                                                                                                                                                                                                                                                                                                                                                                                                                                                                                                                                                                                                                                                                                                                                                                                                                                                                                                                                                                                                                                                                                                                                                                                         | 374                                                                               | 374   88                                                                                                                                                                                                                                                                                                                                                                                                                                                                                                                                                                                                                                                                                                                                                                                                                                                                                                                                                                                                                                                                                                                                                                                                                                                                                                                                                                                                                                                                                                                                                                                                                                                                                                                                                                                                                                                                                                                                                                                                                                                                                                                     | 374   88                                                                                                                                                                                                                                                                                                                                                                                                                                                                                                                                                                                                                                                                                                                                                                                                                                                                                                                                                                                                                                                                                                                                                                                                                                                                                                                                                                                                                                                                                                                                                                                                                                                                                                                                                                                                                                                                                                                                                                                                                                                                                                                     | 272   88   RTE DESAMINE MANUEL   33500   LIBOURNE   EURI, DO ENGAME   EURI, DO MINQUE ELFANABE   MAGI | 374   88   RTE DE SAUTE FAILLON   33500   LIBOURNE   ELRI DOURNE   ELRI DOMINIQUE LEVRARIE   MAGI | 373   88   RTE DESAMITEMILION   33500   LIBOURNE   EURI LO DEMANARIE   CHYANARIE   MAGI       | 3733   88   RTE DE SANT EMILION   33500   LIBOURNE   EURL DOMINIQUE LEVYARRIE   MAGI                | 273   88     RTE DE ANNIT KNILLON   33500   LIBOURNE   EURL DOMINIQUE LEYMARAIE   MAG1                                                                                                                                                                                                                                                                                                                                                                                                                                      
                                                                                                                                                                                                                                                                                                                                                                                                                                                                                                                                                                                                                                                                                                                                                                                                                                                                                                                                                                                                                                                                                                                                                                                                                                                                                                                                                                                                                                                                                                                                                                                             | 1923   10                                                                                 | 253   0                                                                                                                                                                                                                                                                                                                                                                                                                                                                                                                                                                                                                                                                                                                                                                                                                                                                                                                                                                                                                                                                                                                                                                                                                                                                                                                                                                                                                                                                                                                                                                                                                                                                                                                                                                                                                                                                                                                                                                                                                                                                                                                    | 374   88   RTEDSAMITE MILION   33500   LIBOURNE   EURL DOMINIQUE LEYMARIE   MAGI                                                                                                                                                                                                                                                                                                                                                                                                                                                                                                                                                                                                                                                                                                                                                                                                                                                                                                                                                                                                                                                                                                                                                                                                                                                                                                                                                                                                                                                                                                                                                                                                                                                                                                                                                                                                                                                                                                                                                                                                                                               | PARTIE DE SAINT EMILION 35500 LIBOURNE EURL DANDELNE EVINARIE MAG1  1717 10 AV GEORGES CLEMENCEA 33500 LIBOURNE EURL DANDENNE ESTATE  1717 10 AV GEORGES CLEMENCEA 33500 LIBOURNE EURL DANDENNE ESTATE  1717 10 AV GEORGES CLEMENCEA 33500 LIBOURNE ET P GIRONDE HABITAT OFFICE PUBLIC DE L' BUR1  1717 16 QUAI DE LISLE 33500 LIBOURNE ET P GIRONDE HABITAT OFFICE PUBLIC FONCIER DE NOU DEP2  1717 18 RUE ANDRE NHEVOIT 33500 LIBOURNE ET P ETABLISSEMENT PUBLIC FONCIER DE NOU MAG1  1717 18 RUE FRANCOIS CONSTANT 33500 LIBOURNE ET P AISOND ENFANTS FRANCOIS CONSTANT HOT3  1718 18 RUE FRANCOIS CONSTANT 33500 LIBOURNE EPA MAISON D ENFANTS FRANCOIS CONSTANT HOT3  172 35 RUE ANDRE NHEVOIT 33500 LIBOURNE EPA MAISON D ENFANTS FRANCOIS CONSTANT HOT3  173 19 RUE ENER BEAUCHAMP 33500 LIBOURNE EPA MAISON D ENFANTS FRANCOIS CONSTANT HOT3  1793 117 AV GALLIENI 33500 LIBOURNE EPA MAISON D ENFANTS FRANCOIS CONSTANT DE LA GIRONDE  1793 117 AV GALLIENI 33500 LIBOURNE ASS OCIATION PEY BERLAND  1793 119 RUE DE LA GIACIERE 33500 LIBOURNE ASSOCIATION DEPARTEMENT DE LA GIRONDE BUR1  1793 119 RUE VIEILLE GRANGE 33500 LIBOURNE ASSOCIATION DE PARTEMENT DE DEUCATION SPECIA BUR2  1793 119 RUE VIEILLE GRANGE 33500 LIBOURNE ASSOCIATION DE PARTEMENT DE DEUCATION SPECIA BUR2  1793 119 RUE VIEILLE GRANGE 33500 LIBOURNE ASSOCIATION DE PARTEMENT DE DEUCATION SPECIA BUR2  180 225 9 AV DU GENERAL DE GAULI 33500 LIBOURNE ASSOCIATION DE DEUCATION SPECIA BUR3  180 250 250 250 250 250 250 250 250 250 25                                                                                                                                                                                                                                                                                                                                                                                                                                                                                                                                                                                               | 273   93   94   PLEAN MOOLING   2000   100 ONNE   2000   2000   2000   2000   2000   2000   2000   2000   2000   2000   2000   2000   2000   2000   2000   2000   2000   2000   2000   2000   2000   2000   2000   2000   2000   2000   2000   2000   2000   2000   2000   2000   2000   2000   2000   2000   2000   2000   2000   2000   2000   2000   2000   2000   2000   2000   2000   2000   2000   2000   2000   2000   2000   2000   2000   2000   2000   2000   2000   2000   2000   2000   2000   2000   2000   2000   2000   2000   2000   2000   2000   2000   2000   2000   2000   2000   2000   2000   2000   2000   2000   2000   2000   2000   2000   2000   2000   2000   2000   2000   2000   2000   2000   2000   2000   2000   2000   2000   2000   2000   2000   2000   2000   2000   2000   2000   2000   2000   2000   2000   2000   2000   2000   2000   2000   2000   2000   2000   2000   2000   2000   2000   2000   2000   2000   2000   2000   2000   2000   2000   2000   2000   2000   2000   2000   2000   2000   2000   20 | STATE   STAT | RTE DE SAINT EMILION 33500 LIBOURNE EURL DOMINIQUE LEYMARIE MAG1  92 BD DE GARDEROSE 33500 LIBOURNE EURL DOMINIQUE LEYMARIE MAG1  1717 10 RUE CHANZY 33500 LIBOURNE EURL DE PELUZAC  1717 10 AV GEORGES CLEMENCEA 33500 LIBOURNE ET P GIRONDE HABITAT OFFICE PUBLIC DE L' BUR1  1717 16 QUAI DE L ISLE 33500 LIBOURNE ET P ETABLISSEMENT PUBLIC FONCIER DE NOU DEP2  1717 16 QUAI DE L ISLE 33500 LIBOURNE ET P ETABLISSEMENT PUBLIC FONCIER DE NOU DEP2  1717 18 RUE ANDRE NHEVOIT 33500 LIBOURNE EPA MAISON D ENFANTS FRANCOIS CONSTANT HOT3  1718 RUE ANDRE NHEVOIT 33500 LIBOURNE EPA MAISON D ENFANTS FRANCOIS CONSTANT BUR1  172 35 RUE ANDRE NHEVOIT 33500 LIBOURNE EPA MAISON D ENFANTS FRANCOIS CONSTANT HOT3  173 AV DU MARECHAL FOCH 33500 LIBOURNE EPA MAISON D ENFANTS FRANCOIS CONSTANT ATE1  1793 17 RUE DE TOUSSAINT 33500 LIBOURNE BUR1  170 AV GALLIENI 33500 LIBOURNE ASS OCIETE SAINT VINCENT DE LA GIRONDE BUR1  170 AV GALLIENI 33500 LIBOURNE ASSOCIATION DEPARTEMENT DE DEDUCATION SPECIA BUR2  170 AV GALLIENI 33500 LIBOURNE ASSOCIATION SPECIA BUR2                                                                                                                                                            
                                                                                                                                                                                                                                                                                                                                                                                                                                                                                                                                                                                                                                                                                                                                                                                                                                                                                    | RTE DE SAINT EMILION 3500 LIBOURNE EURL DOMINICUE LEYMARIE  92 BD DE GARDEROSE 33500 LIBOURNE EURL DE PELUZAC  127 RUE CHANZY 33500 LIBOURNE EURL DE PELUZAC  128 BD DE GARDEROSE 33500 LIBOURNE EURL DE PELUZAC  129 BD DE GARDEROSE 33500 LIBOURNE EURL DE PELUZAC  147 16 QUAI DE LISLE 33500 LIBOURNE ET P GRONDE HABITAT OFFICE PUBLIC DE L'  147 16 QUAI DE LISLE 33500 LIBOURNE ET P ETABLISSEMENT PUBLIC FONCIER DE NOU  147 16 QUAI DE LISLE 33500 LIBOURNE ET P ETABLISSEMENT PUBLIC FONCIER DE NOU  147 18 RUE ANDRE NHEVOIT 33500 LIBOURNE ET P ETABLISSEMENT PUBLIC FONCIER DE NOU  148 RUE FRANCOIS CONSTANT 33500 LIBOURNE  149 20 RUE THIERS 33500 LIBOURNE  140 25 RUE ANDRE NHEVOIT 25 RUE ANDRE NHEVOIT 26 RUE THIERS 27 RUE ANDRE NHEVOIT 27 RUE ANDRE NHEVOIT 28 RUE ANDRE NHEVOIT 29 RUE THIERS | TELEMENTOLIN 33500 LIBOURNE EURL DOMINIQUE LEYMARIE MAG1  374 88 RTE DE SAINT EMILION 33500 LIBOURNE EURL DE PELUZAC  92 BD DE GARDEROSE 33500 LIBOURNE EURL DE PELUZAC  16623 27 RUE CHANZY 33500 LIBOURNE ET P GIRONDE HABITAT OFFICE PUBLIC DE L' BUR1  1717 10 AV GEORGES CLEMENCEA 33500 LIBOURNE ET P ETABLISSEMENT PUBLIC FONCIER DE NOU DEP2  147 16 QUAI DE LISLE 33500 LIBOURNE ET P ETABLISSEMENT PUBLIC FONCIER DE NOU DEP2  147 18 RUE ANDRE NHEVOIT 33500 LIBOURNE ET P ETABLISSEMENT PUBLIC FONCIER DE NOU MAG1  27 35 RUE ANDRE NHEVOIT 33500 LIBOURNE EPA MAISON D ENFANTS FRANCOIS CONSTANT HOT3  49 20 RUE THIERS 33500 LIBOURNE EPA MAISON D ENFANTS FRANCOIS CONSTANT ATE1  49 20 RUE THIERS 33500 LIBOURNE BUR1 DEPARTEMENT DE LA GIRONDE BUR1  211 AV DU MARECHAL FOCH 33500 LIBOURNE ASS UNION DEPART DE SASS FAMILIALES  BUR1  ASS SOCIETE SAINT VINCENT DE PAUL  DEP2  DEP2  DEP2  DEP2  DEP2  DEP2  DEP2  DEP3  | 374 88 RTE DE SAINT EMILION 33500 LIBOURNE EURL DOMINIQUE LEYMARIE MAG1  92 BD DE GARDEROSE 33500 LIBOURNE EURL DE PELUZAC  92 BD DE GARDEROSE 33500 LIBOURNE EURL DE PELUZAC  92 BD DE GARDEROSE 33500 LIBOURNE EURL DARDENNE ESTATE  717 10 AV GEORGES CLEMENCEA 33500 LIBOURNE ET P GIRONDE HABITAT OFFICE PUBLIC DE L' BUR1  9 147 16 QUAI DE L ISLE 33500 LIBOURNE ET P ETABLISSEMENT PUBLIC FONCIER DE NOU DEP2  9 147 16 QUAI DE L ISLE 33500 LIBOURNE ET P ETABLISSEMENT PUBLIC FONCIER DE NOU DEP2  9 27 35 RUE ANDRE NHEVOIT 33500 LIBOURNE ET P ETABLISSEMENT PUBLIC FONCIER DE NOU MAG1  147 18 RUE FRANCOIS CONSTANT 33500 LIBOURNE EPA MAISON D ENFANTS FRANCOIS CONSTANT BUR1  149 20 RUE THIERS 33500 LIBOURNE EPA MAISON D ENFANTS FRANCOIS CONSTANT ATE1  856 21 AV DU MARECHAL FOCH 33500 LIBOURNE DEPT DEPARTEMENT DE LA GIRONDE BUR1                                                                                                                                                                                                                                                                                                                                                                                                                                                                                                                                                                                                                                                                                                                                                                                                                                                                                                                                                                                                                                                                                                                                                                                                                                                                      | 374 88 RTE DE SAINT EMILION 33500 LIBOURNE EURL DOMINIQUE LEYMARIE MAG1  92 BD DE GARDEROSE 33500 LIBOURNE EURL DOMINIQUE LEYMARIE MAG1  717 10 RUE CHANZY 33500 LIBOURNE EURL DARDENNE ESTATE  92 BLUE CHANZY 33500 LIBOURNE ET P GIRONDE HABITAT OFFICE PUBLIC FONCIER DE NOU DEP2  93 147 16 QUAI DE LISLE 33500 LIBOURNE ET P ETABLISSEMENT PUBLIC FONCIER DE NOU MAG1  27 35 RUE ANDRE NHEVOIT 33500 LIBOURNE ET P ETABLISSEMENT PUBLIC FONCIER DE NOU MAG1  27 35 RUE ANDRE NHEVOIT 33500 LIBOURNE EPA MAISON D ENFANTS FRANCOIS CONSTANT BUR1  28 RUE ANDRE NHEVOIT 33500 LIBOURNE EPA MAISON D ENFANTS FRANCOIS CONSTANT BUR1  29 18 RUE ANDRE NHEVOIT 33500 LIBOURNE EPA MAISON D ENFANTS FRANCOIS CONSTANT BUR1  29 20 18 BLUE TELIERS BOOK LIBOURNE EPA MAISON D ENFANTS FRANCOIS CONSTANT ATE1  20 21 BLUE TELIERS BOOK LIBOURNE EPA MAISON D ENFANTS FRANCOIS CONSTANT ATE1  21 BLUE TELIERS BOOK LIBOURNE EPA MAISON D ENFANTS FRANCOIS CONSTANT ATE1  22 BLUE TELIERS BOOK LIBOURNE EPA MAISON D ENFANTS FRANCOIS CONSTANT ATE1  23 BLUE TELIERS BOOK LIBOURNE EPA MAISON D ENFANTS FRANCOIS CONSTANT ATE1  24 BLUE TELIERS BOOK LIBOURNE EPA MAISON D ENFANTS FRANCOIS CONSTANT ATE1  25 BLUE TELIERS BOOK LIBOURNE EPA MAISON D ENFANTS FRANCOIS CONSTANT ATE1                                                                                                                                                                                                                                                                                                                                                                                                                               | 374 88 RTE DE SAINT EMILION 33500 LIBOURNE EURL DOMINIQUE LEYMARIE MAG1  92 BD DE GARDEROSE 33500 LIBOURNE EURL DE PELUZAC DEP2  717 10 AV GEORGES CLEMENCEA 33500 LIBOURNE ET P GIRONDE HABITAT OFFICE PUBLIC FONCIER DE NOU  147 16 QUAI DE LISLE 33500 LIBOURNE ET P ETABLISSEMENT PUBLIC FONCIER DE NOU  147 18 RUE ANDRE NHEVOIT 33500 LIBOURNE ET P ETABLISSEMENT PUBLIC FONCIER DE NOU  LIBOURNE ET P ETABLISSEMENT PUBLIC FONCIER DE NOU  ET P ETABLISSEMENT PUBLIC FONCIER DE NOU  MAG1  ET P ETABLISSEMENT PUBLIC FONCIER DE NOU  MAG1  ET P ETABLISSEMENT PUBLIC FONCIER DE NOU  MAG1  HOT3  BUR1                                                                                                                                                                                                                                                                                                                                                                                                      | 374 88 RTE DE SAINT EMILION 33500 LIBOURNE EURL DOMINIQUE LEYMARIE MAG1  92 BD DE GARDEROSE 33500 LIBOURNE EURL DE PELUZAC  623 27 RUE CHANZY 33500 LIBOURNE EURL DARDENNE ESTATE  717 10 AV GEORGES CLEMENCEAI 33500 LIBOURNE ET P GIRONDE HABITAT OFFICE PUBLIC DE L'  147 16 QUAI DE LISLE 33500 LIBOURNE ET P ETABLISSEMENT PUBLIC FONCIER DE NOU DEP2  27 35 RUE ANDRE NHEVOIT 33500 LIBOURNE ET P ETABLISSEMENT PUBLIC FONCIER DE NOU MAG1                                                                                                                                                                                                                                                                                                                                                                                                                                                                                                                                                                                               | 374 88 RTE DE SAINT EMILION 33500 LIBOURNE EURL DOMINIQUE LEYMARIE MAG1  92 BD DE GARDEROSE 33500 LIBOURNE EURL DE PELUZAC DEP2  623 27 RUE CHANZY 33500 LIBOURNE ET P GIRONDE HABITAT OFFICE PUBLIC FONCIER DE NOU DEP2  147 16 QUAI DE LISLE 33500 LIBOURNE ET P ETABLISSEMENT PUBLIC FONCIER DE NOU DEP2  148 GUAI DE LISLE 33500 LIBOURNE ET P ETABLISSEMENT PUBLIC FONCIER DE NOU DEP2  149 DE LISLE 33500 LIBOURNE ET P ETABLISSEMENT PUBLIC FONCIER DE NOU DEP2  149 DE LISLE 33500 LIBOURNE ET P ETABLISSEMENT PUBLIC FONCIER DE NOU DEP2  140 DE LISLE 33500 LIBOURNE ET P ETABLISSEMENT PUBLIC FONCIER DE NOU DEP2                                                                                                                                                 | 374 88 RTE DE SAINT EMILION 33500 LIBOURNE EURL DOMINIQUE LEYMARIE MAG1  92 BD DE GARDEROSE 33500 LIBOURNE EURL DE PELUZAC DEP2  623 27 RUE CHANZY 33500 LIBOURNE EURL DARDENNE ESTATE BUR1  717 10 AV GEORGES CLEMENCEA 33500 LIBOURNE ET P GIRONDE HABITAT OFFICE PUBLIC DE L' BUR1                                                                                                                                                                                                                                                                                                                                                                                                                                                                                                                  | 374 88 RTE DE SAINT EMILION 33500 LIBOURNE EURL DOMINIQUE LEYMARIE MAG1  92 BD DE GARDEROSE 33500 LIBOURNE EURL DE PELUZAC DEP2  623 27 RUE CHANZY 33500 LIBOURNE EURL DARDENNE ESTATE BUR1                                           
                                                                                                                                                                                                                                                                                                                                                 | 374 88 RTE DE SAINT EMILION 33500 LIBOURNE EURL DOMINIQUE LEYMARIE MAG1  92 BD DE GARDEROSE 33500 LIBOURNE EURL DE PELUZAC DEP2                                                                                                                                                                                                                                                                                                                                                                | 156 14 PL JEAN MOULIN 33500 LIBOURNE FONDS DE DOTATION PEY BERLAND BUR1  1085 12 PL JEAN MOULIN 33500 LIBOURNE EURL SOCIETE GUYONNEAU ET COMPAGNIE MAG6  117 5 RUE MICHEL MONTAIGNE 33500 LIBOURNE EURL PIERRANOVA MAG1  842 29 ALL ROBERT BOULIN 33500 LIBOURNE EURL IMMOBILIERE LIBOURNAISE MAG1                                                                                                                                                                                                                           | 278 67 RUE DU DOCTEUR NARD 33500 LIBOURNE GCS GCS CLINIQUE CHIRURGICALE DU LIBOURN DEP2  156 14 PL JEAN MOULIN 33500 LIBOURNE FONDS DE DOTATION PEY BERLAND BUR1  1085 12 PL JEAN MOULIN 33500 LIBOURNE EURL SOCIETE GUYONNEAU ET COMPAGNIE MAG6  117 5 RUE MICHEL MONTAIGNE 33500 LIBOURNE EURL PIERRANOVA MAG1  842 29 ALL ROBERT BOULIN 33500 LIBOURNE EURL IMMOBILIERE LIBOURNAISE MAG1                                                                                                                                                                                                                    | 156 14 PL JEAN MOULIN 33500 LIBOURNE GFA FRANCOIS JANOUEIX ET FILS DEP2 156 14 PL JEAN MOULIN 33500 LIBOURNE GCS GCS CLINIQUE CHIRURGICALE DU LIBOURN DEP2 1085 12 PL JEAN MOULIN 33500 LIBOURNE FONDS DE DOTATION PEY BERLAND BUR1 117 5 RUE MICHEL MONTAIGNE 33500 LIBOURNE EURL SOCIETE GUYONNEAU ET COMPAGNIE MAG6 1842 29 ALL ROBERT BOULIN 33500 LIBOURNE EURL PIERRANOVA MAG1                                                                                                                                                                                                                                             | 430 7 B RUE MAX LINDER 33500 LIBOURNE INST CCIT BORDEAUX GIRONDE ENS1 65 195 RTE DE SAINT EMILION 33500 LIBOURNE GFA GFA CHATEAU DU TAILHAS BUR1 6611 19 RUE DU PRIOURAT 33500 LIBOURNE GFA FRANCOIS JANOUEIX ET FILS DEP2 778 67 RUE DU DOCTEUR NARD 33500 LIBOURNE GCS CLINIQUE CHIRURGICALE DU LIBOURN DEP2 156 14 PL JEAN MOULIN 33500 LIBOURNE FONDS DE DOTATION PEY BERLAND BUR1 177 5 RUE MICHEL MONTAIGNE 33500 LIBOURNE EURL SOCIETE GUYONNEAU ET COMPAGNIE MAG1 189 ALL ROBERT BOULIN 33500 LIBOURNE EURL IMMOBILIERE LIBOURNAISE MAG1                                                                                                                                                                                                                                                                                                                                                                                                                                                                                                                                                                                                                                                                                                                                   | 431 7 B RUE MAX LINDER 33500 LIBOURNE INST CCIT BORDEAUX GIRONDE ENS1 430 7 B RUE MAX LINDER 33500 LIBOURNE INST CCIT BORDEAUX GIRONDE ENS1 65 195 RTE DE SAINT EMILION 33500 LIBOURNE GFA GFA CHATEAU DU TAILHAS BUR1 67 RUE DU PRIOURAT 33500 LIBOURNE GFA FRANCOIS JANOUEIX ET FILS DEP2 578 67 RUE DU DOCTEUR NARD 33500 LIBOURNE GCS GCS CLINIQUE CHIRURGICALE DU LIBOURN DEP2 580 14 PL JEAN MOULIN 33500 LIBOURNE FONDS DE DOTATION PEY BERLAND BUR1 580 117 5 RUE MICHEL MONTAIGNE 33500 LIBOURNE EURL SOCIETE GUYONNEAU ET COMPAGNIE MAG1 580 ALL ROBERT BOULIN 33500 LIBOURNE EURL PIERRANOVA MAG1                                                                                                                                                                                                                                                                                                                                                                                                                                                                                                                                                                                                                                                                                                                                                                                                                                                                                                                                                                                                                                                                                                                                                                                                                                                                                                                                                                                                                                                                                                                   | 414 9002 RUE MAX LINDER 33500 LIBOURNE INST CCIT BORDEAUX GIRONDE ENS1 431 7 B RUE MAX LINDER 33500 LIBOURNE INST CCIT BORDEAUX GIRONDE ENS1 430 7 B RUE MAX LINDER 33500 LIBOURNE INST CCIT BORDEAUX GIRONDE ENS1 65 195 RTE DE SAINT EMILION 33500 LIBOURNE INST CCIT BORDEAUX GIRONDE ENS1 67 RUE DU PRIOURAT 33500 LIBOURNE GFA GFA CHATEAU DU TAILHAS BUR1 156 14 PL JEAN MOULIN 33500 LIBOURNE GCS GCS CLINIQUE CHIRURGICALE DU LIBOURN DEP2 1085 12 PL JEAN MOULIN 33500 LIBOURNE EURL SOCIETE GUYONNEAU ET COMPAGNIE MAG6 117 5 RUE MICHEL MONTAIGNE 33500 LIBOURNE EURL SOCIETE GUYONNEAU ET COMPAGNIE MAG6 1180 RUE MICHEL MONTAIGNE 33500 LIBOURNE EURL PIERRANOVA MAG1 1180 RUE MICHEL MONTAIGNE 33500 LIBOURNE EURL SOCIETE GUYONNEAU ET COMPAGNIE MAG6 1190 RUE MICHEL MONTAIGNE 33500 LIBOURNE EURL SOCIETE GUYONNEAU ET COMPAGNIE MAG6 1190 RUE MICHEL MONTAIGNE 33500 LIBOURNE EURL SOCIETE GUYONNEAU ET COMPAGNIE MAG6                                                                                                                                                                                                                                                                                                                                                                                                                                                                                                                                                                                                                                                                                                                                                                                                                                                                                                                                                                                                                                                                                                                                                                                       | 429 7 B RUE MAX LINDER 33500 LIBOURNE INSTITUT LIBOURNAIS DE FORMATION PAR APP ENS1  428 7 B RUE MAX LINDER 33500 LIBOURNE INST CCIT BORDEAUX GIRONDE ENS1  429 202 RUE MAX LINDER 33500 LIBOURNE INST CCIT BORDEAUX GIRONDE ENS1  431 7 B RUE MAX LINDER 33500 LIBOURNE INST CCIT BORDEAUX GIRONDE ENS1  430 7 B RUE MAX LINDER 33500 LIBOURNE INST CCIT BORDEAUX GIRONDE ENS1  65 195 RTE DE SAINT EMILION 33500 LIBOURNE INST CCIT BORDEAUX GIRONDE ENS1  65 195 RUE DU PRIOURAT 33500 LIBOURNE GFA GFA CHATEAU DU TAILHAS BUR1  170 278 67 RUE DU DOCTEUR NARD 33500 LIBOURNE GFA FRANCOIS JANOUEIX ET FILS  180 PL JEAN MOULIN 33500 LIBOURNE GCS GCS CLINIQUE CHIRURGICALE DU LIBOURN DEP2  117 5 RUE MICHEL MONTAIGNE 33500 LIBOURNE EURL SOCIETE GUYONNEAU ET COMPAGNIE MAG1  MAG1  MAG1  MAG1  MAG1  MAG1                                                                                                                                                                                                                                                                                                                                                                                                                                                                                                                                                                                                                                                                                                                                                                                                                                                                                                                                                                        | 336 26 AV DU PARC DES SPORTS 33500 LIBOURNE LA JAROUSSE  429 7 B RUE MAX LINDER 33500 LIBOURNE INSTITUT LIBOURNAIS DE FORMATION PAR APP ENS1  428 7 B RUE MAX LINDER 33500 LIBOURNE INST CCIT BORDEAUX GIRONDE ENS1  431 7 B RUE MAX LINDER 33500 LIBOURNE INST CCIT BORDEAUX GIRONDE ENS1  431 7 B RUE MAX LINDER 33500 LIBOURNE INST CCIT BORDEAUX GIRONDE ENS1  430 7 B RUE MAX LINDER 33500 LIBOURNE INST CCIT
BORDEAUX GIRONDE ENS1  430 7 B RUE MAX LINDER 33500 LIBOURNE INST CCIT BORDEAUX GIRONDE ENS1  430 7 B RUE MAX LINDER 33500 LIBOURNE INST CCIT BORDEAUX GIRONDE ENS1  431 19 RUE DU PRIOURAT 33500 LIBOURNE GFA CHATEAU DU TAILHAS BUR1  430 19 RUE DU PRIOURAT 33500 LIBOURNE GFA GFA CHATEAU DU TAILHAS BUR1  431 19 RUE DU DOCTEUR NARD 33500 LIBOURNE GCS GCS CLINIQUE CHIRURGICALE DU LIBOURN DEP2  432 12 PL JEAN MOULIN 33500 LIBOURNE FONDS DE DOTATION PEY BERLAND BUR1  434 29 ALL ROBERT BOULIN 33500 LIBOURNE EURL SOCIETE GUYONNEAU ET COMPAGNIE MAG1  435 MAG1  446 117 5 RUE MICHEL MONTAIGNE 33500 LIBOURNE EURL SOCIETE GUYONNEAU ET COMPAGNIE MAG1                                                                                                                                                                                                                                                                                                                                                                                                                                                                                                                                                              | 248 78 RUE GAMBETTA 33500 LIBOURNE SCI DU 145 AV GAL DE GAULLE MAG1  45 13 RUE SAINT EXUPERY 33500 LIBOURNE SCI DU 13 RUE SAINT EXUPERY BUR1  336 26 AV DU PARC DES SPORTS 33500 LIBOURNE LA JAROUSSE  429 7 B RUE MAX LINDER 33500 LIBOURNE INSTITUT LIBOURNAIS DE FORMATION PAR APP ENS1  421 9002 RUE MAX LINDER 33500 LIBOURNE INSTICCIT BORDEAUX GIRONDE ENS1  431 7 B RUE MAX LINDER 33500 LIBOURNE INSTICCIT BORDEAUX GIRONDE BUR1  431 7 B RUE MAX LINDER 33500 LIBOURNE INSTICCIT BORDEAUX GIRONDE ENS1  430 7 B RUE MAX LINDER 33500 LIBOURNE INSTICCIT BORDEAUX GIRONDE ENS1  431 19 B RUE MAX LINDER 33500 LIBOURNE INSTICCIT BORDEAUX GIRONDE ENS1  430 7 B RUE MAX LINDER 33500 LIBOURNE GFA CHATEAU DU TAILHAS  430 7 B RUE DU PRIOURAT 33500 LIBOURNE GFA CHATEAU DU TAILHAS  431 19 RUE DU DOCTEUR NARD 33500 LIBOURNE GFA FRANCOIS JANOUEIX ET FILS  441 PL JEAN MOULIN 33500 LIBOURNE EURL SOCIETE GUYONNEAU ET COMPAGNIE MAG6  442 29 ALL ROBERT BOULIN 33500 LIBOURNE EURL SOCIETE GUYONNEAU ET COMPAGNIE MAG6  444 PL JEAN MAG1  455 RUE MAX LINDER AND AND LIBOURNE EURL SOCIETE GUYONNEAU ET COMPAGNIE MAG6  465 LIBOURNE EURL SOCIETE GUYONNEAU ET COMPAGNIE MAG6  466 PL JEAN MAG1  476 PL JEAN MOULIN 33500 LIBOURNE EURL SOCIETE GUYONNEAU ET COMPAGNIE MAG6  477 PL JEAN MAG1  488 PL JEAN MAG1  489 PL JEAN MAG1  489 PL JEAN MOULIN 33500 LIBOURNE EURL SOCIETE GUYONNEAU ET COMPAGNIE MAG6  489 PL JEAN MAG1  480 PL JEAN MAG1  480 PL JEAN MAG1  480 PL JEAN MAG1 | 845 60 RUE DES CHAIS 33500 LIBOURNE SCI DU 56 RUE DES CHAIS PAR MR LACROIX G MAG1 248 78 RUE GAMBETTA 33500 LIBOURNE SCI DU 145 AV GAL DE GAULLE MAG1 45 13 RUE SAINT EXUPERY 33500 LIBOURNE SCI DU 13 RUE SAINT EXUPERY BUR1 336 26 AV DU PARC DES SPORTS 33500 LIBOURNE LA JAROUSSE BUR2 429 7 B RUE MAX LINDER 33500 LIBOURNE INST CCIT BORDEAUX GIRONDE ENS1 441 9002 RUE MAX LINDER 33500 LIBOURNE INST CCIT BORDEAUX GIRONDE ENS1 431 7 B RUE MAX LINDER 33500 LIBOURNE INST CCIT BORDEAUX GIRONDE ENS1 430 7 B RUE MAX LINDER 33500 LIBOURNE INST CCIT BORDEAUX GIRONDE ENS1 430 7 B RUE MAX LINDER 33500 LIBOURNE INST CCIT BORDEAUX GIRONDE ENS1 430 7 B RUE MAX LINDER 33500 LIBOURNE INST CCIT BORDEAUX GIRONDE ENS1 431 7 RUE MAX LINDER 33500 LIBOURNE INST CCIT BORDEAUX GIRONDE ENS1 430 7 B RUE MAX LINDER 33500 LIBOURNE INST CCIT BORDEAUX GIRONDE ENS1 431 19 RUE DU PRIOURAT 33500 LIBOURNE INST CCIT BORDEAUX GIRONDE ENS1 432 195 RTE DE SAINT EMILION 33500 LIBOURNE GFA CHATEAU DU TAILHAS BUR1 434 195 RUE DU DOCTEUR NARD 33500 LIBOURNE GFA FRANCOIS JANOUEIX ET FILS 45 RUE DU DOCTEUR NARD 33500 LIBOURNE GCS GCS CLINIQUE CHIRURGICALE DU LIBOURN DEP2 461 17 PL JEAN MOULIN 33500 LIBOURNE EURL SOCIETE GUYONNEAU ET COMPAGNIE MAG6 47 PL JEAN MOULIN 33500 LIBOURNE EURL SOCIETE GUYONNEAU ET COMPAGNIE MAG6 4842 29 ALL ROBERT BOULIN 33500 LIBOURNE EURL IMMOBILIERE LIBOURNAISE MAG1                                                                                                                                                                                                                                                                                                                                                                                                                                                                                                                                                                                                                                                                                                      | MACH    | 232   83   RUE GAMBETTA   33500   LIBOURNE   SCI DU 38 RUE GAMBETTA   MAG1                                                                                                                                                                                                                                                                                                                                                                                                                                                                                                                                                                                                                                                                                                                                                                                                                                                                                                                                                                                                                                                                                                                                                                                                                                                                                                                                                                                                                                                                                                                                                                                                                                                                                                                                                                                                                                                                                                                                                                                                                                                     | 322   86   CRS TOURNY   33500   LIBOURNE   SCI DU 86 COURS TOURNY   BUR1                                                                                                                                                                                                                                                                                                                                                                                                                                                                                                                                                                                                                                                                                                                                                                                                                                                                                                                                                                                                                                                                                                                                                                                                                                                                                                                                                                                                                                                                                                                                                                                                                                                                                                                                                                                                                                                                                                                                                                                                                                                     | 172   9330   RUE DE BARREAU   33500   LIBOURNE   SCI DU GEOURS   MAGI                            | 17   14   RUE JULES FERRY   33500   LIBOURNE   SCI DYS   BUR1                                                                                                                                                                                                                                                                                                                                                                                                                                                                                                                                                                                                                                                                                                                                                                                                                                                                                                                                                                                                                                                                                              
                                                                                                                                                                                                                                                                                                                                                                                                                                                                                                                                                                                                                                                                                                                                                                                                                                                                                                                                                                | B44   105   AV GEORGESPOMPIDOU 33500 LIBOURNE SCI DVI   77                                                                                                                                                                                                                                                                                                                                                                                                                                                                                                                                                                                                                                                                                                                                                                                                                                                                                                                                                                                                                                                                                                                                                                                                                                                                                                                                                                                                                                                                                                                                                                                                                                                                                                                                                                                                                                                                                                                                                                                                                                                                   | S500   159   Q   AV DEL ACCOUNTY   33500   LIBOURNE   SCI EXILITATION   SURTIFICATION   SURT | SSI   28  | Part   1                                                                                                                                                                                                                                                                                                                                                                                                                                                                                                                                                                                                                                                                                                                                                                                                                                                                                                                                                                                                                                                                                                                                                                                                                                                                                                                                                                                                                                                                                                                                                                                                                                                                                                                                                                                                                                                                                                                                                                                                                                                                                                                     |                                                                                            | 2021   Mo                                                                                                                                                                                                                                                                                                                                                                                                                                                                                                                                                                                                                                                                                                                                                                                                                                                                                                                                                                                                                                                                                                                                                                                                                                                                                                                                                                                                                                                                                                                                                                                                                                                                                                                                                                                                                                                                                                                                                                                                                                                                                                                   | 2021   BE   488   33   RIVE BELLON   33500   LIBOURNE   SCI HELDE HALAY \( \tilde{\text{N}} \)   BUR1 |                                                                                                                                                                                                                                                                                                                                                                                                                                                                                                                                                                                                                                                                                                                                                                                                                                                                                                                                                                                                                                                                                                                                                                                                                                                                                                                                                                                                                                                                                                                                                                                                                                                                                                                                                                                                                                                                                                                                                                                                                                                                                                                              | 2021   CO  | 20212   CC   79   193   194   AU DE VERDIUN   33500   LIBOURNE   SQL MATO SANTE   MACE                                                                                                                                                                                                                                                                                                                                                                                                                                                                                               
                                                                                                                                                                                                                                                                                                                                                                                                                                                                                                                                                                                                                                                                                                                                                                                                                                                                                                                                                                                                                                                                                                                                                                                                                                                                                                                                                                                                                                                                                                                                      | 2021   10   10   20   27   28   AP DU GRERAL E ENANCISADO   1800-WRIE   2011-MANOCHE   40   40   40   40   40   40   40   4                                                                                                                                                                                                                                                                                                                                                                                                                                                                                                                                                                                                                                                                                                                                                                                                                                                                                                                                                                                                                                                                                                                                                                                                                                                                                                                                                                                                                                                                                                                                                                                                                                                                                                                                                                                                                                                                                                                                                                                                  | 2021   80   138   23   BD EALISEOUR   33300   IBOURNE   SCI LARRONT VALERE   BURZ                                                                                                                                                                                                                                                                                                                                                                                                                                                                                                                                                                                                                                                                                                                                                                                                                                                                                                                                                                                                                                                                                                                                                                                                                                                                                                                                                                                                                                                                                                                                                                                                                                                                                                                                                                                                                                                                                                                                                                                                                                            |
| March   Marc | BA22   2.99                                                                                                                                                                                                                                                                                                                                                                                                                                                                                                                                                                                                                                                                                                                                                                                                                                                                                                                                                                                                                                                                                                                                                                                                                                                                                                                                                                                                                                                                                                                                                                                                                                                                                                                                                                                                                                                                                                                                                                                                                                                                                                                  | BA22   2-99   ALL ROBERT BOLLINE   39300   BODJORNE   EURI FIRMOSTISSEMENT PARTIC SOCRETA RANGE ( SOCIATION SPECIA)   BORRAT                                                                                                                                                                                                                                                                                                                                                                                                                                                                                                                                                                                                                                                                                                                                                                                                                                                                                                                                                                                                                                                                                                                                                                                                                                                                                                                                                                                                                                                                                                                                                                                                                                                                                                                                                                                                                                                                                                                                                                                                 | BA22   29                                                                                   | B422   29                                                                                                                                                                                                                                                                                                                                                                                                                                                                                                                                                                                                                                                                                                                                                                                                                                                                                                                                                                                                                                                                                                                                                                                                                                                                                                                                                                                                                                                                                                                                                                                                                                                                                                                                                                                                                                                                                                                                                                                                                                                                                                                    | 932   29                                                                                                                                                                                                                                                                                                                                                                                                                                                                                                                                                                                                                                                                                                                                                                                                                                                                                                                                                                                                                                                                                                                                                                                                                                                                                                                                                                                                                                                                                                                                                                                                                                                                                                                                                                                                                                                                                                                                                                                                                                                                                                                     | BA22   293                                                                                                                                                                                                                                                                                                                                                                                                                                                                                                                                                                                                                                                                                                                                                                                                                                                                                                                                                                                                                                                                                                                                                                                                                                                                                                                                                                                                                                                                                                                                                                                                                                                                                                                                                          
                                                                                                                                                                                                                                                                                                                                                        | Sept   29                                                                                                                                                                                                                                                                                                                                                                                                                                                                                                                                                                                                                                                                                                                                                                                                                                                                                                                                                                                                                                                                                                                                                                                                                                                                                                                                                                                                                                                                                                                                                                                                                                                                                                                                                                                                                                                                                                                                                                                                                                                                                                                    | SAZE   25   SAL NOBERT DOLINN   35500   INBOURNE   EURN MANOBILERE INDURANSE   MAGA   | 293   29   ALI ROBERT BOULM   33500   IBOUINNE   EUR, RIMODIURNE EUR, RIMODIERE ILBOURNAISE   MAG4                                                                                                                                                                                                                                                                                                                                                                                                                                                                                                                                                                                                                                                                                                                                                                                                                                                                                                                                                                                                                                                                                                                                                                                                                                                                                                                                                                                                                                                                                                                                                                                                                                                                                                                                                                                                                                                                                                                                                                                                                           | 293   29   ALI ROBERT BOLUN   33500   LIBOUINNE EUR, IMMOBILERE LIBOUINNASE   MAG4                                                                                                                                                                                                                                                                                                                                                                                                                                                                                                                                                                                                                                                                                                                                                                                                                                                                                                                                                                                                                                                                                                                                                                                                                                                                                                                                                                                                                                                                                                                                                                                                                                                                                                                                                                                                                                                                                                                                                                                                                                           | 293   29   P. J. J. ALL ROBERT BOULIN   333500 LIBOURNE   EURI, IMMOBILIDER LIBOURNASE   MAG4                                                                                                                                                                                                                                                                                                                                                                                                                                                                                                                                                                                                                                                                                                                                                                                                                                                                                                                                                                                                                                                                                                                                                                                                                                                                                                                                                                                                                                                                                                                                                                                                                                                                                                                                                                                                                                                                                                                                                                                                                               | SASE   29                                                                                                                                                                                                                                                                                                                                                                                                                                                                                                                                                                                                                                                                                                                                                                                                                                                                                                                                                                                                                                                                                                                                                                                                                                                                                                                                                                                                                         
                                                                                                                                                                                                                                                                                                                                                                                                                                                                                                                                                                                                                                                                                       | 233   6                                                                                                                                                                                                                                                                                                                                                                                                                                                                                                                                                                                                                                                                                                                                                                                                                                                                                                                                                                                                                                                                                                                                                                                                                                                                                                                                                                                                                                                                                                                                                                                                                                                                                                                                                                                                                                                                                                                                                                                                                                                                                                                      | 233   6                                                                                           | BALL ROBERT BOULIN   33500   LIBOURNE   EURI IMMOBILIERE LIBOURANISE   MACA                                                                                                                                                                                                                                                                                                                                                                                                                                                                                                                                                                                                                                                                                                                                                                                                                                                                                                                                                                                                                                                                                                                                                                                                                                                                                                                                                                                                                                                                                                                                                                                                                                                                                                                                                                                                                                                                                                                                                                                                                                                  | 293                                                                               | 293   29                                                                                                                                                                                                                                                                                                                                                                                                                                                                                                                                                                                                                                                                                                                                                                                                                                                                                                                                                                                                                                                                                                                                                                                                                                                                                                                                                                                                                                                                                                                                                                                                                                                                                                                                                                                                                                                                                                                                                                                                                                                                                                                     | B42   29                                                                                                                                                                                                                                                                                                                                                                                                                                                                                                                                                                                                                                                                                                                                                                                                                                                                                                                                                                                                                                                                                                                                                                                                                                                                                                                                                                                                                                                                                                                                                                                                                                                                                                                                                                                                                                                                                                                                                                                                                                                                                                                     | 29.2   29                                                                                             | MAG4   29                                                                                         | 292   29                                                                                      | MAG4   29   ALL ROBERT BOULIN   33500   LIBOURNE   EURL IMMOBILIERE LIBOURNAISE   MAG4     9333   6 | B42   29                                                                                                                                                                                                                                                                                                                                                                                                                                                                                                                                                                        
                                                                                                                                                                                                                                                                                                                                                                                                                                                                                                                                                                                                                                                                                                                                                                                                                                                                                                                                                                                                                                                                                                                                                                                                                                                                                                                                                                                                                                                                                                                                         | B42   29                                                                                  | B42   29                                                                                                                                                                                                                                                                                                                                                                                                                                                                                                                                                                                                                                                                                                                                                                                                                                                                                                                                                                                                                                                                                                                                                                                                                                                                                                                                                                                                                                                                                                                                                                                                                                                                                                                                                                                                                                                                                                                                                                                                                                                                                                                   | 29                                                                                                                                                                                                                                                                                                                                                                                                                                                                                                                                                                                                                                                                                                                                                                                                                                                                                                                                                                                                                                                                                                                                                                                                                                                                                                                                                                                                                                                                                                                                                                                                                                                                                                                                                                                                                                                                                                                                                                                                                                                                                                                             | BA2   29   ALLROBERT BOULIN   33500   LIBOURNE   EURL IMMOBILIERE LIBOURNAISE   MA64                                                                                                                                                                                                                                                                                                                                                                                                                                                                                                                                                                                                                                                                                                                                                                                                                                                                                                                                                                                                                                                                                                                                                                                                                                                                                                                                                                                                                                                                                                                                                                                                                                                                                                                                                                                                                                                                                                                                                                                                                                          | 29   ALL ROBERT BOULIN   33500   LIBOURNE   EURL IMMOBILIERE LIBOURNAISE   MAG4                                                                                                                                                                                                                                                                                                                                                                                                                                                                                                                                                                                                                                                                                                                                                                                                                                                                                                                                                                                                                                                                                                                                                                                                                                                                                                                                                                                                                                                                                                                                                                                                                                                                                                                                                                                                                                                                                                                                                                                                                                              | 842   29   ALL ROBERT BOULIN   33500   LIBOURNE   EURL IMMOBILIERE LIBOURNAISE   MAG4                                                                                                                                                      
                                                                                                                                                                                                                                                                                                                                                                                                                                                                                                                                                                                                                                                                                                                                                                                                                                                                                                                                                                                                                                                                                                                                                                                                                                                                                                                                                                                                                                                                                                                                                                                                                                                                                                                                                                                                                                                                                 | 29   ALL ROBERT BOULIN   33500   LIBOURNE   EURL IMMOBILIERE LIBOURNAISE   MAG4                                                                                                                                                                                                                                                                                                                                                                                                                                                                                                                                                                                                                                                                                                                                                                                                                                                                                                                                                                                                                                                                                                                                                                                                                                                                                                                                                                                                                                                                                                                                                                                                                                                                                                                                                                                                                                                                                                                                                                                                                                                | 842 29 ALL ROBERT BOULIN 33500 LIBOURNE EURL IMMOBILIERE LIBOURNAISE MAG4 933 6 PL JEAN MOULIN 33500 LIBOURNE EURL FR INVESTISSEMENT DE P2 374 88 RTE DE SAINT EMILION 33500 LIBOURNE EURL DOMINIQUE LEYMARIE MAG1 92 BD DE GARDEROSE 33500 LIBOURNE EURL DOMINIQUE LEYMARIE DEP2 623 27 RUE CHANZY 33500 LIBOURNE EURL DE PELUZAC DE P2 147 16 QUAI DE LISLE 33500 LIBOURNE ET P ETABLISSEMENT PUBLIC FONCIER DE NOU DEP2 27 35 RUE ANDRE NHEVOIT 33500 LIBOURNE ET P ETABLISSEMENT PUBLIC FONCIER DE NOU MAG1 27 35 RUE ANDRE NHEVOIT 33500 LIBOURNE ET P ETABLISSEMENT PUBLIC FONCIER DE NOU MAG1 27 35 RUE ANDRE NHEVOIT 33500 LIBOURNE ET P ETABLISSEMENT PUBLIC FONCIER DE NOU MAG1 28 7 35 RUE ANDRE NHEVOIT 33500 LIBOURNE EPA MAISON D ENFANTS FRANCOIS CONSTANT HOT3 27 35 RUE ANDRE NHEVOIT 33500 LIBOURNE EPA MAISON D ENFANTS FRANCOIS CONSTANT BUR1 28 8 RUE THIERS 33500 LIBOURNE EPA MAISON D ENFANTS FRANCOIS CONSTANT ATE1 29 20 RUE THIERS 33500 LIBOURNE DEPA TEMENT DE LA GIRONDE BUR1 21 8 RUE DE TOUSSAINT 33500 LIBOURNE DEPA TEMENT DE LA GIRONDE BUR1 29 20 RUE THIERS 35500 LIBOURNE ASS UNION DEPART DE LA GIRONDE BUR1 29 20 RUE THIERS 35500 LIBOURNE DEPA TEMENT DE LA GIRONDE BUR1 20 AV DU MARECHAL FOCH 33500 LIBOURNE ASS SOCIETE SAINT VINCENT DE PAUL DEP2 20 BDE TOUSSAINT 35500 LIBOURNE BUR1 21 AV DU MARECHAL FOCH 33500 LIBOURNE ASS SOCIETE SAINT VINCENT DE PAUL DEP2 21 AV DU MARECHAL FOCH 33500 LIBOURNE ASS SOCIETE SAINT VINCENT DE PAUL SPE7                                                                                                                                                                                                                                                                                                                                                                                                                                                                                                                                                                                                                                 | 842       29       ALL ROBERT BOULIN       33500       LIBOURNE       EURL IMMOBILIERE LIBOURNAISE       MAG4         933       6       PL JEAN MOULIN       33500       LIBOURNE       EURL FR INVESTISSEMENT       DEP2         374       88       RTE DE SAINT EMILION       33500       LIBOURNE       EURL DOMINIQUE LEYMARIE       MAG1         92       80       RUE CHANZY       33500       LIBOURNE       EURL DE PELUZAC       DEP2         717       10       AV GEORGES CLEMENCEAI       33500       LIBOURNE       EURL DARDENNE ESTATE       BUR1         147       16       QUAI DE LISLE       33500       LIBOURNE       ET P GIRONDE HABITAT OFFICE PUBLIC DE L'       BUR1         147       16       QUAI DE LISLE       33500       LIBOURNE       ET P ETABLISSEMENT PUBLIC FONCIER DE NOU       DEP2         27       35       RUE ANDRE NHEVOIT       33500       LIBOURNE       ET P ETABLISSEMENT PUBLIC FONCIER DE NOU       MAG1         49       20       RUE ENANCOIS CONSTANT       33500       LIBOURNE       EPA MAISON D ENFANTS FRANCOIS CONSTANT       ME1         49       20       RUE ENANCOIS CONSTANT       33500       LIBOURNE       EPA MAISON D ENFANTS FRANCOIS CONSTANT       ATE1         49       20                                                                                                                                                                                                                                                                                                                                                                                                                                                                                                                                                                                                                                                                                                                                                                                                                                                                         | 842     29     ALL ROBERT BOULIN     33500     LIBOURNE     EURL IMMOBILIERE LIBOURNAISE     MAG4       933     6     PL JEAN MOULIN     33500     LIBOURNE     EURL FR INVESTISSEMENT     DEP2       374     88     RTE DE SAINT EMILION     33500     LIBOURNE     EURL DOMINIQUE LEYMARIE     MAG1       92     80     BD DE GARDEROSE     33500     LIBOURNE     EURL DE PELUZAC     DEP2       717     10     AV GEORGES CLEMENCEAI 33500     LIBOURNE     EURL DARDENNE ESTATE     BUR1       147     16     QUAI DE LISLE     33500     LIBOURNE     ET P GIRONDE HABITAT OFFICE PUBLIC DE L'     BUR1       147     16     QUAI DE LISLE     33500     LIBOURNE     ET P ETABLISSEMENT PUBLIC FONCIER DE NOU     DEP2       27     35     RUE ANDRE NHEVOIT     33500     LIBOURNE     ET P ETABLISSEMENT PUBLIC FONCIER DE NOU     MAG1       47     18     RUE ANDRE NHEVOIT     33500     LIBOURNE     ET P ETABLISSEMENT PUBLIC FONCIER DE NOU     MAG1       27     35     RUE ANDRE NHEVOIT     33500     LIBOURNE     EPA MAISON D ENFANTS FRANCOIS CONSTANT     BUR1       27     35     RUE ANDRE NHEVOIT     33500     LIBOURNE     EPA MAISON D ENFANTS FRANCOIS CONSTANT     ATE1       27     35     RUE AN                                                                                                                                                                                                                                                                                                                                                                                                                                                                                                                                                                                                                                                                                                                                                                                                                                                                                         
     | RACE   29   ALL ROBERT BOULIN   33500   LIBOURNE   EURL IMMOBILIERE LIBOURNAISE   MAG4                                                                                                                                                                                                                                                                                                                                                                                                                                                                                                                                                                                                                                                                                                                                                                                                                                                                                                                                                                                                                                                                                                                                                                                                                                                                                                                                                                                                                                                                                                                                                                                                                        | HACT RESIDENCE SAINT EMILION 33500 LIBOURNE EURL IMMOBILIERE LIBOURNAISE MAG4  933 6 PL JEAN MOULIN 33500 LIBOURNE EURL FR INVESTISSEMEÑT DEP2  374 88 RTE DE SAINT EMILION 33500 LIBOURNE EURL DOMINIQUE LEYMARIE MAG1  92 BD DE GARDEROSE 33500 LIBOURNE EURL DE PELUZAC DEP2  623 27 RUE CHANZY 33500 LIBOURNE EURL DARDENNE ESTATE BUR1  717 10 AV GEORGES CLEMENCEA 33500 LIBOURNE ET P GIRONDE HABITAT OFFICE PUBLIC DE L' BUR1  147 16 QUAI DE LISLE 33500 LIBOURNE ET P ETABLISSEMENT PUBLIC FONCIER DE NOU DEP2  147 16 QUAI DE LISLE 33500 LIBOURNE ET P ETABLISSEMENT PUBLIC FONCIER DE NOU DEP2  147 16 QUAI DE LISLE 33500 LIBOURNE ET P ETABLISSEMENT PUBLIC FONCIER DE NOU DEP2  147 18 RUE ANDRE NHEVOIT 33500 LIBOURNE ET P ETABLISSEMENT PUBLIC FONCIER DE NOU MAG1  ET P ETABLISSEMENT PUBLIC FONCIER DE NOU MAG1  ET P ETABLISSEMENT PUBLIC FONCIER DE NOU MAG1  BUR1  BUR1 | 842 29 ALL ROBERT BOULIN 33500 LIBOURNE EURL IMMOBILIERE LIBOURNAISE MAG4 933 6 PL JEAN MOULIN 33500 LIBOURNE EURL FR INVESTISSEMENT DEP2 374 88 RTE DE SAINT EMILION 33500 LIBOURNE EURL DOMINIQUE LEYMARIE MAG1 92 BD DE GARDEROSE 33500 LIBOURNE EURL DOMINIQUE LEYMARIE DEP2 92 RUE CHANZY 33500 LIBOURNE EURL DARDENNE ESTATE BUR1 717 10 AV GEORGES CLEMENCEAI 33500 LIBOURNE ET P GIRONDE HABITAT OFFICE PUBLIC DE L' BUR1 94 16 QUAI DE L ISLE 33500 LIBOURNE ET P ETABLISSEMENT PUBLIC FONCIER DE NOU DEP2 95 147 16 QUAI DE L ISLE 33500 LIBOURNE ET P ETABLISSEMENT PUBLIC FONCIER DE NOU MAG1 96 PA MAISON D ENFANTS FRANCOIS CONSTANT HOT3                                                                                                                                                                                                                                                                                                                                                                                        | 842 29 ALL ROBERT BOULIN 33500 LIBOURNE EURL IMMOBILIERE LIBOURNAISE MAG4 933 6 PL JEAN MOULIN 33500 LIBOURNE EURL FR INVESTISSEMEÑT DEP2 374 88 RTE DE SAINT EMILION 33500 LIBOURNE EURL DOMINIQUE LEYMARIE MAG1 92 BD DE GARDEROSE 33500 LIBOURNE EURL DE PELUZAC DEP2 623 27 RUE CHANZY 33500 LIBOURNE EURL DARDENNE ESTATE BURT OFFICE PUBLIC DE L' BUR1 717 10 AV GEORGES CLEMENCEA 33500 LIBOURNE ET P GIRONDE HABITAT OFFICE PUBLIC FONCIER DE NOU DEP2 147 16 QUAI DE LISLE 33500 LIBOURNE ET P ETABLISSEMENT PUBLIC FONCIER DE NOU DEP2                                                                                                                                                                                                                             | 842     29     ALL ROBERT BOULIN     33500     LIBOURNE     EURL IMMOBILIERE LIBOURNAISE     MAG4       933     6     PL JEAN MOULIN     33500     LIBOURNE     EURL FR INVESTISSEMENT     DEP2       374     88     RTE DE SAINT EMILION     33500     LIBOURNE     EURL DOMINIQUE LEYMARIE     MAG1       92     BD DE GARDEROSE     33500     LIBOURNE     EURL DE PELUZAC     DEP2       623     27     RUE CHANZY     33500     LIBOURNE     EURL DARDENNE ESTATE     BUR1       717     10     AV GEORGES CLEMENCEA     33500     LIBOURNE     ET P GIRONDE HABITAT OFFICE PUBLIC DE L'     BUR1                                                                                                                                                                                                 | 842     29     ALL ROBERT BOULIN     33500     LIBOURNE     EURL IMMOBILIERE LIBOURNAISE     MAG4       933     6     PL JEAN MOULIN     33500     LIBOURNE     EURL FR INVESTISSEMEÑT     DEP2       374     88     RTE DE SAINT EMILION     33500     LIBOURNE     EURL DOMINIQUE LEYMARIE     MAG1       92     BD DE GARDEROSE     33500     LIBOURNE     EURL DE PELUZAC     DEP2       623     27     RUE CHANZY     33500     LIBOURNE     EURL DARDENNE ESTATE     BUR1                                                                                                         | 842     29     ALL ROBERT BOULIN     33500     LIBOURNE     EURL IMMOBILIERE LIBOURNAISE     MAG4       933     6     PL JEAN MOULIN     33500     LIBOURNE     EURL FR INVESTISSEMEÑT     DEP2       374     88     RTE DE SAINT EMILION     33500     LIBOURNE     EURL DOMINIQUE LEYMARIE     MAG1       92     BD DE GARDEROSE     33500     LIBOURNE     EURL DE PELUZAC     DEP2                                                                                                         | 156 14 PL JEAN MOULIN 33500 LIBOURNE FONDS DE DOTATION PEY BERLAND BUR1  1085 12 PL JEAN MOULIN 33500 LIBOURNE EURL SOCIETE GUYONNEAU ET COMPAGNIE MAG6  117 5 RUE MICHEL MONTAIGNE 33500 LIBOURNE EURL PIERRANOVA MAG1                                                                                                                                                                                                                                                                                                      | 278 67 RUE DU DOCTEUR NARD 33500 LIBOURNE GCS GCS CLINIQUE CHIRURGICALE DU LIBOURN DEP2  156 14 PL JEAN MOULIN 33500 LIBOURNE FONDS DE DOTATION PEY BERLAND BUR1  1085 12 PL JEAN MOULIN 33500 LIBOURNE EURL SOCIETE GUYONNEAU ET COMPAGNIE MAG6  117 5 RUE MICHEL MONTAIGNE 33500 LIBOURNE EURL PIERRANOVA MAG1                                                                                                                                                                                                                                                                                               | 10 611 19 RUE DU PRIOURAT 33500 LIBOURNE GFA FRANCOIS JANOUEIX ET FILS DEP2  278 67 RUE DU DOCTEUR NARD 33500 LIBOURNE GCS GCS CLINIQUE CHIRURGICALE DU LIBOURN DEP2  156 14 PL JEAN MOULIN 33500 LIBOURNE FONDS DE DOTATION PEY BERLAND BUR1  1085 12 PL JEAN MOULIN 33500 LIBOURNE EURL SOCIETE GUYONNEAU ET COMPAGNIE MAGG  117 5 RUE MICHEL MONTAIGNE 33500 LIBOURNE EURL PIERRANOVA MAG1                                                                                                                                                                                                                                    | 430 7 B RUE MAX LINDER 33500 LIBOURNE INST CCIT BORDEAUX GIRONDE ENS1  65 195 RTE DE SAINT EMILION 33500 LIBOURNE GFA GFA CHATEAU DU TAILHAS BUR1  611 19 RUE DU PRIOURAT 33500 LIBOURNE GFA FRANCOIS JANOUEIX ET FILS DEP2  278 67 RUE DU DOCTEUR NARD 33500 LIBOURNE GCS GCS CLINIQUE CHIRURGICALE DU LIBOURN DEP2  156 14 PL JEAN MOULIN 33500 LIBOURNE FONDS DE DOTATION PEY BERLAND BUR1  1085 12 PL JEAN MOULIN 33500 LIBOURNE EURL SOCIETE GUYONNEAU ET COMPAGNIE MAGG  117 5 RUE MICHEL MONTAIGNE 33500 LIBOURNE EURL SOCIETE GUYONNEAU ET COMPAGNIE MAGG                                                                                                                                                                                                                                                                                                                                                                                                                                                                                                                                                                                                                                                                                                                  | 431 7 B RUE MAX LINDER 33500 LIBOURNE INST CCIT BORDEAUX GIRONDE ENS1 430 7 B RUE MAX LINDER 33500 LIBOURNE INST CCIT BORDEAUX GIRONDE ENS1 65 195 195 RTE DE SAINT EMILION 33500 LIBOURNE GFA GFA CHATEAU DU TAILHAS BUR1 67 RUE DU PRIOURAT 33500 LIBOURNE GFA FRANCOIS JANOUEIX ET FILS 5 PL JEAN MOULIN 33500 LIBOURNE GCS CC CLINIQUE CHIRURGICALE DU LIBOURN BUR1 1085 12 PL JEAN MOULIN 33500 LIBOURNE FONDS DE DOTATION PEY BERLAND BUR1 117 S RUE MICHEL MONTAIGNE 33500 LIBOURNE EURL SOCIETE GUYONNEAU ET COMPAGNIE MAGG                                                                                                                                                                                                                                                                                                                                                                                                                                       
                                                                                                                                                                                                                                                                                                                                                                                                                                                                                                                                                                                                                                                                                                                                                                                                                                                                                                                                                                                                                                                                                                                                                    | 414 9002 RUE MAX LINDER 33500 LIBOURNE INST CCIT BORDEAUX GIRONDE BUR1 431 7 B RUE MAX LINDER 33500 LIBOURNE INST CCIT BORDEAUX GIRONDE ENS1 430 7 B RUE MAX LINDER 33500 LIBOURNE INST CCIT BORDEAUX GIRONDE ENS1 430 7 B RUE MAX LINDER 33500 LIBOURNE INST CCIT BORDEAUX GIRONDE ENS1 430 7 B RUE MAX LINDER 33500 LIBOURNE INST CCIT BORDEAUX GIRONDE ENS1 430 7 B RUE MAX LINDER 33500 LIBOURNE GFA CHATEAU DU TAILHAS BUR1 430 87 RUE DU PRIOURAT 33500 LIBOURNE GFA FRANCOIS JANOUEIX ET FILS 431 19 RUE DU DOCTEUR NARD 33500 LIBOURNE GCS GCS CLINIQUE CHIRURGICALE DU LIBOURN DEP2 432 1085 12 PL JEAN MOULIN 33500 LIBOURNE FONDS DE DOTATION PEY BERLAND BUR1 434 1086 MAG1                                                                                                                                                                                                                                                                                                                                                                                                                                                                                                                                                                                                                                                                                                                                                                                                                                                                                                                                                                                                                                                                                                                                                                                                                                                                                                                                                                                                                                        | 429 7 B RUE MAX LINDER 33500 LIBOURNE INSTITUT LIBOURNAIS DE FORMATION PAR APP ENS1  428 7 B RUE MAX LINDER 33500 LIBOURNE INST CCIT BORDEAUX GIRONDE ENS1  428 7 B RUE MAX LINDER 33500 LIBOURNE INST CCIT BORDEAUX GIRONDE BUR1  431 7 B RUE MAX LINDER 33500 LIBOURNE INST CCIT BORDEAUX GIRONDE ENS1  431 7 B RUE MAX LINDER 33500 LIBOURNE INST CCIT BORDEAUX GIRONDE ENS1  432 7 B RUE MAX LINDER 33500 LIBOURNE INST CCIT BORDEAUX GIRONDE ENS1  434 7 B RUE MAX LINDER 33500 LIBOURNE INST CCIT BORDEAUX GIRONDE ENS1  435 195 RUE DU PRIOURAT 33500 LIBOURNE GFA GFA CHATEAU DU TAILHAS BUR1  436 7 RUE DU PRIOURAT 33500 LIBOURNE GFA FRANCOIS JANOUEIX ET FILS  437 8 FA CHATEAU DU TAILHAS DEP2  438 67 RUE DU DOCTEUR NARD 33500 LIBOURNE GCS CLINIQUE CHIRURGICALE DU LIBOURN DEP2  439 1085 12 PL JEAN MOULIN 33500 LIBOURNE EURL SOCIETE GUYONNEAU ET COMPAGNIE MAG6  440 117 5 RUE MICHEL MONTAIGNE 33500 LIBOURNE EURL SOCIETE GUYONNEAU ET COMPAGNIE MAG6                                                                                                                                                                                                                                                                                                                                                                                                                                                                                                                                                                                                                                                                                                                                                                                                              | 336 26 AVDU PARC DES SPORTS 3500 LIBOURNE LA JAROUSSE 429 7 B RUE MAX LINDER 3500 LIBOURNE INSTITUT LIBOURNAIS DE FORMATION PAR APP ENS1 428 7 B RUE MAX LINDER 3500 LIBOURNE INST CCIT BORDEAUX GIRONDE ENS1 431 7 B RUE MAX LINDER 33500 LIBOURNE INST CCIT BORDEAUX GIRONDE ENS1 430 7 B RUE MAX LINDER 33500 LIBOURNE INST CCIT BORDEAUX GIRONDE ENS1 430 7 B RUE MAX LINDER 33500 LIBOURNE INST CCIT BORDEAUX GIRONDE ENS1 430 7 B RUE MAX LINDER 33500 LIBOURNE INST CCIT BORDEAUX GIRONDE ENS1 430 7 B RUE MAX LINDER 33500 LIBOURNE INST CCIT BORDEAUX GIRONDE ENS1 430 7 B RUE MAX LINDER 33500 LIBOURNE GFA CHATEAU DU TAILHAS 430 7 B RUE DU PRIOURAT 33500 LIBOURNE GFA CHATEAU DU TAILHAS 430 87 RUE DU PRIOURAT 33500 LIBOURNE GFA FRANCOIS JANOUEIX ET FILS 431 19 RUE DU DOCTEUR NARD 33500 LIBOURNE GCS GCS CLINIQUE CHIRURGICALE DU LIBOURN DEP2 445 12 PL JEAN MOULIN 33500 LIBOURNE EURL SOCIETE GUYONNEAU ET COMPAGNIE MAG6 446 MAG1                                                                                                                                                                                                                                                                                                                                                                                                                                                                                                                                                                                                                                                                                           | 248 78 RUE GAMBETTA 33500 LIBOURNE SCI DU 145 AV GAL DE GAULLE MAG1  45 13 RUE SAINT EXUPERY 33500 LIBOURNE SCI DU 13 RUE SAINT EXUPERY BUR1  336 26 AV DU PARC DES SPORTS 33500 LIBOURNE LA JAROUSSE  429 7 B RUE MAX LINDER 33500 LIBOURNE INSTITUT LIBOURNAIS DE FORMATION PAR APP ENS1  428 7 B RUE MAX LINDER 33500 LIBOURNE INSTITUT LIBOURNAIS DE FORMATION PAR APP ENS1  431 7 B RUE MAX LINDER 33500 LIBOURNE INST CCIT BORDEAUX GIRONDE ENS1  431 7 B RUE MAX LINDER 33500 LIBOURNE INST CCIT BORDEAUX GIRONDE ENS1  430 7 B RUE MAX LINDER 33500 LIBOURNE INST CCIT BORDEAUX GIRONDE ENS1  430 7 B RUE MAX LINDER 33500 LIBOURNE INST CCIT BORDEAUX GIRONDE ENS1  431 19 RUE MAX LINDER 33500 LIBOURNE GFA GHATEAU DU TAILHAS  5 RUE DU PRIOURAT 33500 LIBOURNE GFA FRANCOIS JANOUEIX ET FILS  5 RUE DU PRIOURAT 33500 LIBOURNE GGS GCS CLINIQUE CHRURGICALE DU LIBOURN DEP2  117 5 RUE DU PRIOUR 33500 LIBOURNE FONDS DE DOTATION PEY BERLAND BUR1  MAG1  MAG1  MAG1  MAG1  MAG1  MAG1  MAG1  MAG1                                                                                                                                                                                                                                                                                                                                                                                                                                                                                     | 248 60 RUE DES CHAIS 33500 LIBOURNE SCI DU 56 RUE DES CHAIS PAR MR LACROIX G MAG1  248 78 RUE GAMBETTA 33500 LIBOURNE SCI DU 145 AV GAL DE GAULLE MAG1  45 13 RUE SAINT EXUPERY 33500 LIBOURNE SCI DU 13 RUE SAINT EXUPERY BUR1  336 26 AV DU PARC DES SPORTS 33500 LIBOURNE LA JAROUSSE BUR2  429 7 B RUE MAX LINDER 33500 LIBOURNE INSTITUT LIBOURNAIS DE FORMATION PAR APP ENS1  414 9002 RUE MAX LINDER 33500 LIBOURNE INST CCIT BORDEAUX GIRONDE ENS1  431 7 B RUE MAX LINDER 33500 LIBOURNE INST CCIT BORDEAUX GIRONDE ENS1  430 7 B RUE MAX LINDER 33500 LIBOURNE INST CCIT BORDEAUX GIRONDE ENS1  431 7 B RUE MAX LINDER 33500 LIBOURNE INST CCIT BORDEAUX GIRONDE ENS1  430 7 B RUE MAX LINDER 33500 LIBOURNE INST CCIT BORDEAUX GIRONDE ENS1  451 195 RTE DE SAINT EMILION 33500 LIBOURNE GFA GFA CHATEAU DU TAILHAS  578 67 RUE DU DOCTEUR NARD 33500 LIBOURNE GGS CLINIQUE CHIRURGICALE DU LIBOURN DEP2  1085 12 PLIEAN MOULIN 33500 LIBOURNE EURL SOCIETE GUYONNEAU ET COMPAGNIE MAG6  117 5 RUE MICHEL MONTAIGNE 33500 LIBOURNE EURL SOCIETE GUYONNEAU ET COMPAGNIE MAG6                                                                                                                                                                                                                                                                                                                                                                                                                                                                                                                                                                                                                                                                                                                                                                                                                                                                                                                                                                                                                                       |                                   
                                                                                                                                                                                                                                                                                                                                                                                                                                                                                                                                                                                                                                                                                                                                                                                                                                                                                                                                                                                                                                                                                                                                                                                                                                                                                                                                                                                                                                                                                                                                                                                                                                                                                                                                                                                                                                                                                                                                                                                                                                                                                          | 232   83   RUE GAMBETTA   33500   LIBOURNE   SCI DU 83 RUE GAMBETTA   SUR                                                                                                                                                                                                                                                                                                                                                                                                                                                                                                                                                                                                                                                                                                                                                                                                                                                                                                                                                                                                                                                                                                                                                                                                                                                                                                                                                                                                                                                                                                                                                                                                                                                                                                                                                                                                                                                                                                                                                                                                                                                      | 322   86   CRS TOURNY   33500   LIBOURNE   SCI DU 86 COURS TOURNY   BUR1                                                                                                                                                                                                                                                                                                                                                                                                                                                                                                                                                                                                                                                                                                                                                                                                                                                                                                                                                                                                                                                                                                                                                                                                                                                                                                                                                                                                                                                                                                                                                                                                                                                                                                                                                                                                                                                                                                                                                                                                                                                     | 172   9030                                                                                       | 14   RUE JULES FERRY   33500   LIBOURNE   SCI DVS   BUR1     397   61   RUE DE MONTAUDON   33500   LIBOURNE   SCI DUTOYA   BUR2     172   9030   RUE DE BARREAU   33500   LIBOURNE   SCI DUTOYA   BUR2     172   9030   RUE DE BARREAU   33500   LIBOURNE   SCI DU GLEMINI DE BARREAU   MAG2     172   86   CRS TOURNY   33500   LIBOURNE   SCI DU GLEMINI DE BARREAU   MAG2     172   83   RUE GAMBETTA   33500   LIBOURNE   SCI DU 36 RUE DES CHAIS PAR MR LACROIX G   MAG1     1844   58   RUE DES CHAIS   33500   LIBOURNE   SCI DU 56 RUE DES CHAIS PAR MR LACROIX G   MAG1     1845   60   RUE DES CHAIS   33500   LIBOURNE   SCI DU 56 RUE DES CHAIS PAR MR LACROIX G   MAG1     1846   78   RUE GAMBETTA   33500   LIBOURNE   SCI DU 156 RUE DES CHAIS PAR MR LACROIX G   MAG1     1846   78   RUE MAX LINDER   33500   LIBOURNE   SCI DU 156 RUE DES CHAIS PAR MR LACROIX G   MAG1     1840   70   B RUE MAX LINDER   33500   LIBOURNE   SCI DU 156 RUE DES CHAIS PAR MR LACROIX G   MAG1     1840   70   B RUE MAX LINDER   33500   LIBOURNE   SCI DU 156 RUE DES CHAIS PAR MR LACROIX G   MAG1     1851   70   B RUE MAX LINDER   33500   LIBOURNE   INSTITUT LIBOURNUS DE FORMATION PAR APP   ENS1     1851   70   B RUE MAX LINDER   33500   LIBOURNE   INSTITUT LIBOURNUS GIRONDE   ENS1     1851   70   B RUE MAX LINDER   33500   LIBOURNE   INSTITUT LIBOURNUS GIRONDE   ENS1     1851   70   B RUE MAX LINDER   33500   LIBOURNE   INSTITUT LIBOURNUS GIRONDE   ENS1     1851   70   B RUE DU DOCTEUR NARD   33500   LIBOURNE   INSTITUT LIBOURNUS GIRONDE   ENS1     1851   70   RUE DU DOCTEUR NARD   33500   LIBOURNE   GFA FRANCOIS JANOUEIX ET FILS     1861   70   RUE DU DOCTEUR NARD   33500   LIBOURNE   GFA FRANCOIS JANOUEIX ET FILS     1862   70   PLIEAN MOULIN   33500   LIBOURNE   EURL SCIDET GUYONNEAU ET COMPAGNIE   MAG1     1085   71   PLIEAN MOULIN   33500   LIBOURNE   EURL SCIDET GUYONNEAU ET COMPAGNIE   MAG1     1085   71   PLIEAN MOULIN   33500   LIBOURNE   EURL SCIDET GUYONNEAU ET COMPAGNIE   MAG1     1085   71   PLIEAN MOULIN   MAG1   MAG1     1085   71   PLIEAN | B44   105   AV GEDRGES'POMPIDOU 33500 LIBOURNE SCI DYN   397   61   RUE DIE MONTAUDON 33500 LIBOURNE SCI DYN   172   9030   RUE DE MONTAUDON 33500 LIBOURNE SCI DYN   3222   86   CRS TOURNY 33500 LIBOURNE SCI DU CHEMIN DE BARREAU MAG2     3232   83   RUE DES CHAIS 33500 LIBOURNE SCI DU GHEMIN DE BARREAU BUR1     844   60   RUE DES CHAIS 33500 LIBOURNE SCI DU 86 COURS TOURNY BUR1     845   60   RUE DES CHAIS 33500 LIBOURNE SCI DU 56 RUE DES CHAIS PAR MR LACROIX G MAG1     845   60   RUE DES CHAIS 33500 LIBOURNE SCI DU 56 RUE DES CHAIS PAR MR LACROIX G MAG1     845   60   RUE DES CHAIS 33500 LIBOURNE SCI DU 56 RUE DES CHAIS PAR MR LACROIX G MAG1     845   13   RUE SANTI EXUPERY 33500 LIBOURNE SCI DU 13 RUE SAINT EXUPERY BUR1     428   7   B RUE MAX LINDER 33500 LIBOURNE SCI DU 13 RUE SAINT EXUPERY BUR2     429   7   B RUE MAX LINDER 33500 LIBOURNE SCI DU 13 RUE SAINT EXUPERY BUR2     430   7   B RUE MAX LINDER 33500 LIBOURNE SCI DU 13 RUE SAINT EXUPERY BUR2     431   70   B RUE MAX LINDER 33500 LIBOURNE SCI DU 13 RUE SAINT EXUPERY BUR2     430   7   B RUE MAX LINDER 33500 LIBOURNE SCI DU 13 RUE SAINT EXUPERY BUR2     431   70   B RUE MAX LINDER 33500 LIBOURNE SCI DU 13 RUE SAINT EXUPERY BUR2     431   70   B RUE MAX LINDER 33500 LIBOURNE SCI DU 13 RUE SAINT EXUPERY BUR2     431   70   B RUE MAX LINDER 33500 LIBOURNE SCI DU 13 RUE SAINT EXUPERY BUR2     431   70   B RUE MAX LINDER 33500 LIBOURNE SCI DU 13 RUE SAINT EXUPERY BUR2     431   70   B RUE MAX LINDER 33500 LIBOURNE SCI DU 13 RUE SAINT EXUPERY BUR2     431   70   B RUE MAX LINDER 33500 LIBOURNE SCI DU 13 RUE SAINT EXUPERY BUR2     431   70   B RUE MAX LINDER 33500 LIBOURNE SCI DORDEAUX GIRONDE SCI DORDEAU | S500                                                    
                                                                                                                                                                                                                                                                                                                                                                                                                                                                                                                                                                                                                                                                                                                                                                                                                                                                                                                                                                                                                                                                                                                                                                                                                                                                                                                                                                                                                                                                                                                                                                                                                                                                                                                                                                                                                                                                                                                                                                                                                                                                    | 217   21  | Part                                                                                                                                                                                                                                                                                                                                                                                                                                                                                                                                                                                                                                                                                                                                                                                                                                                                                                                                                                                                                                                                                                                                                                                                                                                                                                                                                                                                                                                                                                                                                                                                                                                                                                                                                                                                                                                                                                                                                                                                                                                                                                                         |                                                                                            | 2021   Mo                                                                                                                                                                                                                                                                                                                                                                                                                                                                                                                                                                                                                                                                                                                                                                                                                                                                                                                                                                                                                                                                                                                                                                                                                                                                                                                                                                                                                                                                                                                                                                                                                                                                                                                                                                                                                                                                                                                                                                                                                                                                                                                   | 2021 BE   488   33   RILE BRILLON   33500   LIBOURNE   SCHIELENE HALAY N°.   BUR1                     |                                                                                                                                                                                                                                                                                                                                                                                                                                                                                                                                                                                                                                                                                                                                                                                                                                                                                                                                                                                                                                                                                                                                                                                                                                                                                                                                                                                                                                                                                                                                                                                                                                                                                                                                                                                                                                                                                                                                                                                                                                                                                                                              | 2021   CO  | 20212   CK   79   193   194   MADE WERDINN   203500   LIBOURNE   SCI MET ATOMERY   MACE                                                                                                                                                                                                                                                                                                                                                                                                                                                                                                                                                                                                                                                                                                                                                                                                                                                                                                                                                                                                                                                                                                                                                                                                                                                                                                                                                                                                                                                                                                                                                                                                                        
                                                                                                                                                                                                                                                                                                                                                                                                            | 20212   91   96   73   AV DU GRIPAN LES ACQUIRNES   20 LONNINE   20  | 2021   BD   138   23   BD EALISEOUR   SOCIUMENT   SCILLARISMY VALERIE   BURZ                                                                                                                                                                                                                                                                                                                                                                                                                                                                                                                                                                                                                                                                                                                                                                                                                                                                                                                                                                                                                                                                                                                                                                                                                                                                                                                                                                                                                                                                                                                                                                                                                                                                                                                                                                                                                                                                                                                                                                                                                                                 |
|                                                                                                                                                                                                                                                                                                                                                                                                                                                                                                                                                                                                                                                                                                                                                                                                                                                                                                                                                                                                                                                                                                                                                                                                                                                                                                                                                                                                                                                                                                                                                                                                                                                                                                                                                                                                                                                                                                                                                                                                                                                                                                                              | MACH                                                                                                                                                                                                                                                                                                                                                                                                                                                                                                                                                                                                                                                                                                                                                                                                                                                                                                                                                                                                                                                                                                                                                                                                                                                                                                                                                                                                                                                                                                                                                                                                                                                                                                                                                                                                                                                                                                                                                                                                                                                                                                                         |                                                                                                                                                                                                                                                                                                                                                                                                                                                                                                                                                                                                                                                                                                                                                                                                                                                                                                                                                                                                                                                                                                                                                                                                                                                                                                                                                                                                                                                                                                                                                                                                                                                                                                                                                                                                                                                                                                                                                                                                                                                                                                                              | BA22   259   ALL HORSETS BOULN   33500   LIBOURNE   EURI, IMMOSIBLER INDUMANSE   MAGS       | Sect.   253                                                                                                                                                                                                                                                                                                                                                                                                                                                                                                                                                                                                                                                                                                                                                                                                                                                                                                                                                                                                                                                                                                                                                                                                                                                                                                                                                                                                                                                                                                                                                                                                                                                                                                                                                                                                                                                                                                                                                                                                                                                                                                                  | BAZZ   255   ALL ROBERT BOLALIN   \$15500   LIDOUJNIN   ELIJA INMOBILESE ELIJOHANDISE   MAGEL                                                                                                                                                                                                                                                                                                                                                                                                                                                                                                                                                                                                                                                                                                                                                                                                                                                                                                                                                                                                                                                                                                                                                                                                                                                                                                                                                                                                                                                                                                                                                                                                                                                                                      
                                                                                                                                                                                                                                                                                                                                         | BAZZ   29                                                                                                                                                                                                                                                                                                                                                                                                                                                                                                                                                                                                                                                                                                                                                                                                                                                                                                                                                                                                                                                                                                                                                                                                                                                                                                                                                                                                                                                                                                                                                                                                                                                                                                                                                                                                                                                                                                                                                                                                                                                                                                                    | MACE   293   ALL LOGIST FOULTM   33500   INBUJUNE   EUR LIMMODIBLIER LIBOURMANSE   MACE                                                                                                                                                                                                                                                                                                                                                                                                                                                                                                                                                                                                                                                                                                                                                                                                                                                                                                                                                                                                                                                                                                                                                                                                                                                                                                                                                                                                                                                                                                                                                                                                                                                                                                                                                                                                                                                                                                                                                                                                                                      | MACI   293   ALL LOGRET ROLLIN   33500   IBRUJUNE   EURL IMMODELIER LIBOURMANE   MACI | MAIL CORDET COLUM   35500   LIBOUINE   ELIMINADQUILEE LIBOUINANSE HADOS   MAIL CONTINUANSE   MAIL CONTINUA | 222   225   225   227   226   ALL RODERT BOULIN   33500   LIBOUJANE ELER LIMMOSBIERE LIBOURANASE   MAGA!                                                                                                                                                                                                                                                                                                                                                                                                                                                                                                                                                                                                                                                                                                                                                                                                                                                                                                                                                                                                                                                                                                                                                                                                                                                                                                                                                                                                                                                                                                                                                                                                                                                                                                                                                                                                                                                                                                                                                                                                                     | 202   25   ALL RODERT BOUIN   33500   LIBOUINNE ELIR HAMOBIERE LIBOURNAISE   MAGI                                                                                                                                                                                                                                                                                                                                                                                                                                                                                                                                                                                                                                                                                                                                                                                                                                                                                                                                                                                                                                                                                                                                                                                                                                                                                                                                                                                                                                                                                                                                                                                                                                                                                                                                                                                                                                                                                                                                                                                                                                           | 232   23                                                                                                                                                                                                                                                                                                                                                                                                                                                                                                                                                                                                                                                                                                                                                                                                                                                                                                                                                                                                                                                                                                                                                                                                                                                                                                                            
                                                                                                                                                                                                                                                                                                                                                                                                                                                                                                                                                                                                                                                                                                                                                                                     | 232   23   ALI ROBERT BOJUIN   33500   LIBOUINNE   EURI MANDRILIERE LIBOURRAISE   MAGI                                                                                                                                                                                                                                                                                                                                                                                                                                                                                                                                                                                                                                                                                                                                                                                                                                                                                                                                                                                                                                                                                                                                                                                                                                                                                                                                                                                                                                                                                                                                                                                                                                                                                                                                                                                                                                                                                                                                                                                                                                       | SA12   29   ALL ROSERT BOLUIN   33500 LIBOURNE ELIRI RIMONBILIERE LIBOURNAISE   MAGI              | SATZ   23   ALL ROSERT BOULIN   33500   LIBOURNE   EURI, IMMOBILERE LIBOURNAISE   MAGI                                                                                                                                                                                                                                                                                                                                                                                                                                                                                                                                                                                                                                                                                                                                                                                                                                                                                                                                                                                                                                                                                                                                                                                                                                                                                                                                                                                                                                                                                                                                                                                                                                                                                                                                                                                                                                                                                                                                                                                                                                       | BAIZ   29                                                                         | 232   23                                                                                                                                                                                                                                                                                                                                                                                                                                                                                                                                                                                                                                                                                                                                                                                                                                                                                                                                                                                                                                                                                                                                                                                                                                                                                                                                                                                                                                                                                                                                                                                                                                                                                                                                                                                                                                                                                                                                                                                                                                                                                                                     | 232   235   ALL ROSERT BOLUIN   33500   LIBOURNE   EURL IMMODILIERE LIBOURNAISE   MAG1     933                                                                                                                                                                                                                                                                                                                                                                                                                                                                                                                                                                                                                                                                                                                                                                                                                                                                                                                                                                                                                                                                                                                                                                                                                                                                                                                                                                                                                                                                                                                                                                                                                                                                                                                                                                                                                                                                                                                                                                                                                               | 942   29   ALL ROBERT BOULIN   33500   LIBOURNE   EURI IMMOBILERE LIBOURRAISE   MAG1     933   6      | 842   29                                                                                          | 292   ALL ROBERT BOULIN   33500   LIBOURNE   EURL IMMOBILIERE LIBOURNAISE   MAG1     933   25 | 29   ALL ROBERT BOULIN   33500 LIBOURNE   EURL IMMOBILIERE LIBOURNAISE   MAG1                       | MAG1   MAG2   MAG1   MAG3   MAG4   MAG4 | MAC1   MAC2   MALL ROBERT BOULIN   33500   LIBOURNE   EURL IMMOBILIERE LIBOURNAISE   MAC4 | 842   29   ALL ROBERT BOULIN   33500   LIBOURNE   EURL IMMOBILIERE LIBOURNAISE   MAG1                                                                                                                                                                                                                                                       
                                                                                                                                                                                                                                                                                                                                                                                                                                                                                                                                                                                                                                                                                                                                                                                                                                                                                                                                                                                                                                                                                                                                                                                                                                                                                                                                                                                                                                                                                                                                                                                                                                                                                                                                                                              | S42   29   ALL ROBERT BOULIN   33500   LIBOURNE   EURL IMMOBILIERE LIBOURNAISE   MAG1                                                                                                                                                                                                                                                                                                                                                                                                                                                                                                                                                                                                                                                                                                                                                                                                                                                                                                                                                                                                                                                                                                                                                                                                                                                                                                                                                                                                                                                                                                                                                                                                                                                                                                                                                                                                                                                                                                                                                                                                                                          | 842 29 ALL ROBERT BOULIN 33500 LIBOURNE EURL IMMOBILIERE LIBOURNAISE MAG1 842 29 ALL ROBERT BOULIN 33500 LIBOURNE EURL IMMOBILIERE LIBOURNAISE MAG4 933 6 PL EAN MOULIN 33500 LIBOURNE EURL IMMOBILIERE LIBOURNAISE MAG4 933 6 RTE DE SAINT EMILION 33500 LIBOURNE EURL MANDENIERE LIBOURNAISE MAG4 92 BD DE GARDEROSE 33500 LIBOURNE EURL DARDENNE ESTATE 92 BD DE GARDEROSE 33500 LIBOURNE EURL DARDENNE ESTATE 92 BD DE GARDEROSE 33500 LIBOURNE ET P ETABLISSEMENT FORHICE PUBLIC FONCIER DE NOU 147 16 QUAI DE LISLE 33500 LIBOURNE ET P ETABLISSEMENT PUBLIC FONCIER DE NOU 147 18 RUE ANDRE NHEVOIT 33500 LIBOURNE ET P ETABLISSEMENT PUBLIC FONCIER DE NOU 149 18 RUE FRANCOIS CONSTANT 33500 LIBOURNE ET PABLISSEMENT PUBLIC FONCIER DE NOU 150 RUE ANDRE NHEVOIT 33500 LIBOURNE ET PABLISSEMENT PUBLIC FONCIER DE NOU 160 RUE ANDRE NHEVOIT 33500 LIBOURNE ET PABLISSEMENT PUBLIC FONCIER DE NOU 170 RUE FRANCOIS CONSTANT 33500 LIBOURNE ET PABLISSEMENT PUBLIC FONCIER DE NOU 170 RUE FRANCOIS CONSTANT ATE1 18 RUE FRANCOIS CONSTANT 33500 LIBOURNE ET PARTIEMENT DE LA GIRONDE BUR1 170 RUE HERNE BEAUCHAMP 33500 LIBOURNE ERA MAISON D ENFANTS FRANCOIS CONSTANT ATE1 18 RUE DE TOUSSAINT 33500 LIBOURNE DEPARTEMENT DE LA GIRONDE BUR1 170 AV GALLIENI 33500 LIBOURNE ASS UNION DEPARTEMENT DE LA GIRONDE BUR2 1703 170 PL RENE BEAUCHAMP 33500 LIBOURNE ASS OCIATION GIRONDINE D EDUCATION SPECIA BUR2 1703 170 AV GALLIENI 33500 LIBOURNE ASSOCIATION GIRONDINE D EDUCATION SPECIA BUR2 1703 170 AV GALLIENI 33500 LIBOURNE ASSOCIATION GIRONDINE D EDUCATION SPECIA BUR2 170 AV GALLIENI 33500 LIBOURNE ASSOCIATION GIRONDINE D EDUCATION SPECIA BUR2 170 AV GALLIENI 33500 LIBOURNE ASSOCIATION GIRONDINE D EDUCATION SPECIA BUR2 170 AV DU GENERAL DE GAUL 33500 LIBOURNE ASSOCIATION DE LA GRONDE BUR3 171 BUR3 172 AV DU GENERAL DE GAUL 33500 LIBOURNE ASSOCIATION DE LA GRONDE BUR3 173 AV DU GENERAL DE GAUL 33500 LIBOURNE ASSOCIATION DE LA GRONDE BUR3 174 BUR3 175 AV DU GENERAL DE GAUL 33500 LIBOURNE ASSOCIATION DE LA GRONDE BUR3 176 BUR3 177 BUR3 178 BUR3 179 BUR3 170 BUR3 170 BUR3 170 | 29   ALL ROBERT BOULIN   33500   LIBOURNE   EURL IMMOBILIERE LIBOURNAISE   MAG1                                                                                                                                                                                                                                                                                                                                                                                                                                                                                                                                                                                                                                                                                                                                                                                                                                                                                                                                                                                                                                                                                                                                                                                                                                                                                                                                                                                                                                                                                                                                                                                                                                                                                                                                                                                                                                                                                                                                                                                                                                              | 842 29 ALL ROBERT BOULIN 33500 LIBOURNE EURL IMMOBILIERE LIBOURNAISE MAG1  842 29 ALL ROBERT BOULIN 33500 LIBOURNE EURL IMMOBILIERE LIBOURNAISE MAG4  933 6 PL JEAN MOULIN 33500 LIBOURNE EURL FR INVESTISSEMENT DELY  934 88 RTE DE SAINT EMILION 33500 LIBOURNE EURL DOMINIQUE LEYMARIE DEP2  92 PL SAINT EMILION 33500 LIBOURNE EURL DOMINIQUE LEYMARIE DEP2  147 10 AV GEORGES CLEMENCEA 33500 LIBOURNE EURL DARDENNIE ESTATE  147 16 QUAI DE LISLE 33500 LIBOURNE ET P ETABLISSEMENT PUBLIC FONCIER DE NOU DEP2  147 16 QUAI DE LISLE 33500 LIBOURNE ET P ETABLISSEMENT PUBLIC FONCIER DE NOU MAG1  147 15 QUAI DE LISLE 33500 LIBOURNE ET P ETABLISSEMENT PUBLIC FONCIER DE NOU MAG1  27 35 RUE ANDRE NHEVOIT 33500 LIBOURNE EPA MAISON D ENFANTS FRANCOIS CONSTANT HOT3  49 20 RUE THIERS 3500 LIBOURNE EPA MAISON D ENFANTS FRANCOIS CONSTANT HOT3  27 35 RUE ANDRE NHEVOIT 33500 LIBOURNE EPA MAISON D ENFANTS FRANCOIS CONSTANT THE SAINT VINCENT DE LA GIRONDE BUR1  27 35 RUE ANDRE NHEVOIT 33500 LIBOURNE EPA MAISON D ENFANTS FRANCOIS CONSTANT THE SAINT VINCENT DE LA GIRONDE BUR1  27 35 RUE ANDRE CHERS 35500 LIBOURNE EPA MAISON D ENFANTS FRANCOIS CONSTANT THE SAINT VINCENT DE LA GIRONDE BUR1  2856 21 AV DU MARECHAL FOCH 33500 LIBOURNE DEPARTEMENT DE LA GIRONDE BUR1  298 31 TO PL RENE BEAUCHAMP 33500 LIBOURNE ASS OCIETE SAINT VINCENT DE PAUL  299 40 AV GALLIENI 33500 LIBOURNE ASS OCIETE SAINT VINCENT DE PAUL  299 50 DEP2  200 645 107 AV GALLIENI 33500 LIBOURNE ASSOCIATION PETO BEDUCATION SPECIA BUR2  290 645 107 AV GALLIENI 33500 LIBOURNE ASSOCIATION GIRONDINE D EDUCATION SPECIA BUR2  290 645 107 AV GALLIENI 33500 LIBOURNE ASSOCIATION DEPART DE DEUCATION SPECIA BUR2                                                                                                                                                                                                                                                                                                                                                                                                      | 842 29 ALL ROBERT BOULIN 33500 LIBOURNE EURL IMMOBILIERE LIBOURNAISE MAG1  842 29 ALL ROBERT
BOULIN 33500 LIBOURNE EURL IMMOBILIERE LIBOURNAISE MAG4  933 6 PL JEAN MOULIN 33500 LIBOURNE EURL FR INVESTISSEMENT DEP2  934 88 RTE DE SAINT EMILION 33500 LIBOURNE EURL DOMINIQUE LEYNARIE MAG1  935 17 RUE CHANZY 33500 LIBOURNE EURL DOMINIQUE LEYNARIE BUR1  147 16 QUAI DE LISLE 33500 LIBOURNE EURL DARDENNE ESTATE  147 16 QUAI DE LISLE 33500 LIBOURNE ET P ETABLISSEMENT PUBLIC FONCIER DE NOU DEP2  147 16 QUAI DE LISLE 33500 LIBOURNE ET P ETABLISSEMENT PUBLIC FONCIER DE NOU DEP2  147 18 RUE ANDRE NHEVOIT 33500 LIBOURNE ET P ETABLISSEMENT PUBLIC FONCIER DE NOU DEP2  27 35 RUE ANDRE NHEVOIT 33500 LIBOURNE ET P ETABLISSEMENT PUBLIC FONCIER DE NOU BUR1  27 35 RUE ANDRE NHEVOIT 33500 LIBOURNE ET P ETABLISSEMENT PUBLIC FONCIER DE NOU DEP2  2856 21 RUE ANDRE NHEVOIT 33500 LIBOURNE ET P ETABLISSEMENT DE LA GIRONDE BUR1  297 35 RUE ANDRE NHEVOIT 33500 LIBOURNE EPA MAISON D ENFANTS FRANCOIS CONSTANT BUR1  298 20 RUE THERS 33500 LIBOURNE EPA MAISON D ENFANTS FRANCOIS CONSTANT BUR1  299 20 RUE THERS 33500 LIBOURNE EPA MAISON D ENFANTS FRANCOIS CONSTANT BUR1  290 AV GUILLEN 33500 LIBOURNE EPA MAISON D ENFANTS FRANCOIS CONSTANT BUR1  290 AV GUILLEN 33500 LIBOURNE EPA MAISON D ENFANTS FRANCOIS CONSTANT BUR1  290 AV GUILLEN 33500 LIBOURNE EPA MAISON D ENFANTS FRANCOIS CONSTANT BUR1  290 AV GUILLEN 33500 LIBOURNE EPA MAISON D ENFANTS FRANCOIS CONSTANT BUR1  290 AV GUILLEN 33500 LIBOURNE EPA MAISON D ENFANTS FRANCOIS CONSTANT BUR1  291 AV DU MARECHAL FOCH 33500 LIBOURNE EPA MAISON D ENFANTS FRANCOIS CONSTANT BUR1  292 AV GUILLEN 33500 LIBOURNE EPA MAISON DEPART DES ASS FAMILIALES  292 BUR1  293 BUR1  294 AUGUST | 842 29 ALL ROBERT BOULIN 33500 LIBOURNE EURL IMMOBILIERE LIBOURNAISE MAG1  842 29 ALL ROBERT BOULIN 33500 LIBOURNE EURL IMMOBILIERE LIBOURNAISE MAG4  933 6 PL JEAN MOULIN 33500 LIBOURNE EURL IMMOBILIERE LIBOURNAISE MAG4  933 6 PL JEAN MOULIN 33500 LIBOURNE EURL DOMINIQUE LEYMARIE MAG4  92 BD DE GARDEROSE 33500 LIBOURNE EURL DOMINIQUE LEYMARIE MAG1  623 27 RUE CHANZY 33500 LIBOURNE EURL DE PELUZAC  717 10 AV GEORGES CLEMENCEA 33500 LIBOURNE EURL DE PELUZAC  147 16 QUAI DE LISLE 33500 LIBOURNE ET P GIRONDE HABITAT OFFICE PUBLIC FONCIER DE NOU  147 16 QUAI DE LISLE 33500 LIBOURNE ET P ETABLISSEMENT PUBLIC FONCIER DE NOU  147 18 RUE ANDRE NHEVOIT 33500 LIBOURNE EPA MAISON D ENFANTS FRANCOIS CONSTANT HOT3  49 20 RUE FRANCOIS CONSTANT 33500 LIBOURNE EPA MAISON D ENFANTS FRANCOIS CONSTANT HOT3  856 21 AV DU MARECHAL FOCH 33500 LIBOURNE EPA MAISON D ENFANTS FRANCOIS CONSTANT ATE1  277 35 RUE ANDRE NHEVOIT 33500 LIBOURNE EPA MAISON D ENFANTS FRANCOIS CONSTANT HOT3  886 21 AV DU MARECHAL FOCH 33500 LIBOURNE EPA MAISON D ENFANTS FRANCOIS CONSTANT ATE1  278 35 RUE ANDRE NHEVOIT 33500 LIBOURNE EPA MAISON D ENFANTS FRANCOIS CONSTANT ATE1  897 20 RUE THIERS 33500 LIBOURNE EPA MAISON D ENFANTS FRANCOIS CONSTANT ATE1  898 20 RUE THIERS 33500 LIBOURNE EPA MAISON D ENFANTS FRANCOIS CONSTANT ATE1  899 20 RUE THIERS 33500 LIBOURNE EPA MAISON D ENFANTS FRANCOIS CONSTANT ATE1  899 20 RUE THIERS 33500 LIBOURNE EPA MAISON D ENFANTS FRANCOIS CONSTANT ATE1  899 20 RUE THIERS 33500 LIBOURNE EPA MAISON D ENFANTS FRANCOIS CONSTANT ATE1  890 21 AV DU MARECHAL FOCH 33500 LIBOURNE EPA MAISON D ENFANTS FRANCOIS CONSTANT ATE1  890 21 AV DU MARECHAL FOCH 33500 LIBOURNE EPA MAISON D ENFANTS FRANCOIS CONSTANT ATE1  890 21 AV DU MARECHAL FOCH 33500 LIBOURNE EPA MAISON D ENFANTS FRANCOIS CONSTANT ATE1  890 21 AV DU MARECHAL FOCH 33500 LIBOURNE EPA MAISON D ENFANTS FRANCOIS CONSTANT ATE1  890 21 AV DU MARECHAL FOCH 33500 LIBOURNE EPA MAISON D ENFANTS FRANCOIS CONSTANT ATE1  890 21 AV DU MARECHAL FOCH 33500 LIBOURNE EPA MAISON D ENFANTS FRANCOIS CONSTA | 842     29     ALL ROBERT BOULIN     33500     LIBOURNE     EURL IMMOBILIERE LIBOURNAISE     MAG1       842     29     ALL ROBERT BOULIN     33500     LIBOURNE     EURL IMMOBILIERE LIBOURNAISE     MAG4       933     6     PL JEAN MOULIN     33500     LIBOURNE     EURL FR INVESTISSEMENT     DEP2       92     33     88     RTE DE SAINT EMILION     33500     LIBOURNE     EURL DOMINIQUE LEYMARIE     MAG1       92     92     BD DE GARDEROSE     33500     LIBOURNE     EURL DE PELUZAC     DEP2       623     27     RUE CHANZY     33500     LIBOURNE     ET P GRONDE HABITAT OFFICE PUBLIC DE L'     BUR1       147     16     QUAI DE LISLE     33500     LIBOURNE     ET P FTABLISSEMENT PUBLIC FONCIER DE NOU     DEP2       147     16     QUAI DE LISLE     33500     LIBOURNE     ET P ETABLISSEMENT PUBLIC FONCIER DE NOU     DEP2       27     35     RUE ANDRE NHEVOIT     33500     LIBOURNE     ET P ETABLISSEMENT PUBLIC FONCIER DE NOU     MAG1       49     20     RUE ANDRE NHEVOIT     33500     LIBOURNE     ET P ETABLISSEMENT PUBLIC FONCIER DE NOU     MAG1       49     20     RUE ANDRE NHEVOIT     33500     LIBOURNE     ET P ETABLISSEMENT PUBLIC FONCIER DE NOU     MAG1       49                                                                                                                                                                                                                                                                                                                                                                                                                                                                                                                                                                                                                                                                                                                                                                                                                                                                                                      | 842 29 ALL ROBERT BOULIN 33500 LIBOURNE EURL IMMOBILIERE LIBOURNAISE MAG1  842 29 ALL ROBERT BOULIN 33500 LIBOURNE EURL IMMOBILIERE LIBOURNAISE MAG4  933 6 PL JEAN MOULIN 33500 LIBOURNE EURL FR INVESTISSEMEÑT DEP2  934 88 RTE DE SAINT EMILION 33500 LIBOURNE EURL DAMINIQUE LEYMARIE MAG1  95 8D DE GARDEROSE 33500 LIBOURNE EURL DE PELUZAC  95 92 8D DE GARDEROSE 33500 LIBOURNE EURL DARDENNE ESTATE  96 147 10 AV GEORGES CLEMENCEA 33500 LIBOURNE ET P GIRONDE HABITAT OFFICE PUBLIC DE L' BUR1  96 147 16 QUAI DE LISLE 33500 LIBOURNE ET P ETABLISSEMENT PUBLIC FONCIER DE NOU DEP2  97 35 RUE ANDRE NHEVOIT 33500 LIBOURNE ET P ETABLISSEMENT PUBLIC FONCIER DE NOU MAG1  98 70 RUE ANDRE NHEVOIT 33500 LIBOURNE EPA MAISON D ENFANTS FRANCOIS CONSTANT HOT3  98 80 71 AV DU MARECHAL FOCH 33500 LIBOURNE EFA MAISON D ENFANTS FRANCOIS CONSTANT ATE1  98 93 80 RUE THIERS 33500 LIBOURNE EFA MAISON D ENFANTS FRANCOIS CONSTANT ATE1  99 93 80 RUE THIERS 80 LIBOURNE EFA MAISON D ENFANTS FRANCOIS CONSTANT ATE1  90 147 18 PUBLIC FORMENT DE LA GIRONDE BUR1  90 147 18 RUE ANDRE NHEVOIT 33500 LIBOURNE EFA MAISON D ENFANTS FRANCOIS CONSTANT BUR1  90 147 150 RUE THIERS 80 LIBOURNE EFA MAISON D ENFANTS FRANCOIS CONSTANT BUR1  90 147 150 RUE THIERS 80 LIBOURNE EFA MAISON D ENFANTS FRANCOIS CONSTANT ATE1  91 147 150 RUE THIERS 80 LIBOURNE EFA MAISON D ENFANTS FRANCOIS CONSTANT BUR1  91 147 148 RUE THIERS 80 LIBOURNE EFA MAISON D ENFANTS FRANCOIS CONSTANT BUR1  92 147 148 RUE THIERS 80 LIBOURNE EFA MAISON D ENFANTS FRANCOIS CONSTANT BUR1  94 150 RUE THIERS 80 LIBOURNE EFA MAISON D ENFANTS FRANCOIS CONSTANT BUR1  95 150 RUE THIERS 80 LIBOURNE EFA MAISON D ENFANTS FRANCOIS CONSTANT BUR1  95 160 RUE THIERS 80 LIBOURNE EFA MAISON D ENFANTS FRANCOIS CONSTANT BUR1  96 170 RUE THIERS 80 LIBOURNE EFA MAISON DEPART DE SASS FAMILIALES BUR1                                                                                                                                                                                                                                      | 842 29 ALL ROBERT BOULIN 33500 LIBOURNE EURL IMMOBILIERE LIBOURNAISE MAG1  842 29 ALL ROBERT BOULIN 33500 LIBOURNE EURL IMMOBILIERE LIBOURNAISE MAG4  933 6 PL JEAN MOULIN 33500 LIBOURNE EURL FR INVESTISSEMENT DEP2  92 BD DE GARDEROSE 33500 LIBOURNE EURL DOMINIQUE LEYMARIE MAG1  717 10 AV GEORGES CLEMENCEA 33500 LIBOURNE EURL DARDENNE ESTATE  9147 16 QUAI DE LISLE 33500 LIBOURNE ET P GIRONDE HABITAT OFFICE PUBLIC DE L'  1147 16 QUAI DE LISLE 33500 LIBOURNE ET P ETABLISSEMENT PUBLIC FONCIER DE NOU DEP2  127 35 RUE ANDRE NHEVOIT 33500 LIBOURNE ET P ETABLISSEMENT PUBLIC FONCIER DE NOU DEP2  128 RUE FRANCOIS CONSTANT 33500 LIBOURNE EPA MAISON D ENFANTS FRANCOIS CONSTANT HOT3  129 BD DE GARDERO LIBOURNE EPA MAISON D ENFANTS FRANCOIS CONSTANT HOT3  140 BD DE GARDERO LIBOURNE EPA MAISON D ENFANTS FRANCOIS CONSTANT BUR1  141 BD DE GARDERO LIBOURNE EPA MAISON D ENFANTS FRANCOIS CONSTANT ATE1  142 BD DE GARDERO LIBOURNE EPA MAISON D ENFANTS FRANCOIS CONSTANT ATE1  143 BL DE FRANCOIS CONSTANT ATE1  144 BB DE CHANTS FRANCOIS CONSTANT ATE1  145 BD DE GARDERO LIBOURNE EPA MAISON D ENFANTS FRANCOIS CONSTANT ATE1                                                                                                                                                                                                                                                                                                                                                                                                                                                                                                                                                     | 84229ALL ROBERT BOULIN33500LIBOURNEEURL IMMOBILIERE LIBOURNAISEMAG184229ALL ROBERT BOULIN33500LIBOURNEEURL IMMOBILIERE LIBOURNAISEMAG49336PL JEAN MOULIN33500LIBOURNEEURL FR INVESTISSEMEÑTDEP237488RTE DE SAINT EMILION33500LIBOURNEEURL DOMINIQUE LEYMARIEMAG192BD DE GARDEROSE33500LIBOURNEEURL DE PELUZACDEP262327RUE CHANZY33500LIBOURNEEURL DARDENNE ESTATEBUR171710AV GEORGES CLEMENCEA 33500LIBOURNEET P GIRONDE HABITAT OFFICE PUBLIC FONCIER DE NOUDEP2914716QUAI DE LISLE33500LIBOURNEET P ETABLISSEMENT PUBLIC FONCIER DE NOUDEP21014716QUAI DE LISLE33500LIBOURNEET P ETABLISSEMENT PUBLIC
FONCIER DE NOUMAG12735RUE ANDRE NHEVOIT33500LIBOURNEET P ETABLISSEMENT PUBLIC FONCIER DE NOUMAG12735RUE ANDRE NHEVOIT33500LIBOURNEEPA MAISON D ENFANTS FRANCOIS CONSTANTHOT34718RUE FRANCOIS CONSTANTBUR1                                                                                                                                                                                                 | 842 29 ALL ROBERT BOULIN 33500 LIBOURNE EURL IMMOBILIERE LIBOURNAISE MAG1  842 29 ALL ROBERT BOULIN 33500 LIBOURNE EURL IMMOBILIERE LIBOURNAISE MAG4  933 6 PL JEAN MOULIN 33500 LIBOURNE EURL FR INVESTISSEMENT DEP2  92 8 BD DE GARDEROSE 33500 LIBOURNE EURL DOMINIQUE LEYMARIE MAG1  92 7 RUE CHANZY 33500 LIBOURNE EURL DARDENNE ESTATE  717 10 AV GEORGES CLEMENCEA 33500 LIBOURNE ET P GIRONDE HABITAT OFFICE PUBLIC DE L'  147 16 QUAI DE LISLE 33500 LIBOURNE ET P ETABLISSEMENT PUBLIC FONCIER DE NOU DEP2  147 16 QUAI DE LISLE 33500 LIBOURNE ET P ETABLISSEMENT PUBLIC FONCIER DE NOU DEP2  27 35 RUE ANDRE NHEVOIT 33500 LIBOURNE ET P ETABLISSEMENT PUBLIC FONCIER DE NOU MAG1                                                                                                                                                                                                                                                                                                                                                  | 842 29 ALL ROBERT BOULIN 33500 LIBOURNE EURL IMMOBILIERE LIBOURNAISE MAG1  842 29 ALL ROBERT BOULIN 33500 LIBOURNE EURL IMMOBILIERE LIBOURNAISE MAG4  933 6 PL JEAN MOULIN 33500 LIBOURNE EURL FR INVESTISSEMENT DEP2  374 88 RTE DE SAINT EMILION 33500 LIBOURNE EURL DOMINIQUE LEYMARIE MAG1  92 BD DE GARDEROSE 33500 LIBOURNE EURL DE PELUZAC DEP2  623 27 RUE CHANZY 33500 LIBOURNE EURL DARDENNE ESTATE  717 10 AV GEORGES CLEMENCEAI 33500 LIBOURNE ET P GIRONDE HABITAT OFFICE PUBLIC FONCIER DE NOU DEP2  147 16 QUAI DE LISLE 33500 LIBOURNE ET P ETABLISSEMENT PUBLIC FONCIER DE NOU DEP2  148 BUR1 BIBLIC FONCIER DE NOU DEP2  149 BUR1 BIBLIC FONCIER DE NOU DEP2  140 BUR1 BIBLIC FONCIER DE NOU DEP2                                                          | 842       29       ALL ROBERT BOULIN       33500       LIBOURNE       EURL IMMOBILIERE LIBOURNAISE       MAG1         842       29       ALL ROBERT BOULIN       33500       LIBOURNE       EURL IMMOBILIERE LIBOURNAISE       MAG4         933       6       PL JEAN MOULIN       33500       LIBOURNE       EURL FR INVESTISSEMEÑT       DEP2         374       88       RTE DE SAINT EMILION       33500       LIBOURNE       EURL DOMINIQUE LEYMARIE       MAG1         92       BD DE GARDEROSE       33500       LIBOURNE       EURL DE PELUZAC       DEP2         623       27       RUE CHANZY       33500       LIBOURNE       EURL DARDENNE ESTATE       BUR1         717       10       AV GEORGES CLEMENCEA 33500       LIBOURNE       ET P GIRONDE HABITAT OFFICE PUBLIC DE L'       BUR1 | 842     29     ALL ROBERT BOULIN     33500     LIBOURNE     EURL IMMOBILIERE LIBOURNAISE     MAG1       842     29     ALL ROBERT BOULIN     33500     LIBOURNE     EURL IMMOBILIERE LIBOURNAISE     MAG4       933     6     PL JEAN MOULIN     33500     LIBOURNE     EURL FR INVESTISSEMENT     DEP2       374     88     RTE DE SAINT EMILION     33500     LIBOURNE     EURL DOMINIQUE LEYMARIE     MAG1       92     BD DE GARDEROSE     33500     LIBOURNE     EURL DE PELUZAC     DEP2       623     27     RUE CHANZY     33500     LIBOURNE     EURL DARDENNE ESTATE     BUR1 | 842     29     ALL ROBERT BOULIN     33500     LIBOURNE     EURL IMMOBILIERE LIBOURNAISE     MAG1       842     29     ALL ROBERT BOULIN     33500     LIBOURNE     EURL IMMOBILIERE LIBOURNAISE     MAG4       933     6     PL JEAN MOULIN     33500     LIBOURNE     EURL FR INVESTISSEMEÑT     DEP2       374     88     RTE DE SAINT EMILION     33500     LIBOURNE     EURL DOMINIQUE LEYMARIE     MAG1       92     BD DE GARDEROSE     33500     LIBOURNE     EURL DE PELUZAC     DEP2 | 156 14 PL JEAN MOULIN 33500 LIBOURNE FONDS DE DOTATION PEY BERLAND BUR1                                                                                                                                                                                                                                                                                                                                                                                                                                                      | 278 67 RUE DU DOCTEUR NARD 33500 LIBOURNE GCS GCS CLINIQUE CHIRURGICALE DU LIBOURN DEP2  156 14 PL JEAN MOULIN 33500 LIBOURNE FONDS DE DOTATION PEY BERLAND BUR1  1005 17 BU JEAN MOULIN 33500 LIBOURNE FONDS DE DOTATION PEY BERLAND MAGG                                                                                                                                                                                                                                                                                                                                                                     | 10 611 19 RUE DU PRIOURAT 33500 LIBOURNE GFA FRANCOIS JANOUEIX ET FILS DEP2  278 67 RUE DU DOCTEUR NARD 33500 LIBOURNE GCS GCS CLINIQUE CHIRURGICALE DU LIBOURN DEP2  156 14 PL JEAN MOULIN 33500 LIBOURNE FONDS DE DOTATION PEY BERLAND BUR1                                                                                                                                                                                                                                                                                                                                                                                    | 430 7 B RUE MAX LINDER 33500 LIBOURNE INST CCIT BORDEAUX GIRONDE ENS1  65 195 RTE DE SAINT EMILION 33500 LIBOURNE GFA GFA CHATEAU DU TAILHAS BUR1  100 100 RUE DU PRIOURAT 33500 LIBOURNE GFA FRANCOIS JANOUEIX ET FILS  100 100 RUE DU DOCTEUR NARD 33500 LIBOURNE GCS GCS CLINIQUE CHIRURGICALE DU LIBOURN DEP2  100 100 PL JEAN MOULIN 33500 LIBOURNE FONDS DE DOTATION PEY BERLAND BUR1  100 100 PL JEAN MOULIN 33500 LIBOURNE FONDS DE DOTATION PEY BERLAND MAGG                                                                                                                                                                                                                                                                                                                                                                                                                                                                                                                                                                                                                                                                                                                                                                                                              | 431 7 B RUE MAX LINDER 33500 LIBOURNE INST CCIT BORDEAUX GIRONDE ENS1 430 7 B RUE MAX LINDER 33500 LIBOURNE INST CCIT BORDEAUX GIRONDE ENS1 65 195 RTE DE SAINT EMILION 33500 LIBOURNE GFA GFA CHATEAU DU TAILHAS BUR1 611 19 RUE DU PRIOURAT 33500 LIBOURNE GFA FRANCOIS JANOUEIX ET FILS 578 67 RUE DU DOCTEUR NARD 33500 LIBOURNE GCS GCS CLINIQUE CHIRURGICALE DU LIBOURN DEP2 156 14 PLJEAN MOULIN 33500 LIBOURNE FONDS DE DOTATION PEY BERLAND BUR1 1695 150 BU JEAN MOULIN 33500 LIBOURNE FONDS DE DOTATION PEY BERLAND BUR1                                                                                                                                                                                                                                                                                                                                                                                                                                                                                                                                                                                                                                                                                                                                                                                                                                                                                                                                                                                                                                                                                                                                                                                                                                                                                                                                                                                                                                                                                                                                                                                            | 414 9002 RUE MAX LINDER 33500 LIBOURNE INST CCIT BORDEAUX GIRONDE BUR1  431 7 B RUE MAX LINDER 33500 LIBOURNE INST CCIT BORDEAUX GIRONDE ENS1  430 7 B RUE MAX LINDER 33500 LIBOURNE INST CCIT BORDEAUX GIRONDE ENS1  65 195 RTE DE SAINT EMILION 33500 LIBOURNE GFA CHATEAU DU TAILHAS BUR1  77 B RUE DU PRIOURAT 33500 LIBOURNE GFA FRANCOIS JANOUEIX ET FILS  156 14 PL JEAN MOULIN 33500 LIBOURNE FONDS DE DOTATION PEY BERLAND BUR1  160 170 BU JEAN MOULIN 33500 LIBOURNE FONDS DE DOTATION PEY BERLAND BUR1  160 170 BU JEAN MOULIN 33500 LIBOURNE FONDS DE DOTATION PEY BERLAND BUR1  160 170 BU JEAN MOULIN 33500 LIBOURNE FONDS DE DOTATION PEY BERLAND BUR1  160 170 BU JEAN MOULIN 33500 LIBOURNE FONDS DE DOTATION PEY BERLAND BUR1                                                                                                                                                                                                                                                                                                      
                                                                                                                                                                                                                                                                                                                                                                                                                                                                                                                                                                                                                                                                                                                                                                                                                                                                                                                                                                                                                                                                        | 429 7 B RUE MAX LINDER 33500 LIBOURNE INSTITUT LIBOURNAIS DE FORMATION PAR APP ENS1  428 7 B RUE MAX LINDER 33500 LIBOURNE INST CCIT BORDEAUX GIRONDE ENS1  414 9002 RUE MAX LINDER 33500 LIBOURNE INST CCIT BORDEAUX GIRONDE BUR1  431 7 B RUE MAX LINDER 33500 LIBOURNE INST CCIT BORDEAUX GIRONDE ENS1  430 7 B RUE MAX LINDER 33500 LIBOURNE INST CCIT BORDEAUX GIRONDE ENS1  430 7 B RUE MAX LINDER 33500 LIBOURNE INST CCIT BORDEAUX GIRONDE ENS1  430 7 B RUE MAX LINDER 33500 LIBOURNE GFA GFA CHATEAU DU TAILHAS BUR1  451 195 RTE DE SAINT EMILION 33500 LIBOURNE GFA FRANCOIS JANOUEIX ET FILS  470 651 195 RUE DU DOCTEUR NARD 33500 LIBOURNE GCS GCS CLINIQUE CHIRURGICALE DU LIBOURN DEP2  470 671 PLICAN MOULIN 33500 LIBOURNE FONDS DE DOTATION PEY BERLAND BUR1  470 672 BRI JEAN MOULIN 33500 LIBOURNE FONDS DE DOTATION PEY BERLAND BUR1  470 673 BRI JEAN MOULIN 33500 LIBOURNE FONDS DE DOTATION PEY BERLAND BUR1  470 674 BRI JEAN MOULIN 33500 LIBOURNE FONDS DE DOTATION PEY BERLAND MAGE                                                                                                                                                                                                                                                                                                                                                                                                                                                                                                                                                                                                                                                                                                                                                                         | 336 26 AV DU PARC DES SPORTS 33500 LIBOURNE LA JAROUSSE 429 7 B RUE MAX LINDER 33500 LIBOURNE INSTITUT LIBOURNAIS DE FORMATION PAR APP ENS1 428 7 B RUE MAX LINDER 33500 LIBOURNE INST CCIT BORDEAUX GIRONDE ENS1 431 7 B RUE MAX LINDER 33500 LIBOURNE INST CCIT BORDEAUX GIRONDE ENS1 430 7 B RUE MAX LINDER 33500 LIBOURNE INST CCIT BORDEAUX GIRONDE ENS1 430 7 B RUE MAX LINDER 33500 LIBOURNE INST CCIT BORDEAUX GIRONDE ENS1 430 7 B RUE MAX LINDER 33500 LIBOURNE INST CCIT BORDEAUX GIRONDE ENS1 431 19 RUE MAX LINDER 33500 LIBOURNE INST CCIT BORDEAUX GIRONDE ENS1 430 7 B RUE MAX LINDER 33500 LIBOURNE GFA CHATEAU DU TAILHAS BUR1 430 7 B RUE DU PRIOURAT 33500 LIBOURNE GFA GFA CHATEAU DU TAILHAS BUR1 430 7 B RUE DU DOCTEUR NARD 33500 LIBOURNE GCS GCS CLINIQUE CHIRURGICALE DU LIBOURN DEP2 430 611 9 PLIEAN MOULIN 33500 LIBOURNE FONDS DE DOTATION PEY BERLAND BUR1 430 156 14 PLIEAN MOULIN 33500 LIBOURNE FONDS DE DOTATION PEY BERLAND BUR1 430 7 B RUE ANAMOLINA 33500 LIBOURNE FONDS DE DOTATION PEY BERLAND BUR1 430 7 B RUE ANAGER MAGE                                                                                                                                                                                                                                                                                                                                                                                                                                                                                                                                                                               | 248 78 RUE GAMBETTA 33500 LIBOURNE SCI DU 145 AV GAL DE GAULLE MAG1  45 13 RUE SAINT EXUPERY 33500 LIBOURNE SCI DU 13 RUE SAINT EXUPERY BUR1  336 26 AV DU PARC DES SPORTS 33500 LIBOURNE LA JAROUSSE  429 7 B RUE MAX LINDER 33500 LIBOURNE INSTITUT LIBOURNAIS DE FORMATION PAR APP ENS1  421 9002 RUE MAX LINDER 33500 LIBOURNE INST CCIT BORDEAUX GIRONDE ENS1  431 7 B RUE MAX LINDER 33500 LIBOURNE INST CCIT BORDEAUX GIRONDE ENS1  430 7 B RUE MAX LINDER 33500 LIBOURNE INST CCIT BORDEAUX GIRONDE ENS1  430 7 B RUE MAX LINDER 33500 LIBOURNE INST CCIT BORDEAUX GIRONDE ENS1  431 195 RUE MAX LINDER 33500 LIBOURNE INST CCIT BORDEAUX GIRONDE ENS1  432 67 RUE DU PRIOURAT 33500 LIBOURNE GFA GHATEAU DU TAILHAS BUR1  433 67 RUE DU DOCTEUR NARD 33500 LIBOURNE GFA FRANCOIS JANOUEIX ET FILS  434 67 RUE DU DOCTEUR NARD 33500 LIBOURNE GCS CLINIQUE CHIRURGICALE DU LIBOURN DEP2  435 67 RUE DU DOCTEUR NARD 33500 LIBOURNE FONDS DE DOTATION PEY BERLAND  446 67 BUR1 ANGGE  447 PL JEAN MOULIN 33500 LIBOURNE FONDS DE DOTATION PEY BERLAND  448 BUR1  449 BUR2  449 ENS1  440 PL JEAN MOULIN 33500 LIBOURNE FIBI SOCIETE GILYONNEAU ET COMPAGNIE MAGG                                                                                                                                                                                                                                                                                                                            | 248 60 RUE DES CHAIS 33500 LIBOURNE SCI DU 56 RUE DES CHAIS PAR MR LACROIX G MAG1  248 78 RUE GAMBETTA 33500 LIBOURNE SCI DU 145 AV GAL DE GAULLE MAG1  45 13 RUE SAINT EXUPERY 33500 LIBOURNE SCI DU 13 RUE SAINT EXUPERY BUR1  336 26 AV DU PARC DES SPORTS 33500 LIBOURNE LA JAROUSSE  429 7 B RUE MAX LINDER 33500 LIBOURNE INSTITUT LIBOURNAIS DE FORMATION PAR APP ENS1  428 7 B RUE MAX LINDER 33500 LIBOURNE INST CCIT BORDEAUX GIRONDE ENS1  431 7 B RUE MAX LINDER 33500 LIBOURNE INST CCIT BORDEAUX GIRONDE ENS1  431 7 B RUE MAX LINDER 33500 LIBOURNE INST CCIT BORDEAUX GIRONDE ENS1  430 7 B RUE MAX LINDER 33500 LIBOURNE INST CCIT BORDEAUX GIRONDE ENS1  431 7 B RUE MAX LINDER 33500 LIBOURNE INST CCIT BORDEAUX GIRONDE ENS1  432 7 B RUE MAX LINDER 33500 LIBOURNE INST CCIT BORDEAUX GIRONDE ENS1  433 7 B RUE MAX LINDER 33500 LIBOURNE GFA CHATEAU DU TAILHAS BUR1  430 7 RUE DU PRIOURAT 33500 LIBOURNE GFA CHATEAU DU TAILHAS DEP2  431 8 P LEAN MOULIN 33500 LIBOURNE GFA FRANCOIS JANOUEIX ET FILS  432 P LEAN MOULIN 33500 LIBOURNE FONDS DE DOTATION PEY BERLAND  434 P LEAN MOULIN BUR1  435 P LEAN MOULIN BUR1  436 FA CHATEGU DU TERCURDER BUR1  437 P LEAN MOULIN BUR1  438 P LEAN MOULIN BUR1  449 P LEAN MOULIN BUR1  450 P LIBOURNE FONDS DE DOTATION PEY BERLAND  460 BUR1  460 BUR1 | Ref   Part   P | 232   83   RUE GAMBETTA   33500   LIBOURNE   SCI DU 83 RUE GAMBETTA   MAG1                                                                                                                                                                                                                                                                                                                                                                                                                                                                                                                                                                                                                                                                                                                                                                                                                                                                                                                                                                                                                                                                                                                                                                                                                                                                                                                                                                                                                                                                                                                                                                                                                                                                                                                                                                                                                                                                                                                                                                                                                                                     | 322   86   CRS TOURNY   33500   LIBOURNE   SCI DU 86 COURS TOURNY   BUR1     232   83   RUE GAMBETTA   33500   LIBOURNE   SCI DU 86 COURS TOURNY   MAG1     844   58   RUE DES CHAIS   33500   LIBOURNE   SCI DU 96 RUE DES CHAIS PAR MR LACROIX G   BUR1     844   60   RUE DES CHAIS   33500   LIBOURNE   SCI DU 56 RUE DES CHAIS PAR MR LACROIX G   MAG1     845   60   RUE DES CHAIS   33500   LIBOURNE   SCI DU 56 RUE DES CHAIS PAR MR LACROIX G   MAG1     45   13   RUE GAMBETTA   33500   LIBOURNE   SCI DU 56 RUE DES CHAIS PAR MR LACROIX G   MAG1     45   13   RUE GAMBETTA   33500   LIBOURNE   SCI DU 145 AV GAL DE GAULLE   MAG1     429   7   B   RUE MAX LINDER   33500   LIBOURNE   SCI DU 13 RUE SAINT EXUPERY   BUR2     428   7   B   RUE MAX LINDER   33500   LIBOURNE   INSTITUT LIBOURNAIS DE FORMATION PAR APP   ENS1     430   7   B   RUE MAX LINDER   33500  
LIBOURNE   INSTICCIT BORDEAUX GRONDE   ENS1     430   7   B   RUE MAX LINDER   33500   LIBOURNE   INSTICCIT BORDEAUX GRONDE   BUR1     430   7   B   RUE MAX LINDER   33500   LIBOURNE   INSTICCIT BORDEAUX GRONDE   ENS1     430   7   B   RUE MAX LINDER   33500   LIBOURNE   INSTICCIT BORDEAUX GRONDE   ENS1     430   7   B   RUE MAX LINDER   33500   LIBOURNE   INSTICCIT BORDEAUX GRONDE   ENS1     430   7   B   RUE MAX LINDER   33500   LIBOURNE   INSTICCIT BORDEAUX GRONDE   ENS1     430   7   B   RUE MAX LINDER   33500   LIBOURNE   INSTICCIT BORDEAUX GRONDE   ENS1     430   7   RUE DU PRIOURAT   33500   LIBOURNE   GFA GFA CHATEAU DU TAILHAS   BUR1     430   RUE DU PRIOURAT   33500   LIBOURNE   GFA GFA CHATEAU DU TAILHAS   BUR1     430   RUE DU PRIOURAT   33500   LIBOURNE   GFA GFA CHATEAU DU LIBOURN   BUR1     430   RUE DU PRIOURAT   33500   LIBOURNE   GFA GFA CHATEAU DU LIBOURN   BUR1     430   RUE DU PRIOURAT   33500   LIBOURNE   GFA GFA CHATEAU DU LIBOURN   BUR1     430   RUE DU PRIOURAT   33500   LIBOURNE   GFA GFA CHATEAU DU LIBOURN   BUR1     440   RUE AND PRIOURAT   33500   LIBOURNE   GFA GFA CHATEAU DU LIBOURN   BUR1     450   RUE AND PRIOUR   RUE AND PRIOUR   BUR | 172   9030   RUE DE BARREAU   33500   LIBOURNE   SCI DU CHEMIN DE BARREAU   MAG2                 | 14   RUE JULES FERRY   33500   LIBOURNE   SCI DYS                                                                                                                                                                                                                                                                                                                                                                                                                                                                                                                                                                                                                                                                                                                                                                                                                                                                                                                                                                                                                                                                                                                                                                                                                                                                                                                                                                                                                                                                                                                                                                                                                                                                                                                                                                                                                                                                                                                                                                                                                                                                           | B44   105   AV GEORGESPOMPIDOU 33500 LIBOURNE SCI ECI   DOTOYA   BURI   14   RUE JULES FERRY   33500 LIBOURNE SCI DUTOYA   BURI   172   9030   RUE DE BARREAU   33500 LIBOURNE SCI DUTOYA   BURI   172   9030   RUE DE BARREAU   33500 LIBOURNE SCI DUTOYA   BURI   172   9030   RUE DE BARREAU   33500 LIBOURNE SCI DU GEMINI DE BARREAU   MAG1   844   58 RUE GAMBETTA   33500 LIBOURNE SCI DU SG RUE DES CHAIS FAR MR LACROIX G MAG1   844   58 RUE DES CHAIS STAN BROWNE SCI DU SG RUE DES CHAIS FAR MR LACROIX G MAG1   845   78 RUE DES CHAIS STAN BROWNE SCI DU SG RUE DES CHAIS FAR MR LACROIX G MAG1   845   13 RUE GAMBETTA   33500 LIBOURNE SCI DU SG RUE DES CHAIS FAR MR LACROIX G MAG1   845   13 RUE GAMBETTA   33500 LIBOURNE SCI DU 56 RUE DES CHAIS FAR MR LACROIX G MAG1   845   13 RUE SAINT EXUPERY   33500 LIBOURNE SCI DU 56 RUE DES CHAIS FAR MR LACROIX G MAG1   842   842   842   842   842   842   842   842   842   842   842   842   842   842   842   842   842   842   842   842   842   842   842   842   842   842   842   842   842   842   842   842   842   842   842   842   842   842   842   842   842   842   842   842   842   842   842   842   842   842   842   842   842   842   842   842   842   842   842   842   842   842   842   842   842   842   842   842   842   842   842   842   842   842   842   842   842   842   842   842   842   842   842   842   842   842   842   842   842   842   842   842   842   842   842   842   842   842   842   842   842   842   842   842   842   842   842   842   842   842   842   842   842   842   842   842   842   842   842   842   842   842   842   842   842   842   842   842   842   842   842   842   842   842   842   842   842   842   842   842   842   842   842   842   842   842   842   842   842   842   842   842   842   842   842   842   842   842   842   842   842   842   842   842   842   842   842   842   842   842   842   842   842   842   842   842   842   842   842   842   842   842   842   842   842   842   842   842   842   842   842   842   842   842   842   842   842   842  | 1550   159   Q                                                                                                                                                                                                                                                                                                                                                                                                                                                                                                                                                                                                                                                                                                                                                                                                                                                                                                                                                                                                                                                                                                                                                                                                                                                                                                                                                                                                                                                                                                                                                                                                                                                                                                                                                                                                                                                                                                                                                                                                                                                                                                               | S81   28  | Page                                                                                                                                                                                                                                                                                                                                                                                                                                                                                                                                                                                                                                                                                                                                                                                                                                                                                                                                                                                                                                                                                                                                                                                                                                                                                                                                                                                                                                                                                                                                                                                                                                                                                                                                                                                                                                                                                                                                                                                                                                                                                                                         | 2021   BH   2727   1   B   ALL ROBERT BOULIN   33500   LIBOURNE   SCI GIV JANOUEIX ET FILS | 2021   MA   34   12   CAR DES GINCHION   33500   LIBOURNE   SCI CHAIL CAVE   SCI CHAIL CAVE   SUPERATION   | 2021 BE   488   33   RIEBELLON   33500   LIBOURNE   SCHELENE HALAY N°   BUR1                          | 2021   He   616   7   RIE CHARZY   33500   IBDURNE   SCH HNGALLS   MACHINE   2021   He   616   7   RIE CHARZY   33500   IBDURNE   SCH HNGALLS   2021   He   616   7   RIE CHARZY   33500   IBDURNE   SCH HRAAY 
 N   2021   He   133   17   RIE BRILLON   33500   IBDURNE   SCH HAA GAMBETTA   DEP2   2021   He   855   23   AV DU NARECHAL FOCH   33500   IBDURNE   SCH HAA GAMBETTA   DEP2   2021   He   525   21   ALL DES CARDONINS   33500   IBDURNE   SCH HAA GAMBETTA   DEP2   2021   AV   550   159   Q   AV DE LA ROUBETT   SSOO   IBDURNE   SCH PAMILE (CAVE   BUR2   2021   AV   550   159   Q   AV DE LA ROUBET   SSOO   IBDURNE   SCH PAMILE (CAVE   BUR2   2021   AV   550   159   Q   AV DE LA ROUBET   SSOO   IBDURNE   SCH PAMILE (CAVE   BUR2   2021   AV   550   159   Q   AV DE LA ROUBET   SSOO   IBDURNE   SCH PAMILE (CAVE   BUR2   2021   AV   550   159   Q   AV DE LA ROUBET   SSOO   IBDURNE   SCH PAMILE (CAVE   BUR2   2021   AV   550   159   Q   AV DE LA ROUBET   SSOO   IBDURNE   SCH PAMILE (CAVE   BUR2   2021   AV   550   159   Q   AV DE LA ROUBET   SSOO   IBDURNE   SCH DEVALUE   SCH DEVALUE   BUR2   2021   AV   550   140   RIE DES CAMBETIA   33500   IBDURNE   SCH DEVALUE   SCH DEVALUE   BUR2   2021   CO   844   60   RIE DES CAMBETIA   33500   IBDURNE   SCH DU SE RUE DES CAMBERA   BUR2   2021   CO   844   60   RIE DES CAMBETIA   33500   IBDURNE   SCH DU SE RUE DES CAMB PAR ME LACRONG   MAG1   2021   AZ   430   7   B RUE MAX LINDER   33500   IBDURNE   SCH DU SE RUE DES CAMB PAR ME LACRONG   MAG1   2021   AZ   430   7   B RUE MAX LINDER   33500   IBDURNE   SCH DU SE RUE DES CAMB PAR ME LACRONG   MAG1   2021   AZ   430   7   B RUE MAX LINDER   33500   IBDURNE   SCH DU SE RUE DES CAMB PAR ME LACRONG   MAG1   2021   AL   65   195   RIE DES SANT EMBACT   33500   IBDURNE   SCH DU SE RUE DES CAMB PAR ME LACRONG   MAG1   2021   AL   65   195   RUE MAX LINDER   33500   IBDURNE   SCH DU SE RUE DES CAMB PAR ME LACRONG   MAG1   2021   AL   65   195   RUE MAX LINDER   33500   IBDURNE   SCH DU SE RUE DES CAMB PAR ME LACRONG   BUR3   2021  | 2021   CO  | 2021   CK   79   109                                                                                                                                                                                                                                                                                                                                                                                                                                                                                                                                                                                                                                                                                                                                                                                                                                                                                                                                                                                                                                                                                                                                                                                                                                                                                                                                                                                                                                                                                                                                                                                                                                                                                                                                                                                                                                                                                                                                                                                                                                                                                                        | 2021   10   26   73   AV DU GERRAN LE CAMUNE   20 LORIGNE   20 LORIG | 2021   2021   81   158   23   AV DU CHRISTAN DE GAULI 33500   LIBOURNE   SCI LIGAROCHE   MAGZ                                                                                                                                                                                                                                                                                                                                                                                                                                                                                                                                                                                                                                                                                                                                                                                                                                                                                                                                                                                                                                                                                                                                                                                                                                                                                                                                                                                                                                                                                                                                                                                                                                                                                                                                                                                                                                                                                                                                                                                                                                |
| 1312   2   1                                                                                                                                                                                                                                                                                                                                                                                                                                                                                                                                                                                                                                                                                                                                                                                                                                                                                                                                                                                                                                                                                                                                                                                                                                                                                                                                                                                                                                                                                                                                                                                                                                                                                                                                                                                                                                                                                                                                                                                                                                                                                                                 | 113   2                                                                                                                                                                                                                                                                                                                                                                                                                                                                                                                                                                                                                                                                                                                                                                                                                                                                                                                                                                                                                                                                                                                                                                                                                                                                                                                                                                                                                                                                                                                                                                                                                                                                                                                                                                                                                                                                                                                                                                                                                                                                                                                      | 115   2                                                                                                                                                                                                                                                                                                                                                                                                                                                                                                                                                                                                                                                                                                                                                                                                                                                                                                                                                                                                                                                                                                                                                                                                                                                                                                                                                                                                                                                                                                                                                                                                                                                                                                                                                                                                                                                                                                                                                                                                                                                                                                                      | 1177   5                                                                                    | 1107   10   10   10   10   10   10   1                                                                                                                                                                                                                                                                                                                                                                                                                                                                                                                                                                                                                                                                                                                                                                                                                                                                                                                                                                                                                                                                                                                                                                                                                                                                                                                                                                                                                                                                                                                                                                                                                                                                                                                                                                                                                                                                                                                                                                                                                                                                                       | 1177   5   12   12   12   12   12   12   12                                                                                                                                                                                                                                                                                                                                                                                                                                                                                                                                                                                                                                                                                                                                                                                                                                                                                                                                                                                                                                                                                                                                                                                                                                                                                                                                                                                                                                                                                                                                                                                                                                                                                                                                        
                                                                                                                                                                                                                                                                                                                                         | 1177   5   5   6   FATERIANS CALLIN   3250   1800/NRE   1010   1 | 107   5   ALI ROBERT BOOLINE   35300   INDIVINEE   INDIVINEE   ALI ROBERT BOOLINE   35300   INDIVINEE   INDIVIDUAL   ALI ROBERT BOOLINE   35300   INDIVINEE   INDIVIDUAL   ALI ROBERT BOOLINE   ALI ROBERT BOOLINE   35300   INDIVINEE   INDIVIDUAL   ALI ROBERT BOOLINE   ALI ROBERT | 107   1.0                                                                             | 107   5   ALL ROBBET ROULIN   35500   INDUINNE   EARL RICHARDER ET REQUINANCE   MAGS                                                                                                                                                                                                                                                                                                                                                                                                                                                                                                                                                                                                                                                                                                                                                                                                                                                                                                                                                                                                                                                                                                                                                                                                                                                                                                                                                                                                                                                                                                                                                                                                                                                                                                                                                                                                                                                                                                                                                                                                                                         | 107   5   AUE MONTHS (ADMINISTED STATES)   AUG MONTHS (ADMINISTE | 1070   1071   1072   1072   1072   1072   1072   1072   1072   1072   1072   1072   1072   1072   1072   1072   1072   1072   1072   1072   1072   1072   1072   1072   1072   1072   1072   1072   1072   1072   1072   1072   1072   1072   1072   1072   1072   1072   1072   1072   1072   1072   1072   1072   1072   1072   1072   1072   1072   1072   1072   1072   1072   1072   1072   1072   1072   1072   1072   1072   1072   1072   1072   1072   1072   1072   1072   1072   1072   1072   1072   1072   1072   1072   1072   1072   1072   1072   1072   1072   1072   1072   1072   1072   1072   1072   1072   1072   1072   1072   1072   1072   1072   1072   1072   1072   1072   1072   1072   1072   1072   1072   1072   1072   1072   1072   1072   1072   1072   1072   1072   1072   1072   1072   1072   1072   1072   1072   1072   1072   1072   1072   1072   1072   1072   1072   1072   1072   1072   1072   1072   1072   1072   1072   1072   1072   1072   1072   1072   1072   1072   1072   1072   1072   1072   1072   1072   1072   1072   1072   1072   1072   1072   1072   1072   1072   1072   1072   1072   1072   1072   1072   1072   1072   1072   1072   1072   1072   1072   1072   1072   1072   1072   1072   1072   1072   1072   1072   1072   1072   1072   1072   1072   1072   1072   1072   1072   1072   1072   1072   1072   1072   1072   1072   1072   1072   1072   1072   1072   1072   1072   1072   1072   1072   1072   1072   1072   1072   1072   1072   1072   1072   1072   1072   1072   1072   1072   1072   1072   1072   1072   1072   1072   1072   1072   1072   1072   1072   1072   1072   1072   1072   1072   1072   1072   1072   1072   1072   1072   1072   1072   1072   1072   1072   1072   1072   1072   1072   1072   1072   1072   1072   1072   1072   1072   1072   1072   1072   1072   1072   1072   1072   1072   1072   1072   1072   1072   1072   1072   1072   1072   1072   1072   1072   1072   1072   1072   1072   1072   1072   1072   1072   1072   1072   1072   1072   1072   1072   1072   1072   1072   1072   | 1000   1000   1000   1000   1000   1000   1000   1000   1000   1000   1000   1000   1000   1000   1000   1000   1000   1000   1000   1000   1000   1000   1000   1000   1000   1000   1000   1000   1000   1000   1000   1000   1000   1000   1000   1000   1000   1000   1000   1000   1000   1000   1000   1000   1000   1000   1000   1000   1000   1000   1000   1000   1000   1000   1000   1000   1000   1000   1000   1000   1000   1000   1000   1000   1000   1000   1000   1000   1000   1000   1000   1000   1000   1000   1000   1000   1000   1000   1000   1000   1000   1000   1000   1000   1000   1000   1000   1000   1000   1000   1000   1000   1000   1000   1000   1000   1000   1000   1000   1000   1000   1000   1000   1000   1000   1000   1000   1000   1000   1000   1000   1000   1000   1000   1000   1000   1000   1000   1000   1000   1000   1000   1000   1000   1000   1000   1000   1000   1000   1000   1000   1000   1000   1000   1000   1000   1000   1000   1000   1000   1000   1000   1000   1000   1000   1000   1000   1000   1000   1000   1000   1000   1000   1000   1000   1000   1000   1000   1000   1000   1000   1000   1000   1000   1000   1000   1000   1000   1000   1000   1000   1000   1000   1000   1000   1000   1000   1000   1000   1000   1000   1000   1000   1000   1000   1000   1000   1000   1000   1000   1000   1000   1000   1000   1000   1000   1000   1000   1000   1000   1000   1000   1000   1000   1000   1000   1000   1000   1000   1000   1000   1000   1000   1000   1000   1000   1000   1000   1000   1000   1000   1000   1000   1000   1000   1000   1000   1000   1000   1000   1000   1000   1000   1000   1000   1000   1000   1000   1000   1000   1000   1000   1000   1000   1000   1000   1000   1000   1000   1000   1000   1000   1000   1000   1000   1000   1000   1000   1000   1000   1000   1000   1000   1000   1000   1000   1000   1000   1000   1000   1000   1000   1000   1000   1000   1000   1000   1000   1000   1000   1000   1000   1000   1000   1000   1000   1000   1000   1000   1000   1000   1000 | 1077   S.                                                                                                                                                                                                                                                                                                                                                                                                                                                                                                                                                                                                                                                                                                                                                                                                                                                                                                                                                                                                                                                                                                                                                                                                                                                                                                                                                                                                                                                                                                                                                                                                                                                                                                                                                                                                                                                                                                                                                                                                                                                                                                                    | 1077   5   RUE MICHEL MONTAIGNE 33500   UBOUNNE   EURI, PRANCOSI CONTROVER   MAGE                 | 177   5   RUE MACHEL MONTAGENE 33500                                                                                                                                                                                                                                                                                                                                                                                                                                                                                                                                                                                                                                                                                                                                                                                                                                                                              
                                                                                                                                                                                                                                                                                                                                                                                                                                                                                                                                                                                                                                                                                                                                                                                                                                                                                                                                                                                                                                                                                                                                                                                                          | 1177   5   RUE MANCHE MONTAIGNE 33500                                             | 1177   5   RUE MICHEL MODIAN   33500   UBOUINNE   EURI EMMOBILIERE LIBOURANISE   MAGI   MAG | 1177   5   RUE MICHANIZON   2500   1800/IRNE   EURI IMMOBILIERE LIBOURANISE   MAGI   1842   229   ALL ROBERT BOULIN   33500   1800/IRNE   EURI IMMOBILIERE LIBOURANISE   MAGI   1842   229   ALL ROBERT BOULIN   33500   1800/IRNE   EURI, ER INNOSITIEST LIBOURANISE   MAGI   1842   229   ALL ROBERT BOULIN   33500   1800/IRNE   EURI, ER INNOSITIEST LIBOURANISE   MAGI   1842   229   RELECANIZON   33500   1800/IRNE   EURI, ER INNOSITIEST RELOGICATION   MAGI   1842   220   RUE CANADES (LIBOURANIS   33500   1800/IRNE   EURI, ER INNOSITIEST RELOGICATION   MAGI   1842   221   222   223   225   225   225   225   225   225   225   225   225   225   225   225   225   225   225   225   225   225   225   225   225   225   225   225   225   225   225   225   225   225   225   225   225   225   225   225   225   225   225   225   225   225   225   225   225   225   225   225   225   225   225   225   225   225   225   225   225   225   225   225   225   225   225   225   225   225   225   225   225   225   225   225   225   225   225   225   225   225   225   225   225   225   225   225   225   225   225   225   225   225   225   225   225   225   225   225   225   225   225   225   225   225   225   225   225   225   225   225   225   225   225   225   225   225   225   225   225   225   225   225   225   225   225   225   225   225   225   225   225   225   225   225   225   225   225   225   225   225   225   225   225   225   225   225   225   225   225   225   225   225   225   225   225   225   225   225   225   225   225   225   225   225   225   225   225   225   225   225   225   225   225   225   225   225   225   225   225   225   225   225   225   225   225   225   225   225   225   225   225   225   225   225   225   225   225   225   225   225   225   225   225   225   225   225   225   225   225   225   225   225   225   225   225   225   225   225   225   225   225   225   225   225   225   225   225   225   225   225   225   225   225   225   225   225   225   225   225   225   225   225   225   225   225   225 | 1177   5                                                                                              | 1177   5                                                                                          | 1177   5                                                                                      | 1177   5                                                                                            | 1177   5   RUE MINCHINIO   33500   LIBOURNE   EURL IMMOBILIERE LIBOURNAISE   MAGI                                                                                                                                                                                                                                                                                                                                                                                                                                                                                                                                                                                                                                                                                                                                                                                                                                                                                                                                                                                                                                                                                                                                                                                                                                                                                                                                                                                                                                                                                                                                                                                                                                                                                                                                                                                                                                                                                                                                                                                                                                         | 1117   5                                                                                  | 117   5   RILE MANCHIN   33500   LIBOURNE   EURL INMOBILIERE LIBOURNAISE   MAG1                                                                                                                                                                                                                                                                                                                                                                                                                                                                                                                                                                                                                                                                                                                                                                                                                                                                                                                                                                                                                                                                                                                                                                                                                                                                                                                                                                                                                                                                                                                                                                                                                                                                                                                                                                                                                                                                                                                                                                                                                                            | 1177   5.5   RILE MICHEL MONTAIGNEE   33500   LIBOURNE   EURL DAMACO   LIBOURNASE   | 1170   12   RUE MINOCIN   13500   LIBOURNE   EURL INFRANCO'N COMITAGE   MAGI                                                                                                                                                                                                                                                                                                                                                                                                                                                                                                                                                                                                                                                                                                                                                                                                                                                                                                                                                                                                                                                                                                                                                                                                                                                                                                                                                                                                                                                                                                                                                                                                                                                                                                                                                                                                                                                                                                                                         
                                                                                                        | 1170   1.2                                                                                                                                                                                                                                                                                                                                                                                                                                                                                                                                                                                                                                                                                                                                                                                                                                                                                                                                                                                                                                                                                                                                                                                                                                                                                                                                                                                                                                                                                                                                                                                                                                                                                                                                                                                                                                                                                                                                                                                                                                                                                                                   | 1100   12                                                                                                                                                                                                                                                                                                                                                                                                                                                                                                                                                                                                                                                                                                                                                                                                                                                                                                                                                                                                                                                                                                                                                                                                                                                                                                                                                                                                                                                                                                                                                                                                                                                                                                                                                                                                                                                                                                                                                                                                                                                                                                                    | 1170   12                                                                                                                                                                                                                                                                                                                                                                                                                                                                                                                                                                                                                                                                                                                                                                                                                                                                                                                                                                                                                                                                                                                                                                                                                                                                                                                                                                                                                                                                                                                                                                                                                                                                                                                                                                                                                                                                                                                                                                                                                                                                                                                      | 117 5 RUE MICHEL IMONTAIGNE 33500 LIBOURNE EURL INFRANCOIS MAG1  842 29 ALL ROBERT BOULIN 33500 LIBOURNE EURL INFRANCOIS MAG1  842 29 ALL ROBERT BOULIN 33500 LIBOURNE EURL INFRANCOIS MAG1  933 6 PL JEAN MOULIN 33500 LIBOURNE EURL INFRANCOIS CONSTANT  974 88 RTE DE SAINT EMILION 33500 LIBOURNE EURL DANDIENE ESTATE  975 PL JEAN MOULIN 33500 LIBOURNE EURL DANDIENE ESTATE  177 10 AV GEORGES CLEMENCEA 33500 LIBOURNE ET P ETABLISSEMENT PUBLIC FONCIER DE NOU DEP2  177 16 QUAI DE LISLE 33500 LIBOURNE ET P ETABLISSEMENT PUBLIC FONCIER DE NOU DEP2  177 16 QUAI DE LISLE 33500 LIBOURNE ET P ETABLISSEMENT PUBLIC FONCIER DE NOU DEP2  177 18 RUE FANCOIS CONSTANT 33500 LIBOURNE ET P ETABLISSEMENT PUBLIC FONCIER DE NOU DEP2  178 18 RUE FANCOIS CONSTANT 33500 LIBOURNE ET P ETABLISSEMENT PUBLIC FONCIER DE NOU DEP2  179 35 RUE ANDRE NHEVOIT 33500 LIBOURNE ET P ETABLISSEMENT PUBLIC FONCIER DE NOU DEP2  170 18 RUE ANDRE NHEVOIT 33500 LIBOURNE ET P ETABLISSEMENT PUBLIC FONCIER DE NOU DEP2  170 35 RUE ANDRE NHEVOIT 33500 LIBOURNE ET P ETABLISSEMENT PUBLIC FONCIER DE NOU DEP2  170 35 RUE ANDRE NHEVOIT 33500 LIBOURNE ET P ETABLISSEMENT PUBLIC FONCIER DE NOU DEP2  170 35 RUE ANDRE NHEVOIT 33500 LIBOURNE ET P ETABLISSEMENT PUBLIC FONCIER DE NOU DEP2  170 35 RUE ANDRE NHEVOIT 33500 LIBOURNE ET P ETABLISSEMENT PUBLIC FONCIER DE NOU DEP2  170 35 RUE ANDRE NHEVOIT 33500 LIBOURNE ET P ETABLISSEMENT DE LA GIRONDE BUR1  170 35 RUE ANDRE NHEVOIT 33500 LIBOURNE ET DE SASS FANCOIS CONSTANT BUR1  170 35 RUE ANDRE NHEVOIT 33500 LIBOURNE ET DE DEPARTE DE LA GIRONDE BUR1  170 35 RUE ANDRE NHEVOIT 33500 LIBOURNE ETA MAISON D ENFANTS FRANCOIS CONSTANT BUR1  171 BUR1 33500 LIBOURNE ETA MAISON DEPARTE DE LA GIRONDE BUR1  171 BUR1 33500 LIBOURNE ETA MAISON DEPARTE DE SASS FAMILIALES  171 BUR1 33500 LIBOURNE ETA MAISON DEPARTE DE SASS FAMILIALES  171 BUR1 33500 LIBOURNE ETA MAISON DEPART DE SASS FAMILIALES  171 BUR1 33500 LIBOURNE ETA MAISON DEPART DE SASS FAMILIALES  172 BUR1 33500 LIBOURNE ETABLICATION PEY BERLANDO SONSTANT SERVICATION PER BERLANDO SONSTAN | 117 5 RUE MICHEL MONTAIGNE 33500 LIBOURNE EURL IMMOBILIERE LIBOURNAISE MAG1  842 29 ALL ROBERT BOULIN 33500 LIBOURNE EURL IMMOBILIERE LIBOURNAISE MAG1  842 29 ALL ROBERT BOULIN 33500 LIBOURNE EURL IMMOBILIERE LIBOURNAISE MAG1  933 6 PL JEAN MOULIN 33500 LIBOURNE EURL IMMOBILIERE LIBOURNAISE MAG1  92 BD DE GARDEROSE 33500 LIBOURNE EURL DOMINIQUE LEYMARIE MAG1  92 RUE CHANZY 33500 LIBOURNE EURL DOMINIQUE LEYMARIE MAG1  717 10 AV GEORGES CLEMENCEA 33500 LIBOURNE EURL DARDENNE ESTATE  147 16 QUAI DE L ISLE 33500 LIBOURNE ET P GRONDE HABITAT OFFICE PUBLIC DE L' BUR1  147 18 RUE ANDRE NHEVOIT 33500 LIBOURNE ET P ETABLISSEMENT PUBLIC FONCIER DE NOU MAG1  27 35 RUE ANDRE NHEVOIT 33500 LIBOURNE ET P ETABLISSEMENT PUBLIC FONCIER DE NOU MAG1  49 20 RUE FANCOIS CONSTANT 33500 LIBOURNE EPA MAISON D ENFANTS FRANCOIS CONSTANT HOT3  856 21 AV DU MARECHAL FOCH 33500 LIBOURNE EPA MAISON D ENFANTS FRANCOIS CONSTANT ATE1  80R1  80R1  80R2  80R2  80R2  80R3  80 | 117 5   PLEARWINGOLINE   SASON   LIBOURNE   EURL PIERRANOVA   MAG1    842 29 ALL ROBERT BOULIN   33500   LIBOURNE   EURL PIERRANOVA   MAG1    842 29 ALL ROBERT BOULIN   33500   LIBOURNE   EURL IMMOBILIERE LIBOURNAISE   MAG1    842 29 ALL ROBERT BOULIN   33500   LIBOURNE   EURL IMMOBILIERE LIBOURNAISE   MAG1    933 6 PL JEAN MOULIN   33500   LIBOURNE   EURL IMMOBILIERE LIBOURNAISE   MAG2    92 8 BD DE GARDEROSE   33500   LIBOURNE   EURL DANIOLULE   EURL DANIOLULE   EURL DANIOLULE   EURL DANIOLULE   EURL DE PELUZAC    92 8 BD DE GARDEROSE   33500   LIBOURNE   EURL DE PELUZAC   DEP2    1623 27 RUE CHANZY   33500   LIBOURNE   ET P GIRONDE HABITAT OFFICE PUBLIC DE L' BUR1    147 16 QUAI DE LISLE   33500   LIBOURNE   ET P ETABLISSEMENT
PUBLIC FONCIER DE NOU DEP2    147 18 RUE ANDRE NHEVOIT   33500   LIBOURNE   ET P ETABLISSEMENT PUBLIC FONCIER DE NOU DEP2    27 35 RUE ANDRE NHEVOIT   33500   LIBOURNE   ET P AMAISON D ENFANTS FRANCOIS CONSTANT   HOT3    28 RUE ANDRE NHEVOIT   33500   LIBOURNE   EPA MAISON D ENFANTS FRANCOIS CONSTANT   BUR1    29 BOLT HARCON DE NIFANTS FRANCOIS CONSTANT   ATE1    20 RUE THIERS   33500   LIBOURNE   EPA MAISON D ENFANTS FRANCOIS CONSTANT   BUR1    20 RUE THIERS   33500   LIBOURNE   EPA MAISON D ENFANTS FRANCOIS CONSTANT   ATE1    20 RUE THIERS   33500   LIBOURNE   EPA MAISON D ENFANTS FRANCOIS CONSTANT   BUR1    20 RUE THIERS   33500   LIBOURNE   EPA MAISON D ENFANTS FRANCOIS CONSTANT   ATE1    21 AV DU MARECHAL FOCH   33500   LIBOURNE   EPA MAISON D ENFANTS FRANCOIS CONSTANT   BUR1    22 BUR1   AV DU MARECHAL FOCH   33500   LIBOURNE   EPA MAISON D ENFANTS FRANCOIS CONSTANT   BUR1    23 BUR1   AV DU MARECHAL FOCH   33500   LIBOURNE   EPA MAISON D ENFANTS FRANCOIS CONSTANT   BUR1    24 BUR1   AV DU MARECHAL FOCH   33500   LIBOURNE   EPA MAISON D ENFANTS FRANCOIS CONSTANT   ATE1    25 BUR1   AV DU MARECHAL FOCH   33500   LIBOURNE   EPA MAISON D ENFANTS FRANCOIS CONSTANT   BUR1    26 BUR1   AV DU MARECHAL FOCH   33500   LIBOURNE   EPA MAISON D ENFANTS FRANCOIS CONSTANT   ATE1    27 BUR1 PAT | 117 5 RUE MICHEL MOUNTAIGNE 33500 LIBOURNE EURL PIERRANOVA.  842 29 ALL ROBERT BOULIN 33500 LIBOURNE EURL IMMOBILIERE LIBOURNAISE MAG1  842 29 ALL ROBERT BOULIN 33500 LIBOURNE EURL IMMOBILIERE LIBOURNAISE MAG1  933 6 PL JEAN MOULIN 33500 LIBOURNE EURL IMMOBILIERE LIBOURNAISE MAG1  92 8D DE GARDEROSE 33500 LIBOURNE EURL DOMINIQUE LEYMARIE MAG1  92 8D DE GARDEROSE 33500 LIBOURNE EURL DOMINIQUE LEYMARIE MAG1  717 10 AV GEORGES CLEMENCEA 33500 LIBOURNE EURL DARDENNE ESTATE BUR1  147 16 QUAI DE LISLE 33500 LIBOURNE ET P GIRONDE HABITAT OFFICE PUBLIC DE L' BUR1  147 18 RUE ANDRE NHEVOIT 33500 LIBOURNE ET P ETABLISSEMENT PUBLIC FONCIER DE NOU DEP2  27 35 RUE ANDRE NHEVOIT 33500 LIBOURNE ET P ETABLISSEMENT PUBLIC FONCIER DE NOU DEP2  28 RUE FAUICOS CONSTANT 33500 LIBOURNE EPA MAISON D ENFANTS FRANCOIS CONSTANT HOT3  180 RUE FULIERS 33500 LIBOURNE EPA MAISON D ENFANTS FRANCOIS CONSTANT BUR1  28 RUE FULIERS 33500 LIBOURNE EPA MAISON D ENFANTS FRANCOIS CONSTANT ATE1  190 RUE FULIERS 33500 LIBOURNE EPA MAISON D ENFANTS FRANCOIS CONSTANT ATE1  29 RUE FULIERS 33500 LIBOURNE EPA MAISON D ENFANTS FRANCOIS CONSTANT ATE1  29 RUE FULIERS 33500 LIBOURNE EPA MAISON D ENFANTS FRANCOIS CONSTANT ATE1  20 RUE FULIERS 33500 LIBOURNE EPA MAISON D ENFANTS FRANCOIS CONSTANT ATE1  20 RUE FULIERS 33500 LIBOURNE EPA MAISON D ENFANTS FRANCOIS CONSTANT ATE1  20 RUE FULIERS 33500 LIBOURNE EPA MAISON D ENFANTS FRANCOIS CONSTANT ATE1  20 RUE FULIERS 33500 LIBOURNE EPA MAISON D ENFANTS FRANCOIS CONSTANT ATE1  21 RUE FULIERS 33500 LIBOURNE EPA MAISON D ENFANTS FRANCOIS CONSTANT ATE1  22 RUE FULIERS 33500 LIBOURNE EPA MAISON D ENFANTS FRANCOIS CONSTANT ATE1 | 117 5 RUE MICHEL MONTAIGNE 33500 LIBOURNE EURL PIERRANOVA  842 29 ALL ROBERT BOULIN 33500 LIBOURNE EURL PIERRANOVA  842 29 ALL ROBERT BOULIN 33500 LIBOURNE EURL IMMOBILIERE LIBOURNAISE MAG1  843 6 PL JEAN MOULIN 33500 LIBOURNE EURL IMMOBILIERE LIBOURNAISE MAG1  933 6 RTE DE SAINT EMILION 33500 LIBOURNE EURL DOMINIQUE LEYMARIE MAG1  92 8 BD DE GARDEROSE 33500 LIBOURNE EURL DOMINIQUE LEYMARIE MAG1  717 10 AV GEORGES CLEMENCEA 33500 LIBOURNE EURL DARDENNE ESTATE  947 16 QUAI DE LISLE 33500 LIBOURNE ET P ETABLISSEMENT PUBLIC FONCIER DE NOU DEP2  147 16 QUAI DE LISLE 33500 LIBOURNE ET P ETABLISSEMENT PUBLIC FONCIER DE NOU DEP2  147 18 RUE ANDRE NHEVOIT 33500 LIBOURNE ET P ETABLISSEMENT PUBLIC FONCIER DE NOU MAG1  148 RUE FRANCOIS CONSTANT BUR1  149 18 RUE FRANCOIS CONSTANT BUR1  140 BUR1  141 18 RUE FRANCOIS CONSTANT BUR1  140 BUR1  141 18 RUE FRANCOIS CONSTANT BUR1                                                                                                         | 117 5 RUE MICHEL MONTAIGNE 33500 LIBOURNE EURL IMMOBILIERE LIBOURNAISE MAG1  842 29 ALL ROBERT BOULIN 33500 LIBOURNE EURL IMMOBILIERE LIBOURNAISE MAG1  842 29 ALL ROBERT BOULIN 33500 LIBOURNE EURL IMMOBILIERE LIBOURNAISE MAG1  933 6 PL JEAN MOULIN 33500 LIBOURNE EURL IMMOBILIERE LIBOURNAISE MAG4  92 BO DE GARDEROSE 33500 LIBOURNE EURL DOMINIQUE LEYMARIE MAG1  717 10 AV GEORGES CLEMENCEA 33500 LIBOURNE EURL DARDENNE ESTATE  717 16 QUAI DE LISLE 33500 LIBOURNE ET P ETABLISSEMENT DUBLIC FONCIER DE NOU DEP2  147 16 QUAI DE LISLE 33500 LIBOURNE ET P ETABLISSEMENT PUBLIC FONCIER DE NOU MAG1  27 RUE ANDRE NHEVOIT 33500 LIBOURNE ET P ETABLISSEMENT PUBLIC FONCIER DE NOU MAG1  147 16 QUAI DE LISLE 33500 LIBOURNE ET P ETABLISSEMENT PUBLIC FONCIER DE NOU MAG1  27 RUE ANDRE NHEVOIT 33500 LIBOURNE ET P ETABLISSEMENT PUBLIC FONCIER DE NOU MAG1  147 16 QUAI DE LISLE 33500 LIBOURNE ET P ETABLISSEMENT PUBLIC FONCIER DE NOU MAG1  27 RUE ANDRE NHEVOIT 33500 LIBOURNE ET P ETABLISSEMENT PUBLIC FONCIER DE NOU MAG1 | 117 5 RUE MICHEL MONTAIGNE 33500 LIBOURNE EURL PIERRANOVA MAG1  842 29 ALL ROBERT BOULIN 33500 LIBOURNE EURL IMMOBILIERE LIBOURNAISE MAG1  842 29 ALL ROBERT BOULIN 33500 LIBOURNE EURL IMMOBILIERE LIBOURNAISE MAG1  933 6 PL JEAN MOULIN 33500 LIBOURNE EURL IMMOBILIERE LIBOURNAISE MAG4  934 88 RTE DE SAINT EMILION 33500 LIBOURNE EURL DOMINIQUE LEYMARIE MAG1  92 BD DE GARDEROSE 33500 LIBOURNE EURL DE PELUZAC DEP2  95 RUE CHANZY 33500 LIBOURNE EURL DE PELUZAC DEP2  147 16 QUAI DE LISLE 33500 LIBOURNE ET P GIRONDE HABITAT OFFICE PUBLIC DE L' BUR1  148 GUAI DE LISLE 33500 LIBOURNE ET P ETABLISSEMENT PUBLIC FONCIER DE NOU DEP2  149 DEP2  140 BUR1 ET DE TABLISSEMENT PUBLIC FONCIER DE NOU DEP2  140 BUR1 ET DE TABLISSEMENT PUBLIC FONCIER DE NOU DEP2 | 117 5 RUE MICHEL MONTAIGNE 33500 LIBOURNE EURL PIERRANOVA  R42 29 ALL ROBERT BOULIN 33500 LIBOURNE EURL IMMOBILIERE LIBOURNAISE MAG1  933 6 PL JEAN MOULIN 33500 LIBOURNE EURL IMMOBILIERE LIBOURNAISE MAG1  374 88 RTE DE SAINT EMILION 33500 LIBOURNE EURL DOMINIQUE LEYMARIE MAG1  92 BD DE GARDEROSE 33500 LIBOURNE EURL DOMINIQUE LEYMARIE MAG1  717 10 AV GEORGES CLEMENCEA 33500 LIBOURNE EURL DARDENNE ESTATE  ET P GIRODE HABITAT OFFICE PUBLIC DE L' BUR1  ET P GIRODE HABITAT OFFICE PUBLIC DE L' BUR1                                                                                                                                                                                                                                                                                      | 117 5 RUE MICHEL MONTAIGNE 33500 LIBOURNE EURL PIERRANOVA MAG1  842 29 ALL ROBERT BOULIN 33500 LIBOURNE EURL IMMOBILIERE LIBOURNAISE MAG1  842 29 ALL ROBERT BOULIN 33500 LIBOURNE EURL IMMOBILIERE LIBOURNAISE MAG1  933 6 PL JEAN MOULIN 33500 LIBOURNE EURL FR INVESTISSEMEÑT DEP2  94 88 RTE DE SAINT EMILION 33500 LIBOURNE EURL DOMINIQUE LEYMARIE MAG1  95 BD DE GARDEROSE 33500 LIBOURNE EURL DE PELUZAC DEP2  8623 27 RUE CHANZY 33500 LIBOURNE EURL DARDENNE ESTATE BUR1  886 BUR1                                                                                            | 117 5 RUE MICHEL MONTAIGNE 33500 LIBOURNE EURL PIERRANOVA MAG1  842 29 ALL ROBERT BOULIN 33500 LIBOURNE EURL IMMOBILIERE LIBOURNAISE MAG1  842 29 ALL ROBERT BOULIN 33500 LIBOURNE EURL IMMOBILIERE LIBOURNAISE MAG1  933 6 PL JEAN MOULIN 33500 LIBOURNE EURL FR INVESTISSEMENT DEP2  94 BD DE GARDEROSE 33500 LIBOURNE EURL DOMINIQUE LEYMARIE MAG1  DEP2  DEP2                                                                                                                              |                                                                                                                                                                                                                                                                                                                                                                                                                                                                                                                              | 278 67 RUE DU DOCTEUR NARD 33500 LIBOURNE GCS GCS CLINIQUE CHIRURGICALE DU LIBOURN DEP2                                                                                                                                                                                                                                                                                                                                                                                                                                                                                                                        | 1 611 19 RUE DU PRIOURAT 33500 LIBOURNE GFA FRANCOIS JANOUEIX ET FILS DEP2 278 67 RUE DU DOCTEUR NARD 33500 LIBOURNE GCS GCS CLINIQUE CHIRURGICALE DU LIBOURN DEP2                                                                                                                                                                                                                                                                                                                                                                                                                                                               | 430 7 B RUE MAX LINDER 33500 LIBOURNE INST CCIT BORDEAUX GIRONDE ENS1  65 195 RTE DE SAINT EMILION 33500 LIBOURNE GFA GFA CHATEAU DU TAILHAS BUR1  7 611 19 RUE DU PRIOURAT 33500 LIBOURNE GFA FRANCOIS JANOUEIX ET FILS DEP2  278 67 RUE DU DOCTEUR NARD 33500 LIBOURNE GCS GCS CLINIQUE CHIRURGICALE DU LIBOURN DEP2                                                                                                                                                                                                                                                                                                                                                                                                                                                                 
                                                                                                                                                                                                                                                                                                                                                                                                                                                                                           | 431 7 B RUE MAX LINDER 33500 LIBOURNE INST CCIT BORDEAUX GIRONDE ENS1 430 7 B RUE MAX LINDER 33500 LIBOURNE INST CCIT BORDEAUX GIRONDE ENS1 65 195 RTE DE SAINT EMILION 33500 LIBOURNE GFA GFA CHATEAU DU TAILHAS BUR1 661 19 RUE DU PRIOURAT 33500 LIBOURNE GFA FRANCOIS JANOUEIX ET FILS 67 RUE DU DOCTEUR NARD 33500 LIBOURNE GCS GCS CLINIQUE CHIRURGICALE DU LIBOURN DEP2                                                                                                                                                                                                                                                                                                                                                                                                                                                                                                                                                                                                                                                                                                                                                                                                                                                                                                                                                                                                                                                                                                                                                                                                                                                                                                                                                                                                                                                                                                                                                                                                                                                                                                                                                 | 414 9002 RUE MAX LINDER 33500 LIBOURNE INST CCIT BORDEAUX GIRONDE BUR1 431 7 B RUE MAX LINDER 33500 LIBOURNE INST CCIT BORDEAUX GIRONDE ENS1 430 7 B RUE MAX LINDER 33500 LIBOURNE INST CCIT BORDEAUX GIRONDE ENS1 65 195 RTE DE SAINT EMILION 33500 LIBOURNE GFA GFA CHATEAU DU TAILHAS BUR1 67 RUE DU PRIOURAT 33500 LIBOURNE GFA FRANCOIS JANOUEIX ET FILS DEP2 278 67 RUE DU DOCCTEUR NARD 33500 LIBOURNE GCS GCS CLINIQUE CHIRURGICALE DU LIBOURN DEP2                                                                                                                                                                                                                                                                                                                                                                                                                                                                                                                                                                                                                                                                                                                                                                                                                                                                                                                                                                                                                                                                                                                                                                                                                                                                                                                                                                                                                                                                                                                                                                                                                                                                    | 429 7 B RUE MAX LINDER 33500 LIBOURNE INSTITUT LIBOURNAIS DE FORMATION PAR APP ENS1 428 7 B RUE MAX LINDER 33500 LIBOURNE INST CCIT BORDEAUX GIRONDE ENS1 414 9002 RUE MAX LINDER 33500 LIBOURNE INST CCIT BORDEAUX GIRONDE BUR1 431 7 B RUE MAX LINDER 33500 LIBOURNE INST CCIT BORDEAUX GIRONDE ENS1 430 7 B RUE MAX LINDER 33500 LIBOURNE INST CCIT BORDEAUX GIRONDE ENS1 430 7 B RUE MAX LINDER 33500 LIBOURNE INST CCIT BORDEAUX GIRONDE ENS1 430 7 B RUE MAX LINDER 33500 LIBOURNE INST CCIT BORDEAUX GIRONDE ENS1 430 7 B RUE DU PRIOURAT 33500 LIBOURNE GFA GFA CHATEAU DU TAILHAS BUR1 431 19 RUE DU PRIOURAT 33500 LIBOURNE GFA FRANCOIS JANOUEIX ET FILS DEP2 432 67 RUE DU DOCTEUR NARD 33500 LIBOURNE GCS GCS CLINIQUE CHIRURGICALE DU LIBOURN DEP2                                                                                                                                                                                                                                                                                                                                                                                                                                                                                                                                                                                                                                                                                                                                                                                                                                                                                                                                                                                                                          | 336 26 A VOU PARC DES SPORTS 33500 LIBOURNE LA JAROUSSE 429 7 B RUE MAX LINDER 33500 LIBOURNE INSTITUT LIBOURNAIS DE FORMATION PAR APP ENS1 428 7 B RUE MAX LINDER 33500 LIBOURNE INST CCIT BORDEAUX GIRONDE ENS1 431 7 B RUE MAX LINDER 33500 LIBOURNE INST CCIT BORDEAUX GIRONDE ENS1 430 7 B RUE MAX LINDER 33500 LIBOURNE INST CCIT BORDEAUX GIRONDE ENS1 430 7 B RUE MAX LINDER 33500 LIBOURNE INST CCIT BORDEAUX GIRONDE ENS1 430 7 B RUE MAX LINDER 33500 LIBOURNE INST CCIT BORDEAUX GIRONDE ENS1 65 195 RUE MAX LINDER 33500 LIBOURNE INST CCIT BORDEAUX GIRONDE ENS1 67 RUE DU PRIOURAT 33500 LIBOURNE GFA GFA CHATEAU DU TAILHAS BUR1 68 RUE DU PRIOURAT 33500 LIBOURNE GFA FRANCOIS JANOUEIX ET FILS DEP2 69 CS GCS CLINIQUE CHIRURGICALE DU LIBOURN DEP2                                                                                                                                                                                                                                                                                                                                                                                                                                                                                                                                                                                                                                                                                                                                                                                                                                                                               | 248 78 RUE GAMBETTA 33500 LIBOURNE SCI DU 145 AV GAL DE GAULLE MAG1  45 13 RUE SAINT EXUPERY 33500 LIBOURNE SCI DU 13 RUE SAINT EXUPERY BUR1  336 26 AV DU PARC DES SPORTS 33500 LIBOURNE LA JAROUSSE BUR2  429 7 B RUE MAX LINDER 33500 LIBOURNE INSTITUT LIBOURNAIS DE FORMATION PAR APP ENS1  428 7 B RUE MAX LINDER 33500 LIBOURNE INST CCIT BORDEAUX GIRONDE ENS1  414 9002 RUE MAX LINDER 33500 LIBOURNE INST CCIT BORDEAUX GIRONDE BUR1  431 7 B RUE MAX LINDER 33500 LIBOURNE INST CCIT BORDEAUX GIRONDE ENS1  430 7 B RUE MAX LINDER 33500 LIBOURNE INST CCIT BORDEAUX GIRONDE ENS1  430 7 B RUE MAX LINDER 33500 LIBOURNE INST CCIT BORDEAUX GIRONDE ENS1  430 7 B RUE MAX LINDER 33500 LIBOURNE INST CCIT BORDEAUX GIRONDE ENS1  430 7 B RUE MAX LINDER 33500 LIBOURNE INST CCIT BORDEAUX GIRONDE ENS1  430 7 B RUE DE SAINT EMILION 33500 LIBOURNE GFA CHATEAU DU TAILHAS BUR1  450 67 RUE DU PRIOURAT 33500 LIBOURNE GFA FRANCOIS JANOUEIX ET FILS  470 611 19 RUE DU DOCCTEUR NARD 33500 LIBOURNE GCS CC LINIQUE CHIRURGICALE DU LIBOURN DEP2                                                                                                                                                                                                                                                                                                                                                                                                                                        | 248 60 RUE DES CHAIS 33500 LIBOURNE SCI DU 56 RUE DES CHAIS PAR MIR LACROIX G MAG1  248 78 RUE GAMBETTA 33500 LIBOURNE SCI DU 145 AV GAL DE GAULLE MAG1  45 13 RUE SAINT EXUPERY 33500 LIBOURNE SCI DU 13 RUE SAINT EXUPERY BUR1  336 26 AV DU PARC DES SPORTS 33500 LIBOURNE LA JAROUSSE  429 7 B RUE MAX LINDER 33500 LIBOURNE INSTITUT LIBOURNAIS DE FORMATION PAR APP ENS1  428 7 B RUE MAX LINDER 33500 LIBOURNE INST CCIT BORDEAUX GIRONDE ENS1  431 7 B RUE MAX LINDER 33500 LIBOURNE INST CCIT BORDEAUX GIRONDE BUR1  430 7 B RUE MAX LINDER 33500 LIBOURNE INST CCIT BORDEAUX GIRONDE ENS1  430 7 B RUE MAX LINDER 33500 LIBOURNE INST CCIT BORDEAUX GIRONDE ENS1  430 7 B RUE
MAX LINDER 33500 LIBOURNE INST CCIT BORDEAUX GIRONDE ENS1  431 19 RUE MAX LINDER 33500 LIBOURNE GFA GFA CHATEAU DU TAILHAS BUR1  432 67 RIE DE SAINT EMILION 33500 LIBOURNE GFA FRANCOIS JANOUEIX ET FILS  434 67 RUE DU PRIOURAT 33500 LIBOURNE GFA FRANCOIS JANOUEIX ET FILS  435 DEP2                                                                                                                                                                                                                                                                                                                                                                                                                                                                                                                                                                                                                                                                                                                                                                                                                                                                                                                                                                                                                                                                                                                                             | 844 60 RUE DES CHAIS 33500 LIBOURNE SCI DU 56 RUE DES CHAIS PAR MR LACROIX G 845 60 RUE DES CHAIS 33500 LIBOURNE SCI DU 56 RUE DES CHAIS PAR MR LACROIX G 846 78 RUE GAMBETTA 33500 LIBOURNE SCI DU 156 RUE DES CHAIS PAR MR LACROIX G 847 78 RUE GAMBETTA 33500 LIBOURNE SCI DU 145 AV GAL DE GAULLE MAG1 848 78 RUE SAINT EXUPERY 33500 LIBOURNE SCI DU 13 RUE SAINT EXUPERY BUR1 849 79 8 RUE MAX LINDER 33500 LIBOURNE INSTITUT LIBOURNAIS DE FORMATION PAR APP ENS1 841 70 8 RUE MAX LINDER 33500 LIBOURNE INSTITUT LIBOURNAIS DE FORMATION PAR APP ENS1 842 70 8 RUE MAX LINDER 33500 LIBOURNE INSTITUT LIBOURNAIS DE FORMATION PAR APP ENS1 843 70 8 RUE MAX LINDER 33500 LIBOURNE INSTITUT CCIT BORDEAUX GIRONDE ENS1 843 70 8 RUE MAX LINDER 33500 LIBOURNE INSTITUT CCIT BORDEAUX GIRONDE ENS1 843 70 8 RUE MAX LINDER 33500 LIBOURNE INSTITUT CCIT BORDEAUX GIRONDE ENS1 843 70 8 RUE MAX LINDER 33500 LIBOURNE INSTITUT CCIT BORDEAUX GIRONDE ENS1 843 70 8 RUE MAX LINDER 33500 LIBOURNE INSTITUT CCIT BORDEAUX GIRONDE ENS1 844 850 LIBOURNE GFA CHATEAU DU TAILHAS BUR1 845 87 RUE DU PRIOURAT 33500 LIBOURNE GFA FRANCOIS JANOUEIX ET FILS 846 70 RUE DU PRIOURAT 33500 LIBOURNE GFA FRANCOIS JANOUEIX ET FILS 847 BUR1 848 70 RUE DU PRIOURAT 33500 LIBOURNE GFA FRANCOIS JANOUEIX ET FILS 848 70 RUE DU PRIOURAT 33500 LIBOURNE GCS GCS CLINIQUE CHIRURGICALE DU LIBOURN DEP2                                                                                                                                                                                                                                                                                                                                                                                                                                                                                                                                                                                                                                                                                                                              | 232   83   RUE GAMBETTA   33500   LIBOURNE   SCI DU 83 RUE GAMBETTA   MAG1                                                                                                                                                                                                                                                                                                                                                                                                                                                                                                                                                                                                                                                                                                                                                                                                                                                                                                                                                                                                                                                                                                                                                                                                                                                                                                                                                                                                                                                                                                                                                                                                                                                                                                                                                                                                                                                                                                                                                                                                                                                     | 322   86   CRS TOURNY   33500   LIBOURNE   SCI DU 86 COURS TOURNY   BUR1                                                                                                                                                                                                                                                                                                                                                                                                                                                                                                                                                                                                                                                                                                                                                                                                                                                                                                                                                                                                                                                                                                                                                                                                                                                                                                                                                                                                                                                                                                                                                                                                                                                                                                                                                                                                                                                                                                                                                                                                                                                     | 172   9030   RUE DE BARREAU   33500   LIBOURNE   SCI DU GEMINI DE BARREAU   MAG2                 | 14   RUE JULES FERRY   33500   LIBOURNE   SCI DVS   BUR1                                                                                                                                                                                                                                                                                                                                                                                                                                                                                                                                                                                                                                                                                                                                                                                                                                                                                                                                                                                                                                                                                                                                                                                                                                                                                                                                                                                                                                                                                                                                                                                                                                                                                                                                                                                                                                                                                                                                                                                                                                                                    | R44   105   AV GEORGESIPOMPIDOU   33500   LIBOURNIE   SCI DYS                                                                                                                                                                                                                                                                           
                                                                                                                                                                                                                                                                                                                                                                                                                                                                                                                                                                                                                                                                                                                                                                                                                                                                                                                                                                                                                                                                                                                                                                                                                                                                                                                                                                                                                                                                                                                                                                                                                                                                                                                                                                                    | S500                                                                                                                                                                                                                                                                                                                                                                                                                                                                                                                                                                                                                                                                                                                                                                                                                                                                                                                                                                                                                                                                                                                                                                                                                                                                                                                                                                                                                                                                                                                                                                                                                                                                                                                                                                                                                                                                                                                                                                                                                                                                                                                         | S81   28  | 277   1   B   ALL ROBERT BOULIN   33500   LIBOURNE   SCI GREG   MAG1                                                                                                                                                                                                                                                                                                                                                                                                                                                                                                                                                                                                                                                                                                                                                                                                                                                                                                                                                                                                                                                                                                                                                                                                                                                                                                                                                                                                                                                                                                                                                                                                                                                                                                                                                                                                                                                                                                                                                                                                                                                         | 2021   BH   855   23   AV DU JAMARCIAL FOCH   35500   LIBOURNE   SCI GIT JANOUEX ET FILS   | 2021   RO                                                                                                                                                                                                                                                                                                                                                                                                                                                                                                                                                                                                                                                                                                                                                                                                                                                                                                                                                                                                                                                                                                                                                                                                                                                                                                                                                                                                                                                                                                                                                                                                                                                                                                                                                                                                                                                                                                                                                                                                                                                                                                                   | 2021   SE   488   33   RUE BELLON   35500   IBDOURNE   SCH HEINE HALAY **.   BUP1                     | 2021   He   616   7   RECHARZY   33500   BOURNE   SCHIRCHN HALAY & SCHIR | 2021   CO  | 2021   GK   79   169   MAY DE VERDIN   33500   LIBOURNE   SCI LET A DOGGAT   BURIL                                                                                                                                                                                                                                                                                                                                                                                                                                                                                                                                                                                                                                                                                                                                                                                                                                                                                                                                                                                                                                                                                                                                                                                                                                                                                                                                                                                                                                                                                                                                                                                                                                                                                                                                                                                                                                  
                                                                                                                                                                                                       | 2021   61   56   73   AV DIGENERAL DE SONUI 35300 LIBOURNE   SCI LAGRACONE   BURIL                                                                                                                                                                                                                                                                                                                                                                                                                                                                                                                                                                                                                                                                                                                                                                                                                                                                                                                                                                                                                                                                                                                                                                                                                                                                                                                                                                                                                                                                                                                                                                                                                                                                                                                                                                                                                                                                                                                                                                                                                                           | 2021   80   138   23   AD DI CARREALO ES AUTI 33500   LIBOURNE   SCI L/GAROCHE   MACZ 2012   RT   56   73   AN DI CARREALO E GAUIT 33500   LIBOURNE   SCI L/GAROCHE   SUL GAROCHE   SUPET 2012   AND CONTROLL   STATE 2012   AND CONTROLL   AND CONTROLL   STATE 2012   AND CONTROLL   AN |

S

0070092-20220927-2022\_09\_240-DE

																																																														iché : 033	
2021	2021	2021	2021	2021	2021	2021	2021	2021	2021	2021	2021	2021	2021	2021	2021	2021	1207	2021	2021	2021	2021	2021	2021	2021	2021	2021	2021	2021	2021	2021	2021	2021	2021	2021	2021	2021	2021	2021	2021	2021	2021	2021	2021	2021	2021	2021	2021	2021	2021	2021	2021	2021	2021	2021	2021	2021	2021	2021	2021	2021	2021	2021	2021
Α	A :	D 1	> >	Þ	A	A	<b>&gt;</b> :	<b>D</b>	> >	0	C	С	Α	Α	A	> 3	>	. 0	ZC	ZS	× ~	Ϋ́ BP	BP	ВР	ВР	BP :	By	RB A	AM	AM	AE 8	AE	ΑE	AE	AE AC	S A	AE	ΑE	m n	n	ZR	m n	n m	П	т	m	1 1	NZ	γp -Z	<b>4</b> 7	YZ	0	0 5	ZX	ZA	ZN ZH	ZH	ZD	dZ C	ZM MZ	ZL	ZK	ZA
1567	1567	1567	1567	1746	351	351	1842	1137	685	2001	1999	1061	1641	1641	1934	1964	1936	1865	29	168	76 TUU	822	810	669	612	585	545	191	225	306	442	179	476	424	248	265	758	758	1513	1374	211	1521	1521	1521	1521	1521	318	206	16	16	14	668	47	237	57	330	59	20	20	103	100	161	56
26	16	18	22	4	10				77	111	11			25	52	$\perp$		9049	57	6 1	2 203	103	15	13	1	22	32	524	9000	135	276	263	1	337	1	266	255	255	168	, 1->	9001	829	829	829	829			5	123	739	239	105	70	196	1	442			86		10	5	69
RUE DU BARRY NORD	RUE DU BARRY NORD	RUF DU BARRY NORD	RUE DU BARRY NORD	T RUE DU BARRY NORD	RUE JEAN JAURES		B RUE JEAN JAURES	A DEVANT RIEUX	RUE JEAN JAURES	RUE DE LA REPUBLIQUE	RUE DE LA REPUBLIQUE	B RUE DE LA REPUBLIQUE	AV MAL DE LATTRE DE	LA GARE	RUE ALPHONSE DAUDET		H RUE ALPHONSE DAUDET	RUE	LA MAINE DU PONT-NORD	DES	RTF DU BARRY		RTE DE PARIS	띪		RTE DE PARIS	RTE DE LUSSAC	SAUJAN BTE DE DARIS	GRAND BOIS EST	RUE LARROQUE	AU GENEBRA	AU GENEBRA	AU GENEBRA	AU GENEBRA	RUE DU GENEBRA	AU GENEBRA	AU GENEBRA	AU GENEBRA	RUE DE LA REPUBLIQUE	PL DE LA FRATERNITE	PETITE NAUVE	BOFFERON NORD	BOFFERON NORD	BOFFERON NORD	BOFFERON NORD	BOFFERON NORD		RUE DU 8 MAI 1945	LE FOURQUET	ROIS DE REVTOUR	BOIS DE BEYTOUR	LE BOURG	LE BOURG	JAMAYAU	LA CHAUX	LE PALAIS	A LAUBARDEMONT			LES BOUTINARDS	T CHAMP DE GOUGEON	BELAIR	LE BODOU
33660	33660	33660	33660	33660	33660	33660			33660				>				T 33660		RD 33660									33/50	33750	33910	33750	33750	33750	33750	33750	33/50	33750		33230		33230	33230	33230	33230	33230	33230	33230	33230	33230	33230	33230	33660	33660	33660	33660	33910	33910	33910	33910	33910	33910	33910	COLO
ST-SEURIN-SUR-L IS		SUR-I	ST-SEURIN-SUR-L IS	ST-SEURIN-SUR-L IS	ST-SEURIN-SUR-L IS	ST-SEURIN-SUR-L IS	ST-SEURIN-SUR-L IS	ST-SEURIN-SUR-L IS	ST-SEURIN-SUR-LISLE	ST-SEURIN-SUR-L ISLE	ST-SEURIN-SUR-L ISLE	ST-SEURIN-SUR-L ISLE	ST-SEURIN-SUR-L ISLE	ST-SEURIN-SUR-L IS	ST-SEURIN-SUR-L ISLE	ST-SEURIN-SUR-L IS	ST-SEURIN-SUR-LISE	ST-SEURIN-SUR-L ISLE	ST-SAUVEUR-DE-PL	ST-DENIS-DE-PILE	ST-DENIS-DE-PILE	ST-DENIS-DE-PILE				ST-DENIS-DE-PILE		ST-DENIS-DE-PILE	ST GERMAIN DU PUC	ST CIERS D ABZAC	SAINT-QUENTIN-DE-B	SAINT-QUENTIN-DE-B	SAINT-QUENTIN-DE-B	SAINT-QUENTIN-DE-B	SAINT-QUENTIN-DE-B	SAINT-QUENTIN-DE-	SAINT-QUENTIN-DE	SAINT-QUENTIN-DE-	SAINT-MEDARD-DE-G	SAINT-MEDARD-DE-G	SAINT-MEDARD-DE	SAINT-MEDARD-DE-G	SAINT-MEDARD-DE-G	SAINT-MEDARD-DE-G	SAINT-MEDARD-DE-G	SAINT-MEDARD-DE-	SAINT-MEDARD-DE	SAINT-MEDARD-DE-G	SAINT-CHRISTOPHE	SAINT-CHRISTOPHE-D	SAINT-CHRISTOPHE-D	SAINT-ANTOINE-SUR-	SAINT-ANTOINE-SU	SAINT-ANTOINE-SUR-	TOINE	SABLONS	SABLONS	SABLONS	SABLONS	SABLONS SABLONS	SABLONS	SABLONS	OMBLUND
JRIN-SUR-L ISLE SCI SCI LE QUEYSSANT	ISLE SCI SCI LE QUEYSSANT	ISLE SCI SCI LE QUEYSSANT	SLESCI SCI LE QUEYSSANT	ISLESCIMHC	ISLE SCI JEAN JAURES	S	ISTE SCI 1CT	SLE M VINCENT MARCHESSEAU	SLEM SERGE GANGAROSSA	SLE M JEAN-PHILIPPE ROUZET			SLE M JEAN-CLAUDE CASSADOU	SLE M JEAN-CLAUDE CASSADOU	SLE EURL ETS MERCIER IVAN	SLE EURL ETS MERCIER IVAN	SEE EURL ETS MERCIER IVAN	SLE EMMAUS DEVELOPPEMENT	M BERNARD GIRET	M NICOLAS LIMA DI	M JACOUES GIRET	SC SOCIETE CIVILE LES GRAVAILLES	SCI SOCIETE CIVILE IMMOBILIERE LIFE 33	ET P GIRONDE HABITAT OFFICE PUBLIC DE L'	MME MARIE-CECILE DETREE	M CHRISTOPHE ANDRIEU	SA L'IMMOBILIERE EUROPEENNE DES MOUSQI	SCI CHAMM	JCI SCI SCI DU GRAND BOIS	M BERNARD TREILLIE	-B COMM COMMUNE DE SAINT QUENTIN DE BARON	M JOEL COUREGE	:-B M JOSE MENDES DE SOUSA		SIC	EBISCLIES PYRAMIDES			-G M JEAN CHRISTIEN	-G SCI SCI IMMOBILIERE DESGRENIER	-G SCI DU RIEU	E-G SCI DEUXMAI	-G SCI DEUXMAI	-G SCI DEUXMAI	-G SCI DEUXMAI	-G SCI DEUXMAI	-G M MICHEL LOULIERE	-G MME MARIE-CHRISTIANE VEYSSIERE née HIVEF	-D M MANUEL DA SILVA ROCHA	-DIMI PATRICK PILLET		R- MME GINETTE GALLOT née LACAILLE	3 8			SCI L'ORCHIDEE	SCIL'ILE AUX LOTUS	SCI LE PORT DE GUITRES	SCI LE PORT DE GUITRES	SCI LAUBARDEMONT	SARL LES SABLONS	M PASCAL BEBET	MINIT INCHIBLE ONO OTEN HERE CHARGOODING
MAG1	MAG1	MAG4	MAG1	DEP2	MAG1	MAG1	MAG1	DEP3	MAG1	DEP2	MAG2	DEP2	MAG1	нотз	DEP2	DEP2	DEP2	ATE2	DEP2	DEP1	DEP2	DED2	DEP2	MAG1	MAG1	MAG1	JET MAG1	MAGS	ATE2	DEP2	ON DEP2	BUR1	BUR1	ATE2	DEP3	DEP2	ATE2	MAG6	DEP2	BUR1	ATE1	MAG2	DEP2			ATE1	BUR1	R BUR1	SPE2	MAG2	MAG2	MAG1	MAG1	MAG4	ATE2	DEP2	DEP2	нотз	MAG1	DEP2	SPE2	DEP4	
5 455	5 008	31 14	3 130	2 33	16 016	7 154	19 430	51	5 853 4 220	12 908	21 840	1 844	3 398	26 284	13 32	11 801	73 580 10 851	79 740	4 610	10 030	8 232	10 376	3 912	9 817	4 042	59 598	8 085	392 590	950	6 638	28 350	2 041	5 852	17 217	1 689	14 118	20 627	6 10	12 677	2 331	29 540	50 70	3 688	1 936	1 844	8 608	4 440 3 739	1 22	65 726	717	ᅬᄔ	12 195	26 016	35 440 55 801	3 588	11 617	39 221	19 550	15 284	25 816	1 448		



# **EXTRAIT DU REGISTRE DES** DU CONSEIL COMMUI DE LA COMMUNAUTÉ D'AGGLOMÉR Affiché le DU LIBO 5 5 6 9

Envoyé en préfecture le 30/09/2022 Reçu en préfecture le 30/09/2022

ID: 033-200070092-20220927-2022\_09\_241-DE

# **SÉANCE DU 27 SEPTEMBRE 2022**

2022-09-241 - 1/2

Nombre de conseillers composant le Conseil Communautaire : 78 Nombre de conseillers communautaires en exercice : 77

Date de convocation : 21/09/2022

L'an deux mille vingt deux, le vingt sept septembre à 18 H 00, le Conseil communautaire s'est réuni, en la salle Daniel Malville à Vayres (33870), sous la présidence de Monsieur Philippe BUISSON

Présents: 52

Philippe BUISSON, Président, Jacques LEGRAND, Vice-Président, Fabienne FONTENEAU, Viceprésidente, Hervé ALLOY, Vice-président, Jean-Philippe LE GAL, Vice-Président, Laurent DE LAUNAY, Vice-président, Chantal GANTCH, Vice-présidente, Eveline LAVAURE-CARDONA, Vice-présidente, Sébastien LABORDE, Vice-président, Laurent KERMABON, Vice-président, David REDON, Vice-Président, Thierry MARTY, Vice-Président, Stéphanie DUPUY, Vice-présidente, Alain JAMBON, Viceprésident, Jean Louis ARCARAZ, Conseiller déléqué, Jean-Luc LETERME, Bernard GUILHEM, Conseiller délégué, Brigitte NABET-GIRARD, Conseillère déléguée, Denis SIRDEY, Conseiller délégué, Jean Claude ABANADES, Conseiller délégué, Michel MASSIAS, Conseiller délégué, Jean-Pierre ARNAUD, Armand BATTISTON, Gérard MUSSOT, Joachim BOISARD, Emeline BRISSEAU, Renaud CHALLENGEAS, Marianne CHOLLET, Mireille CONTE-JAUBERT, Jérôme COSNARD, Jean Louis D'ANGLADE, Julie DUMONT, Hélène ESTRADE, Lionel GACHARD, Christophe GALAN, Patrick HUCHET, Patrick JARJANETTE, Fabienne KRIER, Michèle LACOSTE, Bruno LAVIDALIE, Martine LECOULEUX, Jocelyne LEMOINE, Pierre MALVILLE, Gérard MOULINIER, Paquerette PEYRIDIEUX, Laurence ROUEDE, Agnès SEJOURNET, Marie-Claude SOUDRY, Rachel VAUNA, Josette TRAVAILLOT, Jean-Philippe VIRONNEAU, Michel VACHER

#### Absents: 14

Michel MILLAIRE, Bernard BACCI, Jean-Luc BARBEYRON, Marie-Sophie BERNADEAU, Didier CAZENAVE, Christophe DARDENNE, Philippe DURAND-TEYSSIER, Christophe GIGOT, Philippe GIRARD, Marie-Noëlle LAVIE, Odile LUMINO, Gonzague MALHERBE, Frédéric MALVILLE, Edwige NOMDEDEU

#### Absents excusés ayant donné pouvoir de vote: M

Patrick MERCIER pouvoir à Jérôme COSNARD, Jean-Luc LAMAISON pouvoir à Jean-Philippe LE GAL. Gabi HOPER pouvoir à Philippe BUISSON, Sandy CHAUVEAU pouvoir à Laurence ROUEDE, Monique JULIEN pouvoir à Denis SIRDEY, Pierre-Jean MARTINET pouvoir à Fabienne KRIER, Alain PAIGNE pouvoir à Gérard MOULINIER, Laura RAMOS pouvoir à Alain JAMBON, Christophe-Luc ROBIN pouvoir à Laurent KERMABON, David RESENDÉ pouvoir à David REDON, Baptiste ROUSSEAU pouvoir à Thierry MARTY

# FINANCES, FISCALITE ET AFFAIRES JURIDIQUES FIXATION DU TAUX DE LA TAXE SUR LES SURFACES CO - ANNÉE 2022

Envoyé en préfecture le 30/09/2022

Reçu en préfecture le 30/09/2022

Affiché le

ID: 033-200070092-20220927-2022\_09\_241-DE

Sur proposition de Monsieur Hervé ALLOY, Vice-président en charge des finances, de la fiscalité et des affaires juridiques,

Vu le code général des collectivités territoriales,

Vu l'article 1639 A bis du Code Général des Impôts,

Vu l'article 3 de la loi 72-657 du 13 juillet 1972 instituant la taxe sur les surfaces commerciales (TAS-COM),

Vu l'article 77 de la loi de finances pour 2010 permettant aux communes et aux établissements publics de coopération intercommunale à fiscalité propre (EPCI) percevant la taxe sur les surfaces commerciales d'appliquer un coefficient multiplicateur,

Vu la délibération en date du 25 septembre 2018 qui fixe à compter du 1<sup>er</sup> janvier 2019, le coefficient multiplicateur de la TASCOM à 1.15,

Considérant que le coefficient multiplicateur ne peut varier de + 0.05 chaque année,

Vu l'avis du Bureau communautaire en date du 19 septembre 2022, Vu l'avis de la commission finances, fiscalité et affaires juridiques en date du 19 septembre 2022,

Après en avoir délibéré.

Et à l'unanimité (63 conseillers présents ou ayant donné pouvoir),

Le Conseil communautaire décide d'autoriser Monsieur le Président ou son représentant à :

- Fixer le coefficient multiplicateur de la TASCOM à 1.20 à compter du 1er janvier 2023,
- Notifier cette décision aux services préfectoraux et fiscaux.

Certifié exécutoire compte tenu de la transmission en Sous-Préfecture et de la publication, mise en ligne sur le site de La Cali le

Fait à Libourne

30 septembre 2022

Le Président informe que la présente délibération peut faire l'objet d'un recours pour excès de pouvoir devant le Tribunal administratif de Bordeaux dans un délai de deux mois à compter de sa publication et de sa réception par le représentant de l'État

Le Président Philippe BUISSON



# EXTRAIT DU REGISTRE DES DU CONSEIL COMMUN DE LA COMMUNAUTÉ D'AGGLOMÉR

Envoyé en préfecture le 30/09/2022

Reçu en préfecture le 30/09/2022

Affiché le

ID: 033-200070092-20220927-2022\_09\_242-DE

#### **SÉANCE DU 27 SEPTEMBRE 2022**

2022-09-242 - 1/3

Nombre de conseillers composant le Conseil Communautaire : 78 Nombre de conseillers communautaires en exercice : 77

Date de convocation: 21/09/2022

L'an deux mille vingt deux, le vingt sept septembre à 18 H 00, le Conseil communautaire s'est réuni, en la salle Daniel Malville à Vayres (33870), sous la présidence de Monsieur Philippe BUISSON

Présents: 52

Philippe BUISSON, Président, Jacques LEGRAND, Vice-Président, Fabienne FONTENEAU, Vice-présidente, Hervé ALLOY, Vice-président, Jean-Philippe LE GAL, Vice-Président, Laurent DE LAUNAY, Vice-président, Chantal GANTCH, Vice-présidente, Eveline LAVAURE-CARDONA, Vice-présidente, Sébastien LABORDE, Vice-président, Laurent KERMABON, Vice-président, David REDON, Vice-Président, Thierry MARTY, Vice-Président, Stéphanie DUPUY, Vice-présidente, Alain JAMBON, Vice-président, Jean Louis ARCARAZ, Conseiller délégué, Jean-Luc LETERME, Bernard GUILHEM, Conseiller délégué, Brigitte NABET-GIRARD, Conseiller déléguée, Denis SIRDEY, Conseiller délégué, Jean Claude ABANADES, Conseiller délégué, Michel MASSIAS, Conseiller délégué, Jean-Pierre ARNAUD, Armand BATTISTON, Gérard MUSSOT, Joachim BOISARD, Emeline BRISSEAU, Renaud CHALLENGEAS, Marianne CHOLLET, Mireille CONTE-JAUBERT, Jérôme COSNARD, Jean Louis D'ANGLADE, Julie DUMONT, Hélène ESTRADE, Lionel GACHARD, Christophe GALAN, Patrick HUCHET, Patrick JARJANETTE, Fabienne KRIER, Michèle LACOSTE, Bruno LAVIDALIE, Martine LECOULEUX, Jocelyne LEMOINE, Pierre MALVILLE, Gérard MOULINIER, Paquerette PEYRIDIEUX, Laurence ROUEDE, Agnès SEJOURNET, Marie-Claude SOUDRY, Rachel VAUNA, Josette TRAVAILLOT, Jean-Philippe VIRONNEAU, Michel VACHER

#### Absents: 14

Michel MILLAIRE, Bernard BACCI, Jean-Luc BARBEYRON, Marie-Sophie BERNADEAU, Didier CAZENAVE, Christophe DARDENNE, Philippe DURAND-TEYSSIER, Christophe GIGOT, Philippe GIRARD, Marie-Noëlle LAVIE, Odile LUMINO, Gonzague MALHERBE, Frédéric MALVILLE, Edwige NOMDEDEU

#### Absents excusés ayant donné pouvoir de vote : 11

Patrick MERCIER pouvoir à Jérôme COSNARD, Jean-Luc LAMAISON pouvoir à Jean-Philippe LE GAL, Gabi HOPER pouvoir à Philippe BUISSON, Sandy CHAUVEAU pouvoir à Laurence ROUEDE, Monique JULIEN pouvoir à Denis SIRDEY, Pierre-Jean MARTINET pouvoir à Fabienne KRIER, Alain PAIGNE pouvoir à Gérard MOULINIER, Laura RAMOS pouvoir à Alain JAMBON, Christophe-Luc ROBIN pouvoir à Laurent KERMABON, David RESENDÉ pouvoir à David REDON, Baptiste ROUSSEAU pouvoir à Thierry MARTY

# FINANCES, FISCALITE ET AFFAIRES JURIDIQUES INSTITUTION DE LA TAXE D'HABITATION POUR LES LOG COMPTER DU 1ER JANVIER 2023

Envoyé en préfecture le 30/09/2022 2 2/3

Reçu en préfecture le 30/09/2022

Affiché le S A C A S A C A S A C A S A C A S A C A S A C A S A C A S A C A S A C A S A C A S A C A S A C A S A C A S A C A S A C A S A C A S A C A S A C A S A C A S A C A S A C A S A C A S A C A S A C A S A C A S A C A S A C A S A C A S A C A S A C A S A C A S A C A S A C A S A C A S A C A S A C A S A C A S A C A S A C A S A C A S A C A S A C A S A C A S A C A S A C A S A C A S A C A S A C A S A C A S A C A S A C A S A C A S A C A S A C A S A C A S A C A S A C A S A C A S A C A S A C A S A C A S A C A S A C A S A C A S A C A S A C A S A C A S A C A S A C A S A C A S A C A S A C A S A C A S A C A S A C A S A C A S A C A S A C A S A C A S A C A S A C A S A C A S A C A S A C A S A C A S A C A S A C A S A C A S A C A S A C A S A C A S A C A S A C A S A C A S A C A S A C A S A C A S A C A S A C A S A C A S A C A S A C A S A C A S A C A S A C A S A C A S A C A S A C A S A C A S A C A S A C A S A C A S A C A S A C A S A C A S A C A S A C A S A C A S A C A S A C A S A C A S A C A S A C A S A C A S A C A S A C A S A C A S A C A S A C A S A C A S A C A S A C A S A C A S A C A S A C A S A C A S A C A S A C A S A C A S A C A S A C A S A C A S A C A S A C A S A C A S A C A S A C A S A C A S A C A S A C A S A C A S A C A S A C A S A C A S A C A S A C A S A C A S A C A S A C A S A C A S A C A S A C A S A C A S A C A S A C A S A C A S A C A S A C A S A C A S A C A S A C A S A C A S A C A S A C A S A C A S A C A S A C A S A C A S A C A S A C A S A C A S A C A S A C A S A C A S A C A S A C A S A C A S A C A S A C A S A C A S A C A S A C A S A C A S A C A S A C A S A C A S A C A S A C A S A C A S A C A S A C A S A C A S A C A S A C A S A C A S A C A S A C A S A C A S A C A S A C A S A C A S A C A S A C A S A C A S A C A S A C A S A C A S A C A S A C A S A C A S A C A S A C A S A C A S A C A S A C A S A C A S A C A S A C A S A C A S A C A S A C A S A C A S A C A S A C A S A C A S A C A S A C A S A C A S A C A S A C A S A C A S A C A S A C A S A C A S A C A

Sur proposition de Monsieur Hervé ALLOY, Vice-président en charge des finances, de la fiscalité et des affaires juridiques,

Vu le code général des collectivités territoriales,

Vu l'article 1407 bis du code général des impôts (CGI), permettant aux communes et aux établissements publics de coopération intercommunale (EPCI) à fiscalité propre, par délibération et sous certaines conditions, d'assujettir les logements vacants à la taxe d'habitation. Toutefois, seuls les logements vacants situés sur le territoire des communes où la taxe sur les logements vacants (TLV) prévue à l'article 232 du CGI n'est pas applicable peuvent être assujettis à la taxe d'habitation.

Par ailleurs, seuls les EPCI à fiscalité propre qui ont adopté un programme local de l'habitat défini à l'article L.302-1du code de la construction et de l'habitation peuvent décider d'assujettir les logements vacants à la taxe d'habitation.

La taxe d'habitation due au titre des logements vacants est établie au nom du propriétaire, de l'usufruitier, du preneur à bail à construction ou à réhabilitation ou de l'emphytéote qui dispose du local depuis le début de la période de vacance soit plus de deux ans.

Sont concernés les seuls logements, c'est-à-dire les seuls locaux à usage d'Habitation (appartements ou maisons).

Seuls les logements habitables, c'est-à-dire clos, couverts et pourvus des éléments de confort minimum (installation électrique, eau courante, équipement sanitaire) sont concernés par le dispositif.

Les logements vacants s'entendent des logements non meublés et par conséquent non assujettis à la taxe d'habitation en application du 1° du I de l'article 1407. Les logements meublés et notamment les résidences secondaires ne sont donc pas visés par le dispositif.

Sont exonérés les logements détenus par les organismes d'habitations à loyer modéré et les sociétés d'économie mixte, destinés à être attribués sous conditions de ressources.

Est considéré comme vacant, un logement libre de toute occupation pendant plus de deux années consécutives. Ainsi, pour l'assujettissement à la taxe d'habitation au titre de l'année N, le logement doit avoir été vacant au cours des années N-2 et N-1 (« années de référence») ainsi qu'au 1<sup>er</sup> janvier de l'année d'imposition.

Un logement occupé moins de 90 jours consécutifs ou 90 jours consécutifs au cours de chacune des deux années de référence est considéré comme vacant.

La preuve de l'occupation peut être apportée par tous moyens, notamment la déclaration de revenus fonciers des produits de la location, la production des quittances d'eau, d'électricité, de téléphone...

La vacance s'apprécie dans les conditions prévues au VI de l'article 232. Ainsi, la taxe n'est pas due lorsque la vacance est imputable à une cause étrangère à la volonté du bailleur, cette cause :

- faisant obstacle à l'occupation durable du logement, à titre onéreux ou gratuit, dans des conditions normales d'habitation :
- ou s'opposant à son occupation, à titre onéreux, dans des conditions normales de rémunération du bailleur.

Les autorités compétentes pour prendre la délibération sont

- les conseils municipaux des communes autres que celles dans lesquelles la taxe sur les logements vacants (TLV) prévue à l'article 232 est applicable (cf. décret n°2013-392 du 10 mai 2013) ;
- les organes délibérants des EPCI à fiscalité propre mentionnés aux I ou II de l'article 1379-0 bis, lorsqu'ils ont adopté un programme local de l'habitat défini à l'article L. 302-1 du code de la construction et de l'habitation.

La délibération doit être prise dans les conditions prévues au I de l'article 1639 A Bis, c'est-à-dire avant le 1<sup>er</sup> octobre de l'année N pour être applicable au 1<sup>er</sup> janvier de l'année suivante.

Elle demeure valable tant qu'elle n'a pas été rapportée.

La délibération prise par l'EPCI n'est pas applicable sur le territoire de ses communes membres ayant délibéré afin d'assujettir les logements vacants à la taxe d'habitation, ainsi que sur celui des communes dans lesquelles la taxe sur les logements vacants (TLV), prévue à l'article 232, est applicable.

Envoyé en préfecture le 30/09/2022 Reçu en préfecture le 30/09/2022

Il résulte de ces dispositions que les EPCI ne peuvent assujettir les Affighé le ents vacants a la taxe d'habitation qu'à titre subsidiaire, leur délibération ne trouve pas à s'applique 033-200070092-20220927-2022 09 242-DE leurs communes membres ayant décidé d'assujettir les logements vacants à la taxe d'habitation

antérieurement, la même année ou postérieurement.

En cas d'imposition erronée liée à l'appréciation de la vacance, les dégrèvements en résultant sont à la charge de la commune ou de l'EPCI à fiscalité propre et non pas à la charge de l'Etat. Ces dégrèvements s'imputent sur les attributions mentionnées à l'article L. 2332-2 du code général des collectivités territoriales.

Considérant l'exposé des motifs ci-dessus,

Vu la délibération n°2019-10-230 en date du 17 octobre 2019 approuvant le PLH - programme local de l'habit de La Cali pour la période 2018-2023.

Vu le pacte financier et fiscal adopté au conseil communautaire du 10 novembre 2021 proposant aux communes de délibérer sur l'assujettissement à la taxe d'habitation sur les logements vacants,

Considérant que certaines communes n'ont pas délibéré à la date du conseil communautaire.

Vu l'exposé des dispositions de l'article 1407 bis du code général des impôts permettant au conseil communautaire d'assujettir les logements vacants à la taxe d'habitation pour les communes membres n'ayant pas délibéré afin d'assujettir les logements vacants à la taxe d'habitation.

Vu les conditions d'assujettissement des locaux et les critères d'appréciation de la vacance, les dégrèvements résultant de la non vacance sont à la charge de la collectivité,

Vu l'avis du Bureau communautaire en date du 19 septembre 2022,

Vu l'avis de la commission finances, fiscalité et affaires juridiques en date du 19 septembre 2022.

Après en avoir délibéré,

Et à l'unanimité (63 conseillers présents ou ayant donné pouvoir),

Le Conseil communautaire décide d'autoriser Monsieur le Président ou son représentant à :

- assujettir à la taxe d'habitation sur les logements vacants (THLV) les logements vacants à compter du 1er janvier 2023,
- notifier cette délibération aux services préfectoraux et fiscaux.

Certifié exécutoire compte tenu de la transmission en Sous-Préfecture et de la publication, mise en ligne sur le site de La Cali le 30 septembre 2022 Fait à Libourne Le Président informe que la présente délibération peut faire l'objet d'un recours pour excès de pouvoir devant le Tribunal administratif de Bordeaux dans un délai de deux mois à compter de sa publication et de sa reception par le représentant de l'État Le Président, Philippe BUISSON



### EXTRAIT DU REGISTRE DES DU CONSEIL COMMUN DE LA COMMUNAUTÉ D'AGGLOMÉR

Envoyé en préfecture le 30/09/2022

Reçu en préfecture le 30/09/2022

Affiché le

ID: 033-200070092-20220927-2022\_09\_243-DE

# **SÉANCE DU 27 SEPTEMBRE 2022**

2022-09-243 - 1/2

Nombre de conseillers composant le Conseil Communautaire : 78 Nombre de conseillers communautaires en exercice : 77

Date de convocation: 21/09/2022

L'an deux mille vingt deux, le vingt sept septembre à 18 H 00, le Conseil communautaire s'est réuni, en la salle Daniel Malville à Vayres (33870), sous la présidence de Monsieur Philippe BUISSON

#### Présents: 52

Philippe BUISSON, Président, Jacques LEGRAND, Vice-Président, Fabienne FONTENEAU, Vice-présidente, Hervé ALLOY, Vice-président, Jean-Philippe LE GAL, Vice-Président, Laurent DE LAUNAY, Vice-président, Chantal GANTCH, Vice-présidente, Eveline LAVAURE-CARDONA, Vice-présidente, Sébastien LABORDE, Vice-président, Laurent KERMABON, Vice-président, David REDON, Vice-Président, Thierry MARTY, Vice-Président, Stéphanie DUPUY, Vice-présidente, Alain JAMBON, Vice-président, Jean Louis ARCARAZ, Conseiller délégué, Jean-Luc LETERME, Bernard GUILHEM, Conseiller délégué, Brigitte NABET-GIRARD, Conseiller déléguée, Denis SIRDEY, Conseiller délégué, Jean Claude ABANADES, Conseiller délégué, Michel MASSIAS, Conseiller délégué, Jean-Pierre ARNAUD, Armand BATTISTON, Gérard MUSSOT, Joachim BOISARD, Emeline BRISSEAU, Renaud CHALLENGEAS, Marianne CHOLLET, Mireille CONTE-JAUBERT, Jérôme COSNARD, Jean Louis D'ANGLADE, Julie DUMONT, Hélène ESTRADE, Lionel GACHARD, Christophe GALAN, Patrick HUCHET, Patrick JARJANETTE, Fabienne KRIER, Michèle LACOSTE, Bruno LAVIDALIE, Martine LECOULEUX, Jocelyne LEMOINE, Pierre MALVILLE, Gérard MOULINIER, Paquerette PEYRIDIEUX, Laurence ROUEDE, Agnès SEJOURNET, Marie-Claude SOUDRY, Rachel VAUNA, Josette TRAVAILLOT, Jean-Philippe VIRONNEAU, Michel VACHER

#### Absents: 14

Michel MILLAIRE, Bernard BACCI, Jean-Luc BARBEYRON, Marie-Sophie BERNADEAU, Didier CAZENAVE, Christophe DARDENNE, Philippe DURAND-TEYSSIER, Christophe GIGOT, Philippe GIRARD, Marie-Noëlle LAVIE, Odile LUMINO, Gonzague MALHERBE, Frédéric MALVILLE, Edwige NOMDEDEU

#### Absents excusés ayant donné pouvoir de vote : 11

Patrick MERCIER pouvoir à Jérôme COSNARD, Jean-Luc LAMAISON pouvoir à Jean-Philippe LE GAL, Gabi HOPER pouvoir à Philippe BUISSON, Sandy CHAUVEAU pouvoir à Laurence ROUEDE, Monique JULIEN pouvoir à Denis SIRDEY, Pierre-Jean MARTINET pouvoir à Fabienne KRIER, Alain PAIGNE pouvoir à Gérard MOULINIER, Laura RAMOS pouvoir à Alain JAMBON, Christophe-Luc ROBIN pouvoir à Laurent KERMABON, David RESENDÉ pouvoir à David REDON, Baptiste ROUSSEAU pouvoir à Thierry MARTY

# FINANCES, FISCALITE ET AFFAIRES JURIDIQUES EXONÉRATION DE TAXE FONCIÈRE BÂTIE POUR LES CONCHEVÉES AVANT LE 1ER JANVIER 1989 ÉCONOMES EI

Envoyé en préfecture le 30/09/2022 — 2/2

Reçu en préfecture le 30/09/2022

Affiché le UCTIONS

Sur proposition de Monsieur Hervé ALLOY, Vice-président en charge des finances, de la fiscalité et des affaires juridiques,

Vu le code général des collectivités territoriales,

Vu l'article 1383-0 B bis du code général des impôts,

Considérant la volonté de La Cali de participer activement au plan de sobriété énergétique,

Considérant que le taux d'exonération peut être compris entre 50 et 100 %,

Vu l'avis du Bureau communautaire en date du 19 septembre 2022, Vu l'avis de la commission finances, fiscalité et affaires juridiques en date du 19 septembre 2022,

Après en avoir délibéré,

Et à l'unanimité (63 conseillers présents ou ayant donné pouvoir),

Le Conseil communautaire décide d'autoriser Monsieur le Président ou son représentant à :

- d'exonérer à hauteur de 100% pendant 3 ans les logements neufs achevés avant le 1<sup>er</sup> janvier 1989 qui ont fait l'objet par le propriétaire de dépenses d'équipements mentionnées à l'article 200 quater de CGI

Certifié exécutoire compte tenu de la transmission en Sous-Préfecture et de la publication, mise en ligne sur le site de La Cali le 30 septembre 2022 Fait à Libourne Le Président informe que la présente délibération peut faire l'objet d'un recours pour excès de pouvoir devant le Tribunal administratif de Bordeaux dans un délai de deux mois à compter de sa publication et de sa r ception par le représentant de l'État Le Président. Philippe BUISSON

